

Lourdes Andúgar Martínez



**Análisis faunístico  
de los conjuntos calcolíticos y argáricos  
de Gatas (Turre, Almería)  
y La Bastida (Totana, Murcia)**

**UAB**

## CONCLUSIONES FINALES



La caracterización de los modelos de explotación de los recursos animales en Gatas y La Bastida ha permitido una lectura global de la estrategia de gestión de cada especie. En algunos casos se han registrado también diferencias entre la fase calcolítica y argárica. Una información complementaria a ésta es la aportada por las patologías, que muestran indicios de las condiciones de los animales.

El modelo de **explotación de *Equus caballus*** sólo ha sido posible documentarlo en La Bastida. La estrategia de gestión se orienta al mantenimiento de animales hasta edad adulta para el aprovechamiento de su fuerza de trabajo. Se registra su explotación en Bastida 3 de manera más intensiva. Son tres las enfermedades registradas, que se concentran en las extremidades. La primera es amielitis, y al menos dos individuos distintos correspondientes a la tercera fase la padecieron. La segunda es artritis y la tercera es una osteomielitis. Los restos de estos animales se encontraron en la cima del asentamiento. Varios trabajos defienden que podrían haber sido provocadas por factores naturales como la edad y el peso, aunque es muy probable que sean resultado del uso de esta especie para la monta y la tracción (Daugnora y Thomas 2005: 73).

La **explotación de bóvidos** en Gatas se destinó a la obtención de carne con un interés por la conservación de hembras prolíficas y productoras de leche. Se han registrado diferencias en las estrategias de gestión entre la fase calcolítica y argárica. Mientras que el modelo de producción calcolítico (Gatas I) está orientado a la producción cárnica, en la fase argárica (Gatas IV) se observa un modelo más equilibrado entre la producción de carne y la explotación láctea.

La Bastida, como Gatas, se caracteriza por un predominio de sacrificios de bóvidos para la obtención de carne y de leche, en menor medida. Unos pocos animales sacrificados en edad avanzada indican que pudieron desempeñar tareas de tracción. Este dato lo confirman ciertas patologías en esta especie. Entre los restos de *Bos taurus* en La Bastida se han documentado dos patologías localizadas en las extremidades: *lipping* y exóstosis infecciosa. La primera se asocia a tareas de tracción y, la segunda, (se desconoce su etiología) es muy escasa y se debe probablemente a que los animales son sacrificados antes de alcanzar la edad en la que esta patología es más común. En Gatas se ha registrado exóstosis en una tibia posiblemente por un trauma o lesión puntual. Esta misma patología se observa en un radio de un animal de talla grande, aunque no es posible confirmarlo pero podría tratarse de *Bos taurus* dado el grosor de la cortical ósea. Se desconoce su etiología.

El modelo de explotación en La Bastida muestra cambios significativos entre las diferentes fases de ocupación. En la primera se observa un modelo centrado en la explotación de carne y en el aprovechamiento de la fuerza de tracción. En la segunda, la explotación está centrada en el consumo de carne y de leche. En la tercera, se mantiene el patrón de explotación descrito para la segunda, pero de manera más selectiva.

En el **caso de los ovicápridos** en Gatas ha sido posible discernir entre las estrategias de gestión de cada una de las especies. La cabaña de *Ovis aries* indica un consumo prioritario de carne y de leche, en menor medida. También se mantienen algunos animales hasta alcanzar edades más avanzadas por ser buenos reproductores -en el caso de los machos- y prolíficas o productoras de leche -en el de las hembras- o por el aprovechamiento de fibras.

El modelo en La Bastida coincide con el documentado en Gatas. Se confirma un predominio de animales jóvenes sacrificados por su aporte cárnico, indicador de un modelo de explotación orientado también a la obtención de carne tierna.

La evolución del patrón de sacrificio de esta especie en La Bastida evidencia una dinámica heterogénea. En la primera fase destaca un modelo de explotación que busca una regulación de la manada y un aprovechamiento cárnico con el sacrificio de animales que han alcanzado el máximo rendimiento cárnico. En la segunda fase se observa, además del ya mencionado consumo cárnico, la importancia de la producción de vellón y el mantenimiento de algunos ejemplares hasta alcanzar los 10 años. En la tercera fase se mantiene el sacrificio de animales jóvenes para la obtención de carne tierna y aquellos animales que han superado el máximo rendimiento cárnico. El patrón de sacrificio indica también un consumo destinado a la explotación de vellón aunque algo más selectivo, eliminando probablemente aquellos animales que han alcanzado edades avanzadas y cuya calidad de lana ha disminuido.

La gestión ganadera de *Capra hircus* es similar en Gatas y en La Bastida. Se orienta a la explotación de carne y, en menor medida, de leche. Además, se documenta un incremento del consumo de carne tierna representado en el sacrificio de animales jóvenes.

La evolución del modelo de explotación en La Bastida evidencia cambios significativos. En la primera fase se centra en la explotación de carne y se trata de un patrón muy selectivo. En menor medida, podría contemplarse también un interés por la producción de leche. En la segunda fase, la producción de leche adquiere una mayor importancia. En la tercera fase se documenta el mismo patrón de explotación cárnico y lácteo, pero se prioriza el consumo de carne registrándose un aumento considerable de sacrificio de animales que han alcanzado el máximo rendimiento cárnico y un descenso en la representación de los que ya lo han superado.

En La Bastida se han documentado algunas patologías óseas en ovicápridos. El esqueleto del ovicáprido presenta deformaciones óseas en las extremidades y en el tronco. De las registradas en las extremidades es difícil confirmar su causa sin una prueba diagnóstica pero se plantean dos posibilidades: una fractura o una miositis, ambas probablemente por trauma. En el tronco se observa una deformación ósea sobre una costilla que pudo ser provocada por algún tipo de herida superficial. También en las extremidades de *Capra hircus* se documenta exóstosis en una falange. Podría tratarse de un animal adulto que presenta este tipo de deformación ósea debido a la edad. Esta patología puede confirmarse en algunos animales adultos pero no seniles, en los que la deformación ósea estaría mucho más desarrollada.

La cria de *Sus domesticus* en Gatas está destinada principalmente al aprovechamiento de su carne. Se registra el sacrificio de machos que han alcanzado el óptimo cárnico así como, en menor medida, animales neonatos, infantiles y juveniles. En La Bastida la producción cárnica es también el objetivo prioritario aunque se observa un consumo más selectivo en los machos se sacrifican y se conservan las hembras para la reproducción. Se documenta una predominancia de machos sacrificados en una proporción de 17 machos frente 5 hembras. Si se tiene en cuenta la distribución en fases de estos restos se observa que la proporción es variable. En la primera fase es más igualada (2 a 1), mientras que en las fases segunda y tercera la diferencia es más acusada (8 a 3 y 7 a 1, respectivamente). Además, la representación de animales que han alcanzado la edad adulta indica el consumo de algunas

hembras reproductoras.

Si se analiza la evolución del modelo en La Bastida se observan cambios significativos. En la primera fase se registra un modelo centrado en la explotación de carne, en el que destaca la elevada mortalidad infantil. Se observan diferencias entre la dinámica observada entre la primera y segunda fase. La primera de ellas es el descenso de la mortalidad infantil, aunque en menor medida se siguen sacrificando -o muriendo por malnutrición entre otras posibilidades- animales neonatos. Este descenso se prolonga en la tercera fase. La segunda diferencia radica en la inversión de la proporción de animales juveniles (12-18 meses) y subadultos (18-24 meses), siendo más numeroso el sacrificio de animales subadultos y ligeramente menor la de juveniles. Del mismo modo, los datos obtenidos reflejan el sacrificio de animales que ya han alcanzado el máximo rendimiento cárnico o lo han superado, sacrificando machos en un número mayor para su consumo y manteniendo las hembras para la reproducción. En la tercera fase el patrón es menos selectivo que en las fases previas; se observa un aumento en el sacrificio de animales que no han alcanzado todavía el máximo rendimiento cárnico; desciende la representación de animales que lo han superado y aumenta ligeramente el consumo de animales en edad adulta, probablemente hembras reproductoras.

En La Bastida, como en Gatas, las patologías de *Sus domesticus* en huesos de la extremidad posterior son comunes en animales que viven (actualmente) hacinados en espacios reducidos y suelen sufrir golpes y fracturas en la parte distal de las extremidades. En Gatas son una fractura por trauma y una exóstosis de la que se desconoce su etiología. En La Bastida se trata de dos periostitis por trauma y dos fracturas. Son cuatro los individuos que han sufrido patologías traumáticas en la segunda y tercera fase. Estas patologías pudieron provocar dificultades en la movilidad de los animales afectados.

Además de las patologías por trauma, se ha registrado en La Bastida un hueso cuya deformación es tal que dificulta la identificación específica y anatómica. Parece tratarse de *Sus domesticus* aunque no se ha podido confirmar. Se maneja el raquitismo como una posible etiología de esta deformación. Una condición para que se desarrollen lesiones graves provocadas por esta enfermedad radica en un crecimiento rápido del animal y no suele aparecer en animales malnutridos, en los que el crecimiento óseo se detiene.

Entre las especies domésticas registradas en la fase argárica de Gatas y La Bastida se documenta la presencia *Canis familiaris* consumida de manera ocasional. Además de las atribuciones tradicionales del aprovechamiento en tareas ganaderas o simplemente como animal de compañía, consideraciones que no tienen un reflejo en el conjunto faunístico, se puede añadir que esta especie podría haber sido consumida eventualmente.

En ambos asentamientos las marcas de corte son evidencias de procesado. En La Bastida se ha registrado un claro predominio de animales adultos con la presencia de algún individuo infantil y juvenil. Únicamente en un caso correspondiente a la tercera fase documentada en la cima del poblado se ha podido confirmar la presencia de un macho. La cría de este animal no estuvo orientada al abastecimiento cárnico de la población sino que se les mantuvo hasta alcanzar la edad adulta para el aprovechamiento en otro tipo de tareas, probablemente relacionadas con el mantenimiento del rebaño o comunidad. En La Bastida se han encontrado evidencias de la actividad del desollado, lo que puede llevar a pensar que la piel de este animal también se aprovechase.

En relación a las estrategias de caza registradas en ambos asentamientos, se orientan a la obtención de carne y de materia prima. Entre las especies salvajes destacan mayoritariamente *Oryctolagus cuniculus* y *Cervus elaphus*. Se ha registrado también el consumo ocasional de algunas especies como *Capra pyrenaica*, *Sus scrofa*, *Capreolus capreolus*, *Vulpes vulpes* y *Felis silvestris*.

La **caza de *Cervus elaphus***, en Gatas y La Bastida se orienta a la obtención de carne (en algún caso se busca carne tierna) y materia prima. En ambos asentamientos se da una tendencia mayoritaria a la caza de individuos adultos, probablemente por su mayor aporte cárnico, en algún caso subadulto, juvenil e infantil.

En La Bastida el número de individuos cazados es superior en la segunda y tercera fases.

El *Cervus elaphus* consumido en Gatas presenta patologías tanto en el esqueleto axial como en el apendicular. Éstas son de naturaleza traumática o debidas a un proceso degenerativo por la edad. También en La Bastida se han registrado patologías en las extremidades de *Cervus elaphus*. Éstas se atribuyen a la edad avanzada de los animales (en el caso de las exóstosis) y a posibles traumas (periostosis).

Otra especie salvaje con patologías óseas es *Capra pyrenaica*. En Gatas se documenta un ejemplo (*lipping*) que podría tratarse de una lesión puntual o consecuencia del deterioro natural dada la edad del animal.

La caza de lepóridos (conejo y liebre) en La Bastida muestra al igual que en Gatas un predominio de conejos. La representación por sexos y de edad de *Oryctolagus cuniculus* en Gatas muestra una tendencia a la caza de individuos predominantemente machos, subadultos y adultos y, en algún caso aislado, infantiles. Se trata de un modelo orientado a la obtención de carne. También en La Bastida se registra un claro predominio de machos y de individuos subadultos y adultos durante toda la ocupación. El número más elevado de individuos (40) se registra en la última fase de ocupación, posiblemente coincidiendo con un aumento de la población.

Las características físicas de las poblaciones animales pueden aportar datos significativos en relación a las presiones selectivas a las que se han visto sometidos. Estos datos complementan la información aportada por la representación de los perfiles de sacrificio, mostrando las estrategias ganaderas que se han desarrollado durante el Calcolítico y el Argar.

Si se compara la **altura de la cruz de los équidos de** La Bastida con la registrada en yacimientos coetáneos de la provincia de Granada y Ciudad Real se observa que Castillejos de Montefrío y Motilla de Azuer tienen un ejemplar con la misma talla que el más grande de la Bastida. En el Cerro de la Encina se observa una mayor variabilidad y en el Cerro de la Virgen se ha registrado un caso en el que el valor calculado es superior a los registrados en La Bastida. La talla del caballo en época argárica presenta dimensiones muy homogéneas, independientemente de las condiciones ambientales. No ha sido posible comparar la talla de los équidos de La Bastida con la muestra de Gatas.

La **talla de los bovinos** presenta un descenso entre las edades del Cobre y del Bronce. Se registran hembras de mayor tamaño en el Cerro de la Virgen en su fase calcolítica, así como en Castillejos de Montefrío si se comparan con la fase argárica del primer yacimiento mencionado y con la encontrada en Terrera del Reloj. Del mismo modo sucede con los machos de Cerro de

la Virgen y la fase argárica de este mismo poblado, de Fuente Álamo, de Cerro de la Encina y de Motilla de Los Palacios. Los ejemplares encontrados en La Bastida pueden ser interpretados como machos si se cotejan con la altura de la cruz de los de Fuente Álamo o castrados si se hace con un ejemplar de Cerro de la Virgen.

Si se comparan los datos aportados por La Bastida con otros poblados coetáneos situados en el núcleo del territorio argárico, se registra en La Bastida un número mayor de ejemplares de talla grande (probablemente machos) que puede responder a un consumo intencionado que conserva las hembras para la reproducción y/o aprovechamiento de productos derivados. Este tipo de gestión ganadera se mantiene a lo largo de las fases 2 y 3, y parece que también en la primera fase, aunque el número de casos recogidos en ésta son pocos para poder confirmarlo. Tampoco en este caso ha sido posible comparar los datos con los de Gatas.

Si se analiza el tamaño de los ejemplares de *Bos taurus* registrados en las fases de La Bastida, se puede observar que la media es muy diferente en la primera fase. Esta variabilidad es debida al bajo número de efectivos recuperados para su análisis. Por otro lado, es interesante el aumento en la media entre la fase 2 y la fase 3. Este hecho puede relacionarse con un incremento del sacrificio de los individuos de mayor tamaño o con el aumento de tamaño de los individuos de esta especie. Las diferencias de tamaño entre los individuos aquí representados pueden deberse al dimorfismo sexual, claramente identificado en yacimientos coetáneos a La Bastida (como Fuente Álamo), puesto que en esta comparación no se han incluido los restos de animales jóvenes.

La talla de la población bovina en Gatas y La Bastida es similar, como también lo es su variabilidad en relación a la población procedente de Fuente Álamo. Al considerar el dimorfismo sexual documentado en Fuente Álamo como referente, se puede observar que la muestra de Gatas presenta una homogeneidad en el número de ejemplares de ambos sexos. En La Bastida, en cambio, se registra un número mayor de ejemplares de mayor tamaño (probablemente machos) que puede responder a un consumo dirigido e intencionado que conserva las hembras para la cría y/o aprovechamiento de otros productos derivados. En Cuesta del Negro parece registrarse también un predominio de machos.

Las poblaciones de El Argar y El Oficio presentan una variabilidad menor y una media inferior a la registrada por el primer grupo. Puede responder a una intencionalidad en la selección de los ejemplares de menor tamaño (probablemente hembras) y una posible predilección de estos ejemplares para su uso funerario.

A medida que los yacimientos considerados se alejan del núcleo argárico (Almería y Murcia), la variabilidad registrada en la talla es mayor, lo que podría indicar modelos de explotación diferentes. En yacimientos coetáneos (Terrerá del Reloj o Motilla de Azuer), la media es similar a la que presentaba el grupo formado por Gatas, La Bastida y Fuente Álamo; y se observa una mayor heterogeneidad. En los yacimientos situados en la provincia de Granada (Cerro de la Virgen, Castellón Alto, Cerro de la Encina y Cuesta del Negro) se observa un ligero aumento, también registrado en Tabayá.

La comparación de los resultados biométricos sobre **talla de *Ovis aries*** de Gatas ha permitido constatar que en época argárica la altura de la cruz de las ovejas es mayor que en las cabras y que la media disminuye en ambas especies entre la segunda y la cuarta fase. Esta coincidencia puede indicar un posible cambio en el modelo de explotación registrado entre estas dos fases



de ocupación. En Gatas se ha identificado un caso en el que la altura de la cruz supera al resto de valores observados. La presencia de un individuo de gran tamaño puede corresponder a un macho o carnero de talla superior a la media. Este mismo esquema se registra en los restos procedentes de El Argar y en Millares, lo que apoyaría la hipótesis de un ejemplar macho sacrificado frente a un predominio de ejemplares de menor tamaño (posiblemente hembras).

En la fase calcolítica de Gatas *Ovis aries* presenta una variabilidad de talla superior a la documentada en fases posteriores, lo que indica que al final de esta fase y durante toda la ocupación argárica se registra una población homogénea.

Para la primera fase argárica de Gatas se constata una coincidencia en la talla de la población de ovejas con la de Cerro de la Virgen. Ello podría explicarse con unas condiciones similares de cría o con un modelo de explotación similar en el que los animales de menor tamaño (ya sean hembras o machos en el momento de crecimiento en el que alcanzan el óptimo cárnico) son sacrificados en mayor número frente a unos pocos ejemplares de mayor talla.

La altura de la cruz de *Ovis aries* en La Bastida muestra dos de los valores más elevados, que pueden ser interpretados como correspondientes a machos. Este mismo esquema se registra en los restos procedentes de Gatas y El Argar. La diferencia numérica entre machos y hembras puede responder a la estrategia de gestión definida.

A partir de la lectura diacrónica de la altura de la cruz de *Ovis aries* en La Bastida, se han observado pequeñas variaciones según la fase de ocupación analizada. En la segunda fase se registra un ligero descenso en la talla media, mientras que en la tercera se registra un ligero aumento. Las fluctuaciones en la talla de las ovejas pueden ser el reflejo de cambios en el modelo de explotación.

Estas pequeñas variaciones no son significativas ya que la población de ovejas en La Bastida es muy homogénea durante toda su ocupación. En cuanto a la variabilidad, es mayor en la primera fase de ocupación, en la que destacan algunos efectivos correspondientes a ejemplares de mayor talla que puede indicar algún ejemplar macho más respecto a las otras fases.

De la comparación de la muestra de La Bastida con otros yacimientos argáricos y otros coetáneos fuera de los límites de su territorio (Motilla de Azuer y Motilla de Los Palacios), se documentan diferencias entre varios grupos que pueden indicar estrategias de consumo diversas. En Gatas y La Bastida se observa un mayor número de efectivos de menor tamaño aunque, como ya se ha mencionado, también se documenta la presencia de algunos ejemplares de gran tamaño. Se ven representados ejemplares de ambos sexos como sucede en El Argar, El Oficio, Fuente Álamo, Castellón Alto, Cerro de la Encina, Loma de la Balunca, Terrera del Reloj, Cabezo Pardo, Motilla de Azuer y Motilla de Los Palacios. Por otro lado, se observa una disminución de la talla de las ovejas encontradas en Tabayá, en la denominada fase bronce antiguo y argárico (Rizo 2009). La talla registrada en este poblado es similar a la población de hembras de Cabezo Redondo, lo que puede indicar que se desarrolla el sacrificio intencionado de animales de este sexo. En cambio, en la fase argárica del Cerro de la Virgen así como en la Cuesta del Negro se registra un aumento en la media de los ejemplares sacrificados que puede entenderse como un consumo sistematizado de ejemplares machos.

La talla de *Capra hircus* en Gatas muestra una menor variabilidad que la documentada por las ovejas en este mismo poblado. Es probable que esto se deba a las diferencias entre las estrategias ganaderas de ambas especies. El hecho de que la cabra se aproveche básicamente por su carne condiciona la selección de individuos que han alcanzado el óptimo cárnico para su consumo. A diferencia de las cabras, de las ovejas también se consume lana o incluso el propio mantenimiento del rebaño conlleva una reserva de hembras prolíficas y de lana de calidad que podrían explicar la mayor variabilidad de la talla.

La lectura diacrónica de los datos que ofrece *Capra hircus* en Gatas muestra diferencias de talla. Cabe destacar un descenso en la altura de la cruz entre la primera y la segunda fase de ocupación, que coincide con el cambio entre la ocupación calcolítica y la ocupación argárica. Durante la ocupación argárica se mantienen los valores salvo en la cuarta fase que registra un aumento. La comparación con los individuos sexuados de Zambujal ha permitido observar cambios que podrían interpretarse como un cambio en la estrategia de gestión de los recursos: en la primera y cuarta fase se consumen mayoritariamente individuos de talla pequeña. La media aumenta por registrarse algunos sacrificios de animales de gran tamaño (posiblemente machos). En cambio, en la segunda y tercera fase se observan algunos ejemplares de menor talla que pueden corresponder a animales sacrificados al alcanzar el tamaño óptimo para obtener el máximo rendimiento cárnico sin llegar a adquirir tallas mayores.

Al comparar la fase calcolítica de Gatas con otros poblados calcolíticos peninsulares (Millares, Cerro de la Virgen y Zambujal) se observa que las medias registradas son muy similares, de lo que se puede concluir que la población del levante peninsular -junto con el caso portugués- en este período calcolítico es homogénea.

La altura de la cruz de *Capra hircus* de La Bastida es menor si se compara con la documentada en Gatas aunque, a grandes rasgos, los ejemplares representados en los dos yacimientos muestran una población muy homogénea. No obstante, si se efectúa una lectura diacrónica en La Bastida, se observan variaciones en la talla de las cabras. Los valores más altos se registran en la primera fase del poblado y se produce un descenso de la talla y variabilidad entre la primera y la segunda fase de ocupación. En la tercera fase las cabras son de mayor talla que en la segunda y presentan una mayor variabilidad. La evolución temporal del tamaño de esta especie utilizando el método de análisis de *log ratio* ha permitido observar que las poblaciones de la primera y segunda fase son homogéneas. Así pues, la altura de la cruz más elevada registrada en la primera fase se debe a la presencia aislada de un único ejemplar más grande, posiblemente un macho. Por otro lado, entre la segunda y la tercera fase se observa un descenso significativo de la talla y una preferencia por el sacrificio de animales de menor talla.

Los ejemplares de Gatas y La Bastida en época argárica muestran una población muy homogénea, aunque la media es un poco más elevada en Gatas. Si se comparan ambos poblados con el resto de yacimientos argáricos, se observa que Fuente Álamo, Castellón Alto, Terrera del Reloj y Tabayá presentan una media muy similar al grupo formado por la muestra. El Argar, El Oficio y Cabezo Pardo registran una media inferior a la observada en el resto. En el caso de los dos primeros poblados, se podría entender que esta diferencia se deba a una intencionalidad en el consumo debido a un uso específico, ya que los restos estudiados en estos casos proceden de contexto funerario. Pero no es así en el poblado de Cabezo Pardo (en el que la media es incluso menor a la observada en los contextos funerarios), por lo que debe

haber otra razón que explique esta diferencia como, por ejemplo, diferencias en la alimentación, mayor número de hembras destinadas al consumo o condiciones de cría adversas, entre otras.

Por otro lado el grupo de yacimientos formado por Cerro de la Encina, Cerro de la Virgen, Cuesta del Negro y Loma de la Balunca, donde se registra un aumento en la media, se evidenciaría el sacrificio de animales de mayor tamaño, probablemente machos.

El criterio discriminatorio entre la especie doméstica (*Capra hircus*) y salvaje (*Capra pyrenaica*) es la diferencia de tamaño. Su análisis ha permitido evidenciar la presencia de la especie salvaje en Gatas y La Bastida, no obstante, no ha sido posible atribuir a diferencias sexuales las divergencias métricas observadas.

Para discriminar entre la especie doméstica (*Sus domesticus*) y la salvaje (*Sus scrofa*) en Gatas y La Bastida se ha recurrido a la comparación métrica. Se puede observar que la media de las dimensiones recogidas en Gatas de *Sus scrofa* es superior a la registrada por la variedad doméstica, *Sus domesticus*. Esta diferencia se registra tanto en yacimientos calcolíticos (como Millares y Zambujal) como en contextos argáricos (como Fuente Álamo, La Bastida, Cuesta del Negro y Cerro de la Encina). Cabe mencionar que la diferencia entre ambas especies es menor en yacimientos como Zambujal y Fuente Álamo donde los efectivos comparados alcanzan valores más altos y la variabilidad en la talla también es mayor. De la comparación directa entre las medidas de Gatas y La Bastida se puede concluir que la población es muy homogénea. Lo que puede indicar que el modelo de explotación es similar en ambos poblados.

Si se analiza cómo varía la talla de los cerdos y jabalíes de manera diacrónica entre el Calcolítico y el Argar, se observa que la media registrada en ambos casos disminuye entre estos dos períodos. Los poblados argáricos donde se han registrado *Sus domesticus* de menor tamaño son Castellón Alto y Tabayá. Ambos son también los que cuentan con menor número de efectivos. Se observa un ligero aumento en la talla de los ejemplares de Terrera del Reloj y Motilla de Azuer. En Fuente Álamo y Cerro de la Virgen la población es homogénea y algo superior a los yacimientos mencionados. Por último, el Cerro de la Encina muestra la media más elevada.

Si se presta atención únicamente a la población de *Sus domesticus* de yacimientos argáricos, se observa que la talla es muy similar salvo en el caso de Cerro de la Encina, donde aumenta ligeramente. Esto indica que la población es muy homogénea en esta cronología a pesar de la distancia entre yacimientos.

Para **los cánidos** representados en Gatas ha sido posible calcular la altura de la cruz aunque el valor es muy variable según el factor empleado. En Gatas se observa una población homogénea donde los efectivos que se alejan de la media son pocos. Su comparación con la muestra de La Bastida ofrece unos resultados similares. En este último poblado la mayor variabilidad de talla puede estar condicionada por un mayor número de efectivos. Se observa también en La Bastida la presencia de un dato correspondiente a individuos de mayor tamaño que la mayoría y otros de talla menor. No se dispone de información relativa a la talla de ambos sexos para cotejar con estos animales de menor talla e interpretar su presencia. Por otro lado, se conoce la presencia de *Canis lupus* por los resultados publicados de La Bastida (de Miguel *et alii* 1992: 199, Andúgar 2015).

En otros yacimientos argáricos, como es el caso Castellón Alto, Cabezo Redondo, Fuente Álamo y Terrera del Reloj, se ha registrado una media muy similar a la presentada por la muestra de Gatas y La Bastida. Destaca en Castellón Alto y Cabezo Redondo una variabilidad mayor que podría explicarse por la presencia de algún macho de gran talla en el caso de los animales más grandes y de un animal en proceso de crecimiento o hembra, entre los más pequeños de la muestra de cánidos de este poblado. Otra posible explicación a esta enorme variabilidad se puede deber a un error en la identificación del carnívoro, pudiendo contarse algún resto de *Canis lupus* o *Vulpes vulpes* entre los clasificados como *Canis familiaris*.

La talla de *Canis familiaris* de La Bastida es homogénea durante toda la ocupación a pesar de las diferencias observadas en la segunda fase. De la primera fase a la segunda se observa una disminución en el tamaño de los perros. Sin embargo, la poca variabilidad en ambas fases se ve condicionada por el escaso número de efectivos, lo que también puede explicar la variación en la talla en la fase 2. La tercera fase presenta una media similar a la primera fase y una mayor variabilidad en la talla de los ejemplares estudiados, debida al mayor número de efectivos.

Es interesante resaltar el caso de Cerro de la Encina donde la talla es mayor que la registrada en Gatas y La Bastida. También sucede en Cuesta del Negro aunque el número de efectivos es menor y, por tanto, menos representativo de la población. Cabe mencionar también el ejemplo de Cerro de la Virgen, donde la media es inferior a la de Gatas y La Bastida.

Respecto a la **talla de los cérvidos**, la media presente en la fase calcolítica de Gatas coincide con la que se observa entre las hembras de Zambujal. Así pues, los ejemplares representados pueden ser hembras. Entre la primera y la segunda fase se produce un aumento en la talla de esta especie. Esto puede explicarse por la presencia de algún individuo macho en la segunda fase, ya que el escaso número de efectivos comparados no permite que este cambio se califique de significativo.

Si se comparan las poblaciones coetáneas a la fase calcolítica de Gatas se concluye que las de Millares y Zambujal son similares. En estos dos poblados se observa una intencionalidad en la caza de machos ya que la media registrada es más cercana a la que presentan estos individuos y el número de efectivos mayor, en el caso de Zambujal. Destaca el caso de Castillejos de Montefrío, donde la media es la misma que la de la población masculina de Zambujal, por lo que la preferencia por este género es más acusada en este caso. Quizás se cacen más los machos porque presentan una talla y un aporte cárnico mayor, pero también porque de ellos se aprovecha una materia prima más rentable (astas de mayor tamaño, mayor volumen de cuero, tendones y/o vísceras para cuerda y tiras o para el control de la reproducción de la población natural).

No se han observado diferencias en la talla de estos animales en la primera fase argárica de Gatas en la que se observa una población similar a la descrita también en Millares y Zambujal.

La población de *Cervus elaphus* en La Bastida es homogénea en las fases segunda y tercera. Este hecho puede responder a los mismos criterios selectivos en las dos fases, registrándose una continuidad en las tácticas cinegéticas. En este poblado se registra, como también sucede en Gatas, una preferencia por los animales de talla grande, condicionada por el mayor aporte cárnico de estos ejemplares. La media registrada en La Bastida es muy cercana a la que presentan los ciervos machos de Cerro de la Virgen lo que puede indicar una preferencia por los ejemplares machos.

La talla de los ciervos cazados en los yacimientos de La Bastida, Cerro de la Encina y Tabayá es homogénea. La media aumenta levemente en Fuente Álamo y Cerro de la Virgen, es más baja en la Motilla de Azuer y la mínima registrada se da en Gatas. Destaca la talla de los ciervos de Cabezo Pardo que presentan el valor máximo. La población de ciervos de La Bastida, Fuente Álamo, Cerro de la Encina y Cerro de la Virgen muestran una variabilidad similar, condicionada ésta por el gran número de efectivos.

Se ha discriminado entre la talla de *Oryctolagus cuniculus* y *Lepus capensis*. De nuevo y también para esta especie en Gatas y La Bastida la población observada es homogénea y muy similar a la que presentan los restos de *Oryctolagus cuniculus* en otros poblados coetáneos. Esta comparación revela una clara evidencia de la diferencia de talla que presenta esta especie con respecto a *Lepus capensis*.

El análisis de los restos de fauna de Gatas ha permitido confirmar que la diferenciación métrica no responde a diferencia de especie, sino que puede deberse al dimorfismo sexual. Éste sería el primer caso en el que a partir de las dimensiones de este hueso es posible diferenciar entre machos y hembras de conejo. También ha sido posible observar diferencias de talla entre los restos actuales y los restos de la muestra arqueológica.

En resumen, de las comparaciones entre lagomorfos descritas se puede concluir que *Oryctolagus cuniculus* de la muestra de Gatas es similar al de otros yacimientos argáricos como el de La Bastida, Castellón Alto, Cerro de la Encina, Tabayá y Terrera del Reloj. Se trata por tanto de una población bastante homogénea la que caracteriza esta especie en este contexto espacio-temporal. Además ha sido posible evidenciar la presencia de *Lepus capensis* en Gatas ya que registra una talla mayor.

Se puede concluir que las características de las especies representadas en la muestra de Gatas y La Bastida siguen, en líneas generales, la dinámica registrada para esta cronología en otros poblados. En la mayoría de los casos se trata de poblaciones homogéneas. Aquellos que han registrado cambios significativos a lo largo de la secuencia de ocupación del poblado pueden estar condicionados por cambios en las condiciones de cría, cambios en los criterios que guían la presión selectiva y cambios en los modelos de explotación.

En último lugar cabe destacar las diferencias en el acceso a los recursos animales (atribuibles o no a las distintas categorías sociales) en función de los distintos sectores de Gatas, lo que incide en el consumo diferencial entre los habitantes de un mismo poblado.

Uno de los primeros condicionantes que ha influido en esta lectura ha sido el hecho de que tan sólo se conserven restos sincrónicos en dos sectores del poblado, MS y LM II, lo que ha posibilitado una lectura comparativa en la distribución de restos entre estos dos sectores en la fase calcolítica (Gatas I) y la primera ocupación argárica (Gatas II). Por otro lado, en Gatas IV ha sido posible cotejar los restos de los sectores de LM I y LM II.

De este análisis se registran diferencias en la variabilidad de especies representadas en LM II y MS en la primera y segunda fase de ocupación infieren desigualdades en el acceso a los recursos animales en beneficio de los habitantes de la MS. Éstos consumirían especies con un potencial aporte cárnico mayor que las consumidas en la LM II. Asimismo, se documentan estas diferencias en el acceso a los recursos en la distribución de especies en la fase IV entre los restos documentados en la LM I y la LM II. En este caso el sector beneficiado sería la LM II,

donde además de la diferencia entre las especies domésticas también se incluyen en mayor número los restos de especies salvajes con un mayor aporte cárnico que los habitantes de la LM I suplen con el consumo de animales de menor talla, como es el caso de *Oryctolagus cuniculus*.

Si se relaciona la representación de especies con los modelos de explotación en Gatas, se puede observar que los habitantes de la meseta superior que, como se había observado, consumían más frecuentemente *Sus domesticus* y *Bos taurus* que en la LM II, tienen un acceso diferencial a las especies no sólo con mayor aporte cárnico, sino de mejor calidad. La presencia de ovicápridos en mayor número en la LM II podría mostrar un consumo prioritario de sus habitantes por la carne de *Capra hircus* y de *Ovis aries*. La presencia de restos de *Canis familiaris* que han podido ser consumidos en la LM II, junto con el hecho de que esta especie está ausente del sector de MS podría ser otra muestra de la distribución diferencial de los recursos cárnicos.

En La Bastida se ha analizado más en detalle buscando desigualdades entre los diferentes ámbitos estudiados. De la distribución de las especies domésticas más frecuentes en los distintos ámbitos de la fase 1 se puede concluir que la distribución de los recursos cárnicos no parece ser diferencial a pesar de la ausencia de determinadas especies en algunos de los ámbitos mencionados. No es éste el caso del corredor amurallado (C0:C17) donde no se ha encontrado restos de *Capra hircus*, que pudo estar presente pero dada la fragmentación de los restos puede haberse contado entre los restos de ovicápridos que si se registran en este lugar.

En la segunda fase la distribución es heterogénea en cuanto a las proporciones representadas pero homogénea en cuanto a la presencia/ausencia de especies domésticas. Mientras que *Bos taurus* registra la ausencia en dos de los conjuntos del corredor entre murallas, registra el porcentaje más elevado en el tercero de ellos. También los ovicápridos están presentes en la totalidad de los ámbitos de esta fase y en los sectores susceptibles de ser comparados, aunque no ha sido posible identificar los restos de ambas especies en algunos de ellos (H64, H34 y C0:C13).

La dinámica observada es distinta en la tercera fase donde destaca la representación de *Bos taurus* en una de las habitaciones de piedemonte, H2, pero únicamente en la segunda ocupación de ésta en la fase 3b, ya que en la anterior no se ha encontrado ningún rastro de ella. En la segunda su importancia numérica es tal, también en relación al NMI que podría tratarse de un lugar de procesado desde el que posteriormente se distribuiría esta especie al resto de ámbitos. Los otros dos taxones domésticos, *Sus domesticus* y ovicápridos, están presentes en todos los ámbitos del asentamiento, en proporciones dispares. En cuanto a la discriminación de especies de este último taxón hay que mencionar la ausencia de restos de *Capra hircus* (no así de ovicápridos) en los ámbitos de la cima (H61 y E16) y en algunos de los espacios de PDM (H8, H19, I1: C1 y C3).

De todo ello puede deducirse que en la última fase de ocupación (Bastida fase 3b) pudo haber espacios especializados en el procesado y otros dedicados al preparado del alimento y que no tienen por qué coincidir espacialmente.

Entre las especies domésticas consumidas en La Bastida de manera ocasional hay que mencionar *Equus caballus* y *Canis familiaris*. La primera de ellas en la primera fase de ocupación registra una distribución desigual solo se encuentran en PDM, siendo el Dpto. II el

lugar donde es más numerosa. En la segunda fase son escasos los restos pero aparecen tanto en PDM como en el sector BAR. No es hasta la tercera fase cuando se observa una mayor presencia de esta especie en el poblado y una distribución mayor. En esta fase se reparte esta especie entre piedemonte, ladera media y la cima, siendo en esta última donde se registra la mayor representación.

*Canis familiaris* se concentra en PDM durante la primera fase. Durante la segunda fase aumenta su representación y se distribuye en PDM y BAR. Destaca en la tercera fase la enorme presencia numérica de restos de este animal en H7. Son las extremidades distales de dos individuos las que se han recuperado articuladas y esta parte es la que presenta un mayor número de huesos de la extremidad. O bien son desechos de procesado o bien es un lugar donde se usa la piel a la que puede quedar adherida esta parte de la extremidad. En la tercera fase PDM es el sector donde aparece con más frecuencia.

Las especies salvajes más numerosas se repiten en todas las fases de ocupación son *Cervus elaphus* y *Oryctolagus cuniculus*. Si se considera que el consumo ocasional de un mayor número de especies es un criterio para medir la accesibilidad de determinados ámbitos se puede deducir la H36 es la más favorecida en la primera fase, ya que reúne todas las especies cazadas y es la única que muestra estas características cualitativas.

Durante la segunda fase en La Bastida, *Cervus elaphus* ha registrado un aumento en la representación respecto a la fase anterior y solo está ausente de uno de los conjuntos del corredor entre murallas C0: C10. *Oryctolagus cuniculus* sigue siendo la especie más numerosa, se reduce considerablemente el NMI por ámbito y el reparto es más igualitario (registrándose en todas de los sectores PDM y BAR), aunque aparece en mayor número en PDM (H35 y H83). *Capra pirenaica* se documenta únicamente en PDM (I2 y H64), *Sus scrofa* en PDM (I2) y BAR (C0: C13) y *Lepus capensis* sólo en PDM (H34, H35 y H26).

En la tercera fase *Cervus elaphus* se registra tanto en PDM, LM como CIM, las únicas excepciones son dos habitaciones en PDM (H41 y H21) donde la única especie cinegética registrada es *Oryctolagus cuniculus*. Esta especie está presente en todos los ámbitos de esta fase, siendo el sector más beneficiado PDM (concretamente H37, H2: C2 y H3). Del mismo modo que las ya mencionadas, el reparto de especies cazadas de manera ocasional está más distribuido en los diferentes ámbitos del poblado, *Capra pirenaica* está presente en piedemonte (H4, I1: C1, H8, H3, H2: C1 y C3, H7 y H19) y en los espacios de la cima (E16: SC2A1 y E16: SC2A1). Los restos de *Sus scrofa* se reparten entre PDM (H4, I1: C1), LM (H54) y CIM (H62 y el espacio situado al exterior de H61 -E16: SC2A2-). *Lepus capensis* es otra de las especies cazadas escasas y se ha registrado su presencia en PDM (H4, H8) y LM (H54).

Para concluir este trabajo cabe mencionar las principales aportaciones. En primer lugar se trata de una de las primeras síntesis disponibles en la que se incluyen los trabajos arqueozoológicos de cronología calcolítica y argárica del levante peninsular. En segundo lugar se ha aplicado el análisis tafonómico en conjuntos de asentamientos permanentes (normalmente este tipo de estudio se limita a yacimientos paleolíticos). Ha sido posible confirmar que la mayoría de los restos de *Oryctolagus cuniculus* recuperados en Gatas son resultado del consumo humano. Asimismo, esta tesis es pionera en la descripción de las características físicas de los animales durante la cronología mencionada en relación a las modalidades de gestión ganadera. Aporta un análisis integrado de las pautas de producción

ganadera, documentando explotaciones diferenciales para ovejas y cabras y una alta sistematización en el caso de los suidos. Ha sido posible además identificar una estandarización en las pautas de procesado y homogeneidad en las técnicas culinarias. Por último, se ha comparado con los datos aportados por otros trabajos arqueozoológicos coetáneos.

Las perspectivas de futuro consistirán en la ampliación de la información disponible para estudios arqueozoológicos en este periodo cronológico aplicando la metodología implicada en este estudio a otros conjuntos de yacimientos murcianos. Asimismo se pretende profundizar en la relación entre los resultados aportados por los asentamientos aquí analizados con los que se obtengan de los contextos funerarios de éstos y otros yacimientos contemporáneos.





## Bibliografía



AFONSO, J. A., CÁMARA, J. A., SPANEDDA, L., ESQUIVEL, J.A., LIZCANO, R., PÉREZ, C. y RIQUELME, J. A. (2014), "Nuevas aportaciones para la periodización del yacimiento del Polideportivo de Martos (Jaén): la evaluación estadística de las dataciones obtenidas para contextos rituales", *Archivo de Prehistoria Levantina XXX*, Valencia: 133-158.

AGUILAR, A., MORALES, A. y MORENO, R. (1992-1994), "Informe sobre los restos de fauna recuperados en el corte E (1983-1985) de la Peña Negra (Crevillente, Alicante)", *Lucentum*, XI-XIII: 73-91.

ALBIZURI, S., COLOMER, S. y BUISAN, C. (1993), Experimentación sobre la exposición del tejido óseo a focos de calor. *Estudios de la Antigüedad* 6/7: 91-97.

ALCÁNTARA GARCÍA, V., BARBA EGIDO, R., BARRAL DEL PINO, J. M., CRESPO RUIZ, A. B., EIRIZ VIDAL, A. I., FALQUINA APARICIO, A., HERRERO CALLEJA, S., IBARRA JIMÉNEZ, A., MEGÍAS GONZÁLEZ, M., PÉREZ GIL, M., PÉREZ TELLO, V., ROLLAND CALVO, J., YRAVEDRA SÁINZ DE LOS TERREROS, J. VIDAL, A. y DOMÍNGUEZ-RODRIGO, M. (2006), "Determinación de procesos de fractura sobre huesos frescos: un sistema de análisis de los ángulos de los planos de fracturación como discriminador de agentes bióticos" *Trabajos de Prehistoria*, 63 (1), 37-45.

ANDÚGAR, L. (2015), "Los restos óseos faunísticos de La Bastida procedentes de las campañas de excavación de los siglos XIX y XX". En LULL, V., MICÓ, R., RIHUETE, C Y RISCH, R. (2015), *Primeras investigaciones en La Bastida (1869-2005)*. Serie Arqueología Argárica. Proyecto Bastida 1, Integral, Murcia, pp. 1401-1469.

ANDÚGAR, L. y SAÑA, M. (2004), "La gestió ramadera durant el II Mil·lenni" *Cypsel* 15, 209-228.

ARMENTANO OLLER, N., GALLART FERNÀNDEZ, J., SAÑA SEGUÍ, M. y TORRES I BENET, M. (2010), *Solans de Recots (Nalec, l'Urgell), una balma d'enterrament col·lectiu a la Vall del Corb*, URTX.

AYALA JUAN, M.M. (1991), Capítulo de "Fauna en los yacimientos de Rincón de Almendricos y El Cerro de las Viñas", en *El poblamiento argárico en Lorca. Estado de la cuestión*. Real Academia Alfonso X El Sabio, 442-472.

BAKER, J. y BROTHWELL, D. (1980), *Animal diseases in archaeology*. Academic Press.

BALASSE, M. (2003), Keeping the young alive to simulate milk production. Differences between cattle and small stock, *Anthropozoologica*, 37, 3-10.

BALASSE, M., BOCHERENS, H., TRESSET, A., MARIOTTI, A. y VIGNE J. D. (1997), Emergence de la production laitière au Néolithique. Contribution de l'analyse isotopique d'ossements de bovins archéologiques, *Comptes Rendus de l'Académie des Sciences, Paris (2a)*, 325, 1005-1010.

BALASSE, M., TRESSET, A., BOCHERENS, H., MARIOTTI A. y VIGNE J. D. (2000), Un abattage "postlactation" sur des bovins domestiques néolithiques. Etude isotopique des restes osseux du site de Bercy (Paris, France), *Ibex. Journal of Mountain Ecology*, 5, *Anthropozoologica*, 31,

39-48.

BALASSE, M. y TRESSET, A. (2002), Early Weaning of Neolithic Domestic Cattle (Bercy, France) revealed by Intra-tooth variation in Nitrogen Isotope Ratios, *Journal of Archaeological Science*, 29, 853-859.

BARRACHINA, A. y SANCHIS, A. (2008), "Valoración diacrónica de un modelo económico de la Edad del Bronce: la fauna del poblado del Pic dels Corbs, Sagunt (Valencia)", *Quaderns de Prehistòria i Arqueologia de Castelló*, 26, 43-94.

BARTOSIEWICZ, L., VAN NEER, W. y LENTACKER, A. (1997), "Draught cattle: their osteological identification and history", *Annales du Musée Royal de l'Afrique Centrale, Sciences Zoologiques*, Vol. 281: Tervuren.

BENITO IBORRA, M. (1989), Estudio de un pequeño conjunto óseo del poblado del Pic dels Corbs (Sagunto). En A. BARRACHINA: *Breve avance sobre el estudio del poblado del Pic dels Corbs. Homenatge A. Chabret, 1888-1988*, 41-42.

BENITO IBORRA, M. (1994), Estudio de la fauna de la edad del Bronce de la Illeta dels Banyets de la Reina (Campello, Alicante). Primeros resultados. *Archivo de prehistoria Levantina XXI*, 119-134.

BENITO IBORRA, M. (2006), "Fauna y hábitat de la Edad del Bronce de la "Illeta dels Banyets", El Campello, Alicante en SOLER, J. (eds): *La ocupación Prehistórica de la Illeta dels Banyets (El Campello, Alicante)*. MARQ. Museo Arqueológico Provincial de Alicante. Serie Mayor, núm. 5. 239-266.

BLAISE, E. (2005), L'élevage au Néolithique final dans le sud-est de la France: éléments de réflexion sur la gestion des troupeaux, *Anthropozoologica*, 40, 191-216.

BLAISE, E. (2006), Référentiel actuel de brebis « Préalpes du sud » (Digne, Alpes-de-Haute-Provence, France): pratiques d'élevage et âges dentaires, *Anthropozoologica*, 41, 191-214.

BLASCO, M. F. (1992), *Tafonomía y prehistoria. Métodos y procedimientos de investigación*. Monografías arqueológicas 36. Zaragoza.

BROTHWELL, D., DOBNEY, K. y JAQUES, D. (2005), Abnormal sheep metatarsals: a problem in aetiology and historical geography. En DAVIES, J, FABIS, M., MAINLAND, I., RICHARDS, M. y THOMAS, R. (eds) *Diet and health in past animal populations. Current research and future directions*, 75-79.

BOESSNECK, J. (1969a), Die Knochenfunde vom Cerro del Real bei Galera (Prov. Granada) *Studien über frühe Tierknochenfunde von der Iberischen Halbinsel*, 1, Munich: 1-42.

BOESSNECK, J. (1969b), Restos óseos de animales del Cerro de la Virgen (Orce) y del Cerro del Real (Galera), Granada, *Not. Arq. Hisp.*, X-XI-XII, 1966-68: 172-189.

BOESSNECK, J. y DRIESCH, A. von den (1980), Tierknochenfunde aus vier südspanischen Höhlen, *Studien über frühe Tierknochenfunde von der Iberischen Halbinsel*, 7, Munich: 1-83.

BOESSNECK, J. y DRIESCH, A. von den (1980), Knochenfunde aus dem Römischen Munigua (Mulva), Sierra Morena. vier südspanischen Höhlen, *Studien über frühe Tierknochenfunde von der Iberischen Halbinsel*, 7, Munich: 160-185.

BOURNERY, A., VIGNE, J. P. y VAQUER, J. (2004), "Origine des accumulations mésolithiques des lagomorphes du secteur entrée de la Balma de l'Abeurador (Félines Minervois, Hérault)" en BRUGAL, J. P. y DESSE, J. (2004) *Petits Animaux et Sociétés Humaines. Du complément alimentaire aux ressources utilitaires*. XXIVe rencontres internationales d'archéologie et d'histoire d'Antibes. Éditions APDCA, Antibes.

BUIKSTRA, J., CASTRO, P., CHAPMAN, R., GALE, N., GONZÁLEZ MARCÉN, P., GRANT, A., JONES, M., LULL, V., PICAZO, M., RISCH, R., SANAHUJA, M. E. y STOS FALE, S. (1991), "Proyecto Gatas, II Fase: Informe preliminar del estudio de los materiales", *Anuario Arqueológico de Andalucía 1989*, tomo II: 214-218.

BUIKSTRA, J., CASTRO, P., CHAPMAN, R., GONZÁLEZ MARCÉN, P., HOSHOWER, L., LULL, V., RISCH, R. y SANAHUJA, M. E. (1992), "La necrópolis de Gatas", *Anuario Arqueológico de Andalucía 1990*, tomo II: 261-276.

BRUGAL, J. P. (2006), "Petit gibier et fonction de sites au Paléolithique supérieur: Les ensembles fauniques de la Grotte d'Anecrial (Porto de Mos, Estremadure, Portugal)". *Paleo*, 18. 45-68.

BRUGAL, J. P. y DESSE, J. (2004), *Petits Animaux et Sociétés Humaines. Du complément alimentaire aux ressources utilitaires*. XXIVe rencontres internationales d'archéologie et d'histoire d'Antibes. Éditions APDCA, Antibes.

CALLOU, C. (1997), "Diagnose différentielle des principaux éléments squelettiques du Lapin (genre *Oryctolagus*) et du Lièvre (genre *Lepus*) en Europe Occidentale." *Fiches d'ostéologie animale pour l'archéologie*, Série B. CRA-CNRS, APDCA, Juan-les-Pins, 24 p.

CALLOU, C. (2003), *De la garenne au clapier. Étude archéozoologique du lapin en Europe occidentale*. Paris. Editions du Muséum.

CÁMARA, J. A., RIQUELME, J. A., PÉREZ, C., LIZCAINO, R., BURGOS, A. y TORRES, F. (2010), Sacrificio de animales y ritual en el polideportivo de Martos-La Alberquilla (Martos, Jaén), *Cuadernos de prehistoria y arqueología de Granada* 20, 295-327.

CÁMARA, J. A., SÁNCHEZ, R., LAFFRANCHI, Z., MARTÍN, S., RIQUELME, J. A., SPANEDDA, L., GARCÍA, M. F., GONZÁLEZ, A., JIMÉNEZ, S. A. y NICÁS, J. (2012), La cronología y variedad de los sistemas funerarios en Marroquíes (Jaén). Una aproximación desde las excavaciones del sistema tranviario, *Saguntum (P.L.A.V.)* 44: 47-66.

CASTRO MARTÍNEZ, P. V. (1992), *La península Ibérica entre 1600-900 cal ANE - una situación histórica entre dos mitos: del Argar a Tartesos*, Tesis Doctoral de la Universitat Autònoma de Barcelona, Barcelona.

CASTRO, P., CHAPMAN, R., GONZÁLEZ MARCÉN, P., LULL, V., PICAZO, M., RISCH, R. y SANAHUJA, M. E. (1990), "Proyecto Gatas (Turre, Almería). IIIª Campaña 1987", *Anuario Arqueológico de Andalucía 1987*, tomo II: 225-231.

CASTRO, P., CHAPMAN, R., GONZÁLEZ MARCÉN, P., LULL, V., PICAZO, M., RISCH, R. y SANAHUJA, M. E. (1991), "Informe preliminar de la tercera campaña de excavaciones en el yacimiento de Gatas (Turre, Almería). Septiembre 1989", *Anuario Arqueológico de Andalucía 1989*, tomo II: 219-226.

CASTRO, P., COLOMER, E., CHAPMAN, R., GILI, S., GONZÁLEZ MARCÉN, P., LULL, V., MICÓ, R., MONTÓN, S., RISCH, R., RUIZ, M., SANAHUJA, M. E. y TENAS, M. (1992), "Gatas. Sociedad y economía en el Sudeste de España c. 2500-800 ane", AA.VV., *Investigaciones arqueológicas en Andalucía 1985-1992. Proyectos*, Junta de Andalucía, Huelva: 401-416.

CASTRO, P., CHAPMAN, R., GONZÁLEZ MARCÉN, P., LULL, V., MICÓ, R., RISCH, R., RUIZ, M. y SANAHUJA, M. E. (1993), "4ª campaña de excavaciones en el yacimiento de Gatas (Turre, Almería)", *Anuario Arqueológico de Andalucía 1991*, tomo I: 17-23.

CASTRO, P., CHAPMAN, R., GILI, S., LULL, V., MICÓ, R., RIHUETE, C. RISCH, R. y SANAHUJA, M.E. (1993-94), "Tiempos sociales de los contextos funerarios argáricos", *AnMurcia*, 9-10: 77-105.

CASTRO, P., COLOMER, E., COURTY, M. A., FEDEROFF, N., GILI, S., GONZÁLEZ MARCÉN, P., JONES, M. K., LULL, V., MCGLADE, J., MICÓ, R., MONTÓN, S., RIHUETE, C., RISCH, R., RUIZ PARRA, M., SANAHUJA, M.E. y TENAS, M. (1994a), *Temporalities and desertification in the Vera Basin, south east Spain*, Archaeomedes Project, Vol. 2, Bruselas.

CASTRO, P., CHAPMAN, R., COLOMER, E., GILI, S., GONZÁLEZ MARCÉN, P., LULL, V., MICÓ, R., MONTÓN, S., RIHUETE, C., RISCH, R., RUIZ PARRA, M., SANAHUJA, M.E. y TENAS, M. (eds.) (1994b), *Proyecto Gatas. Memoria de los trabajos realizados entre 1985 y 1991* (VI volúmenes), Memoria de Proyecto de investigación presentada en la Dirección General de Bienes Culturales de la Consejería de Cultura y Medio Ambiente de la Junta de Andalucía, Sevilla.

CASTRO, P., GONZÁLEZ MARCÉN, P. y LULL, V. (e.p. - manuscrito entregado el año 1992), "Cronología y tiempo de los grupos arqueológicos en el sudeste de la Península Ibérica (c. 3000-1000 cal ANE)", **Cuadernos de Prehistoria de la Universidad de Granada** 1991-1992.

CASTRO, P., COLOMER, E., GILI, S., GONZÁLEZ MARCÉN, P., LULL, V., MICÓ, R., MONTÓN, S., OLMO, L., RIHUETE, C., RISCH, R., RUIZ PARRA, M., SANAHUJA, M.E., TENAS, M. y STRYDONCK, M. van (1995), "La serie radiocarbónica de Gatas (Turre, Almería): diacronía y fasificación del depósito arqueológico", *Anuario Arqueológico de Andalucía 1992*, II, Sevilla: 27-37.

CASTRO, P., LULL, V. y MICÓ, R. (1996), *Cronología de la prehistoria reciente de la Península Ibérica y Baleares (c. 2800-900)*, BAR Internacional Series, 652, Oxford.

CASTRO, P., CHAPMAN, R., GILI, S., LULL, V., MICÓ, R., RIHUETE, C., RISCH, R. y SANAHUJA, M. E. (eds.) (1998a), *Aguas Project. Paleoclimatic reconstruction and the dynamics of human settlement and land-use in the area of the middle Aguas (Almería) of the south-east of the Iberian Peninsula*, Publications of the European Commission: Science, Research and Development, Luxembourg.

CASTRO, P., GILI, S., LULL, V., MICÓ, R., RIHUETE, C., RISCH, R. y SANAHUJA, M. E. (1998b), "Teoría de la producción de la vida social: un análisis de los mecanismos de explotación en el sudeste peninsular (c. 3000-1550 cal ANE)", *Boletín de Antropología Americana*, 33: 25-77.

CASTRO, P., CHAPMAN, R., GILI, S., LULL, V., MICÓ, R., RIHUETE, C., RISCH, R. y SANAHUJA, M. E. (1999a), *Proyecto Gatas 2. La dinámica arqueoecológica de la ocupación prehistórica*. Junta de Andalucía, Consejería de Cultura, Sevilla.

CASTRO, P., CHAPMAN, R., GILI, S., LULL, V., MICÓ, R., RIHUETE, C., RISCH, R. y SANAHUJA, M. E. (1999b), "El yacimiento de Gatas (Turre) y la investigación de la sociedad argárica", *Axarquía*, 4: 6-39.

CASTRO, P., CHAPMAN, R., ESCORIZA, T., GILI, S., LULL, V., MICÓ, R., RIHUETE, C., RISCH, R. y SANAHUJA, M. E. (1999c), "5ª campaña de excavaciones en el yacimiento de Gatas (Turre, Almería). 1995", *Anuario Arqueológico de Andalucía 1995*, tomo II: 7-14.

CASTRO, P., CHAPMAN, R., ESCORIZA, T., LULL, V., MICÓ, R., RIHUETE, C., RISCH, R. y SANAHUJA, M. E. (2001), "La sociedad argárica a partir de los últimos estudios de los objetos arqueológicos de Gatas" *Anuario Arqueológico de Andalucía 1998* CD-ROM, tomo II: 9-20.

CASTRO, P., CHAPMAN, R., ESCORIZA, T., LULL, V., MICÓ, R., RIHUETE, C., RISCH, R. y SANAHUJA, M. E. (2004), "6ª campaña de excavaciones en Gatas. La Meseta Superior del cerro de los Castellones", *Anuario Arqueológico de Andalucía 2001*, 9-14.

CASTRO, P., CHAPMAN, R. W., ESCORIZA, T., FRENCH, C. A. I., LULL, V., MENASANCH de TOBARUELA, M., MICÓ, R., RIHUETE, C., RISCH, R., SANAHUJA, M. E., STIKA, H. P. y STRYDONCK, M. van (e. p.), "Avances en las líneas de investigación del "Proyecto Gatas". Estudio de materiales 2002-2003", *Anuario Arqueológico de Andalucía 2003*.

CASTRO, P., CHAPMAN, R., ESCORIZA, R., LULL, V., MICÓ, R., RIHUETE, C., RISCH, R. y SANAHUJA, M. E. (2007), "Estudio de los materiales de la campaña de excavaciones de 2001 en Gatas", *Anuario Arqueológico de Andalucía 2004*, 35-47.

CHAPMAN, R., LULL, V., PICAZO, M. y SANAHUJA, M. E. (1987a), "Avance de la prospección arqueológica en el yacimiento de Gatas (Turre, Almería). Septiembre-Octubre, 1985", *Anuario Arqueológico de Andalucía 1985*, II: 33-41.



CHAPMAN, R., LULL, V., PICAZO, M. y SANAHUJA, M. E. (1987b), "Informe preliminar de la 2ª campaña del proyecto Gatas (Turre, Almería)" *Anuario Arqueológico de Andalucía 1986*, III: 296-301.

CHAPMAN, R., LULL, V., PICAZO, M. y SANAHUJA, M. E. (1987c), *Proyecto Gatas. Sociedad y economía en el sudeste de España c. 2500-800 a.n.e. 1. La prospección Arqueoecológica*, B.A.R., International Series 348, Oxford.

CHAPMAN, R., LULL, V., PICAZO, M. y SANAHUJA, M. E. (1991), "The development of complex societies in S.E. Spain: the Gatas Project", en Waldren, W., Ensenyat, E. y Kennard, R. C. (ed.), *IInd Deya Conference of Prehistory- Recent Developments in Western Mediterranean Prehistory: Archaeological Techniques, Technology and Theory*, B.A.R. International Series 574, 237-249.

CRUZ-URIBE K. y KLEIN, R. G. (1998), Hyrax and Hare bones from modern south african eagle roosts and the detection of eagle involvement in fossil bone assemblages. *Journal of Archaeological Science*, 25 : 135-147.

COLLET, H., HAUZEUR, A. y LECH, J. "The prehistoric Flint mining complex at spiennes (Belgium) on the occasion of its discovery 140 years ago" en ALLARD, P., BOSTYN, F., GILIGNY, F. y LECH, J. (2006) *Flint Mining in Prehistoric Europe. Interpreting the archaeological records*. BAR International Series 1891: 41-77.

CONTRERAS, F., MORALES, A., PEÑA, L., ROBLEDO, B., RODRÍGUEZ ARIZA, M. O., SANZ, J. y TRANCHO, G. (1992), "Avance al estudio de los ecofactos del poblado de Peñalosa (Baños de la Encina, Jaén). Una aproximación a la reconstrucción medioambiental", *Anuario Arqueológico de Andalucía 1992*, tomo II: 263-274.

DAUGNORA, L. y THOMAS, R. (2005), Horse burials from Middle Lithuania: a paleopathological investigation. En DAVIES, J, FABIS, M., MAINLAND, I., RICHARDS, M. y THOMAS, R. (eds) *Diet and health in past animal populations. Current research and future directions*, 68-74.

DAVIDSON, I. y ESTÉVEZ, J. (1986), Problemas de Arqueotafonomía. Formación de yacimientos con fauna. *Quaderns*, 3, 67-84.

DELGADO-RAACK, S. (2008), *Prácticas económicas y gestión social de recursos (macro)líticos en la prehistoria reciente (III - I milenios ac) del mediterráneo occidental*, Tesis Doctoral de la Universitat Autònoma de Bellaterra, Bellaterra. Recurso electrónico <http://hdl.handle.net/10803/5528>.

DELGADO-RAACK, S. (2013), *Tecnotipología y distribución espacial del material macrolítico del Cerro de la Virgen de Orce (Granada). Campañas 1963-1970: Una aproximación paleoeconómica*, BAR International Series (June 15, 2013).

DRIESCH, A. von den (1972), Osteoarchäologische Untersuchungen auf der Iberischen Halbinsel, *Studien über frühe Tierknochenfunde von der Iberischen Halbinsel*, 3, Munich: 128-129.

DRIESCH, A. von den (1973), Nahrungsreste tierischer Herkunft aus einer tartessischen und einer spätbronzezeitlichen bis iberischen Siedlung in Südspanien, *Studien über frühe Tierknochenfunde von der Iberischen Halbinsel*, 4, Munich: 9-31.

DRIESCH, A. von den (1974), "Informe preliminar de los huesos animales del Corte 3 del Cerro de la Encina (Monachil, Granada)", en ARRIBAS A., PAREJA, E., MOLINA, F., ARTEAGA, O. y MOLINA FAJARDO, F., *Excavaciones en el poblado de la Edad del Bronce "Cerro de la Encina" Monachil (Granada) (el corte estratigráfico nº 3)*. Excavaciones Arqueológicas en España, 81, Madrid, 133-136, 151-157.

DRIESCH, A. von den (1979), Die tierischen Beigaben in den Gräben der Siedlung Cuesta del Negro bei Purullena, Granada. *Studien über frühe Tierknochenfunde von der Iberischen Halbinsel*, 6: 112-117.

DRIESCH A. von den y BOESSNECK, J. (1969), Die Fauna des Cabezo Redondo bei Villena (Prov. Alicante)". *Studien über frühe Tierknochenfunde von der Iberischen Halbinsel*, 1, Munich: 45-106.

DRIESCH A. von den y BOESSNECK, J. (1976), Die Fauna vom Castro do Zambujal, *Studien über frühe Tierknochenfunde von der Iberischen Halbinsel* 5, Munich.

DRIESCH, A. von den y BOESSNECK, J. (1980), Die Motillas von Azuer und Los Palacios (Prov. Ciudad Real), *Studien über frühe Tierknochenfunde von der Iberischen Halbinsel*, 7, Munich: 84-121.

DRIESCH, A. von den y BOESSNECK, J. (1980), Tierknochenfunde aus Sacaajos bei La Bañeza (Prov. León), *Studien über frühe Tierknochenfunde von der Iberischen Halbinsel*, 7, Munich: 122-159.

DRIESCH, A. von den, BOESSNECK, J., KOKABI, M. y SCHALFER, J. (1985), Tierknochenfunde aus der Bronzezeitlichen Höhsiedlung Fuente Álamo, Provinz Almeria, *Studien über frühe Tierknochenfunde von der Iberischen Halbinsel*, 9, Munich: 1-75.

DRIESCH, A. von den y MORALES, A. (1977), "Los restos animales del yacimiento de Terrera Ventura (Tabernas, Almería)", *Cuadernos de Prehistoria y Arqueología de la Universidad Autónoma de Madrid*, 4: 15-34.

EFREMOV, J. A. (1940), Taphonomy: New branch of paleontology. Pan American.

ESTÉVEZ, J. (2000), Aproximación dialéctica a la arqueotafonomía. *RAMPAS*, 3, 7-28.

ESTÉVEZ, J. y MAMELI, L. (2000), Muerte en el Canal: experiencias bioestratinómicas controladas sobre la acción sustractora de Cánidos. *Archaeofauna* 9, 7-16.

FERNÁNDEZ LÓPEZ, S. (1995), Tafonomía y fosilización. En *tratado de Paleontología* (ed.) Meléndez.

FERNÁNDEZ-MIRANDA, M. (1992), Recursos naturales y desarrollo cultural durante el Calcolítico en la Cuenca de Vera (Almería) en *Elefantes, ciervos y ovicaprinos: economía y aprovechamiento del medio en la Prehistoria de España y Portugal*, coord. por José Alfonso Moure Romanillo, 1992, ISBN 84-8102-001-X, 243-252.

FRIESCH, K. (1987), Die Tierknochenfunde von Cerro de la Encina bei Monachil, Provinz Granada, (Grabungen 1977-1984), *Studien über frühe Tierknochenfunde von der Iberischen Halbinsel* 11, Munich.

GONZÁLEZ MARCÉN, P. (1991), *Cronología del Grupo Argárico. Ensayo de fasificación radiométrica a partir de la curva de calibración de Alta Precisión*, Tesis de la Universitat Autònoma de Barcelona, Bellaterra.

GONZÁLEZ MARCÉN, P. (1994), "Cronología del Grupo Argárico", *Revista d'Arqueologia de Ponent* (4): 7-46.

GRANT, A. (1994), Los restos faunísticos de los sondeos de Gatas: conservación y representatividad de la muestra. Análisis de la paleofauna de Gatas, en CASTRO MARTÍNEZ, P. V.; CHAPMAN, R. W.; COLOMER, E.; GILI I SURIÑACH, S.; GONZÁLEZ MARCÉN, P.; LULL, V., MICÓ, R.; MONTÓN SUBÍAS, S.; RIHUETE HERRADA, C.; RISCH, R.; RUIZ PARRA, M.; SANAHUJA YLL, M. E. y TENAS, M. (1994), *Proyecto Gatas: Sociedad y economía en el Sudeste de España c. 2500-900 cal ANE*. Memoria Científica depositada en la Dirección General de Bienes Culturales, Sevilla. Tomo II, 502-531.

GROTT, M. (2005), Paleopathological evidence for draught cattle on a Roman site in the Netherlands. En DAVIES, J, FABIS, M., MAINLAND, I., RICHARDS, M. y THOMAS, R. (eds) *Diet and health in past animal populations. Current research and future directions*, 52-58.

GUILLEM, P. y MARTÍNEZ VALLE, R., (1991), Estudio de la alimentación de las rapaces nocturnas aplicado a la interpretación del registro faunístico arqueológico. *Saguntum*, P.L.A.V., 24, 23-34.

HABERHMEL (1975), *Altersbestimmung bei Haus und Labortieren*, 2. Auflage, Berlín-Hamburg.

HAIN F. H. (1982), Kupferzeitliche Tierknochenfunde aus Valencina de la Concepción/Sevilla. *Studien über frühe Tierknochenfunde von der Iberischen Halbinsel* 8, Munich.

HARCOURT, R. A. (1974), The dog in prehistoric and early historic Britain. *Journal of Archaeological Science* 1, 151-175.

HEDGES, R. E. M., HOUSLEY, R. A., BRONK, C. R. y KLINKEN, G. J. van (1993), "Radiocarbon dates from the Oxford AMS System: *Archaeometry* Datelist 17", *Archaeometry*, 35, 2: 305-326.

HEDGES, R. E. M., HOUSLEY, R. A., BRONK, C. R. y KLINKEN, G. J. van (1992), "Radiocarbon dates from the Oxford AMS System: *Archaeometry* Datelist 15", *Archaeometry*, 34, 2: 337-357.

HELMER, D. (1992), *La Domestication des animaux par les hommes préhistoriques*, Paris, Masson, 184 p.

HELMER, D. y VIGNE, J.D. (2004), La gestion des caprinés domestiques dans le midi de la France, en BODU, P. y CONSTANTIN, C. (Dir.) : *Approches fonctionnelles en Préhistoire. Actes de XXVème colloque du Congrès Préhistorique de France, Nanterre, novembre 2000*, Paris, Société Préhistorique Française, 397-407.

HELMER, D., GOURICHON, L. y VILA, E. (2007), The development of the exploitation of products from Capra and Ovis (meat, milk and flece) from the PPNB to the Early Bronze in the northern Near East (8700 to 2000 BC cal.), *Anthropozoologica*, 42, 41-69.

HOCKETT, B. S. (1991), "Toward distinguishing human and raptor patterning of leporid bones" *American Antiquity*, 56 (4), 667-679.

HOCKETT, B. S. y HAWS, A. (2002), "Taphonomic and methodological perspectives of leporid hunting during the Upper Paleolithic of the Western Mediterranean Basin". *Journal of Archaeological Method and Theory*, vol. 9, nº 3, 269-302.

IBORRA ERES, P. y LÓPEZ GILA, M. D. (2011), "La ganadería y la caza", En PÉREZ, G., BERNABEU, J., CARRIÓN, Y., GARCÍA, O., MOLINA, LL. Y GÓMEZ, M. (eds.), *La Vital (Gandia, Valencia): Vida y muerte en la desembocadura del Serpis durante el III y el I milenio a. C.* Servicio de Investigación Prehistórica, Serie de trabajos varios, 113, 105-120.

IOANNIDOU, E. (2003), "Taphonomy of Animal Bones: Species, Sex, Age and Breed Variability of Sheep, Cattle and Pig Bone Density" *Journal of Archaeological Science* 30(3), 355-365.

JOHANNSEN, N. N. (2005), Paleopathology and Neolithic cattle traction: methodological issues and archaeological perspectives. En DAVIES, J, FABIS, M., MAINLAND, I., RICHARDS, M. y THOMAS, R. (eds) *Diet and health in past animal populations. Current research and future directions*, 39-51.

JONES, E. L. (2006), Prey choice, mass collecting, and the wild European rabbit (*Oryctolagus cuniculus*). *Journal of Anthropological Archaeology*, 25(3), 275-289.

JUAN CABANILLES, J. y MARTÍNEZ VALLE, R. (1988), "Las evidencias económicas: los restos de fauna". En J. Juan y R. Martínez: "Fuente Flores (Requena, Valencia). Nuevos datos sobre el poblamiento y la economía del Neoneolítico valenciano". *Archivo de Prehistoria Levantina*, XVIII, Valencia, 181-232.

KREUTZER, L. A. (1992), Bison and deer bone mineral densities: comparisons and implications for the interpretation of archaeological faunas. *Journal of Archaeological Science* 19, 271-294.

LAM, Y. M. y PEARSON, O. M. (2004), The fallibility of bone density values and their use in archaeological analyses. *Journal of Taphonomy* 2 (2) (2004), 99-115.

LAUK, H. (1976), Tierknochenfunde aus bronzezeitlichen Siedlungen bei Monachil und Purullena (Provinz Granada), *Studien über frühe Tierknochenfunde von der Iberischen Halbinsel* 6, Munich: 1-110.

LÓPEZ-GONZÁLEZ, F., GRANDAL d'ANGLADE, A. y VIDAL ROMANÍ, J. R. (1997), Análisis tafonómico de la muestra ósea de Liñares sur (Lugo, Galicia). *Caderno Lab. Xeolóxico de Laxe Coruña*, vol. 22 67-80.

LÓPEZ PADILLA, J. A. (2011) *Asta, hueso y marfil*. Artefactos óseos de la Edad del Bronce en el Levante y sureste de la Península Ibérica (c.2500-c.1300 cal BC). Museo arqueológico de Alicante. Serie mayor 9.

LULL, V.; MICÓ, R.; RIHUETE, C. y RISCH, R. (2004), "Las relaciones de propiedad en la sociedad argárica. Una aproximación a través del análisis de las tumbas de individuos infantiles", *Mainake*, XXVI, 233-272.

LULL, V.; MICÓ, R.; RIHUETE, C. y RISCH, R. (2005), "Property relations in the Bronze Age of southwestern Europe: An archaeological analysis of infant burials from El Argar (Almería, Spain)" *Proceedings of the Prehistoric Society* 71, 247-268.

LULL, V.; MICÓ, R.; RIHUETE, C. y RISCH, R. (2009), "El yacimiento arqueológico de La Bastida (Totana): pasado y presente de las investigaciones" *Cuadernos de La Santa* 11, 205-217.

LULL, V.; MICÓ, R.; RIHUETE, C. y RISCH, R. (2009), *Memoria de actuaciones 2008-2009. Convenio de colaboración entre el Ayuntamiento de Totana y la Universidad Autónoma de Barcelona*.

LULL, V., MICÓ, R., RIHUETE, C. y RISCH, R. (2009), "El Argar: la formación de una sociedad de clases", Los confines del Argar. Una cultura de la Edad del Bronce en Alicante, (Hernández Pérez, M. S., Soler Díaz, J. A. y López Padilla, J. A. eds.) MARQ Museo Arqueológico de Alicante Alicante, 224-245.

LULL, V.; MICÓ, R.; RIHUETE, C. y RISCH, R. (2010), "Las relaciones políticas y económicas de El Argar". *MENGA - Revista de Prehistoria de Andalucía* 1, 11-35. ISSN 2172-6175.

LULL, V.; MICÓ, R.; RIHUETE, C. y RISCH, R. (2010), "The economic and political relations of El Argar". *MENGA - Revista de Prehistoria de Andalucía* 1, 212-224. ISSN 2172-6175.

LULL, V.; MICÓ, R.; RIHUETE, C. y RISCH, R. (2010), *Proyecto La Bastida. Memoria de actuaciones 2009*.

LULL, V.; MICÓ, R.; RIHUETE, C. y RISCH, R. (2011), *Proyecto La Bastida. Memoria de Actuaciones 2010*.

LULL, V.; MICÓ, R.; RIHUETE, C. y RISCH, R. (2012), "Proyecto La Bastida": economía, urbanismo y territorio de una capital argárica, *Verdolay* 13, 57-70.

LULL, V.; MICÓ, R.; RIHUETE, C. y RISCH, R. (2012), *Proyecto La Bastida. Memoria de Actuaciones 2011*.

LULL, V.; MICÓ, R.; RIHUETE, C. y RISCH, R. (2013), "La fortificación de La Bastida y los orígenes de la violencia militarizada en Europa" *Cuadernos de La Santa*, 247-254.

LULL, V.; MICÓ, R.; RIHUETE, C. y RISCH, R. (2013), "Funerary practices and kinship in an Early Bronze Age Society: a Bayesian approach applied to the radiocarbon dating of Argaric double tombs" *Journal of Archaeological Science* 40, 4626-4634.

LULL, V.; MICÓ, R.; RIHUETE, C. y RISCH, R. (2013), *Proyecto La Bastida. Memoria de Actuaciones 2012*.

LULL, V.; MICÓ, R.; RIHUETE, C. y RISCH, R. (2013), *Proyecto La Bastida. Memoria de Actuaciones 2013*

LULL, V.; MICÓ, R.; RIHUETE, C. y RISCH, R. (2014), "La Bastida fortification system: new light and new questions on the Early Bronze Age societies in the Western Mediterranean" *Antiquity* 88, 395-410.

LYMAN, R. L. (1984), "Bone density and differential survivorship of fossil clases". *Journal of Anthropological Archaeology* 3, 259-299.

LYMAN, R. L. (1985), Bone frequencies: differential transport, in situ destruction, and the MGUI. *Journal of Archaeological Science* 12, 221-236.

LYMAN, R. L. (1987). "Archaeofaunas and subsistence Studies: A Taphonomic Perspective", *Advances in Archaeological Method and Theory*, 10 : 249-337.

LYMAN, R. L. (1994), *Vertebrate taphonomy*. Cambridge University Press, Cambridge.

LLADÓ, E. (2009), Paleopatologies. Una proposta de sistematització i catalogació del registre arqueozoològic. Treball de Recerca de Tercer cicle (inèdit).

LLOVERAS, LL., MORENO-GARCÍA, M. y NADAL, J. (2009) "Butchery, Cooking and Human Consumption Marks on Rabbit (*Oryctolagus cuniculus*) Bones: An Experimental Study." *Journal of Taphonomy*, 7 Issue 2-3: 179-201.

LLOVERAS, LL., MORENO-GARCÍA, M. y NADAL, J. (2011) "Feeding the Foxes: An Experimental Study to Assess Their Taphonomic Signature on Leporid Remains". *International Journal of Osteoarchaeology*.

LLOVERAS, LL., MORENO-GARCÍA, M., NADAL, J., GARCIA-ARGÜELLES, P. y ESTRADA, A. (2011) "Aproximación experimental al procesado de carcasas de lepóridos durante el Epipaleolítico. El caso de la Balma del Gai (Moià, provincia de Barcelona, España)". En MORGADO, A., BAENA, J. y GARCÍA, D. (eds.) *La investigación experimental aplicada a la Arqueología*: 337-342.

LLOVERAS, LL., ALBIZURI, S., THOMAS, R., RISSECH, C., MORENO-GARCÍA, M., NADAL, J. y FERNÁNDEZ, M. (2012) "La paleopatología animal como indicador de la interacción entre comunidades humanas y faunísticas en las sociedades del pasado." En TURBÓN, D.; FAÑANAS, L.; RISSECH, C. Y ROSA, A. (eds.). *Biodiversidad humana y evolución*: 345-348.

- MAMELI, L. y ESTÉVEZ, J. (2001), Seguimiento tafonómico de carcasas de camélidos, ovinos y bovinos en Tierra del Fuego (Argentina) e implicaciones arqueológicas. *Xarma* 12-14, 1999-2001, 87-106.
- MANHART, H., VON DEN DRIESCH, A. y LIESAU, C. (2000), "Investigaciones arqueozoológicas en Fuente Álamo" en SCHUBART, H., PINGEL, H., ARTEAGA, O., *Fuente Álamo. Las excavaciones arqueológicas 1977-1991 en el poblado de la Edad del Bronce*. Arqueología Monografías, Junta de Andalucía, Consejería de Cultura, Sevilla, 223-240.
- MAREAN, C. W. (1991), Measuring the postdepositional destruction of bone in archaeological assemblages. *Journal of Archaeological Science* 18: 677-694.
- MARÍN-ARROYO, A. B. y MORENO-GARCÍA, M. (2014), "Taphonomy and archeological research: Recent approaches" *Quaternary International* 330 (2014) 1-2.
- MARÍN-ARROYO, A. B., MADGWICK, R., BRUGAL, J-P. y MORENO-GARCÍA, M. (2012), "New perspectives on Taphonomy", *International Journal of Osteoarchaeology* 22: 505-508.
- MAYS, S. A. (2005), Tuberculosis as a zoonotic disease in antiquity. En DAVIES, J, FABIS, M., MAINLAND, I., RICHARDS, M. y THOMAS, R. (eds) *Diet and health in past animal populations. Current research and future directions*, 52-58.
- MAREAN, C. W. (1991) Measuring the post-depositional destruction of bone in archaeological assemblages. *Journal of Archaeological Science* 18, 677-694.
- MARTÍNEZ VALLE, R. (1993), La fauna de vertebrados. En J. Bemabeu (dir.) *El III milenio ANE. en el País Valenciano. Los poblados de Jovades (Cocentaina, Alacant) y Arenal de la Costa (Ontinyent, Valencia)*. *Saguntum* (PLAV). 26, Universitat de Valencia. 123-151.
- MARTÍNEZ SÁNCHEZ, R. (2012), Cerdos, caprinos y náyades. Aproximación a la explotación ganadera y fluvial en el Guadalquivir entre el Neolítico y la edad del Cobre (3500-2200 A.N.E.). *SPAL* 22 (2013): 29-46. Recepción: 27 de enero de 2012 y aceptación: 14 de septiembre de 2012.
- MATEO SAURA, M. A. y VÁZQUEZ AUTÓN, J. M. (1991), "Los restos óseos de fauna del yacimiento argárico de Cobatillas la Vieja (Murcia)", *Verdolay*, 3, Murcia, pp. 33-36.
- MATEO SAURA, M. A. y VÁZQUEZ AUTÓN, J. M. (1992), "Los restos óseos de fauna del yacimiento argárico del Puntarrón Chico, Beniaján (Murcia)", *Trabajos de Prehistoria*, 49, pp. 357-364.
- MATOLCSI, J. (1970), Historische Erforschung der Körpergröße des Rindes auf Grund von ungarischem Knochenmaterial. *Zeitschrift für Tierzucht und Züchtungsbiologie*, 87, 89-137.
- MEADOW, R. (1999) The use of size index scaling techniques for research on archaeological collections from the Middle East. En BECKER, C., MANHART, H., PETERS, J. y SCHRIBLER, J. (eds.) *Historia Animalium ex Ossibus: festschrift für Angela von den Driesch*. Rahden/Westf: Verlag Marie Leidorf GMBH.

MIGUEL, F. J. de, PATON, D., CEREIJO, M. y MORENO, R. (1992), "Informe faunístico del yacimiento de "La Bastida de Totana" (Murcia) ", en GARCÍA LÓPEZ, M. M., La Bastida de Totana: materiales arqueológicos inéditos, Universidad de Murcia, Murcia, 185-210.

MILZ, H. (1986), *Die Tierknochenfunde aus drei argarzeitlichen Siedlungen in der Provinz Granada (Spanien)*, Studien über frühe Tierknochenfunde von der Iberischen Halbinsel 10, Munich.

MOLINA, F., CÁMARA, J.A., CAPEL, J, NÁJERA, T. Y SÁEZ, L (2004), Los Millares y la periodización de la prehistoria reciente del Sureste. Simposios de prehistoria de la Cueva de Nerja III. Las primeras sociedades metalúrgicas en Andalucía. Fundación Cueva de Nerja, 142-158.

MONTON, S. (1994), Inventario de los restos faunísticos de Gatas (Zona B y Zona C), apéndice XII en CASTRO MARTÍNEZ, P. V.; CHAPMAN, R. W.; COLOMER, E.; GILI I SURIÑACH, S.; GONZÁLEZ MARCÉN, P.; LULL, V., MICÓ, R.; MONTÓN SUBÍAS, S.; RIHUETE HERRADA, C.; RISCH, R.; RUIZ PARRA, M.; SANAHUJA YLL, M. E. y TENAS, M. (1994), *Proyecto Gatas: Sociedad y economía en el Sudeste de España* c. 2500-900 cal ANE. Memoria Científica depositada en la Dirección General de Bienes Culturales, Sevilla. Tomo IV: 1235-1325.

MONTÓN, S. (1999), Determinación osteológica. Primera aproximación al estado de la evidencia. En CASTRO *et alii* 1999, Proyecto Gatas 2. La dinámica arqueoecológica de la ocupación prehistórica. Monografías de la Junta de Andalucía, 320-324 y anexo II, apéndice 4.1.

MUNSON, P. J. (2000), Age-correlated differential destruction of bones and its effect on archaeological mortality profiles of domestic sheep and goats. *Journal of Archaeological Science* 27: 391-408.

NAVAS, E. (2004), "Análisis inicial de los restos faunísticos del yacimiento arqueológico de Los Millares (Santa Fe de Mondújar, Almería) en su contexto espacial", *@rqueología y Territorio*, 1, 37-49.

NOCETE, F., LIZCAINO, R., PERAMO, A. y GÓMEZ, E. (2010), "Emergence, collapse and continuity of the first political system in the Guadalquivir Basin from the fourth to the second millennium BC: The long-term sequence of Úbeda (Spain)", *Journal of Anthropological Archaeology* 29, 219-237.

NOVECOSKY, B. J. y POPKIN, P. R. W. (2005), "Canidae volume bone mineral density values: an application to sites in western Canada" *Journal of Archaeological Science*, 32, 11, November 2005, 1677-1690.

PAVAO, B. y STAHL, P.W. (1999), "Structural Density Assays of Leporid Skeletal Elements with Implications for Taphonomic, Actualistic and Archaeological Research". *Journal of Archaeological Science*, 26, 53-66.

PÉREZ RIPOLL, M. (1978), "Análisis faunístico de los restos óseos procedentes del poblado de la Edad del Bronce de Les Planetes". En A. González: Excavaciones en el poblado de la Edad del Bronce de Les Planetes, Mas d'En Serrans, Benassal (Castellón). *Cuadernos de Prehistoria y*



*Arqueología Castellonense*, 5, 238-241.

PÉREZ RIPOLL, M. (1990), La ganadería y la caza en Ereta del Pedregal (Navarrés, Valencia), *Archivo de Prehistoria Levantina XX*, 223-253.

PÉREZ RIPOLL, M. (1992), Marcas de carnicería, fracturas intencionadas y mordeduras de carnívoros en huesos prehistóricos del Mediterráneo español. Alicante, Instituto de cultura Juan Gil-Albert.

PÉREZ RIPOLL, M. (1993), Las marcas tafonómicas en huesos de lagomorfos. In: M. P. FUMANAL y J. BERNABEU (eds.) *Estudios sobre Cuaternario. Medios sedimentarios. Cambios ambientales. Hábitat humano*. Valencia, 227-231.

PÉREZ RIPOLL, M. (2004), "La consommation humaine des lapins pendant le Paléolithique Dans la région de Valencia (Espagne) et l'étude des niveaux gravétiens de La Cova de les Cendres (Alicante)" en BRUGAL, J. P. y DESSE, J. (2004) *Petits Animaux et Sociétés Humaines. Du complément alimentaire aux ressources utilitaires*. XXIVe rencontres internationales d'archéologie et d'histoire d'Antibes. Éditions APDCA, Antibes.

PÉREZ RIPOLL, M. (2006), "Caracterización de las fracturas antrópicas y sus tipologías en huesos de conejo procedentes de los niveles gravetienses de la Cova de les Cendres (Alicante)". *Munibe. Antropologia-Arkeologia*, 2005-2006, 57(1): 239-254. ISSN: 1132-2217.

PÉREZ RIPOLL, M. (2006b), "Estudio tafonómico de los huesos de conejo de Falguera." En GARCIA PUCHOL, O. y AURA TORTOSA, E. El Abric de la Falguera (Alcoi, Alacant): 8000 años de ocupación humana en la cabecera del río de Alcoi: 252-255. ISBN 84-89136-47-5.

PETERS, H. y UERPMANN, M. (1973), Tierknochenfunde aus der phönizischen Faktorei von Toscanos und anderen phönizisch beeinflussten Fundorten der Provinz Málaga in Süds Spanien, *Studien über frühe Tierknochenfunde von der Iberischen Halbinsel*, 4, Munich: 35-100.

PETERS, H. y DRIESCH, A. von (1990), Archäozoologische untersuchung der tierreste aus der kupferzeitlichen siedlung von Los Millares (Prov. Almeria), en Neolithische und Kupferzeitliche Tierknochenfunde aus Süds Spanien, *Studien über frühe Tierknochenfunde von der Iberischen Halbinsel*, 12, Munich: 51-109.

PUGSLEY, L. (2002), Exploitation Patterns: food utility and bone mineral density indices for wildand domestic pigs. Unpublished Ph.D. thesis, University of Cambridge.

PUIGSERVER HURTADO, A. (1992-1994), "Arqueología de la Edad del Bronce en Alicante: La Horna, Foia de la Perera y Lloma Redona", *Lucentum*, XI-XIII. 63-71.

RIQUELME, J. A. (1998), Contribución al estudio arqueofaunístico durante el Neolítico y la Edad del Cobre en las Cordilleras Béticas: el Yacimiento Arqueológico de Los Castillejos en Las Peñas de los Gitanos, Montefrío (Granada). Tesis Doctoral microfilmada. Universidad de Granada.

RIQUELME, J. A. (1990), "Aproximación al estudio faunístico del yacimiento arqueológico de acinipo, Ronda (Málaga)", *Cuadernos de Prehistoria de Granada* 14-15, 1989-1990, 181-207.

RIQUELME, J. A. (2010), Una aproximación a la utilización por el hombre de las especies animales documentadas en la Ciudad de la Justicia de Jaén, *Ciudad de la Justicia Jaén. Excavaciones Arqueológicas*, Consejería de Justicia y Administración Pública de la Junta de Andalucía, Sevilla, 117-133.

RIQUELME, J. A. (2011): "Informe sobre los restos óseos recuperados en la IAP 'El Corte Inglés' de Jaén", *Historia de un arroyo. De Marroquíes Bajos al Centro Comercial El Corte Inglés de Jaén* (J. L. Serrano, V. Portero y J. Cano), El Corte Inglés. Ámbito Cultural, Granada, pp. 310-331.

RISCH, R. (1995), *Recursos naturales y sistemas de producción en el Sudeste de la Península Ibérica entre 3000 y 1000 ANE*. Tesis Universitat Autònoma de Barcelona, Bellaterra. [www.tesisenxarxa.net/TDX-0507108-164458/](http://www.tesisenxarxa.net/TDX-0507108-164458/), Barcelona.

RISCH, R. y RUIZ PARRA, M. (1994), "Distribución y control territorial en el Sudeste de la Península Ibérica durante el tercer y segundo milenio a.n.e.", *Verdolay* 6, 77-87.

RIZO ANTÓN, C. (2009), *Ganadería y caza durante la edad del Bronce. Arqueozoología del Tabayá (Aspe, Alicante)*. Fundación municipal "Jose María Soler", Villena.

ROONEY, J. R. (1997), Equid paleopathology. *Journal of Equine Veterinary Science* 17 (8), 35-40.

ROTHSCHILD, B. M., MARTIN, L. D., LEV, G., BERCOVIER, H., BAR-GAL, G. K., GREENBLATT, C., DONOGUE, H., SPIGLEMAN, M. y BRITTAİN, D. (2001), Mycobacterium tuberculosis Complex DNA from an Extinct Bison Dated 17000 years before the Present. *Clinical Infectious Diseases*, 33: 305-311.

SANCHIS SERRA, A. (2000), "Los restos de *Oryctolagus cuniculus* en las tafocenosis de *Bubo bubo* y *Vulpes vulpes* y su aplicación a la caracterización del registro faunístico arqueológico." *Saguntum* (P. L. A. V.), 32. 31-50.

SANCHIS SERRA, A. y FERNÁNDEZ PERIS, J. (2008), Procesado y consumo antrópico de conejo en la Cova del Bolomor (Tavernes de la Vallidigna, Valencia). El nivel XVIIc (ca 350 ka). *Complutum*, 2008, Vol. 19 (1), 25-46.

SANCHIS, A. y SARRIÓN, I. (2004), "Restos de cánidos (*Canis familiaris ssp.*) en yacimientos valencianos de la edad del Bronce". *Archivo de prehistoria levantina*, Vol. XXV, 161-198.

SÁNCHEZ MESEGUER, J. L. y GALÁN SAULNIER, C. (2004), El "Cerro de la Encantada". En GARCIA HUERTA, M. R. Y MORALES HERVÁS, J. (coord.) *La Península Ibérica en el II Milenio a. C.: Poblados y Fortificaciones*. Servicio de publicaciones de la Universidad de Castilla-La Mancha, 114-172.

SANZ BRETON, J. L. y MORALES MUÑIZ, A. (1992), "Los restos faunísticos". En CONTRERAS, F., MORALES, A., PEÑA, L., ROBLEDO, B., RODRÍGUEZ ARIZA, M. O., SANZ, J. y TRANCHO, G. (1992), "Avance al estudio de los ecofactos del poblado de Peñalosa (Baños de la Encina, Jaén).

Una aproximación a la reconstrucción medioambiental”, Anuario Arqueológico de Andalucía 1992, tomo II: 223-237.

SANZ BRETÓN, J.L. y MORALES, A. (2000): “Los restos faunísticos”. En CONTRERAS, F., (Coord.), *Análisis histórico de las comunidades de la Edad del Bronce del Piedemonte meridional de Sierra Morena y Depresión Linares-Bailén*. Arqueología Monografías 10: Consejería de Cultura. Sevilla: 223-233.

SAÑA, M. (1999), *Arqueología de la domesticación animal. La gestión de los recursos animales en Tell Halula (Valle del Éufrates, Siria) de 8800 a 7000 B. P. T.A.P.O.*, vol. 1, UAB, Bellaterra, 1999, 239 pp.

SAÑA, M., BOGDANOVIC, I. y NAVARRETE, V. (2014), “*Taphonomic evaluation of the degree of historical representation of the faunal samples in anaerobic versus aerobic environments: the Neolithic site of La Draga (Banyoles, Spain)*”. *Quaternary International* 330, 72-87.

SARRIÓN, I. (1982), Clasificación de la fauna de la cueva Soterraña (Requena, Valencia). Yacimiento de la Edad del Bronce Valenciano. *Lapiaz*, 9, Valencia, 11-20.

SARRIÓN, I. (1998), “Clasificación preliminar de la fauna”. En PEDRO MICHÓ, M. J. de, *La Lloma de Betxí (Paterna, Valencia): un poblado de la Edad del Bronce*. Servicio de Investigación Prehistórica, Serie de trabajos varios, 94, 247-260.

SIMPSON, G. G. (1941), Large Pleistocene Felines of North America. *American Museum Novitates*, 1136, 1-27.

SIMPSON, G., R. A. y LEWONTIN, R. (1960), *Quantitative Zoology, revised edition*, New York, Harcourt, Brace and World.

SIRET, E. y SIRET, L. (1890), *Las primeras edades del metal en el sudeste de España. Resultados obtenidos en las excavaciones hechas por los autores desde 1881 a 1887*, Barcelona.

STEVANOVIC, O., JANECEK, M., CHRÓSZCZ, A. y MARKOVIC, N. “Joint diseases in animal Paleopathology: veterinary approach.” *Mac Vet Rev*, 38 (1): 5-12.

TEICHERT, M. (1969), “Osteometrische Untersuchungen zur Berechnung der Widderristhöhe bei vor- und frühgeschichtlichen Schweinen”. Berlin : Akademie-Verlag. (*Kühn-Archiv*; 83), 237-292.

TEICHERT, M. (1975), “Osteometrische Untersuchungen zur Berechnung der Widderristhöhe bei Schafen”. En Clason, A. T. (ed.) *Archaeozoological studies*. Amsterdam: Elsevier, 51-59.

TORMO CUÑAT, C. y PEDRO MICHÓ, M. J. de, (2013), “El registro de la fauna de dos yacimientos valencianos de la edad del Bronce: La Lloma de Betxí y L’Altet de Palau. Gestión del ganado, caza y distribución de los restos.” *Animals i arqueologia hui. I Jornades d’arqueozoologia*. Museu de Prehistòria de València, 257-264.

UERPMMANN, H.P. (1979), "Informe sobre los restos faunísticos del corte núm. 1", en ARRIBAS-MOLINA, "El poblado de los Castillejos en las Peñas de los Gitanos (Montefrío, Granada), Serie Monográfica, núm. 3, de *Cuadernos de Prehistoria y Arqueología de la Universidad de Granada*, 1979: 153-168.

VIGNE, J. D. (1988), *Les mammifères du Post-Glaciaire de Corse, étude archéozoologique*, Paris, CNRS, 337 p. (Supplément à Gallia Préhistoire, 26).

VIGNE, J. D. con la colaboración de BALASSE, M. (2004), "Accumulations de lagomorphes et de rongeurs dans les sites mésolithiques corso-sardes: origines taphonomiques, implications anthropologiques" en BRUGAL, J. P. y DESSE, J. (2004) *Petits Animaux et Sociétés Humaines. Du complément alimentaire aux ressources utilitaires*. XXIVe rencontres internationales d'archéologie et d'histoire d'Antibes. Éditions APDCA, Antibes.

VIGNE, J. D., MARINVAL-VIGNE, M. C., LANFRANCHI, F. y WEISS, M. C. (1981), Consommation du "lapin-rat" au Néolithique ancien méditerranéen, abri d'Araguina-Sennola, *Bulletin de la Société préhistorique française*, 78 (7), 222-224.

VIGNE, J. D. y HELMER, D. (1999), Nouvelles analyses sur les débuts de l'élevage dans le centre et l'ouest méditerranéen, en VAQUER J. (Dir.): *Le Néolithique du Nord -Ouest méditerranéen, Actes du XXIVe congrès préhistorique de France, Carcassonne, 1994*, Paris, Société préhistorique française, 129-146.

VIGNE, J.D. y HELMER, D. (2007), Was milk a «secondary product» in the Old World Neolithisation process. Its role in the domestication of cattle, sheep and goats, *Anthropozoologica*, 42, 9-40.

VIGNE, J. D. y MARINVAL-VIGNE, M. C. (1983), Méthode pour la mise en évidence de la consommation du petit gibier, in : J. Clutton- Brock, C. Grigson (eds), *Animals and Archaeology, 1. Hunters and their Prey (4th Int. Council for Archaeozoology, Londres, 1982)*, BAR Int. Series, 163, 239-242.

VIOLANT Y SIMORRA, R. (2001), *La vida pastoral al Pallars*. Biblioteca Ramón Violant i Simorra. Garsineu Edicions.

YRAVEDRA SÁINZ DE LOS TERREROS, J. (2006a), "Implicaciones tafonómicas del consumo de lagomorfos por búho real (*Bubo bubo*) en la interpretación de los yacimientos arqueológicos". *AnMurcia*, 22, 33-47.

YRAVEDRA SÁINZ DE LOS TERREROS, J. (2006b), *Tafonomía aplicada a zooarqueología*. UNED. Madrid.

YRAVEDRA SÁINZ DE LOS TERREROS, J. (2008), "Los lagomorfos como recursos alimenticios en Cueva Ambrosio (Almería, España)". *Zephyrus*, vol. LXII, 81-99.

ZIEGLER, R. (1990), Tierreste aus der prähistorischen siedlung von los Castillejos bei Montefrío (Prov. Granada), *Studien über frühe Tierknochenfunde von der Iberischen Halbinsel*, 12, Munich: 1-50.



## **Anexo 1. Relación de abreviaturas empleadas en este trabajo**



## LEYENDA DE CODIGOS DE BASE DE DATOS DE RESTOS FAUNÍSTICOS

YAC	Yacimiento-Año de campaña
ZONA	Zona o sector
CJTO	Conjunto
SCJTO	Subconjunto (estratigrafía)
AMB	Ámbito
FASE	Fase de ocupación
NIN	Número de inventario
HUE	Hueso
FR	Fragmento (E Epífisis, D Diáfisis/ P Proximal, M Medial, D Distal)
PAR	Parte anatómica
LAT	Lateralidad (I Izquierdo, D Derecho, ND no determinado)
ESP	Especie
SEX	Sexo (M Masculino, F Femenino, ND No determinado)
EF	Estado de fusión (F Fusionado, NF No fusionado, EDNF epífisis distal no fusionada, EPNF epífisis proximal no fusionada, PF proceso de fusión)
ED	Edad (FE Feto, IN Infantil, JU juvenil, SUBA Subadulto, AD Adulto, SE Senil)
ANY	Años, especificar intervalo de edad
DD	Desgaste dentario (S/N)
DD (Grant)	Categorización del desgaste dentario según artículo de Grant: a, b, c, d ...
EDL	Long. Máx. (Cuello a la parte superior de la corona)
RDA	anchura máx. (Cuello)
RDAP	anterior posterior del cuello
L/T	resultado de la relación (Long/anchura)
EDRD	Edad a partir de los restos dentarios (2 años, 2 meses...)
OBS. ED	Observaciones acerca de la edad
AA	Alteraciones antrópicas (S/N)
TRA	Trazas (S/N)
PT	Posición de las trazas
NT	Número de trazas (AG Agrupadas, DI Dispersas)
IT	Interpretación de las trazas (DP Despelleje, ESQ Descuartizamiento, DST/DM desarticulación y/o desmembramiento, DSC Descarnación, EV Evisceración...)
QUE	Quemado (S Sí, N No)
COL	Color quemado (NE Negro, GR Gris, BL Blanco, MA Marrón, HE Hervido)
PQ	Posición del Quemado (T Total, P Parcial // H Homogéneo, NH No Homogéneo)
FR	Fractura reciente (S/N)
FI	Fractura intencionada (S/N/ND No determinado)
PF	Posición de la fractura
TF	Tipo de fractura (TR Transversal, OB Oblicuo, ES Espiral, LO Longitudinal, IR irregular)
AN	Alteraciones naturales (S/N)
AAN	Agente de alteraciones naturales (AG Agua, RA Raíces, CA Carnívoros RO Roedores, SD Sedimento...)
PAN	Posición de alteraciones naturales
CNX	Conexión (articulaciones)
RM	Remontaje (cuando pertenecen al mismo hueso pero no se puede unir porque la fractura es antigua)
Nº IN	Número de individuo al que pertenecen diferentes restos por el RM y CNX
BIO	Biometría
LFR	Longitud del fragmento
PFR	Peso del fragmento
PAT	Patología (S/N)
OBS	Observaciones



## HUESO

AT	atlas	ID3	tercer incisivo decidual
AX	axis	IND	incisivo no determinado
C	canino	M1	primer molar
C 2+3	carpo 2+3	M2	segundo molar
C I	carpo I	M3	tercer molar
C II	carpo II	M4	cuarto molar
C III	carpo III	MAL	maleolar
C IV	carpo IV	MC	metacarpo
CAC	carpo accesorium	MC II, III, ...	metacarpo segundo, tercero ..
CAL	calcáneo	MD	mandíbula
CCEN	carpo central	MND	molar no determinado
CD	canino decidual	MP	metápodio no determinado
CENTQ	centroquartale	MT	metatarso
CINT	carpo intermedio	MT II, III, ...	metatarso segundo, tercero ..
CLA	clavícula	MX	maxilar
CR	cráneo	ND	no determinado
CRAD	carpo radial	P1	primer premolar
CST	costilla	P2	segundo premolar
CARUL	carpo ulnar	P3	tercer premolar
D	diente no determinado	P4	cuarto premolar
D1	primer decidual	PEL	pelvis
D2	segundo decidual	PND	premolares no determinados
D3	tercer decidual	PSES	pequeño sesamoides
D4	cuarto decidual	R	radio
DND	diente decidual no determinado	RO	rótula
E	escápula	SA	sacro
EST	esternón	T 2+3	tarso II+III
FA1	falange primera	T I	tarso I
FA2	falange segunda	T II	tarso II
FA3	falange tercera	T III	tarso III
FE	fémur	T IV	tarso IV
FI	fíbula	TA	talus
FND	falange no determinada	TCEN	tarso central
GSES	gran sesamoides	TI	tibia
HI	hioides	UL	ulna
HU	húmero	VCA	vértebra caudal
I1	primer incisivo	VCE	vértebra cervical
I2	segundo incisivo	VL	vértebra lumbar
I3	tercer incisivo	VND	vértebra no determinada
ID1	primer incisivo decidual	VT	vértebra torácica
ID2	segundo incisivo decidual		

En el caso de los incisivos, premolares y molares se indica si son

IN	inferior (MD)
SU	superior (MX)

## FRACCIÓN

### Huesos largos

CA	caput (FE)
DD	diáfisis distal
DM	diáfisis medial
DP	diáfisis proximal
ED	epífisis distal
EP	epífisis proximal

### Escápula

ART	articulación (cavidad glenoidea)
CO	cuello
COR	corpus
PC	proceso coronoide
SP	espina

### Pelvis

A	acetábulo
IL	ala iliaca
IS	isquion
PU	pubis
SIN	sínfisis

### Falanges

DF	diáfisis
ED	epífisis distal
EP	epífisis proximal

### Mandíbula

AN	ángulo
BR	rama ascendente
CON	cóndilo
COR	corpus
DIA	diastema
F.D.	fracción dentaria
PC	proceso coronoide
SIN	sínfisis

### Cráneo

BT	bullas timpánicas
COC	cóndilo occipital
CUE	cornamenta
FRO	frontal
IMX	intermaxilar
LA	lacrimal
MX	maxilar
NA	nasal
OC	occipital
OI	hueso incisivo
PAL	palatino
PAR	parietal
TEM	temporal
ZY	zigomático

### Costillas

AC	ángulo costal
ACC	articulación costo-condral
CA	cap
CC	cartílago costal
CO	cuello
COR	corpus
TC	tubérculo costal

### Vértebras

ARC	arco vertebral
ART	proceso articular
COR	cuerpo vertebral
FV	foramen vertebral
PT	proceso transversal
SP	proceso espinoso

### Esternón

AC	faceta articular clavícula
COR	corpus
M	manubrium
XP	proceso xifoideo

### Talus

DI	distal
MD	medial
PR	proximal

### Calcáneo

DI	distal
MD	medial
PR	proximal

### Restos dentarios

CO	corona
COL	cuello
AR	raíz

Los huesos del carpo, tarso, maleolar, rótula y sesamoideos se consideran una unidad. Su representación se indicará mediante una fracción ( ½, ¼, ...)

Para los restos no determinados a nivel anatómico se han utilizado las siguientes categorías de agrupación:

FOP	fragmento de hueso plano (E, PEL)
FOCR	fragmento de hueso de cráneo
DFOL	diáfisis de hueso largo no determinado
DFND	diáfisis no determinada

## PARTE

C	Cabeza (CUE+CR+MX+MD)
CIN	Cintura (E+PEL)
ED	Extremidad distal (MP+FND+SES+MAL+TARS+MT+CARP+MC+FA)
EA	Extremidad anterior (HU+R+UL)
EP	Extremidad posterior (FE+TI+FI+RO)
ND	No determinada
T	Tronco (CST+V+EST+CLA)

## ESPECIE

BOTA	<i>Bos taurus</i>	Buey
CAFA	<i>Canis familiares</i>	Perro
CALU	<i>Canis lupus</i>	Lobo
CAHI	<i>Capra hircus</i>	Cabra doméstica
CPPY	<i>Capra pyrenaica</i>	Cabra pirenaica
CEEL	<i>Cervus elaphus</i>	Ciervo
EQCA	<i>Equus caballus</i>	Caballo
FESY	<i>Felis silvestres</i>	Gato montés
LECA	<i>Lepus capensis</i>	Liebre
LYPA	<i>Lynx pardina</i>	Lince ibérico
ND	--	No determinada
OVCA	<i>Ovis / Capra</i>	Ovicáprido
ORCU	<i>Oryctolagus cuniculus</i>	Conejo
OVAR	<i>Ovis aries</i>	Oveja
SUDO	<i>Sus domesticus</i>	Cerdo
SUSC	<i>Sus scrofa</i>	Jabalí
VUVU	<i>Vulpes vulpes</i>	Zorro

## **Anexo 2. Variables cuantitativas e índices empleados en el análisis tafonómico**



Tabla A2.1. Variables cuantitativas e índices de densidad ósea por unidad mínima de análisis Gatas

UMA	AMB	SECT	Z	C	SC	DEF	LOC	NR (NRC) <sup>1</sup>	PES (g)	VOL SED (m3)	SUP (m2)	NR/m2	NR/m3	g/m2	g/m3
1	Ia-1	LM I	S1	5	A1	ROCD	ND	69 (8)	(14,25)	0,4	9,00	7,67	172,50	—	—
2	Ia-2	MS	1	2	A1	REL	ND	1	5,99	0,024	0,16	6,30	41,67	37,74	249,58
3	Ia-3	MS	4	15	A1	REL	ND	15	85,66	—	4,80	3,13	—	17,85	—
4	Ia-4	MS	4	20	A1	FOSA	INT	6	26,14	0,088	0,25	24,19	68,18	105,40	297,05
5	Ia-5	MS	5	3	A1	REL	ND	347	826,8	—	—	—	—	—	—
6	Ia-5	MS	5	4	A1	REL	ND	41	100,02	—	2,43	16,85	—	41,11	—
7	Ia-6	MS	19	15	A1	REL	ND	52	237,51	—	17,46	2,98	—	13,61	—
8	Ia-6	MS	19	15	A2	REL	ND	43	179,19	—	20,19	2,13	—	8,88	—
9	Ia-7	MS	24	1	A1	REL	ND	7	17,49	—	0,33	21,21	—	52,98	—
10	Ia-8	MS	26	1	A1	REL	ND	63	120,99	—	13,14	4,80	—	9,21	—
11	Ib-1	MS	4	18	B1	PISO	INT	2	9,67	—	2,04	0,98	—	4,74	—
12	Ib-2	MS	19	17	A1	SEPI	INT	52	112,16	—	3,01	17,29	—	37,29	—
13	Ib-2	MS	19	17	A2	SEPI	INT	431	1319,6	—	6,89	62,53	—	191,44	—
14	Ib-10	MS	18	1	A1	REL	ND	9	24,58	—	—	—	—	—	—
15	Ib-10	MS	18	2	A1	REL	ND	7	3,45	—	0,09	75,68	—	37,30	—
16	Ib-3	MS	19	18	A1	SEPI	ND	61	116,63	—	1,57	38,88	—	74,33	—
17	Ib-4	MS	4	13	A1	REL	ND	9	72,51	—	8,58	1,05	—	8,45	—
18	Ib-4	MS	4	13	A2	REL	ND	33	140,75	0,312	1,50	22,01	105,77	93,90	451,12
19	Ib-5	MS	15	2	A1	REL	ND	1	18,77	—	2,00	0,50	—	9,37	—
20	Ib-6	LM II	ZC	116	A1	DER	INT	56	163,37	0,88	6,00	9,33	63,64	27,23	185,65
21	Ib-6	LM II	ZC	116	A2	DER	INT	2	5,38	0,024	0,16	12,50	83,33	33,63	224,17
22	Ib-6	LM II	ZC	116	A3	DER	INT	11	22,41	0,12	1,30	8,46	91,67	17,24	186,75
23	Ib-7	LM II	ZC	216	A1	ROCD	ND	91	175,05	0,248	—	—	366,94	—	705,85
24	II-1	MS	19	7	A1	DER	INT	110	564,94	0,06	14,39	7,64	1833,33	39,26	9415,67
25	II-1	MS	19	7	A2	SEPI	INT	12	110,02	—	0,60	20,04	—	183,76	—
26	II-1	MS	19	7	A3	SEPI	INT	137	479,37	—	5,95	23,03	—	80,59	—
27	II-1	MS	19	7	A4	SEPI	INT	33	121,04	—	1,60	20,59	—	75,51	—
28	II-1	MS	19	7	A5	FOSA	INT	47	133,18	—	0,83	56,61	—	160,42	—
29	II-1	MS	19	7	B1	ACON	INT	2	—	—	10,59	0,19	—	—	—
30	II-2	MS	2	1	A1	REL	ND	14	45,33	—	2,13	6,56	—	21,24	—
31	II-2	MS	2	2	A2	REL	ND	22	34,54	—	0,24	92,17	—	144,70	—
32	II-2	MS	2	3	A1	REL	ND	111	208,43	—	1,46	75,87	—	142,46	—
33	II-3	MS	4	19	A1	REL	ND	3	12,41	—	0,88	3,40	—	14,08	—
34	II-4	MS	15	1	A1	REL	ND	11	57,22	—	1,62	6,78	—	35,26	—
35	II-5	MS	19	9	A1	REL	ND	2	1,83	—	—	—	—	—	—
36	II-6	MS	19	12	A1	REL	ND	11	23,34	—	4,18	2,63	—	5,59	—
37	II-7	MS	19	13	A1	REL	ND	9	47,17	—	1,84	4,90	—	25,69	—
38	II-8	MS	19	16	A1	REL	ND	61	158,4	—	2,94	20,75	—	53,88	—
39	II-9	LM II	ZC	307	A1	REL	ND	93	290,05	0,36	—	—	258,33	—	805,69
40	II-9	LM II	ZC	307	A2	REL	ND	31	83,49	—	—	—	—	—	—
41	II-10	LM II	ZB	14	A1	ERO	ND	55	—	—	—	—	—	—	—

<sup>1</sup> Cuando en la columna relativa al NR aparece una cifra entre paréntesis hace referencia al número de restos clasificados taxonómicamente (NRC). Únicamente en estos casos la variable del peso no hace referencia al total de los restos recuperados de esos subconjuntos, sino que corresponde al NRC. Esto se debe a que no hemos tenido acceso a los restos recuperados procedentes de los sondeos, y disponemos de los datos de los anteriores investigadores. Por esta razón no se han calculado los índices g/m2 y g/m3.

UMA	AMB	SECT	Z	C	SC	DEF	LOC	NR (NRC)	PES (g)	VOL SED (m3)	SUP (m2)	NR/m2	NR/m3	g/m2	g/m3
42	II-11	LS	S2	023	_	ROCD	ND	38 (7)	(65,93)	0,75	2,3	16,52	50,67	_	_
43	II-12	LS	S2	024	_	ROCD	ND	43 (8)	(57,63)	0,04	0,5	86,00	1075,00	_	_
44	Ila-1	LM II	ZB	28	A1	SEPI	INT	66	64,2	_	_	_	_	_	_
45	Ila-1	LM II	ZB	28	A2	ACON	INT	50	52,60	_	_	_	_	_	_
46	Ila-1	LM II	ZB	28	B1	PISO	INT	4	15,91	_	_	_	_	_	_
47	Ila-2	LM II	ZC	115	A1	DER	INT	48	113,76	0,32	_	_	150,00	_	355,50
48	Ila-2	LM II	ZC	115	A2	DER	INT	1	1,42	0,016	_	_	62,50	_	88,75
49	Ila-2	LM II	ZC	115	A3	SEPI	INT	12	33,95	0,016	_	_	750,00	_	2121,88
50	Ila-2	LM II	ZC	115	A4	SEPI	INT	35	23,27	0,048	_	_	729,17	_	484,79
51	Ila-2	LM II	ZC	115	B1/a	HOR CUP	INT	4	8,96	0,064	_	_	62,50	_	140,00
52	Ilb-1	LM II	ZB	20	A1	DER	INT	21	_	_	_	_	_	_	_
53	Ilb-1	LM II	ZB	20	A2	SEPI	INT	29	66,78	_	_	_	_	_	_
54	Ilb-1	LM II	S3	14	A1	SEPI	INT	2	_	0,5	3,00	0,67	4,00	_	_
55	Ilb-1	LM II	S3	14	A2	ACON	INT	2	_	0,06	1,85	1,08	33,33	_	_
56	Ilb-2	LM II	ZC	214	A1	SEPI	INT	127	506,03	0,256	_	_	496,09	_	1976,68
57	Ilb-3	LM II	ZC	114	A1	SEPI	EXT	133	461,78	0,008	_	_	16625,0	_	57722,5
58	Ilb-3	LM II	ZC	114	A2	ACON	EXT	124	372,40	0,232	_	_	534,48	_	1605,17
59	Ilb-4	LM II	ZC	314	A1	DER	EXT	59	297,66	0,376	_	_	156,91	_	791,65
60	Ilb-4	LM II	ZC	314	A2	DER	EXT	109	400,5	0,384	_	_	283,85	_	1042,97
61	III-1	LM II	ZB	15	A1	SEPI	INT	19	76,14	_	_	_	_	_	_
62	III-1	LM II	ZB	22	A1	DER	INT	1	9,42	_	_	_	_	_	_
63	III-1	LM II	ZB	22	A2	SEPI	INT	105	155,44	_	_	_	_	_	_
64	III-1	LM II	ZB	22	A3	SEPI	INT	1	_	_	_	_	_	_	_
65	III-1	LM II	S3	12	A1	DER	INT	74 (6)	(75,09)	0,82	5,00	14,8	90,24	_	_
66	III-1	LM II	S3	12	A2	SEPI	INT	20 (2)	(10,95)	0,52	4,80	4,17	38,46	_	_
67	III-2	LM II	ZC	112	A1	SEPI	ND	104	366,94	_	_	_	_	_	_
68	III-3	LM II	ZC	313	A1	DER	INT	50	121,09	0,136	_	_	367,65	_	890,37
69	III-3	LM II	ZC	313	A2	SEPI	INT	6	41,82	0,016	_	_	375,00	_	2613,75
70	IIIa-1	LM II	ZC	215	A1	DER	INT	16	74,19	0,088	_	_	181,82	_	843,07
71	IIIa-1	LM II	ZC	215	B2/a	HOR CUP	INT	28	54,03	0,12	_	_	233,33	_	450,25
72	IIIa-1	LM II	ZC	215	B2/c	HOR SOL	INT	4	15,99	0,224	_	_	17,86	_	71,38
73	IIIb-1	LM II	ZC	213	A1	ND	EXT	76	367,75	0,336	_	_	226,19	_	1094,49
74	IIIb-1	LM II	ZC	213	A2	DER	EXT	8	76,61	0,112	_	_	71,43	_	684,02
75	IIIb-1	LM II	ZC	213	A3	SEPI	EXT	37	83,73	0,2	_	_	185,00	_	418,65
76	IIIb-1	LM II	S3	6	A1	SEPI	EXT	16 (1)	(5,18)	0,14	1,30	12,31	114,29	_	_
77	IV-1	LM II	ZC	309	A1	DER	INT	13	22,69	0,16	_	_	81,25	_	141,81
78	IV-2	LM II	ZC	311	A1	DER	INT	125	358,62	0,376	_	_	332,45	_	953,78
79	IV-2	LM II	ZC	311	A2	SEPI	INT	35	98,04	0,168	_	_	208,33	_	583,57
80	IV-3	LM II	ZC	306	A1	DER	ND	265	931,52	1,48	_	_	179,05	_	629,41
81	IV-4	LM II	ZC	312	A1	DER	INT	112	539,55	0,44	_	_	254,55	_	1226,25
82	IV-4	LM II	ZC	312	A2	DER	INT	2	12,51	0,016	_	_	125,00	_	781,88
83	IVa-1	LM II	ZB	21	A1	DER	INT	9	28,62	_	_	_	_	_	_
84	IVa-1	LM II	ZB	21	A2	SEPI	INT	5	1,09	_	_	_	_	_	_
85	IVa-1	LM II	ZB	21	B8	ACON	INT	6	34,52	_	_	_	_	_	_
86	IVa-2	LM II	ZC	212	A1	SEPI	INT	139	582,93	0,768	13,00	10,69	180,99	44,84	759,02
87	IVa-3	LM II	ZC	111	A1	DER	EXT	20	108,83	_	_	_	_	_	_
88	IVa-3	LM II	ZC	111	A2	FRE	EXT	21	179,99	_	_	_	_	_	_
89	IVa-3	LM II	S3	4	A1	SEPI	EXT	69 (6)	(66,96)	0,24	1,10	62,72	287,50	_	_
90	IVa-3	LM II	S3	5	A1	ND	EXT	8 (1)	(0,79)	0,18	1,30	6,15	44,44	_	_

UMA	AMB	SECT	Z	C	SC	DEF	LOC	NR (NRC)	PES (g)	VOL SED (m3)	SUP (m2)	NR/m2	NR/m3	g/m2	g/m3
91	IVb-1	LM II	ZB	11	A1	DER	INT	27	42,18	–	–	–	–	–	–
92	IVb-1	LM II	ZB	11	A2	SEPI	INT	7	36,96	–	–	–	–	–	–
93	IVb-1	LM II	S3	11	A1	DER	INT	27 (1)	(0,63)	0,42	2,66	10,15	64,29	–	–
94	IVb-1	LM II	S3	11	A2	SEPI	INT	15 (6)	(39,09)	0,35	2,70	5,56	42,86	–	–
95	IVb-2	LM II	ZB	13	A1	DER	INT	163	312,79	–	–	–	–	–	–
96	IVb-2	LM II	ZB	13	A2	SEPI	INT	25	53,95	–	–	–	–	–	–
97	IVb-2	LM II	S3	18	A1	DER	INT	13	–	0,4	2,80	4,64	32,50	–	–
98	IVb-2	LM II	S3	18	A2	SEPI	INT	22 (1)	(7,38)	0,07	1,50	14,67	314,29	–	–
99	IVb-2	LM II	S3	18	A3	DER	INT	14	–	0,1	0,40	35,00	140,00	–	–
100	IVb-3	LM II	ZC	210	A1	SEPI	INT	1	9,19	–	–	–	–	–	–
101	IVb-3	LM II	ZC	210	A2	ND	INT	2	0,89	–	–	–	–	–	–
102	IVb-3	LM II	ZC	210	B4	CUBETA	INT	4	21,49	0,024	–	–	166,67	–	895,42
103	IVb-3	LM II	ZC	208	A1	DER	INT	218	899,02	–	–	–	–	–	–
104	IVb-3	LM II	ZC	208	B1	PISO	INT	7	95,56	–	–	–	–	–	–
105	IVb-3	LM II	ZC	209	A2	DER	INT	2	3,12	–	–	–	–	–	–
106	IVb-3	LM II	ZC	209	B1	MURO	INT	33	117,96	–	–	–	–	–	–
107	IVb-4	LM II	S3	3	A2	REL	INT	47 (7)	(47,8)	0,32	1,80	26,11	146,88	–	–
108	IVb-4	LM II	ZC	109	A1	SEPI	INT	1	0,12	0,096	–	–	10,42	–	1,25
109	IVb-4	LM II	ZC	109	B1	PISO	INT	74	188,37	–	–	–	–	–	–
110	IVb-5	LM II	ZC	310	A1	REL	INT	5	64,44	0,016	–	–	312,50	–	4027,50
111	IVb-5	LM II	ZC	310	A2	REL	INT	33	138,77	0,048	–	–	687,50	–	2891,04
112	IVb-6	LM II	ZC	211	A1	FRE	EXT	282	1106,23	0,888	–	–	317,57	–	1245,75
113	IVb-7	LM I	S1	4	A1	FRE	EXT	491 (61)	(581,45)	1,08	4,25	115,53	454,63	–	–
114	IVb-7	LM I	S1	4	A2	DER	EXT	30 (4)	(18,44)	0,08	0,22	136,36	375,00	–	–
115	IVb-8	LM I	S1	7	A1	REL	ND	74 (8)	(31,66)	0,07	1,10	67,27	1057,14	–	–
116	IVb-9	LS	S4	5	A1	ERO	ND	134 (7)	(16,08)	1,7	12,00	11,17	78,82	–	–



Tabla A2.2. NR, NRC y NRNC según unidad mínima interpretativa (UMI).

UMI	AMBITO	DEF	SECTOR	Z	C	SC	LOC	NR	NRC	NRC %	NRNC	NRNC %
1	Ia-1	ROCD	LM I	S1	5	A1	ND	69	24	34,78	45	65,22
2	Ia-2	REL	MS	1	2	A1	ND	1	0	0	1	100
3	Ia-3	REL	MS	4	15	A1	ND	15	11	73,33	4	26,67
4	Ia-4	FOSA	MS	4	20	A1	INT	6	1	16,67	5	83,33
5	Ia-5	REL	MS	5	3	A1	ND	347	161	46,4	186	53,6
6	Ia-5	REL	MS	5	4	A1	ND	41	24	58,54	17	41,46
7	Ia-6	REL	MS	19	15	A1 y A2	ND	95	57	60	38	40
8	Ia-7	REL	MS	24	1	A1	ND	7	2	28,57	5	71,43
9	Ia-8	REL	MS	26	1	A1	ND	63	23	36,51	40	63,49
10	Ib-1	PISO	MS	4	18	B1	INT	2	1	50	1	50
11	Ib-2	SEPI	MS	19	17	A1 y A2	INT	483	254	52,59	229	47,41
12	Ib-3	SEPI	MS	19	18	A1	ND	61	37	60,66	24	39,34
13	Ib-4	REL	MS	4	13	A1 y A2	ND	42	32	76,19	10	23,81
14	Ib-5	REL	MS	15	2	A1	ND	1	1	100	0	0
15	Ib-6	DER	LM II	ZC	116	A1, A2 y A3	INT	69	45	65,22	24	34,78
16	Ib-7	ROCD	LM II	ZC	216	A1	ND	91	62	68,13	29	31,87
17	Ib-10	REL	MS	18	1	A1	ND	9	3	33,33	6	66,67
18	Ib-10	REL	MS	18	2	A1	ND	7	3	42,86	4	57,14
19	II-1	DER	MS	19	7	A1	INT	110	68	61,82	42	38,18
20	II-1	SEPI	MS	19	7	A2, A3, A4	INT	182	115	63,19	67	36,81
21	II-1	FOSA	MS	19	7	A5	INT	47	28	59,57	19	40,43
22	II-2	REL	MS	2	1	A1	ND	14	9	64,29	5	35,71
23	II-2	REL	MS	2	2	A2	ND	22	15	68,18	7	31,82
24	II-2	REL	MS	2	3	A1	ND	111	47	42,34	64	57,66
25	II-3	REL	MS	4	19	A1	ND	3	2	66,67	1	33,33
26	II-4	REL	MS	15	1	A1	ND	11	9	81,82	2	18,18
27	II-5	REL	MS	19	9	A1	ND	2	0	0	2	100
28	II-6	REL	MS	19	12	A1	ND	11	4	36,36	7	63,64
29	II-7	REL	MS	19	13	A1	ND	9	7	77,78	2	22,22
30	II-8	REL	MS	19	16	A1	ND	61	36	59,01	25	40,98
31	II-9	REL	LM II	ZC	307	A1 y A2	ND	124	63	50,81	61	49,19
32	II-10	ERO	LM II	ZB	14	A1	ND	55	22	40	33	60
33	II-11	ROCD	LS	S2	23	_	EXT	38	7	18,42	31	81,58
34	II-12	ROCD	LS	S2	24	_	EXT	43	9	20,93	34	79,07
35	Ila-1	SEPI	LM II	ZB	28	A1	ND	66	26	39,39	40	60,61
36	Ila-1	ACON	LM II	ZB	28	A2	ND	50	19	38	31	62
37	Ila-2	DER	LM II	ZC	115	A1 y A2	INT	50	21	42	29	58
38	Ila-2	SEPI	LM II	ZC	115	A3 y A4	INT	47	30	63,83	17	36,17
39	Iib-1	DER	LM II	ZB	20	A1	INT	21	10	47,62	11	52,38
40	Iib-1	SEPI	LM II	ZB y S3	20 y 14	A2 y A1	INT	31	21	67,74	10	32,26
41	Iib-1	ACON	LM II	S3	14	A2	INT	2	1	50	1	50
42	Iib-2	SEPI	LM II	ZC	214	A1	INT	127	89	70,07	38	29,92
43	Iib-3	SEPI	LM II	ZC	114	A1	EXT	133	76	57,14	57	42,86
44	Iib-3	ACON	LM II	ZC	114	A2	EXT	124	92	74,19	32	25,81
45	Iib-4	DER	LM II	ZC	314	A1 y A2	EXT	170	101	59,41	69	40,59
46	III-1	DER	LM II	ZB y S3	22 y 12	A1 y A1	INT	75	30	40	45	60
47	III-1	SEPI	LM II	ZB y S3	15, 22 y 12	A1; A2 y A3; A2	INT	146	71	48,63	75	51,37
48	III-2	SEPI	LM II	ZC	112	A1	ND	104	39	37,5	65	62,5
49	III-3	DER	LM II	ZC	313	A1	INT	50	25	50	25	50
50	III-3	SEPI	LM II	ZC	313	A2	INT	6	5	83,33	1	16,67

UMI	AMBITO	DEF	SECTOR	Z	C	SC	LOC	NR	NRC	NRC %	NRNC	NRNC %
51	IIIa-1	DER	LM II	ZC	215	A1	INT	16	10	62,5	6	37,5
52	IIIa-1	HOR CUP	LM II	ZC	215	B2a	INT	28	14	50	14	50
53	IIIa-1	HOR SOL	LM II	ZC	215	B2c	INT	4	3	75	1	25
54	IIIb-1	DER	LM II	ZC y S3	213 y 6	A1, A2, A3 y A1	EXT	121	76	62,81	45	37,19
55	IV-1	DER	LM II	ZC	309	A1	INT	13	7	53,85	6	46,15
56	IV-2	DER	LM II	ZC	311	A1	INT	125	87	69,6	38	30,4
57	IV-2	SEPI	LM II	ZC	311	A2	INT	35	29	82,86	6	17,14
58	IV-3	DER	LM II	ZC	306	A1	ND	265	180	67,92	85	32,08
59	IV-4	DER	LM II	ZC	312	A1 y A2	INT	114	79	69,3	35	30,7
60	IVa-1	DER	LM II	ZB	21	A1	INT	9	8	88,89	1	11,11
61	IVa-1	SEPI	LM II	ZB	21	A2	INT	5	2	40	3	60
62	IVa-1	ACON	LM II	ZB	21	B8	INT	6	3	50	3	50
63	IVa-2	SEPI	LM II	ZC	212	A1	INT	139	115	82,73	24	17,27
64	IVa-3	DER	LM II	ZC	111	A1	EXT	20	14	70	6	30
65	IVa-3	FRE	LM II	ZC	111	A2	EXT	21	16	76,19	5	23,81
66	IVa-3	SEPI	LM II	S3	4	A1	EXT	69	18	26,09	51	73,91
67	IVa-3	ND	LM II	S3	5	A1	EXT	8	3	37,5	5	62,5
68	IVb-1	DER	LM II	ZB y S3	11 y 11	A1 y A1	INT	54	26	48,15	28	51,85
69	IVb-1	SEPI	LM II	ZB y S3	11 y 11	A2 y A2	INT	22	12	54,55	10	45,45
70	IVb-2	DER	LM II	ZB y S3	13 y 18	A1; A1 y A3	INT	190	99	52,1	91	47,89
71	IVb-2	SEPI	LM II	ZB y S3	13 y 18	A2 y A2	INT	47	17	36,17	30	63,83
72	IVb-3	DER	LM II	ZC	208 y 209	A1 y A2	INT	220	118	53,64	102	46,36
73	IVb-3	SEPI	LM II	ZC	210	A1	INT	1	1	100	0	0
74	IVb-3	PISO	LM II	ZC	208	B1	INT	7	7	100	0	0
75	IVb-3	CUB	LM II	ZC	210	B4	INT	4	4	100	0	0
76	IVb-3	ND	LM II	ZC	210	A2	INT	2	1	50	1	50
77	IVb-4	SEPI	LM II	ZC	109	A1	INT	1	1	100	0	0
78	IVb-4	PISO	LM II	ZC	109	B1	INT	74	48	64,86	26	35,14
79	IVb-4	REL	LM II	S3	3	A2	INT	47	22	46,81	25	53,19
80	IVb-5	REL	LM II	ZC	310	A1 y A2	INT	38	17	44,74	21	55,26
81	IVb-6	FRE	LM II	ZC	211	A1	EXT	283	212	74,91	71	25,09
82	IVb-7	DER	LM I	S1	4	A2	EXT	491	156	31,77	335	68,23
83	IVb-7	FRE	LM I	S1	4	A1	EXT	30	20	66,67	10	33,33
84	IVb-8	REL	LM I	S1	7	A1	ND	74	9	12,16	65	87,84
85	IVb-9	ERO	LS	S4	5	A1	ND	134	10	7,46	124	92,54

Tabla A2.3. NR y % de restos con alteraciones naturales por SC

AMB	Z	C	SC	DEF	NR	AN	AN %	AG	AG %	SOL	SOL %	ROD	ROD %	CON	CON %	DIS	DIS %	RA	RA %	VER	VER %	SED	SED %	RO	RO %	CAR	CAR %
la-1	S1	5	A1	ROCD	69	-	-	-	-	-	-	-	-	-	-	-	-	-	-	-	-	-	-	-	-	-	-
la-2	1	2	A1	REL	1	1	100	0	0	0	0	0	0	1	100	0	0	1	100	0	0	0	0	0	0	0	0
la-3	4	15	A1	REL	15	12	80	1	7	0	0	0	0	5	33	0	0	9	60	0	0	8	53	0	0	0	0
la-4	4	20	A1	FOSA	6	6	100	0	0	0	0	0	0	4	67	1	17	2	33	4	67	0	0	0	0	0	0
la-5	5	3	A1	REL	347	319	92	19	5	6	2	0	0	128	37	17	5	224	65	2	1	72	21	19	5	0	0
la-5	5	4	A1	REL	41	40	98	5	12	0	0	0	0	2	5	5	12	28	68	0	0	21	51	2	5	0	0
la-6	19	15	A1	REL	52	49	94	19	37	5	10	0	0	22	42	0	0	35	67	3	6	14	27	0	0	0	0
la-6	19	15	A2	REL	43	42	98	2	5	0	0	0	0	30	70	5	12	31	72	0	0	12	28	2	5	0	0
la-7	24	1	A1	REL	7	7	100	1	14	0	0	0	0	4	57	0	0	1	14	0	0	4	57	1	14	0	0
la-8	26	1	A1	REL	63	51	81	4	6	0	0	0	0	0	0	0	0	0	0	6	10	42	67	0	0	0	0
lb-1	4	18	B1	PISO	2	2	100	0	0	0	0	0	0	0	0	0	0	2	100	0	0	1	50	0	0	0	0
lb-2	19	17	A1	SEPI	52	45	87	6	12	1	2	0	0	17	33	4	8	18	35	15	29	5	10	3	6	0	0
lb-2	19	17	A2	SEPI	431	357	83	41	10	8	2	0	0	105	24	33	8	166	39	97	23	48	11	25	6	2	0,5
lb-3	19	18	A1	SEPI	61	59	97	16	26	3	5	0	0	31	51	2	3	37	61	10	16	26	43	1	2	0	0
lb-4	4	13	A1	REL	9	9	100	4	44	0	0	1	11	4	44	0	0	1	11	6	67	1	11	1	11	0	0
lb-4	4	13	A2	REL	33	32	97	18	55	0	0	0	0	2	6	0	0	19	58	26	79	2	6	1	3	1	3
lb-5	15	2	A1	REL	1	1	100	1	100	0	0	0	0	0	0	1	100	1	100	0	0	0	0	0	0	0	0
lb-6	ZC	116	A1	DER	56	43	77	9	16	0	0	0	0	1	2	1	2	25	45	16	29	1	2	4	7	0	0
lb-6	ZC	116	A2	DER	2	2	100	0	0	0	0	0	0	0	0	0	0	1	50	2	100	0	0	0	0	0	0
lb-6	ZC	116	A3	DER	11	9	82	1	9	0	0	0	0	0	0	0	0	7	64	4	36	0	0	0	0	0	0
lb-7	ZC	216	A1	ROCD	91	84	92	13	14	0	0	0	0	6	7	3	3	50	55	31	34	8	9	8	9	0	0
lb-10	18	1	A1	REL	9	9	100	9	100	0	0	0	0	6	67	0	0	5	56	0	0	0	0	0	0	0	0
lb-10	18	2	A1	REL	7	7	100	5	71	0	0	0	0	3	43	0	0	3	43	0	0	3	43	0	0	0	0
II-1	19	7	A1	DER	110	106	96	31	28	0	0	0	0	54	49	14	13	38	35	43	39	8	7	15	14	0	0
II-1	19	7	A2	SEPI	12	11	92	0	0	0	0	0	0	8	67	1	8	3	25	3	25	0	0	0	0	0	0
II-1	19	7	A3	SEPI	137	128	93	22	16	0	0	0	0	56	41	14	10	42	31	51	37	12	9	12	9	0	0
II-1	19	7	A4	SEPI	33	31	94	3	9	0	0	0	0	11	33	1	3	8	24	13	39	5	15	6	18	0	0
II-1	19	7	A5	FOSA	47	44	94	11	23	0	0	0	0	16	34	3	6	25	53	14	30	1	2	2	4	0	0
II-1	19	7	B1	ACON	2	-	-	-	-	-	-	-	-	-	-	-	-	-	-	-	-	-	-	-	-	-	-

AMB	Z	C	SC	DEF	NR	AN	AN %	AG	AG %	SOL	SOL %	ROD	ROD %	CON	CON %	DIS	DIS %	RA	RA %	VER	VER %	SED	SED %	RO	RO %	CAR	CAR %
II-2	2	1	A1	REL	14	14	100	3	21	0	0	0	0	1	7	2	14	12	86	0	0	1	7	0	0	0	0
II-2	2	2	A2	REL	22	19	86	0	0	0	0	0	0	12	55	3	14	15	68	0	0	1	5	0	0	0	0
II-2	2	3	A1	REL	111	82	74	5	5	2	2	1	1	34	31	4	4	53	48	1	1	12	11	0	0	0	0
II-3	4	19	A1	REL	3	3	100	0	0	0	0	0	0	2	67	0	0	3	100	0	0	2	67	0	0	0	0
II-4	15	1	A1	REL	11	11	100	1	9	1	9	0	0	9	82	1	9	9	82	1	9	3	27	1	9	0	0
II-5	19	9	A1	REL	2	2	100	0	0	0	0	0	0	1	50	0	0	0	0	1	50	0	0	0	0	0	0
II-6	19	12	A1	REL	11	8	73	2	18	0	0	0	0	2	18	2	18	3	27	1	9	5	45	0	0	0	0
II-7	19	13	A1	REL	9	8	89	3	33	0	0	0	0	4	44	1	11	7	78	4	44	3	33	0	0	0	0
II-8	19	16	A1	REL	61	61	100	11	18	0	0	0	0	36	59	15	25	41	67	5	8	28	46	7	11	0	0
II-9	ZC	307	A1	REL	93	87	94	10	11	0	0	0	0	15	16	1	1	55	59	42	45	0	0	4	4	1	1
II-9	ZC	307	A2	REL	31	29	94	2	6	0	0	0	0	5	16	0	0	24	77	17	55	0	0	1	3	0	0
II-10	ZB	14	A1	ERO	55	-	-	-	-	-	-	-	-	-	-	-	-	-	-	-	-	-	-	-	-	-	-
II-11	LS	S2	23	ROCD	38	-	-	-	-	-	-	-	-	-	-	-	-	-	-	-	-	-	-	-	-	-	-
II-12	LS	S2	24	ROCD	43	-	-	-	-	-	-	-	-	-	-	-	-	-	-	-	-	-	-	-	-	-	-
Ila-1	ZB	28	A1	SEPI	66	47	71	3	5	0	0	0	0	5	8	0	0	30	45	31	47	0	0	2	3	0	0
Ila-1	ZB	28	A2	ACON	50	31	62	0	0	0	0	0	0	7	14	0	0	9	18	14	28	0	0	2	4	0	0
Ila-1	ZB	28	B1	PISO	4	4	100	1	25	0	0	0	0	0	0	0	0	2	50	2	50	0	0	1	25	0	0
Ila-2	ZC	115	A1	DER	48	46	96	6	13	0	0	0	0	0	0	0	0	35	73	36	75	1	2	3	6	0	0
Ila-2	ZC	115	A2	DER	1	1	100	1	100	0	0	0	0	0	0	1	100	1	100	0	0	0	0	0	0	0	0
Ila-2	ZC	115	A3	SEPI	12	12	100	0	0	0	0	0	0	0	0	0	0	8	67	11	92	0	0	0	0	0	0
Ila-2	ZC	115	A4	SEPI	35	26	74	3	9	1	3	0	0	1	3	2	6	19	54	15	43	2	6	4	11	0	0
Ila-2	ZC	115	B1/a	HOR CUP	4	-	-	-	-	-	-	-	-	-	-	-	-	-	-	-	-	-	-	-	-	-	-
Ilb-1	ZB	20	A1	DER	21	-	-	-	-	-	-	-	-	-	-	-	-	-	-	-	-	-	-	-	-	-	-
Ilb-1	ZB	20	A2	SEPI	29	22	76	2	7	1	3	0	0	4	14	0	0	12	41	14	48	0	0	0	0	0	0
Ilb-1	S3	14	A1	SEPI	2	-	-	-	-	-	-	-	-	-	-	-	-	-	-	-	-	-	-	-	-	-	-
Ilb-1	S3	14	A2	ACON	2	-	-	-	-	-	-	-	-	-	-	-	-	-	-	-	-	-	-	-	-	-	-
Ilb-2	ZC	214	A1	SEPI	127	73	57	9	7	0	0	0	0	19	15	1	1	27	21	25	20	0	0	2	2	1	1
Ilb-3	ZC	114	A1	SEPI	133	120	90	9	7	0	0	0	0	4	3	1	1	94	71	74	56	1	1	7	5	1	1
Ilb-3	ZC	114	A2	ACON	124	115	93	9	7	0	0	0	0	19	15	3	2	66	53	53	43	2	2	18	15	3	2
Ilb-4	ZC	314	A1	DER	59	56	95	6	10	0	0	0	0	2	3	1	2	47	80	35	59	0	0	1	2	1	2
Ilb-4	ZC	314	A2	DER	109	87	80	9	8	0	0	0	0	8	7	1	1	58	53	43	39	0	0	6	6	1	1

AMB	Z	C	SC	DEF	NR	AN	AN %	AG	AG %	SOL	SOL %	ROD	ROD %	CON	CON %	DIS	DIS %	RA	RA %	VER	VER %	SED	SED %	RO	RO %	CAR	CAR %
III-1	ZB	15	A1	SEPI	19	16	84	0	0	0	0	0	0	1	5	0	0	10	53	12	63	0	0	1	5	0	0
III-1	ZB	22	A1	DER	1	1	100	0	0	0	0	0	0	0	0	0	0	1	100	0	0	1	100	1	100	0	0
III-1	ZB	22	A2	SEPI	105	70	67	0	0	0	0	0	0	2	2	0	0	47	45	50	48	0	0	3	3	0	0
III-1	ZB	22	A3	SEPI	1	-	-	-	-	-	-	-	-	-	-	-	-	-	-	-	-	-	-	-	-	-	-
III-1	S3	12	A1	DER	74	-	-	-	-	-	-	-	-	-	-	-	-	-	-	-	-	-	-	-	-	-	-
III-1	S3	12	A2	SEPI	20	-	-	-	-	-	-	-	-	-	-	-	-	-	-	-	-	-	-	-	-	-	-
III-2	ZC	112	A1	SEPI	104	87	84	6	6	0	0	0	0	6	6	0	0	70	67	50	48	3	3	5	5	0	0
III-3	ZC	313	A1	DER	50	48	96	2	4	0	0	0	0	4	8	0	0	33	66	32	64	3	6	1	2	0	0
III-3	ZC	313	A2	SEPI	6	6	100	0	0	0	0	0	0	0	0	0	0	5	83	4	67	1	17	0	0	0	0
IIIa-1	ZC	215	A1	DER	16	14	88	0	0	0	0	0	0	1	6	0	0	6	38	9	56	4	25	0	0	0	0
IIIa-1	ZC	215	B2/a	HOR CUP	28	27	96	1	4	0	0	0	0	2	7	2	7	13	46	8	29	7	25	4	14	0	0
IIIa-1	ZC	215	B2/c	HOR SOL	4	4	100	0	0	0	0	0	0	0	0	0	0	3	75	3	75	1	25	0	0	0	0
IIIb-1	ZC	213	A1	ND	76	56	74	4	5	0	0	0	0	3	4	1	2	28	37	33	43	2	3	6	8	0	0
IIIb-1	ZC	213	A2	DER	8	7	88	0	0	0	0	0	0	2	25	0	0	2	25	7	88	0	0	0	0	0	0
IIIb-1	ZC	213	A3	SEPI	37	34	92	2	5	0	0	0	0	4	11	2	5	22	59	15	41	1	3	2	5	0	0
IIIb-1	S3	6	A1	SEPI	16	-	-	-	-	-	-	-	-	-	-	-	-	-	-	-	-	-	-	-	-	-	-
IV-1	ZC	309	A1	DER	13	12	92	0	0	0	0	0	0	0	0	0	0	10	77	5	38	0	0	0	0	0	0
IV-2	ZC	311	A1	DER	125	120	96	7	6	0	0	0	0	35	28	1	1	79	63	77	62	2	2	10	8	0	0
IV-2	ZC	311	A2	SEPI	35	32	91	0	0	0	0	0	0	5	14	0	0	23	66	16	46	1	3	2	6	0	0
IV-3	ZC	306	A1	DER	265	249	94	8	3	0	0	0	0	47	18	11	4	148	56	94	35	9	3	33	12	5	2
IV-4	ZC	312	A1	DER	112	105	94	9	8	0	0	0	0	18	16	5	4	77	69	44	39	5	4	6	5	1	1
IV-4	ZC	312	A2	DER	2	2	100	0	0	0	0	0	0	0	0	0	0	2	100	1	50	0	0	0	0	0	0
IVa-1	ZB	21	A1	DER	9	7	78	0	0	0	0	0	0	2	22	0	0	2	22	5	56	0	0	0	0	0	0
IVa-1	ZB	21	A2	SEPI	5	1	20	0	0	0	0	0	0	0	0	0	0	0	0	1	20	0	0	0	0	0	0
IVa-1	ZB	21	B8	ACON	6	6	100	0	0	0	0	0	0	2	33	0	0	4	67	2	33	0	0	0	0	0	0
IVa-2	ZC	212	A1	SEPI	139	133	96	20	14	0	0	0	0	33	24	1	1	28	20	67	48	6	4	9	6	2	1
IVa-3	ZC	111	A1	DER	20	17	85	0	0	0	0	0	0	6	30	0	0	9	45	6	30	0	0	2	10	0	0
IVa-3	ZC	111	A2	FRE	21	20	95	0	0	0	0	0	0	6	29	0	0	13	62	10	48	1	5	0	0	0	0
IVa-3	S3	4	A1	SEPI	69	-	-	-	-	-	-	-	-	-	-	-	-	-	-	-	-	-	-	-	-	-	-
IVa-3	S3	5	A1	ND	8	-	-	-	-	-	-	-	-	-	-	-	-	-	-	-	-	-	-	-	-	-	-
IVb-1	ZB	11	A1	DER	27	24	89	0	0	0	0	0	0	4	15	0	0	12	44	17	63	0	0	1	4	0	0

AMB	Z	C	SC	DEF	NR	AN	AN %	AG	AG %	SOL	SOL %	ROD	ROD %	CON	CON %	DIS	DIS %	RA	RA %	VER	VER %	SED	SED %	RO	RO %	CAR	CAR %	
IVb-1	ZB	11	A2	SEPI	7	7	100	0	0	0	0	0	0	0	0	0	0	6	86	2	29	0	0	0	0	1	14	
IVb-1	S3	11	A1	DER	27	-	-	-	-	-	-	-	-	-	-	-	-	-	-	-	-	-	-	-	-	-	-	
IVb-1	S3	11	A2	SEPI	15	-	-	-	-	-	-	-	-	-	-	-	-	-	-	-	-	-	-	-	-	-	-	
IVb-2	ZB	13	A1	DER	163	124	76	2	1	0	0	0	0	20	12	0	0	70	43	78	48	0	0	8	5	0	0	
IVb-2	ZB	13	A2	SEPI	25	14	56	0	0	0	0	0	0	2	8	0	0	7	28	9	36	1	4	1	4	0	0	
IVb-2	S3	18	A1	DER	13	-	-	-	-	-	-	-	-	-	-	-	-	-	-	-	-	-	-	-	-	-	-	
IVb-2	S3	18	A2	SEPI	22	-	-	-	-	-	-	-	-	-	-	-	-	-	-	-	-	-	-	-	-	-	-	
IVb-2	S3	18	A3	DER	14	-	-	-	-	-	-	-	-	-	-	-	-	-	-	-	-	-	-	-	-	-	-	
IVb-3	ZC	210	A1	SEPI	1	1	100	0	0	0	0	0	0	0	0	0	0	0	0	0	0	0	0	0	1	100	0	0
IVb-3	ZC	210	A2	ND	2	1	50	0	0	0	0	0	0	0	0	0	0	1	50	0	0	0	0	0	0	0	0	0
IVb-3	ZC	210	B4	CUB	4	4	100	0	0	0	0	0	0	1	25	0	0	0	0	3	75	0	0	0	0	0	0	0
IVb-3	ZC	208	A1	DER	218	109	50	2	1	0	0	0	0	40	18	0	0	54	25	38	17	1	0,5	8	4	1	0,5	
IVb-3	ZC	208	B1	PISO	7	5	71	1	14	0	0	0	0	3	43	0	0	0	0	1	14	0	0	0	0	0	0	0
IVb-3	ZC	209	A2	DER	2	2	100	0	0	0	0	0	0	1	50	0	0	1	50	1	50	0	0	0	0	0	0	0
IVb-3	ZC	209	B1	MURO	33	28	85	0	0	0	0	0	0	8	24	0	0	19	58	14	42	0	0	2	6	0	0	0
IVb-4	S3	3	A2	REL	47	-	-	-	-	-	-	-	-	-	-	-	-	-	-	-	-	-	-	-	-	-	-	-
IVb-4	ZC	109	A1	SEPI	1	0	0	0	0	0	0	0	0	0	0	0	0	0	0	0	0	0	0	0	0	0	0	0
IVb-4	ZC	109	B1	PISO	74	58	78	0	0	0	0	0	0	13	18	1	1	44	59	21	28	1	1	2	3	0	0	0
IVb-5	ZC	310	A1	REL	5	5	100	0	0	0	0	0	0	1	20	0	0	3	60	2	40	1	20	0	0	0	0	0
IVb-5	ZC	310	A2	REL	33	31	94	1	3	0	0	0	0	10	30	18	55	14	42	1	3	1	3	3	9	0	0	0
IVb-6	ZC	211	A1	FRE	282	246	87	44	16	0	0	0	0	99	35	2	1	17	6	92	33	14	5	17	6	4	1	
IVb-7	S1	4	A1	FRE	491	-	-	-	-	-	-	-	-	-	-	-	-	-	-	-	-	-	-	-	-	-	-	-
IVb-7	S1	4	A2	DER	30	-	-	-	-	-	-	-	-	-	-	-	-	-	-	-	-	-	-	-	-	-	-	-
IVb-8	S1	7	A1	REL	74	-	-	-	-	-	-	-	-	-	-	-	-	-	-	-	-	-	-	-	-	-	-	-
IVb-9	S4	5	A1	ERO	134	-	-	-	-	-	-	-	-	-	-	-	-	-	-	-	-	-	-	-	-	-	-	-

A2.4. NR, NRC y NRNC según unidad mínima de análisis en La Bastida

UMA	FASE	SF	AMBITO	SECTOR	Z	SC	DEF	LOC	NR	NRC	NRC %	NRNC	NRNC %
1	3	_	H1	PDM	Z1	1A1	INTRUSION	INT	20	15	75,00	5	25,00
2	3	_	H1	PDM	Z1	1A3	DER	INT	5	3	60,00	2	40,00
3	3	_	H1	PDM	Z1	1A4	ABANDONO	INT	18	12	66,67	6	33,33
4	3	_	H1	PDM	Z1	1A5	ABANDONO	INT	33	15	45,45	18	54,55
5	3	_	H1	PDM	Z1	1A6	SEPI	INT	25	16	64,00	9	36,00
6	3	3b	H2	PDM	Z1	1A1	ERO	INT	9	7	77,78	2	22,22
7	3	3b	H2	PDM	Z1	1A2	BASURERO	INT	111	100	90,09	11	9,91
8	3	3b	H2	PDM	Z1	1A3	ERO	INT	13	5	38,46	8	61,54
9	3	3b	H2	PDM	Z1	1A4	DER	INT	2	2	100,00	0	0,00
10	3	3b	H2	PDM	Z1	2A2	DER	INT	30	18	60,00	12	40,00
11	3	3b	H2	PDM	Z1	2A3	DER	INT	23	15	65,22	8	34,78
12	3	3b	H2	PDM	Z1	2A4	DER	INT	7	2	28,57	5	71,43
13	3	3b	H2	PDM	Z1	2A5	SEPI	INT	180	135	75,00	45	25,00
14	3	3b	H2	PDM	Z1	2A6	SEPI	INT	7	7	100,00	0	0,00
15	3	3b	H2	PDM	Z1	2A7	DER	INT	43	31	72,09	12	27,91
16	3	3b	H2	PDM	Z1	2A8	SEPI	INT	162	113	69,75	49	30,25
17	3	3b	H2	PDM	Z1	2B2	PLATAFORMA	INT	1	1	100,00	0	0,00
18	3	3b	H2	PDM	Z1	2B4	BANQUETA	INT	4	4	100,00	0	0,00
19	3	3a	H2	PDM	Z1	3A1	FRE	INT	2	2	100,00	0	0,00
20	3	3a	H2	PDM	Z1	3A2	SEPI	INT	57	39	68,42	18	31,58
21	3	3a	H2	PDM	Z1	3B1	CENICERO	INT	1	1	100,00	0	0,00
22	3	3b	H3	PDM	Z1	1A1	DER	INT	72	60	83,33	12	16,67
23	3	3b	H3	PDM	Z1	1A2	DER	INT	56	49	87,50	7	12,50
24	3	3b	H3	PDM	Z1	1A3	DER	INT	20	19	95,00	1	5,00
25	3	3b	H3	PDM	Z1	1A4	DER	INT	15	14	93,33	1	6,67
26	3	3b	H3	PDM	Z1	1A5	SEPI	INT	57	49	85,96	8	14,04
27	3	3b	H3	PDM	Z1	1A6	DER	INT	70	38	54,29	32	45,71
28	3	3b	H3	PDM	Z1	1A7	DER	INT	144	71	49,31	73	50,69
29	3	3b	H3	PDM	Z1	1A8	DER	INT	36	12	33,33	24	66,67
30	3	3b	H3	PDM	Z1	1A9	SEPI	INT	43	30	69,77	13	30,23
31	3	3b	H3	PDM	Z1	1A10	SEPI	INT	3	2	66,67	1	33,33
32	3	_	H4	PDM	Z1	1A1	DER	INT	122	68	55,74	54	44,26
33	3	_	H4	PDM	Z1	1A4	DER	INT	16	8	50,00	8	50,00

UMA	FASE	SF	AMBITO	SECTOR	Z	SC	DEF	LOC	NR	NRC	NRC %	NRNC	NRNC %
34	3	_	H4	PDM	Z1	1A5	SEPI	INT	8	4	50,00	4	50,00
35	3	3b	H5	PDM	Z1	1A1	ERO	INT	5	4	80,00	1	20,00
36	3	3b	H5	PDM	Z1	1A2	ERO	INT	6	3	50,00	3	50,00
37	3	3b	H5	PDM	Z1	1A3	DER	INT	17	13	76,47	4	23,53
38	3	3b	H5	PDM	Z1	1A4	DER	INT	7	5	71,43	2	28,57
39	3	3b	H5	PDM	Z1	1A5	DER	INT	2	2	100,00	0	0,00
40	3	3b	H5	PDM	Z1	1A8	ND	INT	14	10	71,43	4	28,57
41	3	3b	H5	PDM	Z1	1A9	SEPI	INT	4	4	100,00	0	0,00
42	3	3b	H5	PDM	Z1	1A11	SEPI	INT	78	51	65,38	27	34,62
43	3	3b	H5	PDM	Z1	1B5	BANQUETA	INT	6	5	83,33	1	16,67
44	3	3b	H5	PDM	Z1	1B11	PISO	INT	1	0	0,00	1	100,00
45	3	3a	H7	PDM	Z1	1A1	SEPI	INT	106	96	90,57	10	9,43
46	3	3a	H7	PDM	Z1	1A3	SEPI	INT	49	36	73,47	13	26,53
47	3	3b	H8	PDM	Z1	1A1	ERO	INT	22	16	72,73	6	27,27
48	3	3b	H8	PDM	Z1	1A2	ERO	INT	9	4	44,44	5	55,56
49	3	3b	H8	PDM	Z1	1A3	DER	INT	2	2	100,00	0	0,00
50	3	3b	H8	PDM	Z1	2A1	ESC	INT	31	21	67,74	10	32,26
51	3	3b	H8	PDM	Z1	2A2	DER	INT	27	20	74,07	7	25,93
52	3	3b	H8	PDM	Z1	2A3	INCENDIO	INT	18	15	83,33	3	16,67
53	1	_	H9	PDM	Z1	1A1	ERO	INT	10	8	80,00	2	20,00
54	1	_	H9	PDM	Z1	1A2	ERO	INT	88	47	53,41	41	46,59
55	1	_	H9	PDM	Z1	1A3	ERO	INT	66	39	59,09	27	40,91
56	1	_	H9	PDM	Z1	1A4	DER	INT	1	1	100,00	0	0,00
57	1	_	H9	PDM	Z1	1A5	DER	INT	2	2	100,00	0	0,00
58	1	_	H9	PDM	Z1	1A6	DER	INT	26	18	69,23	8	30,77
59	1	_	H9	PDM	Z1	1A7	SEPI	INT	2	2	100,00	0	0,00
60	1	_	H9	PDM	Z1	1B1a	POSTE	INT	1	1	100,00	0	0,00
61	1	_	H10	PDM	Z1	1A1	DER	INT	21	15	71,43	6	28,57
62	1	_	H10	PDM	Z1	1A2	SEPI	INT	17	10	58,82	7	41,18
63	1	_	H10	PDM	Z1	1A3	SEPI	INT	5	5	100,00	0	0,00
64	3	3b	H11	PDM	Z1	1A1	DER	INT	1	1	100,00	0	0,00
65	3	3b	H11	PDM	Z1	1A3	DER	INT	17	12	70,59	5	29,41
66	3	3b	H11	PDM	Z1	1A4	SEPI	INT	14	13	92,86	1	7,14
67	1	_	H12	PDM	Z1	1A1	DER	INT	29	24	82,76	5	17,24
68	1	_	H12	PDM	Z1	1A2	DER	INT	15	14	93,33	1	6,67



UMA	FASE	SF	AMBITO	SECTOR	Z	SC	DEF	LOC	NR	NRC	NRC %	NRNC	NRNC %
69	1	_	H12	PDM	Z1	1A3	DER	INT	2	1	50,00	1	50,00
70	1	_	H12	PDM	Z1	1A5	DER	INT	5	4	80,00	1	20,00
71	1	_	H12	PDM	Z1	1A6	CENIZAS	INT	1	1	100,00	0	0,00
72	1	_	H12	PDM	Z1	1A8	FOSA	INT	7	5	71,43	2	28,57
73	1	_	H12	PDM	Z1	1A10	SEPI	INT	1	0	0,00	1	100,00
74	1	_	H12	PDM	Z1	1A11	CUBETA	INT	12	5	41,67	7	58,33
75	1	_	H14	PDM	Z1	1A1	DER	INT	23	19	82,61	4	17,39
76	1	_	H14	PDM	Z1	1A2	SEPI	INT	6	4	66,67	2	33,33
77	3	3b	H18	PDM	Z1	1A1	DER	INT	3	2	66,67	1	33,33
78	3	3b	H18	PDM	Z1	2A1	ND	INT	6	5	83,33	1	16,67
79	3	3b	H18	PDM	Z1	2A3	ND	INT	4	3	75,00	1	25,00
80	3	3a	H19	PDM	Z1	1A1	DER	INT	6	5	83,33	1	16,67
81	3	3a	H19	PDM	Z1	1A2	DER	INT	1	1	100,00	0	0,00
82	3	3a	H19	PDM	Z1	1A3	SEPI	INT	10	7	70,00	3	30,00
83	3	3a	H19	PDM	Z1	1A4	ACON	INT	7	4	57,14	3	42,86
84	3	3a	H19	PDM	Z1	1A6	ND	INT	6	2	33,33	4	66,67
85	3	3a	H19	PDM	Z1	2A1	ND	INT	8	4	50,00	4	50,00
86	3	3a	H20	PDM	Z1	1A1	ND	INT	5	2	40,00	3	60,00
87	3	3a	H20	PDM	Z1	1A2	ND	INT	45	31	68,89	14	31,11
88	3	3a	H21	PDM	Z1	1A1	DER	INT	9	5	55,56	4	44,44
89	3	3a	H21	PDM	Z1	1A2	SEPI	INT	4	3	75,00	1	25,00
90	3	3a	H21	PDM	Z1	2A1	REL	INT	12	9	75,00	3	25,00
91	3	3a	H21	PDM	Z1	2A2	REL	INT	4	3	75,00	1	25,00
92	3	3a	H21	PDM	Z1	3A1	ESC	INT	16	7	43,75	9	56,25
93	2	_	H26	PDM	Z1	1A1	ERO	INT	33	19	57,58	14	42,42
94	2	_	H26	PDM	Z1	2A1	ESTR. DE COMBUSTION	INT	1	1	100,00	0	0,00
95	2	_	H26	PDM	Z1	2A2	SEPI	INT	15	9	60,00	6	40,00
96	2	_	H34	PDM	Z0	UE326	FOSA	INT	3	3	100,00	0	0,00
97	2	_	H34	PDM	Z0	UE328	REL POSTE UE 333	INT	36	24	66,67	12	33,33
98	2	_	H34	PDM	Z0	UE150	DER	INT	9	7	77,78	2	22,22
99	2	_	H34	PDM	Z0	UE337	SEPI	INT	27	14	51,85	13	48,15
100	2	_	H35	PDM	Z0	UE156	FRE	INT	314	155	49,36	159	50,64
101	2	_	H35	PDM	Z0	UE170	SEPI	INT	36	24	66,67	12	33,33
102	2	_	H35	PDM	Z0	UE307	FRE	INT	30	19	63,33	11	36,67
103	2	_	H35	PDM	Z0	UE403	FRE	INT	31	17	54,84	14	45,16

UMA	FASE	SF	AMBITO	SECTOR	Z	SC	DEF	LOC	NR	NRC	NRC %	NRNC	NRNC %
104	2	_	H35	PDM	Z0	UE154	DER	INT	83	72	86,75	11	13,25
105	2	_	H35	PDM	Z0	UE194	DER	INT	2	2	100,00	0	0,00
106	1	_	H36	PDM	Z0	UE203	FRE	INT	283	168	59,36	115	40,64
107	1	_	H36	PDM	Z0	UE207	URNA F4 226	INT	6	3	50,00	3	50,00
108	1	_	H36	PDM	Z0	UE210	FOSA 211	INT	44	21	47,73	23	52,27
109	1	_	H36	PDM	Z0	UE212	FOSA 211	INT	19	10	52,63	9	47,37
110	1	_	H36	PDM	Z0	UE217	FOSA 211	INT	3	2	66,67	1	33,33
111	1	_	H36	PDM	Z0	UE222	FOSA 223	INT	82	70	85,37	12	14,63
112	1	_	H36	PDM	Z0	UE224	FOSA PILAR 206	INT	1	1	100,00	0	0,00
113	1	_	H36	PDM	Z0	UE227	URNA F4 226	INT	104	82	78,85	22	21,15
114	1	_	H36	PDM	Z0	UE230	FOSA PILAR 204	INT	16	11	68,75	5	31,25
115	1	_	H36	PDM	Z0	UE234	FOSA 223	INT	53	40	75,47	13	24,53
116	1	_	H36	PDM	Z0	UE283	SEPI	INT	239	112	46,86	127	53,14
117	1	_	H36	PDM	Z0	UE306	REL	INT	37	27	72,97	10	27,03
118	1	_	H36	PDM	Z0	UE318	REL	INT	1	1	100,00	0	0,00
119	1	_	H36	PDM	Z0	UE158	SEPI	INT	33	18	54,55	15	45,45
120	1	_	H36	PDM	Z0	UE171	PISO	INT	253	129	50,99	124	49,01
121	1	_	H36	PDM	Z0	UE192	REL RECORTE	INT	98	82	83,67	16	16,33
122	1	_	H36	PDM	Z0	UE195	PISO	INT	26	22	84,62	4	15,38
123	1	_	H36	PDM	Z0	UE197	REMODELACION DE USO	INT	111	64	57,66	47	42,34
124	1	_	H36	PDM	Z0	UE291	SEPI	INT	23	13	56,52	10	43,48
125	3	3b	H37	PDM	Z0	1A1	DER	INT	100	77	77,00	23	23,00
126	3	3b	H37	PDM	Z0	1A2	SEPI	INT	69	48	69,57	21	30,43
127	3	3b	H37	PDM	Z0	2A1	DER	INT	103	64	62,14	39	37,86
128	3	3b	H37	PDM	Z0	2B7	BANQUETA	INT	21	5	23,81	16	76,19
129	3	3b	H37	PDM	Z0	2B10	ACON	INT	115	101	87,83	14	12,17
130	3	3a	H41	PDM	Z0	1A1	DER	INT	5	4	80,00	1	20,00
131	3	3a	H41	PDM	Z0	1A2	DER	INT	8	7	87,50	1	12,50
132	3	3a	H41	PDM	Z0	1A3	RELLENO COLMATACION	INT	9	5	55,56	4	44,44
133	3	3a	H41	PDM	Z0	1A4	DER	INT	3	3	100,00	0	0,00
134	3	3a	H41	PDM	Z0	1A5	DER	INT	9	8	88,89	1	11,11
135	3	3a	H41	PDM	Z0	1B5a	ACON	INT	41	35	85,37	6	14,63
136	3	3a	H41	PDM	Z0	1B9a	PISO	INT	4	3	75,00	1	25,00
137	3	3a	H52	PDM	Z0	1A1	SEPI	INT	16	12	75,00	4	25,00
138	3	3a	H52	PDM	Z0	1A2	FRE	INT	39	22	56,41	17	43,59

UMA	FASE	SF	AMBITO	SECTOR	Z	SC	DEF	LOC	NR	NRC	NRC %	NRNC	NRNC %
139	3	3a	H52	PDM	Z0	1A3	ACON	INT	9	7	77,78	2	22,22
140	3	3a	H52	PDM	Z0	1A4	ACON	INT	7	6	85,71	1	14,29
141	3	3a	H52	PDM	Z0	1A5	COLMATACION DE ABSIDE	INT	19	10	52,63	9	47,37
142	3	3a	H52	PDM	Z0	1A6	DER	INT	9	5	55,56	4	44,44
143	3	3a	H52	PDM	Z0	1A7	ACON	INT	1	1	100,00	0	0,00
144	3	3a	H52	PDM	Z0	1A8	DER	INT	18	14	77,78	4	22,22
145	3	3a	H52	PDM	Z0	1B5a	EMPEDRADO	INT	16	13	81,25	3	18,75
146	3	3a	H52	PDM	Z0	1B6a	CUBETA	INT	173	131	75,72	42	24,28
147	3	3a	H52	PDM	Z0	1B7a	PLATAFORMA	INT	26	20	76,92	6	23,08
148	3	3b	H53	LM	Z7	1A2	DER	INT	27	3	11,11	24	88,89
149	3	3b	H53	LM	Z7	1A3	ND	INT	15	12	80,00	3	20,00
150	3	3b	H53	LM	Z7	1A4	RELLENO BAJO PISO	INT	60	32	53,33	28	46,67
151	3	3b	H53	LM	Z7	1A5	RELLENO BAJO MURO	INT	24	11	45,83	13	54,17
152	3	3b	H54	LM	Z7	1A1	ERO	INT	18	13	72,22	5	27,78
153	3	3b	H54	LM	Z7	1A3	SEPI	INT	18	9	50,00	9	50,00
154	3	3b	H54	LM	Z7	1A4	RELLENO FOSAS ENTRE TUMBAS	INT	20	15	75,00	5	25,00
155	3	3b	H54	LM	Z7	2A1	ERO	INT	3	1	33,33	2	66,67
156	3	3b	H54	LM	Z7	2A3	RELLENO FOSAS ENTRE TUMBAS	INT	30	28	93,33	2	6,67
157	3	3b	H54	LM	Z7	2A4	SEPI	INT	22	17	77,27	5	22,73
158	3	3b	H54	LM	Z7	3A1	SEPI	INT	71	59	83,10	12	16,90
159	3	3b	H54	LM	Z7	3A2	ACON	INT	7	4	57,14	3	42,86
160	3	3b	H54	LM	Z7	3A3	ACON	INT	9	9	100,00	0	0,00
161	3	3b	H54	LM	Z7	3B8	POSTE	INT	1	1	100,00	0	0,00
162	3	3b	H61	CIMA	Z3	1A1	DER	INT	26	19	73,08	7	26,92
163	3	3b	H61	CIMA	Z3	1A2	SEPI	INT	14	9	64,29	5	35,71
164	3	3b	H61	CIMA	Z3	1B3	ACON	INT	8	4	50,00	4	50,00
165	3	3b	H61	CIMA	Z3	1B5c	HORNO	INT	2	2	100,00	0	0,00
166	3	3a	H62	CIMA	Z3	1A1	DER	INT	51	40	78,43	11	21,57
167	3	3a	H62	CIMA	Z3	1A2	DER	INT	22	16	72,73	6	27,27
168	3	3a	H62	CIMA	Z3	1A3	SEPI	INT	37	29	78,38	8	21,62
169	3	3a	H62	CIMA	Z3	1B2	ACON	INT	15	8	53,33	7	46,67
170	3	3a	H62	CIMA	Z3	1B3	ACON	INT	6	6	100,00	0	0,00
171	2	_	H64	LM	Z7	1A1	FRE	INT	218	144	66,06	74	33,94
172	2	_	H64	LM	Z7	1A3	ACON	INT	67	37	55,22	30	44,78
173	1	_	H68	PDM	Z0	1A1	ND	INT	2	2	100,00	0	0,00

UMA	FASE	SF	AMBITO	SECTOR	Z	SC	DEF	LOC	NR	NRC	NRC %	NRNC	NRNC %
174	1	_	H68	PDM	Z0	1A2	ND	INT	2	0	0,00	2	100,00
175	1	_	H68	PDM	Z0	1A3	ND	INT	1	0	0,00	1	100,00
176	1	_	H68	PDM	Z0	1A4	ND	INT	20	11	55,00	9	45,00
177	1	_	H68	PDM	Z0	1A5	ND	INT	4	4	100,00	0	0,00
178	1	_	H68	PDM	Z0	1B1a	ND	INT	15	11	73,33	4	26,67
179	2	_	H83	PDM	Z1	1A1	ERO	INT	5	5	100,00	0	0,00
180	2	_	H83	PDM	Z1	1A2	ERO	INT	1	1	100,00	0	0,00
181	2	_	H83	PDM	Z1	1A3	ND	INT	29	27	93,10	2	6,90
182	2	_	H83	PDM	Z1	1A5	DER	INT	126	75	59,52	51	40,48
183	2	_	H83	PDM	Z1	1A6	DER	INT	1	0	0,00	1	100,00
184	2	_	H83	PDM	Z1	1A7	ND	INT	5	3	60,00	2	40,00
185	2	_	H83	PDM	Z1	1A8	ND	INT	4	3	75,00	1	25,00
186	2	_	H83	PDM	Z1	1A9	DER	INT	6	4	66,67	2	33,33
187	2	_	H83	PDM	Z1	1A10	DER	INT	5	3	60,00	2	40,00
188	2	_	H83	PDM	Z1	1B3	FOSA	INT	12	4	33,33	8	66,67
189	2	_	H83	PDM	Z1	1B19b	BANQUETA	INT	20	15	75,00	5	25,00
190	2	_	H83	PDM	Z1	2B2a	FOSA	INT	13	9	69,23	4	30,77
191	2	_	H83	PDM	Z1	2B3a	CUBETA COMBUSTIÓN	INT	31	9	29,03	22	70,97
192	2	_	C0	BAR	Z9	10A1	SEPI	INT	41	24	58,54	17	41,46
193	2	_	C0	BAR	Z9	10A2	DER	INT	10	7	70,00	3	30,00
194	2	_	C0	BAR	Z9	13A1	DER	INT	33	22	66,67	11	33,33
195	2	_	C0	BAR	Z9	13A2	DER	INT	8	6	75,00	2	25,00
196	2	_	C0	BAR	Z9	13A3	SEPI	INT	18	8	44,44	10	55,56
197	2	_	C0	BAR	Z9	15A1	ESC	INT	73	42	57,53	31	42,47
198	2	_	C0	BAR	Z9	15A2	ESC	INT	9	2	22,22	7	77,78
199	2	_	C0	BAR	Z9	15A3	DER	INT	32	20	62,50	12	37,50
200	2	_	C0	BAR	Z9	15A4	FRE	INT	13	8	61,54	5	38,46
201	1	_	C0	BAR	Z9	17A1	DER	INT	23	12	52,17	11	47,83
202	1	_	C0	BAR	Z9	17A2	DER ALTERADO POR ESC	INT	44	21	47,73	23	52,27
203	1	_	C0	BAR	Z9	17A3	DER	INT	19	8	42,11	11	57,89
204	1	_	C0	BAR	Z9	19A1	DER	INT	24	14	58,33	10	41,67
205	1	_	C0	BAR	Z9	19A2	DER	INT	12	7	58,33	5	41,67
206	1	_	C0	BAR	Z9	19A3	FRE	INT	93	42	45,16	51	54,84
207	3	3b	l1	PDM	Z1	1A1	ERO	CIST	1	1	100,00	0	0,00
208	3	3b	l1	PDM	Z1	1A2	DER	CIST	8	5	62,50	3	37,50

UMA	FASE	SF	AMBITO	SECTOR	Z	SC	DEF	LOC	NR	NRC	NRC %	NRNC	NRNC %
209	3	3b	I1	PDM	Z1	1A3	ESC	CIST	13	7	53,85	6	46,15
210	3	3b	I1	PDM	Z1	1A4	ND	CIST	113	69	61,06	44	38,94
211	3	3b	I1	PDM	Z1	1A5	ND	CIST	51	37	72,55	14	27,45
212	3	3b	I1	PDM	Z1	1A8	DER	CIST	4	3	75,00	1	25,00
213	3	3b	I1	PDM	Z1	1B4a	PISO	CIST	15	8	53,33	7	46,67
214	3	3b	I1	PDM	Z1	2A1	COLMATACION	CIST	24	12	50,00	12	50,00
215	3	3b	I1	PDM	Z1	2A2	COLMATACION	CIST	16	10	62,50	6	37,50
216	3	3a	I1	PDM	Z1	3A1	ND	CIST	9	4	44,44	5	55,56
217	3	3a	I1	PDM	Z1	3A2	DER	CIST	8	3	37,50	5	62,50
218	2	_	I2	PDM	Z1	1A1	COLMATACION 2º FASE CISTERNA PREVIA AL DIQUE	CIST	28	18	64,29	10	35,71
219	2	_	I2	PDM	Z1	1A2	COLMATACION 1º FASE CISTERNA PREVIA AL DIQUE	CIST	399	200	50,13	199	49,87
220	2	_	I2	PDM	Z1	1A3	COLMATACION CISTERNA MAS ANTIGUA PREVIA AL DIQUE	CIST	3	3	100,00	0	0,00
221	2	_	I2	PDM	Z1	1A4	ND	CIST	32	24	75,00	8	25,00
222	2	_	I2	PDM	Z1	1A5	COLMATACION CISTERNA MAS ANTIGUA PREVIA AL DIQUE	CIST	59	38	64,41	21	35,59
223	2	_	I2	PDM	Z1	1A6	COLMATACION DE LA CISTERNA MAS ANTIGUA EN CONTACTO DIRECTO CON PAVIMENTO	CIST	96	69	71,88	27	28,13
224	2	_	I2	PDM	Z1	1B1a	PAVIMENTO ASOCIADO A LA CISTERNA PREVIA A LA CONSTRUCCIÓN DEL DIQUE	CIST	5	3	60,00	2	40,00
225	2	_	I2	PDM	Z1	2A1	COLMATACION Y AMORTIZACION DEL PAVIMENTO MAS ANTIGUO PREVIO AL DIQUE	CIST	87	63	72,41	24	27,59
226	2	_	I2	PDM	Z1	2A2	ERO	CIST	10	4	40,00	6	60,00
227			E8	PDM	Z1	1A1	ESC		427	243	56,91	184	43,09
228	3	3b	E16	CIMA	Z3	2A1	ERO		135	79	58,52	56	41,48
229	3	3a	E16	CIMA	Z3	2A2	ERO		72	37	40,00	35	60,00

A2.5. NR y % de restos con alteraciones naturales por unidad mínima de análisis

UMA	FASE	SF	AMBITO	SECTOR	Z	SC	DEF	LOC	NR	AN	AN %	AG	AG %	ROD	ROD %	CON	CON %	RA	RA %	VER	VER %	SED	SED %	RO	RO %	CAR	CAR %
1	3	_	H1	PDM	Z1	1A1	INTRUSION	INT	20	20	100	2	10	0	0	18	90	2	10	6	30	4	20	0	0	0	0
2	3	_	H1	PDM	Z1	1A3	DER	INT	5	5	100	0	0	0	0	5	100	0	0	1	20	1	20	0	0	0	0
3	3	_	H1	PDM	Z1	1A4	ABANDONO	INT	18	18	100	0	0	0	0	16	89	2	11	5	28	3	17	0	0	0	0
4	3	_	H1	PDM	Z1	1A5	ABANDONO	INT	33	32	97	6	19	0	0	27	84	0	0	10	31	5	16	0	0	0	0
5	3	_	H1	PDM	Z1	1A6	SEPI	INT	25	25	100	4	16	0	0	19	76	1	4	8	32	8	32	0	0	0	0
6	3	3b	H2	PDM	Z1	1A1	ERO	INT	9	9	100	3	33	0	0	5	56	2	22	8	89	0	0	0	0	0	0
7	3	3b	H2	PDM	Z1	1A2	BASURERO	INT	111	111	100	23	21	0	0	95	86	13	12	57	51	15	14	3	3	1	1
8	3	3b	H2	PDM	Z1	1A3	ERO	INT	13	11	85	2	18	0	0	9	82	1	9	8	73	0	0	0	0	1	9
9	3	3b	H2	PDM	Z1	1A4	DER	INT	2	2	100	0	0	0	0	2	100	0	0	2	100	0	0	0	0	0	0
10	3	3b	H2	PDM	Z1	2A2	DER	INT	30	29	97	7	24	0	0	25	86	1	3	18	62	6	21	0	0	0	0
11	3	3b	H2	PDM	Z1	2A3	DER	INT	23	23	100	1	4	0	0	22	96	0	0	16	70	1	4	0	0	0	0
12	3	3b	H2	PDM	Z1	2A4	DER	INT	7	7	100	3	43	0	0	7	100	0	0	4	57	1	14	0	0	0	0
13	3	3b	H2	PDM	Z1	2A5	SEPI	INT	180	176	98	20	11	0	0	78	44	58	33	119	68	19	11	3	2	1	1
14	3	3b	H2	PDM	Z1	2A6	SEPI	INT	7	7	100	0	0	0	0	2	29	4	57	6	86	1	14	2	29	0	0
15	3	3b	H2	PDM	Z1	2A7	DER	INT	43	41	95	7	17	0	0	13	32	8	20	24	59	7	17	1	2	0	0
16	3	3b	H2	PDM	Z1	2A8	SEPI	INT	162	162	100	12	7	0	0	107	66	56	35	87	54	27	17	1	1	4	2
17	3	3b	H2	PDM	Z1	2B2	PLATAFORMA	INT	1	1	100	0	0	0	0	1	100	0	0	0	0	1	100	0	0	0	0
18	3	3b	H2	PDM	Z1	2B4	BANQUETA	INT	4	4	100	0	0	0	0	4	100	0	0	1	25	1	25	0	0	0	0
19	3	3a	H2	PDM	Z1	3A1	FRE	INT	2	2	100	0	0	0	0	0	0	0	0	2	100	0	0	0	0	0	0
20	3	3a	H2	PDM	Z1	3A2	SEPI	INT	57	57	100	10	18	0	0	15	26	30	53	39	68	5	9	1	2	2	4
21	3	3a	H2	PDM	Z1	3B1	CENICERO	INT	1	1	100	0	0	0	0	0	0	1	100	1	100	0	0	0	0	0	0
22	3	3b	H3	PDM	Z1	1A1	DER	INT	72	72	100	5	7	2	3	57	79	4	6	18	25	6	8	2	3	0	0
23	3	3b	H3	PDM	Z1	1A2	DER	INT	56	56	100	2	4	0	0	40	71	6	11	18	32	3	5	1	2	1	2
24	3	3b	H3	PDM	Z1	1A3	DER	INT	20	20	100	4	20	0	0	18	90	2	10	9	45	0	0	0	0	0	0
25	3	3b	H3	PDM	Z1	1A4	DER	INT	15	14	93	2	14	0	0	13	93	2	14	2	14	0	0	0	0	0	0
26	3	3b	H3	PDM	Z1	1A5	SEPI	INT	57	54	95	5	9	0	0	42	78	16	30	14	26	1	2	1	2	1	2
27	3	3b	H3	PDM	Z1	1A6	DER	INT	70	69	99	14	20	0	0	62	90	7	10	22	32	4	6	1	1	1	1
28	3	3b	H3	PDM	Z1	1A7	DER	INT	144	140	97	24	17	1	1	69	49	39	28	38	27	30	21	4	3	0	0
29	3	3b	H3	PDM	Z1	1A8	DER	INT	36	36	100	5	14	0	0	19	53	13	36	12	33	0	0	0	0	0	0
30	3	3b	H3	PDM	Z1	1A9	SEPI	INT	43	43	100	7	16	0	0	35	81	7	16	11	26	4	9	2	5	1	2
31	3	3b	H3	PDM	Z1	1A10	SEPI	INT	3	3	100	0	0	1	33	3	100	1	33	0	0	2	67	0	0	0	0
32	3	_	H4	PDM	Z1	1A1	DER	INT	122	122	100	0	0	1	1	70	57	48	39	82	67	0	0	0	0	1	1

UMA	FASE	SF	AMBITO	SECTOR	Z	SC	DEF	LOC	NR	AN	AN %	AG	AG %	ROD	ROD %	CON	CON %	RA	RA %	VER	VER %	SED	SED %	RO	RO %	CAR	CAR %
33	3	_	H4	PDM	Z1	1A4	DER	INT	16	15	94	0	0	0	0	13	87	5	33	11	73	0	0	0	0	0	0
34	3	_	H4	PDM	Z1	1A5	SEPI	INT	8	8	100	0	0	0	0	4	50	4	50	5	63	0	0	0	0	0	0
35	3	3b	H5	PDM	Z1	1A1	ERO	INT	5	5	100	1	20	0	0	3	60	0	0	4	80	0	0	0	0	0	0
36	3	3b	H5	PDM	Z1	1A2	ERO	INT	6	6	100	0	0	0	0	6	100	0	0	3	50	0	0	0	0	0	0
37	3	3b	H5	PDM	Z1	1A3	DER	INT	17	17	100	0	0	0	0	8	47	4	24	12	71	1	6	0	0	0	0
38	3	3b	H5	PDM	Z1	1A4	DER	INT	7	7	100	0	0	0	0	3	43	4	57	6	86	0	0	0	0	0	0
39	3	3b	H5	PDM	Z1	1A5	DER	INT	2	2	100	0	0	0	0	0	0	2	100	2	100	0	0	0	0	0	0
40	3	3b	H5	PDM	Z1	1A8	ND	INT	14	14	100	0	0	0	0	10	71	4	29	10	71	0	0	0	0	0	0
41	3	3b	H5	PDM	Z1	1A9	SEPI	INT	4	4	100	0	0	0	0	4	100	0	0	4	100	0	0	0	0	0	0
42	3	3b	H5	PDM	Z1	1A11	SEPI	INT	78	78	100	0	0	0	0	15	19	55	71	46	59	1	1	3	4	3	4
43	3	3b	H5	PDM	Z1	1B5	BANQUETA	INT	6	5	83	0	0	0	0	3	60	3	60	3	60	1	20	0	0	0	0
44	3	3b	H5	PDM	Z1	1B11	PISO	INT	1	1	100	0	0	0	0	1	100	0	0	0	0	0	0	0	0	0	0
45	3	3a	H7	PDM	Z1	1A1	SEPI	INT	106	106	100	8	8	0	0	100	94	10	9	12	11	11	10	0	0	0	0
46	3	3a	H7	PDM	Z1	1A3	SEPI	INT	49	46	94	2	4	2	4	34	74	12	26	22	48	9	20	1	2	0	0
47	3	3b	H8	PDM	Z1	1A1	ERO	INT	22	21	95	1	5	0	0	8	38	9	43	17	81	0	0	0	0	0	0
48	3	3b	H8	PDM	Z1	1A2	ERO	INT	9	8	89	0	0	0	0	0	0	4	50	5	63	0	0	0	0	0	0
49	3	3b	H8	PDM	Z1	1A3	DER	INT	2	2	100	0	0	0	0	0	0	1	50	2	100	0	0	0	0	0	0
50	3	3b	H8	PDM	Z1	2A1	ESC	INT	31	31	100	1	3	0	0	8	26	15	48	24	77	0	0	0	0	0	0
51	3	3b	H8	PDM	Z1	2A2	DER	INT	27	27	100	1	4	0	0	14	52	8	30	21	78	1	4	1	4	0	0
52	3	3b	H8	PDM	Z1	2A3	INCENDIO	INT	18	17	94	0	0	0	0	10	59	5	29	7	41	0	0	0	0	0	0
53	1	_	H9	PDM	Z1	1A1	ERO	INT	10	10	100	1	10	0	0	2	20	5	50	5	50	0	0	2	20	0	0
54	1	_	H9	PDM	Z1	1A2	ERO	INT	88	84	95	16	19	0	0	26	31	14	17	62	74	2	2	6	7	0	0
55	1	_	H9	PDM	Z1	1A3	ERO	INT	66	64	97	14	22	0	0	24	38	6	9	53	83	0	0	0	0	1	2
56	1	_	H9	PDM	Z1	1A4	DER	INT	1	1	100	0	0	0	0	1	100	0	0	0	0	0	0	0	0	0	0
57	1	_	H9	PDM	Z1	1A5	DER	INT	2	2	100	0	0	0	0	1	50	1	50	1	50	0	0	0	0	0	0
58	1	_	H9	PDM	Z1	1A6	DER	INT	26	25	96	6	24	0	0	3	12	5	20	23	92	0	0	0	0	0	0
59	1	_	H9	PDM	Z1	1A7	SEPI	INT	2	2	100	2	100	0	0	1	50	0	0	2	100	0	0	0	0	0	0
60	1	_	H9	PDM	Z1	1B1a	POSTE	INT	1	1	100	0	0	0	0	1	100	0	0	1	100	0	0	0	0	0	0
61	1	_	H10	PDM	Z1	1A1	DER	INT	21	21	100	0	0	0	0	13	62	2	10	14	67	0	0	1	5	0	0
62	1	_	H10	PDM	Z1	1A2	SEPI	INT	17	17	100	0	0	0	0	15	88	0	0	3	18	1	6	0	0	0	0
63	1	_	H10	PDM	Z1	1A3	SEPI	INT	5	5	100	0	0	0	0	3	60	3	60	3	60	0	0	0	0	0	0
64	3	3b	H11	PDM	Z1	1A1	DER	INT	1	1	100	0	0	0	0	1	100	0	0	0	0	0	0	0	0	0	0
65	3	3b	H11	PDM	Z1	1A3	DER	INT	17	17	100	2	12	0	0	4	24	6	35	13	76	0	0	2	12	0	0
66	3	3b	H11	PDM	Z1	1A4	SEPI	INT	14	14	100	1	7	0	0	6	43	4	29	9	64	0	0	1	7	0	0

UMA	FASE	SF	AMBITO	SECTOR	Z	SC	DEF	LOC	NR	AN	AN %	AG	AG %	ROD	ROD %	CON	CON %	RA	RA %	VER	VER %	SED	SED %	RO	RO %	CAR	CAR %
67	1	_	H12	PDM	Z1	1A1	DER	INT	29	22	76	0	0	0	0	4	18	16	73	4	18	0	0	3	14	0	0
68	1	_	H12	PDM	Z1	1A2	DER	INT	15	14	93	4	29	0	0	5	36	7	50	6	43	0	0	0	0	0	0
69	1	_	H12	PDM	Z1	1A3	DER	INT	2	2	100	0	0	0	0	1	50	0	0	0	0	1	50	0	0	0	0
70	1	_	H12	PDM	Z1	1A5	DER	INT	5	5	100	0	0	0	0	0	0	2	40	1	20	1	20	0	0	0	0
71	1	_	H12	PDM	Z1	1A6	CENIZAS	INT	1	1	100	0	0	0	0	0	0	0	0	1	100	0	0	0	0	0	0
72	1	_	H12	PDM	Z1	1A8	FOSA	INT	7	7	100	0	0	0	0	0	0	5	71	2	29	1	14	0	0	0	0
73	1	_	H12	PDM	Z1	1A10	SEPI	INT	1	1	100	0	0	0	0	0	0	0	0	1	100	0	0	0	0	0	0
74	1	_	H12	PDM	Z1	1A11	CUBETA	INT	12	8	67	1	13	0	0	0	0	8	100	0	0	0	0	0	0	0	0
75	1	_	H14	PDM	Z1	1A1	DER	INT	23	23	100	11	48	1	4	7	30	8	35	20	87	0	0	1	4	0	0
76	1	_	H14	PDM	Z1	1A2	SEPI	INT	6	6	100	3	50	0	0	4	67	0	0	3	50	0	0	0	0	0	0
77	3	3b	H18	PDM	Z1	1A1	DER	INT	3	3	100	0	0	0	0	2	67	0	0	3	100	0	0	0	0	0	0
78	3	3b	H18	PDM	Z1	2A1	ND	INT	6	6	100	0	0	0	0	4	67	2	33	5	83	0	0	1	17	0	0
79	3	3b	H18	PDM	Z1	2A3	ND	INT	4	4	100	0	0	0	0	4	100	0	0	1	25	0	0	0	0	0	0
80	3	3a	H19	PDM	Z1	1A1	DER	INT	6	5	83	1	20	0	0	1	20	2	40	4	80	0	0	0	0	1	20
81	3	3a	H19	PDM	Z1	1A2	DER	INT	1	1	100	0	0	0	0	0	0	0	0	1	100	0	0	0	0	0	0
82	3	3a	H19	PDM	Z1	1A3	SEPI	INT	10	9	90	1	11	0	0	0	0	3	33	8	89	0	0	0	0	0	0
83	3	3a	H19	PDM	Z1	1A4	ACON	INT	7	7	100	0	0	0	0	2	29	5	71	2	29	0	0	0	0	0	0
84	3	3a	H19	PDM	Z1	1A6	ND	INT	6	6	100	0	0	0	0	0	0	5	83	1	17	0	0	0	0	0	0
85	3	3a	H19	PDM	Z1	2A1	ND	INT	8	7	88	1	14	0	0	0	0	4	57	4	57	0	0	0	0	0	0
86	3	3a	H20	PDM	Z1	1A1	ND	INT	5	5	100	0	0	0	0	5	100	0	0	2	40	0	0	0	0	0	0
87	3	3a	H20	PDM	Z1	1A2	ND	INT	45	45	100	1	2	0	0	33	73	9	20	20	44	0	0	1	2	0	0
88	3	3a	H21	PDM	Z1	1A1	DER	INT	9	9	100	0	0	0	0	4	44	1	11	7	78	0	0	0	0	0	0
89	3	3a	H21	PDM	Z1	1A2	SEPI	INT	4	4	100	0	0	0	0	3	75	1	25	4	100	0	0	0	0	0	0
90	3	3a	H21	PDM	Z1	2A1	REL	INT	12	12	100	0	0	0	0	9	75	3	25	9	75	0	0	0	0	0	0
91	3	3a	H21	PDM	Z1	2A2	REL	INT	4	4	100	0	0	0	0	4	100	0	0	3	75	0	0	0	0	0	0
92	3	3a	H21	PDM	Z1	3A1	ESC	INT	16	15	94	1	7	0	0	4	27	3	20	8	53	4	27	0	0	1	7
93	2	_	H26	PDM	Z1	1A1	ERO	INT	33	33	100	0	0	0	0	25	76	7	21	13	39	0	0	1	3	0	0
94	2	_	H26	PDM	Z1	2A1	EST. COMBUSTION	INT	1	1	100	0	0	0	0	0	0	1	100	1	100	0	0	0	0	0	0
95	2	_	H26	PDM	Z1	2A2	SEPI	INT	15	15	100	1	7	0	0	12	80	3	20	7	47	0	0	0	0	0	0
96	2	_	H34	PDM	Z0	UE326	FOSA	INT	3	3	100	0	0	0	0	0	0	3	100	1	33	0	0	0	0	0	0
97	2	_	H34	PDM	Z0	UE328	REL POSTE	INT	36	35	97	1	3	0	0	2	6	31	89	19	54	0	0	0	0	0	0
98	2	_	H34	PDM	Z0	UE150	DER	INT	9	9	100	0	0	0	0	0	0	8	89	3	33	0	0	1	11	1	11
99	2	_	H34	PDM	Z0	UE337	SEPI	INT	27	19	70	3	16	0	0	1	5	8	42	5	26	0	0	4	21	0	0
100	2	_	H35	PDM	Z0	UE156	FRE	INT	314	258	82	22	9	0	0	5	2	166	64	48	19	9	3	18	7	3	1



UMA	FASE	SF	AMBITO	SECTOR	Z	SC	DEF	LOC	NR	AN	AN %	AG	AG %	ROD	ROD %	CON	CON %	RA	RA %	VER	VER %	SED	SED %	RO	RO %	CAR	CAR %	
101	2	_	H35	PDM	Z0	UE170	SEPI	INT	36	22	61	4	18	0	0	0	0	13	59	7	32	2	9	2	9	0	0	
102	2	_	H35	PDM	Z0	UE307	FRE	INT	30	25	83	8	32	0	0	0	0	11	44	4	16	1	4	2	8	0	0	
103	2	_	H35	PDM	Z0	UE403	FRE	INT	31	26	84	5	19	0	0	0	0	14	54	3	12	0	0	4	15	0	0	
104	2	_	H35	PDM	Z0	UE154	DER	INT	83	44	53	1	2	0	0	12	27	37	84	7	16	0	0	3	7	0	0	
105	2	_	H35	PDM	Z0	UE194	DER	INT	2	1	50	0	0	0	0	0	0	0	0	1	100	0	0	0	0	0	0	
106	1	_	H36	PDM	Z0	UE203	FRE	INT	283	183	65	34	19	0	0	7	4	59	32	44	24	1	1	37	20	5	3	
107	1	_	H36	PDM	Z0	UE207	URNA F4 226	INT	6	3	50	0	0	0	0	1	33	2	67	0	0	0	0	0	0	0	0	
108	1	_	H36	PDM	Z0	UE210	FOSA 211	INT	44	37	84	6	16	0	0	0	0	28	76	4	11	0	0	4	11	1	3	
109	1	_	H36	PDM	Z0	UE212	FOSA 211	INT	19	14	74	1	7	0	0	2	14	7	50	1	7	0	0	4	29	0	0	
110	1	_	H36	PDM	Z0	UE217	FOSA 211	INT	3	2	67	0	0	0	0	0	0	2	100	0	0	0	0	0	0	0	0	
111	1	_	H36	PDM	Z0	UE222	FOSA 223	INT	82	47	57	5	11	0	0	7	15	11	23	9	19	0	0	16	34	0	0	
112	1	_	H36	PDM	Z0	UE224	FOSA PILAR 206	INT	1	1	100	0	0	0	0	0	0	0	0	0	0	0	0	1	100	0	0	
113	1	_	H36	PDM	Z0	UE227	URNA F4 226	INT	104	85	82	8	9	0	0	0	0	56	66	2	2	0	0	11	13	2	2	
114	1	_	H36	PDM	Z0	UE230	FOSA PILAR 204	INT	16	16	100	1	6	0	0	0	0	11	69	6	38	0	0	3	19	0	0	
115	1	_	H36	PDM	Z0	UE234	FOSA 223	INT	53	47	89	8	17	0	0	1	2	35	74	6	13	0	0	5	11	2	4	
116	1	_	H36	PDM	Z0	UE283	SEPI	INT	239	211	88	10	5	1	0	18	9	141	67	98	46	2	1	5	2	0	0	
117	1	_	H36	PDM	Z0	UE306	REL	INT	37	21	57	8	38	0	0	0	0	8	38	3	14	1	5	2	10	0	0	
118	1	_	H36	PDM	Z0	UE318	REL	INT	1	0	0	0	0	0	0	0	0	0	0	0	0	0	0	0	0	0	0	0
119	1	_	H36	PDM	Z0	UE158	SEPI	INT	33	29	88	0	0	0	0	1	3	15	52	9	31	1	3	2	7	2	7	
120	1	_	H36	PDM	Z0	UE171	PISO	INT	253	174	69	4	2	1	1	5	3	111	64	45	26	18	10	21	12	3	2	
121	1	_	H36	PDM	Z0	UE192	REL RECORTE	INT	98	79	81	3	4	0	0	6	8	49	62	30	38	0	0	8	10	0	0	
122	1	_	H36	PDM	Z0	UE195	PISO	INT	26	20	77	3	15	0	0	2	10	9	45	4	20	1	5	2	10	0	0	
123	1	_	H36	PDM	Z0	UE197	REMODELACION DE USO	INT	111	98	88	12	12	0	0	15	15	46	47	24	24	0	0	14	14	0	0	
124	1	_	H36	PDM	Z0	UE291	SEPI	INT	23	20	87	1	5	0	0	2	10	15	75	8	40	0	0	0	0	0	0	
125	3	3b	H37	PDM	Z0	1A1	DER	INT	100	97	97	14	14	0	0	93	96	5	5	27	28	2	2	2	2	0	0	
126	3	3b	H37	PDM	Z0	1A2	SEPI	INT	69	69	100	4	6	0	0	65	94	8	12	25	36	2	3	1	1	0	0	
127	3	3b	H37	PDM	Z0	2A1	DER	INT	103	103	100	2	2	0	0	83	81	10	10	23	22	10	10	1	1	1	1	
128	3	3b	H37	PDM	Z0	2B7	BANQUETA	INT	21	18	86	1	6	0	0	9	50	7	39	3	17	1	6	1	6	0	0	
129	3	3b	H37	PDM	Z0	2B10	ACON	INT	115	113	98	9	8	0	0	73	65	21	19	42	37	26	23	5	4	1	1	
130	3	3a	H41	PDM	Z0	1A1	DER	INT	5	5	100	3	60	0	0	0	0	1	20	2	40	1	20	0	0	0	0	
131	3	3a	H41	PDM	Z0	1A2	DER	INT	8	7	88	0	0	0	0	0	0	7	100	4	57	0	0	0	0	0	0	
132	3	3a	H41	PDM	Z0	1A3	RELLENO COLMATACION	INT	9	8	89	1	13	0	0	0	0	7	88	4	50	0	0	0	0	0	0	
133	3	3a	H41	PDM	Z0	1A4	DER	INT	3	3	100	0	0	0	0	0	0	1	33	0	0	2	67	0	0	0	0	
134	3	3a	H41	PDM	Z0	1A5	DER	INT	9	9	100	0	0	0	0	0	0	7	78	1	11	3	33	0	0	0	0	

UMA	FASE	SF	AMBITO	SECTOR	Z	SC	DEF	LOC	NR	AN	AN %	AG	AG %	ROD	ROD %	CON	CON %	RA	RA %	VER	VER %	SED	SED %	RO	RO %	CAR	CAR %
135	3	3a	H41	PDM	Z0	1B5a	ACON	INT	41	40	98	0	0	0	0	1	3	31	78	26	65	3	8	3	8	1	3
136	3	3a	H41	PDM	Z0	1B9a	PISO	INT	4	4	100	0	0	0	0	1	25	1	25	2	50	1	25	0	0	0	0
137	3	3a	H52	PDM	Z0	1A1	SEPI	INT	16	16	100	0	0	0	0	16	100	0	0	8	50	0	0	0	0	0	0
138	3	3a	H52	PDM	Z0	1A2	FRE	INT	39	39	100	8	21	0	0	22	56	8	21	25	64	0	0	1	3	0	0
139	3	3a	H52	PDM	Z0	1A3	ACON	INT	9	9	100	0	0	0	0	3	33	3	33	6	67	0	0	0	0	0	0
140	3	3a	H52	PDM	Z0	1A4	ACON	INT	7	7	100	0	0	0	0	4	57	1	14	4	57	0	0	0	0	0	0
141	3	3a	H52	PDM	Z0	1A5	COLMATACION DE ABSIDE	INT	19	19	100	1	5	0	0	8	42	3	16	13	68	0	0	1	5	0	0
142	3	3a	H52	PDM	Z0	1A6	DER	INT	9	9	100	0	0	0	0	6	67	3	33	2	22	0	0	1	11	0	0
143	3	3a	H52	PDM	Z0	1A7	ACON	INT	1	1	100	1	100	0	0	1	100	0	0	0	0	0	0	0	0	0	0
144	3	3a	H52	PDM	Z0	1A8	DER	INT	18	17	94	0	0	0	0	5	29	5	29	7	41	0	0	3	18	0	0
145	3	3a	H52	PDM	Z0	1B5a	EMPEDRADO	INT	16	16	100	0	0	0	0	13	81	0	0	6	38	0	0	0	0	0	0
146	3	3a	H52	PDM	Z0	1B6a	CUBETA	INT	173	172	99	17	10	0	0	53	31	133	77	141	82	1	1	10	6	1	1
147	3	3a	H52	PDM	Z0	1B7a	PLATAFORMA	INT	26	26	100	2	8	0	0	1	4	14	54	12	46	0	0	4	15	0	0
148	3	3b	H53	LM	Z7	1A2	DER	INT	27	26	96	0	0	0	0	21	81	3	12	13	50	0	0	0	0	0	0
149	3	3b	H53	LM	Z7	1A3	ND	INT	15	15	100	0	0	0	0	10	67	3	20	5	33	0	0	0	0	0	0
150	3	3b	H53	LM	Z7	1A4	RELLENO BAJO PISO	INT	60	60	100	2	3	0	0	47	78	2	3	20	33	0	0	0	0	1	2
151	3	3b	H53	LM	Z7	1A5	RELLENO BAJO MURO	INT	24	24	100	2	8	0	0	13	54	3	13	13	54	0	0	0	0	0	0
152	3	3b	H54	LM	Z7	1A1	ERO	INT	18	18	100	0	0	0	0	13	72	1	6	9	50	0	0	0	0	0	0
153	3	3b	H54	LM	Z7	1A3	SEPI	INT	18	18	100	3	17	0	0	13	72	1	6	12	67	0	0	0	0	0	0
154	3	3b	H54	LM	Z7	1A4	RELLENO FOSAS ENTRE TUMBAS	INT	20	20	100	1	5	0	0	17	85	0	0	5	25	0	0	0	0	0	0
155	3	3b	H54	LM	Z7	2A1	ERO	INT	3	3	100	0	0	0	0	3	100	0	0	1	33	0	0	0	0	0	0
156	3	3b	H54	LM	Z7	2A3	RELLENO FOSAS ENTRE TUMBAS	INT	30	30	100	5	17	0	0	20	67	0	0	17	57	0	0	1	3	0	0
157	3	3b	H54	LM	Z7	2A4	SEPI	INT	22	22	100	2	9	0	0	12	55	1	5	13	59	0	0	0	0	0	0
158	3	3b	H54	LM	Z7	3A1	SEPI	INT	71	71	100	0	0	0	0	44	62	0	0	35	49	0	0	1	1	0	0
159	3	3b	H54	LM	Z7	3A2	ACON	INT	7	7	100	0	0	0	0	2	29	0	0	5	71	0	0	1	14	0	0
160	3	3b	H54	LM	Z7	3A3	ACON	INT	9	9	100	0	0	0	0	4	44	2	22	7	78	0	0	2	22	0	0
161	3	3b	H54	LM	Z7	3B8	POSTE	INT	1	1	100	0	0	0	0	1	100	0	0	0	0	0	0	0	0	0	0
162	3	3b	H61	CIMA	Z3	1A1	DER	INT	26	26	100	0	0	0	0	25	96	0	0	5	19	0	0	1	4	0	0
163	3	3b	H61	CIMA	Z3	1A2	SEPI	INT	14	14	100	3	21	0	0	11	79	0	0	4	29	0	0	0	0	0	0
164	3	3b	H61	CIMA	Z3	1B3	ACON	INT	8	8	100	1	13	0	0	7	88	0	0	2	25	0	0	0	0	0	0
165	3	3b	H61	CIMA	Z3	1B5c	HORNO	INT	2	2	100	0	0	0	0	2	100	1	50	0	0	0	0	0	0	0	0
166	3	3a	H62	CIMA	Z3	1A1	DER	INT	51	50	98	0	0	0	0	43	86	12	24	22	44	0	0	1	2	0	0
167	3	3a	H62	CIMA	Z3	1A2	DER	INT	22	22	100	1	5	0	0	18	82	5	23	8	36	0	0	0	0	0	0
168	3	3a	H62	CIMA	Z3	1A3	SEPI	INT	37	37	100	0	0	0	0	26	70	12	32	13	35	0	0	0	0	0	0

UMA	FASE	SF	AMBITO	SECTOR	Z	SC	DEF	LOC	NR	AN	AN %	AG	AG %	ROD	ROD %	CON	CON %	RA	RA %	VER	VER %	SED	SED %	RO	RO %	CAR	CAR %
169	3	3a	H62	CIMA	Z3	1B2	ACON	INT	15	14	93	0	0	0	0	9	64	5	36	4	29	0	0	0	0	0	0
170	3	3a	H62	CIMA	Z3	1B3	ACON	INT	6	6	100	0	0	0	0	3	50	2	33	5	83	0	0	0	0	0	0
171	2	_	H64	LM	Z7	1A1	FRE	INT	218	214	98	8	4	0	0	121	57	52	24	71	33	1	0,5	10	5	3	1
172	2	_	H64	LM	Z7	1A3	ACON	INT	67	67	100	0	0	0	0	46	69	0	0	24	36	2	3	2	3	0	0
173	1	_	H68	PDM	Z0	1A1	ND	INT	2	2	100	0	0	0	0	1	50	1	50	2	100	0	0	0	0	0	0
174	1	_	H68	PDM	Z0	1A2	ND	INT	2	2	100	1	50	0	0	1	50	0	0	0	0	0	0	0	0	0	0
175	1	_	H68	PDM	Z0	1A3	ND	INT	1	1	100	1	100	0	0	1	100	0	0	0	0	0	0	0	0	0	0
176	1	_	H68	PDM	Z0	1A4	ND	INT	20	19	95	4	21	0	0	5	26	6	32	6	32	1	5	1	5	0	0
177	1	_	H68	PDM	Z0	1A5	ND	INT	4	2	50	0	0	0	0	1	50	2	100	1	50	0	0	0	0	0	0
178	1	_	H68	PDM	Z0	1B1a	ND	INT	15	15	100	1	7	0	0	1	7	6	40	8	53	6	40	0	0	0	0
179	2	_	H83	PDM	Z1	1A1	ERO	INT	5	5	100	0	0	0	0	1	20	3	60	3	60	0	0	0	0	0	0
180	2	_	H83	PDM	Z1	1A2	ERO	INT	1	1	100	0	0	0	0	0	0	0	0	1	100	0	0	0	0	0	0
181	2	_	H83	PDM	Z1	1A3	ND	INT	29	29	100	1	3	0	0	3	10	21	72	11	38	0	0	1	3	0	0
182	2	_	H83	PDM	Z1	1A5	DER	INT	126	116	92	6	5	0	0	10	9	77	66	36	31	4	3	5	4	2	2
183	2	_	H83	PDM	Z1	1A6	DER	INT	1	1	100	0	0	0	0	0	0	0	0	0	0	0	0	0	0	0	0
184	2	_	H83	PDM	Z1	1A7	ND	INT	5	5	100	0	0	0	0	0	0	4	80	1	20	0	0	0	0	0	0
185	2	_	H83	PDM	Z1	1A8	ND	INT	4	4	100	0	0	0	0	2	50	0	0	2	50	0	0	0	0	0	0
186	2	_	H83	PDM	Z1	1A9	DER	INT	6	6	100	0	0	0	0	1	17	5	83	1	17	0	0	0	0	0	0
187	2	_	H83	PDM	Z1	1A10	DER	INT	5	5	100	0	0	0	0	0	0	5	100	1	20	0	0	1	20	0	0
188	2	_	H83	PDM	Z1	1B3	FOSA	INT	12	9	75	0	0	0	0	1	11	6	67	2	22	1	11	0	0	0	0
189	2	_	H83	PDM	Z1	1B19b	BANQUETA	INT	20	20	100	2	10	0	0	0	0	16	80	3	15	0	0	1	5	0	0
190	2	_	H83	PDM	Z1	2B2a	FOSA	INT	13	12	92	0	0	0	0	0	0	11	92	0	0	0	0	1	8	0	0
191	2	_	H83	PDM	Z1	2B3a	CUBETA COMBUSTIÓN	INT	31	29	94	1	3	0	0	3	10	23	79	5	17	0	0	0	0	1	3
192	2	_	C0	BAR	Z9	10A1	SEPI	INT	41	39	95	1	3	0	0	2	5	34	87	14	36	1	3	2	5	0	0
193	2	_	C0	BAR	Z9	10A2	DER	INT	10	10	100	0	0	0	0	0	0	9	90	1	10	1	10	0	0	0	0
194	2	_	C0	BAR	Z9	13A1	DER	INT	33	30	91	3	10	0	0	5	17	15	50	8	27	5	17	3	10	0	0
195	2	_	C0	BAR	Z9	13A2	DER	INT	8	7	88	1	14	0	0	3	43	3	43	0	0	0	0	0	0	0	0
196	2	_	C0	BAR	Z9	13A3	SEPI	INT	18	15	83	0	0	0	0	6	40	6	40	0	0	3	20	0	0	0	0
197	2	_	C0	BAR	Z9	15A1	ESC	INT	73	71	97	3	4	0	0	3	4	59	83	17	24	1	1	1	1	0	0
198	2	_	C0	BAR	Z9	15A2	ESC	INT	9	8	89	0	0	0	0	0	0	7	88	6	75	0	0	0	0	1	13
199	2	_	C0	BAR	Z9	15A3	DER	INT	32	32	100	1	3	0	0	4	13	27	84	14	44	0	0	1	3	0	0
200	2	_	C0	BAR	Z9	15A4	FRE	INT	13	13	100	0	0	0	0	1	8	8	62	8	62	0	0	0	0	1	8
201	1	_	C0	BAR	Z9	17A1	DER	INT	23	21	91	1	5	0	0	1	5	16	76	7	33	1	5	0	0	1	5
202	1	_	C0	BAR	Z9	17A2	DER ALTERADO POR ESC	INT	44	36	82	9	25	0	0	2	6	26	72	6	17	0	0	0	0	1	3

UMA	FASE	SF	AMBITO	SECTOR	Z	SC	DEF	LOC	NR	AN	AN %	AG	AG %	ROD	ROD %	CON	CON %	RA	RA %	VER	VER %	SED	SED %	RO	RO %	CAR	CAR %
203	1	_	C0	BAR	Z9	17A3	DER	INT	19	15	79	0	0	0	0	1	7	7	47	4	27	6	40	0	0	0	0
204	1	_	C0	BAR	Z9	19A1	DER	INT	24	21	88	0	0	0	0	3	14	17	81	5	24	0	0	2	10	0	0
205	1	_	C0	BAR	Z9	19A2	DER	INT	12	17	142	1	6	0	0	2	12	3	18	0	0	1	6	0	0	0	0
206	1	_	C0	BAR	Z9	19A3	FRE	INT	93	87	94	2	2	0	0	5	6	75	86	37	43	3	3	5	6	1	1
207	3	3b	I1	PDM	Z1	1A1	ERO	CIST	1	1	100	1	100	0	0	0	0	0	0	1	100	0	0	0	0	0	0
208	3	3b	I1	PDM	Z1	1A2	DER	CIST	8	8	100	8	100	0	0	2	25	0	0	5	63	0	0	0	0	0	0
209	3	3b	I1	PDM	Z1	1A3	ESC	CIST	13	13	100	4	31	0	0	8	62	1	8	12	92	0	0	0	0	0	0
210	3	3b	I1	PDM	Z1	1A4	ND	CIST	113	110	97	12	11	0	0	73	66	8	7	55	50	1	1	1	1	1	1
211	3	3b	I1	PDM	Z1	1A5	ND	CIST	51	49	96	16	33	0	0	16	33	3	6	24	49	0	0	1	2	1	2
212	3	3b	I1	PDM	Z1	1A8	DER	CIST	4	4	100	1	25	0	0	1	25	1	25	3	75	0	0	0	0	0	0
213	3	3b	I1	PDM	Z1	1B4a	PISO	CIST	15	15	100	15	100	0	0	0	0	1	7	7	47	0	0	1	7	0	0
214	3	3b	I1	PDM	Z1	2A1	COLMATACION	CIST	24	22	92	17	77	0	0	4	18	0	0	10	45	0	0	0	0	0	0
215	3	3b	I1	PDM	Z1	2A2	COLMATACION	CIST	16	15	94	13	87	0	0	1	7	1	7	3	20	0	0	1	7	0	0
216	3	3a	I1	PDM	Z1	3A1	ND	CIST	9	9	100	4	44	0	0	2	22	0	0	6	67	0	0	0	0	0	0
217	3	3a	I1	PDM	Z1	3A2	DER	CIST	8	8	100	8	100	0	0	0	0	0	0	1	13	0	0	0	0	0	0
218	2	_	I2	PDM	Z1	1A1	COLMATACION 2º FASE CISTERNA PREVIA AL DIQUE	CIST	28	28	100	18	64	0	0	1	4	5	18	15	54	0	0	2	7	1	4
219	2	_	I2	PDM	Z1	1A2	COLMATACION 1º FASE CISTERNA PREVIA AL DIQUE	CIST	399	399	100	395	99	0	0	3	1	6	2	136	34	0	0	5	1	5	1
220	2	_	I2	PDM	Z1	1A3	COLMATACION CISTERNA MAS ANTIGUA PREVIA AL DIQUE	CIST	3	2	67	2	100	0	0	0	0	0	0	2	100	0	0	0	0	0	0
221	2	_	I2	PDM	Z1	1A4	ND	CIST	32	32	100	32	100	0	0	0	0	3	9	11	34	0	0	1	3	1	3
222	2	_	I2	PDM	Z1	1A5	COLMATACION CISTERNA MAS ANTIGUA PREVIA AL DIQUE	CIST	59	59	100	59	100	0	0	1	2	6	10	19	32	0	0	2	3	0	0
223	2	_	I2	PDM	Z1	1A6	COLMATACION DE LA CISTERNA MAS ANTIGUA EN CONTACTO DIRECTO CON PAVIMENTO	CIST	96	96	100	95	99	0	0	2	2	3	3	29	30	0	0	1	1	1	1
224	2	_	I2	PDM	Z1	1B1a	PAVIMENTO ASOCIADO A LA CISTERNA PREVIA A LA CONSTRUCCIÓN DEL DIQUE	CIST	5	5	100	5	100	0	0	0	0	0	0	2	40	0	0	0	0	0	0
225	2	_	I2	PDM	Z1	2A1	COLMATACION Y AMORTIZACION DEL PAVIMENTO MAS ANTIGUO PREVIO AL DIQUE	CIST	87	87	100	87	100	2	2	0	0	7	8	37	43	0	0	1	1	2	2
226	2	_	I2	PDM	Z1	2A2	ERO	CIST	10	6	60	10	167	0	0	0	0	2	33	9	150	0	0	0	0	1	17
227			E8	PDM	Z1	1A1	ESC	EXT	427	421	99	168	40	0	0	48	11	199	47	206	49	1	0,2	3	1	4	1
228	3	3b	E16	CIMA	Z3	2A1	ERO	EXT	135	135	100	8	6	0	0	90	67	38	28	74	55	0	0	0	0	0	0
229	3	3a	E16	CIMA	Z3	2A2	ERO	EXT	72	72	100	0	0	0	0	67	93	4	6	25	35	0	0	0	0	0	0



### **Anexo 3. Datos biométricos de la muestra de Gatas y La Bastida**



Las dimensiones consideradas en el estudio biométrico responden a la propuesta desarrollada en el Laboratori d'Arqueozoologia de la UAB. A continuación, se detallan las abreviaturas utilizadas en este trabajo y entre paréntesis se indica la abreviatura correspondiente en la sistematización de Driesch (1976). Las medidas no especificadas se señalan con un guión (-).

#### Esqueleto post-craneal

Øcv	-	Diámetro del canal vertebral (atlas).
AC	-	Anchura del <i>Caput</i> (fémur).
AD	(BD)	Anchura mínima de la diáfisis.
Ad	(Bd)	Anchura máxima distal.
AFcd	(BFcd)	Anchura de la facies articular caudal (atlas, axis).
AFcr	(BFcr)	Anchura de la facies articular craneal (atlas, axis).
AFd	(BFD)	Anchura de la facies articular distal (talus de équidos).
AM	(GB)	Anchura máxima.
Amri	(SB)	Anchura mínima de la rama del Ilium (pelvis).
AmV	(SBV)	Anchura mínima del cuerpo de la vértebra (axis).
Ap	(Bp)	Anchura máxima proximal.
APacd	(SPacd)	Anchura de los procesos articulares caudales (axis).
aPC	(DC)	Medida antero-posterior del <i>Caput</i> (fémur).
aPC	(SLC)	Medida antero-posterior del <i>Collum</i> (escápula).
aPD	(DD)	Medida antero-posterior de la diáfisis (metacarpo y metatarso).
aPd	(Dd)	Medida antero-posterior distal (radio, tibia).
aPl	(DI)	Medida antero-posterior lateral ( <i>talus</i> de rumiantes).
aPM	-	Medida antero-posterior máxima (calcáneo y huesos cortos).
aPme	(Dm)	Medida antero-posterior medial ( <i>talus</i> de rumiantes).
aPP	(GLP)	Medida antero-posterior del proceso articular (escápula).
aPp	(DP)	Medida antero-posterior máxima proximal.
aPPa	(DPA)	Medida antero-posterior del proceso <i>anconaeus</i> (ulna).
aPS	-	Medida antero-posterior mínima de la superficie articular hasta el borde caudal de la ulna.
aPsD	-	Medida antero-posterior máxima supra diáfisis (ulna).
aPSd	(Dd)	Medida antero-posterior de la superficie articular distal (metacarpo y metatarso).
APtr	(BPtr)	Anchura del proceso transversal (axis).
AS	(BG)	Anchura de la superficie articular (escápula).
ASd	(BT)	Anchura de la superficie articular distal (húmero, radio, metacarpo y metatarso).
ASp	(BFP)	Anchura de la superficie articular proximal (radio, ulna).
ATd	-	Anchura de la tróclea distal (fémur).
ATr	(BTr)	Anchura de la región del <i>Trochanter tertius</i> ( <i>Lepus</i> y <i>Cuniculus</i> ).
CD	(CD)	Circunferencia mínima de la diáfisis (équidos).
Cmrl	(SC)	Circunferencia mínima de la rama del Ilium (pelvis).
HM	(H, GH)	Altura máxima.
Hmrl	(SH)	Altura mínima de la rama del Ilium (pelvis).
HMSd	-	Altura máxima de la superficie articular distal (húmero).
HmSd	-	Altura mínima de la superficie articular distal (húmero).
HO	(LO)	Altura máxima del Olecranon (ulna de rumiantes).
HS	-	Altura de la superficie articular (FA3 de équidos y artiodáctilos).
HSp	-	Altura de la superficie articular proximal (ulna).
LA	(LA)	Longitud del <i>Acetabulum</i> incluyendo el labio (pelvis).
LAB	(LAR)	Longitud del <i>Acetabulum</i> en el borde interior (pelvis).
LAPa	(LAPa)	Longitud del arco incluyendo los procesos articulares caudales (axis).
LC	(GLC)	Longitud máxima desde el <i>Caput</i> (húmero, fémur).
LCDe	(LCDe)	Longitud del corpus incluyendo el dens (axis). Si la epífisis caudal no está fusionada, se toma la medida haciéndolo constar (Driesch 1976: 69).
Ldo	(Ld)	Longitud dorsal (FA3 de équidos y artiodáctilos).
LDP	(DLS)	Longitud diagonal (FA3 de équidos y artiodáctilos).
LE	(HS)	Longitud máxima en la región de la espina (escápula).
Lla	(GLI)	Longitud lateral ( <i>talus</i> artiodáctilos).
LI	(LI)	Longitud lateral (radio de équidos).
LM	(GL)	Longitud máxima.
Lme	(GLm)	Longitud medial ( <i>talus</i> artiodáctilos).
LmeT	(LmT)	Longitud medial de la tróclea ( <i>talus</i> de équidos).
LMpe	(GLpe)	Longitud máxima periférica (FA1 y 2 de artiodáctilos).
LPC	-	Longitud del proceso calcáneo (calcáneo de équidos y artiodáctilos).



**NR medidos**

<b>ORCU</b>	Gatas	Bastida	<b>LECA</b>	Gatas	Bastida
AT	1	1	E	—	4
SA	3	—	HU	1	2
E	28	40	R	—	1
HU	46	67	FE	—	3
R	22	36	TI	—	2
UL	34	33	CAL	—	1
PEL	64	104	MC III	—	1
FE	42	84	MT II	—	1
TI	76	57			
CAL	16	8	<b>EQCA</b>	Gatas	Bastida
TA	—	1	AT	—	1
MC II	—	3	UL	—	1
MC III	—	3	R	—	3
MC IV	—	1	PEL	—	2
MC V	—	1	FE	—	1
MT II	7	11	RO	—	1
MT III	5	9	TI	—	2
MT IV	4	13	MT II	—	1
MT V	4	4	MT III	—	3
MP	—	4	MT IV	—	2
FA1	2	10	MP	—	2
MD	54	28	FA1	—	4
CR	13	10	FA2	—	4
			FA3	—	3
<b>BOTA</b>	Gatas	Bastida	C III	—	1
AX	—	1	C RAD	—	1
E	—	1	CAL	—	3
HU	—	7	TA	—	1
R	1	4	TCEN	—	1
UL	—	2	T I	—	1
PEL	—	1	T 2+3	—	2
FE	2	—	T IV	—	1
RO	—	1	SES	—	1
TI	1	2	M1Sup	—	1
FE	1	—	M2Sup	—	1
MC	—	6	P2Inf	—	1
MT	—	5	M2Inf	—	1
MP	—	2			
CAL	—	6	<b>CEEL</b>	Gatas	Bastida
TA	2	8	VTO	—	2
FA1	4	27	HU	1	—
FA2	2	17	R	1	3
FA3	3	7	PEL	—	2
CENTQ	—	1	FE	—	2
C2+3	1	—	TI	1	5
CINT	—	1	MC	2	3
CRAD	—	1	MT	—	6
MAL	—	1	MP	1	1
MD	—	1	FA1	5	19

<i>BOTA</i>	<i>Gatas</i>	<i>Bastida</i>	<i>CEEL</i>	<i>Gatas</i>	<i>Bastida</i>
D3Sup	–	1	FA2	5	7
D4Sup	–	3	FA3	4	2
P1Sup	1	–	CRAD	–	1
P2Sup	2	4	CARUL	1	–
P3Sup	–	3	CENTQ	2	2
P4Sup	–	1	CAL	2	1
M1Sup	3	8	TA	–	4
M2Sup	1	13	MAL	1	–
M3Sup	–	7	P2Sup	–	1
D3Inf	–	2	P3Sup	–	1
D4Inf	–	1	M1Sup	–	2
P3Inf	1	–	M2Sup	–	2
P4Inf	–	1	M3Sup	–	1
M1Inf	3	6	P2Inf	–	2
M2Inf	–	5	P3Inf	–	3
M3Inf	2	2	P4Inf	–	2
			M1Inf	–	1
			M2Inf	–	3

<b>OVAR</b>	<b>Gatas</b>	<b>Bastida</b>	<b>CAHI</b>	<b>Gatas</b>	<b>Bastida</b>
E	1	3	E	–	1
HU	6	8	HU	9	6
R	7	10	R	4	7
UL	1	2	UL	2	2
PEL	–	2	PEL	1	1
FE	2	–	FE	4	1
RO	–	1	RO	–	1
TI	8	12	TI	7	10
CAL	6	4	CAL	9	8
TA	9	11	TA	8	5
MC	5	9	MC	3	8
MT	4	10	MT	2	9
MP	1	–	MP	1	2
CRAD	–	–	CRAD	1	2
CENTQ	–	2	CENTQ	–	–
FA1	10	21	FA1	15	5
FA2	9	8	FA2	14	7
FA3	2	2	FA3	3	7
MD	–	1	CR	–	1
D2Inf	–	1	D2Inf	–	2
D3Inf	–	3	D3Inf	1	6
D4Inf	1	5	D4Inf	–	6
P2Inf	–	5	P2Inf	–	2
P3Inf	1	12	P3Inf	–	2
P4Inf	2	11	P4Inf	–	3
M1Inf	3	20	M1Inf	3	10
M2Inf	8	20	M2Inf	4	12
M3Inf	1	8	M3Inf	1	5

<b>OVCA</b>	Gatas	Bastida	<b>CPPY</b>	Gatas	Bastida
VCER	1	—	VT	1	—
VTO	—	1	HU	—	1
E	1	3	UL	1	—
HU	—	2	R	—	1
R	3	6	PEL	1	—
UL	3	2	TI	—	3
PEL	11	11	MT	—	2
FE	1	4	MP	1	—
TI	7	19	CAL	—	1
MC	1	5	TA	—	3
MT	1	4	FA1	2	5
MP	—	1	FA2	1	—
CAL	—	2			
TA	—	1	<b>CPCP</b>	Gatas	Bastida
C IV	—	1	R	—	1
T 2+3	—	1	TI	—	2
FA1	—	3	MC	—	1
FA2	—	2			
D2Sup	—	2	<b>LYPA</b>	Gatas	Bastida
D3Sup	1	2	UL	1	—
D4Sup	—	3			
P1Sup	1	—	<b>FESY</b>	Gatas	Bastida
P2Sup	4	—	PEL	—	1
P3Sup	2	3	FA1	1	—
P4Sup	1	4	MD	1	—
M1Sup	13	31	M1Inf	1	—
M2Sup	7	24			
M3Sup	2	11			
P3Inf	—	1			
M1Inf	—	2			
M2Inf	—	2			
<b>SUDO</b>	Gatas	Bastida	<b>SUCR</b>	Gatas	Bastida
AT	1	1	AT	2	—
E	—	7	HU	—	1
HU	1	1	PEL	—	1
R	—	3	CAL	—	2
UL	—	4	TA	1	—
PEL	—	2	FA2	—	1
TI	1	4	MD	1	—
CAL	3	2	M3Inf	1	—
TA	6	—			
MC II	—	1	<b>SUS sp</b>	Gatas	Bastida
MC III	—	4	E	1	—
MC IV	—	4	HU	1	—
MC V	—	3	UL	—	2
MT III	—	2	TI	1	—
MT IV	—	1	MC III	1	—
MP	1	—	T IV	1	—
CARUL	—	1	FA1	1	—
C III	—	1	FA3	1	—

<i>SUDO</i>	<i>Gatas</i>	<i>Bastida</i>	<i>SUS sp</i>	<i>Gatas</i>	<i>Bastida</i>
C IV	–	1	M1Inf	2	–
TCEN	–	1	M2Inf	1	–
T IV	–	1			
FA1	1	4	<b>VUVU</b>	Gatas	Bastida
FA2	5	2	HU	1	–
FA3	–	–	R	–	1
FAR	1	4	PEL	1	–
MD	1	2	FA1	–	1
D3Sup	–	2	MD	1	–
D4Sup	–	3	P2Sup	–	1
P2Sup	–	1			
P3Sup	–	3	<b>CAFA/VUVU</b>	Gatas	Bastida
P4Sup	–	1	TI	1	–
M1Sup	–	3			
M3Sup	1	–	<b>CAFA</b>	Gatas	Bastida
D4Inf	–	1	HU	1	5
P2Inf	–	1	R	2	2
P4Inf	–	1	UL	–	2
M1Inf	–	3	FE	1	1
M2Inf	–	1	PEL	–	1
M3Inf	1	3	TI	2	6
			MC I	–	2
			MC II	–	2
			MC III	–	4
			MC V	1	3
			MT II	–	2
			MT III	–	3
			MT IV	–	3
			MT V	–	2
			FA1	–	15
			FA2	–	8
			FA3	–	1
			CAL	1	1
			TA	1	2
			CARUL	–	1
			C IV	–	1
			MD	2	4
			P2Sup	1	–
			P4Sup	1	2
			M1Sup	1	3
			M2Sup	1	1
			P3Inf	–	1
			M1Inf	–	1
			CR	1	1



**BOS TAURUS**

HUE	NIN	YAC	Z	CON	SUBC	CRONO	ESP	EF	Medidas
-----	-----	-----	---	-----	------	-------	-----	----	---------

R									LM	Ap	ASp	APp	AD	Ad	ASd	APd
	G-ZC-F-11314	G-95	ZC	212	A1	FASE IV	BOTA	F		67,79	61,07	34,47				

FE									Ap	AC	ATr	aPC	AD	Ad	ATd
	G-MS-F-0373	G-01	19	17	A2	FASE I	BOTA	PF						74,17	39,04
	G-MS-F-0374	G-01	19	17	A2	FASE I	BOTA	PF	51,82			40,78			

TI									LM	Ap	APp	AD	Ad	aPd	ASd
	G-MS-F-0985	G-01	19	6	A1	FASE III-IV	BOTA	F				29,49	47,06	34,97	40,49

TA									Lla	Lme	aPla	aPme	Ad
	G-ZC-F-12579	G-95	ZC	116	A1	FASE I	BOTA	_		55,90	34,54	30,48	
	G-ZC-F-11234	G-95	ZC	211	A1	FASE IV	BOTA	_	55,02		30,80	27,40	

FA1									Lmpe	Ap	ASp	APp	AD	Ad	APd
	G-ZC-F-12577	G-95	ZC	116	A1	FASE I	BOTA	PF	51,63	25,20	25,00	27,28	21,75	24,16	19,68
	G-ZC-F-13594	G-95	ZC	11	A1	FASE I-II	BOTA	F	54,09	32,98	31,15	36,39	28,27	33,69	23,07
	G-ZC-F-11311	G-95	ZC	212	A1 este	FASE IV	BOTA	F	51,81	33,11	28,75	32,49	25,76	30,49	23,16
	G-ZC-F-13136	G-95	ZC	312	A1	FASE IV	BOTA	F		23,45	20,91	26,39	19,18		

FA2									LMpe	Ap	APp	AD	Ad	APd
	G-ZC-F-11958	G-95	ZC	215	A1	FASE III	BOTA	F	33,74			18,55	19,83	23,05
	G-MS-F-1017	G-01	19	6	A1	FASE III-IV	BOTA	F	37,00	30,30		23,25		

FA3									LDP	Ldo	MBS
	G-ZC-F-11662	G-95	ZC	214	A1	FASE II	BOTA	F			22,24
	G-ZC-F-12034	G-95	ZC	314	A1	FASE II	BOTA	F	43,83	43,56	11,89
	G-ZC-F-11535	G-95	ZC	213	A2	FASE III	BOTA	F	66,54	50,70	20,18

C2+3									LM	AM
	G-MS-F-0548	G-01	19	17	A2	FASE I	BOTA	_	36,03	40,19

P1Sup									LM	AM
	G-ZC-F-11096	G-95	ZC	211	A1	FASE IV	BOTA	_	17,26	13,99

P2Sup									LM	AM
	G-MS-F-1882	G-01	5	4	A1	FASE I	BOTA	_	19,75	14,85
	G-ZC-F-11920	G-95	ZC	214	A4	FASE II	BOTA	_	13,54	13,56

M1Sup									LM	AM
	G-ZC-F-12369	G-95	ZC	114	A1	FASE II	BOTA	_	26,64	24,99
	G-ZC-F-11833	G-95	ZC	214	A2	FASE II	BOTA	_	27,95	15,61
	G-ZC-F-11435	G-95	ZC	212	A1	FASE IV	BOTA	_	23,41	18,33

M2Sup									LM	AM
	G-ZC-F-11149	G-95	ZC	211	A1	FASE IV	BOTA	_	26,84	16,07

P3Inf									LM	AM
	G-ZC-F-12660	G-95	ZC	306	A1	FASE IV	BOTA	_	19,19	11,77

M1Inf									LM	AM
	G-ZC-F-11832	G-95	ZC	214	A2	FASE II	BOTA	_	26,11	13,66
	G-ZC-F-12424	G-95	ZC	115	A3	FASE II	BOTA	_	23,79	13,48
	G-ZC-F-12036	G-95	ZC	314	A1	FASE II	BOTA	_	23,38	15,21

M3Inf									LM	AM
	G-MS-F-0728	G-01	19	17	A2	FASE I	BOTA	_	37,52	12,88
	G-ZC-F-12737	G-95	ZC	306	A1	FASE IV	BOTA	_	31,70	13,62

**OVICAPRIDO**

HUE	NIN	YAC	Z	CON	SUBC	CRONO	ESP	EF	Medidas
-----	-----	-----	---	-----	------	-------	-----	----	---------

VCER									LCDe	LAPa	AFcr	APacd	APtr	AmV	AFcd	HFcr
	G-ZC-F-11392	G-95	ZC	212	A1	FASE IV	OVCA	F		29,81	33,04					

E									aPC	aPP	aPS	AS	LE
	G-ZC-F-12106	G-95	ZC	314	A2	FASE II	OVCA	_	16,35				

R									LM	Ap	ASp	APp	AD	Ad	ASd	APd
	G-MS-F-0119	G-01	19	7	A2	FASE II	OVCA	_				16,21				
	G-MS-F-0214	G-01	19	7	A3	FASE II	OVCA	_			15,54					
	G-MS-F-0245	G-01	19	7	A3	FASE II	OVCA	_				15,89				

UL									HO	aPPa	aPS	APsD	HSp	ASp
	G-MS-F-0201	G-01	19	7	A3	FASE II	OVCA	_						16,49
	G-MS-F-0350	G-01	19	7	A5	FASE II	OVCA	_						16,57
	G-MS-F-1009	G-01	19	6	A1	FASE III-IV	OVCA	_		24,83	15,95	13,29	19,49	19,90

PEL									LA	LAB	Hmrl	Amrl	
	G-MS-F-2213	G-01	4	13	A1	FASE I	OVCA	F			16,03	8,90	
	G-ZC-F-12484	G-95	ZC	216	A1	FASE I	OVCA	F			17,09	9,04	
	G-MS-F-0105	G-01	19	7	A1 SE	FASE II	OVCA	_			14,95	7,28	
	G-MS-F-0270	G-01	19	7	A4	FASE II	OVCA	F			15,39	8,17	
	G-ZC-F-12349	G-95	ZC	114	A1	FASE II	OVCA	_			14,45	7,21	
	G-ZC-F-11880	G-95	ZC	214	A2	FASE II	OVCA	_			15,20	6,89	
	G-ZC-F-13026	G-95	ZC	307	A1	FASE II	OVCA	NF			13,11	7,15	
	G-ZC-F-11469	G-95	ZC	213	A1	FASE III	OVCA	F			16,90	9,61	
	G-ZC-F-11319	G-95	ZC	212	A1	FASE IV	OVCA	F			16,4	8,27	
	G-ZC-F-11321	G-95	ZC	212	A1	FASE IV	OVCA	_			9,16	5,55	INF/JUV
	G-MS-F-0890	G-01	19	5	A2	FASE III-IV	OVCA	_			15,04	7,04	

FE									Ap	AC	ATr	aPC	AD	Ad	ATd
	G-MS-F-0047	G-01	19	7	A1	FASE II	OVCA	NF						20,77	

TI									LM	Ap	APp	AD	Ad	aPd	ASd
	G-MS-F-0401	G-01	19	17	A2	FASE I	OVCA	F						14,17	
	G-MS-F-0438	G-01	19	17	A2	FASE I	OVCA	_						11,23	
	G-MS-F-0545	G-01	19	17	A2	FASE I	OVCA	_				13,93			
	G-MS-F-0550	G-01	19	17	A2	FASE I	OVCA	_				11,46			
	G-MS-F-1115	G-01	19	15	A1 SUR	FASE I	OVCA	_				11,60			
	G-MS-F-0130	G-01	19	7	A3	FASE II	OVCA	NF				13,09			
	G-ZC-F-11344	G-95	ZC	212	A1	FASE IV	OVCA	NF				14,56			

MC									Ap	aPp	AD	Ad	ASd	aPd	aPSd
	G-ZC-F-11688	G-95	ZC	214	A2	FASE II	OVCA	_			9,47				

MT									Ap	aPp	AD	Ad	ASd	aPd	aPSd
	G-ZC-F-11261	G-95	ZC	211	A1	FASE IV	OVCA	_			10,68				

D3Sup									LM	AM
	G-MS-F-0446	G-01	19	17	A2	FASE I	OVCA	_	13,17	9,07

P1Sup									LM	AM
	G-ZC-F-12347	G-95	ZC	114	A1	FASE II	OVCA	_	7,06	6,73

P2Sup									LM	AM
	G-MS-F-1937	G-01	18	2	A1	FASE I	OVCA	_	7,23	7,17
	G-ZC-F-12347	G-95	ZC	114	A1	FASE II	OVCA	_	7,25	9,15
	G-ZC-F-12348	G-95	ZC	114	A1	FASE II	OVCA	_	7,14	6,71
	G-ZC-F-13490	G-95	ZC	310	A2	FASE IV	OVCA	_	7,83	7,32

<b>P3Sup</b>										
									LM	AM
	G-ZC-F-11095	G-95	ZC	211	A1	FASE IV	OVCA	_	7,42	8,47
	G-ZC-F-13731	G-95	ZC	401	A2		OVCA	_	8,30	8,48

<b>P4Sup</b>										
									LM	AM
	G-ZC-F-13713	G-95	ZC	401	A1		OVCA	_	9,23	

<b>M1Sup</b>										
									LM	AM
	G-MS-F-1228	G-01	19	18	A1	FASE I	OVCA	_	16,60	10,12
	G-MS-F-1239	G-01	19	18	A1	FASE I	OVCA	_	15,41	9,52
	G-MS-F-1536	G-01	5	3	A1	FASE I	OVCA	_	16,90	9,97
	G-MS-F-1647	G-01	5	3	A1	FASE I	OVCA	_	14,39	8,77
	G-MS-F-0146	G-01	19	7	A3	FASE II	OVCA	_	15,08	11,44
	G-MS-F-0148	G-01	19	7	A3	FASE II	OVCA	_	14,63	9,76
	G-ZC-F-11836	G-95	ZC	214	A2	FASE II	OVCA	_	14,20	11,79
	G-ZC-F-11840	G-95	ZC	214	A2	FASE II	OVCA	_	13,47	9,81
	G-ZC-F-11435	G-95	ZC	212	A1	FASE IV	OVCA	_	23,83	18,08
	G-ZC-F-11437	G-95	ZC	212	A1	FASE IV	OVCA	_	10,69	9,92
	G-ZC-F-12723	G-95	ZC	306	A1	FASE IV	OVCA	_	14,72	9,34
	G-ZC-F-12910	G-95	ZC	306	A1	FASE IV	OVCA	_	14,85	8,73
	G-ZC-F-13730	G-95	ZC	401	A2		OVCA	_	13,09	11,45

<b>M2Sup</b>										
									LM	AM
	G-MS-F-0017	G-01	19	7	A1	FASE II	OVCA	_	16,44	9,79
	G-ZC-F-11841	G-95	ZC	214	A2	FASE II	OVCA	_	14,44	10,30
	G-ZC-F-11842	G-95	ZC	214	A2	FASE II	OVCA	_	14,68	9,30
	G-ZC-F-11843	G-95	ZC	214	A2	FASE II	OVCA	_	14,59	11,04
	G-ZC-F-12990	G-95	ZC	307	A2	FASE II	OVCA	_	14,32	11,20
	G-ZC-F-13084	G-95	ZC	312	A1	FASE IV	OVCA	_	16,29	8,66
	G-ZC-F-13550	G-95	ZC	217	A1		OVCA	_	17,86	12,73

<b>M3Sup</b>										
									LM	AM
	G-MS-F-0145	G-01	19	7	A3	FASE II	OVCA	_	15,92	10,00
	G-ZC-F-12330	G-95	ZC	114	A2	FASE II	OVCA	_	16,89	10,14



**OVIS ARIES**

HUE	NIN	YAC	Z	CON	SUBC	CRONO	ESP	EF	Medidas
-----	-----	-----	---	-----	------	-------	-----	----	---------

E									aPC	aPP	aPS	AS	LE
	G-ZC-F-12731	G-95	ZC	306	A1	FASE IV	OVAR	F	21,58	35,11	24,88	22,71	

HU									LM	LC	Ap	aPp	AD	Ad	ASd	HMSd	HmSd
	G-ZC-F-12578	G-95	ZC	116	A1	FASE I	OVAR	F								20,99	16,06
	G-ZC-F-11471	G-95	ZC	213	A1	FASE III	OVAR	F						29,78	25,76	18,66	14,66
	G-ZC-F-11347	G-95	ZC	212	A1	FASE IV	OVAR	F						25,33	25,22	16,61	13,23
	G-ZC-F-13326	G-95	ZC	311	A1	FASE IV	OVAR	PF						25,97	26,23	16,92	12,98
	G-MS-F-0898	G-01	19	5	A2	FASE III-IV	OVAR	PF					11,72				
	G-MS-F-0889	G-01	19	5	A2	FASE III-IV	OVAR	PF					9,27	22,82	22,50	13,47	10,70

R									LM	Ap	ASp	APp	AD	Ad	ASd	APd
	G-MS-F-1078	G-01	19	17	A1	FASE I	OVAR	F					28,53	26,93	14,56	
	G-ZC-F-12227	G-95	ZC	114	A2	FASE II	OVAR	F		31,22	29,54	16,03				
	G-MS-F-0118	G-01	19	7	A2	FASE II	OVAR	PF					25,13	24,95		
	G-ZC-F-11961	G-95	ZC	215	A1	FASE III	OVAR	F		28,33	26,75	14,29				
	G-ZC-F-13278	G-95	ZC	313	A1	FASE III	OVAR	F		34,64	32,84	17,22				
	G-ZC-F-13323	G-95	ZC	311	A1	FASE IV	OVAR	F					28,08	24,55	19,13	
	G-ZC-F-13220	G-95	ZC	312	A2	FASE IV	OVAR	F		26,85	24,94	14,48	13,94			

UL									HO	aPPa	aPS	APsD	HSp	ASp
	G-MS-F-1539	G-01	5	3	A1	FASE I	OVAR	-		27,38	18,49			

FE									Ap	AC	ATr	aPC	AD	Ad	ATd
	G-ZC-F-11933	G-95	ZC	214	A4	FASE II	OVAR	F	39,68	23,34		19,02			
	G-ZC-F-11313	G-95	ZC	212	A1	FASE IV	OVAR	F	41,71	22,59		19,15			

TI									LM	Ap	APp	AD	Ad	aPd	ASd
	G-ZC-F-12313	G-95	ZC	114	A2	FASE II	OVAR	F				12,37	22,79	20,81	18,59
	G-MS-F-0215	G-01	19	7	A3	FASE II	OVAR	NF				23,65	19,63	21,95	
	G-MS-F-0070	G-01	19	7	A1	FASE II	OVAR	NF				24,65	19,73		
	G-ZC-F-11001	G-95	ZC	211	A1	FASE IV	OVAR	F				26,25	20,87	19,38	
	G-ZC-F-13111	G-95	ZC	312	A1	FASE IV	OVAR	F				14,64	24,80	18,88	16,51
	G-ZC-F-11003	G-95	ZC	211	A1	FASE IV	OVAR	PF	200,92	38,37	39,99	13,66	24,17	18,72	18,37
	G-ZC-F-11345	G-95	ZC	212	A1	FASE IV	OVAR	PF		38,97	35,54				
	G-ZC-F-11109	G-95	ZC	211	A1	FASE IV	OVAR	NF					22,61	17,17	17,05

CAL									LM	AM	aPM	LPc
	G-ZC-F-12486	G-95	ZC	216	A1	FASE I	OVAR	-			20,65	19,55
	G-ZC-F-13013	G-95	ZC	307	A1	FASE II	OVAR	F	57,31	21,85	23,01	21,79
	G-MS-F-0151	G-01	19	7	A3	FASE II	OVAR	NF		21,07	22,86	
	G-ZC-F-12355	G-95	ZC	114	A1	FASE II	OVAR	F	58,71		23,39	21,85
	G-ZC-F-12426	G-95	ZC	115	A3	FASE II	OVAR	F	53,36	17,47	21,15	19,89
	G-MS-F-1026	G-01	19	6	A1	FASE III-IV	OVAR	NF	51,21	16,44	20,82	19,34

TA									Lla	Lme	aPla	aPme	Ad
	G-ZC-F-11659	G-95	ZC	214	A1	FASE II	OVAR	-		26,43	15,35	16,41	
	G-ZC-F-11622	G-95	ZC	214	A1	FASE II	OVAR	-	30,61	29,21	17,10	18,76	19,56
	G-ZC-F-13018	G-95	ZC	307	A1	FASE II	OVAR	-	30,41	28,80	17,55	18,39	
	G-ZC-F-12028	G-95	ZC	314	A1	FASE II	OVAR	-	29,39	28,23	16,82	17,84	19,51
	G-ZC-F-12029	G-95	ZC	314	A1	FASE II	OVAR	-	30,02	29,53	17,35	17,74	20,21
	G-ZC-F-11560	G-95	ZC	213	A3	FASE III	OVAR	-		25,32	14,08	14,52	
	G-ZC-F-11367	G-95	ZC	212	A1	FASE IV	OVAR	-	26,24	24,44	13,60		
	G-MS-F-0883	G-01	19	5	A2	FASE III-IV	OVAR	-	25,98	24,92	14,77	16,22	17,17
	G-MS-F-0855	G-01	19	5	A3	FASE III-IV	OVAR	-	29,37	26,93		15,40	19,39

MC									Ap	aPp	AD	Ad	ASd	aPd	aPSd
	G-MS-F-0355	G-01	19	17	A1 SE	FASE I	OVAR	F				23,55	22,54	12,61	9,43
	G-ZC-F-12629	G-95	ZC	116	A1	FASE I	OVAR	F	21,21	13,92					
	G-MS-F-2009	G-01	19	16	A1 ESTE	FASE II	OVAR	F	20,11	13,52					
	G-ZC-F-11687	G-95	ZC	214	A2	FASE II	OVAR	F	21,31	14,74	13,62				
	G-ZC-F-12636	G-95	ZC	306	A1	FASE IV	OVAR	F	21,67	14,53	13,99				

MT									LM	Ap	aPp	AD	Ad	ASd	aPd	aPSd
	G-ZC-F-12332	G-95	ZC	114	A2	FASE II	OVAR	F	136,01	18,65	18,96	10,35	22,04	21,40	8,73	15,49
	G-ZC-F-11918	G-95	ZC	214	A4	FASE II	OVAR	F			20,48	11,15				
	G-ZC-F-11312	G-95	ZC	212	A1	FASE IV	OVAR	F		18,19	17,56	9,41				
	G-ZC-F-11365	G-95	ZC	212	A1	FASE IV	OVAR	F		18,48	18,96	10,54				

MP												Ad	ASd	aPd	aPSd
	G-ZC-F-11555	G-95	ZC	213	A3	FASE III	OVAR	F					26,16	16,27	25,53

FA1									Lmpe	Ap	ASp	APp	AD	Ad	APd
	G-MS-F-0624	G-01	19	17	A2	FASE I	OVAR	F	38,23				8,52	11,14	
	G-ZC-F-12479	G-95	ZC	216	A1	FASE I	OVAR	F					7,48	10,11	9,03
	G-MS-F-0139	G-01	19	7	A3	FASE II	OVAR	F	36,75	13,91		15,63	10,95	13,26	10,90
	G-ZC-F-11910	G-95	ZC	214	A2	FASE II	OVAR	F	37,20	10,55	10,33	13,48	8,08	10,03	9,28
	G-MS-F-1369	G-01	2	2	A2	FASE II	OVAR	_						10,17	
	G-ZC-F-12435	G-95	ZC	115	A4	FASE II	OVAR	F	35,51		10,99		8,90	10,68	9,46
	G-ZC-F-11536	G-95	ZC	213	A2	FASE III	OVAR	F						11,65	14,04
	G-ZC-F-11423	G-95	ZC	212	A1	FASE IV	OVAR	F		12,63	12,34	14,12			
	G-ZC-F-12634	G-95	ZC	306	A1	FASE IV	OVAR	F	33,36	10,58	10,31	12,76	8,53	10,28	9,55
	G-MS-F-0910	G-01	19	5	A2	FASE III-IV	OVAR	F	36,35	12,88	12,44	14,60	9,72	11,94	9,86

FA2									Lmpe	Ap	APp	AD	Ad	APd
	G-MS-F-0432	G-01	19	17	A2	FASE I	OVAR	F	24,53	12,52	12,86	9,38	10,88	13,65
	G-MS-F-1554	G-01	5	3	A1	FASE I	OVAR	F	27,90	12,86	13,64	9,44	11,28	11,73
	G-MS-F-1877	G-01	5	4	A1	FASE I	OVAR	F	25,62	12,23	13,42	8,71		
	G-MS-F-1917	G-01	15	1	A1	FASE II	OVAR	F	22,17	11,97	11,60	9,37	9,74	11,73
	G-ZC-F-11916	G-95	ZC	214	A2	FASE II	OVAR	F	20,39	11,30	11,27	8,10	8,57	10,62
	G-ZC-F-12722	G-95	ZC	306	A1	FASE IV	OVAR	F	22,50	12,21	12,31	9,61	9,56	11,01
	G-ZC-F-11150	G-95	ZC	211	A1	FASE IV	OVAR	PF				9,23	9,16	11,39
	G-ZC-F-13114	G-95	ZC	312	A1	FASE IV	OVAR	PF					12,35	11,95
	G-MS-F-1507	G-01	4		T18 Relleno		OVAR	F	21,59	10,72	11,01	7,67		9,92

FA3									LDP	Ldo	MBS
	G-ZC-F-12514	G-95	ZC	216	A1	FASE I	OVAR	F	26,35	21,29	6,01
	G-ZC-F-13605	G-95	ZC	11	A1	FASE I-II	OVAR	F	28,94	24,41	5,53

D4Inf									LM	AM
	G-ZC-F-11644	G-95	ZC	214	A1	FASE II	OVAR	_	15,40	6,76

P3Inf									LM	AM
	G-ZC-F-11440	G-95	ZC	212	A1	FASE IV	OVAR	_	7,57	6,00

P4Inf									LM	AM
	G-ZC-F-11263	G-95	ZC	211	A1	FASE IV	OVAR	_	10,56	5,71
	G-ZC-F-11440	G-95	ZC	212	A1	FASE IV	OVAR	_	8,05	6,31

M1Inf									LM	AM
	G-ZC-F-11644	G-95	ZC	214	A1	FASE II	OVAR	_	15,10	6,54
	G-ZC-F-11263	G-95	ZC	211	A1	FASE IV	OVAR	_	13,52	7,54
	G-ZC-F-13113	G-95	ZC	312	A1	FASE IV	OVAR	_	12,76	7,46

M2Inf									LM	AM
	G-MS-F-0748	G-01	19	17	A2	FASE I	OVAR	_	14,62	7,16
	G-MS-F-1141	G-01	19	15	A1	FASE I	OVAR	_	14,03	7,65

<b>M2Inf</b>									<b>LM</b>	<b>AM</b>
	G-MS-F-1158	G-01	19	15	A1	FASE I	<b>OVAR</b>	_	13,97	7,26
	G-MS-F-1159	G-01	19	15	A1	FASE I	<b>OVAR</b>	_	18,27	7,70
	G-MS-F-1075	G-01	19	13	A1	FASE II	<b>OVAR</b>	_	19,15	8,34
	G-MS-F-2066	G-01	19	16	A1 OESTE	FASE II	<b>OVAR</b>	_	15,09	7,57
	G-ZC-F-11644	G-95	ZC	214	A1	FASE II	<b>OVAR</b>	_	18,70	6,18
	G-ZC-F-13113	G-95	ZC	312	A1	FASE IV	<b>OVAR</b>	_	16,88	7,48

<b>M3Inf</b>									<b>LM</b>	<b>AM</b>
	G-MS-F-0305	G-01	19	7	A5	FASE II	<b>OVAR</b>	_	15,92	6,27

**CAPRA HIRCUS**

HUE	NIN	YAC	Z	CON	SUBC	CRONO	ESP	EF	Medidas
-----	-----	-----	---	-----	------	-------	-----	----	---------

HU									LM	LC	Ap	aPp	AD	Ad	ASd	HMSd	HmSd
	G-ZC-F-11692	G-95	ZC	214	A2	FASE II	CAHI	F								17,47	13,41
	G-ZC-F-13017	G-95	ZC	307	A1	FASE II	CAHI	F						28,66	24,22		11,68
	G-MS-F-0042	G-01	19	7	A1	FASE II	CAHI	PF					17,19		33,98	19,95	15,02
	G-ZC-F-11454	G-95	ZC	213	A1	FASE III	CAHI	F						12,91	26,44	16,04	11,92
	G-ZC-F-11505	G-95	ZC	213	A1	FASE III	CAHI	F						30,15	23,19	17,44	14,06
	G-ZC-F-11144	G-95	ZC	211	A1	FASE IV	CAHI	F						27,47	27,24	16,33	11,54
	G-ZC-F-11387	G-95	ZC	212	A1	FASE IV	CAHI	PF						28,10		15,37	12,66
	G-MS-F-2254	G-01	4	17	A1	FASE III-IV	CAHI	F					14,68	27,88	23,53	16,46	12,07
	G-MS-F-1066	G-01	19	10	A1	FASE III-IV	CAHI	PF					11,66	26,49	25,10	14,78	11,23

R									LM	Ap	ASp	APp	AD	Ad	ASd	APd
	G-MS-F-0553	G-01	19	17	A2	FASE I	CAHI	F		27,92	25,48	14,41				
	G-MS-F-1556	G-01	5	3	A1	FASE I	CAHI	F		33,32	31,89	16,38				
	G-ZC-F-11604	G-95	ZC	214	A1	FASE II	CAHI	F						29,81	26,52	19,84
	G-ZC-F-12640	G-95	ZC	306	A1	FASE IV	CAHI	F						37,97	31,68	22,06

UL									HO	aPPa	aPS	APsD	HSp	ASp
	G-ZC-F-12326	G-95	ZC	114	A2	FASE II	CAHI	NF		25,55	16,89	17,03	21,64	19,61
	G-ZC-F-12320	G-95	ZC	114	A2	FASE II	CAHI	-		18,63	12,08	11,87	16,95	15,26

PEL									LA	LAB	Hmrl	Amrl
	G-MS-F-0648	G-01	19	17	A2	FASE I	CAHI	F	37,17	30,67	21,23	9,92

FE									Ap	AC	ATr	aPC	AD	Ad	ATd
	G-MS-F-0235	G-01	19	7	A3	FASE II	CAHI	F		16,81		14,51			
	G-ZC-F-12224	G-95	ZC	114	A2	FASE II	CAHI	PF		19,02		19,19			
	G-MS-F-0028	G-01	19	7	A1	FASE II	CAHI	NF		19,82					
	G-ZC-F-11107	G-95	ZC	211	A1	FASE IV	CAHI	F	37,43	19,97		19,32			

TI									LM	Ap	APp	AD	Ad	aPd	ASd
	G-MS-F-0635	G-01	19	17	A2	FASE I	CAHI	F					29,45		26,23
	G-ZC-F-11585	G-95	ZC	214	A1	FASE II	CAHI	F					24,25	19,25	21,83
	G-ZC-F-11924	G-95	ZC	214	A4	FASE II	CAHI	F					23,60	18,10	18,26
	G-ZC-F-12007	G-95	ZC	215	T41	FASE III	CAHI	F				12,27	22,25	16,71	20,16
	G-ZC-F-11004	G-95	ZC	211	A1	FASE IV	CAHI	F				14,42	26,46	21,18	18,60
	G-ZC-F-11005	G-95	ZC	211	A1	FASE IV	CAHI	F				17,06	28,01	21,91	21,22
	G-MS-F-0869	G-01	19	5	A2	FASE III-IV	CAHI	F				13,47	21,59	17,05	19,54

CAL									LM	AM	aPM	LPc
	G-MS-F-1230	G-01	19	18	A1	FASE I	CAHI	NF	52,49	15,38	19,45	19,51
	G-MS-F-0007	G-01	19	7	A1	FASE II	CAHI	F	55,42	19,04	20,74	18,19
	G-ZC-F-12054	G-95	ZC	314	A1	FASE II	CAHI	F	54,76	16,66	20,68	19,68
	G-MS-F-0150	G-01	19	7	A3	FASE II	CAHI	-		16,27	19,50	16,85
	G-MS-F-0276	G-01	19	7	A4	FASE II	CAHI	-				17,35
	G-ZC-F-12641	G-95	ZC	306	A1	FASE IV	CAHI	F		17,79	22,10	19,30
	G-ZC-F-11301	G-95	ZC	211	B3	FASE IV	CAHI	NF	47,59	14,41	20,38	17,79
	G-ZC-F-11370	G-95	ZC	212	A1	FASE IV	CAHI	NF	61,91	19,31	21,68	21,98
	G-MS-F-0881	G-01	19	5	A2	FASE III-IV	CAHI	F	53,26	17,82	19,60	17,46

TA									Lla	Lme	aPla	aPme	Ad
	G-MS-F-0362	G-01	19	17	A1 SE	FASE I	CAHI	-	25,90		13,34	15,31	16,20
	G-ZC-F-12609	G-95	ZC	116	A1	FASE I	CAHI	-		25,15		14,94	16,51
	G-MS-F-1343	G-01	2	1	A1 C.1	FASE II	CAHI	-	29,05	27,70	15,27	14,92	19,16
	G-ZC-F-12030	G-95	ZC	314	A1	FASE II	CAHI	-					21,90
	G-ZC-F-12113	G-95	ZC	314	A2	FASE II	CAHI	-	27,98	26,69	14,56	15,76	18,59
	G-ZC-F-11477	G-95	ZC	213	A1	FASE III	CAHI	-	26,81	25,27	14,45	14,33	

TA									Lla	Lme	aPla	aPme	Ad
	G-ZC-F-11962	G-95	ZC	215	A1	FASE III	CAHI	_	27,31	25,66	14,25	13,64	17,90
	G-ZC-F-11006	G-95	ZC	211	A1	FASE IV	CAHI	_	30,71	28,32	15,55	18,44	19,94

MC									Ap	aPp	AD	Ad	ASd	aPd	aPSd
	G-ZC-F-11960	G-95	ZC	215	A1	FASE III	CAHI	F					26,36	9,15	13,27
	G-ZC-F-11363	G-95	ZC	212	A1	FASE IV	CAHI	F	23,36	17,41					
	G-MS-F-0891	G-01	19	5	A2	FASE III-IV	CAHI	F	25,11	16,54	15,62				

MT									Ap	aPp	AD	Ad	ASd	aPd	aPSd
	G-MS-F-2010	G-01	19	16	A1 ESTE	FASE II	CAHI	F			11,65				
	G-ZC-F-11361	G-95	ZC	212	A1	FASE IV	CAHI	F			12,03	22,38	21,72	11,99	14,09

MP												Ad	ASd	aPd	aPSd
	G-MS-F-0428	G-01	19	17	A2	FASE I	CAHI	F				36,91		18,55	

CRAD									LM	AM
	G-ZC-F-13751	G-95	ZC	216	A1	FASE I	CAHI	_	17,14	10,00

FA1									Lmpe	Ap	ASp	APp	AD	Ad	APd
	G-MS-F-2197	G-01	4	15	A1	FASE I	CAHI	F					13,96	10,36	12,14
	G-MS-F-2177	G-01	26	1	A1	FASE I	CAHI	F					9,50	10,83	10,15
	G-ZC-F-12591	G-95	ZC	116	A1	FASE I	CAHI	F	30,61	10,02	9,78	12,86	7,85	10,07	8,24
	G-ZC-F-12608	G-95	ZC	116	A1	FASE I	CAHI	F	35,20	11,31	10,85	13,15	8,41	10,65	10,50
	G-MS-F-1681	G-01	5	3	A1	FASE I	CAHI	_						12,43	10,27
	G-MS-F-2020	G-01	19	16	A1 ESTE	FASE II	CAHI	F	34,85	10,92	10,36	13,05	7,92	9,92	9,10
	G-MS-F-1350	G-01	2	1	A1 C.2	FASE II	CAHI	F	33,56	11,43	11,13	13,52	10,12	11,09	9,18
	G-ZC-F-13019	G-95	ZC	307	A1	FASE II	CAHI	F	34,47	11,93	12,27	14,73	10,18	12,03	10,84
	G-ZC-F-12067	G-95	ZC	314	A1	FASE II	CAHI	F	31,57	11,86	11,85	13,99	9,21	11,80	10,48
	G-ZC-F-12109	G-95	ZC	314	A2	FASE II	CAHI	F	36,44				10,86	12,56	10,99
	G-ZC-F-11914	G-95	ZC	214	A2	FASE II	CAHI	PF		13,18	11,71				
	G-MS-F-0099	G-01	19	7	A1 SE	FASE II	CAHI	NF					10,76	13,98	
	G-MS-F-0009	G-01	19	7	A1	FASE II	CAHI	_					19,96	11,14	10,50
	G-ZC-F-11410	G-95	ZC	212	A1	FASE IV	CAHI	F	34,57				14,25	10,41	10,99
	G-MS-F-0911	G-01	19	5	A2	FASE III-IV	CAHI	F	43,36	14,81	14,01	16,70	12,11	15,43	12,18

FA2									LMpe	Ap	APp	AD	Ad	APd
	G-MS-F-0469	G-01	19	17	A2	FASE I	CAHI	F	26,76	11,13	11,87	8,48	9,85	10,70
	G-MS-F-1553	G-01	5	3	A1	FASE I	CAHI	F	27,07	15,17	14,03	11,06	11,11	12,53
	G-MS-F-1563	G-01	5	3	A1	FASE I	CAHI	F	23,04	12,58	11,92	8,93	9,28	11,06
	G-ZC-F-11915	G-95	ZC	214	A2	FASE II	CAHI	F	21,72	11,04	11,57	8,29	8,42	10,00
	G-ZC-F-13618	G-95	ZC	11	A1	FASE I-II	CAHI	F	20,87	10,19	11,09	6,63	6,97	9,37
	G-ZC-F-11151	G-95	ZC	211	A1	FASE IV	CAHI	F	22,94	10,54	10,30	7,12	7,81	9,41
	G-ZC-F-11424	G-95	ZC	212	A1	FASE IV	CAHI	F	22,02	10,04	10,90	7,55	8,23	8,72
	G-ZC-F-12744	G-95	ZC	306	A1	FASE IV	CAHI	F	20,40	12,19	11,79	9,41	9,67	11,58
	G-ZC-F-13324	G-95	ZC	311	A1	FASE IV	CAHI	F	25,94	14,51	13,88	10,85	11,59	13,47
	G-ZC-F-13257	G-95	ZC	311	A2	FASE IV	CAHI	F	19,93	10,33	9,81	7,50	8,77	9,21
	G-ZC-F-11041	G-95	ZC	211	A1	FASE IV	CAHI	PF	20,47	10,62	9,86	7,14		10,09
	G-MS-F-0865	G-01	19	5	A3	FASE III-IV	CAHI	F	26,00	12,82	12,16	9,81	10,66	10,85
	G-MS-F-0940	G-01	19	5	A1	FASE III-IV	CAHI	F	22,56	12,56	12,25	8,67	10,00	11,56
	G-MS-F-1506	G-01	4		T18 Relleno		CAHI	F	23,10	11,60	12,36	7,64	8,11	9,80

FA3									LDP	Ldo	MBS
	G-MS-F-0447	G-01	19	17	A2	FASE I	CAHI	F	27,06	20,60	4,42
	G-MS-F-0048	G-01	19	7	A1	FASE II	CAHI	F	26,73	21,82	
	G-ZC-F-12445	G-95	ZC	115	A4	FASE II	CAHI	F			4,45

D3Inf									LM	AM
	G-ZC-F-11184	G-95	ZC	211	A1	FASE IV	CAHI	_	9,16	4,51

M1Inf									LM	AM
	G-MS-F-1086	G-01	19	17	A1	FASE I	CAHI	_	11,48	7,14
	G-MS-F-0147	G-01	19	7	A3	FASE II	CAHI	_	13,00	7,65

M1Inf									LM	AM
	G-ZC-F-11934	G-95	ZC	214	A4	FASE II	CAHI	-	13,53	6,83

M2Inf									LM	AM
	G-MS-F-1229	G-01	19	18	A1	FASE I	CAHI	-	13,68	7,21
	G-MS-F-1161	G-01	19	15	A1	FASE I	CAHI	-	17,94	7,25
	G-MS-F-0304	G-01	19	7	A5	FASE II	CAHI	-	15,20	7,03
	G-ZC-F-11934	G-95	ZC	214	A4	FASE II	CAHI	-	17,85	6,37

M3Inf									LM	AM
	G-MS-F-0018	G-01	19	7	A1	FASE II	CAHI	-	21,64	7,12

**CAPRA PYRENAICA**

HUE	NIN	YAC	Z	CON	SUBC	CRONO	ESP	EF	Medidas
-----	-----	-----	---	-----	------	-------	-----	----	---------

VT									LCDe	LAPa	AFcr	APacd	APtr	AmV	AFcd	HFcr
	G-MS-F-0528	G-01	19	17	A2	FASE I	CPPY	PF			37,47					23,37

UL									HO	aPPa	aPS	APsD	HSp	ASp
	G-MS-F-0743	G-01	19	17	A2	FASE I	CPPY	-		32,15	22,50	18,43	25,07	23,48

PEL									LA	LAb	Hmrl	Amrl
	G-ZC-F-12374	G-95	ZC	115	A1	FASE II	CPPY	F	32,38	26,97		

MP											Ad	ASd	aPD	aPSd
	G-MS-F-0040	G-01	19	7	A1	FASE II	CPPY	F			31,60	30,92	14,71	17,42

FA1									Lmpe	Ap	ASp	APp	AD	Ad	APd
	G-MS-F-0309	G-01	19	7	A5	FASE II	CPPY	F	48,50	15,79		18,07	12,48	12,53	11,55
	G-ZC-F-13377	G-95	ZC	311	A1	FASE IV	CPPY	-						14,46	12,42

FA2									Lmpe	Ap	ASp	APp	AD	Ad	APd
	G-ZC-F-11483	G-95	ZC	213	A1	FASE III	CPPY	F	31,21	18,29	18,21	18,15	12,68	15,20	15,90

**SUS**

HUE	NIN	YAC	Z	CON	SUBC	CRONO	ESP	EF	Medidas			
-----	-----	-----	---	-----	------	-------	-----	----	---------	--	--	--

AT									AFcr	AFcd	H
	G-MS-F-0131	G-01	19	7	A3	FASE II	SUDO	F			51,39
	G-ZC-F-12027	G-95	ZC	314	A1	FASE II	SUCR	NF	44,90	31,99	68,55
	G-ZC-F-12925	G-95	ZC	306	A1	FASE IV	SUCR	NF	49,78	30,98	

E									aPC	aPP	aPS	AS	LE
	G-MS-F-0050	G-01	19	7	A1	FASE II	SUS	NF	17,21				

HU									LM	LC	Ap	aPp	AD	Ad	ASd	HMSd	HmSd
	G-MS-F-0386	G-01	19	17	A2	FASE I	SUS	-					8,67				
	G-ZC-F-11386	G-95	ZC	212	A1	FASE IV	SUDO	NF					9,33				

TI									LM	Ap	APp	AD	Ad	aPd	ASd
	G-MS-F-2211	G-01	4	13	A1	FASE I	SUDO	F					31,56	27,03	
	G-MS-F-0249	G-01	19	7	A3	FASE II	SUS	NF				9,55			

CAL									LM	AM	aPM	LPc
	G-MS-F-0149	G-01	19	7	A3	FASE II	SUDO	NF		18,71	26,64	
	G-MS-F-0006	G-01	19	7	A1	FASE II	SUDO	-		22,96	28,69	25,41
	G-ZC-F-13364	G-95	ZC	311	A1	FASE IV	SUDO	-		20,91	28,38	27,28

TA									Lla	Lme	aPla	aPme	Ad
	G-ZC-F-6408	G-91	ZC	114	A1	FASE II	SUSC		47,08	44,83	24,41	28,84	31
	G-ZC-F-12112	G-95	ZC	314	A2	FASE II	SUDO		40,46	37,67	20,18	23,16	23,19
	G-ZC-F-11476	G-95	ZC	213	A1	FASE III	SUDO			34		20	21
	G-ZC-F-5278	G-91	ZC	111	A2	FASE IV	SUDO		38,40	36	20	22	21
	G-ZC-F-11308	G-95	ZC	211	B3	FASE IV	SUDO		40,58	37,06	20,12	24,13	23,91
	G-ZC-F-11368	G-95	ZC	212	A1	FASE IV	SUDO		38,15	35,90	18,46	21,35	21,21
	G-ZC-F-11369	G-95	ZC	212	A1	FASE IV	SUDO		43,28	39,40	21,66	24,18	

MC III									LM	Ap	aPp	AD	Ad	ASd	aPd	aPSd
	G-MS-F-0529	G-01	19	17	A2	FASE I	SUS	NF				9,11				

MP									Ad	ASd	aPD	aPSd
	G-ZC-F-13015	G-95	ZC	307	A1	FASE II	SUDO	F	20,22	18,03	19,54	19,67

FA1									Lmpe	Ap	ASp	APp	AD	Ad	APd
	G-MS-F-1560	G-01	5	3	A1	FASE I	SUDO	F	33,88	14,22	13,74	15,42	11,30	12,69	9,39
	G-MS-F-0008	G-01	19	7	A1	FASE II	SUS	PF	21,13	13,31		12,88	11,02	11,59	10,67

FA2									LMpe	Ap	APp	AD	Ad	APd
	G-MS-F-0101	G-01	19	7	A1 SE	FASE II	SUDO	F	20,91	15,41	14,64	12,04	14,01	13,32
	G-MS-F-0142	G-01	19	7	A3	FASE II	SUDO	F	25,37	15,12	16,43	13,35	13,65	
	G-MS-F-1177	G-01	19	12	A1	FASE II	SUDO	PF	23,97	15,62	14,82	12,48	12,70	12,06
	G-ZC-F-11985	G-95	ZC	215	B2a	FASE III	SUDO	F	24,12	16,11	15,59	12,38	14,82	13,18
	G-ZC-F-11274	G-95	ZC	211	A1	FASE IV	SUDO	F	20,86	13,78	13,98	12,08		10,76

FAR									LMpe	Ap	APp	AD	Ad	APd
	G-ZC-F-11040	G-95	ZC	211	A1	FASE IV	SUDO	F	18,33	9,83	10,57	6,41	6,6	7,35

FA3									LDP	Ldo	MBS	
	G-MS-F-0525	G-01	19	17	A2	FASE I	SUS	F	19,80	16,83	6,18	INFANTIL

MD									7a	8	9a	16a
	G-MS-F-0841	G-01	19	17	A2	FASE I	SUCR					54,25
	G-MS-F-0019	G-01	19	7	A1	FASE II	SUDO		100,74	64,60	36,80	



M3Sup									LM	AM
	G-ZC-F-11183	G-95	ZC	211	A1	FASE IV	SUDO	_	27,6	17,14

M1Inf									LM	AM
	G-MS-F-0019	G-01	19	7	A1	FASE II	SUS	_	16,66	10,54
	G-ZC-F-11182	G-95	ZC	211	A1	FASE IV	SUS	_	20,1	12,56

M2Inf									LM	AM
	G-MS-F-0019	G-01	19	7	A1	FASE II	SUS	_	20,26	13,30

M3Inf									LM	AM
	G-MS-F-0841	G-01	19	17	A2	FASE I	SUSC	_	40,76	20,27
	G-MS-F-0019	G-01	19	7	A1	FASE II	SUDO	_	29,14	15,27

**CERVUS ELAPHUS**

HUE	NIN	YAC	Z	CON	SUBC	CRONO	ESP	EF	Medidas
-----	-----	-----	---	-----	------	-------	-----	----	---------

HU									LM	LC	Ap	aPp	AD	Ad	ASd	HMSd	HmSd	
	G-MS-F-0372	G-01	19	17	A2	FASE I	CEEL	F							49,15	45,25	33,04	24,27

R									LM	Ap	ASp	APp	AD	Ad	ASd	APd
	G-MS-F-0087	G-01	19	7	A1	FASE II	CEEL	F	48,39	42,87	26,43					

FE									Ap	AC	ATr	aPC	AD	Ad	ATd
	G-MS-F-0377	G-01	19	17	A2	FASE I	CEEL	F						56,90	29,42

TI									LM	Ap	APp	AD	Ad	aPd	ASd
	G-MS-F-0546	G-01	19	17	A2	FASE I	CEEL	F		60,39	52,43				

CAL									LM	AM	aPM	LPc
	G-MS-F-0368	G-01	19	17	A1 SE	FASE I	CEEL	F	106,86	34,50	40,85	35,66
	G-MS-F-0987	G-01	19	6	A1	FASE III-IV	CEEL	F	111,55	38,63	37,60	36,76

MC									Ap	aPp	AD	Ad	ASd	aPd	aPSd
	G-MS-F-0371	G-01	19	17	A2	FASE I	CEEL	F			20,81				
	G-MS-F-0134	G-01	19	7	A3	FASE II	CEEL	F						26,02	

MP												Ad	ASd	aPD	aPSd
	G-MS-F-1602	G-01	5	3	A1	FASE I	CEEL	F						24,45	25,80

FA1									Lmpe	Ap	ASp	APp	AD	Ad	APd
	G-MS-F-0141	G-01	19	7	A3	FASE II	CEEL	F	54,84	19,28		22,71	14,89	18,37	
	G-MS-F-0140	G-01	19	7	A3	FASE II	CEEL	F	57,39	18,79		25,11	14,81	18,56	15,42
	G-MS-F-1392	G-01	2	3	A1 C.1	FASE II	CEEL	F	50,69	17,02	16,26	21,05	14,40	16,44	15,04
	G-MS-F-0995	G-01	19	6	A1	FASE III-IV	CEEL	F	56,74				16,80	19,68	
	G-MS-F-0999	G-01	19	6	A1	FASE III-IV	CEEL	PF	54,19	19,12	18,87	23,56	16,77	18,56	16,40

FA2									LMpe	Ap	APp	AD	Ad	APd
	G-MS-F-1555	G-01	5	3	A1	FASE I	CEEL	F	36,30	18,03	21,75	13,11		19,92
	G-MS-F-2226	G-01	4	13	A2	FASE I	CEEL	F	35,24	18,77	22,77	14,06	16,37	23,36
	G-MS-F-0754	G-01	19	17	A2	FASE I	CEEL	-					17,23	
	G-MS-F-0011	G-01	19	7	A1	FASE II	CEEL	F	40,72	19,31	24,39	14,40	15,49	19,81
	G-MS-F-0012	G-01	19	7	A1	FASE II	CEEL	F	37,19	19,25	24,88	15,24	16,74	21,28

FA3									LDP	Ldo	MBS
	G-MS-F-0562	G-01	19	17	A2	FASE I	CEEL	-			8,48
	G-MS-F-1071	G-01	19	13	A1	FASE II	CEEL	F			11,18
	G-MS-F-1174	G-01	19	12	A1	FASE II	CEEL	F			11,67
	G-MS-F-1002	G-01	19	6	A1	FASE III-IV	CEEL	F			11,32

CENTQ									LM	AM
	G-MS-F-0043	G-01	19	7	A1	FASE II	CEEL	-	53,73	38,77
	G-MS-F-1012	G-01	19	6	A1	FASE III-IV	CEEL	-		34,78

CARUL									LM	AM
	G-MS-F-1028	G-01	19	6	A1	FASE III-IV	CEEL	-	24,29	15,99

MAL									LM	AM
	G-MS-F-0988	G-01	19	6	A1	FASE III-IV	CEEL	-	26,69	14,87

**CANIS FAMILIARIS**

HUE	NIN	YAC	Z	CON	SUBC	CRONO	ESP	EF	Medidas
-----	-----	-----	---	-----	------	-------	-----	----	---------

HU									LM	LC	Ap	aPp	AD	Ad	ASd	HMSd	HmSd
	G-ZC-F-13427	G-95	ZC	311	A1	FASE IV	CAFA	F					10,91	29,31	19,02	13,81	11,01

R									LM	Ap	ASp	APp	AD	Ad	ASd	APd
	G-ZC-F-13119	G-95	ZC	312	A1	FASE IV	CAFA	F	143,99	16,25	14,1	11,35	10,44	21,50	16,79	12,36
	G-ZC-F-6318	G-91	ZC	208	A1	FASE IV	CAFA	F		13,60	11,79	8,59	8,86			

FE									Ap	AC	ATr	aPC	AD	Ad	ATd
	G-ZC-F-11348	G-95	ZC	212	A1	FASE IV	CAFA	PF	30,34	14,81		15,06	11,86		

TI									LM	Ap	APp	AD	Ad	aPd	ASd
	G-ZC-F-11108	G-95	ZC	211	A1	FASE IV	CAFA	PF		30,69					
	G-ZC-F-6314	G-91	ZC	208	A1	FASE IV	CAFA	F				11,21	18,05	14,13	13,70
	G-ZC-F-5529	G-91	ZC	208	A1	FASE IV	CAFA/VUVU	F				8,54		12,73	12,65

MC V									LM	Ap	aPp	AD	Ad	ASd	aPd	aPSd
	G-ZC-F-11049	G-95	ZC	211	A1	FASE IV	CAFA	F	48,02	5,36	8,73	5,39	7,85	6,94	4,74	6,75

CAL									LM	AM
	G-ZC-F-5519	G-91	ZC	208	A1	FASE IV	CAFA	F	36,03	14,51

TA									LM	AM
	G-ZC-F-6323	G-91	ZC	208	A1	FASE IV	CAFA	F	22,94	16,16

MD									1	2	3	4	5	6	7	8	9	
	G-ZC-F-13110	G-95	ZC	312	A1	FASE IV	CAFA	-								74,69	68,91	64,06
	G-ZC-F-13369	G-95	ZC	313	A2	FASE III	CAFA	-				102,83	97,86		68,67	63,44	58,73	

10	11	12	13a	13b	14	15a	15b	16a
33,63	37,18	32,04	20,60	7,12	19,69	8,39	6,37	4,45
30,81	33,23	27,57			17,22			

17	18	19	20
		19,30	16,50
	45,17	18,66	15,88

P2Sup									LM	AM
	G-ZC-F-11185	G-95	ZC	211	A1	FASE IV	CAFA	-	9,77	5,41

P4Sup									LM	AM
	G-ZC-F-11316	G-95	ZC	212	A1	FASE IV	CAFA	-	15,88	8,97

M1Sup									LM	AM
	G-ZC-F-11316	G-95	ZC	212	A1	FASE IV	CAFA	-	12,06	13,92

M2Sup									LM	AM
	G-ZC-F-11316	G-95	ZC	212	A1	FASE IV	CAFA	-	6,06	8,78

CR									15	16	17	18	19	20	21	22	23
	G-ZC-F-11316	G-95	ZC	212	A1	FASE IV	CAFA	-	59,87	15,16	45,10	8,00	6,49	16,77	13,96	12,15	9,13

24
6,29

**VULPES VULPES**

HUE	NIN	YAC	Z	CON	SUBC	CRONO	ESP	EF	Medidas
-----	-----	-----	---	-----	------	-------	-----	----	---------

HU									LM	LC	Ap	aPp	AD	Ad	ASd	HMSd	HmSd
	G-ZC-5665	G-91	ZC	208	A1	FASE IV	VUVU	F					10,94	25,41	17,99	14,32	10,12

PEL									LA	LAB	Hmrl	Amrl
	G-ZC-F-13340	G-95	ZC	311	A1	FASE IV	VUVU	F	12,77	11,14	11,33	5,40

MD									13	14	19
	G-MS-F-1543	G-01	5	3	A1	FASE I	VUVU	-	41,13	35,69	13,65

**LYNX PARDINA**

HUE	NIN	YAC	Z	CON	SUBC	CRONO	ESP	EF	Medidas
-----	-----	-----	---	-----	------	-------	-----	----	---------

UL									HO	aPPa	aPS	APsD	HSp	ASp
	G-ZC-F-11481	G-95	ZC	213	A1	FASE III	LYPA	F		11,80	21,93	20,00	12,71	

**FELIS SILVESTRIS**

HUE	NIN	YAC	Z	CON	SUBC	CRONO	ESP	EF	Medidas						
<b>MD</b>									<b>5</b>	<b>6a</b>	<b>6b</b>	<b>7</b>	<b>9</b>	<b>10</b>	
	G-MS-F-1013	G-01	19	6	A1	FASE III-IV	FESY	-	23,44	9,28	3,92	9,40	12,89	12,50	
<b>M1 inf</b>									<b>LM</b>	<b>AM</b>					
	G-MS-F-1013	G-01	19	6	A1	FASE III-IV	FESY	-	9,28	3,59					
<b>FA1</b>									<b>Lmpe</b>	<b>Ap</b>	<b>ASp</b>	<b>APp</b>	<b>AD</b>	<b>Ad</b>	<b>APd</b>
	G-MS-F-1715	G-01	5	3	A1	FASE I	FESY	F	20,63	7,61	4,75	5,04	4,55	5,52	4,62



**LA BASTIDA, TOTANA. CAMPAÑAS 2009-2011**  
**ORYCTOLAGUS CUNICULUS**

HUE	FASE	NIN	SUCJTO	ESP	EF	Medidas
-----	------	-----	--------	-----	----	---------

AT						LM	AFcr	AFcd	H
	1	BA-H36-234.218	UE203	ORCU	F		11,02	13,24	11,08

E						aPC	aPP	aPS	AS	LE
	1	BA-H9-30.18	1A3	ORCU	F	4,26	10,23	7,04	7,32	
	1	BA-H12-131.4	1A2	ORCU	F	4,20				
	1	BA-H68-36.9	1B1a	ORCU	F	4,41	8,30	7,15	6,84	
	1	BA-H68-36.11	1B1a	ORCU	F	4,17	8,71	7,05	6,21	
	1	BA-H36-307.50	UE222	ORCU	F	4,20	8,09	7,09	6,88	
	1	BA-H36-234.214	UE203	ORCU	F	4,36	8,83	8,30	7,29	
	1	BA-H36-313.82	UE227	ORCU	F	4,37			7,00	
	1	BA-H36-618.21	UE283	ORCU	F	3,97			6,83	
	1	BA-H36-618.22	UE283	ORCU	_	3,98				
	1	BA-H36-618.34	UE283	ORCU	F	4,12	8,21	6,39	6,78	
	1	BA-H36-494.32	UE234	ORCU	F	4,35	8,61	7,88	7,46	
	1	BA-H36-181.59	UE192	ORCU	F	4,06	7,83		7,32	
	1	BA-H36-181.65	UE192	ORCU	F	4,27	8,37	7,09	6,39	
	2	BA-I2-18.1	1A3	ORCU	F	3,66				
	2	BA-H64-16.111	1A1	ORCU	F	4,12	8,07	5,91	6,61	
	2	BA-H35-92.303	UE156	ORCU	F	4,53	8,76	7,02	7,49	
	2	BA-H35-92.9	UE156	ORCU	F	4,38	8,42	7,31	7,37	
	2	BA-H35-92.17	UE156	ORCU	F	4,65	8,98			
	2	BA-H34-821.15	UE337	ORCU	F	5,00		7,20	7,78	
	2	BA-H34-758.3	UE328	ORCU	F	4,12	8,60	8,42	7,83	
	2	BA-C0-128.6	10A1	ORCU	F	4,18	8,59	6,32	7,01	
	3b	BA-H2-297.20	2A7	ORCU	NF	3,55				
	3b	BA-H2-143.12	2A8	ORCU	F	4,10	9,90	8,02	7,07	52,57
	3b	BA-H2-143.68	2A8	ORCU	_				7,66	
	3b	BA-H3-66.8	1A7	ORCU	F	4,58	9,20	7,08	7,53	
	3b	BA-H3-66.4	1A7	ORCU	F	4,34	8,48	7,21	7,03	
	3b	BA-H3-66.10	1A7	ORCU	F	4,26				
	3b	BA-H37-48.13	2A1	ORCU	F	5,37	8,25	7,69	7,16	
	3b	BA-H54-73.12	2A3	ORCU	F	4,07			6,50	
	3b	BA-H54-107.34	3A1	ORCU	F	4,27	8,44	6,24	6,95	
	3b	BA-H8-3.2	1A1	ORCU	F	4,68	7,88	6,57	6,59	
	3	BA-H1-14.17	1A4	ORCU	F	4,77	10,10	6,54	7,35	
	3	BA-H1-27.3	1A6	ORCU	F	4,06				
	_	BA-E15-29.3	1A7	ORCU	F	3,90	8,17	6,81	6,78	
	_	BA-E15-29.57	1A7	ORCU	F	4,71				
	_	BA-E15-40.38	1A11	ORCU	F	4,33	8,43	7,59	7,07	
	_	BA-E15-26.13	1A6	ORCU	F	4,07	8,00	5,63	6,49	
	_	BA-E8-3.368	1A1	ORCU	F	4,29	8,27	6,52	6,61	
	_	BA-E38-26.15	1A8	ORCU	F	4,91	8,60	6,81	7,62	
	_	BA-E38-17.26	1A5	ORCU	F	4,59	8,20	5,56	7,30	

UL						HO	aPPa	aPS	APsD	HSp	ASp	SDO
	1	BA-H36-700.11	UE306	ORCU	_			3,58	4,39	7,17	5,51	
	1	BA-H36-181.58	UE192	ORCU	F					6,33	4,62	
	1	BA-H36-181.54	UE192	ORCU	_						5,37	
	1	BA-H36-307.62	UE222	ORCU	F					6,89	5,49	
	1	BA-H36-307.63	UE222	ORCU	F					7,15	5,54	
	1	BA-H36-307.64	UE222	ORCU	F	7,62	7,49	4,48	4,59	7,25	5,76	
	1	BA-H36-234.79	UE203	ORCU	F		7,16	4,11	4,49	6,89	5,32	
	1	BA-H36-234.80	UE203	ORCU	F	7,40	6,87	3,37	4,46	6,87	5,54	6,92
	1	BA-H36-234.81	UE203	ORCU	F	8,01	7,31	3,54	4,45	6,82	5,23	6,53
	1	BA-H36-234.82	UE203	ORCU	F	8,63	7,75	3,88	4,78	7,10	5,60	6,96
	1	BA-H36-234.203	UE203	ORCU	F		7,21	3,98	4,34	7,24	5,43	
	1	BA-H36-313.76	UE227	ORCU	F	8,46	7,88	4,21	5,30	7,93	5,99	7,29



UL						HO	aPPa	aPS	APsD	HSp	ASp	SDO
	1	BA-H36-618.31	UE283	ORCU	F	8,08	7,33	3,81	4,49	7,17	5,35	6,95
	1	BA-H68-33.3	1A5	ORCU	PF	7,30	7,07	3,94	4,36	6,30	5,19	6,22
	2	BA-H35-104.57	UE154	ORCU	_	7,60	7,14	4,47	4,84	7,24	5,44	6,51
	2	BA-H35-104.58	UE154	ORCU	_	7,22	6,76	3,75	5,13	6,86	4,99	6,45
	2	BA-H35-104.59	UE154	ORCU	_	7,11	6,47	3,59	4,79	6,65	5,00	6,06
	2	BA-H35-760.36	UE170	ORCU	F	7,61	6,99	4,33	5,38	6,41	5,30	6,77
	2	BA-H64-16.32	1A1	ORCU	F	8,02	7,25	4,21	4,79	7,11	5,50	6,81
	2	BA-H64-16.14	1A1	ORCU	F	7,47	6,32	3,49	3,83	7,01	4,73	5,90
	2	BA-H83-14.90	1A5	ORCU	F	8,24	8,08	3,64	4,74	7,57	5,56	7,57
	2	BA-H83-78.12	1B19b	ORCU	F	7,09	6,57	3,09	4,06	7,42	5,33	6,09
	2	BA-CO-238.23	15A3	ORCU	F	6,96	7,26	3,42	4,63	7,50	5,70	6,70
	3b	BA-H2-297.24	2A7	ORCU	_		6,67	3,48	3,95	7,30	4,66	
	3b	BA-H2-112.29	2A5	ORCU	F	6,98				7,07	4,93	
	3b	BA-H2-143.37	2A8	ORCU	F					6,44	4,88	
	3b	BA-H3-99.4	1A5	ORCU	F	6,64	7,47	4,27	4,95	6,25	5,33	7,11
	3b	BA-H7-93.7	1A1	ORCU	F	7,59	7,22	3,86	4,23	5,78	4,97	6,53
	3b	BA-H54-124.2	3A2	ORCU	F	5,68	6,16	3,14	3,97	6,48	4,96	
	3	BA-H4-6.1	1A1	ORCU	F	7,65	7,28	3,29	4,24	6,96	5,51	6,84
	_	BA-E15-29.10	1A7	ORCU	F	8,01	7,11	3,80	4,67	7,62	5,77	7,03
	_	BA-E15-12.21	1A4	ORCU	F	7,39	7,07	4,06	4,66	7,00		6,47
	_	BA-E8-3.308	1A1	ORCU	F	7,65	7,08	3,95	4,29	6,93	5,11	

HU						LM	LC	Ap	aPp	AD	Ad	ASd	HMSd	HmSd
	1	BA-H9-9.4	1A1	ORCU	F			12,55						
	1	BA-H14-4.16	1A1	ORCU	F					3,78	8,20	5,99		
	1	BA-H12-9.10	1A1	ORCU	F					3,65	7,56	5,66	6,01	3,92
	1	BA-H12-144.12	1A11	ORCU	F						7,55	6,90	6,08	4,22
	1	BA-H68-36.8	1B1a	ORCU	F						7,62	6,45	6,02	3,99
	1	BA-H36-138.104	UE171	ORCU	F						8,59	4,22	6,11	4,51
	1	BA-H36-135.10	UE158	ORCU	PF			9,90	12,29	4,02				
	1	BA-H36-230.15	UE195	ORCU	F						7,67	3,97	5,58	4,01
	1	BA-H36-307.53	UE222	ORCU	F					4,17	8,73	4,35	6,10	4,31
	1	BA-H36-234.72	UE203	ORCU	F					3,92	7,21	3,81	5,20	3,75
	1	BA-H36-234.213	UE203	ORCU	F					4,11	7,53	4,24	5,21	4,05
	1	BA-H36-313.84	UE227	ORCU	F	61,66	60,28		12,78	4,18	8,39	3,87	6,30	4,25
	1	BA-H36-313.86	UE227	ORCU	F					4,06	8,39	4,09	5,76	4,17
	1	BA-H36-313.87	UE227	ORCU	F					3,05				
	1	BA-H36-181.69	UE192	ORCU	F						8,98	4,19	6,40	4,00
	1	BA-H36-195.42	UE197	ORCU	F							3,67	5,96	4,47
	1	BA-H36-274.6	UE212	ORCU	F						8,70	4,28	6,15	4,43
	2	BA-H35-92.18	UE156	ORCU	F						7,91	4,27	5,69	4,11
	2	BA-H35-92.25	UE156	ORCU	F					3,91	8,36	4,43	5,88	3,99
	2	BA-H35-92.29	UE156	ORCU	F						7,92	4,10	6,26	4,16
	2	BA-H35-104.55	UE154	ORCU	F						8,81	4,51	5,22	3,97
	2	BA-H64-16.36	1A1	ORCU	F					3,78	7,86	3,94		3,69
	2	BA-H64-16.21	1A1	ORCU	F					3,44	8,04	3,89	5,08	4,07
	2	BA-H83-8.12	1A3	ORCU	F					3,66		4,62		4,20
	2	BA-H83-8.17	1A3	ORCU	F					4,90	8,29	4,41	6,37	4,29
	2	BA-H26-3.12	1A1	ORCU	F	60,62	59,19	9,97	12,27	4,21	8,47	4,08	6,06	4,27
	2	BA-CO-222.41	15A1	ORCU	F					3,76	8,82	4,15	5,84	3,80
	2	BA-CO-222.31	15A1	ORCU	F					3,80	8,84	4,42	6,50	4,30
	3a	BA-H2-277.33	3A2	ORCU	F					4,28	7,93	5,90		
	3a	BA-H2-277.34	3A2	ORCU	F					3,55		5,64		
	3a	BA-H7-79.6	1A3	ORCU	F			9,71	12,60					
	3a	BA-H20-9.2	1A2	ORCU	F					4,03	8,23	6,06	6,31	3,92
	3a	BA-H20-9.39	1A2	ORCU	F					4,21	8,18	6,01	6,33	4,52
	3a	BA-H41-36.7	1B5a	ORCU	F					3,10				
	3a	BA-H52-5.12	1B6a	ORCU	F					4,34	7,87	6,86	6,25	4,44
	3a	BA-H52-5.22	1B6a	ORCU	F					3,96	7,97	6,53	6,04	4,31
	3a	BA-H52-106.5	1A8	ORCU	F					3,60	7,76	4,10	5,10	4,17
	3a	BA-H62-45.2	1B3	ORCU	F					3,83	8,67	4,14	6,46	4,17
	3b	BA-H2-182.1	2A6	ORCU	PF	58,40	57,83	11,76	11,82	3,71	7,94	7,49		

HU						LM	LC	Ap	aPp	AD	Ad	ASd	HMSd	HmSd
	3b	BA-H2-112.28	2A5	ORCU	PF			10,51	12,97	4,26				
	3b	BA-H2-176.20	2A8	ORCU	F	58,23	58,80	9,21	12,07	3,62	7,55	5,92		
	3b	BA-H2-176.54	2A8	ORCU	F					4,37	8,03	5,88		
	3b	BA-H3-34.1	1A1	ORCU	F					3,90	7,64	4,20	5,70	3,99
	3b	BA-H3-66.5	1A7	ORCU	F			10,47	11,88					
	3b	BA-H3-141.2	1A9	ORCU	F	59,95	59,12	9,44	12,02	4,68	8,29	4,26	5,75	4,06
	3b	BA-H5-16.8	1A3	ORCU	F					3,60	7,89	4,59	6,03	4,22
	3b	BA-H5-16.9	1A3	ORCU	F					3,54		4,71	6,12	4,14
	3b	BA-H8-14.12	2A2	ORCU	F						8,79	4,19	6,22	4,34
	3b	BA-H37-22.60	1A1	ORCU	F					3,84	8,27	4,28	6,47	4,14
	3b	BA-H37-22.14	1A1	ORCU	F							4,41		4,37
	3b	BA-H37-22.59	1A1	ORCU	F					4,28	7,70	4,04	5,88	4,13
	3b	BA-H37-2.22	1A2	ORCU	F					4,08	7,67	4,34	5,58	4,11
	3b	BA-H37-2.13	1A2	ORCU	F					4,12	7,85	4,17	5,91	4,04
	3b	BA-H37-2.11	1A2	ORCU	F					4,20	8,41	4,80	6,11	4,13
	3b	BA-H37-2.12	1A2	ORCU	F			9,81	12,06	3,67				
	3b	BA-H54-73.9	2A3	ORCU	F					4,83	7,62	4,18		4,31
	3b	BA-H54-73.19	2A3	ORCU	F					4,15	8,10	4,12	6,57	4,23
	3b	BA-H54-73.20	2A3	ORCU	F					4,57	8,54	4,29		4,03
	3b	BA-H54-107.4	3A1	ORCU	F					3,80	7,56	4,51	5,09	3,62
	3b	BA-H54-107.15	3A1	ORCU	_					3,65				
	3b	BA-H54-107.33	3A1	ORCU	F					4,25	7,60	3,68		4,21
	3	BA-H1-14.3	1A4	ORCU	F					3,58	7,93		5,76	2,69
	3	BA-H4-6.65	1A1	ORCU	F					3,69	8,27	4,14	5,94	4,46
	3	BA-H4-15.6	1A4	ORCU	F						7,75	4,28	5,45	4,44
	3	BA-H4-29.4	1A5	ORCU	F						7,66	3,90	5,71	4,53
	_	BA-E8-3.363	1A1	ORCU	F					3,36		4,46	5,48	4,17
	_	BA-E8-3.181	1A1S	ORCU	F					3,97	8,30	4,25	6,14	4,17

R						LM	Ap	ASp	APp	AD	Ad	ASd	APd
	1	BA-H14-4.14	1A1	ORCU	F		5,80	5,44	3,46	3,42	5,59	4,44	4,22
	1	BA-H36-138.109	UE171	ORCU	F		5,92	5,77	3,78	3,32			
	1	BA-H36-138.110	UE171	ORCU	F		5,28		3,72	3,55			
	1	BA-H36-138.111	UE171	ORCU	F		6,31	6,18	3,56	3,20			
	1	BA-H36-700.5	UE306	ORCU	F		6,11	6,08	3,66	4,10			
	1	BA-H36-700.6	UE306	ORCU	PF	61,41	5,98	5,89	3,73	3,64	5,89	5,14	3,95
	1	BA-H36-234.204	UE203	ORCU	F	56,16	5,74	5,59	3,46	3,73	5,74	4,54	4,17
	1	BA-H36-181.56	UE192	ORCU	F		5,45		3,38	3,33			
	1	BA-H36-195.45	UE197	ORCU	F					4,92	6,19	5,21	4,07
	1	BA-H36-195.35	UE197	ORCU	F	56,83	5,82		3,31	3,59	5,61	4,58	3,69
	1	BA-H68-22.16	1A4	ORCU	F		5,52	5,17	3,57	3,20			
	1	BA-C0-288.35	17A2	ORCU	F		6,14	5,89	3,52	3,83			
	1	BA-C0-288.38	17A2	ORCU	F		5,77		3,68	3,36			
	2	BA-H35-104.56	UE154	ORCU	_		5,48	5,32	3,21				
	2	BA-H35-760.8	UE170	ORCU	F		5,66	5,60	3,46	3,63			
	2	BA-H35-707.10	UE307	ORCU	F	60,38	5,85	5,81	3,69	3,28	5,49	4,63	4,17
	2	BA-H35-791.25	UE403	ORCU	F		5,63		3,71	3,45			
	2	BA-H64-16.33	1A1	ORCU	F		5,73	5,50	3,53	3,25			
	2	BA-H64-16.17	1A1	ORCU	F		5,90	5,73	3,70	3,12			
	2	BA-H64-16.29	1A1	ORCU	F		5,81	5,40	3,44	3,81			
	2	BA-H83-3.4	1A1	ORCU	F		5,70		3,70	3,43			
	2	BA-H83-14.118	1A5	ORCU	F	56,46	5,88		3,89	3,79	6,23	5,16	4,51
	2	BA-H83-78.19	1B19b	ORCU	F		5,41		3,37	3,20			
	2	BA-C0-128.5	10A1	ORCU	F		5,91	5,83	3,69	3,73			
	2	BA-C0-153.2	10A2	ORCU	F		5,49		3,14	3,31			
	2	BA-C0-222.51	15A1	ORCU	F	58,21	5,77		3,87	3,89	6,05	4,72	4,47
	3a	BA-H52-5.114	1B6a	ORCU	F		5,06		3,23	2,97			
	3a	BA-H62-3.48	1A1	ORCU	F		5,81	5,70	3,30	3,56			
	3a	BA-H62-42.12	1B2	ORCU	_		5,11		3,10	3,19			
	3b	BA-H2-143.38	2A8	ORCU	F		5,63		3,30	3,73			
	3b	BA-H2-297.29	2A7	ORCU	F		5,46		3,17	3,06			
	3b	BA-H3-105.6	1A2	ORCU	F		5,64		3,47	3,28			

R						LM	Ap	ASp	APp	AD	Ad	ASd	APd
	3b	BA-H8-3.14	1A1	ORCU	F		5,76	5,56	3,76	3,37			
	3b	BA-H8-3.15	1A1	ORCU	F		5,37	5,22	3,66	3,71			
	3b	BA-H37-2.9	1A2	ORCU	F		5,80		3,65	3,43			
	-	BA-E15-29.5	1A7	ORCU	F		5,94		3,81	3,50			

PEL						LA	LAB	Hmrl	Amrl
	1	BA-H9-2.5	1A2	ORCU	F			7,43	3,70
	1	BA-H12-127.6	1A1	ORCU	-			6,36	4,00
	1	BA-H12-149.1	1A1	ORCU	F	7,49		6,87	3,35
	1	BA-H68-36.5	1B1a	ORCU	F	7,88		6,64	3,87
	1	BA-H68-36.6	1B1a	ORCU	F	8,19		6,75	
	1	BA-H36-138.98	UE171	ORCU	F			7,44	4,36
	1	BA-H36-138.99	UE171	ORCU	F			7,05	3,83
	1	BA-H36-138.101	UE171	ORCU	F			7,58	4,16
	1	BA-H36-700.7	UE306	ORCU	F	8,25	6,88	6,75	3,83
	1	BA-H36-307.39	UE222	ORCU	F	8,94	7,06	6,33	4,04
	1	BA-H36-307.40	UE222	ORCU	F	8,64	6,71	5,70	3,58
	1	BA-H36-307.41	UE222	ORCU	F	8,63		6,29	3,57
	1	BA-H36-307.42	UE222	ORCU	F	8,59	7,29	6,93	4,28
	1	BA-H36-307.43	UE222	ORCU	F			6,53	3,85
	1	BA-H36-307.44	UE222	ORCU	F	8,31	6,98	6,61	4,43
	1	BA-H36-307.45	UE222	ORCU	F			6,81	4,12
	1	BA-H36-234.51	UE203	ORCU	F	8,68	7,24	6,70	4,68
	1	BA-H36-234.52	UE203	ORCU	F	9,20	7,46	6,87	4,29
	1	BA-H36-234.53	UE203	ORCU	F	9,33	7,57	7,27	4,54
	1	BA-H36-234.54	UE203	ORCU	F	9,10	7,69	7,05	3,95
	1	BA-H36-313.95	UE227	ORCU	F	9,42	7,89	7,14	4,02
	1	BA-H36-313.96	UE227	ORCU	F	9,15	7,68	6,62	3,63
	1	BA-H36-313.97	UE227	ORCU	F	8,82	7,56	6,49	3,59
	1	BA-H36-313.98	UE227	ORCU	F			6,59	4,15
	1	BA-H36-618.51	UE283	ORCU	F	9,28	8,40	6,08	4,10
	1	BA-H36-618.52	UE283	ORCU	F	9,48	7,88	7,10	4,08
	1	BA-H36-494.31	UE234	ORCU	F	8,93	7,48	6,48	4,12
	1	BA-H36-494.33	UE234	ORCU	F	9,06	7,64	7,36	4,03
	1	BA-H36-494.34	UE234	ORCU	F	8,99	7,66	7,16	4,34
	1	BA-H36-195.30	UE197	ORCU	F	9,06	7,31	6,78	4,14
	1	BA-H36-195.34	UE197	ORCU	F			6,86	4,09
	1	BA-H36-651.4	UE291	ORCU	F	9,34	7,87	7,15	4,60
	1	BA-H36-321.14	UE230	ORCU	F	8,44	7,07	7,49	4,67
	2	BA-H35-92.306	UE156	ORCU	F	8,50	6,77		
	2	BA-H35-92.13	UE156	ORCU	F	9,04	7,39		
	2	BA-H35-760.9	UE170	ORCU	F			6,41	4,52
	2	BA-H64-16.43	1A1	ORCU	F	8,43	7,36	6,84	4,04
	2	BA-H64-16.27	1A1	ORCU	F	8,75	7,17	7,36	5,61
	2	BA-H64-16.31	1A1	ORCU	F	9,07	7,61	6,51	4,08
	2	BA-H64-16.23	1A1	ORCU	F	9,19	7,27	6,77	4,11
	2	BA-H64-16.18	1A1	ORCU	F	8,95	7,54	6,36	4,32
	2	BA-H64-16.30	1A1	ORCU	F	9,19	7,65	6,90	5,04
	2	BA-H83-3.2	1A1	ORCU	F	8,88	7,39	6,54	4,23
	2	BA-H83-8.19	1A3	ORCU	F			6,10	3,72
	2	BA-H83-14.88	1A5	ORCU	F	8,85	7,65	7,42	3,99
	2	BA-H83-14.109	1A5	ORCU	F	8,62	7,30		
	2	BA-H26-32.10	2A1	ORCU	F	9,10	7,17	6,55	4,41
	2	BA-C0-128.12	10A1	ORCU	F	8,30	7,01		
	2	BA-C0-238.19	15A3	ORCU	F	9,85	7,27	7,02	4,27
	2	BA-C0-238.11	15A3	ORCU	F	8,44	7,21	6,81	4,29
	2	BA-I2-51.44	2A1	ORCU	F			7,23	4,67
	3a	BA-H2-277.36	3A2	ORCU	F	8,55		6,71	4,27
	3a	BA-H7-79.3	1A3	ORCU	-			7,26	4,15
	3a	BA-H20-9.12	1A2	ORCU	F			7,95	3,69
	3a	BA-H20-9.17	1A2	ORCU	NF	8,44		7,99	4,39
	3a	BA-H41-36.8	1B5a	ORCU	F	9,01	7,41	6,83	4,60

PEL						LA	LAB	Hmrl	Amrl
	3a	BA-H52-5.1	1B6a	ORCU	F	8,49	7,25	6,16	3,43
	3a	BA-H52-126.8	1B7	ORCU	F			6,59	4,29
	3a	BA-H62-3.11	1A1	ORCU	F	8,69	7,29	7,74	4,73
	3a	BA-H62-16.25	1A3	ORCU	F	9,20	8,13	7,35	4,40
	3a	BA-E16-16.41	2A2	ORCU	F			6,75	3,95
	3b	BA-H2-143.13	2A8	ORCU	F	8,30		7,34	3,85
	3b	BA-H2-297.36	2A7	ORCU	F	8,21		6,62	4,02
	3b	BA-H2-112.25	2A5	ORCU	F	8,87		7,35	4,95
	3b	BA-H3-101.7	1A1	ORCU	F	9,09	7,21	7,14	4,25
	3b	BA-H3-105.5	1A2	ORCU	F	8,03	6,80	6,34	3,89
	3b	BA-H3-99.3	1A5	ORCU	F	9,78	7,37	7,63	4,55
	3b	BA-H3-45.20	1A6	ORCU	F	9,46	7,18	7,11	4,34
	3b	BA-H3-66.7	1A7	ORCU	F	9,23	7,68	7,08	4,21
	3b	BA-H3-66.6	1A7	ORCU	F	8,56	6,95	7,14	4,41
	3b	BA-H5-16.11	1A3	ORCU	F	9,04	7,43	6,82	4,20
	3b	BA-H5-102.30	1A11	ORCU	F			7,07	3,73
	3b	BA-H8-30.13	2A3	ORCU	F	8,58	7,13	7,19	4,19
	3b	BA-H8-30.14	2A3	ORCU	F	9,35	7,82	7,36	4,40
	3b	BA-H11-37.1	1A4	ORCU	F	7,86		6,60	4,40
	3b	BA-H18-3.2	1A1	ORCU	F	7,89		6,96	4,41
	3b	BA-H37-48.46	2A1	ORCU	_			6,96	3,88
	3b	BA-H37-48.71	2A1	ORCU	F			6,77	4,33
	3b	BA-H37-48.1	2A1	ORCU	F	9,27	7,71	7,49	4,27
	3b	BA-H37-22.4	1A1	ORCU	F	9,62	6,81	6,63	4,84
	3b	BA-H37-22.57	1A1	ORCU	F	9,15	7,46	6,93	4,76
	3b	BA-H37-2.21	1A2	ORCU	F			7,88	4,42
	3b	BA-H54-73.22	2A3	ORCU	F			7,85	4,26
	3b	BA-H54-107.26	3A1	ORCU	F	8,93	7,53	7,19	4,69
	3b	BA-I1-16.28	1A4	ORCU	_			4,98	3,16
	3	BA-H1-27.1	1A6	ORCU	F			6,89	4,61
	3	BA-H1-27.2	1A6	ORCU	F	8,87	7,54	7,90	5,31
	3	BA-H4-6.66	1A1	ORCU	F	8,97	7,71	7,43	4,37
	3	BA-H4-6.111	1A1	ORCU	F	8,35	7,40	7,24	4,34
	3	BA-H4-6.88	1A1	ORCU	F			6,66	3,74
	_	BA-E15-12.13	1A4	ORCU	F			6,54	4,07
	_	BA-E15-12.32	1A4	ORCU	F	9,15	7,41	6,65	4,45
	_	BA-E15-21.15	1A5	ORCU	F	8,65	6,29	5,90	3,74
	_	BA-E15-40.1	1A11	ORCU	F	8,82	7,40	6,89	4,45
	_	BA-H15-10.27	2A2	ORCU	F	9,09	7,47	6,85	
	_	BA-E8-3.358	1A1	ORCU	F	8,55	6,77	6,89	3,88
	_	BA-E8-3.357	1A1	ORCU	F	10,17	7,53	6,99	5,24
	_	BA-E8-3.356	1A1	ORCU	F	8,30	6,65	7,00	3,73
	_	BA-E8-3.285	1A1	ORCU	F	8,97	7,30	7,56	5,20
	_	BA-E8-3.173	1A1N	ORCU	F	9,40	7,36	6,92	3,91
	_	BA-E8-3.129	1A1N	ORCU	F	9,45	7,93	7,12	4,90
	_	BA-E38-17.22	1A5	ORCU	F			7,14	4,61
	_	BA-E38-17.16	1A5	ORCU	F	10,27	7,29	7,42	4,64
	_	BA-E38-17.3	1A5	ORCU	F	9,34	7,94	6,70	4,00

FE						LM	LC	Ap	AC	ATr	aPC	AD	Ad	ATd
	1	BA-H12-149.2	1A1	ORCU	F				7,16	16,38	6,68			
	1	BA-H36-138.81	UE171	ORCU	F			14,71	6,99	13,15	6,10	5,49		
	1	BA-H36-138.86	UE171	ORCU	F								12,90	12,44
	1	BA-H36-700.2	UE306	ORCU	F			15,20	6,40	14,05	6,50			
	1	BA-H36-700.3	UE306	ORCU	F					13,25	5,39			
	1	BA-H36-307.56	UE222	ORCU	F			15,70	6,84	14,61	6,56			
	1	BA-H36-307.57	UE222	ORCU	F				6,78		6,20			
	1	BA-H36-234.66	UE203	ORCU	F			16,10	6,34	15,05	6,72	5,62		
	1	BA-H36-234.67	UE203	ORCU	F			14,61	6,83	13,51	6,00	5,29		
	1	BA-H36-234.68	UE203	ORCU	F							6,11	12,98	12,39
	1	BA-H36-234.69	UE203	ORCU	F								12,99	11,21
	1	BA-H36-234.202	UE203	ORCU	F								10,79	11,24

FE						LM	LC	Ap	AC	ATr	aPC	AD	Ad	ATd
	1	BA-H36-313.93	UE227	ORCU	F			14,93	6,41	14,41	6,44			
	1	BA-H36-313.94	UE227	ORCU	F			15,38	6,82	14,63	6,37	6,26		
	1	BA-H36-494.28	UE234	ORCU	F					14,79	6,00			
	1	BA-H36-494.26	UE234	ORCU	F								12,14	12,86
	1	BA-H36-494.24	UE234	ORCU	F								11,99	12,02
	1	BA-H36-181.62	UE192	ORCU	F								12,38	11,88
	1	BA-H36-181.57	UE192	ORCU	F			14,68	6,67	13,85	5,71			
	1	BA-H36-195.41	UE197	ORCU	F				6,48		6,09			
	1	BA-H68-6.1	1A1	ORCU	F				6,36		6,48	5,74		
	2	BA-H35-760.34	UE170	ORCU	F								13,10	13,06
	2	BA-H35-543.1	UE194	ORCU	F					14,13	6,01			
	2	BA-H64-16.44	1A1	ORCU	F				6,26		6,28	6,07		
	2	BA-H64-16.20	1A1	ORCU	F			15,61	6,58	15,24	6,27	6,54		
	2	BA-H83-3.5	1A1	ORCU	F			14,95	6,02	14,04	6,05	5,47		
	2	BA-H83-8.13	1A3	ORCU	F			15,03	6,39	14,08	6,40			
	2	BA-H83-8.15	1A3	ORCU	F			14,82	6,05		5,70			
	2	BA-H83-8.16	1A3	ORCU	F				7,24		6,14			
	2	BA-H83-14.105	1A5	ORCU	F				6,39		6,43			
	2	BA-C0-205.4	13A2	ORCU	F			15,09	7,13	13,10	5,99			
	2/3	BA-H31-109.36	1A5	ORCU	F			15,91	7,14		6,13	6,21		
	3a	BA-H2-277.37	3A2	ORCU	F				6,63		5,99			
	3a	BA-H2-277.42	3A2	ORCU	_							6,12		
	3a	BA-H19-22.6	1A6	ORCU	F			16,15	7,55	16,02	6,47	5,76		
	3a	BA-H19-19.1	2A1	ORCU	F							6,29	12,94	12,22
	3a	BA-H20-9.3	1A2	ORCU	F			14,60	7,91	13,24	6,57	5,29		
	3a	BA-H20-9.21	1A2	ORCU	F				6,68	14,73	6,22	6,31		
	3a	BA-H41-7.2	1A2	ORCU	F			16,74	7,08	16,11	7,00	6,32		
	3a	BA-H41-17.1	1A4	ORCU	F			15,03	6,84	14,45	6,23	6,16		
	3a	BA-H41-23.1	1A5	ORCU	F			16,01	7,79		6,91	5,85		
	3a	BA-H41-23.2	1A5	ORCU	F								12,10	
	3a	BA-H52-5.83	1B6a	ORCU	NF					14,87				
	3a	BA-H52-5.109	1B6a	ORCU	NF					13,67		5,99		
	3a	BA-H52-31.36	1B6a	ORCU	PF							7,00	12,28	11,19
	3a	BA-H52-100.1	1A6	ORCU	F				7,55		6,18			
	3a	BA-H52-119.4	1B5	ORCU	F			15,44	7,31	15,60	6,25	6,49		
	3a	BA-H52-126.2	1B7	ORCU	F				6,57	15,11	6,26	6,00		
	3a	BA-H52-126.4	1B7	ORCU	F				6,57		5,85			
	3a	BA-H52-126.6	1B7	ORCU	F									13,00
	3a	BA-H62-7.8	1A2	ORCU	F					15,10	5,98			
	3a	BA-H62-45.3	1B3	ORCU	F			16,42	6,93	15,73	6,38	6,30		
	3b	BA-H2-71	2A5	ORCU	F			15,02	6,73	14,66	7,00	5,78		
	3b	BA-H2-112.30	2A5	ORCU	_							6,24		
	3b	BA-H2-112.24	2A5	ORCU	F			16,03	7,21	15,25	6,95	6,36		
	3b	BA-H2-112.23	2A5	ORCU	F							6,42	11,32	13,07
	3b	BA-H2-182.2	2A6	ORCU	F			16,52	6,89	14,62	6,31	6,33		
	3b	BA-H2-182.3	2A6	ORCU	NF								12,27	13,29
	3b	BA-H2-176.42	2A8	ORCU	NF							5,77		
	3b	BA-H2-176.55	2A8	ORCU	PF				7,09	13,33	6,18			
	3b	BA-H2-176.24	2A8	ORCU	F							6,95		10,76
	3b	BA-H2-143.27	2A8	ORCU	_							5,37		
	3b	BA-H2-143.26	2A8	ORCU	F							6,79	12,52	11,31
	3b	BA-H2-143.54	2A8	ORCU	_							4,94		
	3b	BA-H2-143.29	2A8	ORCU	NF					10,67		6,19		
	3b	BA-H2-143.28	2A8	ORCU	F			15,08	6,79	14,03	6,25	6,44		
	3b	BA-H3-99.2	1A5	ORCU	F			14,88	7,51		6,04			
	3b	BA-H5-47.5	1B5	ORCU	F			15,22	6,43	14,32	6,55			
	3b	BA-H8-8.12	2A1	ORCU	F			15,61	7,02	15,64	6,13	6,27		
	3b	BA-H8-14.6	2A2	ORCU	F			14,89	6,63	13,32	6,18	6,72		
	3b	BA-H8-30.15	2A3	ORCU	F				6,06	14,62	6,30	6,14		
	3b	BA-H11-31.7	1A3	ORCU	F				7,40	15,45	6,74	6,30		
	3b	BA-H11-37.6	1A4	ORCU	F								12,54	
	3b	BA-H18-19.2	2A1	ORCU	F			16,84	6,83	15,37	6,82	6,69		

FE						LM	LC	Ap	AC	ATr	aPC	AD	Ad	ATd
	3b	BA-H37-22.55	1A1	ORCU	F			15,28	7,59	15,60	6,26			
	3b	BA-H37-22.54	1A1	ORCU	F			15,20	6,71	13,47	6,05	5,96		
	3b	BA-H37-2.16	1A2	ORCU	F				8,28	13,90	5,45	5,92		
	3b	BA-H37-2.14	1A2	ORCU	F								11,29	12,37
	3b	BA-H37-48.73	2A1	ORCU	F				8,32	15,03	6,50			
	3b	BA-H54-129.2	3A3	ORCU	F			14,66	6,09		6,12	6,02		
	3b	BA-E16-12.119	2A1	ORCU	F			15,89	7,17	14,87	6,55	6,84		
	_	BA-E16-3.70	1A1	ORCU	F			15,86	6,88	15,16	6,38	5,88		
	_	BA-E8-3.354	1A1	ORCU	F								13,09	12,61
	_	BA-E8-3.165	1A1N	ORCU	F			15,04	6,43	13,51	6,19	6,34		

TI						LM	Ap	APp	AD	Ad	ASd	aPd
	1	BA-H10-17.5	1A1	ORCU	_				5,48			
	1	BA-H36-138.70	UE171	ORCU	F		14,39	13,97	4,97			
	1	BA-H36-138.71	UE171	ORCU	PF			13,48	4,89			
	1	BA-H36-138.79	UE171	ORCU	PF					10,97	8,98	5,90
	1	BA-H36-138.80	UE171	ORCU	F					10,76	8,29	6,05
	1	BA-H36-195.43	UE197	ORCU	F				5,33	10,79	8,46	5,99
	1	BA-H36-700.12	UE306	ORCU	F		13,09	13,33				
	1	BA-H36-307.34	UE222	ORCU	F				4,74	10,76	8,38	5,70
	1	BA-H36-307.35	UE222	ORCU	F		13,11	13,08				
	1	BA-H36-234.208	UE203	ORCU	F		12,54					
	1	BA-H36-618.33	UE283	ORCU	F		13,22	12,80				
	1	BA-H68-22.4	1A4	ORCU	F		12,61	13,68				
	1	BA-H68-36.7	1B1a	ORCU	NF				4,98			
	2	BA-H35-760.7	UE170	ORCU	PF				5,38	10,80	8,92	6,41
	2	BA-H35-92.6	UE156	ORCU	F		13,86	15,57	5,42			
	2	BA-H35-92.11	UE156	ORCU	F		13,45	14,53				
	2	BA-H35-791.28	UE403	ORCU	F		13,42	13,46				
	2	BA-H64-16.22	1A1	ORCU	F		14,37	15,28				
	2	BA-H64-16.151	1A1	ORCU	F		13,48	13,37	5,10			
	2	BA-H64-16.152	1A1	ORCU	F	90,98		14,38	5,11	10,31	8,07	5,56
	2	BA-H64-16.149	1A1	ORCU	F		12,61	14,34				
	2	BA-H64-10.67	1A1	ORCU	F				3,77	8,45	3,97	6,11
	2	BA-H83-14.87	1A5	ORCU	F	87,40	12,99	13,75	4,99	11,07	8,98	6,04
	3a	BA-H2-277.35	3A2	ORCU	F		13,37	12,77				
	3a	BA-H7-79.5	1A3	ORCU	F		12,52	12,91				
	3a	BA-H21-26.4	3A1	ORCU	F		13,34					
	3a	BA-H41-36.8	1B5a	ORCU	F		13,03	12,84	5,27			
	3a	BA-H41-36.10	1B5a	ORCU	F		13,64	13,39	5,65			
	3a	BA-H52-5.15	1B6a	ORCU	PF		12,98	14,06	5,52			
	3a	BA-H52-5.16	1B6a	ORCU	_				4,84			
	3a	BA-H52-5.19	1B6a	ORCU	_				5,03			
	3b	BA-H2-143.31	2A8	ORCU	NF				4,92			
	3b	BA-H2-112.33	2A5	ORCU	_				5,56			
	3b	BA-H2-112.34	2A5	ORCU	_				4,44			
	3b	BA-H2-166.6	2A8	ORCU	NF				4,77			
	3b	BA-H37-48.77	2A1	ORCU	F		12,62	13,36				
	3b	BA-H3-99.1	1A5	ORCU	F			14,13	5,68			
	3b	BA-H3-66.2	1A7	ORCU	F		13,36	13,90				
	3b	BA-H8-8.9	2A1	ORCU	F		13,70	13,75	5,05			
	3b	BA-H8-8.14	2A1	ORCU	F		13,38	14,04	5,11			
	3b	BA-H5-34.4	1A8	ORCU	F		13,74	13,39				
	3b	BA-H37-22.13	1A1	ORCU	F		14,14	12,92				
	3b	BA-H54-73.10	2A3	ORCU	F		13,12		6,11			
	3b	BA-H54-107.3	3A1	ORCU	F				6,02	11,56	8,36	6,16
	3b	BA-H54-4.17	1A1	ORCU	_				5,23			
	3	BA-H4-6.55	1A1	ORCU	F		11,88	12,96				
	3	BA-H4-20.3	1A4	ORCU	F		12,08					
	_	BA-E15-29.6	1A7	ORCU	F				5,49	10,34	8,03	5,80
	_	BA-E15-21.21	1A5	ORCU	F		13,79	13,91	5,96			
	_	BA-E15-21.27	1A5	ORCU	F					11,02	9,14	5,94

TI						LM	Ap	APp	AD	Ad	ASd	aPd
	_	BA-E15-40.46	1A11	ORCU	F		12,87	12,53	4,81			
	_	BA-E8-3.412	1A1	ORCU	F				5,52	10,34	7,99	5,82
	_	BA-E8-3.319	1A1	ORCU	F				5,39	10,41	8,23	5,79
	_	BA-E8-3.273	1A1	ORCU	F		14,51	14,04	5,23			
	_	BA-E8-3.110	1A1	ORCU	F		12,41					
	_	BA-E8-3.242	1A1	ORCU	F		13,54	14,00				
	_	BA-E9-18.2	1A3	ORCU	F		13,79	13,73				

MC II						LM	Ap	aPp	AD	Ad	ASd	aPd	aPSd
	1	BA-H36-181.67	UE192	ORCU	F	17,26	3,24	3,98	2,22	3,48	0,94	2,63	2,78
	2	BA-H83-78.17	1B19b	ORCU	F	17,66	3,38	4,60	2,37	3,21	2,95	2,19	2,88
	3b	BA-H37-48.31	2A1	ORCU	F	17,10	2,97	3,80	2,24	3,17	2,84	2,11	2,68

MC III						LM	Ap	aPp	AD	Ad	ASd	aPd	aPSd
	2	BA-H64-16.113	1A1	ORCU	F				2,57	3,84	3,53	2,94	3,06
	2	BA-H83-14.101	1A5	ORCU	F	13,81	2,85	3,27	2,22	2,98	2,87	2,00	2,54
	2	BA-H83-78.18	1B19b	ORCU	F	19,44	2,87	3,98	2,12	3,08	2,78	2,18	2,74

MC IV						LM	Ap	aPp	AD	Ad	ASd	aPd	aPSd
	2	BA-H34-758.17	UE328	ORCU	F	14,85	2,80	3,21	2,04	3,16	3,17	2,64	2,83

MC V						LM	Ap	aPp	AD	Ad	ASd	aPd	aPSd
	3b	BA-H54-107.5	3A1	ORCU	_		3,46	4,89	2,63				

MT II						LM	Ap	aPp	AD	Ad	ASd	aPd	aPSd
	1	BA-H36-230.17	UE195	ORCU	_		4,22	5,18	3,16				
	1	BA-H36-234.60	UE203	ORCU	F		3,36	4,83	2,95	4,27	3,75	3,22	3,34
	2	BA-H83-14.91	1A5	ORCU	F	31,61	3,75	4,81	2,90	3,96	3,69	2,78	3,43
	2	BA-H83-14.92	1A5	ORCU	F	33,17	3,82	4,90	3,05	4,19	4,06	2,93	3,58
	2	BA-H83-14.93	1A5	ORCU	F	32,06	3,85	4,84	2,69	4,07	3,93	2,98	3,36
	2	BA-H64-10.65	1A3	ORCU	F	32,18	3,67	5,10	3,10	4,36	4,32	3,07	3,74
	3b	BA-H3-99.5	1A5	ORCU	F				3,30	4,60	4,26	3,22	3,79
	3b	BA-H37-22.81	1A1	ORCU	F	33,64	3,33	4,87	3,20	4,07	4,03	2,90	3,41
	3b	BA-H54-107.32	3A1	ORCU	F		4,53	4,98	3,35				
	_	BA-E8-3.55	1A1	ORCU	F	32,48	3,82	5,50	3,23	4,47	4,16	2,77	3,47
	_	BA-E9-2.46	1A1	ORCU	F	32,55	3,67	5,45	3,08	4,25	4,20	3,07	3,47

MT III						LM	Ap	aPp	AD	Ad	ASd	aPd	aPSd
	1	BA-H36-234.58	UE203	ORCU	F	34,91	3,87	5,68	2,93	4,32	3,96	3,15	3,64
	1	BA-H36-281.1	UE217	ORCU	F	32,42	3,63	5,72	2,79	4,07	3,93	3,22	3,41
	2	BA-H34-758.22	UE328	ORCU	F	30,40	3,66	5,57	2,96	4,38	3,72	3,17	3,54
	2	BA-H64-16.19	1A1	ORCU	F	30,15	3,54	5,41	2,83	3,82	3,79	2,99	3,47
	2	BA-H83-14.99	1A5	ORCU	F	31,71	3,63	5,02	2,47	3,88	3,47	2,84	3,33
	2	BA-H83-14.100	1A5	ORCU	F		3,76	5,50	3,04			2,89	
	3b	BA-H8-30.9	2A3	ORCU	F	32,77	3,77	5,46	2,49	4,32	3,96	2,94	2,93
	3b	BA-H37-88.85	2B10	ORCU	F	34,97	3,81	5,37	3,21	4,14	4,02	3,23	3,67
	3b	BA-H54-107.29	3A1	ORCU	F	32,24	3,66	4,94	3,02	4,04	3,86	2,77	3,50

MT IV						LM	Ap	aPp	AD	Ad	ASd	aPd	aPSd
	1	BA-H36-700.10	UE306	ORCU	_		4,08	5,36	2,49				
	1	BA-H36-234.55	UE203	ORCU	F	31,14	3,81	5,09	2,63	3,77	3,52	3,02	3,39
	1	BA-H36-234.56	UE203	ORCU	_		3,10	4,07	2,64				
	1	BA-H36-234.57	UE203	ORCU	F	31,06	3,96	5,32	2,66	4,07	3,91	3,05	
	1	BA-H36-618.37	UE283	ORCU	F	31,59	3,55		2,50	3,81	3,60	2,50	3,37
	1	BA-H36-195.39	UE197	ORCU	F	30,14	3,41	5,02	2,51	3,88	3,65	2,64	3,31
	2	BA-H35-92.30	UE156	ORCU	F		3,76	4,56	2,60				
	2	BA-H83-14.96	1A5	ORCU	F	32,31	3,57	5,37	2,64	3,86	3,70	2,69	3,60
	2	BA-H83-14.97	1A5	ORCU	F	30,98	3,70	4,65	2,43	3,74	3,58	3,03	3,31
	2	BA-H83-14.98	1A5	ORCU	F		3,48	4,66	2,53				
	3b	BA-H37-88.14	2B10	ORCU	F	34,02	3,87	5,33	2,90	3,76	3,93	3,01	3,63
	3b	BA-H37-2.7	1A2	ORCU	F	34,64	4,01	5,22	3,05	4,12	3,88	2,94	3,68
	3b	BA-H54-107.30	3A1	ORCU	F	29,41		4,30	2,44	3,33	3,23	2,47	2,97



MT V						LM	Ap	aPp	AD	Ad	ASd	aPd	aPSd
	2	BA-H83-14.94	1A5	ORCU	F	26,73	4,59	4,53	2,06	3,48	3,37	2,81	2,99
	2	BA-H83-14.95	1A5	ORCU	F	28,43	4,37	4,27	2,45	3,53	3,36	2,51	3,06
	3b	BA-H3-105.7	1A2	ORCU	F				2,45	3,78	3,34	2,85	3,02
	3b	BA-H54-107.31	3A1	ORCU	F			4,12	2,79	3,88	3,80	2,71	3,31

MP						AD	Ad	ASd	aPd	aPSd
	1	BA-H36-618.45	UE283	ORCU	F		3,97	3,72	2,83	3,42
	2	BA-H35-92.307	UE156	ORCU	F	2,73	4,22	4,15	2,94	3,77
	2	BA-H83-8.22	1A3	ORCU	F	2,95	4,30	3,84	3,49	3,68
	2	BA-H83-8.23	1A3	ORCU	F	2,82	4,22	3,73	3,34	3,64

FA1						LMpe	Ap	ASp	APp	AD	Ad	APd
	1	BA-H36-618.41	UE283	ORCU	F	14,19	4,28		3,21	2,21	3,02	2,61
	1	BA-H36-181.82	UE192	ORCU	F	14,80	4,30	3,95	3,69	2,66	3,06	2,64
	1	BA-H36-181.68	UE192	ORCU	F	13,98	4,20	4,15	3,48	2,45	3,04	2,71
	2	BA-H35-92.304	UE156	ORCU	F	14,21	3,92	3,43	3,17	2,33	2,93	2,51
	2	BA-H35-92.26	UE156	ORCU	F	13,84	4,16	3,91	3,21	2,23	3,08	2,42
	2	BA-H34-758.18	UE328	ORCU	F		4,17	3,69	3,17	2,39		
	2	BA-H83-14.102	1A5	ORCU	F	14,50	3,54	3,46	2,95	2,04	2,64	2,36
	2	BA-H83-14.103	1A5	ORCU	F	15,09	4,11	3,75	3,32	2,49	3,05	2,56
	3a	BA-H41-36.6	1B5a	ORCU	F	15,22	3,66	3,56	3,03	2,20	2,87	2,37
	3	BA-H1-27.4	1A6	ORCU	F	14,53	3,95	3,64	3,08	2,33	2,96	2,56

CAL						LM	AM	aPM	LPc
	1	BA-H36-700.8	UE306	ORCU	F	21,01	8,09	6,95	8,40
	1	BA-H36-195.21	UE197	ORCU	F	21,26	7,65	6,77	8,70
	2	BA-H35-104.72	UE154	ORCU	_		6,71	6,62	8,57
	2	BA-H35-760.1	UE170	ORCU	F	20,35	7,65	6,30	8,41
	3a	BA-H52-106.11	1A8	ORCU	F	20,27	6,34	6,87	
	3b	BA-H8-14.11	2A2	ORCU	F	18,77	7,24	6,39	8,12
	_	BA-E8-3.5	1A1	ORCU	F	21,43	8,27	6,88	8,52
	_	BA-E8-3.199	1A1N	ORCU	F	21,40	8,16	7,65	8,72

TA						LM
	1	BA-H36-234.217	UE203E	ORCU	_	11,08

MD						1	2	3	4	5	6	7	sexo
	1	BA-H36-234.89	UE203	ORCU	_		13,96	30,32	16,36			9,48	macho
	1	BA-H36-234.90	UE203	ORCU	_				16,65			8,42	hembra
	1	BA-H36-234.91	UE203	ORCU	_		12,90	26,51	13,61			8,82	macho
	1	BA-H36-618.23	UE283	ORCU	_		13,35	28,24	14,89			10,03	macho
	1	BA-H36-494.30	UE234	ORCU	_		14,70	31,11	16,41			9,80	macho
	1	BA-H36-181.60	UE192	ORCU	_				17,88			10,90	macho
	1	BA-H36-274.1	UE212	ORCU	_				14,98			8,09	_
	2	BA-H34-758.7	UE328	ORCU	_		14,19					9,52	_
	2	BA-H35-92.5	UE156	ORCU	_		14,54	30,34	15,80			11,16	macho
	2	BA-H35-707.9	UE307	ORCU	_				14,82			9,71	macho
	2	BA-H64-16.173	1A1	ORCU	_		13,34	28,87	15,53			9,75	macho
	2	BA-H64-10.18	1A3	ORCU	_		14,42	29,20	14,78			10,20	macho
	2	BA-H64-10.17	1A3	ORCU	_		14,29						_
	2	BA-H83-8.14	1A3	ORCU	_				17,40			10,87	macho
	2	BA-H83-14.113	1A5	ORCU	_		12,66	27,33	14,67			10,85	macho
	2	BA-H83-14.117	1A5	ORCU	_		13,63	28,76	15,13	30,89	28,67	9,12	macho
	2	BA-C0-153.9	10A2	ORCU	_				15,06			10,35	macho
	3a	BA-H52-5.11	1B6a	ORCU	_		12,93	28,71	14,05			10,10	macho
	3a	BA-H52-5.82	1B6a	ORCU	_		14,19	31,85	17,27			10,54	macho
	3a	BA-H62-7.3	1A2	ORCU	_		13,74	30,75	17,01			10,29	macho
	3b	BA-H3-105.4	1A2	ORCU	_							10,59	_
	3b	BA-H3-66.1	1A7	ORCU	_				15,96			9,99	macho
	3b	BA-H3-66.3	1A7	ORCU	_				15,73			10,17	macho
	3b	BA-H3-91.4	1A8	ORCU	_				16,40			10,55	macho



MD						1	2	3	4	5	6	7	sexo
	3b	BA-H8-3.21	1A1	ORCU	_				16,43			8,95	hembra
	3b	BA-H37-2.6	1A2	ORCU	_				17,11			9,93	macho
	3b	BA-H54-107.25	3A1	ORCU	_		13,49	27,64	14,63			9,23	macho
	3b	BA-H53-26.12	1A5	ORCU	_				15,60			10,25	macho

CR						9	11	20
	1	BA-H36-230.14	UE195	ORCU	_		6,22	
	1	BA-H36-307.51	UE222	ORCU	_	12,15		6,53
	1	BA-H36-618.47	UE283	ORCU	_		5,99	
	1	BA-H36-618.157	UE283	ORCU	_		4,99	
	1	BA-H36-494.31	UE234	ORCU	_	13,73	5,83	8,12
	1	BA-H36-181.66	UE192	ORCU	_	11,73	6,43	
	2	BA-H35-92.23	UE156	ORCU	_	11,97	5,46	7,28
	2	BA-H64-16.117	1A1	ORCU	_	13,26	5,54	
	3b	BA-H5-102.11	1A11	ORCU	_		6,81	
	_	BA-E8-3.425	1A1S	ORCU	_	14,28	6,47	

**LEPUS CAPENSIS**

HUE	FASE	NIN	SUCJTO	ESP	EF	Medidas				
-----	------	-----	--------	-----	----	---------	--	--	--	--

E						aPC	aPP	aPS	AS	LE
	1	BA-H36-234.87	UE203	LECA	F	6,09	10,46	9,65	9,88	
	2	BA-H34-758.8	UE328	LECA	F	6,54	11,17	10,22	10,77	
	2	BA-H35-707.6	UE307	LECA	F	6,39	10,09		9,74	
	_	BA-E38-26.16	1A8	LECA	F	6,38	10,82	9,56	9,94	

PEL						LA	LAB	Hmrl	Amrl
	1	BA-H36-234.202	UE203	LECA	F	10,52	9,06	9,01	5,30

HU						LM	LC	Ap	aPp	AD	Ad	ASd	HMSd	HmSd
	1	BA-H36-181.70	UE192	LECA	F	84,92	82,71	13,10	16,49	5,56	10,23	5,16	7,75	5,60
	3b	BA-H8-14.2	2A2	LECA	F					4,88	10,44	5,25	7,64	5,35

R						LM	Ap	ASp	APp	AD	Ad	ASd	APd
	2	BA-H26-3.13	1A1	LECA	F		7,36	7,33	5,04	4,87			

FE						LM	LC	Ap	AC	ATr	aPC	AD	Ad	ATd
	1	BA-H36-307.65	UE222	LECA	PF				11,60		11,61			
	1	BA-H36-307.66	UE222	LECA	PF								16,86	16,61
	1	BA-H36-313.89	UE227	LECA	F							9,73	20,33	19,85

TI						LM	Ap	APp	AD	Ad	ASd	aPd
	1	BA-H36-307.67	UE222	LECA	=				8,61			
	1	BA-H12-9.11	1A1	LECA	F					13,23	10,67	7,72

MC III						LM	Ap	aPp	AD	Ad	ASd	aPd	aPSd
	3b	BA-H54-107.6	3A1	LECA	F	25,85	4,57	4,24	2,16	3,25	3,17	2,53	2,55

MT II						LM	Ap	aPp	AD	Ad	ASd	aPd	aPSd
	2	BA-H35-92.12	UE156	LECA	F	44,81	4,13	6,28	3,73	5,21	4,58	4,09	4,15

CAL						LM	AM	aPM	LPc
	2	BA-H35-104.65	UE154	LECA	F	28,24	10,40	9,46	11,38

**EQUUS CABALLUS**

HUE	FASE	NIN	SUCJTO	ESP	EF	Medidas
-----	------	-----	--------	-----	----	---------

AT						Lm	AFcr	AFcd	H
	3a	BA-H2-294.2	3A1	EQCA	F	78,47			

UL						HO	aPPa	aPS	APsD	HSp	ASp	SDO
	3b	BA-E16-12.1	2A1	EQCA	F		64,34	39,33				50,60

R						LM	Ap	ASp	APp	AD	Ad	ASd	APd
	2	BA-I2-3.20	1A1	EQCA	F						66,59	54,35	36,16
	3b	BA-I1-32.23	2A1	EQCA	F		74,15	66,72	38,51				
	3b	BA-E16-12.5	2A1	EQCA	F				38,44				

PEL						LA	LAB	Hmrl	Amrl
	3a	BA-E16-16.54	2A2	EQCA	F	65,74	56,65		
	3b	BA-E16-12.2	2A1	EQCA	F	65,71	57,84		

FE						LM	LC	Ap	AC	ATr	aPC	AD	Ad	ATd
	_	BA-E16-46	1A1	EQCA	F			106,21	54,22	85,05	53,80			

RO						LM	AM
	3b	BA-I1-20.27	1A5	EQCA	_	58,27	59,23

TI						LM	Ap	APp	AD	Ad	ASd	aPd
	3b	BA-H61-22	1A2	EQCA	F				38,27	67,28	53,05	44,70
	_	BA-E16-49	1A1	EQCA	_				42,01			

MT II						LM	Ap	aPp	AD	Ad	ASd	aPd	aPSd
	3b	BA-E16-9.5	2A1	EQCA	F		15,19	19,63					

MT III						LM	Ap	aPp	AD	Ad	ASd	aPd	aPSd
	3b	BA-H61-20.1	1A2	EQCA	F	259,50	43,54	41,44	32,20	46,92	45,70	33,97	34,36
	3b	BA-E16-9.1	2A1	EQCA	F	267,02	49,99	43,10	35,14	47,15	47,39	26,42	34,76
	3b	BA-E16-12.84	2A1	EQCA	F		42,74	40,11	32,06				

MT IV						LM	Ap	aPp	AD	Ad	ASd	aPd	aPSd
	3b	BA-E16-9.2	2A1	EQCA	F		16,77	24,49					
	_	BA-E16-3.60	1A1	EQCA	F		17,30	27,40					

MP						Ad	ASd	aPd	aPSd
	3a	BA-H52-91	1A1	EQCA	F	43,87	43,75	23,48	34,02
	_	BA-E16-3.56	1A1	EQCA	F		46,99	25,97	35,18

FA1						LM	Ap	ASp	APp	AD	Ad	APd
	_	BA-E16-3.79	1A1	EQCA	F	75,19				30,17		
	_	BA-E16-3.43	1A1	EQCA	F					29,57	44,68	29,31
	_	BA-E16-3.83	1A1	EQCA	F		35,11	18,97				
	_	BA-E16-26.1	1A2	EQCA	F	75,24	52,14	48,00	37,75	32,64	41,19	24,30

FA2						LM	Ap	APp	AD	Ad	APd
	2	BA-I2-31.12	1A5	EQCA	F	41,67	42,36	28,07			23,55
	3b	BA-H61-45	1B5a	EQCA	F	43,14	46,92	28,86		43,13	20,99
	3b	BA-E16-12.116	2A1	EQCA	F	42,69	50,23	30,62	40,13	41,15	25,75
	_	BA-E16-26.2	1A2	EQCA	F	38,81	40,00	24,22	35,70	39,08	21,48

FA3						LM	HP	Ldo	HS	GB	BF	LF
	3b	BA-H2-42.1	2A2	EQCA	_	53,63	39,47	53,16			46,99	22,76
	3b	BA-E16-12.114	2A1	EQCA	_							25,31
	_	BA-E16-45.1	1A1	EQCA	_	54,88	40,14	54,32			45,03	28,47

CAL						LM	AM	aPM	LPc
	3b	BA-I1-20.19	1A5	EQCA	F		47,69	50,40	
	_	BA-E16-12.6	1A2	EQCA	F			48,15	
	2	BA-H26-3.5	1A1	EQCA	F	102,06	47,79	46,98	

TA						Lla	Lme	aPla	aPme	Ad	HM	AM	AFd	LmeT
	3a	BA-E16-16.67	2A2	EQCA	_						54,74			55,86

TCEN						LM	AM
	_	BA-H15-10.4	2A2	EQCA	_	39,89	47,59

TI						LM	AM
	_	BA-E16-3.59	1A1	EQCA	_	31,85	15,36

TA 2+3						LM	AM
	_	BA-E16-3.1	1A1	EQCA	_	39,27	40,53
	3b	BA-E16-12.85	2A1	EQCA	_	38,60	39,07

T IV						LM	AM
	3b	BA-H37-22.38	1A1	EQCA	_	36,11	21,11

C III						LM	AM
	_	BA-E16-3.58	1A1	EQCA	_	34,74	22,94

C RAD						LM	AM
	_	BA-E15-40.44	1A1	EQCA	_	37,09	25,92

SES						LM	AM
	3b	BA-E16-12.118	2A1	EQCA	_	41,49	

M1Sup						LM	AM
	3b	BA-H54-73.25	2A3	EQCA	_	23,69	24,53

M2Sup						LM	AM
	3b	BA-E16-12.8	2A1	EQCA	_	26,89	24,43

M2Inf						LM	AM
	_	BA-E16-3.115	1A1	EQCA	_	27,16	15,83

P2Inf						LM	AM
	3b	BA-E16-12.104	2A1	EQCA	_	31,45	19,22

**BOS TAURUS**

HUE	FASE	NIN	SUCJTO	ESP	EF	Medidas
-----	------	-----	--------	-----	----	---------

AX						LCDe	LAPa	AFcr	APacd	APtr	AmV	AFcd	HFcr
	3a	BA-H21-17	1A1	BOTA	_			88,66					

E						aPC	aPP	aPS	AS	LE
	3b	BA-H11-31.5	1A3	BOTA	F	45,82	61,40		45,69	

UL						HO	aPPa	aPS	APsD	HSp	ASp	SDO
	3b	BA-H2-36.45	1A2	BOTA	_						23,56	
	_	BA-E9-2.1	1A1	BOTA	_		54,68	38,81	33,86	39,40	38,39	47,11

HU						LM	LC	Ap	aPp	AD	Ad	ASd	HMSd	HmSd
	2	BA-I2-24.4	1A4	BOTA	F								34,14	27,47
	2	BA-I2-6.324	1A2	BOTA	_					19,57				
	3a	BA-H52-119.15	1B5	BOTA	F						74,89	67,36	38,25	28,82
	3b	BA-I1-16.94	1A4	BOTA	F					31,51	70,83			32,61
	3b	BA-H2-8	1A1	BOTA	_					18,90				
	3b	BA-H2-14	1A2	BOTA	_					19,61				
	3b	BA-H2-166.1	2A8	BOTA	_					24,48				

R						LM	Ap	ASp	APp	AD	Ad	ASd	APd
	2	BA-I2-31.40	1A5	BOTA	F					37,10			
	2	BA-I2-6.301	1A2	BOTA	F						62,44	59,41	37,65
	3a	BA-H21-33.2	3A1	BOTA	F		81,00	75,47	39,93	36,93			
	_	BA-H15-10.185	2A2	BOTA	F		71,97	69,12	37,20				

PEL						LA	LAb	Hmrl	Amrl
	3b	BA-H5-32	1A8	BOTA	F	63,74	51,08	39,03	20,29

RO						LM	AM
	2	BA-I2-6.37	1A2	BOTA	_	60,68	37,65
	2	BA-I2-6.38	1A2	BOTA	_		34,15

TI						LM	Ap	APp	AD	Ad	ASd	aPd
	2	BA-I2-24.19	1A4	BOTA	F				32,02	47,34	41,33	36,71
	3b	BA-H2-1	1A2	BOTA	PF				28,85	49,43	35,98	36,73

MC						LM	Ap	aPp	AD	Ad	ASd	aPd	aPSd
	1	BA-C0-282	17A1	BOTA	F		53,75	30,61	35,68				
	2	BA-C0-222.3	15A1	BOTA	F		51,15	34,79					
	2	BA-H83-33.3	1A8	BOTA	F					46,13	50,92	21,49	26,79
	3b	BA-H37-22.52	1A1	BOTA	F					50,32	50,78	21,30	24,13
	3b	BA-H37-22.51	1A1	BOTA	F					49,62	50,51	21,20	25,01
	3b	BA-I1-20.24	1A5	BOTA	F		43,74	26,09	26,30				

MT						LM	Ap	aPp	AD	Ad	ASd	aPd	aPSd
	2	BA-C0-222.1	15A1	BOTA	F		43,50	44,58					
	2	BA-I2-51.21	2A1	BOTA	_					51,36			
	_	BA-E16-3.101	1A1	BOTA	F				25,98			22,65	27,42
	_	BA-H15-10.160	2A2	BOTA	F					52,51	59,60	24,59	29,25
	_	BA-H15-10.184	2A2	BOTA	F					52,34	55,77	25,84	

MP						Ad	ASd	aPd	aPSd
	2	BA-I2-6.300	1A2	BOTA	F	60,39	59,61	24,23	27,20
	2	BA-H64-10.63	1A1	BOTA		62,13		29,20	31,31

FA1						LMpe	Ap	ASp	APp	AD	Ad	APd
	1	BA-H9-30.50	1A3	BOTA	F						25,02	18,72
	1	BA-H36-636	UE 283	BOTA	F	52,80		22,66	31,75	21,09	24,53	18,76
	2/3	BA-H31-106.4	1A4	BOTA	F		24,89	23,19		20,56	21,98	18,36
	2	BA-H64-10.56	1A3	BOTA	F		25,58	23,43	28,52	21,90		16,15
	2	BA-I2-6.375	1A2	BOTA	_						20,35	16,58

FA1						LMpe	Ap	ASp	APp	AD	Ad	APd
	2	BA-I2-6.376	1A2	BOTA	PF	50,62				18,73	22,10	16,99
	2	BA-I2-6.377	1A2	BOTA	_						19,14	
	2	BA-I2-6.382	1A2	BOTA	_				28,35			
	2	BA-I2-37.30	1A6	BOTA	F	52,58	24,45	23,99	30,85	22,29	23,33	16,29
	2	BA-I2-37.32	1A6	BOTA	F	52,66	24,42	22,66	28,87	21,06	21,54	17,48
	2	BA-I2-37.78	1A6	BOTA	F	51,95	27,58	24,81	32,14	23,45		
	2	BA-I2-37.79	1A6	BOTA	F	55,51						
	2	BA-I2-37.80	1A6	BOTA	F	55,71	28,83	26,40	31,84	25,72	28,72	
	2	BA-I2-37.81	1A6	BOTA	F	52,90	29,39	25,61	32,15	25,53	28,23	21,29
	2	BA-I2-45.1	1B1a	BOTA	F	54,43	26,56	23,70	30,46	24,75	23,02	17,99
	3b	BA-I1-16.58	1A4	BOTA	F					24,84	28,10	21,65
	3b	BA-I1-20.9	1A5	BOTA	F	52,55	25,57	23,56	26,35	21,48		
	3b	BA-I1-43.7	1B4a	BOTA	F	40,65		20,76				
	3a	BA-H7-93.6	1A1	BOTA	F	54,44				24,59		
	3a	BA-H52-2.1	1A1	BOTA	F	49,43	26,99	25,56	23,09	26,96	25,81	18,28
	3a	BA-H52-36.1	1A3	BOTA	F	50,06	24,81	22,05	26,89	21,76	25,75	18,06
	3a	BA-H52-5.4	1B6a	BOTA	F	53,15	27,39	25,82	30,06	26,67	24,03	21,70
	3a	BA-H52-31.22	1B6a	BOTA	F	51,12				18,24	20,42	16,78
	3b	BA-H2-166.3	2A8	BOTA	F	55,67			34,27	24,20	27,55	18,83
	3b	BA-H37-22.39	1A1	BOTA	F	44,86	24,65	23,17	27,12	20,50	24,38	17,23
	3b	BA-H53-11.11	1A3	BOTA	_		24,80	20,08				
	_	BA-E16-3.110	1A1	BOTA	F		29,56	26,85	33,45	23,57	27,61	21,19

FA2						LMpe	Ap	APp	AD	Ad	APd
	1	BA-H9-2.59	1A2	BOTA	PF	37,98	30,85		28,19	29,62	31,97
	1	BA-H9-51.22	1A6	BOTA	_		31,23	30,72			
	1	BA-H9-30.25	1A3	BOTA	F		25,24	26,07	20,31		
	1	BA-H9-146.1	1A6	BOTA	F	35,25	26,01	27,29	19,49	21,38	23,80
	2	BA-I2-24.20	1A4	BOTA	F	34,10	30,19	30,49	25,32	24,28	
	2	BA-I2-37.82	1A6	BOTA	F	35,58	30,00	31,85	26,52		
	2	BA-I2-51.17	2A1	BOTA	F	34,90					
	3a	BA-H52-5.28	1B6a	BOTA	NF		16,19	20,32			
	3b	BA-H3-101.39	1A1	BOTA	F				21,58	22,97	
	3b	BA-H54-53.8	1A4	BOTA	F	42,48	32,65	36,53	28,32	28,91	29,91
	3b	BA-H8-30.10	2A3	BOTA	F	33,05	26,66	26,23	23,36	24,61	27,73
	3b	BA-E16-12.14	2A1	BOTA	F	35,44	28,30	29,40	24,00	24,78	26,28
	3	BA-H4-6.28	1A1	BOTA	F	28,24	26,44	26,18	21,64		25,25
	_	BA-E16-3.98	1A1	BOTA	F	44,28	29,25	27,07	23,29	28,04	20,86
	_	BA-E8-3.40	1A1	BOTA	F	33,94	25,62	28,14	21,78	22,89	24,12
	_	BA-E8-25.9	1A3	BOTA	F	37,72	30,54	30,89	23,90	25,57	26,76
	_	BA-E9-2.47	1A1	BOTA	F	36,84	31,47	31,49	26,81	28,15	30,17

FA3						LM	HP	LDP	Ldo	MBS
	2	BA-I2-37.41	1A6	BOTA	_			74,16	56,31	23,02
	2	BA-H35-92.212	UE156	BOTA	_				55,80	
	2	BA-H35-113.2	UE156	BOTA	_			67,12	50,69	25,32
	3a	BA-H52-5.30	1B6a	BOTA	_			60,79		21,11
	3b	BA-H3-105.16	1A2	BOTA	_					19,99
	3b	BA-I1-20.43	1A5	BOTA	_			51,79	48,17	14,08
	_	BA-H15-10.204	2A2	BOTA	_			61,92	49,39	22,42

CAL						LM	AM	aPM	LPc
	1	BA-H36-141	_	BOTA	_		40,44	51,58	48,55
	2	BA-I2-51.69	2A1	BOTA	_		42,97	54,31	
	2	BA-I2-6.391	1A2	BOTA	_		34,13	41,21	43,22
	2	BA-H83-14.4	1A5	BOTA	_		40,21	49,62	43,29
	3b	BA-H2-112.18	2A5	BOTA	_			47,35	
	_	BA-E8-3.65	1A1	BOTA	_		34,19	37,47	37,30

TA						Lla	Lme	aPla	aPme	Ad
	2	BA-I2-51.16	2A1	BOTA	_	62,11	57,19	32,86		40,75
	2	BA-H26-3.1	1A1	BOTA	_	52,81		30,78		
	2	BA-H35-94	UE 156	BOTA	_	61,03		34,12	34,62	40,19
	2/3	BA-H31-109.3	1A5	BOTA	_	56,79		33,52		37,40
	3a	BA-H7-55.1	1A3	BOTA	_	61,47	56,57	33,18	31,89	38,97

TA						Lla	Lme	aPla	aPme	Ad
	3a	BA-H20-9.20	1A2	BOTA	_	67,04	61,84	36,87	37,36	46,77
	3b	BA-11-20.20	1A5	BOTA	_		53,75			
	_	BA-H15-10.137	2A2	BOTA	_		54,38	32,58	30,93	38,52

CENTQ						LM	AM
	2	BA-I2-6.331	1A2	BOTA	_	44,35	39,19

CINT						LM	AM
	3b	BA-H2-42.5	2A2	BOTA	_	37,37	31,33

MAL						LM	AM
	1	BA-H9-2.52	1A2	BOTA	_	27,56	21,02

C RAD						LM	AM
	2	BA-I2-6.35	1A2	BOTA	_	37,33	23,01

M1Sup						LM	AM
	2	BA-I2-6.396	1A2	BOTA	_	25,28	15,22
	3a	BA-H21-3.1	1A1	BOTA	_	25,84	19,29
	3b	BA-H2-36.64	1A2	BOTA	_	23,64	13,69
	3b	BA-H2-380	1A2	BOTA	_	23,57	12,84
	3b	BA-H2-36.66	1A2	BOTA	_	23,87	14,19
	_	BA-H15-10.147	2A2	BOTA	_	21,08	19,93
	_	BA-E8-3.305	1A1	BOTA	_	22,51	24,46
	_	BA-E8-3.58	1A1	BOTA	_	22,09	13,54

M1Inf						LM	AM
	2	BA-I2-6.393	1A2	BOTA	_	23,85	12,22
	2	BA-I2-6.50	1A2	BOTA	_	20,10	13,21
	2	BA-C0-222.9	15A1	BOTA	_	31,52	12,74
	3a	BA-H52-5.118	1B6a	BOTA	_	25,18	9,54
	3b	BA-H2-36.65	1A2	BOTA	_	26,60	9,74
	3b	BA-H2-52.2	1A4	BOTA	_	26,11	10,77

M2Sup						LM	AM
	2	BA-I2-6.397	1A2	BOTA	_	26,57	17,23
	2	BA-I2-6.398	1A2	BOTA	_	27,93	19,18
	2	BA-I2-6.399	1A2	BOTA	_	26,66	13,80
	3a	BA-H21-3.2	1A1	BOTA	_	28,77	18,92
	3b	BA-H2-36.32	1A2	BOTA	_	26,81	16,76
	3b	BA-H2-36.64	1A2	BOTA	_	25,35	13,47
	3b	BA-H2-23	1A2	BOTA	_	28,40	14,87
	3b	BA-H2-36.66	1A2	BOTA	_	25,30	13,37
	3b	BA-H2-112.16	2A5	BOTA	_	27,14	13,83
	3b	BA-11-36.10	2A2	BOTA	_	26,47	21,82
	_	BA-E16-3.57	1A1	BOTA	_	24,34	19,43
	_	BA-H15-10.136	2A2	BOTA	_	26,33	20,96
	_	BA-E8-3.272	1A1	BOTA	_	28,71	21,76

M2Inf						LM	AM
	2	BA-I2-6.50	1A2	BOTA	_	23,18	14,30
	2	BA-H64-16.159	1A1	BOTA	_	25,19	12,89
	2?	BA-H46-11.9	1A3	BOTA	_	25,76	10,77
	3b	BA-H2-52.2	1A4	BOTA	_	27,45	9,22
	3b	BA-H3-99.48	1A5	BOTA	_	22,05	11,31

M3Sup						LM	AM
	2/3	BA-H31-109.35	1A5	BOTA	_	28,48	19,50
	3a	BA-E16-16.1	2A2	BOTA	_	27,07	18,96
	3b	BA-H2-379	1A2	BOTA	_	22,87	15,08
	3b	BA-H2-44.5	2A3	BOTA	_	24,06	14,07
	3b	BA-H2-112.14	2A5	BOTA	_	28,49	14,80
	3b	BA-H3-99.49	1A5	BOTA	_	27,34	15,07
	_	BA-H15-10.145	2A2	BOTA	_		19,97

M3Inf						LM	AM
	2	BA-H83-8.29	1A3	BOTA	_		13,75
	2	BA-I2-6.50	1A2	BOTA	_	17,78	14,19

D3Sup						LM	AM
	3b	BA-H3-99.50	1A5	BOTA	_	21,08	13,35

D3Inf						LM	AM
	3b	BA-H2-52.2	1A4	BOTA	_	16,53	8,92
	_	BA-E15-40.19	1A11	BOTA	_	25,82	12,20

D4Sup						LM	AM
	3b	BA-H2-36.64	1A2	BOTA	_	22,29	13,55
	3b	BA-H2-36.66	1A2	BOTA	_	22,36	14,30
	3b	BA-H3-99.51	1A5	BOTA	_	22,80	14,20

D4Inf						LM	AM
	3b	BA-H2-52.2	1A4	BOTA	_	29,70	9,88

P2Sup						LM	AM
	2	BA-I2-37.73	1A6	BOTA	_	15,69	12,15
	3a	BA-H7-79.29	1A3	BOTA	_	14,08	11,18
	3b	BA-H3-105.21	1A2	BOTA	_	16,75	13,41
	_	BA-E38-17.2	1A5	BOTA	_	14,77	12,51

P3Sup						LM	AM
	1	BA-C0-294.5	17A3	BOTA	_	15,49	12,06
	2	BA-I2-37.71	1A6	BOTA	_	17,87	
	2	BA-I2-51.15	2A1	BOTA	_	17,51	13,25

P4Sup						LM	AM
	2	BA-H83-14.78	1A5	BOTA	_	16,69	15,54

P4Inf						LM	AM
	2	BA-I2-6.50	1A2	BOTA	_	20,10	13,91

MD						9	10	14c
	3a	BA-H52-5.106	1B6a	BOTA	_	51,95	52,19	31,34



**OVICAPRIDOS**

HUE	FASE	NIN	SUCJTO	ESP	EF	Medidas							
-----	------	-----	--------	-----	----	---------	--	--	--	--	--	--	--

VTO						LCDe	LAPa	AFcr	APacd	APtr	AmV	AFcd	HFcr
	3b	BA-H3-66.15	1A7	OVCA	F	14,89		19,75					10,28

E						aPC	aPP	aPS	AS	LE
	2	BA-I2-37.7	1A6	OVCA	F	17,47		23,30	16,06	
	3b	BA-H2-36.16	1A2	OVCA	F	15,81				
	_	BA-E38-38.13	1A1	OVCA	F	26,23				

UL						HO	aPPa	aPS	APsD	HSp	ASp	SDO
	2	BA-I2-51.53	2A1	OVCA	NF		26,92	13,32	15,19	21,87	19,59	
	3a	BA-H2-277.14	3A2	OVCA	_					16,60	16,45	

HU						LM	LC	Ap	aPp	AD	Ad	ASd	HMSd	HmSd
	3b	BA-I1-16.79	1A4	OVCA	_					12,06				
	3b	BA-H2-297.40	2A7	OVCA	NF					6,07				

R						LM	Ap	ASp	APp	AD	Ad	ASd	APd	
	1	BA-H9-2.1	1A2	OVCA	_					8,42				INF
	2	BA-I2-51.46	2A1	OVCA	_					16,19				
	2/3	BA-H31-109.90	1A5	OVCA	_					14,44				
	3a	BA-H20-9.33	1A2	OVCA	_					13,92				
	3b	BA-H2-36.8	1A2	OVCA	_					17,45				
	3b	BA-H54-4.16	1A1	OVCA	F		26,86			17,86				

PEL						LA	LAB	Hmrl	Amrl					
	1	BA-H36-313.1	UE227	OVCA	F			16,51	10,76	JUV				
	2	BA-H83-78.1	1B19b	OVCA	F			13,49	9,45					
	2	BA-C0-241	15A3	OVCA	F	28,52	23,24	15,82	7,68					
	3a	BA-H52-5.117	1B6a	OVCA	_			14,64	9,18					
	3b	BA-I1-16.4	1A4	OVCA	_			18,33	10,65					
	3b	BA-H2-193.1	2A5	OVCA	F	27,84		15,08	9,72	INF				
	3b	BA-H2-112.115	2A5	OVCA	_			15,50	7,40					
	3b	BA-H11-31.2	1A3	OVCA	_			9,17	6,36					
	3b	BA-H54-107.63	3A1	OVCA	_			15,92	9,86					
	3b	BA-H54-129.1	3A3	OVCA	F	24,67	20,66	14,36	7,42					
	_	BA-E15-12.36	1A4	OVCA	F	28,51	23,16							

FE						LM	Ap	AC	ATr	aPC	AD	Ad	ATd	LC
	3b	BA-H2-36.3	1A2	OVCA	_						12,50			
	3b	BA-H2-112.104	2A5	OVCA	_						9,37			
	3b	BA-H2-270.13	2A5	OVCA	_						10,54			
	3b	BA-H2-112.76	2A5	OVCA	_						11,98			

TI						LM	Ap	APp	AD	Ad	ASd	aPd
	2	BA-C0-218.3	13A3	OVCA	F				14,35	25,11	19,00	20,48
	2	BA-I2-24.5	1A4	OVCA	_				13,71			
	2	BA-I2-31.42	1A5	OVCA	NF				13,28			
	3a	BA-H2-327	3A2	OVCA	_				10,72			
	3a	BA-H52-119.12	1B5	OVCA	F					28,09	19,15	20,85
	3b	BA-H2-36.23	1A2	OVCA	_				10,57			
	3b	BA-H2-143.2	2A8	OVCA	_				11,19			
	3b	BA-H2-132	2A5	OVCA	NF				11,80			
	3b	BA-H2-73	2A5	OVCA	NF				12,12			
	3b	BA-H2-112.109	2A5	OVCA	NF				16,22			
	3b	BA-H2-270.7	2A5	OVCA	F			37,13	14,22			
	3b	BA-H2-270.1	2A5	OVCA	NF				11,54	24,06	18,42	17,57
	3b	BA-H2-143.2	2A8	OVCA	_				11,73			
	3b	BA-H3-32	1A1	OVCA	_				12,46			

TI						LM	Ap	APp	AD	Ad	ASd	aPd
	3b	BA-H3-105.1	1A2	OVCA	_				11,08			
	3b	BA-H3-69.4	1A3	OVCA	_				13,46			
	3b	BA-H8-14.25	2A2	OVCA	F				13,81			15,56
	3b	BA-H53-19.8	1A4	OVCA	_				12,29			
	_	BA-E16-3.78	1A1	OVCA	_				16,06			

MC						LM	Ap	aPp	AD	Ad	ASd	aPd	aPSd
	3b	BA-H2-112.112	2A5	OVCA	_				11,53				
	3b	BA-H2-176.16	2A8	OVCA	NF				8,92				
	3b	BA-H2-176.17	2A8	OVCA	_				8,63				
	3b	BA-H37-2.60	1A2	OVCA	F							12,68	15,63
	3b	BA-H54-53.6	1A4	OVCA	_			15,06					

MT						LM	Ap	aPp	AD	Ad	ASd	aPd	aPSd
	1	BA-H9-30.6	1A3	OVCA	_				9,59				
	3b	BA-H2-36.17	1A2	OVCA	_				10,04				
	3b	BA-H2-176.21	2A8	OVCA	_				7,44				
	3b	BA-H11-31.6	1A3	OVCA	_				12,13				

JUV

INF

MP						Ad	ASd	aPd	aPSd
	2	BA-I2-6.340	1A2	OVCA	F			15,20	19,78

FA1						LMpe	Ap	ASp	APp	AD	Ad	APd
	3a	BA-H52-126.22	1B7	OVCA	_						11,49	10,45
	3b	BA-I1-16.1	1A4	OVCA	F						11,14	10,08
	3b	BA-H37-22.26	1A1	OVCA	_						10,92	9,89

FA2						LMpe	Ap	APp	AD	Ad	APd
	1	BA-H36-181.92	UE192	OVCA	F		12,80	12,60	9,22		
	3b	BA-H3-66.56	1A7	OVCA	F		13,01	12,64			

CAL						LM	AM	aPM	LPC
	3b	BA-H2-176.25	2A8	OVCA	_		15,76	21,65	
	3b	BA-H2-143.23	2A8	OVCA	_				19,47

TA						Lla	Lme	aPla	aPme	Ad
	2/3	BA-H31-102.9	1A3	OVCA	_	28,22	26,92	16,60		

T2+3						LM	AM
	1	BA-H36-265.11	UE210	OVCA	_	14,49	9,76

C IV						LM	AM
	3b	BA-H2-270.18	2A5	OVCA	_	12,43	9,83

M1Sup						LM	AM
	1	BA-H9-2.26	1A2	OVCA	_	10,68	10,03
	1	BA-H36-700.17	UE306	OVCA	_	13,82	9,42
	1	BA-H36-181.97	UE192	OVCA	_	9,95	11,58
	1	BA-C0-328.6	19A3	OVCA	_	13,48	9,69
	1	BA-C0-328.7	19A3	OVCA	_	15,33	9,97
	2	BA-H26-3.8	1A1	OVCA	_	15,63	10,29
	2	BA-H64-16.166	1A1	OVCA	_	13,04	9,00
	2	BA-H64-16.167	1A1	OVCA	_	16,71	11,10
	2	BA-H83-14.63	1A5	OVCA	_	16,30	8,79
	2	BA-C0-181.18	13A1	OVCA	_	16,48	12,92
	2	BA-I2-37.62	1A6	OVCA	_	14,15	11,98
	2	BA-I2-59.17	2A2	OVCA	_	15,05	9,72
	2/3	BA-H31-109.49	1A5	OVCA	_	14,98	11,12
	3a	BA-H2-277.29	3A2	OVCA	_	13,64	8,74
	3a	BA-H7-120.2	1A3	OVCA	_	13,42	9,97
	3a	BA-H52-31.5	1B6a	OVCA	_	16,23	9,84
	3a	BA-H52-106.9	1A8	OVCA	_	9,76	11,36

M1Sup						LM	AM
	3b	BA-I1-16.76	1A4	OVCA	_	15,23	10,72
	3b	BA-I1-16.88	1A4	OVCA	_	12,10	10,17
	3b	BA-H2-44.23	2A3	OVCA	_	12,50	11,03
	3b	BA-H2-176.19	2A8	OVCA	_	11,91	11,70
	3b	BA-H3-66.91	1A7	OVCA	_	11,69	10,63
	3b	BA-H3-66.93	1A7	OVCA	_	15,42	8,93
	3b	BA-H8-14.8	2A2	OVCA	_	14,87	7,72
	3b	BA-H8-14.9	2A2	OVCA	_	15,53	9,52
	3b	BA-E16-12.33	2A1	OVCA	_	16,94	9,24
	3b	BA-E16-12.91	2A1	OVCA	_	15,48	7,74
	3	BA-H4-6.101	1A1	OVCA	_	14,27	11,19
	_	BA-E15-29.46	1A7	OVCA	_	14,93	8,06
	_	BA-H15-10.11	2A2	OVCA	_	14,28	10,80
	_	BA-H15-10.215	2A2	OVCA	_	15,67	11,10

M1Inf						LM	AM
	1	BA-H36-618.19	UE283	OVCA	_	11,32	6,34
	_	BA-E9-18.10	1A3	OVCA	_	12,02	7,32

M2Sup						LM	AM
	1	BA-H14-4.2	1A1	OVCA	_	16,96	10,03
	1	BA-H36-181.97	UE192	OVCA	_	12,36	13,05
	1	BA-H36-700.17	UE306	OVCA	_	14,94	8,12
	1	BA-C0-328.6	19A3	OVCA	_	15,42	9,90
	2	BA-I2-59.18	2A2	OVCA	_	16,24	11,16
	2	BA-H35-92.171	UE156	OVCA	_	15,63	10,43
	2	BA-H64-16.168	1A1	OVCA	_	16,42	8,99
	2	BA-H83-94.5	2B3a	OVCA	_	16,65	9,54
	3a	BA-H52-31.4	1B6a	OVCA	_	16,25	10,24
	3a	BA-H62-16.7	1A3	OVCA	_	15,37	10,84
	3b	BA-H2-44.23	2A3	OVCA	_	15,39	10,68
	3b	BA-H2-44.11	2A3	OVCA	_	12,55	10,30
	3b	BA-H2-112.22	2A5	OVCA	_	14,20	9,74
	3b	BA-H2-176.19	2A8	OVCA	_	14,22	11,42
	3b	BA-H3-105.18	1A2	OVCA	_	14,44	10,29
	3b	BA-H3-105.19	1A2	OVCA	_	16,16	10,93
	3b	BA-H3-45.26	1A6	OVCA	_	16,65	9,08
	3b	BA-H3-45.25	1A6	OVCA	_	15,39	11,67
	3b	BA-H3-66.80	1A7	OVCA	_	16,86	9,14
	3b	BA-H54-107.68	3A1	OVCA	_	15,07	8,08
	3b	BA-E16-12.103	2A1	OVCA	_	15,97	7,82
	3	BA-H4-6.101	1A1	OVCA	_	17,55	10,95
	3	BA-H4-6.42	1A1	OVCA	_	15,45	9,36
	_	BA-E15-12.20	1A4	OVCA	_	14,94	

M2Inf						LM	AM
	2	BA-I2-37.23	1A6	OVCA	_	14,05	8,16
	3b	BA-H8-8.7	2A1	OVCA	_	11,72	8,02

M3Sup						LM	AM
	1	BA-H36-234.221	UE203E	OVCA	_	14,93	9,60
	1	BA-H36-181.97	UE192	OVCA	_	18,53	
	1	BA-C0-328.6	19A3	OVCA	_	24,06	8,44
	2	BA-H26-3.17	1A1	OVCA	_	18,87	11,57
	3b	BA-H2-42.4	2A2	OVCA	_	16,05	8,38
	3b	BA-H2-44.23	2A3	OVCA	_	14,63	9,79
	3b	BA-H2-176.4	2A8	OVCA	_	17,69	11,40
	3b	BA-H3-66.96	1A7	OVCA	_	18,60	11,43
	3b	BA-H5-55.2	1A5	OVCA	_	16,16	8,99
	3b	BA-H53-26.14	1A5	OVCA	_	16,16	10,79
	3b	BA-H53-26.15	1A5	OVCA	_	16,31	10,81

<b>D2Sup</b>							<b>LM</b>	<b>AM</b>
	1	BA-H36-181.90	UE192	OVCA	_	8,15	5,16	
	1	BA-C0-328.7	19A3	OVCA	_	8,32	5,06	

<b>D3Sup</b>							<b>LM</b>	<b>AM</b>
	1	BA-H36-181.91	UE192	OVCA	_	10,41	8,26	
	1	BA-C0-328.7	19A3	OVCA	_	11,08	8,13	

<b>D4Sup</b>							<b>LM</b>	<b>AM</b>
	1	BA-C0-328.7	19A3	OVCA	_	11,61	9,99	
	2	BA-H64-16.176	1A1	OVCA	_	11,39	10,78	
	3b	BA-H3-66.92	1A7	OVCA	_	12,42	9,30	

<b>P3Sup</b>							<b>LM</b>	<b>AM</b>
	3a	BA-H52-31.15	1B6a	OVCA	_	8,73	8,12	
	3b	BA-I1-16.87	1A4	OVCA	_	8,97	8,44	
	3b	BA-H37-48.20	2A1	OVCA	_	8,61	8,61	

<b>P3Inf</b>							<b>LM</b>	<b>AM</b>
	2	BA-H35-92.184	UE156	OVCA	_	7,81	8,43	

<b>P4Sup</b>							<b>LM</b>	<b>AM</b>
	1	BA-H36-618.87	UE283	OVCA	_	9,07	7,96	
	2	BA-H64-16.175	1A1	OVCA	_	9,98	6,84	
	2/3	BA-H31-109.91	1A5	OVCA	_	9,58	7,46	
	_	BA-H15-10.214	2A2	OVCA	_	10,13	8,89	

**OVIS ARIES**

HUE	FASE	NIN	SUCJTO	ESP	EF	Medidas
-----	------	-----	--------	-----	----	---------

E						aPC	aPP	aPS	AS	LE
	1	BA-C0-328.64	19A3	OVAR	F	19,54	31,08	24,44		
	1	BA-C0-328.67	19A3	OVAR	F	19,35	31,48	24,48	19,46	
	1	BA-C0-318.5	19A1	OVAR	F	19,25	32,44	25,41	20,14	

UL						HO	aPPa	aPS	APsD	HSp	ASp	SDO
	3b	BA-I1-27.1	1A8	OVAR	_					12,89		
	_	BA-E15-49	1A11	OVAR	F		27,50	20,46	19,13	20,79	19,42	

HU						LM	LC	Ap	aPp	AD	Ad	ASd	HMSd	HmSd
	1	BA-H9-2.43	1A2	OVAR	F						30,70	30,63	18,92	14,74
	1	BA-H36-307.2	UE222	OVAR	F						28,29	27,96	16,94	11,75
	1	BA-H36-234.3	UE203	OVAR	F					14,30	28,11	27,02	16,56	13,46
	1	BA-H36-234.281	UE203U	OVAR	F					13,73	27,31		18,44	15,35
	2	BA-H35-104.33	UE154	OVAR	F						26,17	25,37	16,06	12,77
	3a	BA-H52-12.3	1A2	OVAR	F						27,35	26,90	17,34	
	3b	BA-H2-36.14	1A2	OVAR	F					14,33	27,59	26,52	16,71	12,98
	3b	BA-H2-112.21	2A5	OVAR	F						33,73	32,77	18,77	15,28

R						LM	Ap	ASp	APp	AD	Ad	ASd	APd
	1	BA-H36-138.48	UE171	OVAR	NF						24,99	21,47	16,17
	1	BA-H36-307.1	UE222	OVAR	F		28,43	26,10	15,44				
	1	BA-H36-195.16	UE197	OVAR	F		30,79	28,64	16,31				
	2	BA-H34-821.8	UE337	OVAR	F		28,25	26,04	14,18				
	2	BA-I2-51.85	2A1	OVAR	NF		31,34	30,23	16,15	15,53			
	3a	BA-H21-36.11	2A1	OVAR	F		29,70	27,44	15,36				
	3a	BA-H52-5.100	1B6a	OVAR	_					16,02			
	3b	BA-I1-20.17	1A5	OVAR	_					19,50			
	3b	BA-H53-26.13	1A5	OVAR	F		28,98	27,29		19,92			
	_	BA-H15-10.37	2A2	OVAR	F				16,08	17,10			

RO						LM	AM
	2	BA-I2-6.327	1A2	OVAR	_	30,68	22,88

PEL						LA	LAb	Hmrl	Amrl
	3	BA-H1-14.1	1A4	OVAR	F	26,08	22,19		
	3a	BA-H52-5.93	1B6a	OVAR	F			15,17	8,08

TI						LM	Ap	APp	AD	Ad	ASd	aPd
	1	BA-H36-157	UE171	OVAR	PF					22,75	16,36	19,51
	2	BA-H35-92.175	UE156	OVAR	F					24,52	17,57	17,72
	3a	BA-H2-277.27	3A2	OVAR	F				12,66	23,95	18,62	18,59
	3a	BA-H52-5.99	1B6a	OVAR	F				11,81	22,32	20,53	18,16
	3a	BA-H52-100.2	1A6	OVAR	F				13,65	24,97	15,98	20,25
	3b	BA-I1-16.15	1A4	OVAR	F				14,52	24,75	21,55	19,90
	3b	BA-I1-36.12	2A2	OVAR	F				13,34	25,84	19,71	18,41
	3b	BA-H53-7.1	1A2	OVAR	F				15,16	24,61	17,22	19,29
	3b	BA-H8-8.2	2A1	OVAR	F				14,90	26,63	18,80	20,69
	3b	BA-E16-12.3	2A1	OVAR	F				13,48	22,69	16,81	19,12
	_	BA-E16-3.44	1A1	OVAR	F					22,43	16,53	18,77
	_	BA-H15-16	1A3/BA30	OVAR	F				13,14	24,05	17,65	18,91

MC						LM	Ap	aPp	AD	Ad	ASd	aPd	aPSd
	1	BA-H36-138.54	UE171	OVAR	F					25,46	25,04	11,42	14,50
	1	BA-H36-195.22	UE197	OVAR	F		24,02	18,08					
	1	BA-H36-307.6	UE222	OVAR	F			14,21					
	1	BA-H36-307.7	UE222	OVAR	F		20,55	14,86	11,16				
	1	BA-H36-307.9	UE222	OVAR	F					21,25	21,34	12,85	14,81

MC						LM	Ap	aPp	AD	Ad	ASd	aPd	aPSd
	2	BA-H64-16.123	1A1	OVAR	F					23,02	22,95	12,35	14,35
	2	BA-I2-6.339	1A2	OVAR	_		20,49	14,42					
	3a	BA-H52-5.98	1B6a	OVAR	F		21,29	15,76	10,46				
	3b	BA-H54-53.7	1A4	OVAR	PF					11,90		12,83	13,30

MT						LM	Ap	aPp	AD	Ad	ASd	aPd	aPSd
	1	BA-H36-234.6	UE203	OVAR	F				10,28	23,31	23,17	12,48	15,69
	1	BA-H36-195.8	UE197	OVAR	F		20,76	21,63	11,72				
	2	BA-H64-16.48	1A1	OVAR	F					21,88	21,69	12,50	14,34
	2/3	BA-H31-109.51	1A5	OVAR	F				12,47	24,55	24,72		17,24
	2/3	BA-H31-26.2	1A5	OVAR	F		17,20		10,08				
	3a	BA-H52-12.1	1A2	OVAR	F				10,46	22,88	22,76	12,58	14,71
	3a	BA-H52-126.14	1B7	OVAR	F		23,64	21,89					
	3b	BA-H11-37.7	1A4	OVAR	F				11,15	21,17	21,02		15,22
	3b	BA-H3-69.5	1A3	OVAR	F		18,35	18,32					
	3b	BA-H54-107.65	3A1	OVAR	F		18,45	17,65					

FA1						LMpe	Ap	ASp	APp	AD	Ad	APd
	1	BA-H36-307.26	UE222	OVAR	F	33,27	10,79	10,05	13,92	8,59	10,48	9,57
	1	BA-H36-307.27	UE222	OVAR	F			10,64		8,97	10,90	10,27
	1	BA-H36-313.7	UE227	OVAR	F	33,89	11,13	10,79	13,55	8,63	10,50	8,61
	1	BA-H36-618.67	UE283	OVAR	F		10,45			7,75		8,21
	1	BA-H36-181.83	UE192	OVAR	F	32,70	10,40	10,26	13,67	7,19	9,66	8,46
	1	BA-H36-195.25	UE197	OVAR	F					8,63	9,73	8,18
	2	BA-H35-92.185	UE156	OVAR	_						11,95	10,28
	2	BA-H64-16.24	1A1	OVAR	F	36,30	12,12	11,43	14,86	8,84	11,73	11,26
	2	BA-H64-10.8	1A3	OVAR	F		12,10	11,40	12,87	9,85		
	2	BA-H83-14.55	1A5	OVAR	F	40,18	11,62	10,99	14,20	8,52	10,80	9,32
	2	BA-C0-128.34	10A1	OVAR	F	34,70	11,15		13,50	9,15	11,25	9,56
	2	BA-I2-6.54	1A2	OVAR	F	31,43				9,72	11,15	10,14
	2	BA-I2-37.42	1A6	OVAR	F		13,97	12,92	16,15			
	3a	BA-H2-277.28	3A2	OVAR	NF					9,42	11,36	9,89
	3a	BA-H7-3.13	1A1	OVAR	F	38,83	11,83	11,48	15,51	9,04	11,79	10,13
	3a	BA-H52-5.51	1B6a	OVAR	F	39,03	12,12	11,58	15,31	9,58	11,95	10,67
	3b	BA-H3-45.34	1A6	OVAR	F	32,62	11,27	10,57	13,94	8,81	10,43	
	3b	BA-H53-19.2	1A4	OVAR	F	37,55	13,79	13,16	16,92	11,51	13,20	12,84
	3b	BA-H8-14.3	2A2	OVAR	F	31,80	10,16	9,79	12,91	8,31	9,39	8,46
	_	BA-E8-3.406	1A1	OVAR	F		12,37	11,52	13,65			
	_	BA-E8-3.149	1A1N	OVAR	F	37,91	11,67	11,24	14,80	9,33	10,93	10,65

FA2						LMpe	Ap	APp	AD	Ad	APd
	1	BA-H36-234.26	UE203	OVAR	F	21,13	10,62	10,93	7,66	8,37	10,11
	1	BA-H36-313.7	UE227	OVAR	F	21,18	10,24	11,06	7,75	7,90	9,32
	1	BA-H36-313.9	UE227	OVAR	F		9,87	10,16	7,31		8,78
	1	BA-H36-618.58	UE283	OVAR	F	21,30	9,75	10,19	6,97	7,08	8,92
	1	BA-H36-618.59	UE283	OVAR	F	21,26	10,36	11,72	7,53		10,96
	2	BA-H34-758.10	UE308	OVAR	F	20,16	10,07	10,46	7,98	8,68	9,62
	1	BA-H36-195.14	UE197	OVAR	F	19,75	9,61	10,26	7,02		8,91
	_	BA-E8-3.25	1A1S	OVAR	F	22,64	10,94	11,17	7,80	8,82	10,46

FA3						LM	HP	LDP	Ldo	MBS	HS
	1	BA-H36-138.52	UE171	OVAR	_			24,37	18,62	4,95	
	3a	BA-H52-5.52	1B6a	OVAR	_			32,42		6,25	

CAL						LM	AM	aPM	LPC
	3a	BA-H52-12.20	1A2	OVAR	_		15,66	21,50	19,99
	3b	BA-I1-20.15	1A5	OVAR	F		17,98	21,25	19,19
	3b	BA-H8-8.1	2A1	OVAR	F		16,47	20,86	
	_	BA-E38-17.43	1A5	OVAR	_			25,42	23,71

TA						Lla	Lme	aPla	aPme	Ad
	1	BA-H36-307.22	UE222	OVAR	_	28,73	27,53	16,06	16,67	18,92

TA						Lla	Lme	aPla	aPme	Ad
	1	BA-C0-328.63	19A3	OVAR	_	29,27	27,21	15,50	17,24	19,11
	2	BA-H26-3.26	1A1	OVAR	_	23,46	22,78	12,09	12,62	
	2	BA-C0-181.16	13A1	OVAR	_	26,34	24,87	13,87	15,19	17,37
	2	BA-C0-218.6	13A3	OVAR	_	29,05	27,82	16,35	17,42	18,08
	2/3	BA-H31-106.19	1A4	OVAR	_	34,46		18,46		22,88
	3b	BA-H2-297.23	2A7	OVAR	_	26,15	25,00	13,82		
	3b	BA-H3-66.54	1A7	OVAR	_	29,91	27,97	16,15	17,91	19,31
	3b	BA-H5-102.19	1A11	OVAR	_	26,06	25,01	14,60	16,44	17,22
	3b	BA-H37-83.15	2B7	OVAR	_	27,97	26,02	15,33	15,46	17,81
	_	BA-E16-3.69	1A1	OVAR	_	32,68	30,86	17,15	17,57	20,71

CENTQ						LM	AM
	1	BA-H36-618.98	UE283	OVAR	_	21,60	18,53
	3b	BA-H54-107.8	3A1	OVAR	_	20,28	17,71

M1Inf						LM	AM
	1	BA-H36-618.89	UE283	OVAR	_	10,88	6,91
	1	BA-H36-618.90	UE283	OVAR	_	13,72	6,58
	2	BA-C0-222.7	15A1	OVAR	_	10,55	7,42
	2	BA-H26-32.15	2A1	OVAR	_	9,88	7,40
	2	BA-H64-16.11	1A1	OVAR	_	15,46	8,07
	2	BA-H64-16.162	1A1	OVAR	_	15,29	6,99
	2	BA-H83-14.64	1A5	OVAR	_	14,40	5,71
	2	BA-H83-30.5	1A7	OVAR	_	16,72	7,15
	2	BA-H83-36.2	1A9	OVAR	_	14,74	6,99
	2	BA-I2-31.21	1A5	OVAR	_	14,66	7,39
	2	BA-I2-31.23	1A5	OVAR	_	13,01	6,76
	3a	BA-H21-36.2	2A1	OVAR	_	14,31	7,67
	3a	BA-H62-3.44	1A1	OVAR	_	13,34	7,33
	3b	BA-H2-36.68	1A2	OVAR	_	14,15	7,34
	3b	BA-H2-36.69	1A2	OVAR	_	14,24	7,62
	3b	BA-H2-42.7	2A2	OVAR	_	12,25	6,74
	3b	BA-H3-105.17	1A2	OVAR	_	14,17	6,63
	3b	BA-H3-105.20	1A2	OVAR	_	12,98	7,72
	3b	BA-E16-12.71	2A1	OVAR	_	13,28	7,07
	3	BA-H1-30	1A6	OVAR	_	9,80	7,19

M2Inf						LM	AM
	1	BA-H36-234.243	UE203E	OVAR	_	15,54	7,50
	2	BA-I2-6.55	1A2	OVAR	_	13,46	7,66
	2	BA-I2-31.22	1A5	OVAR	_	15,03	8,37
	2	BA-I2-37.24	1A6	OVAR	_	14,77	7,28
	2	BA-H26-32.15	2A1	OVAR	_	12,00	8,34
	2	BA-H83-36.2	1A9	OVAR	_	17,79	7,22
	2	BA-C0-222.7	15A1	OVAR	_	13,88	8,57
	3a	BA-H21-36.2	2A1	OVAR	_	17,53	6,98
	3a	BA-H62-3.44	1A1	OVAR	_	14,83	7,58
	3b	BA-I1-11.1	1A3	OVAR	_	12,73	7,81
	3b	BA-H2-36.69	1A2	OVAR	_	17,24	7,04
	3b	BA-H3-101.8	1A1	OVAR	_	15,20	7,90
	3b	BA-H3-105.17	1A2	OVAR	_	16,58	
	3b	BA-H5-31	1A9	OVAR	_	13,38	8,22
	3b	BA-H53-19.39	1A4	OVAR	_	14,22	7,13
	3b	BA-H54-73.28	2A3	OVAR	_	13,34	8,34
	3b	BA-E16-12.71	2A1	OVAR	_	16,85	
	_	BA-H15-10.38	2A2	OVAR	_	14,27	8,07
	_	BA-H15-10.77	2A2	OVAR	_	14,67	8,21
	_	BA-H15-10.57	2A2	OVAR	_	17,86	7,20

M3Inf						LM	AM
	1	BA-H36-234.243	UE203E	OVAR	_	16,40	6,02
	3a	BA-H21-36.2	2A1	OVAR	_	21,23	6,29

M3Inf						LM	AM
	3a	BA-H52-31.6	1B6a	OVAR	_	23,19	8,41
	3b	BA-I1-11.1	1A3	OVAR	_	10,30	6,38
	3b	BA-H54-73.28	2A3	OVAR	_	21,79	8,66
	3b	BA-H8-14.26	2A2	OVAR	_	21,72	8,89
	3b	BA-H5-31	1A9	OVAR	_	22,46	8,87
	_	BA-H15-10.38	2A3	OVAR	_	21,43	7,95

D2Inf						LM	AM
	3b	BA-H5-30	1A9	OVAR	_	5,06	3,11

D3Inf						LM	AM
	2	BA-H64-16.162	1A1	OVAR	_	7,65	5,04
	2	BA-H64-16.170	1A1	OVAR	_	9,83	5,27
	3b	BA-H5-30	1A9	OVAR	_	8,86	4,88

D4Inf						LM	AM
	2	BA-H64-16.162	1A1	OVAR	_	16,52	6,63
	2	BA-H64-16.170	1A1	OVAR	_	19,67	6,54
	3b	BA-H2-36.68	1A2	OVAR	_	14,44	6,62
	3b	BA-H3-105.17	1A2	OVAR	_	15,98	6,89
	3b	BA-H5-30	1A9	OVAR	_	16,89	5,86

P2Inf						LM	AM
	1	BA-C0-328.74	19A3	OVAR	_	6,28	3,67
	2	BA-C0-218.4	13A3	OVAR	_	6,03	4,74
	2	BA-C0-222.7	15A1	OVAR	_	5,23	4,47
	2	BA-I2-31.20	1A5	OVAR	_	5,65	3,11
	_	BA-E38-23.9	1A6	OVAR	_	6,32	4,27

P3Inf						LM	AM
	1	BA-C0-328.69	19A3	OVAR	_	8,44	5,18
	1	BA-C0-328.74	19A3	OVAR	_	8,52	4,90
	2	BA-C0-218.4	13A3	OVAR	_	8,23	5,72
	2	BA-C0-222.7	15A1	OVAR	_	8,16	5,25
	2	BA-H35-92.189	UE156	OVAR	_	8,34	6,18
	2	BA-I2-31.20	1A5	OVAR	_	8,09	5,13
	3a	BA-H21-36.2	2A1	OVAR	_	8,17	4,22
	3b	BA-H8-25.5	1A2	OVAR	_	7,31	5,59
	3b	BA-E16-12.71	2A1	OVAR	_	9,62	4,73
	_	BA-H15-10.8	2A2	OVAR	_	7,30	6,45
	_	BA-E38-26.27	1A8	OVAR	_	8,10	4,80
	_	BA-E38-23.9	1A6	OVAR	_	8,26	5,55

P4Inf						LM	AM
	1	BA-H36-234.46	UE203	OVAR	_	10,58	5,94
	1	BA-C0-328.74	19A3	OVAR	_		5,65
	2	BA-H26-32.15	2A1	OVAR	_	8,30	5,79
	2	BA-C0-218.4	13A3	OVAR	_	9,70	6,19
	2	BA-C0-222.7	15A1	OVAR	_	8,62	6,39
	2	BA-I2-31.20	1A5	OVAR	_	9,63	6,19
	3a	BA-H21-36.2	2A1	OVAR	_	10,74	5,93
	3b	BA-H8-30.12	2A3	OVAR	_	10,18	6,27
	3b	BA-H5-102.31	1A11	OVAR	_	8,01	5,91
	3	BA-H1-30	1A6	OVAR	_	8,60	6,16
	_	BA-E8-16.9	1A1S	OVAR	_	10,38	6,03

MD						7	8	9	15b	15c
	1	BA-H36-234.243	UE203E	OVAR	_	74,02	48,22	26,11	24,22	15,88



**CAPRA HIRCUS**

HUE	FASE	NIN	SUCJTO	ESP	EF	Medidas				
-----	------	-----	--------	-----	----	---------	--	--	--	--

E						aPC	aPP	aPS	AS	LE
	3b	BA-H3-101.42	1A1	CAHI	F	14,70			18,58	

UL						HO	aPPa	aPS	APsD	HSp	ASp	SDO
	1	BA-H9-30.5	1A3	CAHI	_						19,80	
	1	BA-H36-494.17	UE234	CAHI	_				15,10		19,35	

HU						LM	LC	Ap	aPp	AD	Ad	ASd	HMSd	HmSd
	3a	BA-H52-5.35	1B6a	CAHI	F					14,25	25,64	26,23	16,20	12,03
	3b	BA-H2-36.15	1A2	CAHI	_					14,92				
	3b	BA-H2-13	1A2	CAHI	F					15,17	26,50	26,80	16,62	13,36
	3b	BA-H2-270.15	2A5	CAHI	F						27,57	22,66	15,17	11,74
	3b	BA-H5-34.5	1A8	CAHI	F							26,58		11,43
	_	BA-H15-10.48	2A2	CAHI	F						28,80	28,69	15,99	12,23

R						LM	Ap	ASp	APp	AD	Ad	ASd	APd
	1	BA-H36-138.47	UE 171	CAHI	NF						27,12	21,63	18,35
	3a	BA-H2-294.2	3A1	CAHI	NF						33,48	27,93	21,45
	3a	BA-H52-119.10	1B5	CAHI	F		28,32	25,35		11,48			
	3b	BA-H2-143.3	2A8	CAHI	PF		28,32	26,57	17,92	16,35			
	3b	BA-H53-26.1	1A5	CAHI	F						25,79		16,40
	3b	BA-E16-12.12	2A1	CAHI	F		29,71	26,62					
	_	BA-E8-3.278	1A1	CAHI	F		31,46	27,30	15,72	16,98			

PEL						LA	LAB	Hmrl	Amrl
	3b	BA-H3-101.40	1A1	CAHI	F	26,91	21,39		

FE						LM	LC	Ap	AC	ATr	aPC	AD	Ad	ATd
	3a	BA-H7-3.25	1A1	CAHI	F	343,79			16,00		18,02	12,09		

RO						LM	AM
	3b	BA-H2-143.14	2A8	CAHI	_	23,31	

TI						LM	Ap	APp	AD	Ad	ASd	aPd
	2	BA-I2-6.57	1A2	CAHI	F					22,77	16,39	15,56
	2	BA-H35-104.7	UE 154	CAHI	NF					24,43	18,41	19,79
	3a	BA-H7-10	1A1	CAHI	F				11,99	21,86	16,66	17,69
	3a	BA-H41-40	1B5a	CAHI	F				12,96	22,14	19,44	16,14
	3b	BA-H2-270.6	2A5	CAHI	PF		39,59	37,42	12,41			
	3b	BA-H2-270.5	2A5	CAHI	PF				11,73	22,21	17,59	16,44
	3b	BA-H3-45.3	1A6	CAHI	PF				13,53	24,40	16,97	19,18
	3b	BA-H3-45.5	1A6	CAHI	F	208,20	37,31	37,56	13,40	24,92	17,38	18,88
	3b	BA-H3-66.61	1A7	CAHI	F				11,47	21,80	16,11	16,81
	3b	BA-H53-19.1	1A4	CAHI	F				13,33		16,21	18,36

MC						LM	Ap	aPp	AD	Ad	ASd	aPd	aPSd
	1	BA-H36-230.1	UE195	CAHI	F					26,32	25,58	12,49	16,64
	1	BA-H36-494.5	UE234	CAHI	F		22,13	15,74	15,35				
	1	BA-H36-202.1	UE197	CAHI	F				16,27	26,83	26,68	13,74	
	2/3	BA-H31-109.6	1A5	CAHI	F					30,93	30,83	13,84	16,91
	3b	BA-H2-176.7	2A8	CAHI	PF		22,84	16,47					
	3b	BA-H2-237.1	2A8	CAHI	NF		22,01	14,39	13,16				
	3b	BA-H54-4.14	1A1	CAHI	F	107,14	21,31	15,63	14,21	24,36	24,42	11,84	15,48
	_	BA-E15-40.18	1A11	CAHI	_			18,40					

MT						LM	Ap	aPp	AD	Ad	ASd	aPd	aPSd
	2	BA-I2-31.38	1A5	CAHI	_				11,83				
	2	BA-I2-24.32	1A4	CAHI	_				10,62				
	2	BA-H83-14.56	1A5	CAHI	F		19,59	17,12	10,55				
	2/3	BA-H31-102.1	1A3	CAHI	F		23,69	21,66					
	3a	BA-H52-5.50	1B6a	CAHI	F				12,89	22,41	22,24	11,41	14,47

MT						LM	Ap	aPp	AD	Ad	ASd	aPd	aPSd
	3b	BA-H2-237.2	2A8	CAHI	NF		18,66	17,50	10,47				
	3b	BA-H2-143.34	2A8	CAHI	F	110,86	19,49	17,44	11,63	21,67	20,97	10,47	13,54
	3b	BA-H3-101.22	1A1	CAHI	F					22,12	21,85		
	3b	BA-H37-22.84	1A1	CAHI	F		18,64	16,67	11,63				

MP						Ad	ASd	aPd	aPSd
	2	BA-I2-37.26	1A6	CAHI	NF	25,38	24,84	13,90	13,21
	2	BA-H83-14.54	1A5	CAHI	F		23,52	10,69	14,83

FA1						LMpe	Ap	ASp	APp	AD	Ad	APd
	2	BA-H83-8.1	1A3	CAHI	F	34,83	11,73		11,72	10,30	12,30	10,80
	2	BA-H83-14.1	1A5	CAHI	F	33,45	11,03	10,03	13,85	8,20	10,87	9,26
	2	BA-H83-78.3	1B19b	CAHI	F	33,45	11,80	11,72	13,92	9,29	11,68	9,93
	2	BA-H83-78.5	1B19b	CAHI	F	35,56	10,70	10,50		8,28	11,16	9,20
	_	BA-E15-29.18	1A7	CAHI	F	33,88	10,53	10,09	13,61	8,49	10,42	8,49

FA2						LMpe	Ap	APp	AD	Ad	APd
	1	BA-H36-138.40	UE171	CAHI	PF	22,52	11,72	11,88	9,01	9,48	10,66
	1	BA-H36-181.80	UE192	CAHI	F	22,47	15,95	14,19	11,25	11,78	12,05
	2	BA-H83-8.4	1A3	CAHI	F	22,72	12,34	12,08	9,31	9,95	10,61
	2	BA-H83-14.3	1A5	CAHI	F	20,53	11,09	11,90	7,26	8,30	9,83
	2	BA-H83-78.4	1B19b	CAHI	F	25,44	12,15	14,21	8,89	10,40	10,79
	3b	BA-H3-66.57	1A7	CAHI	F	20,52	11,47	11,51	8,31		9,19
	3b	BA-H2-237.7	2A8	CAHI	NF				7,58	9,19	10,97

FA3						LM	HP	LDP	Ldo	MBS	HS
	1	BA-H36-700.15	UE306	CAHI	_			30,61		5,07	
	1	BA-H36-307.25	UE222	CAHI	_			27,56		5,17	
	1	BA-H36-234.178	UE203	CAHI	_			33,07		5,30	
	1	BA-H36-618.66	UE283	CAHI	_			28,78		4,88	
	1	BA-H36-138.51	UE171	CAHI	_			28,44		4,45	
	3b	BA-H2-237.8	2A8	CAHI	_			24,43			
	3b	BA-H54-4.12	1A1	CAHI	_					4,31	

CAL						LM	AM	aPM	LPc
	1	BA-H10-27.1	1A3	CAHI	NF	50,31	18,25	20,58	19,23
	1	BA-H36-138.55	UE171	CAHI	_			19,82	18,01
	2	BA-I2-3.6	1A1	CAHI	F	50,99		10,71	10,65
	3a	BA-H21-11.4	1A2	CAHI	NF		16,06	18,83	18,25
	3b	BA-H2-112.1	2A5	CAHI	F	52,35	19,30		
	3b	BA-H37-2.28	1A2	CAHI	F	50,27		19,60	18,48
	_	BA-E8-3.44	1A1	CAHI	_		15,54	20,52	19,22
	_	BA-E9-26.4	2A2	CAHI	F	56,09	16,79	20,24	18,46

TA						Lla	Lme	aPla	aPme	Ad
	1	BA-H36-230.2	UE195	CAHI	_	29,93	24,97	14,44	15,09	17,33
	3b	BA-H2-143.21	2A8	CAHI	_		25,46	14,87	15,51	
	3b	BA-H5-3.4	1A1	CAHI	_	27,09	24,47			17,10
	3b	BA-H37-22.66	1A1	CAHI	_	26,28	24,79	14,08	15,14	16,71
	3b	BA-H37-2.10	1A2	CAHI	_	27,57	25,76	14,35	16,09	17,33

C RAD						LM	AM
	1	BA-H36-234.49	UE203	CAHI	_	17,16	9,17
	1	BA-H36-265.6	UE210	CAHI	_	15,33	9,20

M1Inf						LM	AM
	1	BA-H36-639	UE283	CAHI	_	17,68	6,33
	1	BA-C0-329.1	19A3	CAHI	_	12,99	7,13
	2	BA-I2-6.308	1A2	CAHI	_	13,55	7,04
	3a	BA-H62-3.34	1A1	CAHI	_	15,11	7,55
	3b	BA-H2-36.67	1A2	CAHI	_	13,10	6,15
	3b	BA-H2-112.2	2A5	CAHI	_	13,95	7,25
	3b	BA-H3-45.30	1A6	CAHI	_	14,54	7,83
	3b	BA-H37-2.66	1A2	CAHI	_	14,49	5,83
	3b	BA-H54-73.5	2A3	CAHI	_	15,73	6,94

M1Inf						LM	AM
	_	BA-E38-23.15	1A6	CAHI	_	14,85	7,61

M2Inf						LM	AM
	1	BA-C0-329.1	19A3	CAHI	_	15,72	6,98
	1	BA-C0-328.83	19A3	CAHI	_	16,47	7,82
	2	BA-I2-6.308	1A2	CAHI	_	16,68	6,65
	2	BA-I2-24.18	1A4	CAHI	_	17,83	6,79
	2	BA-I2-37.27	1A6	CAHI	_	15,92	7,84
	3a	BA-H62-3.34	1A1	CAHI	_	17,10	6,30
	3b	BA-H2-112.2	2A5	CAHI	_		6,97
	3b	BA-H2-72	2A5	CAHI	_	16,75	6,86
	3b	BA-H3-34.22	1A1	CAHI	_	14,84	6,83
	3b	BA-H3-34.21	1A1	CAHI	_	16,88	
	_	BA-E15-29.77	1A7	CAHI	_	17,15	7,53
	_	BA-H15-10.182	2A2	CAHI	_	17,37	7,84

M3Inf						LM	AM
	2	BA-I2-6.302	1A2	CAHI	_	17,82	6,62
	2	BA-I2-6.308	1A2	CAHI	_	18,16	6,36
	2/3	BA-H31-109.37	1A5	CAHI	_	20,85	7,63
	3a	BA-H2-277.7	3A2	CAHI	_	20,36	6,68
	3b	BA-H2-112.2	2A5	CAHI	_	18,97	6,31

D2Inf						LM	AM
	1	BA-C0-318.4	19A1	CAHI	_	5,01	3,08
	3b	BA-H37-2.66	1A2	CAHI	_	5,03	2,93

D3Inf						LM	AM
	1	BA-C0-318.4	19A1	CAHI	_	8,22	4,52
	3a	BA-H7-79.13	1A3	CAHI	_	9,13	4,82
	3a	BA-H62-3.34	1A1	CAHI	_	8,37	5,01
	3b	BA-H2-36.67	1A2	CAHI	_	8,15	4,77
	3b	BA-H37-2.66	1A2	CAHI	_	9,01	4,31
	_	BA-A5-101.1	1A1	CAHI	_	8,79	4,60

D4Inf						LM	AM
	1	BA-C0-318.4	19A1	CAHI	_	15,83	5,61
	3a	BA-H7-79.13	1A3	CAHI	_	17,70	6,92
	3a	BA-H62-3.34	1A1	CAHI	_	15,17	6,63
	3b	BA-H2-36.67	1A2	CAHI	_	13,80	5,31
	_	BA-E8-3.351	1A1	CAHI	_	17,23	5,46
	_	BA-A5-101.1	1A1	CAHI	_	16,99	5,41

P2Inf						LM	AM
MD	1	BA-C0-329.1	19A3	CAHI	_	5,76	4,47
MD	_	BA-H15-10.191	2A2	CAHI	_	6,17	3,98

P3Inf						LM	AM
MD	1	BA-C0-329.1	19A3	CAHI	_	8,41	4,54
MD	_	BA-H15-10.191	2A2	CAHI	_	7,89	5,74

P4Inf						LM	AM
MD	1	BA-C0-329.1	19A3	CAHI	_	11,20	6,01
MD	2	BA-I2-6.62	1A2	CAHI	_	10,39	5,77
MD	_	BA-H15-10.182	2A2	CAHI	_	9,80	5,99

CR						41	42
CUE	3a	BA-H62-3.5	1A1	CAHI	_	18,44	27,55

**CAPRA PYRENAICA**

HUE	FASE	NIN	SUCJTO	ESP	EF	Medidas									
-----	------	-----	--------	-----	----	---------	--	--	--	--	--	--	--	--	--

HU						LM	LC	Ap	aPp	AD	Ad	ASd	HMSd	HmSd
	3b	BA-H8-14.1	2A2	CPPY	F						34,92	34,44	19,94	14,44

R						LM	Ap	ASp	APp	AD	Ad	ASd	APd
	3a	BA-E16-16.51	2A2	CPPY	F		37,11	33,50	19,34	23,86			

TI						LM	Ap	APp	AD	Ad	ASd	aPd
	2	BA-I2-6.58	1A2	CPPY	F				19,48	31,05	23,29	23,70
	3b	BA-H2-36.26	1A2	CPPY	_				17,38			
	3b	BA-I1-20.5	1A5	CPPY	F				23,48	34,07	28,10	25,95

MT						LM	Ap	aPp	AD	Ad	ASd	aPd	aPSd
	2	BA-I2-51.54	2A1	CPPY	_				16,19				
	3b	BA-E16-9.3	2A1	CPPY	F		21,91	18,24	15,96				

FA1						LMpe	Ap	ASp	APp	AD	Ad	APd
	1	BA-C0-318.17	19A1	CPPY	F	41,39	12,92	12,61	16,05	9,65	12,81	10,49
	1	BA-H36-234.244	UE203E	CPPY	F	42,80	15,60	14,85	19,05	12,42	13,67	11,77
	1	BA-H36-494.53	UE234	CPPY	F	41,35	13,89		16,50	10,69	12,89	10,80
	3a	BA-H52-133.19	1A5	CPPY	F	41,89	14,31	13,29	17,47	10,50	12,54	10,97
	3	BA-H4-6.15	1A1	CPPY	F	40,33	13,51	13,15	16,02	10,27	12,30	10,92

TA						Lla	Lme	aPla	aPme	Ad
	1	BA-H36-651.1	UE291	CPPY	_	36,41	35,42	20,14	20,25	24,40
	_	BA-E16-3.9	1A1	CPPY	_	35,48	34,49	19,34	19,99	
	_	BA-H15-10.167	2A2	CPPY	_	35,40	33,69	18,55	18,71	23,78

CAL						LM	AM	aPM	LPc
	2	BA-I2-31.15	1A5	CPPY	_			25,66	23,48

**CAPREOLUS CAPREOLUS**

HUE	FASE	NIN	SUCJTO	ESP	EF	Medidas
-----	------	-----	--------	-----	----	---------

R						LM	Ap	ASp	APp	AD	Ad	ASd	APd
	2	BA-I2-51.24	2A1	CPCP	F		27,68	25,33		15,94			

TI						LM	Ap	APp	AD	Ad	ASd	aPd
	2	BA-I2-51.25	2A1	CPCP	F		37,61	36,81				
	3b	BA-I1-16.6	1A4	CPCP	F				13,52	23,97	19,12	18,05

MC						LM	Ap	aPp	AD	Ad	ASd	aPd	aPSd
	2	BA-I2-51.23	2A1	CPCP	-		22,35	16,74	13,77				

**SUS**

HUE	FASE	NIN	SUCJTO	ESP	EF	Medidas			
-----	------	-----	--------	-----	----	---------	--	--	--

AT						LM	AFcr	AFcd	H
	2	BA-I2-37.46	1A6	SUDO	F			53,26	45,00

E						aPC	aPP	aPS	AS	LE
	1	BA-H12-131.2	1A2	SUDO	_	23,18				
	2	BA-I2-31.19	1A5	SUDO	F	25,52				
	3a	BA-H41-3.1	1A1	SUDO	NF	13,83				
	3b	BA-H2-112.50	2A5	SUDO	F	22,11				
	3b	BA-H3-45.2	1A6	SUDO	F	22,84				
	3b	BA-H3-66.38	1A7	SUDO	_	20,72				
	_	BA-H15-10.97	2A2	SUDO	F	19,84				

UL						HO	aPPa	aPS	APsD	HSp	ASp	SDO
	2	BA-C0-189	13A1	SUDO	_		37,67	27,35	22,76	29,47	19,63	
	2	BA-I2-6.306	1A2	SUDO	_			22,15	23,04			
	3a	BA-H19-13.7	1A4	UDO/SC	_		35,17	24,65	21,83	27,62	21,20	
	3b	BA-H2-36.12	1A2	SUDO	_		29,32	19,29	16,03	21,58	16,56	
	3b	BA-H3-18	1A5	UDO/SC	_		34,52	24,44	18,74	26,29	20,37	
	_	BA-E15-42	1A11	SUDO	_		34,60	24,03	20,94	27,28	21,25	

PEL						LA	LAb	Hmrl	Amrl
	2	BA-I2-51.68	2A1	SUDO	F	29,57	24,74	24,42	8,97
	3b	BA-H11-37.9	1A4	SUDO	NF			19,28	10,16
	3b	BA-H54-107.69	3A1	SUCR	F	42,22	34,35		

HU						LM	LC	Ap	aPp	AD	Ad	ASd	HMSd	HmSd
	3b	BA-H3-196	1A9	SUCR	NF					19,27				
	_	BA-E8-3.277	1A1	SUDO	_					17,51				

R						LM	Ap	ASp	APp	AD	Ad	ASd	APd
	3a	BA-H41-23.4	1A5	SUDO	NF					7,69			
	_	BA-E8-25.12	1A3	SUDO	_		26,51	26,92	17,91				
	_	BA-E38-26.30	1A8	SUDO	_		29,63		20,44	18,27			

TI						LM	Ap	APp	AD	Ad	ASd	aPd
	1	BA-H14-15.1	1A2	SUDO	NF					29,28	23,13	23,96
	3b	BA-H2-33.6	1A3	SUDO	_				21,04			
	_	BA-E15-12.37	1A4	SUDO	F					31,08	23,02	25,79
	_	BA-E15-35.1	1A8	SUDO	PF					29,26	22,14	25,72

MC II						LM	Ap	aPp	AD	Ad	ASd	aPd	aPSd
	3b	BA-H54-107.13	3A1	SUDO	F	45,95	5,75	8,81	5,73	9,25	9,20	10,81	13,09

MC III						LM	Ap	aPp	AD	Ad	ASd	aPd	aPSd
	1	BA-H9-30.51	1A3	SUDO	NF		16,03	17,82	12,87				
	2	BA-I2-37.44	1A6	SUDO	NF	72,40	15,21	15,48	10,88	15,30	14,31	14,93	14,24
	3a	BA-H62-42.7	1B2	SUDO	_		13,56	14,60	10,66				
	3b	BA-H8-14.19	2A2	SUDO	_		16,96	20,55	8,96				

MC IV						LM	Ap	aPp	AD	Ad	ASd	aPd	aPSd
	2	BA-I2-37.45	1A6	SUDO	NF	73,52	13,90	12,95	10,56	16,36	14,18	15,44	15,48
	3b	BA-H5-102.64	1A11	SUDO	F					12,56	12,12	12,84	14,90
	_	BA-E15-40.40	1A11	SUDO	_		14,97	14,40					
	_	BA-H15-10.163	2A2	SUDO	_		14,19	14,26					

MC V						LM	Ap	aPp	AD	Ad	ASd	aPd	aPSd
	1	BA-H36-195.56	UE197	SUDO	F	53,42	6,43	9,54	6,37	10,57	10,66	13,30	14,38
	3b	BA-E16-12.83	2A1	SUDO	F				5,28	9,55	9,30	11,32	12,69

MCV						LM	Ap	aPp	AD	Ad	ASd	aPd	aPSd
	_	BA-E16-3.28	1A1	SUDO	_		6,38	10,93	6,30				

MT III						LM	Ap	aPp	AD	Ad	ASd	aPd	aPSd
	3a	BA-H7-120.1	1A3	SUDO	F		14,50	19,88					
	_	BA-E15-29.81	1A7	SUDO	F		15,67	20,68					

MT IV						LM	Ap	aPp	AD	Ad	ASd	aPd	aPSd
	3b	BA-H2-297.31	2A7	SUDO	F		19,94	12,89					

FA1						LMpe	Ap	ASp	APp	AD	Ad	APd
	1	BA-H36-138.23	UE171	SUDO	NF					11,44	14,71	11,71
	3	BA-H4-15.3	1A4	SUDO	F	23,75	11,17	10,68	12,81	8,17	8,56	9,12
	_	BA-E8-3.263	1A1	SUDO	F	37,76	16,08	17,67	17,46	12,20	14,67	10,10
	_	BA-E8-3.158	1A1N	SUDO	_						13,03	8,81

FA2						LMpe	Ap	APp	AD	Ad	APd
	3b	BA-H3-34.28	1A1	SUDO	PF	18,67	13,97	13,53	12,01	12,13	11,83
	3b	BA-E16-12.9	2A1	SUCR	F	26,33	19,57	19,04	16,06	15,03	15,49
	_	BA-E8-3.160	1A1N	SUDO	PF	22,75	13,01	13,67	11,11	11,44	11,56

FAR						LMpe	Ap	APp	AD	Ad	APd
	2	BA-I2-6.322	1A2	SUDO	F		10,12	10,46	7,84		
	2	BA-I2-51.37	2A1	SUDO	F	23,63	10,81	10,55	7,28	8,29	7,69
	2	BA-H83-14.2	1A5	SUDO	F	24,23	11,64	11,46	8,03	8,38	7,98
	_	BA-E15-21.31	1A5	SUDO	PF	19,79	8,82	9,36	6,19	6,59	6,50

CAL						LM	AM	aPM	LPc
	2/3	BA-H31-109.15	1A5	SUDO	F		20,21	25,90	26,31
	3a	BA-H20-9.29	1A2	SUCR?	F				27,30
	3b	BA-H37-83.4	2B7	SUDO	NF	35,52	12,35	16,51	14,48
	3b	BA-E16-12.94	2A1	SUCR	_			35,57	29,59

TA						Lla	Lme	aPla	aPme	Ad
	2	BA-I2-31.14	1A5	SUDO	_	39,91	36,69	21,79	25,13	27,24
	2	BA-H35-92.302	UE156	SUSC	_	44,62	43,74	21,87	26,20	27,34
	2	BA-H35-104.34	UE154	SUDO	_	37,53	35,46	20,07	24,03	25,28

TCEN						LM	AM
	3b	BA-H5-102.18	1A11	SUDO	_	22,83	14,39

T IV						LM	AM
	1	BA-H9-146.3	1A6	SUDO	_	21,54	17,12
	_	BA-E15-40.11	1A1	SUS SP	_	30,57	21,72

CARUL						LM	AM
	1	BA-H36-234.236	UE203	SUDO	_	12,22	23,95

C III						LM	AM
	2	BA-I2-37.8	1A6	SUDO	_	16,64	15,03

C IV						LM	AM
	2	BA-I2-37.9	1A6	SUDO	_	17,47	14,30

M1Sup						LM	AM
	2	BA-I2-37.55	1A6	SUDO	_	15,23	10,85
	2	BA-H35-104.28	UE154	SUDO	_	13,97	10,11
	3a	BA-H52-31.33	1B6a	SUDO	_	16,82	10,01

M1Inf						LM	AM
	2	BA-H64-16.158	1A1	SUDO	_		12,49
	2	BA-H35-89	UE156	SUDO	_	13,84	9,84

M1Inf						LM	AM
	3a	BA-E16-16.34	2A2	SUDO	_	20,23	11,60

M2Inf						LM	AM
	_	BA-E8-3.180	1A1N	SUDO	_	20,17	15,16

M3Inf						LM	AM
	1	BA-C0-330	19A3	SUDO	_	29,78	14,67
	3a	BA-E16-16.33	2A2	SUDO	_	29,84	14,13
	3b	BA-H2-297.3	2A7	SUDO	_	24,77	14,07

D3Sup						LM	AM
	_	BA-E8-3.217	1A1N	SUDO	_	13,25	7,95
	_	BA-E8-25.1	1A3	SUDO	_	13,87	8,43

D4Sup						LM	AM
	_	BA-E8-3.91	1A1	SUDO	_	13,71	10,75
	_	BA-E8-3.217	1A1N	SUDO	_	14,51	10,80
	_	BA-E8-25.1	1A3	SUDO	_	14,44	10,70

D4Inf						LM	AM
	2	BA-H83-94.30	2B3a	SUDO	_	20,00	9,51

P2Sup						LM	AM
	2	BA-C0-181.23	13A1	SUDO	_	8,59	3,64

P2Inf						LM	AM
	3b	BA-H2-112.49	2A5	SUDO	_	9,59	3,54

DECIDUAL

P3Sup						LM	AM
	2	BA-I2-37.55	1A6	SUDO	_	12,87	8,22
	2	BA-H83-14.68	1A5	SUDO	_	12,53	8,59
	2	BA-C0-181.23	13A1	SUDO	_	10,58	5,86

P4Sup						LM	AM
	2	BA-I2-37.55	1A6	SUDO	_	11,07	10,27

P4Inf						LM	AM
	1	BA-H9-2.8	1A2	SUDO	_	14,12	4,10
	2	BA-H35-89	UE156	SUDO	_	13,08	4,56

MD						9a	13	14	15
	1	BA-C0-330	19A3	SUDO	_		99,88	95,32	113,69
	2	BA-H35-89	UE156	SUDO	_	35,75			



**CERVUS ELAPHUS**

HUE	FASE	NIN	SUCJTO	ESP	EF	Medidas
-----	------	-----	--------	-----	----	---------

VTO						LCDe	LAPa	AFcr	APacd	APtr	AmV	AFcd	HFcr
VTO 8	3b	BA-H54-117.1	3A1	CEEL	PF	41,73		34,08				30,14	27,35
VTO 9	3b	BA-H54-117.2	3A1	CEEL	PF			34,54					

R						LM	Ap	ASp	APp	AD	Ad	ASd	APd
	3b	BA-H2-17	1A2	CEEL	F						48,94	42,65	35,43
	3b	BA-H2-166.2	2A8	CEEL	-					20,58			
	-	BA-H15-10.68	2A2	CEEL	F						52,11	47,95	33,73

PEL						LA	LAb	Hmrl	Amrl
	2	BA-I2-6.11	1A2	CEEL	F	48,17	40,15		
	3b	BA-E16-12.22	2A1	CEEL	-			29,96	15,16

FE						LM	LC	Ap	AC	ATr	aPc	AD	Ad	ATd
	3b	BA-H53-22	1A4	CEEL	F							39,99		92,08
	3	BA-H4-6.44	1A1	CEEL	F						32,57			

TI						LM	Ap	APp	AD	Ad	ASd	aPd
	1	BA-C0-264.1	17A1	CEEL	PF							46,90
	2	BA-I2-6.12	1A2	CEEL	F				23,73			29,25
	3a	BA-H7-79.30	1A3	CEEL	F					45,17	32,22	37,50
	3b	BA-H2-36.11	1A2	CEEL	NF					50,05	36,44	37,64
	3	BA-I2-6.332	1A2	CEEL	F				29,04	44,07	32,33	31,83

MC						LM	Ap	aPp	AD	Ad	ASd	aPd	aPSd
	2	BA-I2-51.9	2A1	CEEL	F					36,50	33,22	17,20	20,16
	2	BA-I2-51.10	2A1	CEEL	F				22,89	43,61	42,59	24,34	28,75
	3b	BA-H2-194	2A5	CEEL	F							19,46	26,45

MT						LM	Ap	aPp	AD	Ad	ASd	aPd	aPSd
	2	BA-I2-51.5	2A1	CEEL	-				19,01				
	2	BA-H26-32.13	2A1	CEEL	F					41,11	40,65	25,01	28,31
	3a	BA-H7-55.5	1A3	CEEL	F		38,44	37,86	21,20				
	-	BA-E8-3.287	1A1	CEEL	F					38,49	39,05	24,45	26,83
	-	BA-E15-29.34	1A7	CEEL	F					39,08	40,17	23,30	26,51
	-	BA-E16-3.81	1A1	CEEL	F							24,74	27,27

MP						Ad	ASd	aPd	aPSd
	2	BA-I2-6.307	1A2	CEEL	F			20,17	23,34

FA1						LMpe	Ap	ASp	APp	AD	Ad	APd
	1	BA-H9-146.2	1A6	CEEL	F	53,60	19,16	17,15	24,57	14,69	18,26	14,84
	1	BA-C0-318.7	19A1	CEEL	F		21,13	18,71	25,51	16,34		
	1	BA-C0-288.3	17A2	CEEL	F	46,20	16,95	16,59	22,15	13,18	17,22	14,91
	2	BA-C0-222.10	15A1	CEEL	F		19,05	18,50	24,52	15,11		
	2	BA-I2-51.79	2A1	CEEL	F	52,55	17,39	16,34	21,81	13,96	17,36	15,36
	2	BA-H35-92.310	UE 156	CEEL	F		17,83	14,94	26,05	14,57		
	2	BA-H35-92.2	UE 156	CEEL	F	45,42	17,37	16,45	19,02	14,40	18,28	14,95
	2/3	BA-H31-109.2	1A5	CEEL	F	52,69	19,76	18,76	26,18	15,16	19,01	15,89
	3a	BA-H52-12.21	1A2	CEEL	F	52,40	20,24	18,89	24,68	16,44	19,76	17,49
	3b	BA-I1-16.19	1A4	CEEL	F	47,61	17,69	15,85		13,08	17,07	13,93
	3b	BA-H2-384	2A5	CEEL	F	53,27	19,82	19,11	23,52	15,46	18,58	16,25
	3b	BA-H2-385	2A5	CEEL	F	51,64	18,66	17,64	24,62	15,18	18,89	16,35
	3b	BA-H18-31.1	2A3	CEEL	F	53,71	18,77	17,75	24,51	15,55	17,22	
	3b	BA-H8-8.3	2A1	CEEL	PF	52,37	19,90	19,13	25,15	16,03	19,70	16,08
	3b	BA-H8-30.7	2A3	CEEL	F		16,95					
	3	BA-H4-6.84	1A1	CEEL	F	54,40	19,54	20,54	26,37	18,50	20,37	16,99
	-	BA-E9-21.11	2A1	CEEL	F	51,88	17,91	16,98	25,04	15,96	17,43	15,47
	-	BA-E16-3.11	1A1	CEEL	F	54,03				15,56	18,79	15,83
	-	BA-E16-3.109	1A1	CEEL	F	55,21	19,64	18,78	26,73	15,35	19,16	16,36

FA2						LMpe	Ap	APp	AD	Ad	APd
	2	BA-I2-6.26	1A2	CEEL	F	39,43	19,68	24,54	14,86	15,50	22,46
	2	BA-I2-6.27	1A2	CEEL	F	34,81		23,35		14,57	20,49
	2	BA-I2-24.2	1A4	CEEL	F	36,45	17,82	22,96	13,14	15,91	23,08
	3a	BA-H52-2.6	1A1	CEEL	F	34,42	18,55	24,66	14,99	16,12	23,63
	3b	BA-H2-382	2A5	CEEL	F	39,80	20,36	23,74			23,50
	3b	BA-H2-383	2A5	CEEL	F	37,60	18,64	24,12	13,82	17,35	24,26
	3b	BA-H3-141.42	1A9	CEEL	F	39,63	22,35	26,81	17,07		23,14

FA3						LM	HP	LDP	Ldo	MBS	HS
	3a	BA-H52-5.128	1B6a	CEEL	_			52,98	41,68	17,43	
	_	BA-C0-253.7	15A4	CEEL	_			46,11	44,99	12,95	

CAL						LM	AM	aPM	LPc
	3b	BA-I1-20.18	1A5	CEEL	F	109,36	30,93	37,88	36,40

TA						Lla	Lme	aPla	aPme	Ad
	2	BA-I2-6.33	1A2	CEEL	_	53,81	50,40	29,84	30,32	34,80
	2	BA-H64-16.92	1A1	CEEL	_	56,51		32,24		
	3b	BA-H2-44.19	2A3	CEEL	_		48,38	27,41	27,52	33,64
	3b	BA-H2-42.3	2A2	CEEL	_	56,57	54,05		32,22	37,45

CENTQ						LM	AM
	2	BA-I2-6.34	1A2	CEEL	_	43,26	38,47
	3b	BA-H2-42.2	2A2	CEEL	_	47,58	42,52

C RAD						LM	AM
	_	BA-E16-12.111	2A1	CEEL	_	27,55	18,41

M1Sup						LM	AM
	3b	BA-H3-105.22	1A2	CEEL	_	16,81	13,02
	_	BA-C0-181.30	13A1	CEEL	_	22,69	22,23

M1Inf						LM	AM
	3	BA-H4-6.83	1A1	CEEL	_		9,80

M2Sup						LM	AM
	1	BA-C0-288.8	17A2	CEEL	_	23,46	14,97
	2	BA-H64-16.174	1A1	CEEL	_	22,78	14,81

M2Inf						LM	AM
	2	BA-I2-6.28	1A2	CEEL	_	23,60	9,45
	3	BA-H4-6.83	1A1	CEEL	_	22,21	8,74
	_	BA-E16-16.40	2A2	CEEL	_	22,34	11,96

M3Sup						LM	AM
	1	BA-C0-288.8	17A2	CEEL	_	24,75	16,73

P2Sup						LM	AM
	3b	BA-H5-34.7	1A8	CEEL	_	16,82	15,78

P2Inf						LM	AM
	1	BA-C0-328.1	19A3	CEEL	_	8,71	5,99
	_	BA-E38-23.7	1A6	CEEL	_	11,20	7,01

P3Sup						LM	AM
	3b	BA-H5-34.7	1A8	CEEL	_	16,51	13,72

P3Inf						LM	AM
	1	BA-C0-328.1	19A3	CEEL	_	18,32	8,79
	_	BA-C0-222.33	15A1	CEEL	_	16,44	8,41
	_	BA-E38-23.7	1A6	CEEL	_	15,05	8,10

P4Inf						LM	AM
	3b	BA-H11-31.3	1A3	CEEL	_	15,83	10,08
	_	BA-E38-23.7	1A6	CEEL	_	16,94	10,11

**CANIS FAMILIARIS Y VULPES VULPES**

HUE	FASE	NIN	SUCJTO	ESP	EF	Medidas									
-----	------	-----	--------	-----	----	---------	--	--	--	--	--	--	--	--	--

HU						LM	LC	Ap	aPp	AD	Ad	ASd	HMSd	HmSd
	1	BA-H36-234.247	UE203E	CAFA	F					13,02	28,75	22,37	17,51	12,15
	2	BA-H26-32.14	2A1	CAFA	F					10,04		10,87	16,06	9,72
	3b	BA-H2-94.2	2A5	CAFA	—					11,20				
	3b	BA-H2-270.16	2A5	CAFA	F					13,48	23,50	21,51		
	3b	BA-H21-36.5	2A1	CAFA	F					11,77	26,38	21,13	16,61	10,78

R						LM	Ap	ASp	APp	AD	Ad	ASd	APd
	1	BA-H36-665	UE283	VUVU	F		11,05	9,81	7,43	8,89			
	3a	BA-H7-14.8	1A1	CAFA	F						19,81	16,18	11,17
	3b	BA-E16-12.73	2A1	CAFA	F				8,99	11,82			

UL						HO	aPPa	aPS	APsD	HSp	ASp	SDO
	1	BA-H36-138.13	UE 171	CAFA	F	22,65	21,27	11,93	18,20	20,18	12,82	17,88
	3b	BA-H2-36.2	1A2	CAFA	—			14,65	26,64	21,53	15,42	

PEL						LA	LAB	Hmrl	Amrl
	—	BA-E16-3.99	1A1	CAFA			20,06	19,83	9,67

FE						LM	LC	Ap	AC	ATr	aPC	AD	Ad	ATd
	3a	BA-H7-3.25	1A1	CAFA	F			34,79	16,82		18,02	12,09		

TI						LM	Ap	APp	AD	Ad	ASd	aPd
	1	BA-H68-30	1A5	CAFA	F				10,94	17,76	13,97	
	2	BA-I2-3.18	1A1	CAFA	F		29,17	30,54	11,64			
	3a	BA-H7-14.22	1A1	CAFA	F					18,77	13,62	13,55
	3b	BA-H2-36.1	1A2	CAFA	—				11,93			
	3b	BA-H54-73.30	2A3	CAFA	F	165,56	—	29,99	11,74	19,29	13,36	14,94
	—	BA-H15-10.196	2A2	CAFA	F					21,41	16,17	16,02

MC I						LM	Ap	aPp	AD	Ad	ASd	aPd	aPSd
	3a	BA-H7-14.3	1A1	CAFA	F	18,62	4,22	4,35	3,32		4,78		4,37
	3a	BA-H7-14.11	1A1	CAFA	F	18,50	4,72	4,52	3,33		5,20		4,49

D  
I

MC II						LM	Ap	aPp	AD	Ad	ASd	aPd	aPSd
	3a	BA-H7-14.2	1A1	CAFA	—		6,50	9,16					
	3a	BA-H7-14.28	1A1	CAFA	F	49,03	5,91	9,63	5,82	8,54	7,25	5,92	6,58

EA D  
EA I

MC III						LM	Ap	aPp	AD	Ad	ASd	aPd	aPSd
	3a	BA-H7-14.1	1A1	CAFA	F	56,74	6,57	9,64	6,02	8,20	7,13	6,41	8,24
	3a	BA-H7-14.29	1A1	CAFA	F	56,58		9,41	5,61	7,82	7,29	6,08	
	3b	BA-H5-102.17	1A11	CAFA	F	45,12	5,26	8,49	4,83	6,02	5,76	5,61	7,10
	—	BA-H31-26.3	2A1	CAFA	F	60,60		10,14	6,17	8,02	7,41	5,79	8,60

EA D  
EA I

MC IV						LM	Ap	aPp	AD	Ad	ASd	aPd	aPSd
	3a	BA-H7-14.19	1A1	CAFA	F	56,00	6,22	9,17	5,13	7,47	7,27	5,77	8,00
	3a	BA-H7-14.30	1A1	CAFA	F	55,79		8,02	5,66		6,76		7,89

EA D  
EA I

MC V						LM	Ap	aPp	AD	Ad	ASd	aPd	aPSd
	3a	BA-H7-14.18	1A1	CAFA	F	46,70	8,12	8,29	6,03	8,00	7,78	4,44	6,96
	3a	BA-H7-14.31	1A1	CAFA	F	46,91	8,41	7,63	5,97	7,58	7,11	5,26	7,31
	3b	BA-H3-99.25	1A5	CAFA	F		4,71	8,10	4,45				

EA D  
EA I

MT II						LM	Ap	aPp	AD	Ad	ASd	aPd	aPSd
	3a	BA-H7-14.33	1A1	CAFA	F	55,38	4,37		5,61	6,18	7,28	5,09	6,39
	3a	BA-H7-14.39	1A1	CAFA	F				5,31	7,27	7,06	5,50	7,05

D  
I

MT III						LM	Ap	aPp	AD	Ad	ASd	aPd	aPSd
	2/3	BA-H31-106.32	1A4	CAFA	F		5,78	9,55	4,78				
	3a	BA-H7-14.34	1A1	CAFA	F	62,32	6,72	9,82	5,71		7,71	6,05	7,74
	3a	BA-H7-14.40	1A1	CAFA	F	63,15	7,26	9,55	5,93	7,90	6,93	6,02	8,10

D  
I

MT IV						LM	Ap	aPp	AD	Ad	ASd	aPd	aPSd
	3a	BA-H7-14.35	1A1	CAFA	F	63,27		9,39	5,91	7,20	6,72		7,64
	3a	BA-H7-14.41	1A1	CAFA	F				5,13	7,17	6,58		7,43
	3b	BA-H8-3.13	1A1	CAFA	_		6,70	11,85					

D  
I  
I

MT V						LM	Ap	aPp	AD	Ad	ASd	aPd	aPSd
	3a	BA-H7-14.36	1A1	CAFA	F	55,16	6,34	9,07	5,40	6,12	5,60	6,01	7,37
	3a	BA-H7-14.42	1A1	CAFA	F				4,79	7,37	6,68	5,33	7,18

D  
I

FA1						LMpe	Ap	ASp	APp	AD	Ad	APd
	2	BA-C0-128.30	10A1	CAFA	PF	17,35	7,78	7,91	6,69	5,48	7,10	4,95
	2	BA-C0-128.31	10A1	CAFA	PF	16,20	7,47	7,47	6,55	5,28	7,20	5,05
	3a	BA-H7-14.3	1A1	CAFA	F	20,76	7,53	6,70	7,14	5,28	6,78	5,17
	3a	BA-H7-14.5	1A1	CAFA	F	18,12	8,08	7,29	6,59	5,11	6,81	5,26
	3a	BA-H7-14.9	1A1	CAFA	F	21,32			5,98	4,58	5,97	4,72
	3a	BA-H7-14.37	1A1	CAFA	F	21,69	7,98	6,74	4,82	4,71	6,41	4,86
	3a	BA-H7-14.38	1A1	CAFA	F	18,32	7,47	6,10	6,38	5,52	6,31	4,80
	3a	BA-H7-14.43	1A1	CAFA	F	21,84	7,60	7,27	6,73	4,82	6,12	4,61
	3a	BA-H7-14.44	1A1	CAFA	F	21,74	7,36	6,95	6,43	4,86	6,21	4,51
	3a	BA-H7-14.45	1A1	CAFA	F	18,59	7,32	6,21	6,28	4,73	6,21	4,71
	3a	BA-H7-14.46	1A1	CAFA	F	18,07	7,03	6,24	6,31	4,41	5,78	4,46
	3a	BA-H7-14.17	1A1	CAFA	F	16,66	7,96	6,96	6,08	5,22	6,40	4,87
	3a	BA-H7-14.16	1A1	CAFA	F	20,64	7,50	6,92	6,79	4,80	6,37	4,98
	3b	BA-H37-48.36	2A1	VUVU	F		6,21	4,29	5,27			
	_	BA-E8-3.46	1A1	CAFA	F	17,33	7,50	6,42	6,23	4,73	6,08	4,44
	_	BA-E8-3.175	1A1N	CAFA	_					5,12	6,83	4,94

EP D DEDO 3  
EP D DEDO 4  
  
EP I  
EP I  
EA I

FA2						LMpe	Ap	APp	AD	Ad	APd
	2	BA-C0-128.32	10A1	CAFA	PF	12,10	7,34	6,07	5,12	6,56	4,52
	3a	BA-H7-14.6	1A1	CAFA	F	10,60	7,25	6,05	5,32	6,74	4,68
	3a	BA-H7-14.47	1A1	CAFA	F	15,18	6,65	5,34	4,60	6,04	4,47
	3a	BA-H7-14.48	1A1	CAFA	F	15,28	6,58	5,02	4,53	6,27	4,25
	3a	BA-H7-14.49	1A1	CAFA	F	10,56	6,95	5,07	5,47	5,84	4,15
	3a	BA-H7-14.16	1A1	CAFA	F	9,13	7,10	5,45	5,66	6,47	4,51
	3a	BA-H7-14.14	1A1	CAFA	F	13,29	7,00	5,67	6,15	6,70	4,62
	3b	BA-H3-91.6	1A8	CAFA	F	16,37	7,40	6,52	5,24	6,90	4,86

EP D

FA3						LM	HP	LDP	Ldo	MBS	HS
	3a	BA-H7-14.50	1A1	CAFA	F	12,65					

I

CAL						LM	AM	aPM	LPc
	3b	BA-H2-270.9	25	CAFA	F	37,12	13,54	12,75	

TA						Lla	Lme	aPla	aPme	Ad
	2	BA-H35-114.1	UE156	CAFA	_		22,47			
	3b	BA-H2-270.19	2A5	CAFA	_		22,18			

CARUL						LM
	3a	BA-H7-14.12	1A1	CAFA	_	15,73

EA D

C IV						LM	AM
	3a	BA-H7-14.13	1A1	CAFA	F	10,52	8,63

M1Sup						LM	AM
	1	BA-H9-30.23	1A3	CAFA	_	12,08	15,20
	2	BA-I2-37.56	1A6	CAFA	_	11,18	13,73
	2	BA-H35-92.195	UE156	CAFA	_	12,04	14,44

M1Inf						LM	AM
	1	BA-H36-234.249	UE203E	CAFA	_	17,72	7,02

M2Sup						LM	AM
	2	BA-I2-37.56	1A6	CAFA	_	7,20	9,08

P2Sup						LM	AM
	_	BA-E8-3.52	1A1	VUVU	_	10,55	4,16

P3Inf						LM	AM
	2	BA-H35-92.194	UE156	CAFA	_	9,35	4,27

P4Sup						LM	AM
	1	BA-H9-30.23	1A3	CAFA	_	16,34	6,69
	2	BA-I2-37.56	1A6	CAFA	_	17,72	9,78

MD						1	2	3	4	5	6	7	7a	8	9
	1	BA-H36-628	UE283	CAFA	_				110,39	105,69	109,53	72,70		70,00	66,17
	2	BA-H35-92.194	UE156	CAFA	_										
	2	BA-H83-14.76	1A5	CAFA	_										
	3a	BA-H19-13.6	1A3	CAFA	_										

9a	10	11	12	13	14	15	16	17	18
	34,16	37,41	32,66		21,31				52,01
		34,27	29,46						

19	20
22,76	17,59
18,61	15,52
	19,84
	16,68

CR						16
	2	BA-H35-92.195	UE156	CAFA	_	18,46

*FELIS SYLVESTRIS*

HUE	FASE	NIN	SUCJTO	ESP	EF	Medidas
-----	------	-----	--------	-----	----	---------

PEL						LA	LA <sub>b</sub>	Hmrl	Amrl
	3b	BA-H54-176.1	3B8	FESY	F		16,92	18,58	8,30



**GATAS, TURRE (ALMERIA) CAMPAÑAS 1995-2001**  
**ORYCTOLAGUS CUNICULUS Y LEPUS CAPENSIS**

HUE	NIN	YAC	Z	CON	SUBC	CRONO	ESP	EF	Medidas			
-----	-----	-----	---	-----	------	-------	-----	----	---------	--	--	--

AT									LM	AFcr	AFcd	H
	G-ZC-F-12862	G-95	ZC	306	A1	FASE IV	ORCU	F	11,2	10,34	14,50	11,39

SA									LM	AM	AFcr
	G-ZC-F-13687	G-95	ZC	11	A1	FASE I-II	ORCU	F		23,63	8,65
	G-ZC-F-12860	G-95	ZC	306	A1	FASE IV	ORCU	F		24,80	10,65
	G-ZC-F-12861	G-95	ZC	306	A1	FASE IV	ORCU	PF			10,22

E									aPC	aPP	aPS	AS
	G-ZC-F-12527	G-95	ZC	216	A1	FASE I	ORCU	F	3,84			
	G-MS-F-1579	G-01	5	3	A1	FASE I	ORCU	F	3,91	7,74	6,44	6,57
	G-MS-F-1570	G-01	5	3	A1	FASE I	ORCU	F	4,44	7,98	6,62	6,90
	G-MS-F-1559	G-01	5	3	A1	FASE I	ORCU	F	4,05	7,89	6,74	6,66
	G-MS-F-1662	G-01	5	3	A1	FASE I	ORCU	F				6,43
	G-ZC-F-12214	G-95	ZC	114	A2	FASE II	ORCU	F	4,31	7,88		6,57
	G-ZC-F-11656	G-95	ZC	214	A1	FASE II	ORCU	F	4,12			
	G-ZC-F-11816	G-95	ZC	214	A2	FASE II	ORCU	F	4,03	7,88	6,96	6,51
	G-ZC-F-11824	G-95	ZC	214	A2	FASE II	ORCU	F	4,18	9,89	7,64	6,86
	G-MS-F-1394	G-01	2	3	A1 C.1	FASE II	ORCU	F	4,12	7,67	6,43	6,77
	G-MS-F-0055	G-01	19	7	A1	FASE II	ORCU	F	4,78			
	G-MS-F-1072	G-01	19	13	A1	FASE II	ORCU	F	4,45	8,16	6,06	6,85
	G-MS-F-2029	G-01	19	16	A1 ESTE	FASE II	ORCU	F	4,11	8,11	6,32	6,94
	G-ZC-F-13637	G-95	ZC	11	A1	FASE I-II	ORCU	F	4,67	10,68	8,82	7,73
	G-ZC-F-12419	G-95	ZC	115	A1	FASE II	ORCU	F	4,46			
	G-ZC-F-11192	G-95	ZC	211	A1	FASE IV	ORCU	F	4,10	8,09	6,78	6,96
	G-ZC-F-12820	G-95	ZC	306	A1	FASE IV	ORCU	F	4,05	8,09	6,57	7,02
	G-ZC-F-12821	G-95	ZC	306	A1	FASE IV	ORCU	F	4,37	8,11	6,29	7,46
	G-ZC-F-12890	G-95	ZC	306	A1	FASE IV	ORCU	F	4,11	9,15	6,00	6,35
	G-ZC-F-13485	G-95	ZC	310	A2	FASE IV	ORCU	F	4,29	9,38	7,09	6,84
	G-ZC-F-13399	G-95	ZC	311	A1	FASE IV	ORCU	F	4,54			
	G-ZC-F-13345	G-95	ZC	311	A1	FASE IV	ORCU	F	4,58	10,04	7,18	6,47
	G-ZC-F-13347	G-95	ZC	311	A1	FASE IV	ORCU	F	4,57	10,28	8,09	6,94
	G-ZC-F-13344	G-95	ZC	311	A1	FASE IV	ORCU	F	4,80	9,70	7,25	7,13
	G-ZC-F-13348	G-95	ZC	311	A1	FASE IV	ORCU	F	4,44	10,13	8,05	6,96
	G-ZC-F-13346	G-95	ZC	311	A1	FASE IV	ORCU	F	4,38	9,52	7,42	6,76
	G-ZC-F-11417	G-95	ZC	212	A1	FASE IV	ORCU	-	4,04			
	G-MS-F-0929	G-01	19	5	A1	FASE III-IV	ORCU	F	4,18	7,96	6,27	6,08

HU									LM	LC	Ap	aPp	AD	Ad	ASd	HMSd	HmSd
	G-ZC-F-11058	G-95	ZC	211	A1	FASE IV	LECA	F						9,39	5,53	6,21	5,18
	G-ZC-F-12569	G-95	ZC	116	A1	FASE I	ORCU	F					3,96	7,83	4,08	4,57	3,93
	G-ZC-F-12581	G-95	ZC	116	A1	FASE I	ORCU	F						7,97	4,04	4,79	3,78
	G-ZC-F-12519	G-95	ZC	216	A1	FASE I	ORCU	F						7,77	3,87	4,73	4,20
	G-ZC-F-12520	G-95	ZC	216	A1	FASE I	ORCU	F					3,88	7,85	4,03	5,07	3,95
	G-ZC-F-12529	G-95	ZC	216	A1	FASE I	ORCU	F						7,71	4,26	4,48	3,84
	G-ZC-F-12535	G-95	ZC	216	A1	FASE I	ORCU	F							4,25	4,43	4,03
	G-ZC-F-12568	G-95	ZC	216	A1	FASE I	ORCU	F					4,13	8,87		6,11	4,05
	G-MS-F-2244	G-01	4	13	A2	FASE I	ORCU	F			9,43	12,13	3,76				
	G-MS-F-2243	G-01	4	13	A2	FASE I	ORCU	F					3,95	7,99	4,12	5,98	4,15
	G-MS-F-1568	G-01	5	3	A1	FASE I	ORCU	F						8,01	4,82	5,84	4,46
	G-MS-F-1577	G-01	5	3	A1	FASE I	ORCU	F					3,90	8,07	3,93	5,71	4,05
	G-MS-F-1580	G-01	5	3	A1	FASE I	ORCU	F						8,13	4,08	5,20	4,20
	G-MS-F-0591	G-01	19	17	A2	FASE I	ORCU	F						8,07	4,13	4,92	4,25
	G-MS-F-0737	G-01	19	17	A2	FASE I	ORCU	F						7,66	3,79	4,16	3,82
	G-MS-F-0543	G-01	19	17	A2	FASE I	ORCU	F						8,05	4,04	4,94	4,10
	G-MS-F-1085	G-01	19	17	A1	FASE I	ORCU	PF				12,16	3,84				
	G-MS-F-0471	G-01	19	17	A2	FASE I	ORCU	PF					4,12	7,81	3,96	4,59	4,12
	G-MS-F-0584	G-01	19	17	A2	FASE I	ORCU	PF						7,42	4,01	4,58	3,75



HU									LM	LC	Ap	aPp	AD	Ad	ASd	HMSd	HmSd
	G-MS-F-0729	G-01	19	17	A2	FASE I	ORCU	PF	60,92	57,21	11,43	12,64	4,31	8,35	4,17	5,06	4,21
	G-ZC-F-12587	G-95	ZC	116	A1	FASE I	ORCU	-					4,15				
	G-ZC-F-12217	G-95	ZC	114	A2	FASE II	ORCU	F			9,85	12,27	3,83				
	G-ZC-F-11819	G-95	ZC	214	A2	FASE II	ORCU	F			9,80	12,08					
	G-ZC-F-11827	G-95	ZC	214	A2	FASE II	ORCU	F					3,89	8,08		5,93	3,99
	G-ZC-F-11818	G-95	ZC	214	A2	FASE II	ORCU	PF			10,20	12,28	3,75				
	G-ZC-F-12052	G-95	ZC	314	A1	FASE II	ORCU	PF				11,51					
	G-MS-F-2026	G-01	19	16	A1 ESTE	FASE II	ORCU	-					3,71				
	G-ZC-F-13621	G-95	ZC	11	A1	FASE I-II	ORCU	F					4,21	8,00	4,57	5,60	4,28
	G-ZC-F-13568	G-95	ZC	11	A1	FASE I-II	ORCU	F					4,09	8,32	4,06	5,64	4,14
	G-ZC-F-12448	G-95	ZC	115	A4	FASE II	ORCU	F				10,77	3,40				
	G-ZC-F-11995	G-95	ZC	215	B2a	FASE III	ORCU	F			11,43	12,33					
	G-ZC-F-12026	G-95	ZC	215	B2c	FASE III	ORCU	F					3,88	7,66	4,04	4,48	3,95
	G-ZC-F-13308	G-95	ZC	313	A1	FASE III	ORCU	F					4,89	8,18	4,59	5,50	4,10
	G-ZC-F-11420	G-95	ZC	212	A1	FASE IV	ORCU	F						7,28	3,68	4,28	3,74
	G-ZC-F-12870	G-95	ZC	306	A1	FASE IV	ORCU	F							3,84	4,55	4,00
	G-ZC-F-12874	G-95	ZC	306	A1	FASE IV	ORCU	F					4,26	8,35	4,43	4,96	4,37
	G-ZC-F-12875	G-95	ZC	306	A1	FASE IV	ORCU	F			10,20	12,36	4,04				
	G-ZC-F-12876	G-95	ZC	306	A1	FASE IV	ORCU	F					3,29	7,80	4,42	4,53	3,90
	G-ZC-F-12877	G-95	ZC	306	A1	FASE IV	ORCU	F						8,41	4,32	5,01	4,28
	G-ZC-F-13395	G-95	ZC	311	A1	FASE IV	ORCU	F				11,81	4,26				
	G-ZC-F-13422	G-95	ZC	311	A1	FASE IV	ORCU	F					4,54	8,63	4,15	5,53	3,77
	G-ZC-F-13147	G-95	ZC	312	A1	FASE IV	ORCU	F						8,78	4,40	4,81	4,07
	G-ZC-F-12872	G-95	ZC	306	A1	FASE IV	ORCU	NF					3,56				
	G-ZC-F-13153	G-95	ZC	312	A1	FASE IV	ORCU	NF					3,47				
	G-ZC-F-13381	G-95	ZC	311	A1	FASE IV	ORCU	-					4,44				
	G-ZC-F-13145	G-95	ZC	312	A1	FASE IV	ORCU	-					3,79				
	G-MS-F-0958	G-01	19	5	A1	FASE III-IV	ORCU	PF					3,78	7,51	4,71	4,30	3,81

R									Ap	ASp	APp	AD	Ad	ASd	APd
	G-MS-F-2235	G-01	4	13	A2	FASE I	ORCU	F	5,88	5,88	3,54	3,83			
	G-MS-F-1595	G-01	5	3	A1	FASE I	ORCU	F				3,17	5,47	4,61	3,91
	G-MS-F-1900	G-01	5	4	A1	FASE I	ORCU	F	5,41	5,14	3,30				
	G-MS-F-0454	G-01	19	17	A2	FASE I	ORCU	F					5,42	5,08	4,78
	G-MS-F-0798	G-01	19	17	A2	FASE I	ORCU	F	6,07	4,99	3,95	3,44			
	G-MS-F-0824	G-01	19	17	A2	FASE I	ORCU	F	6,03	5,93	3,41	3,00			
	G-MS-F-1102	G-01	19	17	A1	FASE I	ORCU	F	5,43		3,05	3,25			
	G-ZC-F-12556	G-95	ZC	216	A1	FASE I	ORCU	PF					5,24	4,81	3,87
	G-MS-F-0482	G-01	19	17	A2	FASE I	ORCU	PF	6,16	6,04	3,47	3,00			
	G-ZC-F-12548	G-95	ZC	216	A1	FASE I	ORCU	NF				2,97			
	G-ZC-F-12259	G-95	ZC	114	A2	FASE II	ORCU	F	5,84	5,78	3,65	2,97			
	G-ZC-F-11826	G-95	ZC	214	A2	FASE II	ORCU	F	5,79	5,75	3,51	3,61			
	G-MS-F-1395	G-01	2	3	A1 C.1	FASE II	ORCU	F	5,75	5,56	3,43				
	G-ZC-F-12451	G-95	ZC	115	A4	FASE II	ORCU	F	5,65	5,44	3,59	3,24			
	G-ZC-F-12456	G-95	ZC	115	A4	FASE II	ORCU	F					5,72	5,08	4,03
	G-ZC-F-12461	G-95	ZC	115	A4	FASE II	ORCU	F	5,24	5,16	3,18	2,86			
	G-ZC-F-11190	G-95	ZC	211	A1	FASE IV	ORCU	F	5,29	5,27	3,23	3,00			
	G-ZC-F-11418	G-95	ZC	212	A1	FASE IV	ORCU	F	5,59	5,54	3,37	3,14	5,91	5,09	4,02
	G-ZC-F-12819	G-95	ZC	306	A1	FASE IV	ORCU	F	5,50	5,26	3,31	2,81			
	G-ZC-F-13410	G-95	ZC	311	A1	FASE IV	ORCU	F	5,41		3,38	3,53			
	G-ZC-F-11413	G-95	ZC	212	A1	FASE IV	ORCU	-				3,48			
	G-MS-F-0961	G-01	19	5	A1	FASE III-IV	ORCU	F	6,21	5,98	3,51	3,13			

UL									HO	aPPa	aPS	APsD	HSp	ASp
	G-ZC-F-12605	G-95	ZC	116	A1	FASE I	ORCU	F	7,32	7,04	3,28	4,44	6,73	5,44
	G-ZC-F-12524	G-95	ZC	216	A1	FASE I	ORCU	F		7,00	2,99	4,17	6,40	5,34
	G-MS-F-2234	G-01	4	13	A2	FASE I	ORCU	F	7,65	7,61	3,82	4,68	7,19	5,67
	G-MS-F-1097	G-01	19	17	A1	FASE I	ORCU	F	7,05	6,51	3,55	3,99	6,44	5,01
	G-MS-F-0536	G-01	19	17	A2	FASE I	ORCU	F	7,37	6,97	3,26	4,23	6,58	5,42
	G-MS-F-0609	G-01	19	17	A2	FASE I	ORCU	F	7,76	6,91	2,85	4,26	6,76	5,33
	G-MS-F-0610	G-01	19	17	A2	FASE I	ORCU	F	7,14	7,34	3,39	4,32	7,32	5,49
	G-MS-F-1256	G-01	19	18	A1	FASE I	ORCU	F	7,16	7,32	4,05	4,31	6,90	5,48

UL									HO	aPPa	aPS	APsD	HSp	ASp
G-MS-F-0583	G-01	19	17	A2	FASE I	ORCU	PF			7,12	3,97	4,25	7,49	5,61
G-ZC-F-12623	G-95	ZC	116	A3 angu	FASE I	ORCU	_							5,05
G-ZC-F-12532	G-95	ZC	216	A1	FASE I	ORCU	_							4,86
G-MS-F-1573	G-01	5	3	A1	FASE I	ORCU	_				4,01	4,50	6,41	5,17
G-MS-F-0725	G-01	19	17	A2	FASE I	ORCU	_				3,15	4,17	6,38	5,20
G-MS-F-0799	G-01	19	17	A2	FASE I	ORCU	_				3,34	3,85	6,81	5,20
G-MS-F-0229	G-01	19	7	A3	FASE II	ORCU	F		6,82	3,55	4,16	6,86	5,03	
G-ZC-F-12389	G-95	ZC	115	A1	FASE II	ORCU	F	7,83	7,48	3,89	4,78	7,27	5,77	
G-ZC-F-13514	G-95	ZC	315	A2	FASE I-II	ORCU	F	7,54	6,74	3,87	4,25	7,21	5,55	
G-ZC-F-12000	G-95	ZC	215	B2a	FASE III	ORCU	F	7,49	7,04	2,96	4,04	6,95	5,08	
G-ZC-F-12815	G-95	ZC	306	A1	FASE IV	ORCU	F	7,00	6,59	3,10	4,14	6,35	5,20	
G-ZC-F-13237	G-95	ZC	311	A1	FASE IV	ORCU	F	7,76	6,67	3,70	4,01	6,84	5,15	
G-ZC-F-13419	G-95	ZC	311	A1	FASE IV	ORCU	F	7,53	6,62	2,67	3,64	5,60	5,07	
G-ZC-F-13152	G-95	ZC	312	A1	FASE IV	ORCU	F		6,69	3,39	3,97	6,94	5,09	
G-ZC-F-13155	G-95	ZC	312	A1	FASE IV	ORCU	F	6,95	7,54	3,78	4,19	7,02		
G-ZC-F-13156	G-95	ZC	312	A1	FASE IV	ORCU	F	7,32	7,03	3,46	4,35	6,56	5,25	
G-ZC-F-13157	G-95	ZC	312	A1	FASE IV	ORCU	F	7,10	6,80	3,67	4,06	6,79	5,17	
G-ZC-F-13158	G-95	ZC	312	A1	FASE IV	ORCU	F	7,22	6,87	3,40	4,35	7,11	5,21	
G-ZC-F-13159	G-95	ZC	312	A1	FASE IV	ORCU	F	7,05	6,88	3,07	4,15	6,79	5,28	
G-ZC-F-11450	G-95	ZC	212	A1	FASE IV	ORCU	PF	7,42	7,00	3,95	4,40	6,76	5,48	
G-ZC-F-11159	G-95	ZC	211	A1	FASE IV	ORCU	NF			3,50	4,46	7,27	5,37	
G-ZC-F-12818	G-95	ZC	306	A1	FASE IV	ORCU	NF		6,74	2,88	3,82	6,48	4,82	
G-ZC-F-11158	G-95	ZC	211	A1	FASE IV	ORCU	_			3,29	4,24	6,46	5,08	
G-ZC-F-12816	G-95	ZC	306	A1	FASE IV	ORCU	_		6,77	3,81	3,95	6,72	5,01	
G-ZC-F-12817	G-95	ZC	306	A1	FASE IV	ORCU	_					5,92	4,69	
G-ZC-F-12897	G-95	ZC	306	A1	FASE IV	ORCU	_		7,01	2,92	3,93	6,34	5,10	

PEL									LA	LAB	Hmrl	Amrl
G-ZC-F-12575	G-95	ZC	116	A1	FASE I	ORCU	F	8,49	7,06	6,98	4,06	
G-ZC-F-12632	G-95	ZC	116	A1	FASE I	ORCU	F	8,98	7,10			
G-ZC-F-12475	G-95	ZC	216	A1	FASE I	ORCU	F	9,27	7,37	6,70	4,37	
G-ZC-F-12492	G-95	ZC	216	A1	FASE I	ORCU	F	9,07	7,12	6,24	4,02	
G-ZC-F-12497	G-95	ZC	216	A1	FASE I	ORCU	F	9,04	7,48	7,34	4,53	
G-ZC-F-12513	G-95	ZC	216	A1	FASE I	ORCU	F	8,48	7,11			
G-MS-F-2251	G-01	4	13	A2	FASE I	ORCU	F	7,83	7,05			
G-MS-F-1564	G-01	5	3	A1	FASE I	ORCU	F	8,77	7,81	6,85	4,42	
G-MS-F-1880	G-01	5	4	A1	FASE I	ORCU	F			6,04	3,47	
G-MS-F-0459	G-01	19	17	A2	FASE I	ORCU	F			6,74	4,05	
G-MS-F-0537	G-01	19	17	A2	FASE I	ORCU	F	9,30	7,89	6,07	4,35	
G-MS-F-0541	G-01	19	17	A2	FASE I	ORCU	F	7,73	6,98	6,16	4,31	
G-MS-F-0542	G-01	19	17	A2	FASE I	ORCU	F	8,51	7,00	6,51	3,95	
G-MS-F-0597	G-01	19	17	A2	FASE I	ORCU	F	8,57	7,64		3,29	
G-MS-F-0734	G-01	19	17	A2	FASE I	ORCU	F	8,52	7,96	7,37	4,34	
G-MS-F-0736	G-01	19	17	A2	FASE I	ORCU	F	8,14	7,45	7,02	3,64	
G-MS-F-0733	G-01	19	17	A2	FASE I	ORCU	_			6,48	3,89	
G-ZC-F-12245	G-95	ZC	114	A2	FASE II	ORCU	F	8,48	6,67	6,80	3,67	
G-ZC-F-11807	G-95	ZC	214	A2	FASE II	ORCU	F			7,03	4,37	
G-ZC-F-11808	G-95	ZC	214	A2	FASE II	ORCU	F			6,77	3,45	
G-ZC-F-11945	G-95	ZC	214	A4	FASE II	ORCU	F	7,97	7,05	7,05	3,84	
G-ZC-F-13014	G-95	ZC	307	A1	FASE II	ORCU	F	8,49	7,31	6,54	4,15	
G-ZC-F-12037	G-95	ZC	314	A1	FASE II	ORCU	F	8,80	7,03			
G-ZC-F-12041	G-95	ZC	314	A1	FASE II	ORCU	F	8,34	7,31	6,82	4,40	
G-ZC-F-12095	G-95	ZC	314	A2	FASE II	ORCU	F	8,90	7,37	7,64	4,58	
G-MS-F-1370	G-01	2	2	A2	FASE II	ORCU	F	8,34	6,89	6,57	3,70	
G-MS-F-1374	G-01	2	2	A2	FASE II	ORCU	F	8,72	7,08	7,28	4,01	
G-MS-F-1401	G-01	2	3	A1 C.1	FASE II	ORCU	F	8,91	7,83	6,57	3,53	
G-MS-F-0037	G-01	19	7	A1	FASE II	ORCU	F	8,40	7,14	6,70	4,32	
G-MS-F-0240	G-01	19	7	A3	FASE II	ORCU	F	8,46	7,18	7,46	4,89	
G-MS-F-2028	G-01	19	16	A1 ESTE	FASE II	ORCU	F	8,96	7,66	6,91	4,17	
G-ZC-F-12296	G-95	ZC	114	A2	FASE II	ORCU	_			6,46	3,41	
G-ZC-F-13598	G-95	ZC	11	A1	FASE I-II	ORCU	F	8,82	7,78	6,76	4,20	
G-ZC-F-12422	G-95	ZC	115	A2	FASE II	ORCU	F	8,63	6,94	6,63	4,47	

PEL									LA	LAB	Hmrl	Amrl
	G-ZC-F-13512	G-95	ZC	315	A2	FASE I-II	ORCU	F			7,32	4,27
	G-ZC-F-13507	G-95	ZC	315	A2	FASE I-II	ORCU	F	8,59	7,53	7,13	4,22
	G-ZC-F-11508	G-95	ZC	213	A1	FASE III	ORCU	F			6,64	3,74
	G-ZC-F-11547	G-95	ZC	213	A3	FASE III	ORCU	F			6,28	4,29
	G-ZC-F-11572	G-95	ZC	213	A3	FASE III	ORCU	F	8,34	7,05	6,92	4,13
	G-ZC-F-11983	G-95	ZC	215	B2a	FASE III	ORCU	F	8,41	7,64	6,91	4,06
	G-ZC-F-11164	G-95	ZC	211	A1	FASE IV	ORCU	F	8,65	6,88		
	G-ZC-F-11268	G-95	ZC	211	A1	FASE IV	ORCU	F	9,36	7,60	7,26	4,48
	G-ZC-F-11416	G-95	ZC	212	A1	FASE IV	ORCU	F	8,08	7,01	7,07	4,42
	G-ZC-F-12878	G-95	ZC	306	A1	FASE IV	ORCU	F	8,79	7,33	6,76	4,18
	G-ZC-F-12880	G-95	ZC	306	A1	FASE IV	ORCU	F	8,63	7,45	6,66	4,24
	G-ZC-F-12882	G-95	ZC	306	A1	FASE IV	ORCU	F	7,89	6,47	6,37	3,77
	G-ZC-F-12883	G-95	ZC	306	A1	FASE IV	ORCU	F	8,16	6,75	6,46	3,80
	G-ZC-F-12885	G-95	ZC	306	A1	FASE IV	ORCU	F	8,46	7,06	6,24	4,37
	G-ZC-F-12886	G-95	ZC	306	A1	FASE IV	ORCU	F	8,51	7,03	7,15	4,03
	G-ZC-F-12887	G-95	ZC	306	A1	FASE IV	ORCU	F	8,74	6,87	6,28	3,68
	G-ZC-F-12888	G-95	ZC	306	A1	FASE IV	ORCU	F			6,87	3,92
	G-ZC-F-13484	G-95	ZC	310	A2	FASE IV	ORCU	F			6,78	4,01
	G-ZC-F-13480	G-95	ZC	310	A2	FASE IV	ORCU	F	8,31	6,86	6,74	3,89
	G-ZC-F-13367	G-95	ZC	311	A1	FASE IV	ORCU	F			6,56	3,65
	G-ZC-F-13402	G-95	ZC	311	A1	FASE IV	ORCU	F	8,39	7,00		
	G-ZC-F-13116	G-95	ZC	312	A1	FASE IV	ORCU	F	8,83	6,80	6,55	4,00
	G-ZC-F-13117	G-95	ZC	312	A1	FASE IV	ORCU	F	7,46	6,67	7,06	4,05
	G-ZC-F-13118	G-95	ZC	312	A1	FASE IV	ORCU	F			6,37	3,50
	G-ZC-F-12881	G-95	ZC	306	A1	FASE IV	ORCU	—			7,30	4,00
	G-ZC-F-13401	G-95	ZC	311	A1	FASE IV	ORCU	—			6,81	3,90
	G-MS-F-2266	G-01	4	17	A1	FASE III-IV	ORCU	F	7,78	6,65		
	G-MS-F-2265	G-01	4	17	A1	FASE III-IV	ORCU	F	7,84	6,33		
	G-MS-F-1068	G-01	19	10	A1	FASE III-IV	ORCU	F	9,20	7,01	7,28	4,35
	G-ZC-F-13722	G-95	ZC	401	A1		ORCU	F			7,30	3,73

FE									Ap	AC	ATr	aPC	AD	Ad	ATd
	G-MS-F-1289	G-01	19	15	A2	FASE I	ORCU	F					6,55	11,87	5,83
	G-MS-F-1291	G-01	19	15	A2	FASE I	ORCU	F	16,91	6,58	15,93	6,77	6,49		
	G-MS-F-0388	G-01	19	17	A2	FASE I	ORCU	F		6,67	13,15	6,71	6,31		
	G-ZC-F-12584	G-95	ZC	116	A1	FASE I	ORCU	PF				6,30			
	G-MS-F-0365	G-01	19	17	A1 SE	FASE I	ORCU	PF		9,12	8,24	8,05			
	G-MS-F-0731	G-01	19	17	A2	FASE I	ORCU	PF	12,49	6,78	12,93	6,25			
	G-MS-F-0732	G-01	19	17	A2	FASE I	ORCU	NF			13,01		3,96		
	G-MS-F-0513	G-01	19	17	A2	FASE I	ORCU	NF			14,07				
	G-ZC-F-12500	G-95	ZC	216	A1	FASE I	ORCU	—					5,21		
	G-ZC-F-12266	G-95	ZC	114	A2	FASE II	ORCU	F	14,50	6,12		6,58	5,82		
	G-ZC-F-12040	G-95	ZC	314	A1	FASE II	ORCU	F	16,15	6,86	16,14	7,13	5,74		
	G-ZC-F-12091	G-95	ZC	314	A2	FASE II	ORCU	F			14,07	6,37	6,03		
	G-MS-F-1427	G-01	2	3	A1 C.2	FASE II	ORCU	F	14,38	6,63		6,07	6,21		
	G-MS-F-0080	G-01	19	7	A1	FASE II	ORCU	F	14,42	6,73	14,07	5,59	6,49		
	G-ZC-F-12267	G-95	ZC	114	A2	FASE II	ORCU	PF		6,83		6,52	5,93		
	G-ZC-F-12092	G-95	ZC	314	A2	FASE II	ORCU	PF						12,21	5,80
	G-ZC-F-12262	G-95	ZC	114	A2	FASE II	ORCU	NF					5,73		
	G-MS-F-0321	G-01	19	7	A5	FASE II	ORCU	NF	12,93		13,82		6,34		
	G-MS-F-0170	G-01	19	7	A3	FASE II	ORCU	—					6,20		
	G-ZC-F-12441	G-95	ZC	115	A4	FASE II	ORCU	F						13,27	5,68
	G-ZC-F-12384	G-95	ZC	115	A1	FASE II	ORCU	PF						13,11	5,62
	G-ZC-F-13432	G-95	ZC	308	A1	FASE I-II	ORCU	PF						11,40	5,58
	G-ZC-F-11556	G-95	ZC	213	A3	FASE III	ORCU	F	15,27	5,93	14,75	6,90	5,62		
	G-ZC-F-11978	G-95	ZC	215	B2a	FASE III	ORCU	F		6,15		6,94			
	G-ZC-F-11504	G-95	ZC	213	A1	FASE III	ORCU	PF							4,95
	G-ZC-F-11568	G-95	ZC	213	A3	FASE III	ORCU	PF						12,88	5,81
	G-ZC-F-11039	G-95	ZC	211	A1	FASE IV	ORCU	F		6,17		6,46			
	G-ZC-F-12865	G-95	ZC	306	A1	FASE IV	ORCU	F						13,06	5,97
	G-ZC-F-11145	G-95	ZC	211	A1	FASE IV	ORCU	PF	15,15	6,87	13,56	6,95			
	G-ZC-F-11411	G-95	ZC	212	A1	FASE IV	ORCU	PF						12,35	5,42

FE									Ap	AC	ATr	aPC	AD	Ad	ATd
	G-ZC-F-11412	G-95	ZC	212	A1	FASE IV	ORCU	PF	14,83	6,24	14,57	6,93			
	G-ZC-F-11414	G-95	ZC	212	A1	FASE IV	ORCU	PF						13,41	5,07
	G-ZC-F-12864	G-95	ZC	306	A1	FASE IV	ORCU	PF						13,13	5,76
	G-ZC-F-12867	G-95	ZC	306	A1	FASE IV	ORCU	PF	15,40	5,96	16,01	6,66			
	G-ZC-F-13354	G-95	ZC	311	A1	FASE IV	ORCU	PF	15,02	6,82	13,85	6,01			
	G-ZC-F-13398	G-95	ZC	311	A1	FASE IV	ORCU	PF		6,59		6,38			
	G-ZC-F-13264	G-95	ZC	311	A2	FASE IV	ORCU	PF						12,56	3,85
	G-ZC-F-11162	G-95	ZC	211	A1	FASE IV	ORCU	NF						11,56	5,15
	G-ZC-F-12898	G-95	ZC	306	A1	FASE IV	ORCU	NF			13,37		5,27		
	G-ZC-F-12868	G-95	ZC	306	A1	FASE IV	ORCU	_					5,86		
	G-ZC-F-12899	G-95	ZC	306	A1	FASE IV	ORCU	_			14,55	5,60			
	G-MS-F-0921	G-01	19	5	A2	FASE III-IV	ORCU	F						12,76	5,92

TI									LM	Ap	APp	AD	Ad	aPd	ASd
	G-ZC-F-12570	G-95	ZC	116	A1	FASE I	ORCU	F				5,08	10,63	5,84	8,65
	G-MS-F-2240	G-01	4	13	A2	FASE I	ORCU	F		12,51	11,74				
	G-MS-F-2241	G-01	4	13	A2	FASE I	ORCU	F				4,73	10,69	5,33	8,14
	G-MS-F-2242	G-01	4	13	A2	FASE I	ORCU	F					10,33	5,71	8,22
	G-MS-F-1565	G-01	5	3	A1	FASE I	ORCU	F				4,65	10,61	5,73	8,26
	G-MS-F-1575	G-01	5	3	A1	FASE I	ORCU	F		12,99	12,11				
	G-MS-F-1585	G-01	5	3	A1	FASE I	ORCU	F					11,40	5,83	9,23
	G-MS-F-1660	G-01	5	3	A1	FASE I	ORCU	F				4,42	10,21	5,22	8,28
	G-MS-F-0430	G-01	19	17	A2	FASE I	ORCU	F				5,44	10,89	5,88	9,21
	G-MS-F-0501	G-01	19	17	A2	FASE I	ORCU	F					10,66	5,45	8,58
	G-MS-F-0504	G-01	19	17	A2	FASE I	ORCU	F				5,12	10,19	6,38	9,03
	G-MS-F-0512	G-01	19	17	A2	FASE I	ORCU	F		13,71	13,87				
	G-MS-F-0544	G-01	19	17	A2	FASE I	ORCU	F				5,09	10,62	5,73	8,23
	G-MS-F-0554	G-01	19	17	A2	FASE I	ORCU	F		14,20	13,36	4,98			
	G-MS-F-0674	G-01	19	17	A2	FASE I	ORCU	F	87,34	13,15	13,19	4,99	10,50	5,80	8,39
	G-MS-F-0701	G-01	19	17	A2	FASE I	ORCU	F		13,30					
	G-ZC-F-12573	G-95	ZC	116	A1	FASE I	ORCU	PF				4,76	10,05	5,54	7,74
	G-MS-F-1942	G-01	18	2	A1	FASE I	ORCU	PF					10,21	6,36	
	G-MS-F-0589	G-01	19	17	A2	FASE I	ORCU	PF				4,73	10,38	5,25	8,22
	G-ZC-F-12574	G-95	ZC	116	A1	FASE I	ORCU	_				4,66			
	G-MS-F-0563	G-01	19	17	A2	FASE I	ORCU	_				5,21			
	G-ZC-F-12260	G-95	ZC	114	A2	FASE II	ORCU	F			12,93				
	G-ZC-F-11811	G-95	ZC	214	A2	FASE II	ORCU	F				5,39	11,03	5,73	8,92
	G-ZC-F-11825	G-95	ZC	214	A2	FASE II	ORCU	F				5,11	10,62	6,03	8,41
	G-ZC-F-12142	G-95	ZC	314	A2	FASE II	ORCU	F		13,25	13,07				
	G-ZC-F-12203	G-95	ZC	314	A2	FASE II	ORCU	F		13,79	13,30				
	G-MS-F-1925	G-01	15	1	A1	FASE II	ORCU	F				5,06	10,07	5,74	8,79
	G-MS-F-0211	G-01	19	7	A3	FASE II	ORCU	F		12,70	13,28				
	G-MS-F-0300	G-01	19	7	A4	FASE II	ORCU	F				4,89	9,94	5,36	8,87
	G-MS-F-1073	G-01	19	13	A1	FASE II	ORCU	F				4,86	11,30	5,72	8,71
	G-MS-F-2048	G-01	19	16	A1 ESTE	FASE II	ORCU	F				4,79	10,84	6,07	8,45
	G-ZC-F-12370	G-95	ZC	114	A1	FASE II	ORCU	PF				4,59	10,25	5,57	8,61
	G-ZC-F-12094	G-95	ZC	314	A2	FASE II	ORCU	PF	88,66		13,06	5,02	10,65	5,70	8,68
	G-ZC-F-12241	G-95	ZC	114	A2	FASE II	ORCU	_				4,87			
	G-MS-F-2015	G-01	19	16	A1 ESTE	FASE II	ORCU	_				4,65			
	G-ZC-F-13560	G-95	ZC	11	A1	FASE I-II	ORCU	F				5,72	11,85	6,94	9,33
	G-ZC-F-13561	G-95	ZC	11	A1	FASE I-II	ORCU	F				5,56	11,24	6,03	8,85
	G-ZC-F-12459	G-95	ZC	115	A4	FASE II	ORCU	F					10,98	5,83	8,34
	G-ZC-F-12473	G-95	ZC	115	B1	FASE II	ORCU	F				5,10	10,90	6,67	8,37
	G-ZC-F-12947	G-95	ZC	315	A1	FASE I-II	ORCU	F			13,52				
	G-ZC-F-12396	G-95	ZC	115	A1	FASE II	ORCU	PF			12,91	13,16			
	G-ZC-F-13685	G-95	ZC	11	A1	FASE I-II	ORCU	_				4,64			
	G-ZC-F-13516	G-95	ZC	315	A2	FASE I-II	ORCU	_				4,59			
	G-ZC-F-11565	G-95	ZC	213	A3	FASE III	ORCU	PF			12,77				
	G-ZC-F-11986	G-95	ZC	215	B2a	FASE III	ORCU	PF		13,75	14,49				
	G-ZC-F-13288	G-95	ZC	313	A1	FASE III	ORCU	F		12,91	13,28				
	G-ZC-F-11202	G-95	ZC	211	A1	FASE IV	ORCU	F					10,69	5,70	8,57
	G-ZC-F-11421	G-95	ZC	212	A1	FASE IV	ORCU	F					10,84	6,14	8,26

TI									LM	Ap	APp	AD	Ad	aPd	ASd
	G-ZC-F-12824	G-95	ZC	306	A1	FASE IV	ORCU	F		13,48	12,81				
	G-ZC-F-12829	G-95	ZC	306	A1	FASE IV	ORCU	F				5,25			
	G-ZC-F-12830	G-95	ZC	306	A1	FASE IV	ORCU	F				5,03		5,33	8,63
	G-ZC-F-12839	G-95	ZC	306	A1	FASE IV	ORCU	F				4,91	11,11	5,53	8,45
	G-ZC-F-12894	G-95	ZC	306	A1	FASE IV	ORCU	F	87,33		12,43	4,99	10,79	5,88	8,52
	G-ZC-F-12895	G-95	ZC	306	A1	FASE IV	ORCU	F			12,10				
	G-ZC-F-13537	G-95	ZC	309	A1	FASE IV	ORCU	F		12,75	13,98				
	G-ZC-F-13349	G-95	ZC	311	A1	FASE IV	ORCU	F		12,43	12,63				
	G-ZC-F-13361	G-95	ZC	311	A1	FASE IV	ORCU	F		13,33	13,39				
	G-ZC-F-13353	G-95	ZC	311	A1	FASE IV	ORCU	F				5,02			
	G-ZC-F-13350	G-95	ZC	311	A1	FASE IV	ORCU	F				5,58	11,77	6,33	8,71
	G-ZC-F-13380	G-95	ZC	311	A1	FASE IV	ORCU	F				5,22	10,73	5,76	8,50
	G-ZC-F-13162	G-95	ZC	312	A1	FASE IV	ORCU	F				4,51	10,39	5,57	8,17
	G-ZC-F-13165	G-95	ZC	312	A1	FASE IV	ORCU	F				4,91	10,51	5,88	8,41
	G-ZC-F-13167	G-95	ZC	312	A1	FASE IV	ORCU	F			13,06				
	G-ZC-F-11160	G-95	ZC	211	A1	FASE IV	ORCU	PF		12,64	13,07	4,74			
	G-ZC-F-11415	G-95	ZC	212	A1	FASE IV	ORCU	PF		12,58	13,48				
	G-ZC-F-12724	G-95	ZC	306	A1	FASE IV	ORCU	PF	85,81		13,10	4,70	10,60	5,87	8,32
	G-ZC-F-12823	G-95	ZC	306	A1	FASE IV	ORCU	PF	88,89	13,35		5,39	11,13	5,96	8,87
	G-ZC-F-12828	G-95	ZC	306	A1	FASE IV	ORCU	PF	89,75	13,40	13,56	5,30	11,73	5,91	8,82
	G-ZC-F-13163	G-95	ZC	312	A1	FASE IV	ORCU	PF				5,01	10,76	5,65	8,54
	G-ZC-F-13164	G-95	ZC	312	A1	FASE IV	ORCU	PF				4,91		5,61	8,37
	G-ZC-F-12892	G-95	ZC	306	A1	FASE IV	ORCU	NF				4,93			
	G-ZC-F-13383	G-95	ZC	311	A1	FASE IV	ORCU	NF				5,38			
	G-ZC-F-12833	G-95	ZC	306	A1	FASE IV	ORCU	-				4,98			
	G-ZC-F-13400	G-95	ZC	311	A1	FASE IV	ORCU	-				4,69			
	G-MS-F-2106	G-01		1	A5 TX	-	ORCU	-			13,51	5,83			
	G-MS-F-2110	G-01		1	A5 TX	-	ORCU	F				5,28	11,45	6,16	8,99

CAL									LM	AM	aPM
	G-ZC-F-12551	G-95	ZC	216	A1	FASE I	ORCU	F	21,35	7,83	6,89
	G-MS-F-1596	G-01	5	3	A1	FASE I	ORCU	F	20,20	6,99	7,20
	G-MS-F-1582	G-01	5	3	A1	FASE I	ORCU	F	19,80	6,42	5,90
	G-MS-F-0575	G-01	19	17	A2	FASE I	ORCU	F	19,45	7,45	7,13
	G-MS-F-0579	G-01	19	17	A2	FASE I	ORCU	F	21,45	8,82	7,42
	G-MS-F-0678	G-01	19	17	A2	FASE I	ORCU	F	19,57	7,47	6,45
	G-MS-F-0813	G-01	19	17	A2	FASE I	ORCU	F		9,08	7,35
	G-ZC-F-12512	G-95	ZC	216	A1	FASE I	ORCU	PF	19,70	7,73	7,88
	G-MS-F-0477	G-01	19	17	A2	FASE I	ORCU	PF	20,05	7,82	7,10
	G-ZC-F-12093	G-95	ZC	314	A2	FASE II	ORCU	F	22,73	7,53	7,49
	G-MS-F-1346	G-01	2	1	A1 C.1	FASE II	ORCU	F	21,34	7,37	7,25
	G-ZC-F-12463	G-95	ZC	115	A4	FASE II	ORCU	F	20,06	5,81	6,52
	G-ZC-F-11221	G-95	ZC	211	A1	FASE IV	ORCU	F	22,20	6,68	7,76
	G-ZC-F-11070	G-95	ZC	211	A1	FASE IV	ORCU	PF	20,43	7,41	7,51
	G-MS-F-0927	G-01	19	5	A1	FASE III-IV	ORCU	F	20,37	7,54	7,02
	G-MS-F-0948	G-01	19	5	A1	FASE III-IV	ORCU	F	21,00		7,21

MT II									LM	Ap	aPp	AD	Ad	ASd	aPd	aPSd
	G-ZC-F-12525	G-95	ZC	216	A1	FASE I	ORCU		31,72	5,47			4,28			
	G-ZC-F-12595	G-95	ZC	116	A1	FASE I	ORCU		33,55	5,29			4,48			
	G-MS-F-2248	G-01	4	13	A2	FASE I	ORCU		32,71	5,72			4,35			
	G-MS-F-0414	G-01	19	17	A2	FASE I	ORCU			5,17						
	G-ZC-F-12256	G-95	ZC	114	A2	FASE II	ORCU		31,21	5,03			4,07			
	G-ZC-F-13313	G-95	ZC	313	A1	FASE III	ORCU		32,90	5,13			4,31			
	G-MS-F-0944	G-01	19	5	A1	FASE III-IV	ORCU			5,07			4,39			

MT III									LM	Ap	aPp	AD	Ad	ASd	aPd	aPSd
	G-MS-F-1103	G-01	19	17	A1	FASE I	ORCU			5,73						
	G-MS-F-0411	G-01	19	17	A2	FASE I	ORCU		31,42	5,13			3,97			
	G-MS-F-1572	G-01	5	3	A1	FASE I	ORCU			5,61						
	G-MS-F-2246	G-01	4	13	A2	FASE I	ORCU		33,73	5,73			4,25			
	G-MS-F-0942	G-01	19	5	A1	FASE III-IV	ORCU			5,26						

MT IV									LM	Ap	aPp	AD	Ad	ASd	aPd	aPSd
	G-MS-F-2249	G-01	4	13	A2	FASE I	ORCU		32,61	4,08			4,15			
	G-MS-F-2250	G-01	4	13	A2	FASE I	ORCU		30,36	3,75			3,73			
	G-MS-F-0399	G-01	19	17	A2	FASE I	ORCU			3,89						
	G-MS-F-1463	G-01	2	3	A1 C.2	FASE II	ORCU		29,75	3,75			3,94			

MT V									LM	Ap	aPp	AD	Ad	ASd	aPd	aPSd
	G-MS-F-0462	G-01	19	17	A2	FASE I	ORCU		28,51	4,98			3,63			
	G-MS-F-0634	G-01	19	17	A2	FASE I	ORCU		26,72	4,87			3,54			
	G-MS-F-1437	G-01	2	3	A1 C.2	FASE II	ORCU			4,91						
	G-ZC-F-11581	G-95	ZC	213	T39	FASE III	ORCU		26,74	3,91			3,67			

FA1									LMpe	Ap	ASp	APp	AD	Ad	APd
	G-MS-F-0756	G-01	19	17	A2	FASE I	ORCU		14,91	4,27		3,24	2,44	2,99	2,57
	G-MS-F-0774	G-01	19	17	A2	FASE I	ORCU		16,76	3,90		3,30	2,46	3,17	2,53

MD									1	2	3	4	5	6	7*
	G-ZC-F-12507	G-95	ZC	216	A1	FASE I	ORCU					15,72			9,31
	G-MS-F-1550	G-01	5	3	A1	FASE I	ORCU					17,02			9,72
	G-MS-F-0442	G-01	19	17	A2	FASE I	ORCU			13,97	28,84	14,87			
	G-MS-F-0445	G-01	19	17	A2	FASE I	ORCU			13,36	28,72	14,50			
	G-MS-F-0522	G-01	19	17	A2	FASE I	ORCU			14,42					
	G-MS-F-0523	G-01	19	17	A2	FASE I	ORCU			13,76	29,24	15,72			
	G-MS-F-0524	G-01	19	17	A2	FASE I	ORCU			13,12	26,83	14,41			8,64
	G-MS-F-0786	G-01	19	17	A2	FASE I	ORCU					15,25			9,24
	G-MS-F-0787	G-01	19	17	A2	FASE I	ORCU					13,16			8,71
	G-ZC-F-12359	G-95	ZC	114	A1	FASE II	ORCU			14,36	29,61	15,67			8,99
	G-ZC-F-12360	G-95	ZC	114	A1	FASE II	ORCU			16,03		14,76			9,35
	G-ZC-F-11633	G-95	ZC	214	A1	FASE II	ORCU			14,90	29,63	15,36			9,61
	G-ZC-F-11804	G-95	ZC	214	A2	FASE II	ORCU					17,81			9,91
	G-ZC-F-11805	G-95	ZC	214	A2	FASE II	ORCU					15,63			8,42
	G-ZC-F-11806	G-95	ZC	214	A2	FASE II	ORCU					17,93			9,58
	G-ZC-F-11932	G-95	ZC	214	A4	FASE II	ORCU					16,33			8,91
	G-ZC-F-12042	G-95	ZC	314	A1	FASE II	ORCU			13,51	29,54	15,32			9,39
	G-ZC-F-12048	G-95	ZC	314	A1	FASE II	ORCU					16,27			8,79
	G-ZC-F-12097	G-95	ZC	314	A2	FASE II	ORCU					16,86			9,45
	G-MS-F-1486	G-01	2	3	A1 C.3	FASE II	ORCU					13,26			9,99
	G-MS-F-0014	G-01	19	7	A1	FASE II	ORCU			14,44	28,44	14,71			9,55
	G-MS-F-0120	G-01	19	7	A2	FASE II	ORCU			14,71	31,79	17,90			
	G-MS-F-0167	G-01	19	7	A3	FASE II	ORCU					14,84			8,88
	G-MS-F-1219	G-01	19	8	B1	FASE II	ORCU					14,79			
	G-ZC-F-13315	G-95	ZC	313	A1	FASE III	ORCU					17,30			8,34
	G-ZC-F-13546	G-95	ZC	210	B4	FASE IV	ORCU					16,65			9,59
	G-ZC-F-11084	G-95	ZC	211	A1	FASE IV	ORCU					17,57			8,37
	G-ZC-F-12840	G-95	ZC	306	A1	FASE IV	ORCU			13,80	28,93	15,42	33,20	32,59	9,37
	G-ZC-F-12841	G-95	ZC	306	A1	FASE IV	ORCU			14,11					
	G-ZC-F-12842	G-95	ZC	306	A1	FASE IV	ORCU			13,65	29,68	15,95			9,36
	G-ZC-F-12844	G-95	ZC	306	A1	FASE IV	ORCU					15,46			9,53
	G-ZC-F-12845	G-95	ZC	306	A1	FASE IV	ORCU			14,91	31,28	17,06			10,18
	G-ZC-F-12846	G-95	ZC	306	A1	FASE IV	ORCU			14,05	31,05	16,83			9,38
	G-ZC-F-12847	G-95	ZC	306	A1	FASE IV	ORCU			14,22	29,94	16,17			9,90
	G-ZC-F-12848	G-95	ZC	306	A1	FASE IV	ORCU					14,84			9,31
	G-ZC-F-12849	G-95	ZC	306	A1	FASE IV	ORCU			13,91	28,93	15,75	33,91	32,82	9,28
	G-ZC-F-12850	G-95	ZC	306	A1	FASE IV	ORCU			13,78	29,70	15,86			9,64
	G-ZC-F-12851	G-95	ZC	306	A1	FASE IV	ORCU			14,54					
	G-ZC-F-12901	G-95	ZC	306	A1	FASE IV	ORCU			13,99	26,72	13,12	27,57	26,41	8,33
	G-ZC-F-12902	G-95	ZC	306	A1	FASE IV	ORCU			14,12	30,67	16,64			8,79
	G-ZC-F-12903	G-95	ZC	306	A1	FASE IV	ORCU			14,79	31,81	17,33			9,24
	G-ZC-F-12904	G-95	ZC	306	A1	FASE IV	ORCU			11,44					8,16
	G-ZC-F-13343	G-95	ZC	311	A1	FASE IV	ORCU			14,31	31,35	17,04			8,95
	G-ZC-F-13413	G-95	ZC	311	A1	FASE IV	ORCU			12,47	26,82	14,35			9,51
	G-ZC-F-13389	G-95	ZC	311	A1	FASE IV	ORCU					16,32			9,25



MD									1	2	3	4	5	6	7*
G-ZC-F-13238	G-95	ZC	311	A1	FASE IV	ORCU						15,95			10,17
G-ZC-F-13408	G-95	ZC	311	A1	FASE IV	ORCU			12,21	24,87	12,66				8,72
G-ZC-F-13148	G-95	ZC	312	A1	FASE IV	ORCU			13,83	30,50	17,06				8,84
G-ZC-F-13149	G-95	ZC	312	A1	FASE IV	ORCU					17,31				9,15
G-ZC-F-13150	G-95	ZC	312	A1	FASE IV	ORCU			14,29	30,13	16,08				9,09
G-MS-F-2267	G-01	4	17	A1	FASE III-IV	ORCU					15,49				8,52
G-MS-F-0980	G-01	19	5	A1	FASE III-IV	ORCU					16,95				9,40
G-ZC-F-13728	G-95	ZC	401	A2		ORCU			14,03	30,14	16,11				9,32
G-MS-F-2112	G-01		1	A5 TX		ORCU			12,78	28,53	15,96				10,23

CR									9	11	20**
G-MS-F-0532	G-01	19	17	A2	FASE I	ORCU			13,81		7,92
G-MS-F-0820	G-01	19	17	A2	FASE I	ORCU				4,94	
G-ZC-F-12096	G-95	ZC	314	A2	FASE II	ORCU			14,87	5,71	8,84
G-MS-F-0125	G-01	19	7	A2	FASE II	ORCU			14,57	5,68	7,95
G-MS-F-0158	G-01	19	7	A3	FASE II	ORCU			12,85		5,87
G-ZC-F-12853	G-95	ZC	306	A1	FASE IV	ORCU			13,29	5,50	5,99
G-ZC-F-12854	G-95	ZC	306	A1	FASE IV	ORCU			14,29		7,51
G-ZC-F-12855	G-95	ZC	306	A1	FASE IV	ORCU					6,67
G-ZC-F-12856	G-95	ZC	306	A1	FASE IV	ORCU			14,52		7,64
G-ZC-F-12900	G-95	ZC	306	A1	FASE IV	ORCU			13,86	5,75	6,71
G-ZC-F-13423	G-95	ZC	311	A1	FASE IV	ORCU			13,43	5,82	6,82
G-ZC-F-13357	G-95	ZC	311	A1	FASE IV	ORCU				3,99	6,46
G-ZC-F-13255	G-95	ZC	311	A2	FASE IV	ORCU			13,94	6,50	

\* La dimensión número 7 de la MD corresponde a la altura del diastema (Jones 2005). El resto de dimensiones de este hueso son las recogidas por Driesch (1976: Fig. 25).

\*\* La dimensión número 20 del CR es la anchura del hueso zigomático en su cara oral. El resto corresponde a la numeración las propuestas por Driesch (1976: Fig. 18b).

#### **Anexo 4. Cálculo de altura de la cruz a partir de datos biométricos publicados**





## Cálculo de altura de la cruz de *Bos taurus*

Yacimiento	Fase	Especie	Sexo	Hueso	LM (mm)	Factor	h Cruz (cm)	Bibliografía datos biométricos
Acinipo	Bronce	BOTA		R	252	4,3	108,4	Riquelme (1990)
Arenal de la Costa	Calcolítico	BOTA	HEMBRA	MC	184	6	110,4	Martínez Valle (1993)
Arenal de la Costa	Calcolítico	BOTA	MACHO	MC	190	6,25	118,8	Martínez Valle (1993)
Cabezo de San Pedro	Púnico	BOTA	?	MC	185	5,75	106,4	Driesch (1973)
Cabezo de San Pedro	Púnico	BOTA	HEMBRA	MC	181,5	6	108,9	Driesch (1973)
Castillejos de Montefrío	Cobre	BOTA	HEMBRA	MT	197,5	5,28	104,3	Ziegler (1990)
Castillejos de Montefrío	Cobre	BOTA	HEMBRA	MC	179	6,05	108,3	Ziegler (1990)
Castillejos de Montefrío	Neolítico/Cobre	BOTA	HEMBRA	MC	181	6,05	109,5	Ziegler (1990)
Cerro de la Encina	?	BOTA	HEMBRA	MT	210,5	5,35	112,6	Friesch (1987) cita a Lauk (1976)
Cerro de la Encina	?	BOTA	HEMBRA	MT	210,5	5,35	112,6	Lauk (1976)
Cerro de la Encina	Argar	BOTA		HU	251	4,77	119,7	Friesch (1987)
Cerro de la Encina	Argar	BOTA	CASTRADO ?	MC	197,5	6,13	121,1	Friesch (1987)
Cerro de la Encina	Argar	BOTA	CASTRADO ?	MC	198	6,13	121,4	Friesch (1987)
Cerro de la Encina	Argar	BOTA	MACHO	MC	167,5	6,25	104,7	Friesch (1987) cita a Lauk (1976)
Cerro de la Encina	Argar	BOTA	MACHO	MC	167,5	6,25	104,7	Lauk (1976)
Cerro de la Encina	Argar	BOTA	CASTRADO ?	MT	222	5,45	121,0	Friesch (1987)
Cerro de la Encina	Argar	BOTA	MACHO ?	MT	192	5,55	106,6	Friesch (1987) cita a Lauk (1976)
Cerro de la Encina	Argar	BOTA	MACHO ?	MT	192	5,55	106,6	Lauk (1976)
Cerro de la Encina	Argar	BOTA		R	222,5	4,3	95,7	Friesch (1987)
Cerro de la Encina	Argar	BOTA		R	265	4,3	114,0	Friesch (1987)
Cerro de la Encina	Argar	BOTA		R	230	4,3	98,9	Friesch (1987)
Cerro de la Encina	Argar	BOTA		TI	302	3,45	104,2	Friesch (1987)
Cerro de la Encina	Bronce Final	BOTA	HEMBRA	MC	183	6	109,8	Friesch (1987)
Cerro de la Encina	Bronce Final	BOTA	HEMBRA	MC	186	6	111,6	Friesch (1987)
Cerro de la Encina	Bronce Final	BOTA	HEMBRA	MC	168	6	100,8	Friesch (1987) cita a Lauk (1976)
Cerro de la Encina	Bronce Final	BOTA	HEMBRA	MC	168	6	100,8	Lauk (1976)
Cerro de la Encina	Bronce Final	BOTA	MACHO ?	MC	177,5	6,25	110,9	Friesch (1987) cita a Lauk (1976)
Cerro de la Encina	Bronce Final	BOTA	MACHO ?	MC	177,5	6,25	110,9	Lauk (1976)
Cerro de la Encina	Bronce Final	BOTA	MACHO ?	MT	209	5,55	116,0	Friesch (1987)
Cerro de la Encina	Bronce Final	BOTA	CASTRADO ?	MT	220	5,45	119,9	Friesch (1987)
Cerro de la Encina	Bronce Final	BOTA	HEMBRA	MT	198,5	5,35	106,2	Friesch (1987) cita a Lauk (1976)
Cerro de la Encina	Bronce Final	BOTA	HEMBRA	MT	198,5	5,35	106,2	Lauk (1976)
Cerro de la Encina	Bronce Final	BOTA	HEMBRA	MT	207,5	5,35	111,0	Friesch (1987) cita a Lauk (1976)
Cerro de la Encina	Bronce Final	BOTA	HEMBRA	MT	207,5	5,35	111,0	Lauk (1976)
Cerro de la Virgen	?	BOTA	HEMBRA	MT	218	5,35	116,6	Driesch (1972)
Cerro de la Virgen	?	BOTA	MACHO	MC	188	6,25	117,5	Driesch (1972)
Cerro de la Virgen	Árabe	BOTA	HEMBRA	MC	177	6	106,2	Driesch (1972)
Cerro de la Virgen	Árabe	BOTA	HEMBRA	MC	181	6	108,6	Driesch (1972)
Cerro de la Virgen	Árabe	BOTA	HEMBRA	MC	181	6	108,6	Driesch (1972)
Cerro de la Virgen	Árabe	BOTA	HEMBRA	MC	189,5	6	113,7	Driesch (1972)
Cerro de la Virgen	Árabe	BOTA	CASTRADO ?	MC	188	6,25	117,5	Driesch (1972)
Cerro de la Virgen	Árabe	BOTA	HEMBRA	MT	208	5,35	111,3	Driesch (1972)
Cerro de la Virgen	Árabe	BOTA	?	MT	218	5,45	118,8	Driesch (1972)
Cerro de la Virgen	Argar	BOTA	HEMBRA	MC	167	6	100,2	Driesch (1972)
Cerro de la Virgen	Argar	BOTA	HEMBRA	MC	167	6	100,2	Driesch (1972)
Cerro de la Virgen	Argar	BOTA	HEMBRA	MC	177	6	106,2	Driesch (1972)
Cerro de la Virgen	Argar	BOTA	CASTRADO	MC	187	6,25	116,9	Driesch (1972)
Cerro de la Virgen	Argar	BOTA	HEMBRA	MT	192	5,35	102,7	Driesch (1972)
Cerro de la Virgen	Argar	BOTA	HEMBRA	MT	195	5,35	104,3	Driesch (1972)
Cerro de la Virgen	Argar	BOTA	HEMBRA	MT	196	5,35	104,9	Driesch (1972)
Cerro de la Virgen	Argar	BOTA	HEMBRA	MT	196,5	5,35	105,1	Driesch (1972)
Cerro de la Virgen	Argar	BOTA	HEMBRA	MT	197	5,35	105,4	Driesch (1972)
Cerro de la Virgen	Argar	BOTA	HEMBRA	MT	210	5,35	112,4	Driesch (1972)
Cerro de la Virgen	Argar	BOTA	MACHO	MT	224	5,55	124,3	Driesch (1972)
Cerro de la Virgen	Argar/Árabe	BOTA	HEMBRA	MC	185	6	111,0	Driesch (1972)

Yacimiento	Fase	Especie	Sexo	Hueso	LM (mm)	Factor	h Cruz (cm)	Bibliografía datos biométricos
Cerro de la Virgen	Campaniforme	BOTA	MACHO	MC	190	6,25	118,8	Driesch (1972)
Cerro de la Virgen	Campaniforme	BOTA	MACHO	MC	202	6,25	126,3	Driesch (1972)
Cerro de la Virgen	Campaniforme	BOTA	HEMBRA	MT	201	5,35	107,5	Driesch (1972)
Cerro de la Virgen	Campaniforme	BOTA	HEMBRA	MT	210	5,35	112,4	Driesch (1972)
Cerro de la Virgen	Campaniforme	BOTA	HEMBRA	MT	217	5,35	116,1	Driesch (1972)
Cerro de la Virgen	Campaniforme/Argar	BOTA	HEMBRA	MC	179	6	107,4	Driesch (1972)
Cerro de la Virgen	Cobre	BOTA	HEMBRA	MC	182	6	109,2	Driesch (1972)
Cerro de la Virgen	Cobre	BOTA	MACHO	MC	203	6,25	126,9	Driesch (1972)
Cerro de la Virgen	Cobre	BOTA	HEMBRA	MT	225	5,35	120,4	Driesch (1972)
Cerro de la Virgen	Cobre/Campaniforme	BOTA	HEMBRA	MC	185	6	111,0	Driesch (1972)
Cerro de la Virgen	Cobre/Campaniforme	BOTA	HEMBRA	MC	187	6	112,2	Driesch (1972)
Cerro de la Virgen	Cobre/Campaniforme	BOTA	MACHO	MC	189,5	6,25	118,4	Driesch (1972)
Cerro de la Virgen	Cobre/Campaniforme	BOTA	HEMBRA	MC	191	6	114,6	Driesch (1972)
Cerro de la Virgen	Cobre/Campaniforme	BOTA	HEMBRA	MT	211	5,35	112,9	Driesch (1972)
Cerro de la Virgen	Cobre/Campaniforme	BOTA	MACHO	MT	242	5,55	134,3	Driesch (1972)
Cerro del Real	Postargar	BOTA	MACHO ?	MC	194,5	6,33	123,1	Boessneck (1969)
Ciudad de la Justicia	Calcolítico	BOTA	MACHO	—	—	—	130	Riquelme (2010)
Ciudad de la Justicia	Calcolítico	BOTA	HEMBRA	—	—	—	115	Riquelme (2010)
Cuesta del Negro	?	BOTA	MACHO	MC	181,5	6,25	113,4	Lauk (1976)
Cuesta del Negro	?	BOTA	HEMBRA	MT	217	5,35	116,1	Lauk (1976)
Cuesta del Negro	Argar	BOTA	HEMBRA	MC	172	6	103,2	Lauk (1976)
Cuesta del Negro	Argar	BOTA	MACHO ?	MC	184	6,25	115,0	Lauk (1976)
Cuesta del Negro	Argar	BOTA	CASTRADO ?	MC	189	6,13	115,9	Lauk (1976)
Cuesta del Negro	Bronce Tardío	BOTA	HEMBRA	MT	189	5,35	101,1	Lauk (1976)
Cuesta del Negro	Bronce Tardío	BOTA		R	245	4,3	105,4	Lauk (1976)
Cuesta del Negro	Bronce Tardío	BOTA		R	248,5	4,3	106,9	Lauk (1976)
Cuesta del Negro	Bronce Tardío	BOTA		R	253	4,3	108,8	Lauk (1976)
Cueva Soterraña	Bronce	<b>URO</b>	MACHO	MC	181	6,25	113,1	Sarrión (1982)
Fuente Álamo	Bronce	BOTA	MACHO	MT	208	5,6	116,5	Driesch et alii (1985)
Fuente Álamo	Bronce	BOTA	MACHO	MT	213	5,6	119,3	Driesch et alii (1985)
Fuente Álamo	Bronce	BOTA	MACHO	MT	225	5,6	126,0	Driesch et alii (1985)
Fuente Álamo	Bronce	BOTA	CASTRADO ?	MT	230	5,6	128,8	Driesch et alii (1985)
Fuente Flores	Eneolítico	<b>URO</b>		MT	275	5,55	152,6	Juan y Martínez (1988)
Jovades Cocentaina	Calcolítico	BOTA	HEMBRA	MC	191,00	6	114,6	Martínez Valle (1993)
Jovades Cocentaina	Calcolítico	BOTA	?	MC	190,00	6,25	118,8	Martínez Valle (1993)
Jovades Cocentaina	Calcolítico	BOTA	MACHO/ CASTRADO ?	MC	196,00	6,25	122,5	Martínez Valle (1993)
Jovades Cocentaina	Calcolítico	BOTA	HEMBRA	MT	212	5,35	113,4	Martínez Valle (1993)
Jovades Cocentaina	Calcolítico	BOTA	HEMBRA	MT	231	5,35	123,6	Martínez Valle (1993)
Jovades Cocentaina	Calcolítico	BOTA	MACHO	MT	220	5,55	122,1	Martínez Valle (1993)
Jovades Cocentaina	Calcolítico	BOTA	MACHO/ CASTRADO ?	MT	231	5,55	128,2	Martínez Valle (1993)
La Vital	Cobre	BOTA		MC	185	6,05	111,9	Iborra (2011)
La Vital	Cobre	BOTA		MC	185	6,05	112,0	Iborra (2011)
La Vital	Cobre	BOTA		MC	198,9	6,05	120,3	Iborra (2011)
La Vital	Cobre	BOTA		MC	204	6,05	123,4	Iborra (2011)
La Vital	Cobre	BOTA		MT	208,64	5,28	110,1	Iborra (2011)
La Vital	Cobre	BOTA		MT	217	5,28	114,6	Iborra (2011)
La Vital	Cobre	BOTA		R	275	4,4	121,0	Iborra (2011)
Los Saladares	?	BOTA	HEMBRA	MC	187	6	112,2	Driesch (1973)
Motilla de Los Palacios	Bronce	BOTA	MACHO	MC	176,50	6,25	110,3	Driesch y Boessneck (1980)
Pozo de Menga	S.XIX	BOTA	MACHO	FE	389	3,47	135,0	Riquelme (2012)
Pozo de Menga	S.XIX	BOTA	MACHO	HU	302	4,14	125,0	Riquelme (2012)
Pozo de Menga	S.XIX	BOTA	MACHO	HU	302	4,14	125,0	Riquelme (2012)
Pozo de Menga	S.XIX	BOTA	MACHO	MC	198	6,25	123,8	Riquelme (2012)
Pozo de Menga	S.XIX	BOTA	MACHO	MC	198	6,25	123,8	Riquelme (2012)
Pozo de Menga	S.XIX	BOTA	MACHO	MT	241	5,55	133,8	Riquelme (2012)
Pozo de Menga	S.XIX	BOTA	MACHO	MT	242	5,55	134,3	Riquelme (2012)
Pozo de Menga	S.XIX	BOTA	MACHO	R	297	4,3	127,7	Riquelme (2012)
Pozo de Menga	S.XIX	BOTA	MACHO	R	298	4,3	128,1	Riquelme (2012)

Yacimiento	Fase	Especie	Sexo	Hueso	LM (mm)	Factor	h Cruz (cm)	Bibliografía datos biométricos
Pozo de Menga	S.XIX	BOTA	MACHO	TI	365	3,45	125,9	Riquelme (2012)
Pozo de Menga	S.XIX	BOTA	MACHO	TI	365	3,45	125,9	Riquelme (2012)
Terrera del Reloj	Argar	BOTA	HEMBRA	MC	182,5	6	109,5	Milz (1986)
Toscanos	Fenicio	BOTA	?	MT	200	5,55	111,0	Hans-Peter y Uerpmann (1972)
Toscanos	Fenicio	BOTA	?	MT	202	5,55	112,1	Hans-Peter y Uerpmann (1972)
Toscanos	Fenicio	BOTA	?	MC	186	6,25	116,3	Hans-Peter y Uerpmann (1972)
Valencina de la Concepción	Cobre	BOTA	MACHO	MC	191,5	6,25	119,7	Hain (1982)
Valencina de la Concepción	Cobre	BOTA	MACHO	MC	194,5	6,25	121,6	Hain (1982)
Valencina de la Concepción	Cobre	BOTA	MACHO	MC	195	6,25	121,9	Hain (1982)
Valencina de la Concepción	Cobre	BOTA	MACHO	MC	201,5	6,25	125,9	Hain (1982)
Valencina de la Concepción	Cobre	BOTA	MACHO	MC	200	6,25	125,0	Hain (1982)
Valencina de la Concepción	Cobre	BOTA	MACHO	MC	197	6,25	123,1	Hain (1982)
Valencina de la Concepción	Cobre	BOTA	MACHO ?	MC	198	6,25	123,8	Hain (1982)
Valencina de la Concepción	Cobre	BOTA	CASTRADO ?	MC	209	6,25	130,6	Hain (1982)
Valencina de la Concepción	Cobre	BOTA	MACHO	MC	225	6,25	140,6	Hain (1982)
Valencina de la Concepción	Cobre	BOTA	HEMBRA	MC	180	6	108,0	Hain (1982)
Valencina de la Concepción	Cobre	BOTA	HEMBRA	MC	186,5	6	111,9	Hain (1982)
Valencina de la Concepción	Cobre	BOTA	HEMBRA ?	MC	187	6	112,2	Hain (1982)
Valencina de la Concepción	Cobre	BOTA	HEMBRA	MC	190	6	114,0	Hain (1982)
Valencina de la Concepción	Cobre	BOTA	HEMBRA	MC	193	6	115,8	Hain (1982)
Valencina de la Concepción	Cobre	BOTA	HEMBRA	MC	193	6	115,8	Hain (1982)
Valencina de la Concepción	Cobre	BOTA	HEMBRA	MC	196,5	6	117,9	Hain (1982)
Valencina de la Concepción	Cobre	BOTA	HEMBRA	MC	206,5	6	123,9	Hain (1982)
Valencina de la Concepción	Cobre	BOTA	HEMBRA o CASTRADO?	MC	218,5	6	131,1	Hain (1982)
Valencina de la Concepción	Cobre	BOTA	MACHO	MT	213,5	5,55	118,5	Hain (1982)
Valencina de la Concepción	Cobre	BOTA	MACHO	MT	214	5,55	118,8	Hain (1982)
Valencina de la Concepción	Cobre	BOTA	MACHO	MT	218	5,55	121,0	Hain (1982)
Valencina de la Concepción	Cobre	BOTA	MACHO	MT	219	5,55	121,5	Hain (1982)
Valencina de la Concepción	Cobre	BOTA	MACHO	MT	223	5,55	123,8	Hain (1982)
Valencina de la Concepción	Cobre	BOTA	MACHO	MT	222,5	5,55	123,5	Hain (1982)
Valencina de la Concepción	Cobre	BOTA	MACHO	MT	222	5,55	123,2	Hain (1982)
Valencina de la Concepción	Cobre	BOTA	MACHO	MT	224	5,55	124,3	Hain (1982)
Valencina de la Concepción	Cobre	BOTA	CASTRADO ?	MT	243,5	5,55	135,1	Hain (1982)
Valencina de la Concepción	Cobre	BOTA	HEMBRA	MT	208,5	5,35	111,5	Hain (1982)
Valencina de la Concepción	Cobre	BOTA	HEMBRA	MT	209	5,35	111,8	Hain (1982)
Valencina de la Concepción	Cobre	BOTA	HEMBRA	MT	210	5,35	112,4	Hain (1982)
Valencina de la Concepción	Cobre	BOTA	HEMBRA	MT	211	5,35	112,9	Hain (1982)
Valencina de la Concepción	Cobre	BOTA	HEMBRA	MT	215,5	5,35	115,3	Hain (1982)
Valencina de la Concepción	Cobre	BOTA	HEMBRA	MT	218	5,35	116,6	Hain (1982)
Valencina de la Concepción	Cobre	BOTA	HEMBRA	MT	219	5,35	117,2	Hain (1982)
Valencina de la	Cobre	BOTA	HEMBRA	MT	221,5	5,35	118,5	Hain (1982)

Yacimiento	Fase	Especie	Sexo	Hueso	LM (mm)	Factor	h Cruz (cm)	Bibliografía datos biométricos
Concepción								
Valencina de la Concepción	Cobre	BOTA	HEMBRA	MT	224	5,35	119,8	Hain (1982)
Valencina de la Concepción	Cobre	BOTA	HEMBRA	MT	226	5,35	120,9	Hain (1982)
Valencina de la Concepción	Cobre	BOTA	HEMBRA	MT	227,5	5,35	121,7	Hain (1982)
Valencina de la Concepción	Cobre	BOTA	HEMBRA	MT	233	5,35	124,7	Hain (1982)
Valencina de la Concepción	Cobre	BOTA	HEMBRA	R	259	4,3	111,4	Hain (1982)
Valencina de la Concepción	Cobre	BOTA	MACHO	R	295	4,3	126,9	Hain (1982)
Zambujal	Cobre	BOTA	HEMBRA	MC	181,5	6	108,9	Driesch y Boessneck (1976)
Zambujal	Cobre	BOTA	HEMBRA	MC	182,5	6	109,5	Driesch y Boessneck (1976)
Zambujal	Cobre	BOTA	HEMBRA	MC	186,5	6	111,9	Driesch y Boessneck (1976)
Zambujal	Cobre	BOTA	HEMBRA	MC	186,5	6	111,9	Driesch y Boessneck (1976)
Zambujal	Cobre	BOTA	HEMBRA	MC	187,5	6	112,5	Driesch y Boessneck (1976)
Zambujal	Cobre	BOTA	HEMBRA	MC	188	6	112,8	Driesch y Boessneck (1976)
Zambujal	Cobre	BOTA	MACHO	MC	190	6,25	118,8	Driesch y Boessneck (1976)
Zambujal	Cobre	BOTA	MACHO	MC	187	6,25	116,9	Driesch y Boessneck (1976)
Zambujal	Cobre	BOTA	MACHO	MC	181	6,25	113,1	Driesch y Boessneck (1976)
Zambujal	Cobre	BOTA	MACHO	MC	190	6,25	118,8	Driesch y Boessneck (1976)
Zambujal	Cobre	BOTA	MACHO	MC	184	6,25	115,0	Driesch y Boessneck (1976)
Zambujal	Cobre	BOTA	MACHO	MC	210	6,25	131,3	Driesch y Boessneck (1976)
Zambujal	Cobre	BOTA	MACHO	MC	184	6,25	115,0	Driesch y Boessneck (1976)
Zambujal	Cobre	BOTA	MACHO	MC	198	6,25	123,8	Driesch y Boessneck (1976)
Zambujal	Cobre	BOTA	HEMBRA 1	MT	205,5	5,35	109,9	Driesch y Boessneck (1976)
Zambujal	Cobre	BOTA	HEMBRA 1	MT	206	5,35	110,2	Driesch y Boessneck (1976)
Zambujal	Cobre	BOTA	HEMBRA	MT	219,5	5,35	117,4	Driesch y Boessneck (1976)
Zambujal	Cobre	BOTA	HEMBRA	MT	221	5,35	118,2	Driesch y Boessneck (1976)
Zambujal	Cobre	BOTA	MACHO	MT	215,5	5,55	119,6	Driesch y Boessneck (1976)
Zambujal	Cobre	BOTA	MACHO	MT	216	5,55	119,9	Driesch y Boessneck (1976)
Zambujal	Cobre	BOTA	MACHO	MT	226	5,55	125,4	Driesch y Boessneck (1976)

Cálculo de altura de la cruz de *Capra hircus* y *Capra pyrenaica*

Yacimiento	Fase	Especie	Sexo	Hueso	LM (mm)	Factor	h Cruz (cm)	Bibliografía datos biométricos
Acinipo	Bronce	CAHI		CAL	51	9,34	47,6	Riquelme (1990)
Acinipo	Bronce	CAHI		TA	26,2	22,68	59,4	Riquelme (1990)
Arenal de la Costa	Calcolítico	CAHI		CAL	58	9,34	54,2	Martínez Valle (1993)
Arenal de la Costa	Calcolítico	CAHI		CAL	70	9,34	65,4	Martínez Valle (1993)
Arenal de la Costa	Calcolítico	CAHI		TA	24,5	22,68	55,6	Martínez Valle (1993)
Arenal de la Costa	Calcolítico	CAHI		TA	26,6	22,68	60,3	Martínez Valle (1993)
Arenal de la Costa	Calcolítico	CAHI		TA	26,7	22,68	60,6	Martínez Valle (1993)
Arenal de la Costa	Calcolítico	CAHI		TA	27,3	22,68	61,9	Martínez Valle (1993)
Arenal de la Costa	Calcolítico	CAHI		TA	30	22,68	68,0	Martínez Valle (1993)
Arenal de la Costa	Calcolítico	CAHI		TA	30,4	22,68	68,9	Martínez Valle (1993)
Cabezo Redondo	Bronce final	CAHI	HEMBRA	MC	98	5,75	56,4	Driesch 1972 cita a Driesch y Boessneck 1969: Tab. 6.
Cabezo Redondo	Bronce final	CAHI	HEMBRA	MC	102,5	5,75	58,9	Driesch 1972 cita a Driesch y Boessneck 1969: Tab. 6.
Cabezo Redondo	Bronce final	CAHI	HEMBRA	MT	103	5,34	55,0	Driesch 1972 cita a Driesch y Boessneck 1969: Tab. 6.
Cabezo Redondo	Bronce final	CAHI	HEMBRA	MT	115	5,34	61,4	Driesch 1972 cita a Driesch y Boessneck 1969: Tab. 6.
Castellón Alto	Argar	CAHI		CAL	52	11,4	59,3	Milz (1986)
Castellón Alto	Argar	CAHI		TA	25	22,68	56,7	Milz (1986)
Castellón Alto	Argar	CAHI		TA	26	22,68	59,0	Milz (1986)
Castellón Alto	Argar	CAHI		TA	29	22,68	65,8	Milz (1986)
Castillejos de Montefrío	Cobre	CAHI		CAL	51,5	11,4	58,7	Ziegler (1990)
Castillejos de Montefrío	Cobre	CAHI		CAL	52	11,4	59,3	Ziegler (1990)
Castillejos de Montefrío	Cobre	CAHI		R	148,5	3,98	59,1	Ziegler (1990)
Castillejos de Montefrío	Cobre	CAHI		TA	26,5	22,68	60,1	Ziegler (1990)
Castillejos de Montefrío	Cobre	CAHI		TA	28	22,68	63,5	Ziegler (1990)
Castillejos de Montefrío	Neolítico	CAHI		CAL	55,5	11,4	63,3	Ziegler (1990)
Castillejos de Montefrío	Neolítico	CAHI		TA	25,5	22,68	57,8	Ziegler (1990)
Castillejos de Montefrío	Neolítico	CAHI		TA	25,5	22,68	57,8	Ziegler (1990)
Castillejos de Montefrío	Neolítico	CAHI		TA	26,5	22,68	60,1	Ziegler (1990)
Castillejos de Montefrío	Neolítico/Cobre	CAHI		TA	25,5	22,68	57,8	Ziegler (1990)
Castro de Peñas de oro	Hierro/Romano	CAHI		MC	103,6	5,75	59,6	Driesch 1972 cita a Altuna 1965: S.18
Castro de Peñas de oro	Hierro/Romano	CAHI		MT	107,5	5,34	57,4	Driesch 1972 cita a Altuna 1965: S.16
Cerro de la Encina	?	CAHI		CAL	54	11,4	61,6	Friesch (1987)
Cerro de la Encina	?	CAHI		TA	27	22,68	61,2	Friesch (1987)
Cerro de la Encina	?	CAHI		TA	29,8	22,68	67,6	Friesch (1987)
Cerro de la Encina	Argar	CAHI		CAL	56,8	11,4	64,8	Lauk (1976)
Cerro de la Encina	Argar	CAHI	MACHO	MT	117	5,34	62,5	Lauk (1976)
Cerro de la Encina	Argar	CAHI		MT	117	5,34	62,5	Friesch (1987) cita a Lauk (1976)
Cerro de la Encina	Argar	CAHI		TA	26	22,68	59,0	Friesch (1987)
Cerro de la Encina	Argar	CAHI		TA	26	22,68	59,0	Lauk (1976)
Cerro de la Encina	Argar	CAHI		TA	28,7	22,68	65,1	Lauk (1976)
Cerro de la Encina	Argar	CAHI		TA	30,5	22,68	69,2	Friesch (1987)
Cerro de la Encina	Bronce Final	CAHI		MC	109	5,75	62,7	Friesch (1987)
Cerro de la Encina	Bronce Final	CAHI		TA	24,5	22,68	55,6	Lauk (1976)
Cerro de la Encina	Bronce Final	CAHI		TA	26,5	22,68	60,1	Friesch (1987)
Cerro de la Encina	Bronce Final	CAHI		TA	30	22,68	68,0	Lauk (1976)
Cerro de la Encina	Bronce Final	CAHI		TI	185	2,97	54,9	Friesch (1987) cita a Lauk (1976)
Cerro de la Encina	Bronce Final	CAHI		TI	185	2,97	54,9	Lauk (1976)
Cerro de la Virgen	?	CAHI		CAL	54,5	11,4	62,1	Driesch (1972)

Yacimiento	Fase	Especie	Sexo	Hueso	LM (mm)	Factor	h Cruz (cm)	Bibliografía datos biométricos
Cerro de la Virgen	?	CAHI		TA	28,1	22,68	63,7	Driesch (1972)
Cerro de la Virgen	?	CAHI		TA	28,5	22,68	64,6	Driesch (1972)
Cerro de la Virgen	Árabe	CAHI		CAL	64	11,4	73,0	Driesch (1972)
Cerro de la Virgen	Árabe	CAHI	HEMBRA	MC	111,5	5,75	64,1	Driesch (1972)
Cerro de la Virgen	Árabe	CAHI		TA	29	22,68	65,8	Driesch (1972)
Cerro de la Virgen	Argar	CAHI		CAL	51	11,4	58,1	Driesch (1972)
Cerro de la Virgen	Argar	CAHI		CAL	56	11,4	63,8	Driesch (1972)
Cerro de la Virgen	Argar	CAHI	HEMBRA	MT	108,5	5,34	57,9	Driesch (1972)
Cerro de la Virgen	Argar	CAHI		TA	25	22,68	56,7	Driesch (1972)
Cerro de la Virgen	Argar	CAHI		TA	31,4	22,68	71,2	Driesch (1972)
Cerro de la Virgen	Argar/Árabe	CAHI	MACHO	MT	126	5,34	67,3	Driesch (1972)
Cerro de la Virgen	Campaniforme	CAHI		CAL	49	11,4	55,9	Driesch (1972)
Cerro de la Virgen	Campaniforme	CAHI		CAL	51	11,4	58,1	Driesch (1972)
Cerro de la Virgen	Campaniforme	CAHI		CAL	52	11,4	59,3	Driesch (1972)
Cerro de la Virgen	Campaniforme	CAHI		CAL	52,5	11,4	59,9	Driesch (1972)
Cerro de la Virgen	Campaniforme	CAHI		CAL	53	11,4	60,4	Driesch (1972)
Cerro de la Virgen	Campaniforme	CAHI		CAL	53	11,4	60,4	Driesch (1972)
Cerro de la Virgen	Campaniforme	CAHI		CAL	53,5	11,4	61,0	Driesch (1972)
Cerro de la Virgen	Campaniforme	CAHI		CAL	54	11,4	61,6	Driesch (1972)
Cerro de la Virgen	Campaniforme	CAHI		CAL	54,5	11,4	62,1	Driesch (1972)
Cerro de la Virgen	Campaniforme	CAHI		CAL	55	11,4	62,7	Driesch (1972)
Cerro de la Virgen	Campaniforme	CAHI		CAL	57	11,4	65,0	Driesch (1972)
Cerro de la Virgen	Campaniforme	CAHI		CAL	57	11,4	65,0	Driesch (1972)
Cerro de la Virgen	Campaniforme	CAHI		CAL	59	11,4	67,3	Driesch (1972)
Cerro de la Virgen	Campaniforme	CAHI		CAL	59	11,4	67,3	Driesch (1972)
Cerro de la Virgen	Campaniforme	CAHI		CAL	66	11,4	75,2	Driesch (1972)
Cerro de la Virgen	Campaniforme	CAHI	HEMBRA	HU	169	3,86	65,2	Driesch (1972)
Cerro de la Virgen	Campaniforme	CAHI	HEMBRA	MC	104	5,75	59,8	Driesch (1972)
Cerro de la Virgen	Campaniforme	CAHI	HEMBRA	MC	104,5	5,75	60,1	Driesch (1972)
Cerro de la Virgen	Campaniforme	CAHI	HEMBRA	MC	107	5,75	61,5	Driesch (1972)
Cerro de la Virgen	Campaniforme	CAHI	HEMBRA	MC	107,5	5,75	61,8	Driesch (1972)
Cerro de la Virgen	Campaniforme	CAHI	HEMBRA	MC	108	5,75	62,1	Driesch (1972)
Cerro de la Virgen	Campaniforme	CAHI	HEMBRA	MC	110	5,75	63,3	Driesch (1972)
Cerro de la Virgen	Campaniforme	CAHI	HEMBRA	MC	110,5	5,75	63,5	Driesch (1972)
Cerro de la Virgen	Campaniforme	CAHI	HEMBRA	MC	117	5,75	67,3	Driesch (1972)
Cerro de la Virgen	Campaniforme	CAHI	HEMBRA	MT	117,5	5,34	62,7	Driesch (1972)
Cerro de la Virgen	Campaniforme	CAHI	HEMBRA	MT	118	5,34	63,0	Driesch (1972)
Cerro de la Virgen	Campaniforme	CAHI	HEMBRA	MT	118	5,34	63,0	Driesch (1972)
Cerro de la Virgen	Campaniforme	CAHI	HEMBRA	MT	124	5,34	66,2	Driesch (1972)
Cerro de la Virgen	Campaniforme	CAHI		TA	24,7	22,68	56,0	Driesch (1972)
Cerro de la Virgen	Campaniforme	CAHI		TA	31,3	22,68	71,0	Driesch (1972)
Cerro de la Virgen	Campaniforme	CAHI	HEMBRA	TI	221	2,97	65,6	Driesch (1972)
Cerro de la Virgen	Campaniforme/Argar	CAHI		CAL	54	11,4	61,6	Driesch (1972)
Cerro de la Virgen	Campaniforme/Argar	CAHI		CAL	54	11,4	61,6	Driesch (1972)
Cerro de la Virgen	Campaniforme/Argar	CAHI		TA	25,5	22,68	57,8	Driesch (1972)
Cerro de la Virgen	Campaniforme/Argar	CAHI		TA	30,3	22,68	68,7	Driesch (1972)
Cerro de la Virgen	Cobre	CAHI		CAL	51	11,4	58,1	Driesch (1972)
Cerro de la Virgen	Cobre	CAHI	HEMBRA	MC	102	5,75	58,7	Driesch (1972)
Cerro de la Virgen	Cobre	CAHI		TA	24,3	22,68	55,1	Driesch (1972)
Cerro de la Virgen	Cobre/Campaniforme	CAHI		CAL	51,5	11,4	58,7	Driesch (1972)
Cerro de la Virgen	Cobre/Campaniforme	CAHI		CAL	58	11,4	66,1	Driesch (1972)
Cerro de la Virgen	Cobre/Campaniforme	CAHI	HEMBRA	MT	107	5,34	57,1	Driesch (1972)
Cerro de la Virgen	Cobre/Campaniforme	CAHI	HEMBRA	MT	113,5	5,34	60,6	Driesch (1972)
Cerro de la Virgen	Cobre/Campaniforme	CAHI		TA	25	22,68	56,7	Driesch (1972)
Cerro de la Virgen	Cobre/Campaniforme	CAHI		TA	27,5	22,68	62,4	Driesch (1972)
Cerro de las Viñas		CAHI		TA	26,5	22,68	60,1	Ayala (1991)
Cerro de las Viñas		CAHI		TA	27,4	22,68	62,1	Ayala (1991)
Cerro del Real	Árabe	CAHI		MT	121	5,34	64,6	Boessneck (1969)
Cerro del Real	Postargar	CAHI		MC	134	5,75	77,1	Boessneck (1969)

Yacimiento	Fase	Especie	Sexo	Hueso	LM (mm)	Factor	h Cruz (cm)	Bibliografía datos biométricos
Cerro del Real	Postargar	CAHI		TA	27	22,68	61,2	Boessneck (1969)
Ciudad de la Justicia	Calcolítico	CAHI	MACHO	MC	106,9	5,75	61,5	Riquelme (2010)
Cuesta del Negro	?	CAHI		CAL	52	11,4	59,3	Lauk (1976)
Cuesta del Negro	?	CAHI		CAL	65	11,4	74,1	Lauk (1976)
Cuesta del Negro	?	CAHI	HEMBRA	MC	92	5,75	52,9	Lauk (1976)
Cuesta del Negro	Argar	CAHI		CAL	54,5	11,4	62,1	Lauk (1976)
Cuesta del Negro	Argar	CAHI		CAL	55,6	11,4	63,4	Lauk (1976)
Cuesta del Negro	Argar	CAHI		TA	27,1	22,68	61,5	Lauk (1976)
Cuesta del Negro	Argar	CAHI		TA	30	22,68	68,0	Lauk (1976)
Cuesta del Negro	Bronce Tardío	CAHI		CAL	51,5	11,4	58,7	Lauk (1976)
Cuesta del Negro	Bronce Tardío	CAHI		CAL	53	11,4	60,4	Lauk (1976)
Cuesta del Negro	Bronce Tardío	CAHI	HEMBRA	MC	101,5	5,75	58,4	Lauk (1976)
Cuesta del Negro	Bronce Tardío	CAHI	HEMBRA	MC	102,5	5,75	58,9	Lauk (1976)
Cuesta del Negro	Bronce Tardío	CAHI		MT	109	5,34	58,2	Lauk (1976)
Cuesta del Negro	Bronce Tardío	CAHI		R	141	3,98	56,1	Lauk (1976)
Cuesta del Negro	Bronce Tardío	CAHI		R	151	3,98	60,1	Lauk (1976)
Cuesta del Negro	Bronce Tardío	CAHI		TA	25,5	22,68	57,8	Lauk (1976)
Cuesta del Negro	Bronce Tardío	CAHI		TA	30,5	22,68	69,2	Lauk (1976)
Cueva de la Dehesilla	?	CAHI		HU	162	3,86	62,5	Boessneck y Driesch (1980)
Cueva de la Dehesilla	?	CAHI	HEMBRA	MT	108	5,34	57,7	Boessneck y Driesch (1980)
Cueva de la Dehesilla	?	CAHI	HEMBRA	MT	111	5,34	59,3	Boessneck y Driesch (1980)
Cueva de la Dehesilla	?	CAHI		R	157,5	3,98	62,7	Boessneck y Driesch (1980)
Cueva de la Sarsa	Neolítico	CAHI	MACHO	TA	31	22,68	70,3	Boessneck y Driesch (1980)
Cueva de la Sarsa	Neolítico	CAHI		TA	28	22,68	63,5	Boessneck y Driesch (1980)
Cueva de la Sarsa	Neolítico	CAHI		TA	28,5	22,68	64,6	Boessneck y Driesch (1980)
Cueva de Nerja	?	CAHI	HEMBRA	CAL	53	9,34	49,5	Boessneck y Driesch (1980)
Cueva de Nerja	Neolítico	CAHI		CAL	59	9,34	55,1	Boessneck y Driesch (1980)
Cueva de Nerja	Neolítico	CAHI	HEMBRA	MC	108	5,75	62,1	Boessneck y Driesch (1980)
Cueva de Nerja	Neolítico	CAHI	HEMBRA	MT	116	5,34	61,9	Boessneck y Driesch (1980)
Cueva de Nerja	Neolítico	CAHI	HEMBRA	TA	30,5	22,68	69,2	Boessneck y Driesch (1980)
Cueva de Nerja	Neolítico	CAHI	MACHO	TA	26	22,68	59,0	Boessneck y Driesch (1980)
Cueva de Nerja	Neolítico	CAHI		TA	27,5	22,68	62,4	Boessneck y Driesch (1980)
Cueva del Parralejo	Neolítico	CAHI		TA	28	22,68	63,5	Boessneck y Driesch (1980)
Cueva Soterraña	Bronce	CAHI		CAL	59,2	9,34	55,3	Sarrión (1982)
Cueva Soterraña	Bronce	CAHI		CAL	78,3	9,34	73,1	Sarrión (1982)
Cueva Soterraña	Bronce	CPPY		CAL	103	11,4	<b>117,4</b>	Sarrión (1982)
Cueva Soterraña	Bronce	CPPY		HU	265	3,86	<b>102,3</b>	Sarrión (1982)
Cueva Soterraña	Bronce	CAHI		MC	114	5,75	65,6	Sarrión (1982)
Cueva Soterraña	Bronce	CAHI		MC	114,2	5,75	65,7	Sarrión (1982)
Cueva Soterraña	Bronce	CAHI		MT	111,5	5,34	59,5	Sarrión (1982)
Cueva Soterraña	Bronce	CAHI		MT	114	5,34	60,9	Sarrión (1982)
Cueva Soterraña	Bronce	CAHI		MT	115,6	5,34	61,7	Sarrión (1982)
Cueva Soterraña	Bronce	CAHI		R	153	3,98	60,9	Sarrión (1982)
Cueva Soterraña	Bronce	CAHI		TA	28,3	22,68	64,2	Sarrión (1982)
Cueva Soterraña	Bronce	CAHI		TA	32,3	22,68	73,3	Sarrión (1982)
Cueva Soterraña	Bronce	CAHI		TI	211	2,97	62,7	Sarrión (1982)
Ereta del Pedregal	Calcolítico	CAHI		TA	25,2	22,68	57,2	Pérez Ripoll (1990)
Ereta del Pedregal	Calcolítico	CAHI		TA	26,6	22,68	60,3	Pérez Ripoll (1990)
Ereta del Pedregal	Calcolítico	CAHI		TA	29,1	22,68	66,0	Pérez Ripoll (1990)
Fuente Álamo	Bronce	CAHI		CAL	49	11,4	55,9	Driesch et alii (1985)
Fuente Álamo	Bronce	CAHI		CAL	57,8	11,4	65,9	Driesch et alii (1985)
Fuente Álamo	Bronce	CAHI	HEMBRA	MC	95	5,75	54,6	Driesch et alii (1985)
Fuente Álamo	Bronce	CAHI	HEMBRA	MC	102	5,75	58,7	Driesch et alii (1985)
Fuente Álamo	Bronce	CAHI		TA	25,5	22,68	57,8	Driesch et alii (1985)
Fuente Álamo	Bronce	CAHI		TA	31,5	22,68	71,4	Driesch et alii (1985)
Fuente Flores	Eneolítico	CAHI		TA	28,2	22,68	64,0	Juan y Martínez (1988)
Jovades Cocentaina	Calcolítico	CAHI		CAL	51,6	9,34	48,2	Martínez Valle (1993)
Jovades Cocentaina	Calcolítico	CAHI		CAL	54,8	9,34	51,2	Martínez Valle (1993)
Jovades Cocentaina	Calcolítico	CAHI		MC	103,8	5,75	59,7	Martínez Valle (1993)



Yacimiento	Fase	Especie	Sexo	Hueso	LM (mm)	Factor	h Cruz (cm)	Bibliografía datos biométricos
Jovades Cocentaina	Calcolítico	CAHI		TA	26,6	22,68	60,3	Martínez Valle (1993)
Jovades Cocentaina	Calcolítico	CAHI		TA	32	22,68	72,6	Martínez Valle (1993)
Los Millares	Cobre	CAHI		MT	115,5	5,34	61,7	Peters y Driesch (1990)
Los Millares	Cobre	CAHI		TA	25,5	22,68	57,8	Peters y Driesch (1990)
Los Millares	Cobre	CAHI		TA	26	22,68	59,0	Peters y Driesch (1990)
Los Millares	Cobre	CAHI		TA	26,5	22,68	60,1	Peters y Driesch (1990)
Los Millares	Cobre	CAHI		TA	27	22,68	61,2	Peters y Driesch (1990)
Los Millares	Cobre	CAHI		TA	29	22,68	65,8	Peters y Driesch (1990)
Los Millares	Cobre	CAHI		TA	30,5	22,68	69,2	Peters y Driesch (1990)
Los Millares	Cobre	CAHI		TA	34	22,68	77,1	Peters y Driesch (1990)
Los Saladares	Púnico	CAHI		TA	29,5	22,68	66,9	Driesch (1973)
Motilla de Azuer	Bronce	CAHI	MACHO	MC	109	5,75	62,7	Driesch y Boessneck (1980)
Motilla de Azuer	Bronce	CAHI		TA	25,5	22,68	57,8	Driesch y Boessneck (1980)
Motilla de Azuer	Bronce	CAHI		TA	27,5	22,68	62,4	Driesch y Boessneck (1980)
Motilla de Azuer	Bronce	CAHI		TA	28	22,68	63,5	Driesch y Boessneck (1980)
Motilla de Los Palacios	Ibérico	CAHI	MACHO	MC	113	5,75	65,0	Driesch y Boessneck (1980)
Necrópolis Jardín	Fenicio	CAHI		R	152	3,98	60,5	Hans-Peter y Uerpmann (1972)
Necrópolis Jardín	Fenicio	CAHI		TA	27	22,68	61,2	Hans-Peter y Uerpmann (1972)
Necrópolis Jardín	Fenicio	CAHI		TI	225,5	2,97	67,0	Hans-Peter y Uerpmann (1972)
Pic dels Corbs	Bronce final	CAHI		TA	23,21	22,68	52,6	Barrachina y Sanchis (2011)
Pic dels Corbs	Bronce final	CAHI		TA	24,1	22,68	54,7	Barrachina y Sanchis (2011)
Pic dels Corbs	Bronce final	CAHI		TA	25,96	22,68	58,9	Barrachina y Sanchis (2011)
Pic dels Corbs	Bronce final	CAHI		TA	29,7	22,68	67,4	Barrachina y Sanchis (2011)
Tabayà	Argar	CAHI		MT	112,5	5,34	60,1	Rizo (2009)
Tabayà	Argar	CAHI		TA	24,7	22,68	56,0	Rizo (2009)
Tabayà	Argar	CAHI		TA	27	22,68	61,2	Rizo (2009)
Tabayà	Argar	CAHI		TA	28,1	22,68	63,7	Rizo (2009)
Terrera del Reloj	Argar	CAHI		CAL	52	11,4	59,3	Milz (1986)
Terrera del Reloj	Argar	CAHI		CAL	52,5	11,4	59,9	Milz (1986)
Terrera del Reloj	Argar	CAHI		CAL	53,5	11,4	61,0	Milz (1986)
Terrera del Reloj	Argar	CAHI		FE	162	3,45	55,9	Milz (1986)
Terrera del Reloj	Argar	CAHI		FE	178	3,45	61,4	Milz (1986)
Terrera del Reloj	Argar	CAHI	HEMBRA	HU	148	3,86	57,1	Milz (1986)
Terrera del Reloj	Argar	CAHI		HU	152	3,86	58,7	Milz (1986)
Terrera del Reloj	Argar	CAHI		TA	25	22,68	56,7	Milz (1986)
Terrera del Reloj	Argar	CAHI		TA	33,5	22,68	76,0	Milz (1986)
Terrera del Reloj	Argar	CAHI		TI	185	2,97	54,9	Milz (1986)
Toscanos	?	CAHI		MT	109	5,34	58,2	Driesch 1972 cita a Harbison-Soergel
Toscanos	Fenicio	CAHI		CAL	56,5	11,4	64,4	Hans-Peter y Uerpmann (1972)
Toscanos	Fenicio	CAHI		MT	109,5	5,34	58,5	Hans-Peter y Uerpmann (1972)
Toscanos	Fenicio	CAHI		MT	135	5,34	72,1	Hans-Peter y Uerpmann (1972)
Toscanos	Fenicio	CAHI		TA	27	22,68	61,2	Hans-Peter y Uerpmann (1972)
Toscanos	Fenicio	CAHI		TA	27,5	22,68	62,4	Hans-Peter y Uerpmann (1972)
Toscanos	Fenicio	CAHI		TA	27,5	22,68	62,4	Hans-Peter y Uerpmann (1972)
Toscanos	Fenicio	CAHI		TA	29	22,68	65,8	Hans-Peter y Uerpmann (1972)
Toscanos	Fenicio	CAHI		TA	29,5	22,68	66,9	Hans-Peter y Uerpmann (1972)
Valencina de la Concepción	Cobre	CAHI		CAL	51,5	11,4	58,7	Hain (1982)
Valencina de la Concepción	Cobre	CAHI		CAL	57,5	11,4	65,6	Hain (1982)
Valencina de la Concepción	Cobre	CAHI		FE	168,5	3,45	58,1	Hain (1982)
Valencina de la Concepción	Cobre	CAHI	HEMBRA	MC	99,5	5,75	57,2	Hain (1982)
Valencina de la Concepción	Cobre	CAHI	HEMBRA	MC	106	5,75	61,0	Hain (1982)
Valencina de la Concepción	Cobre	CAHI	HEMBRA	MC	107,5	5,75	61,8	Hain (1982)
Valencina de la Concepción	Cobre	CAHI	HEMBRA	MC	110	5,75	63,3	Hain (1982)
Valencina de la Concepción	Cobre	CAHI	HEMBRA	MC	114	5,75	65,6	Hain (1982)

Yacimiento	Fase	Especie	Sexo	Hueso	LM (mm)	Factor	h Cruz (cm)	Bibliografía datos biométricos
Valencina de la Concepción	Cobre	CAHI	HEMBRA	MT	107	5,34	57,1	Hain (1982)
Valencina de la Concepción	Cobre	CAHI	HEMBRA	MT	107,5	5,34	57,4	Hain (1982)
Valencina de la Concepción	Cobre	CAHI	HEMBRA	MT	108	5,34	57,7	Hain (1982)
Valencina de la Concepción	Cobre	CAHI	HEMBRA	MT	109,5	5,34	58,5	Hain (1982)
Valencina de la Concepción	Cobre	CAHI	HEMBRA	MT	115	5,34	61,4	Hain (1982)
Valencina de la Concepción	Cobre	CAHI	HEMBRA	MT	116,5	5,34	62,2	Hain (1982)
Valencina de la Concepción	Cobre	CAHI		R	142	3,98	61,1	Hain (1982)
Valencina de la Concepción	Cobre	CAHI		R	155	3,98	64,7	Hain (1982)
Valencina de la Concepción	Cobre	CAHI		TA	25	22,68	56,7	Hain (1982)
Valencina de la Concepción	Cobre	CAHI		TA	32,5	22,68	73,7	Hain (1982)
Valencina de la Concepción	Cobre	CAHI	HEMBRA	TI	197	2,97	58,5	Hain (1982)
Valencina de la Concepción	Cobre	CAHI		TI	191	2,97	56,7	Hain (1982)
Valencina de la Concepción	Cobre	CAHI		TI	201	2,97	59,7	Hain (1982)
Valencina de la Concepción	Cobre	CAHI		TI	205	2,97	60,9	Hain (1982)
Zambujal	Cobre	CAHI	HEMBRA	CAL	50	11,4	57,0	Driesch y Boessneck (1976)
Zambujal	Cobre	CAHI	HEMBRA	CAL	51	11,4	58,1	Driesch y Boessneck (1976)
Zambujal	Cobre	CAHI	HEMBRA	CAL	52	11,4	59,3	Driesch y Boessneck (1976)
Zambujal	Cobre	CAHI		CAL	52	11,4	59,3	Driesch y Boessneck (1976)
Zambujal	Cobre	CAHI		CAL	52	11,4	59,3	Driesch y Boessneck (1976)
Zambujal	Cobre	CAHI		CAL	60	11,4	68,4	Driesch y Boessneck (1976)
Zambujal	Cobre	CAHI		CAL	64	11,4	73,0	Driesch y Boessneck (1976)
Zambujal	Cobre	CAHI	HEMBRA	FE	157,5	3,45	54,3	Driesch y Boessneck (1976)
Zambujal	Cobre	CAHI	HEMBRA	MC	100	5,75	57,5	Driesch (1972)
Zambujal	Cobre	CAHI	HEMBRA	MC	100	5,75	57,5	Driesch y Boessneck (1976)
Zambujal	Cobre	CAHI	HEMBRA	MC	114	5,75	65,6	Driesch (1972)
Zambujal	Cobre	CAHI		MC	100	5,75	57,5	Driesch 1972 cita a Harbison-Soergel
Zambujal	Cobre	CAHI		MC	114	5,75	65,6	Driesch 1972 cita a Harbison-Soergel
Zambujal	Cobre	CAHI	HEMBRA	MT	104,5	5,34	55,8	Driesch y Boessneck (1976)
Zambujal	Cobre	CAHI	HEMBRA	MT	104,5	5,34	55,8	Driesch y Boessneck (1976)
Zambujal	Cobre	CAHI	HEMBRA	MT	105	5,34	56,1	Driesch y Boessneck (1976)
Zambujal	Cobre	CAHI	HEMBRA	MT	110,5	5,34	59,0	Driesch y Boessneck (1976)
Zambujal	Cobre	CAHI	HEMBRA	MT	111,5	5,34	59,5	Driesch y Boessneck (1976)
Zambujal	Cobre	CAHI	HEMBRA	MT	118	5,34	63,0	Driesch y Boessneck (1976)
Zambujal	Cobre	CAHI		MT	106	5,34	56,6	Driesch 1972 cita a Harbison-Soergel
Zambujal	Cobre	CAHI		MT	112	5,34	59,8	Driesch 1972 cita a Harbison-Soergel
Zambujal	Cobre	CAHI		MT	116,5	5,34	62,2	Driesch y Boessneck (1976)
Zambujal	Cobre	CAHI	HEMBRA	R	142	3,98	56,5	Driesch y Boessneck (1976)
Zambujal	Cobre	CAHI	HEMBRA	R	145	3,98	57,7	Driesch y Boessneck (1976)
Zambujal	Cobre	CAHI		R	142	3,98	56,5	Driesch 1972 cita a Harbison-Soergel

Cálculo de altura de la cruz de *Ovis aries*

Yacimiento	Fase	Especie	Sexo	Hueso	LM (mm)	Factor	h Cruz (cm)	Bibliografía datos biométricos
Acinipo	Bronce	OVAR		TA	26,8	22,68	60,8	Riquelme (1990)
Acinipo	Bronce	OVAR		TA	27	22,68	61,2	Riquelme (1990)
Arenal de la Costa	Calcolítico	OVAR		TA	28	22,68	63,5	Martínez Valle (1993)
Arenal de la Costa	Calcolítico	OVAR		TA	28,6	22,68	64,9	Martínez Valle (1993)
Cabezo de San Pedro	Romano	OVAR		TA	26	22,68	59,0	Driesch (1973)
Castellón Alto	Argar	OVAR		CAL	50,5	11,4	57,6	Milz (1986)
Castellón Alto	Argar	OVAR		CAL	52	11,4	59,3	Milz (1986)
Castellón Alto	Argar	OVAR		CAL	52	11,4	59,3	Milz (1986)
Castellón Alto	Argar	OVAR		CAL	53,5	11,4	61,0	Milz (1986)
Castellón Alto	Argar	OVAR		CAL	54	11,4	61,6	Milz (1986)
Castellón Alto	Argar	OVAR		E	138	4,22	58,2	Milz (1986)
Castellón Alto	Argar	OVAR		E	139	4,22	58,7	Milz (1986)
Castellón Alto	Argar	OVAR		FE	153	3,53	54,0	Milz (1986)
Castellón Alto	Argar	OVAR		FE	158	3,53	55,8	Milz (1986)
Castellón Alto	Argar	OVAR		FE	158,5	3,53	56,0	Milz (1986)
Castellón Alto	Argar	OVAR	HEMBRA	HU	129	4,28	55,2	Milz (1986)
Castellón Alto	Argar	OVAR	HEMBRA	HU	129	4,28	55,2	Milz (1986)
Castellón Alto	Argar	OVAR		R	141	4,02	56,7	Milz (1986)
Castellón Alto	Argar	OVAR		R	146	4,02	58,7	Milz (1986)
Castellón Alto	Argar	OVAR		R	151	4,02	60,7	Milz (1986)
Castellón Alto	Argar	OVAR		TA	25	22,68	56,7	Milz (1986)
Castellón Alto	Argar	OVAR		TA	27,5	22,68	62,4	Milz (1986)
Castellón Alto	Argar	OVAR		TA	30,5	22,68	69,2	Milz (1986)
Castellón Alto	Argar	OVAR		TI	181	3,01	54,5	Milz (1986)
Castellón Alto	Argar	OVAR		TI	186	3,01	56,0	Milz (1986)
Castellón Alto	Argar	OVAR		TI	186,5	3,01	56,1	Milz (1986)
Castellón Alto	Argar	OVAR		TI	189,5	3,01	57,0	Milz (1986)
Castellón Alto	Argar	OVAR		TI	196,5	3,01	59,1	Milz (1986)
Castellón Alto	Argar	OVAR		UL	169	3,22	54,4	Milz (1986)
Castillejos de Montefrío	Cobre	OVAR		CAL	52,5	11,4	59,9	Ziegler (1990)
Castillejos de Montefrío	Cobre	OVAR		CAL	53,5	11,4	61,0	Ziegler (1990)
Castillejos de Montefrío	Cobre	OVAR		CAL	54,5	11,4	62,1	Ziegler (1990)
Castillejos de Montefrío	Cobre	OVAR		TA	28,5	22,68	64,6	Ziegler (1990)
Castillejos de Montefrío	Cobre	OVAR		TA	31,5	22,68	71,4	Ziegler (1990)
Castillejos de Montefrío	Neolítico	OVAR		TA	27,5	22,68	62,4	Ziegler (1990)
Castillejos de Montefrío	Neolítico	OVAR		TA	27,5	22,68	62,4	Ziegler (1990)
Cerro de la Encina	?	OVAR		CAL	51,4	11,4	58,6	Friesch (1987)
Cerro de la Encina	?	OVAR		CAL	52	11,4	59,3	Friesch (1987)
Cerro de la Encina	?	OVAR		CAL	54,3	11,4	61,9	Friesch (1987)
Cerro de la Encina	?	OVAR		TA	25,3	22,68	57,4	Friesch (1987)
Cerro de la Encina	?	OVAR		TA	30,8	22,68	69,9	Friesch (1987)
Cerro de la Encina	Argar	OVAR		CAL	47,5	11,4	54,2	Lauk (1976)
Cerro de la Encina	Argar	OVAR		CAL	49	11,4	55,9	Lauk (1976)
Cerro de la Encina	Argar	OVAR		CAL	50,3	11,4	57,3	Lauk (1976)
Cerro de la Encina	Argar	OVAR		CAL	50,7	11,4	57,8	Lauk (1976)
Cerro de la Encina	Argar	OVAR		CAL	51,3	11,4	58,5	Lauk (1976)
Cerro de la Encina	Argar	OVAR		CAL	51,5	11,4	58,7	Friesch (1987)
Cerro de la Encina	Argar	OVAR		CAL	52,5	11,4	59,9	Lauk (1976)
Cerro de la Encina	Argar	OVAR		CAL	53	11,4	60,4	Friesch (1987)
Cerro de la Encina	Argar	OVAR		CAL	54,5	11,4	62,1	Friesch (1987)
Cerro de la Encina	Argar	OVAR		CAL	54,5	11,4	62,1	Lauk (1976)
Cerro de la Encina	Argar	OVAR		CAL	55	11,4	62,7	Lauk (1976)
Cerro de la Encina	Argar	OVAR		CAL	55	11,4	62,7	Lauk (1976)
Cerro de la Encina	Argar	OVAR		CAL	55,5	11,4	63,3	Friesch (1987)
Cerro de la Encina	Argar	OVAR		CAL	55,5	11,4	63,3	Lauk (1976)
Cerro de la Encina	Argar	OVAR		CAL	56	11,4	63,8	Friesch (1987)
Cerro de la Encina	Argar	OVAR		CAL	56,5	11,4	64,4	Friesch (1987)
Cerro de la Encina	Argar	OVAR		CAL	57	11,4	65,0	Friesch (1987)
Cerro de la Encina	Argar	OVAR		CAL	58	11,4	66,1	Friesch (1987)
Cerro de la Encina	Argar	OVAR		HU	139,5	4,28	59,7	Friesch (1987)

Yacimiento	Fase	Especie	Sexo	Hueso	LM (mm)	Factor	h Cruz (cm)	Bibliografía datos biométricos
Cerro de la Encina	Argar	OVAR		MC	116	4,89	56,7	Friesch (1987)
Cerro de la Encina	Argar	OVAR		R	140,5	4,02	56,5	Friesch (1987) cita a Lauk (1976)
Cerro de la Encina	Argar	OVAR		R	140,5	4,02	56,5	Lauk (1976)
Cerro de la Encina	Argar	OVAR		R	145	4,02	58,3	Friesch (1987)
Cerro de la Encina	Argar	OVAR		R	150,5	4,02	60,5	Friesch (1987)
Cerro de la Encina	Argar	OVAR		R	153,5	4,02	61,7	Friesch (1987)
Cerro de la Encina	Argar	OVAR		R	160	4,02	64,3	Friesch (1987)
Cerro de la Encina	Argar	OVAR		TA	24	22,68	54,4	Lauk (1976)
Cerro de la Encina	Argar	OVAR		TA	26	22,68	59,0	Friesch (1987)
Cerro de la Encina	Argar	OVAR		TA	29,5	22,68	66,9	Lauk (1976)
Cerro de la Encina	Argar	OVAR		TA	30,5	22,68	69,2	Friesch (1987)
Cerro de la Encina	Bronce Final	OVAR		MT	132	4,54	59,9	Friesch (1987)
Cerro de la Encina	Bronce Final	OVAR		R	145	4,02	58,3	Friesch (1987) cita a Lauk (1976)
Cerro de la Encina	Bronce Final	OVAR		R	145	4,02	58,3	Lauk (1976)
Cerro de la Encina	Bronce Final	OVAR		TA	24,3	22,68	55,1	Friesch (1987)
Cerro de la Encina	Bronce Final	OVAR		TA	24,5	22,68	55,6	Lauk (1976)
Cerro de la Encina	Bronce Final	OVAR		TA	28,5	22,68	64,6	Lauk (1976)
Cerro de la Encina	Bronce Final	OVAR		TA	29,5	22,68	66,9	Friesch (1987)
Cerro de la Encina	Ibérico	OVAR		TA	24,8	22,68	56,2	Friesch (1987)
Cerro de la Tortuga	Fenicio	OVAR		MC	137	4,89	67,0	Hans-Peter y Uerpmann (1972)
Cerro de la Tortuga	Fenicio	OVAR		TA	27,5	22,68	62,4	Hans-Peter y Uerpmann (1972)
Cerro de la Tortuga	Fenicio	OVAR		TA	27,5	22,68	62,4	Hans-Peter y Uerpmann (1972)
Cerro de la Tortuga	Fenicio	OVAR		TA	28,5	22,68	64,6	Hans-Peter y Uerpmann (1972)
Cerro de la Virgen	?	OVAR		CAL	51	11,4	58,1	Driesch (1972)
Cerro de la Virgen	?	OVAR		CAL	52,5	11,4	59,9	Driesch (1972)
Cerro de la Virgen	?	OVAR		MC	136	4,89	66,5	Driesch (1972)
Cerro de la Virgen	?	OVAR		MT	143	4,54	64,9	Driesch (1972)
Cerro de la Virgen	?	OVAR		MT	145	4,54	65,8	Driesch (1972)
Cerro de la Virgen	?	OVAR		R	166	4,02	66,7	Driesch (1972)
Cerro de la Virgen	?	OVAR		TA	26	22,68	59,0	Driesch (1972)
Cerro de la Virgen	?	OVAR		TA	30,2	22,68	68,5	Driesch (1972)
Cerro de la Virgen	Árabe	OVAR		CAL	56,5	11,4	64,4	Driesch (1972)
Cerro de la Virgen	Árabe	OVAR		HU	129,5	4,28	55,4	Driesch (1972)
Cerro de la Virgen	Árabe	OVAR		MC	117	4,89	57,2	Driesch (1972)
Cerro de la Virgen	Árabe	OVAR		MC	122,5	4,89	59,9	Driesch (1972)
Cerro de la Virgen	Árabe	OVAR		MT	124	4,54	56,3	Driesch (1972)
Cerro de la Virgen	Árabe	OVAR		MT	129,5	4,54	58,8	Driesch (1972)
Cerro de la Virgen	Árabe	OVAR		TA	27,5	22,68	62,4	Driesch (1972)
Cerro de la Virgen	Árabe	OVAR		TA	29,5	22,68	66,9	Driesch (1972)
Cerro de la Virgen	Argar	OVAR		CAL	54,5	11,4	62,1	Driesch (1972)
Cerro de la Virgen	Argar	OVAR		CAL	60	11,4	68,4	Driesch (1972)
Cerro de la Virgen	Argar	OVAR		HU	128	4,28	54,8	Driesch (1972)
Cerro de la Virgen	Argar	OVAR		MT	140,5	4,54	63,8	Driesch (1972)
Cerro de la Virgen	Argar	OVAR		R	161	4,02	64,7	Driesch (1972)
Cerro de la Virgen	Argar	OVAR		TA	26	22,68	59,0	Driesch (1972)
Cerro de la Virgen	Argar	OVAR		TA	31,7	22,68	71,9	Driesch (1972)
Cerro de la Virgen	Argar/Árabe	OVAR		CAL	56	11,4	63,8	Driesch (1972)
Cerro de la Virgen	Argar/Árabe	OVAR		MT	135	4,54	61,3	Driesch (1972)
Cerro de la Virgen	Argar/Árabe	OVAR		MT	146,5	4,54	66,5	Driesch (1972)
Cerro de la Virgen	Campaniforme	OVAR		CAL	49,5	11,4	56,4	Driesch (1972)
Cerro de la Virgen	Campaniforme	OVAR		CAL	67,5	11,4	77,0	Driesch (1972)
Cerro de la Virgen	Campaniforme	OVAR		MC	116,5	4,89	57,0	Driesch (1972)
Cerro de la Virgen	Campaniforme	OVAR		MC	123	4,89	60,1	Driesch (1972)
Cerro de la Virgen	Campaniforme	OVAR		MC	125,5	4,89	61,4	Driesch (1972)
Cerro de la Virgen	Campaniforme	OVAR		MC	129,9	4,89	63,5	Driesch (1972)
Cerro de la Virgen	Campaniforme	OVAR		MC	132	4,89	64,5	Driesch (1972)
Cerro de la Virgen	Campaniforme	OVAR		MC	135	4,89	66,0	Driesch (1972)
Cerro de la Virgen	Campaniforme	OVAR		MC	135	4,89	66,0	Driesch (1972)
Cerro de la Virgen	Campaniforme	OVAR		MC	139,5	4,89	68,2	Driesch (1972)
Cerro de la Virgen	Campaniforme	OVAR		MC	148	4,89	72,4	Driesch (1972)
Cerro de la Virgen	Campaniforme	OVAR		MT	123	4,54	55,8	Driesch (1972)
Cerro de la Virgen	Campaniforme	OVAR		MT	136,5	4,54	62,0	Driesch (1972)
Cerro de la Virgen	Campaniforme	OVAR		MT	140	4,54	63,6	Driesch (1972)

Yacimiento	Fase	Especie	Sexo	Hueso	LM (mm)	Factor	h Cruz (cm)	Bibliografía datos biométricos
Cerro de la Virgen	Campaniforme	OVAR		MT	141	4,54	64,0	Driesch (1972)
Cerro de la Virgen	Campaniforme	OVAR		MT	141,5	4,54	64,2	Driesch (1972)
Cerro de la Virgen	Campaniforme	OVAR		MT	142	4,54	64,5	Driesch (1972)
Cerro de la Virgen	Campaniforme	OVAR		MT	143	4,54	64,9	Driesch (1972)
Cerro de la Virgen	Campaniforme	OVAR		MT	143,5	4,54	65,1	Driesch (1972)
Cerro de la Virgen	Campaniforme	OVAR		MT	145	4,54	65,8	Driesch (1972)
Cerro de la Virgen	Campaniforme	OVAR		MT	148	4,54	67,2	Driesch (1972)
Cerro de la Virgen	Campaniforme	OVAR		MT	149	4,54	67,6	Driesch (1972)
Cerro de la Virgen	Campaniforme	OVAR		MT	151	4,54	68,6	Driesch (1972)
Cerro de la Virgen	Campaniforme	OVAR		R	143	4,02	57,5	Driesch (1972)
Cerro de la Virgen	Campaniforme	OVAR		R	168	4,02	67,5	Driesch (1972)
Cerro de la Virgen	Campaniforme	OVAR		R	168,5	4,02	67,7	Driesch (1972)
Cerro de la Virgen	Campaniforme	OVAR		TA	25,3	22,68	57,4	Driesch (1972)
Cerro de la Virgen	Campaniforme	OVAR		TA	31,6	22,68	71,7	Driesch (1972)
Cerro de la Virgen	Campaniforme	OVAR		TI	202,5	3,01	61,0	Driesch (1972)
Cerro de la Virgen	Campaniforme/Argar	OVAR		CAL	54	11,4	61,6	Driesch (1972)
Cerro de la Virgen	Campaniforme/Argar	OVAR		CAL	59,5	11,4	67,8	Driesch (1972)
Cerro de la Virgen	Campaniforme/Argar	OVAR		MT	158,5	4,54	72,0	Driesch (1972)
Cerro de la Virgen	Campaniforme/Argar	OVAR		R	165	4,02	66,3	Driesch (1972)
Cerro de la Virgen	Campaniforme/Argar	OVAR		TA	26,1	22,68	59,2	Driesch (1972)
Cerro de la Virgen	Campaniforme/Argar	OVAR		TA	31,7	22,68	71,9	Driesch (1972)
Cerro de la Virgen	Cobre	OVAR		CAL	51	11,4	58,1	Driesch (1972)
Cerro de la Virgen	Cobre	OVAR		CAL	60,7	11,4	69,2	Driesch (1972)
Cerro de la Virgen	Cobre	OVAR		MC	121	4,89	59,2	Driesch (1972)
Cerro de la Virgen	Cobre	OVAR		MC	129	4,89	63,1	Driesch (1972)
Cerro de la Virgen	Cobre	OVAR		MC	136	4,89	66,5	Driesch (1972)
Cerro de la Virgen	Cobre	OVAR		MC	137	4,89	67,0	Driesch (1972)
Cerro de la Virgen	Cobre	OVAR		MC	140	4,89	68,5	Driesch (1972)
Cerro de la Virgen	Cobre	OVAR		MT	141,5	4,54	64,2	Driesch (1972)
Cerro de la Virgen	Cobre	OVAR		MT	143,5	4,54	65,1	Driesch (1972)
Cerro de la Virgen	Cobre	OVAR		MT	145,5	4,54	66,1	Driesch (1972)
Cerro de la Virgen	Cobre	OVAR		MT	146	4,54	66,3	Driesch (1972)
Cerro de la Virgen	Cobre	OVAR		MT	147,5	4,54	67,0	Driesch (1972)
Cerro de la Virgen	Cobre	OVAR		MT	155	4,54	70,4	Driesch (1972)
Cerro de la Virgen	Cobre	OVAR		R	157	4,02	63,1	Driesch (1972)
Cerro de la Virgen	Cobre	OVAR		R	158	4,02	63,5	Driesch (1972)
Cerro de la Virgen	Cobre	OVAR		TA	25	22,68	56,7	Driesch (1972)
Cerro de la Virgen	Cobre	OVAR		TA	30,5	22,68	69,2	Driesch (1972)
Cerro de la Virgen	Cobre	OVAR		TI	196,5	3,01	59,1	Driesch (1972)
Cerro de la Virgen	Cobre	OVAR		TI	215	3,01	64,7	Driesch (1972)
Cerro de la Virgen	Cobre/Campaniforme	OVAR		CAL	54	11,4	61,6	Driesch (1972)
Cerro de la Virgen	Cobre/Campaniforme	OVAR		CAL	64	11,4	73,0	Driesch (1972)
Cerro de la Virgen	Cobre/Campaniforme	OVAR		MC	125,5	4,89	61,4	Driesch (1972)
Cerro de la Virgen	Cobre/Campaniforme	OVAR		MC	127	4,89	62,1	Driesch (1972)
Cerro de la Virgen	Cobre/Campaniforme	OVAR		MC	130	4,89	63,6	Driesch (1972)
Cerro de la Virgen	Cobre/Campaniforme	OVAR		MC	132,5	4,89	64,8	Driesch (1972)
Cerro de la Virgen	Cobre/Campaniforme	OVAR		MC	137	4,89	67,0	Driesch (1972)
Cerro de la Virgen	Cobre/Campaniforme	OVAR		MT	133,5	4,54	60,6	Driesch (1972)
Cerro de la Virgen	Cobre/Campaniforme	OVAR		MT	142	4,54	64,5	Driesch (1972)
Cerro de la Virgen	Cobre/Campaniforme	OVAR		R	143,5	4,02	57,7	Driesch (1972)
Cerro de la Virgen	Cobre/Campaniforme	OVAR		TA	26	22,68	59,0	Driesch (1972)
Cerro de la Virgen	Cobre/Campaniforme	OVAR		TA	31	22,68	70,3	Driesch (1972)
Cerro de la Virgen	Cobre/Campaniforme	OVAR		TI	230	3,01	69,2	Driesch (1972)
Cerro de las Viñas		OVAR		CAL	52,4	11,4	59,7	Ayala (1991)
Cerro de las Viñas		OVAR		CAL	54	11,4	61,6	Ayala (1991)
Cerro de las Viñas		OVAR		CAL	56,1	11,4	64,0	Ayala (1991)
Cerro de las Viñas		OVAR		CAL	56,5	11,4	64,4	Ayala (1991)
Cerro de las Viñas		OVAR		MC	128,2	4,89	62,7	Ayala (1991)
Cerro de las Viñas		OVAR		TA	26,6	22,68	60,3	Ayala (1991)
Cerro de las Viñas		OVAR		TA	27,2	22,68	61,7	Ayala (1991)
Cerro de las Viñas		OVAR		TA	27,6	22,68	62,6	Ayala (1991)
Cerro de las Viñas		OVAR		TA	27,8	22,68	63,1	Ayala (1991)
Cerro de las Viñas		OVAR		TA	28,1	22,68	63,7	Ayala (1991)
Cerro de las Viñas		OVAR		TA	28,1	22,68	63,7	Ayala (1991)

Yacimiento	Fase	Especie	Sexo	Hueso	LM (mm)	Factor	h Cruz (cm)	Bibliografía datos biométricos
Cerro de las Viñas		OVAR		TA	28,2	22,68	64,0	Ayala (1991)
Cerro de las Viñas		OVAR		TA	28,4	22,68	64,4	Ayala (1991)
Cerro de las Viñas		OVAR		TA	29,3	22,68	66,5	Ayala (1991)
Cerro de las Viñas		OVAR		TA	30	22,68	68,0	Ayala (1991)
Cerro de las Viñas		OVAR		TA	30,9	22,68	70,1	Ayala (1991)
Cerro del Real	Postargar	OVAR		CAL	52,5	11,4	59,9	Boessneck (1969)
Cerro del Real	Postargar	OVAR		MC	115	4,89	56,2	Boessneck (1969)
Cerro del Real	Postargar	OVAR		MC	123	4,89	60,1	Boessneck (1969)
Cerro del Real	Postargar	OVAR		MC	123	4,89	60,1	Boessneck (1969)
Cerro del Real	Postargar	OVAR		R	154	3,98	61,3	Boessneck (1969)
Cerro del Real	Postargar	OVAR		TA	23,5	22,68	53,3	Boessneck (1969)
Cerro del Real	Postargar	OVAR		TA	25	22,68	56,7	Boessneck (1969)
Cerro del Real	Postargar	OVAR		TA	26	22,68	59,0	Boessneck (1969)
Cerro del Real	Postargar	OVAR		TA	26,7	22,68	60,6	Boessneck (1969)
Cerro del Real	Postargar	OVAR		TA	27	22,68	61,2	Boessneck (1969)
Cerro del Real	Postargar	OVAR		TA	28	22,68	63,5	Boessneck (1969)
Cerro del Real	Postargar	OVAR		TA	28	22,68	63,5	Boessneck (1969)
Ciudad de la Justicia	Calcolítico	OVAR	MACHO	MT	150,13	4,54	68,16	Riquelme (2010)
Ciudad de la Justicia	Calcolítico	OVAR	MACHO	R	173,8	4,02	69,9	Riquelme (2010)
Ciudad de la Justicia	Calcolítico	OVAR	HEMBRA	R Y MT			64,0	Riquelme (2010)
Cuesta del Negro	?	OVAR		CAL	48	11,4	54,7	Lauk (1976)
Cuesta del Negro	?	OVAR		CAL	49,5	11,4	56,4	Lauk (1976)
Cuesta del Negro	?	OVAR		CAL	51,5	11,4	58,7	Lauk (1976)
Cuesta del Negro	?	OVAR		MC	127	4,89	62,1	Lauk (1976)
Cuesta del Negro	?	OVAR		MT	137	4,54	62,2	Lauk (1976)
Cuesta del Negro	?	OVAR		R	147	4,02	59,1	Lauk (1976)
Cuesta del Negro	?	OVAR		TA	25	22,68	56,7	Lauk (1976)
Cuesta del Negro	Argar	OVAR		CAL	49,8	11,4	56,8	Lauk (1976)
Cuesta del Negro	Argar	OVAR		CAL	51	11,4	58,1	Lauk (1976)
Cuesta del Negro	Argar	OVAR		CAL	51	11,4	58,1	Lauk (1976)
Cuesta del Negro	Argar	OVAR		CAL	52	11,4	59,3	Lauk (1976)
Cuesta del Negro	Argar	OVAR		CAL	56	11,4	63,8	Lauk (1976)
Cuesta del Negro	Argar	OVAR		CAL	56,8	11,4	64,8	Lauk (1976)
Cuesta del Negro	Argar	OVAR		MT	131,7	4,54	59,8	Lauk (1976)
Cuesta del Negro	Argar	OVAR		R	156	4,02	62,7	Lauk (1976)
Cuesta del Negro	Argar	OVAR		TA	28	22,68	63,5	Lauk (1976)
Cuesta del Negro	Argar	OVAR		TA	28,1	22,68	63,7	Lauk (1976)
Cuesta del Negro	Bronce Tardío	OVAR		CAL	47,5	11,4	54,2	Lauk (1976)
Cuesta del Negro	Bronce Tardío	OVAR		CAL	49	11,4	55,9	Lauk (1976)
Cuesta del Negro	Bronce Tardío	OVAR		CAL	52	11,4	59,3	Lauk (1976)
Cuesta del Negro	Bronce Tardío	OVAR		CAL	54	11,4	61,6	Lauk (1976)
Cuesta del Negro	Bronce Tardío	OVAR		CAL	54,2	11,4	61,8	Lauk (1976)
Cuesta del Negro	Bronce Tardío	OVAR		CAL	55	11,4	62,7	Lauk (1976)
Cuesta del Negro	Bronce Tardío	OVAR		CAL	57,5	11,4	65,6	Lauk (1976)
Cuesta del Negro	Bronce Tardío	OVAR		CAL	58	11,4	66,1	Lauk (1976)
Cuesta del Negro	Bronce Tardío	OVAR		MC	119	4,89	58,2	Lauk (1976)
Cuesta del Negro	Bronce Tardío	OVAR		MC	121,5	4,89	59,4	Lauk (1976)
Cuesta del Negro	Bronce Tardío	OVAR		MT	132	4,54	59,9	Lauk (1976)
Cuesta del Negro	Bronce Tardío	OVAR		R	142	4,02	57,1	Lauk (1976)
Cuesta del Negro	Bronce Tardío	OVAR		R	152	4,02	61,1	Lauk (1976)
Cuesta del Negro	Bronce Tardío	OVAR		TA	25	22,68	56,7	Lauk (1976)
Cuesta del Negro	Bronce Tardío	OVAR		TA	29,5	22,68	66,9	Lauk (1976)
Cueva de la Dehesilla	Neolítico	OVAR	HEMBRA	TA	26	22,68	59,0	Boessneck y Driesch (1980)
Cueva de la Dehesilla	Neolítico	OVAR		TA	28	22,68	63,5	Boessneck y Driesch (1980)
Cueva de la Sarsa	Neolítico	OVAR	MACHO	CAL	56,5	11,4	64,4	Boessneck y Driesch (1980)
Cueva de la Sarsa	Neolítico	OVAR	MACHO	CAL	56,5	11,4	64,4	Boessneck y Driesch (1980)
Cueva de la Sarsa	Neolítico	OVAR	MACHO	CAL	59,3	11,4	67,6	Boessneck y Driesch (1980)
Cueva de la Sarsa	Neolítico	OVAR	MACHO	CAL	59,5	11,4	67,8	Boessneck y Driesch (1980)
Cueva de la Sarsa	Neolítico	OVAR	MACHO	CAL	60	11,4	68,4	Boessneck y Driesch (1980)
Cueva de la Sarsa	Neolítico	OVAR	MACHO	CAL	61,3	11,4	69,9	Boessneck y Driesch (1980)
Cueva de la Sarsa	Neolítico	OVAR	HEMBRA	MC	132	4,89	64,5	Boessneck y Driesch (1980)
Cueva de Nerja	?	OVAR	HEMBRA	TA	26,5	22,68	60,1	Boessneck y Driesch (1980)
Cueva de Nerja	?	OVAR	HEMBRA	TA	28	22,68	63,5	Boessneck y Driesch (1980)
Cueva de Nerja	Epipaleolítico	OVAR	MACHO	TA	35	22,68	79,4	Boessneck y Driesch (1980)



Yacimiento	Fase	Especie	Sexo	Hueso	LM (mm)	Factor	h Cruz (cm)	Bibliografía datos biométricos
Cueva de Nerja	Neolítico	OVAR	MACHO	CAL	52	11,4	59,3	Boessneck y Driesch (1980)
Cueva de Nerja	Neolítico	OVAR	HEMBRA	MC	125	4,89	61,1	Boessneck y Driesch (1980)
Cueva de Nerja	Neolítico	OVAR	HEMBRA	TA	26	22,68	59,0	Boessneck y Driesch (1980)
Cueva de Nerja	Neolítico	OVAR	HEMBRA	TA	27,2	22,68	61,7	Boessneck y Driesch (1980)
Cueva de Nerja	Neolítico	OVAR		TA	28,7	22,68	65,1	Boessneck y Driesch (1980)
Cueva de Nerja	Neolítico	OVAR	MACHO	TA	30	22,68	68,0	Boessneck y Driesch (1980)
Cueva del Parralejo	Calcolítico	OVAR	MACHO	TA	30	22,68	68,0	Boessneck y Driesch (1980)
Cueva del Parralejo	Neolítico	OVAR		TA	28	22,68	63,5	Boessneck y Driesch (1980)
Cueva del Parralejo	Neolítico	OVAR	MACHO	TA	31	22,68	70,3	Boessneck y Driesch (1980)
Cueva Soterraña	Bronce	OVAR		CAL	55,5	11,4	63,3	Sarrión (1982)
Cueva Soterraña	Bronce	OVAR		FE	183,3	3,53	64,7	Sarrión (1982)
Cueva Soterraña	Bronce	OVAR		HU	141	4,28	60,3	Sarrión (1982)
Cueva Soterraña	Bronce	OVAR		MC	121,9	4,89	59,6	Sarrión (1982)
Cueva Soterraña	Bronce	OVAR		MC	129,6	4,89	63,4	Sarrión (1982)
Cueva Soterraña	Bronce	OVAR		MT	140,6	4,54	63,8	Sarrión (1982)
Cueva Soterraña	Bronce	OVAR		MT	141,2	4,54	64,1	Sarrión (1982)
Cueva Soterraña	Bronce	OVAR		MT	144,3	4,54	65,5	Sarrión (1982)
Cueva Soterraña	Bronce	OVAR		R	148,7	4,02	59,8	Sarrión (1982)
Cueva Soterraña	Bronce	OVAR		TI	191,4	3,01	57,6	Sarrión (1982)
Ereta del Pedregal	Calcolítico	OVAR		CAL	48,2	11,4	54,9	Pérez Ripoll (1990)
Ereta del Pedregal	Calcolítico	OVAR		CAL	54	11,4	61,6	Pérez Ripoll (1990)
Ereta del Pedregal	Calcolítico	OVAR		CAL	58	11,4	66,1	Pérez Ripoll (1990)
Ereta del Pedregal	Calcolítico	OVAR		MC	127,7	4,89	62,4	Pérez Ripoll (1990)
Ereta del Pedregal	Calcolítico	OVAR		TA	26	22,68	59,0	Pérez Ripoll (1990)
Ereta del Pedregal	Calcolítico	OVAR		TA	27	22,68	61,2	Pérez Ripoll (1990)
Ereta del Pedregal	Calcolítico	OVAR		TA	27,2	22,68	61,7	Pérez Ripoll (1990)
Ereta del Pedregal	Calcolítico	OVAR		TA	27,8	22,68	63,1	Pérez Ripoll (1990)
Ereta del Pedregal	Calcolítico	OVAR		TA	28	22,68	63,5	Pérez Ripoll (1990)
Ereta del Pedregal	Calcolítico	OVAR		TA	29	22,68	65,8	Pérez Ripoll (1990)
Ereta del Pedregal	Calcolítico	OVAR		TA	29	22,68	65,8	Pérez Ripoll (1990)
Ereta del Pedregal	Calcolítico	OVAR		TA	29,2	22,68	66,2	Pérez Ripoll (1990)
Ereta del Pedregal	Calcolítico	OVAR		TA	30	22,68	68,0	Pérez Ripoll (1990)
Fuente Álamo	Bronce	OVAR		CAL	50,7	11,4	57,8	Driesch et alii (1985)
Fuente Álamo	Bronce	OVAR		CAL	56,5	11,4	64,4	Driesch et alii (1985)
Fuente Álamo	Bronce	OVAR	HEMBRA	MC	125	4,89	61,1	Driesch et alii (1985)
Fuente Álamo	Bronce	OVAR	HEMBRA	R	148	4,02	59,5	Driesch et alii (1985)
Fuente Álamo	Bronce	OVAR		TA	24,7	22,68	56,0	Driesch et alii (1985)
Fuente Álamo	Bronce	OVAR		TA	31,5	22,68	71,4	Driesch et alii (1985)
Jovades Cocentaina	Calcolítico	OVAR		CAL	53,5	11,4	61,0	Martínez Valle (1993)
Jovades Cocentaina	Calcolítico	OVAR	MACHO	MT	160	4,54	72,6	Martínez Valle (1993)
Jovades Cocentaina	Calcolítico	OVAR		TA	28,3	22,68	64,2	Martínez Valle (1993)
La Vital	Cobre	OVAR		CAL	51,85	11,4	59,1	Iborra 2011
La Vital	Cobre	OVAR		MT	136,17	4,54	61,8	Iborra 2011
La Vital	Cobre	OVAR		MT	139,35	4,54	63,3	Iborra 2011
La Vital	Cobre	OVAR		R	138,83	4,02	55,8	Iborra 2011
La Vital	Cobre	OVAR		R	141,01	4,02	56,7	Iborra 2011
La Vital	Cobre	OVAR		TA	25,52	22,68	57,9	Iborra 2011
La Vital	Cobre	OVAR		TA	26,79	22,68	60,8	Iborra 2011
La Vital	Cobre	OVAR		TA	26,85	22,68	60,9	Iborra 2011
La Vital	Cobre	OVAR		TA	32,45	22,68	73,6	Iborra 2011
Loma de la Balunca	Argar	OVAR		CAL	50	11,4	57,0	Milz (1986)
Loma de la Balunca	Argar	OVAR		TA	26	22,68	59,0	Milz (1986)
Loma de la Balunca	Argar	OVAR		TA	28,5	22,68	64,6	Milz (1986)
Los Millares	Cobre	OVAR		CAL	55	11,4	62,7	Peters y Driesch (1990)
Los Millares	Cobre	OVAR		CAL	55,5	11,4	63,3	Peters y Driesch (1990)
Los Millares	Cobre	OVAR		CAL	56,5	11,4	64,4	Peters y Driesch (1990)
Los Millares	Cobre	OVAR		CAL	57,5	11,4	65,6	Peters y Driesch (1990)
Los Millares	Cobre	OVAR		TA	26,5	22,68	60,1	Peters y Driesch (1990)
Los Millares	Cobre	OVAR		TA	31	22,68	70,3	Peters y Driesch (1990)
Motilla de Azuer	Bronce	OVAR		CAL	52,5	11,4	59,9	Driesch y Boessneck (1980)
Motilla de Azuer	Bronce	OVAR		CAL	54	11,4	61,6	Driesch y Boessneck (1980)
Motilla de Azuer	Bronce	OVAR		CAL	55	11,4	62,7	Driesch y Boessneck (1980)
Motilla de Azuer	Bronce	OVAR		CAL	55,5	11,4	63,3	Driesch y Boessneck (1980)
Motilla de Azuer	Bronce	OVAR		CAL	56,5	11,4	64,4	Driesch y Boessneck (1980)

Yacimiento	Fase	Especie	Sexo	Hueso	LM (mm)	Factor	h Cruz (cm)	Bibliografía datos biométricos
Motilla de Azuer	Bronce	OVAR		TA	25	22,68	56,7	Driesch y Boessneck (1980)
Motilla de Azuer	Bronce	OVAR		TA	29,5	22,68	66,9	Driesch y Boessneck (1980)
Motilla de Azuer	Bronce?	OVAR		CAL	53,5	11,4	61,0	Driesch y Boessneck (1980)
Motilla de Los Palacios	Bronce	OVAR		CAL	52	11,4	59,3	Driesch y Boessneck (1980)
Motilla de Los Palacios	Bronce	OVAR		CAL	54,5	11,4	62,1	Driesch y Boessneck (1980)
Motilla de Los Palacios	Bronce/Ibérico	OVAR		TA	25,5	22,68	57,8	Driesch y Boessneck (1980)
Motilla de Los Palacios	Bronce/Ibérico	OVAR		TA	30	22,68	68,0	Driesch y Boessneck (1980)
Pic dels Corbs	Bronce	OVAR		CAL	51,94	11,4	59,2	Barrachina y Sanchis (2011)
Pic dels Corbs	Bronce final	OVAR		TA	29,2	22,68	66,2	Barrachina y Sanchis (2011)
Rincón de Almendricos	Argar	OVAR		TA	27	22,68	61,2	Ayala (1991)
Tabayà	Argar	OVAR		CAL	47,2	11,4	53,8	Rizo (2009)
Tabayà	Argar	OVAR		MC	113,5	4,89	55,5	Rizo (2009)
Tabayà	Argar	OVAR		TA	26,4	22,68	59,9	Rizo (2009)
Tabayà	Argar	OVAR		TA	27,2	22,68	61,7	Rizo (2009)
Tabayà	Argar	OVAR		TA	27,6	22,68	62,6	Rizo (2009)
Tabayà	Bronce Final	OVAR		TA	23,2	22,68	52,6	Rizo (2009)
Terrera del Reloj	Argar	OVAR		CAL	44,5	11,4	50,7	Milz (1986)
Terrera del Reloj	Argar	OVAR		CAL	50,5	11,4	57,6	Milz (1986)
Terrera del Reloj	Argar	OVAR		CAL	52	11,4	59,3	Milz (1986)
Terrera del Reloj	Argar	OVAR		CAL	58	11,4	66,1	Milz (1986)
Terrera del Reloj	Argar	OVAR		MC	123	4,89	60,1	Milz (1986)
Terrera del Reloj	Argar	OVAR		R	130	4,02	52,3	Milz (1986)
Terrera del Reloj	Argar	OVAR		R	135	4,02	54,3	Milz (1986)
Terrera del Reloj	Argar	OVAR		TA	24	22,68	54,4	Milz (1986)
Terrera del Reloj	Argar	OVAR		TA	29,5	22,68	66,9	Milz (1986)
Terrera del Reloj	Argar	OVAR		TI	190	3,01	57,2	Milz (1986)
Terrera del Reloj	Argar	OVAR		TI	202	3,01	60,8	Milz (1986)
Toscanos	?	OVAR		R	143	4,02	57,5	Hans-Peter y Uerpman (1972)
Toscanos	?	OVAR		TA	26,5	22,68	60,1	Hans-Peter y Uerpman (1972)
Toscanos	Fenicio	OVAR		CAL	48,5	11,4	55,3	Hans-Peter y Uerpman (1972)
Toscanos	Fenicio	OVAR		CAL	52,5	11,4	59,9	Hans-Peter y Uerpman (1972)
Toscanos	Fenicio	OVAR		MC	135,5	4,89	66,3	Hans-Peter y Uerpman (1972)
Toscanos	Fenicio	OVAR		TA	25	22,68	56,7	Hans-Peter y Uerpman (1972)
Toscanos	Fenicio	OVAR		TA	26	22,68	59,0	Hans-Peter y Uerpman (1972)
Toscanos	Fenicio	OVAR		TA	26,5	22,68	60,1	Hans-Peter y Uerpman (1972)
Toscanos	Fenicio	OVAR		TA	27,5	22,68	62,4	Hans-Peter y Uerpman (1972)
Valencina de la Concepción	Cobre	OVAR		CAL	51,5	11,4	58,7	Hain (1982)
Valencina de la Concepción	Cobre	OVAR		CAL	64,5	11,4	73,5	Hain (1982)
Valencina de la Concepción	Cobre	OVAR		FE	170	3,53	60,0	Hain (1982)
Valencina de la Concepción	Cobre	OVAR	HEMBRA	MC	127,5	4,89	62,3	Hain (1982)
Valencina de la Concepción	Cobre	OVAR	HEMBRA	MC	133	4,89	65,0	Hain (1982)
Valencina de la Concepción	Cobre	OVAR	HEMBRA	MC	134,5	4,89	65,8	Hain (1982)
Valencina de la Concepción	Cobre	OVAR	HEMBRA	MC	136	4,89	66,5	Hain (1982)
Valencina de la Concepción	Cobre	OVAR	HEMBRA	MC	137	4,89	67,0	Hain (1982)
Valencina de la Concepción	Cobre	OVAR	HEMBRA	MC	137	4,89	67,0	Hain (1982)
Valencina de la Concepción	Cobre	OVAR	MACHO	MC	137,5	4,89	67,2	Hain (1982)
Valencina de la Concepción	Cobre	OVAR	HEMBRA	MC	138,5	4,89	67,7	Hain (1982)
Valencina de la Concepción	Cobre	OVAR	HEMBRA	MC	139,5	4,89	68,2	Hain (1982)
Valencina de la Concepción	Cobre	OVAR	CASTRADO	MC	140	4,89	68,5	Hain (1982)
Valencina de la Concepción	Cobre	OVAR	CASTRADO	MC	142,5	4,89	69,7	Hain (1982)
Valencina de la Concepción	Cobre	OVAR	MACHO	MC	143	4,89	69,9	Hain (1982)
Valencina de la Concepción	Cobre	OVAR	HEMBRA	MT	142,5	4,54	64,7	Hain (1982)
Valencina de la Concepción	Cobre	OVAR	HEMBRA	MT	148	4,54	67,2	Hain (1982)
Valencina de la Concepción	Cobre	OVAR	HEMBRA	MT	151	4,54	68,6	Hain (1982)
Valencina de la Concepción	Cobre	OVAR	HEMBRA	MT	151	4,54	68,6	Hain (1982)
Valencina de la Concepción	Cobre	OVAR	HEMBRA	MT	151	4,54	68,6	Hain (1982)
Valencina de la Concepción	Cobre	OVAR	HEMBRA	MT	152	4,54	69,0	Hain (1982)
Valencina de la Concepción	Cobre	OVAR	HEMBRA	MT	152,5	4,54	69,2	Hain (1982)
Valencina de la Concepción	Cobre	OVAR	CASTRADO	MT	153,5	4,54	69,7	Hain (1982)
Valencina de la Concepción	Cobre	OVAR	CASTRADO	MT	154	4,54	69,9	Hain (1982)
Valencina de la Concepción	Cobre	OVAR	HEMBRA	MT	154,5	4,54	70,1	Hain (1982)
Valencina de la Concepción	Cobre	OVAR	MACHO	MT	157,5	4,54	71,5	Hain (1982)
Valencina de la Concepción	Cobre	OVAR	_	MT	160	4,54	72,6	Hain (1982)
Valencina de la Concepción	Cobre	OVAR	MACHO	MT	161	4,54	73,1	Hain (1982)



Yacimiento	Fase	Especie	Sexo	Hueso	LM (mm)	Factor	h Cruz (cm)	Bibliografía datos biométricos
Valencina de la Concepción	Cobre	OVAR	CASTRADO	MT	162	4,54	73,5	Hain (1982)
Valencina de la Concepción	Cobre	OVAR	MACHO	MT	163	4,54	74,0	Hain (1982)
Valencina de la Concepción	Cobre	OVAR		R	152	4,02	61,1	Hain (1982)
Valencina de la Concepción	Cobre	OVAR		R	157	4,02	63,1	Hain (1982)
Valencina de la Concepción	Cobre	OVAR		R	161	4,02	64,7	Hain (1982)
Valencina de la Concepción	Cobre	OVAR		R	161,5	4,02	64,9	Hain (1982)
Valencina de la Concepción	Cobre	OVAR		R	161,5	4,02	64,9	Hain (1982)
Valencina de la Concepción	Cobre	OVAR		R	165,5	4,02	66,5	Hain (1982)
Valencina de la Concepción	Cobre	OVAR		R	167	4,02	67,1	Hain (1982)
Valencina de la Concepción	Cobre	OVAR		TA	25,5	22,68	57,8	Hain (1982)
Valencina de la Concepción	Cobre	OVAR		TA	33,5	22,68	76,0	Hain (1982)
Zambujal	Cobre	OVAR		CAL	50,5	11,4	57,6	Driesch y Boessneck (1976)
Zambujal	Cobre	OVAR		CAL	51,5	11,4	58,7	Driesch y Boessneck (1976)
Zambujal	Cobre	OVAR		CAL	52,5	11,4	59,9	Driesch y Boessneck (1976)
Zambujal	Cobre	OVAR		CAL	52,5	11,4	59,9	Driesch y Boessneck (1976)
Zambujal	Cobre	OVAR		CAL	52,5	11,4	59,9	Driesch y Boessneck (1976)
Zambujal	Cobre	OVAR		CAL	52,5	11,4	59,9	Driesch y Boessneck (1976)
Zambujal	Cobre	OVAR		CAL	52,5	11,4	59,9	Driesch y Boessneck (1976)
Zambujal	Cobre	OVAR		CAL	53	11,4	60,4	Driesch y Boessneck (1976)
Zambujal	Cobre	OVAR		CAL	53,5	11,4	61,0	Driesch y Boessneck (1976)
Zambujal	Cobre	OVAR	Zambujal	CAL	54	11,4	61,6	Driesch y Boessneck (1976)
Zambujal	Cobre	OVAR		CAL	54	11,4	61,6	Driesch y Boessneck (1976)
Zambujal	Cobre	OVAR		CAL	54	11,4	61,6	Driesch y Boessneck (1976)
Zambujal	Cobre	OVAR		CAL	54,5	11,4	62,1	Driesch y Boessneck (1976)
Zambujal	Cobre	OVAR		CAL	55	11,4	62,7	Driesch y Boessneck (1976)
Zambujal	Cobre	OVAR		CAL	55,5	11,4	63,3	Driesch y Boessneck (1976)
Zambujal	Cobre	OVAR		CAL	55,5	11,4	63,3	Driesch y Boessneck (1976)
Zambujal	Cobre	OVAR		CAL	55,5	11,4	63,3	Driesch y Boessneck (1976)
Zambujal	Cobre	OVAR	Zambujal	CAL	56	11,4	63,8	Driesch y Boessneck (1976)
Zambujal	Cobre	OVAR		CAL	56,5	11,4	64,4	Driesch y Boessneck (1976)
Zambujal	Cobre	OVAR		CAL	58,5	11,4	66,7	Driesch y Boessneck (1976)
Zambujal	Cobre	OVAR		CAL	60	11,4	68,4	Driesch y Boessneck (1976)
Zambujal	Cobre	OVAR		MC	127	4,89	62,1	Driesch y Boessneck (1976)
Zambujal	Cobre	OVAR		MC	128	4,89	62,6	Driesch y Boessneck (1976)
Zambujal	Cobre	OVAR		MC	134,5	4,89	65,8	Driesch y Boessneck (1976)
Zambujal	Cobre	OVAR		MC	137	4,89	67,0	Driesch y Boessneck (1976)
Zambujal	Cobre	OVAR	Zambujal	MT	145	4,54	65,8	Driesch y Boessneck (1976)
Zambujal	Cobre	OVAR		R	142	4,02	57,1	Driesch (1972)
Zambujal	Cobre	OVAR	MACHO	R	165	4,02	66,3	Driesch y Boessneck (1976)
Zambujal	Cobre	OVAR		TA	23,5	22,68	53,3	Driesch (1972)
Zambujal	Cobre	OVAR		TA	32	22,68	72,6	Driesch (1972)
Zambujal	Cobre	OVAR	Zambujal	TI	201	3,01	60,5	Driesch y Boessneck (1976)

Cálculo de altura de la cruz de *Sus domesticus* y *Sus scrofa*.

Yacimiento	Fase	Especie	Hueso	LM (mm)	Teichert 69		Teichert 90		Bibliografía datos biométricos
					Factor	h Cruz (cm)	Factor	h Cruz (cm)	
Acinipo	Bronce	SUDO	MT III	75,2	9,34	70,2	(9,34)+5,6	70,8	Riquelme (1990)
Acinipo	Bronce	SUDO	MT IV	76,5	8,84	67,6	(8.84)-3,8	67,2	Riquelme (1990)
Acinipo	Bronce final reciente	SUDO	TA	40,2	17,9	72,0	(17,9)+23	74,3	Riquelme (1990)
Arenal de la Costa	Calcolítico	SUDO	TA	36,8	17,9	65,9	(17,9)+23	68,2	Martínez Valle (1993)
Cabezo Redondo	Bronce final	SUDO	MC III	71,5	10,72	76,6	(10,72)-28.7	73,8	Driesch (1972)
Cabezo Redondo	Bronce final	<b>SUSC</b>	MC III	78	10,72	83,6	(10,72)-28.7	80,7	Driesch (1972)
Cabezo Redondo	Bronce final	SUDO	TA	34	17,9	60,9	(17,9)+23	63,2	Driesch (1972)
Cabezo Redondo	Bronce final	SUDO	TA	41,5	17,9	74,3	(17,9)+23	76,6	Driesch (1972)
Castellón Alto	Argar	SUDO	MT III	70	9,34	65,4	(9,34)+5,6	65,9	Milz (1986)
Castellón Alto	Argar	SUDO	MT IV	85	8,84	75,1	(8.84)-3,8	74,8	Milz (1986)
Castellón Alto	Argar	SUDO	TA	35	17,9	62,7	(17,9)+23	65,0	Milz (1986)
Castellón Alto	Argar	SUDO	TA	38	17,9	68,0	(17,9)+23	70,3	Milz (1986)
Castellón Alto	Argar	SUDO	TA	39,5	17,9	70,7	(17,9)+23	73,0	Milz (1986)
Castillejos de Montefrío	Cobre	SUDO	CAL	71,00	9,34	66,3	(9,34)+26	68,9	Ziegler (1990)
Castillejos de Montefrío	Cobre	SUDO	CAL	74,00	9,34	69,1	(9,34)+26	71,7	Ziegler (1990)
Castillejos de Montefrío	Cobre	SUDO	MC III	63,50	10,72	68,1	(10,72)-28.7	65,2	Ziegler (1990)
Castillejos de Montefrío	Cobre	<b>SUSC</b>	MT IV	87,50	8,84	77,4	(8.84)-3,8	77,0	Ziegler (1990)
Castillejos de Montefrío	Cobre	SUDO	TA	36,50	17,9	65,3	(17,9)+23	67,6	Ziegler (1990)
Castillejos de Montefrío	Cobre	SUDO	TA	39,00	17,9	69,8	(17,9)+23	72,1	Ziegler (1990)
Castillejos de Montefrío	Cobre	SUDO	TA	39,50	17,9	70,7	(17,9)+23	73,0	Ziegler (1990)
Castillejos de Montefrío	Cobre	SUDO	TA	40,00	17,9	71,6	(17,9)+23	73,9	Ziegler (1990)
Castillejos de Montefrío	Cobre	<b>SUSC</b>	TA	44,50	17,9	79,7	(17,9)+23	82,0	Ziegler (1990)
Castillejos de Montefrío	Neolítico	<b>SUSC</b>	CAL	100,00	9,34	93,4	(9,34)+26	96,0	Ziegler (1990)
Castillejos de Montefrío	Neolítico	SUDO	MC III	68,00	10,72	72,9	(10,72)-28.7	70,0	Ziegler (1990)
Castillejos de Montefrío	Neolítico	<b>SUSC</b>	MC III	82,50	10,72	88,4	(10,72)-28.7	85,6	Ziegler (1990)
Castillejos de Montefrío	Neolítico	<b>SUSC</b>	MC IV	83,00	10,53	87,4	(10,53)-29,4	84,5	Ziegler (1990)
Castillejos de Montefrío	Neolítico	<b>SUSC</b>	MC IV	88,50	10,53	93,2	(10,53)-29,4	90,3	Ziegler (1990)
Castillejos de Montefrío	Neolítico	SUDO	MT III	77,00	9,34	71,9	(9,34)+5,6	72,5	Ziegler (1990)
Castillejos de Montefrío	Neolítico	SUDO	MT III	77,00	9,34	71,9	(9,34)+5,6	72,5	Ziegler (1990)
Castillejos de Montefrío	Neolítico	<b>SUSC</b>	MT III	93,00	9,34	86,9	(9,34)+5,6	87,4	Ziegler (1990)
Castillejos de Montefrío	Neolítico	<b>SUSC</b>	MT III	100,00	9,34	93,4	(9,34)+5,6	94,0	Ziegler (1990)
Castillejos de Montefrío	Neolítico	<b>SUSC</b>	MT III	101,00	9,34	94,3	(9,34)+5,6	94,9	Ziegler (1990)

Yacimiento	Fase	Especie	Hueso	LM (mm)	Teichert 69		Teichert 90		Bibliografía datos biométricos
					Factor	h Cruz (cm)	Factor	h Cruz (cm)	
Castillejos de Montefrío	Neolítico	SUSC	MT IV	107,00	8,84	94,6	(8.84)-3,8	94,2	Ziegler (1990)
Castillejos de Montefrío	Neolítico	SUDO	TA	35,00	17,9	62,7	(17,9)+23	65,0	Ziegler (1990)
Castillejos de Montefrío	Neolítico	SUDO	TA	38,00	17,9	68,0	(17,9)+23	70,3	Ziegler (1990)
Castillejos de Montefrío	Neolítico	SUDO	TA	40,00	17,9	71,6	(17,9)+23	73,9	Ziegler (1990)
Castillejos de Montefrío	Neolítico	SUDO	TA	40,50	17,9	72,5	(17,9)+23	74,8	Ziegler (1990)
Castillejos de Montefrío	Neolítico/Cobre	SUDO	CAL	77,00	9,34	71,9	(9,34)+26	74,5	Ziegler (1990)
Castillejos de Montefrío	Neolítico/Cobre	SUDO	TA	37,50	17,9	67,1	(17,9)+23	69,4	Ziegler (1990)
Castillejos de Montefrío	Neolítico/Cobre	SUDO	TA	41,00	17,9	73,4	(17,9)+23	75,7	Ziegler (1990)
Cerro de la Encina	?	SUSC	CAL	86,5	9,34	80,8	(9,34)+26	83,4	Driesch (1972)
Cerro de la Encina	?	SUDO	MT III	80	9,34	74,7	(9,34)+5,6	75,3	Friesch (1987)
Cerro de la Encina	?	SUDO	MT IV	87,00	8,84	76,9	(8.84)-3,8	76,5	Friesch (1987)
Cerro de la Encina	?	SUSC	TA	43,5	17,9	77,9	(17,9)+23	80,2	Friesch (1987)
Cerro de la Encina	Argar	SUSC	CAL	85,5	9,34	79,9	(9,34)+26	82,5	Driesch (1972)
Cerro de la Encina	Argar	SUSC	CAL	92	9,34	85,9	(9,34)+26	88,5	Driesch (1972)
Cerro de la Encina	Argar	SUSC	CAL	97	9,34	90,6	(9,34)+26	93,2	Driesch (1972)
Cerro de la Encina	Argar	SUDO	MC III	66	10,72	70,8	(10,72)-28,7	67,9	Lauk (1976)
Cerro de la Encina	Argar	SUDO	MC III	68	10,72	72,9	(10,72)-28,7	70,0	Friesch (1987)
Cerro de la Encina	Argar	SUDO	MC III	70	10,72	75,0	(10,72)-28,7	72,2	Friesch (1987)
Cerro de la Encina	Argar	SUDO	MC III	70	10,72	75,0	(10,72)-28,7	72,2	Friesch (1987)
Cerro de la Encina	Argar	SUDO	MC III	72	10,72	77,2	(10,72)-28,7	74,3	Friesch (1987)
Cerro de la Encina	Argar	SUDO	MC III	73	10,72	78,3	(10,72)-28,7	75,4	Friesch (1987)
Cerro de la Encina	Argar	SUDO	MC III	73,5	10,72	78,8	(10,72)-28,7	75,9	Lauk (1976)
Cerro de la Encina	Argar	SUDO	MC IV	71,5	10,53	75,3	(10,53)-29,4	72,3	Lauk (1976)
Cerro de la Encina	Argar	SUDO	MC IV	75	10,53	79,0	(10,53)-29,4	76,0	Lauk (1976)
Cerro de la Encina	Argar	SUSC	MC IV	88,5	10,53	93,2	(10,53)-29,4	90,3	Lauk (1976)
Cerro de la Encina	Argar	SUDO	MT III	77	9,34	71,9	(9,34)+5,6	72,5	Friesch (1987)
Cerro de la Encina	Argar	SUDO	MT III	77	9,34	71,9	(9,34)+5,6	72,5	Lauk (1976)
Cerro de la Encina	Argar	SUSC ?	MT III	86,5	9,34	80,8	(9,34)+5,6	81,4	Lauk (1976)
Cerro de la Encina	Argar	SUSC ?	MT III	91	9,34	85,0	(9,34)+5,6	85,6	Lauk (1976)
Cerro de la Encina	Argar	SUSC	MT III	102	9,34	95,3	(9,34)+5,6	95,8	Lauk (1976)
Cerro de la Encina	Argar	SUSC	MT III	105,5	9,34	98,5	(9,34)+5,6	99,1	Lauk (1976)
Cerro de la Encina	Argar	SUSC ?	MT IV	93	8,84	82,2	(8.84)-3,8	81,8	Lauk (1976)
Cerro de la Encina	Argar	SUSC	MT IV	104,50	8,84	92,4	(8.84)-3,8	92,0	Lauk (1976)
Cerro de la Encina	Argar	SUDO	TA	36,5	17,9	65,3	(17,9)+23	67,6	Lauk (1976)

Yacimiento	Fase	Especie	Hueso	LM (mm)	Teichert 69		Teichert 90		Bibliografía datos biométricos
					Factor	h Cruz (cm)	Factor	h Cruz (cm)	
Cerro de la Encina	Argar	SUDO	TA	38	17,9	68,0	(17,9)+23	70,3	Friesch (1987)
Cerro de la Encina	Argar	SUDO	TA	40	17,9	71,6	(17,9)+23	73,9	Friesch (1987)
Cerro de la Encina	Argar	SUDO	TA	43	17,9	77,0	(17,9)+23	79,3	Lauk (1976)
Cerro de la Encina	Bronce final	SUDO	MC III	71	10,72	76,1	(10,72)-28,7	73,2	Friesch (1987)
Cerro de la Encina	Bronce final	SUDO	TA	38	17,9	68,0	(17,9)+23	70,3	Lauk (1976)
Cerro de la Encina	Bronce final	SUDO	TA	39	17,9	69,8	(17,9)+23	72,1	Lauk (1976)
Cerro de la Tortuga	Fenicio	SUDO	CAL	70,5	9,34	65,8	(10,53)-29,4	71,3	Hans-Peter y Uerpmann (1972)
Cerro de la Tortuga	Fenicio	SUDO	MT IV	82,5	8,84	72,9	(8,84)-3,8	72,6	Hans-Peter y Uerpmann (1972)
Cerro de la Tortuga	Fenicio	SUDO	TA	36,5	17,9	65,3	(17,9)+23	67,6	Hans-Peter y Uerpmann (1972)
Cerro de la Virgen	?	SUDO	TA	36,5	17,9	65,3	(17,9)+23	67,6	Driesch (1972)
Cerro de la Virgen	?	SUDO	TA	39,5	17,9	70,7	(17,9)+23	73,0	Driesch (1972)
Cerro de la Virgen	?	SUDO	TA	40	17,9	71,6	(17,9)+23	73,9	Driesch (1972)
Cerro de la Virgen	Árabe	<b>SUSC !</b>	CAL	97,5	9,34	91,1	(9,34)+26	93,7	Driesch (1972)
Cerro de la Virgen	Árabe	SUDO	MC III	66	10,72	70,8	(10,72)-28,7	67,9	Driesch (1972)
Cerro de la Virgen	Árabe	SUDO	MC III	68,5	10,72	73,4	(10,72)-28,7	70,6	Driesch (1972)
Cerro de la Virgen	Árabe	SUDO	MC IV	65,5	10,53	69,0	(10,53)-29,4	66,0	Driesch (1972)
Cerro de la Virgen	Árabe	SUDO	TA	35,5	17,9	63,5	(17,9)+23	65,8	Driesch (1972)
Cerro de la Virgen	Argar	SUDO	MC III	66,5	10,72	71,3	(10,72)-28,7	68,4	Driesch (1972)
Cerro de la Virgen	Argar	<b>SUSC ?</b>	MC IV	78,7	10,53	82,9	(10,53)-29,4	79,9	Driesch (1972)
Cerro de la Virgen	Argar	SUDO	MT III	74,5	9,34	69,6	(9,34)+5,6	70,1	Driesch (1972)
Cerro de la Virgen	Argar	SUDO	MT III	76	9,34	71,0	(9,34)+5,6	71,5	Driesch (1972)
Cerro de la Virgen	Argar	SUDO	TA	37	17,9	66,2	(17,9)+23	68,5	Driesch (1972)
Cerro de la Virgen	Argar	SUDO	TA	38	17,9	68,0	(17,9)+23	70,3	Driesch (1972)
Cerro de la Virgen	Argar	SUDO	TA	39	17,9	69,8	(17,9)+23	72,1	Driesch (1972)
Cerro de la Virgen	Argar	SUDO	TA	40	17,9	71,6	(17,9)+23	73,9	Driesch (1972)
Cerro de la Virgen	Argar	SUDO	TA	40,5	17,9	72,5	(17,9)+23	74,8	Driesch (1972)
Cerro de la Virgen	Argar	SUDO	TA	41,5	17,9	74,3	(17,9)+23	76,6	Driesch (1972)
Cerro de la Virgen	Campaniforme	SUDO	CAL	74,5	9,34	69,6	(9,34)+26	72,2	Driesch (1972)
Cerro de la Virgen	Campaniforme	<b>SUSC !</b>	CAL	93	9,34	86,9	(9,34)+26	89,5	Driesch (1972)
Cerro de la Virgen	Campaniforme	SUDO	MC III	61,2	10,72	65,6	(10,72)-28,7	62,7	Driesch (1972)
Cerro de la Virgen	Campaniforme	SUDO	MC III	69	10,72	74,0	(10,72)-28,7	71,1	Driesch (1972)
Cerro de la Virgen	Campaniforme	SUDO	MC III	72,5	10,72	77,7	(10,72)-28,7	74,9	Driesch (1972)
Cerro de la Virgen	Campaniforme	SUDO	MC III	75	10,72	80,4	(10,72)-28,7	77,5	Driesch (1972)
Cerro de la Virgen	Campaniforme	SUDO	MC IV	69,5	10,53	73,2	(10,53)-29,4	70,2	Driesch (1972)

Yacimiento	Fase	Especie	Hueso	LM (mm)	Teichert 69		Teichert 90		Bibliografía datos biométricos
					Factor	h Cruz (cm)	Factor	h Cruz (cm)	
Cerro de la Virgen	Campaniforme	SUDO	MC IV	69,5	10,53	73,2	(10,53)-29,4	70,2	Driesch (1972)
Cerro de la Virgen	Campaniforme	SUDO	MC IV	69,5	10,53	73,2	(10,53)-29,4	70,2	Driesch (1972)
Cerro de la Virgen	Campaniforme	SUDO	MC IV	69,5	10,53	73,2	(10,53)-29,4	70,2	Driesch (1972)
Cerro de la Virgen	Campaniforme	SUDO	MC IV	71	10,53	74,8	(10,53)-29,4	71,8	Driesch (1972)
Cerro de la Virgen	Campaniforme	SUSC I	MC IV	84,5	10,53	89,0	(10,53)-29,4	86,0	Driesch (1972)
Cerro de la Virgen	Campaniforme	SUSC I	MC IV	92,5	10,53	97,4	(10,53)-29,4	94,5	Driesch (1972)
Cerro de la Virgen	Campaniforme	SUDO	MT III	71,5	9,34	66,8	(9,34)+5,6	67,3	Driesch (1972)
Cerro de la Virgen	Campaniforme	SUDO	MT III	74,5	9,34	69,6	(9,34)+5,6	70,1	Driesch (1972)
Cerro de la Virgen	Campaniforme	SUDO	MT III	76	9,34	71,0	(9,34)+5,6	71,5	Driesch (1972)
Cerro de la Virgen	Campaniforme	SUDO	MT III	76,5	9,34	71,5	(9,34)+5,6	72,0	Driesch (1972)
Cerro de la Virgen	Campaniforme	SUDO	MT III	77,5	9,34	72,4	(9,34)+5,6	72,9	Driesch (1972)
Cerro de la Virgen	Campaniforme	SUDO	MT III	77,5	9,34	72,4	(9,34)+5,6	72,9	Driesch (1972)
Cerro de la Virgen	Campaniforme	SUDO	MT IV	76,50	8,84	67,6	(8,84)-3,8	67,2	Driesch (1972)
Cerro de la Virgen	Campaniforme	SUDO	MT IV	76,50	8,84	67,6	(8,84)-3,8	67,2	Driesch (1972)
Cerro de la Virgen	Campaniforme	SUDO	MT IV	79,00	8,84	69,8	(8,84)-3,8	69,5	Driesch (1972)
Cerro de la Virgen	Campaniforme	SUDO	MT IV	83,50	8,84	73,8	(8,84)-3,8	73,4	Driesch (1972)
Cerro de la Virgen	Campaniforme	SUSC ?	MT IV	84,00	8,84	74,3	(8,84)-3,8	73,9	Driesch (1972)
Cerro de la Virgen	Campaniforme	SUDO	TA	32,5	17,9	58,2	(17,9)+23	60,5	Driesch (1972)
Cerro de la Virgen	Campaniforme	SUDO	TA	33,5	17,9	60,0	(17,9)+23	62,3	Driesch (1972)
Cerro de la Virgen	Campaniforme	SUDO	TA	33,5	17,9	60,0	(17,9)+23	62,3	Driesch (1972)
Cerro de la Virgen	Campaniforme	SUDO	TA	35	17,9	62,7	(17,9)+23	65,0	Driesch (1972)
Cerro de la Virgen	Campaniforme	SUDO	TA	35	17,9	62,7	(17,9)+23	65,0	Driesch (1972)
Cerro de la Virgen	Campaniforme	SUDO	TA	36	17,9	64,4	(17,9)+23	66,7	Driesch (1972)
Cerro de la Virgen	Campaniforme	SUDO	TA	36	17,9	64,4	(17,9)+23	66,7	Driesch (1972)
Cerro de la Virgen	Campaniforme	SUDO	TA	36	17,9	64,4	(17,9)+23	66,7	Driesch (1972)
Cerro de la Virgen	Campaniforme	SUDO	TA	36	17,9	64,4	(17,9)+23	66,7	Driesch (1972)
Cerro de la Virgen	Campaniforme	SUDO	TA	36,5	17,9	65,3	(17,9)+23	67,6	Driesch (1972)
Cerro de la Virgen	Campaniforme	SUDO	TA	36,5	17,9	65,3	(17,9)+23	67,6	Driesch (1972)
Cerro de la Virgen	Campaniforme	SUDO	TA	37	17,9	66,2	(17,9)+23	68,5	Driesch (1972)
Cerro de la Virgen	Campaniforme	SUDO	TA	37	17,9	66,2	(17,9)+23	68,5	Driesch (1972)
Cerro de la Virgen	Campaniforme	SUDO	TA	37,5	17,9	67,1	(17,9)+23	69,4	Driesch (1972)
Cerro de la Virgen	Campaniforme	SUDO	TA	37,5	17,9	67,1	(17,9)+23	69,4	Driesch (1972)
Cerro de la Virgen	Campaniforme	SUDO	TA	38	17,9	68,0	(17,9)+23	70,3	Driesch (1972)
Cerro de la Virgen	Campaniforme	SUDO	TA	38	17,9	68,0	(17,9)+23	70,3	Driesch (1972)

Yacimiento	Fase	Especie	Hueso	LM (mm)	Teichert 69		Teichert 90		Bibliografía datos biométricos
					Factor	h Cruz (cm)	Factor	h Cruz (cm)	
Cerro de la Virgen	Campaniforme	SUDO	TA	38	17,9	68,0	(17,9)+23	70,3	Driesch (1972)
Cerro de la Virgen	Campaniforme	SUDO	TA	38,5	17,9	68,9	(17,9)+23	71,2	Driesch (1972)
Cerro de la Virgen	Campaniforme	SUDO	TA	38,5	17,9	68,9	(17,9)+23	71,2	Driesch (1972)
Cerro de la Virgen	Campaniforme	SUDO	TA	38,5	17,9	68,9	(17,9)+23	71,2	Driesch (1972)
Cerro de la Virgen	Campaniforme	SUDO	TA	39	17,9	69,8	(17,9)+23	72,1	Driesch (1972)
Cerro de la Virgen	Campaniforme	SUDO	TA	39	17,9	69,8	(17,9)+23	72,1	Driesch (1972)
Cerro de la Virgen	Campaniforme	SUDO	TA	39	17,9	69,8	(17,9)+23	72,1	Driesch (1972)
Cerro de la Virgen	Campaniforme	SUDO	TA	39	17,9	69,8	(17,9)+23	72,1	Driesch (1972)
Cerro de la Virgen	Campaniforme	SUDO	TA	39	17,9	69,8	(17,9)+23	72,1	Driesch (1972)
Cerro de la Virgen	Campaniforme	SUDO	TA	39	17,9	69,8	(17,9)+23	72,1	Driesch (1972)
Cerro de la Virgen	Campaniforme	SUDO	TA	39,2	17,9	70,2	(17,9)+23	72,5	Driesch (1972)
Cerro de la Virgen	Campaniforme	SUDO	TA	40	17,9	71,6	(17,9)+23	73,9	Driesch (1972)
Cerro de la Virgen	Campaniforme	SUDO	TA	40	17,9	71,6	(17,9)+23	73,9	Driesch (1972)
Cerro de la Virgen	Campaniforme	SUDO	TA	40,5	17,9	72,5	(17,9)+23	74,8	Driesch (1972)
Cerro de la Virgen	Campaniforme	SUDO	TA	41	17,9	73,4	(17,9)+23	75,7	Driesch (1972)
Cerro de la Virgen	Campaniforme	SUDO	TA	41,5	17,9	74,3	(17,9)+23	76,6	Driesch (1972)
Cerro de la Virgen	Campaniforme/Árabe	SUDO	CAL	86	9,34	80,3	(9,34)+26	82,9	Driesch (1972)
Cerro de la Virgen	Campaniforme/Argar	SUDO	MC III	68	10,72	72,9	(10,72)-28.7	70,0	Driesch (1972)
Cerro de la Virgen	Campaniforme/Argar	SUDO	MC III	68,5	10,72	73,4	(10,72)-28.7	70,6	Driesch (1972)
Cerro de la Virgen	Campaniforme/Argar	SUDO	MC III	70	10,72	75,0	(10,72)-28.7	72,2	Driesch (1972)
Cerro de la Virgen	Campaniforme/Argar	SUDO	MC III	71	10,72	76,1	(10,72)-28.7	73,2	Driesch (1972)
Cerro de la Virgen	Campaniforme/Argar	SUDO	MC III	73	10,72	78,3	(10,72)-28.7	75,4	Driesch (1972)
Cerro de la Virgen	Campaniforme/Argar	SUDO	MT IV	76,50	8,84	67,6	(8.84)-3.8	67,2	Driesch (1972)
Cerro de la Virgen	Campaniforme/Argar	SUDO	TA	36,5	17,9	65,3	(17,9)+23	67,6	Driesch (1972)
Cerro de la Virgen	Campaniforme/Argar	SUDO	TA	37,5	17,9	67,1	(17,9)+23	69,4	Driesch (1972)
Cerro de la Virgen	Campaniforme/Argar	SUDO	TA	38,5	17,9	68,9	(17,9)+23	71,2	Driesch (1972)
Cerro de la Virgen	Cobre	SUDO	MC III	63	10,72	67,5	(10,72)-28.7	64,7	Driesch (1972)
Cerro de la Virgen	Cobre	SUDO	MC III	65,5	10,72	70,2	(10,72)-28.7	67,3	Driesch (1972)
Cerro de la Virgen	Cobre	SUDO	MC III	66,3	10,72	71,1	(10,72)-28.7	68,2	Driesch (1972)
Cerro de la Virgen	Cobre	SUDO	MC III	67	10,72	71,8	(10,72)-28.7	69,0	Driesch (1972)
Cerro de la Virgen	Cobre	SUDO	MC III	70,5	10,72	75,6	(10,72)-28.7	72,7	Driesch (1972)
Cerro de la Virgen	Cobre	SUDO	MC IV	68,5	10,53	72,1	(10,53)-29,4	69,2	Driesch (1972)
Cerro de la Virgen	Cobre	SUDO	MC IV	71	10,53	74,8	(10,53)-29,4	71,8	Driesch (1972)
Cerro de la Virgen	Cobre	SUDO	MC IV	71	10,53	74,8	(10,53)-29,4	71,8	Driesch (1972)
Cerro de la Virgen	Cobre	SUDO	MC IV	71,5	10,53	75,3	(10,53)-29,4	72,3	Driesch (1972)

Yacimiento	Fase	Especie	Hueso	LM (mm)	Teichert 69		Teichert 90		Bibliografía datos biométricos
					Factor	h Cruz (cm)	Factor	h Cruz (cm)	
Cerro de la Virgen	Cobre	SUDO	MC IV	72	10,53	75,8	(10,53)-29,4	72,9	Driesch (1972)
Cerro de la Virgen	Cobre	SUDO	MT III	69	9,34	64,4	(9,34)+5,6	65,0	Driesch (1972)
Cerro de la Virgen	Cobre	SUDO	MT III	73,5	9,34	68,6	(9,34)+5,6	69,2	Driesch (1972)
Cerro de la Virgen	Cobre	SUDO	MT III	76	9,34	71,0	(9,34)+5,6	71,5	Driesch (1972)
Cerro de la Virgen	Cobre	SUSC I	MT III	92,5	9,34	86,4	(9,34)+5,6	87,0	Driesch (1972)
Cerro de la Virgen	Cobre	SUDO	MT IV	78,00	8,84	69,0	(8.84)-3,8	68,6	Driesch (1972)
Cerro de la Virgen	Cobre	SUDO	MT IV	78,00	8,84	69,0	(8.84)-3,8	68,6	Driesch (1972)
Cerro de la Virgen	Cobre	SUDO	TA	33,5	17,9	60,0	(17,9)+23	62,3	Driesch (1972)
Cerro de la Virgen	Cobre	SUDO	TA	34	17,9	60,9	(17,9)+23	63,2	Driesch (1972)
Cerro de la Virgen	Cobre	SUDO	TA	34	17,9	60,9	(17,9)+23	63,2	Driesch (1972)
Cerro de la Virgen	Cobre	SUDO	TA	35,5	17,9	63,5	(17,9)+23	65,8	Driesch (1972)
Cerro de la Virgen	Cobre	SUDO	TA	36	17,9	64,4	(17,9)+23	66,7	Driesch (1972)
Cerro de la Virgen	Cobre	SUDO	TA	36	17,9	64,4	(17,9)+23	66,7	Driesch (1972)
Cerro de la Virgen	Cobre	SUDO	TA	36,5	17,9	65,3	(17,9)+23	67,6	Driesch (1972)
Cerro de la Virgen	Cobre	SUDO	TA	37	17,9	66,2	(17,9)+23	68,5	Driesch (1972)
Cerro de la Virgen	Cobre	SUDO	TA	37	17,9	66,2	(17,9)+23	68,5	Driesch (1972)
Cerro de la Virgen	Cobre	SUDO	TA	37	17,9	66,2	(17,9)+23	68,5	Driesch (1972)
Cerro de la Virgen	Cobre	SUDO	TA	38	17,9	68,0	(17,9)+23	70,3	Driesch (1972)
Cerro de la Virgen	Cobre	SUDO	TA	38	17,9	68,0	(17,9)+23	70,3	Driesch (1972)
Cerro de la Virgen	Cobre	SUDO	TA	38	17,9	68,0	(17,9)+23	70,3	Driesch (1972)
Cerro de la Virgen	Cobre	SUDO	TA	38	17,9	68,0	(17,9)+23	70,3	Driesch (1972)
Cerro de la Virgen	Cobre	SUDO	TA	38,5	17,9	68,9	(17,9)+23	71,2	Driesch (1972)
Cerro de la Virgen	Cobre	SUDO	TA	39	17,9	69,8	(17,9)+23	72,1	Driesch (1972)
Cerro de la Virgen	Cobre	SUDO	TA	39,5	17,9	70,7	(17,9)+23	73,0	Driesch (1972)
Cerro de la Virgen	Cobre	SUDO	TA	40	17,9	71,6	(17,9)+23	73,9	Driesch (1972)
Cerro de la Virgen	Cobre	SUDO	TA	40	17,9	71,6	(17,9)+23	73,9	Driesch (1972)
Cerro de la Virgen	Cobre/Campaniforme	SUDO	MC III	66,5	10,72	71,3	(10,72)-28,7	68,4	Driesch (1972)
Cerro de la Virgen	Cobre/Campaniforme	SUDO	MC III	73,5	10,72	78,8	(10,72)-28,7	75,9	Driesch (1972)
Cerro de la Virgen	Cobre/Campaniforme	SUDO	MC IV	65,5	10,53	69,0	(10,53)-29,4	66,0	Driesch (1972)
Cerro de la Virgen	Cobre/Campaniforme	SUDO	MT III	75,5	9,34	70,5	(9,34)+5,6	71,1	Driesch (1972)
Cerro de la Virgen	Cobre/Campaniforme	SUDO	MT IV	79,50	8,84	70,3	(8.84)-3,8	69,9	Driesch (1972)
Cerro de la Virgen	Cobre/Campaniforme	SUDO	TA	35	17,9	62,7	(17,9)+23	65,0	Driesch (1972)
Cerro de la Virgen	Cobre/Campaniforme	SUDO	TA	35,5	17,9	63,5	(17,9)+23	65,8	Driesch (1972)
Cerro de la Virgen	Cobre/Campaniforme	SUDO	TA	35,5	17,9	63,5	(17,9)+23	65,8	Driesch (1972)

Yacimiento	Fase	Especie	Hueso	LM (mm)	Teichert 69		Teichert 90		Bibliografía datos biométricos
					Factor	h Cruz (cm)	Factor	h Cruz (cm)	
Cerro de la Virgen	Cobre/Campaniforme	SUDO	TA	36	17,9	64,4	(17,9)+23	66,7	Driesch (1972)
Cerro de la Virgen	Cobre/Campaniforme	SUDO	TA	37	17,9	66,2	(17,9)+23	68,5	Driesch (1972)
Cerro de la Virgen	Cobre/Campaniforme	SUDO	TA	37	17,9	66,2	(17,9)+23	68,5	Driesch (1972)
Cerro de la Virgen	Cobre/Campaniforme	SUDO	TA	37	17,9	66,2	(17,9)+23	68,5	Driesch (1972)
Cerro de la Virgen	Cobre/Campaniforme	SUDO	TA	37,5	17,9	67,1	(17,9)+23	69,4	Driesch (1972)
Cerro de la Virgen	Cobre/Campaniforme	SUDO	TA	37,5	17,9	67,1	(17,9)+23	69,4	Driesch (1972)
Cerro de la Virgen	Cobre/Campaniforme	SUDO	TA	37,5	17,9	67,1	(17,9)+23	69,4	Driesch (1972)
Cerro de la Virgen	Cobre/Campaniforme	SUDO	TA	39,5	17,9	70,7	(17,9)+23	73,0	Driesch (1972)
Cerro de la Virgen	Cobre/Campaniforme	SUDO	TA	40	17,9	71,6	(17,9)+23	73,9	Driesch (1972)
Cerro de la Virgen	Cobre/Campaniforme	SUDO	TA	40	17,9	71,6	(17,9)+23	73,9	Driesch (1972)
Cerro de la Virgen	Cobre/Campaniforme	SUDO	TA	40	17,9	71,6	(17,9)+23	73,9	Driesch (1972)
Cerro de la Virgen	Cobre/Campaniforme	SUDO	TA	40,5	17,9	72,5	(17,9)+23	74,8	Driesch (1972)
Cerro de la Virgen	Cobre/Campaniforme	SUSC I	TA	44	17,9	78,8	(17,9)+23	81,1	Driesch (1972)
Cerro de la Virgen	Cobre/Campaniforme	SUSC I	TA	44	17,9	78,8	(17,9)+23	81,1	Driesch (1972)
Cuesta del Negro	?	SUDO	MC III	68,5	10,72	73,4	(10,72)-28,7	70,6	Lauk (1976)
Cuesta del Negro	?	SUDO	TA	37	17,9	66,2	(17,9)+23	68,5	Lauk (1976)
Cuesta del Negro	?	SUDO	TA	39	17,9	69,8	(17,9)+23	72,1	Lauk (1976)
Cuesta del Negro	Argar	SUDO	MC IV	71,5	10,53	75,3	(10,53)-29,4	72,3	Lauk (1976)
Cuesta del Negro	Argar	SUDO	TA	38	17,9	68,0	(17,9)+23	70,3	Lauk (1976)
Cuesta del Negro	Argar	SUSC	TA	47,5	17,9	85,0	(17,9)+23	87,3	Lauk (1976)
Cuesta del Negro	Bronce final	SUSC	CAL	95	9,34	88,7	(9,34)+26	91,3	Driesch (1972)
Cuesta del Negro	Bronce final	SUSC	CAL	95,5	9,34	89,2	(9,34)+26	91,8	Driesch (1972)
Cuesta del Negro	Bronce final	SUDO	MC IV	70	10,53	73,7	(10,53)-29,4	70,8	Lauk (1976)
Cuesta del Negro	Bronce final	SUDO	MC IV	72,4	10,53	76,2	(10,53)-29,4	73,3	Lauk (1976)
Cuesta del Negro	Bronce final	SUDO	MT III	76	9,34	71,0	(9,34)+5,6	71,5	Lauk (1976)
Cuesta del Negro	Bronce final	SUDO	MT IV	72,50	8,84	64,1	(8,84)-3,8	63,7	Lauk (1976)
Cuesta del Negro	Bronce final	SUDO	MT IV	82,00	8,84	72,5	(8,84)-3,8	72,1	Lauk (1976)
Cuesta del Negro	Bronce final	SUDO	TA	37,5	17,9	67,1	(17,9)+23	69,4	Lauk (1976)
Cuesta del Negro	Bronce final	SUDO	TA	41	17,9	73,4	(17,9)+23	75,7	Lauk (1976)
Cuesta del Negro	Bronce final	SUSC	TA	49	17,9	87,7	(17,9)+23	90,0	Lauk (1976)
Cuesta del Negro	Bronce final	SUSC	TA	49,7	17,9	89,0	(17,9)+23	91,3	Lauk (1976)
Cueva de la Sarsa	Neolítico	SUSC	CAL	93	9,34	86,9	(10,53)-29,4	95,0	Boessneck y Driesch (1980)
Cueva de la Sarsa	Neolítico	SUSC	MT III	86	9,34	80,3	(9,34)+5,6	80,9	Boessneck y Driesch (1980)
Cueva de la Sarsa	Neolítico	SUSC	MT IV	86	8,84	76,0	(8,84)-3,8	75,6	Boessneck y Driesch (1980)



Yacimiento	Fase	Especie	Hueso	LM (mm)	Teichert 69		Teichert 90		Bibliografía datos biométricos
					Factor	h Cruz (cm)	Factor	h Cruz (cm)	
Cueva de la Sarsa	Neolítico	SUDO	TA	40,5	17,9	72,5	(17,9)+23	74,8	Boessneck y Driesch (1980)
Cueva de la Sarsa	Neolítico	SUDO	TA	41	17,9	73,4	(17,9)+23	75,7	Boessneck y Driesch (1980)
Cueva de la Sarsa	Neolítico	SUSC ?	TA	43,5	17,9	77,9	(17,9)+23	80,2	Boessneck y Driesch (1980)
Cueva de la Sarsa	Neolítico	SUSC ?	TA	44	17,9	78,8	(17,9)+23	81,1	Boessneck y Driesch (1980)
Cueva de Nerja	Epipaleolítico	SUDO	TA	40,2	17,9	72,0	(17,9)+23	74,3	Boessneck y Driesch (1980)
Cueva de Nerja	Neolítico	SUDO	TA	38	17,9	68,0	(17,9)+23	70,3	Boessneck y Driesch (1980)
Cueva del Parralejo	Neolítico	SUDO	TA	41	17,9	73,4	(17,9)+23	75,7	Boessneck y Driesch (1980)
Cueva Soterraña	Bronce	SUSC	CAL	78,3	9,34	73,1	(10,53)-29,4	79,5	Sarrión (1982)
Ereta del Pedregal	Calcolítico	SUDO	MC III	62,8	10,72	67,3	(10,72)-2,7	64,5	Pérez Ripoll (1990)
Ereta del Pedregal	Calcolítico	SUDO	TA	34	17,9	60,9	(17,9)+23	63,2	Pérez Ripoll (1990)
Ereta del Pedregal	Calcolítico	SUDO	TA	35,5	17,9	63,5	(17,9)+23	65,8	Pérez Ripoll (1990)
Ereta del Pedregal	Calcolítico	SUDO	TA	35,7	17,9	63,9	(17,9)+23	66,2	Pérez Ripoll (1990)
Ereta del Pedregal	Calcolítico	SUDO	TA	36,5	17,9	65,3	(17,9)+23	67,6	Pérez Ripoll (1990)
Ereta del Pedregal	Calcolítico	SUDO	TA	37	17,9	66,2	(17,9)+23	68,5	Pérez Ripoll (1990)
Ereta del Pedregal	Calcolítico	SUDO	TA	38	17,9	68,0	(17,9)+23	70,3	Pérez Ripoll (1990)
Ereta del Pedregal	Calcolítico	SUDO	TA	41,4	17,9	74,1	(17,9)+23	76,4	Pérez Ripoll (1990)
Fuente Álamo	Bronce	SUSC	MT IV	101	8,84	89,3	(8,84)-3,8	88,9	Driesch et alii (1985)
Fuente Álamo	Bronce	SUDO	MC III	69,5	10,72	74,5	(10,72)-28,7	71,6	Driesch et alii (1985)
Fuente Álamo	Bronce	SUDO	MC III	70	10,72	75,0	(10,72)-28,7	72,2	Driesch et alii (1985)
Fuente Álamo	Bronce	SUSC	MC III	87,5	10,72	93,8	(10,72)-28,7	90,9	Driesch et alii (1985)
Fuente Álamo	Bronce	SUSC	MC III	88	10,72	94,3	(10,72)-28,7	91,5	Driesch et alii (1985)
Fuente Álamo	Bronce	SUDO	MC IV	70,5	10,53	74,2	(10,53)-29,4	71,3	Driesch et alii (1985)
Fuente Álamo	Bronce	SUDO	MC IV	78,5	10,53	82,7	(10,53)-29,4	79,7	Driesch et alii (1985)
Fuente Álamo	Bronce	SUSC	MC IV	92	10,53	96,9	(10,53)-29,4	93,9	Driesch et alii (1985)
Fuente Álamo	Bronce	SUDO	MT III	78	9,34	72,9	(9,34)+5,6	73,4	Driesch et alii (1985)
Fuente Álamo	Bronce	SUDO	MT III	80	9,34	74,7	(9,34)+5,6	75,3	Driesch et alii (1985)
Fuente Álamo	Bronce	SUSC	MT III	94	9,34	87,8	(9,34)+5,6	88,4	Driesch et alii (1985)
Fuente Álamo	Bronce	SUDO	TA	35,5	17,9	63,5	(17,9)+23	65,8	Driesch et alii (1985)
Fuente Álamo	Bronce	SUDO	TA	36	17,9	64,4	(17,9)+23	66,7	Driesch et alii (1985)
Fuente Álamo	Bronce	SUDO	TA	36	17,9	64,4	(17,9)+23	66,7	Driesch et alii (1985)
Fuente Álamo	Bronce	SUDO	TA	36,5	17,9	65,3	(17,9)+23	67,6	Driesch et alii (1985)
Fuente Álamo	Bronce	SUDO	TA	37	17,9	66,2	(17,9)+23	68,5	Driesch et alii (1985)
Fuente Álamo	Bronce	SUDO	TA	38,5	17,9	68,9	(17,9)+23	71,2	Driesch et alii (1985)
Fuente Álamo	Bronce	SUDO	TA	38,5	17,9	68,9	(17,9)+23	71,2	Driesch et alii (1985)

Yacimiento	Fase	Especie	Hueso	LM (mm)	Teichert 69		Teichert 90		Bibliografía datos biométricos
					Factor	h Cruz (cm)	Factor	h Cruz (cm)	
Fuente Álamo	Bronce	SUDO	TA	38,5	17,9	68,9	(17,9)+23	71,2	Driesch et alii (1985)
Fuente Álamo	Bronce	SUDO	TA	39,5	17,9	70,7	(17,9)+23	73,0	Driesch et alii (1985)
Fuente Álamo	Bronce	SUDO	TA	40	17,9	71,6	(17,9)+23	73,9	Driesch et alii (1985)
Fuente Álamo	Bronce	SUDO	TA	41	17,9	73,4	(17,9)+23	75,7	Driesch et alii (1985)
Fuente Álamo	Bronce	SUDO	TA	41,5	17,9	74,3	(17,9)+23	76,6	Driesch et alii (1985)
Fuente Álamo	Bronce	SUDO	TA	41,5	17,9	74,3	(17,9)+23	76,6	Driesch et alii (1985)
Fuente Álamo	Bronce	SUDO	TA	41,5	17,9	74,3	(17,9)+23	76,6	Driesch et alii (1985)
Fuente Álamo	Bronce	SUDO	TA	42,5	17,9	76,1	(17,9)+23	78,4	Driesch et alii (1985)
Fuente Álamo	Bronce	SUDO	TA	43	17,9	77,0	(17,9)+23	79,3	Driesch et alii (1985)
Fuente Álamo	Bronce	SUDO	TA	43,5	17,9	77,9	(17,9)+23	80,2	Driesch et alii (1985)
Fuente Álamo	Bronce	SUSC	TA	48,00	17,9	85,9	(17,9)+23	88,2	Driesch et alii (1985)
Illeta dels Banyets	Bronce tardío	SUSC/SUDO	TA	41,2	17,9	73,7	(17,9)+23	76,0	Benito Iborra (2006)
Jovades Cocentaina	Calcolítico	SUDO	MT III	75,2	9,34	89,4	(9,34)+5,6	70,8	Martinez Valle (1993)
La Vital	Cobre	SUDO	CAL	69,3	9,34	64,7			Iborra (2011)
La Vital	Cobre	SUDO	CAL	70,34	9,34	65,7			Iborra (2011)
La Vital	Cobre	SUDO	CAL	71,03	9,34	66,3			Iborra (2011)
La Vital	Cobre	SUDO	CAL	77	9,34	71,9			Iborra (2011)
La Vital	Cobre	SUDO	MC III	68,1	10,72	73,0			Iborra (2011)
La Vital	Cobre	SUDO	MT IV	83	8,84	73,4			Iborra (2011)
La Vital	Cobre	SUDO	TA	34	1,79	60,9			Iborra (2011)
La Vital	Cobre	SUDO	TA	34,73	1,79	62,2			Iborra (2011)
La Vital	Cobre	SUDO	TA	35,01	1,79	62,7			Iborra (2011)
La Vital	Cobre	SUDO	TA	36,8	1,79	64,6			Iborra (2011)
Los Millares	Cobre	SUDO	MC III	63,00	10,72	67,5	(10,72)-28.7	64,7	Peters y Driesch (1990)
Los Millares	Cobre	SUDO	MC III	63,50	10,72	68,1	(10,72)-28.7	65,2	Peters y Driesch (1990)
Los Millares	Cobre	SUDO	MC III	67,00	10,72	71,8	(10,72)-28.7	69,0	Peters y Driesch (1990)
Los Millares	Cobre	SUDO	MT III	70,00	9,34	65,4	(9,34)+5,6	65,9	Peters y Driesch (1990)
Los Millares	Cobre	SUDO	MT III	71,00	9,34	66,3	(9,34)+5,6	66,9	Peters y Driesch (1990)
Los Millares	Cobre	SUDO	MT III	73,50	9,34	68,6	(9,34)+5,6	69,2	Peters y Driesch (1990)
Los Millares	Cobre	SUDO	MT III	78,00	9,34	72,9	(9,34)+5,6	73,4	Peters y Driesch (1990)
Los Millares	Cobre	SUDO	MT IV	76,50	8,84	67,6	(8.84)-3.8	67,2	Peters y Driesch (1990)
Los Millares	Cobre	SUDO	TA	35,00	17,9	62,7	(17,9)+23	65,0	Peters y Driesch (1990)
Los Millares	Cobre	SUDO	TA	37,50	17,9	67,1	(17,9)+23	69,4	Peters y Driesch (1990)
Los Millares	Cobre	SUDO	TA	41,00	17,9	73,4	(17,9)+23	75,7	Peters y Driesch (1990)

Yacimiento	Fase	Especie	Hueso	LM (mm)	Teichert 69		Teichert 90		Bibliografía datos biométricos
					Factor	h Cruz (cm)	Factor	h Cruz (cm)	
Los Millares	Cobre	SUDO	TA	43,50	17,9	77,9	(17,9)+23	80,2	Peters y Driesch (1990)
Los Millares	Cobre	SUSC	TA	48,00	17,9	85,9	(17,9)+23	88,2	Peters y Driesch (1990)
Los Millares	Cobre	SUSC	TA	55,50	17,9	99,3	(17,9)+23	101,6	Peters y Driesch (1990)
Motilla de Azuer	Bronce	SUDO	CAL	72,3	9,34	67,5	(10,53)-29,4	73,2	Driesch y Boessneck (1980)
Motilla de Azuer	Bronce	SUDO	TA	36,5	17,9	65,3	(17,9)+23	67,6	Driesch y Boessneck (1980)
Motilla de Azuer	Bronce	SUDO	TA	38	17,9	68,0	(17,9)+23	70,3	Driesch y Boessneck (1980)
Motilla de Los Palacios	Ibérico	SUDO	MC III	50,3	10,72	53,9	(10,72)-28.7	51,1	Driesch y Boessneck (1980)
Motilla de Los Palacios	Ibérico	SUDO	MC III	62,5	10,72	67,0	(10,72)-28.7	64,1	Driesch y Boessneck (1980)
Pic dels Corbs	Bronce final	SUDO/SUSC	TA	39	17,9	69,8	(17,9)+23	72,1	Barrachina y Sanchis (2011)
Pic dels Corbs	Bronce final	SUSC	TA	50,86	17,9	91,0	(17,9)+23	93,3	Barrachina y Sanchis (2011)
Tabayà	Argar	SUDO	MT IV	94,10	8,84	83,2	(8.84)-3,8	82,8	Rizo (2009)
Tabayà	Argar	SUDO	TA	37,9	17,9	67,8	(17,9)+23	70,1	Rizo (2009)
Terrera del Reloj	Argar	SUDO	TA	35	17,9	62,7	(17,9)+23	65,0	Milz (1986)
Terrera del Reloj	Argar	SUDO	TA	35,5	17,9	63,5	(17,9)+23	65,8	Milz (1986)
Terrera del Reloj	Argar	SUDO	TA	37	17,9	66,2	(17,9)+23	68,5	Milz (1986)
Toscanos	?	SUDO	CAL	79	9,34	73,8	(10,53)-29,4	80,2	Hans-Peter y Uerpmann (1972)
Toscanos	?	SUDO	CAL	82,5	9,34	77,1	(10,53)-29,4	83,9	Hans-Peter y Uerpmann (1972)
Toscanos	?	SUDO	MC III	82	10,72	87,9	(10,72)-28.7	85,0	Hans-Peter y Uerpmann (1972)
Toscanos	?	SUDO	MC IV	72,5	10,53	76,3	(10,53)-29,4	73,4	Hans-Peter y Uerpmann (1972)
Toscanos	Fenicio	SUDO	MC IV	77,5	10,53	81,6	(10,53)-29,4	78,7	Hans-Peter y Uerpmann (1972)
Toscanos	Fenicio	SUDO	MT IV	81	8,84	71,6	(8.84)-3,8	71,2	Hans-Peter y Uerpmann (1972)
Toscanos	Romano	SUSC	MT IV	103	8,84	91,1	(8.84)-3,8	90,7	Hans-Peter y Uerpmann (1972)
Valencina de la Concepción	Cobre	SUDO	CAL	70,5	9,34	65,8	(9,34)+26	68,4	Hain (1982)
Valencina de la Concepción	Cobre	SUDO	CAL	82,5	9,34	77,1	(9,34)+26	79,7	Hain (1982)
Valencina de la Concepción	Cobre	SUSC	CAL	96	9,34	89,7	(9,34)+26	92,3	Hain (1982)
Valencina de la Concepción	Cobre	SUSC	HU	213	4,05	86,3	(4,05)-21	84,2	Hain (1982)
Valencina de la Concepción	Cobre	SUDO	MC III	74	10,72	79,3	(10,72)-28.7	76,5	Hain (1982)
Valencina de la Concepción	Cobre	SUSC	MC III	79,5	10,72	85,2	(10,72)-28.7	82,4	Hain (1982)
Valencina de la Concepción	Cobre	SUSC	MC III	81	10,72	86,8	(10,72)-28.7	84,0	Hain (1982)
Valencina de la Concepción	Cobre	SUDO	MC IV	62	10,53	65,3	(10,53)-29,4	62,3	Hain (1982)
Valencina de la Concepción	Cobre	SUDO	MC IV	72	10,53	75,8	(10,53)-29,4	72,9	Hain (1982)
Valencina de la Concepción	Cobre	SUSC	MC IV	79	10,53	83,2	(10,53)-29,4	80,2	Hain (1982)
Valencina de la Concepción	Cobre	SUSC	MC IV	80,5	10,53	84,8	(10,53)-29,4	81,8	Hain (1982)
Valencina de la Concepción	Cobre	SUSC	MC IV	81	10,53	85,3	(10,53)-29,4	82,4	Hain (1982)

Yacimiento	Fase	Especie	Hueso	LM (mm)	Teichert 69		Teichert 90		Bibliografía datos biométricos
					Factor	h Cruz (cm)	Factor	h Cruz (cm)	
Valencina de la Concepción	Cobre	SUSC	MC IV	82,5	10,53	86,9	(10,53)-29,4	83,9	Hain (1982)
Valencina de la Concepción	Cobre	SUSC	MC IV	83,5	10,53	87,9	(10,53)-29,4	85,0	Hain (1982)
Valencina de la Concepción	Cobre	SUSC	MC IV	88,5	10,53	93,2	(10,53)-29,4	90,3	Hain (1982)
Valencina de la Concepción	Cobre	SUDO	MT III	72,5	9,34	67,7	(9,34)+5,6	68,3	Hain (1982)
Valencina de la Concepción	Cobre	SUDO	MT III	85	9,34	79,4	(9,34)+5,6	80,0	Hain (1982)
Valencina de la Concepción	Cobre	SUDO	MT IV	76	8,84	67,2	(8,84)-3,8	66,8	Hain (1982)
Valencina de la Concepción	Cobre	SUSC	MT IV	88	8,84	77,8	(8,84)-3,8	77,4	Hain (1982)
Valencina de la Concepción	Cobre	SUDO	MT IV	89	8,84	78,7	(8,84)-3,8	78,3	Hain (1982)
Valencina de la Concepción	Cobre	SUSC	MT IV	90	8,84	79,6	(8,84)-3,8	79,2	Hain (1982)
Valencina de la Concepción	Cobre	SUSC	R	178	5,26	93,6			Hain (1982)
Valencina de la Concepción	Cobre	SUDO	TA	32,5	17,9	58,2	(17,9)+23	60,5	Hain (1982)
Valencina de la Concepción	Cobre	SUSC	TA	32,5	17,9	58,2	(17,9)+23	60,5	Hain (1982)
Valencina de la Concepción	Cobre	SUDO	TA	42,5	17,9	76,1	(17,9)+23	78,4	Hain (1982)
Valencina de la Concepción	Cobre	SUSC	TA	43	17,9	77,0	(17,9)+23	79,3	Hain (1982)
Valencina de la Concepción	Cobre	SUSC	TA	43	17,9	77,0	(17,9)+23	79,3	Hain (1982)
Valencina de la Concepción	Cobre	SUSC	TA	43,5	17,9	77,9	(17,9)+23	80,2	Hain (1982)
Valencina de la Concepción	Cobre	SUSC	TA	43,5	17,9	77,9	(17,9)+23	80,2	Hain (1982)
Valencina de la Concepción	Cobre	SUSC	TA	44	17,9	78,8	(17,9)+23	81,1	Hain (1982)
Valencina de la Concepción	Cobre	SUSC	TA	45	17,9	80,6	(17,9)+23	82,9	Hain (1982)
Valencina de la Concepción	Cobre	SUSC	TA	47	17,9	84,1	(17,9)+23	86,4	Hain (1982)
Valencina de la Concepción	Cobre	SUSC	TA	48	17,9	85,9	(17,9)+23	88,2	Hain (1982)
Valencina de la Concepción	Cobre	SUSC	TA	48,5	17,9	86,8	(17,9)+23	89,1	Hain (1982)
Valencina de la Concepción	Cobre	SUSC	TA	51	17,9	91,3	(17,9)+23	93,6	Hain (1982)
Zambujal	Cobre	SUDO	CAL	70	9,34	65,4	(9,34)+26	68,0	Driesch y Boessneck (1976)
Zambujal	Cobre	SUDO	CAL	72	9,34	67,2	(9,34)+26	69,8	Driesch (1972)
Zambujal	Cobre	SUDO	CAL	75	9,34	70,1	(9,34)+26	72,7	Driesch y Boessneck (1976)
Zambujal	Cobre	SUDO	CAL	76,5	9,34	71,5	(9,34)+26	74,1	Driesch y Boessneck (1976)
Zambujal	Cobre	SUDO	CAL	77	9,34	71,9	(9,34)+26	74,5	Driesch y Boessneck (1976)
Zambujal	Cobre	SUDO	CAL	78,5	9,34	73,3	(9,34)+26	75,9	Driesch y Boessneck (1976)
Zambujal	Cobre	SUDO	CAL	81	9,34	75,7	(9,34)+26	78,3	Driesch (1972)
Zambujal	Cobre	SUSC	CAL	92	9,34	85,9	(9,34)+26	88,5	Driesch y Boessneck (1976)
Zambujal	Cobre	SUSC	CAL	95	9,34	88,7	(9,34)+26	91,3	Driesch y Boessneck (1976)
Zambujal	Cobre	SUSC	CAL	98,5	9,34	92,0	(9,34)+26	94,6	Driesch y Boessneck (1976)
Zambujal	Cobre	SUDO	MC III	65	10,72	69,7	(10,72)-28,7	66,8	Driesch (1972)

Yacimiento	Fase	Especie	Hueso	LM (mm)	Teichert 69		Teichert 90		Bibliografía datos biométricos
					Factor	h Cruz (cm)	Factor	h Cruz (cm)	
Zambujal	Cobre	SUDO	MC III	65	10,72	69,7	(10,72)-28.7	66,8	Driesch y Boessneck (1976)
Zambujal	Cobre	SUDO	MC III	66	10,72	70,8	(10,72)-28.7	67,9	Driesch y Boessneck (1976)
Zambujal	Cobre	SUDO	MC III	66,5	10,72	71,3	(10,72)-28.7	68,4	Driesch y Boessneck (1976)
Zambujal	Cobre	SUDO	MC III	66,5	10,72	71,3	(10,72)-28.7	68,4	Driesch y Boessneck (1976)
Zambujal	Cobre	SUDO	MC III	67	10,72	71,8	(10,72)-28.7	69,0	Driesch y Boessneck (1976)
Zambujal	Cobre	SUDO	MC III	68	10,72	72,9	(10,72)-28.7	70,0	Driesch y Boessneck (1976)
Zambujal	Cobre	SUDO	MC III	69,5	10,72	74,5	(10,72)-28.7	71,6	Driesch y Boessneck (1976)
Zambujal	Cobre	SUDO	MC III	70	10,72	75,0	(10,72)-28.7	72,2	Driesch y Boessneck (1976)
Zambujal	Cobre	SUDO	MC III	70	10,72	75,0	(10,72)-28.7	72,2	Driesch y Boessneck (1976)
Zambujal	Cobre	SUDO	MC III	70,6	10,72	75,7	(10,72)-28.7	72,8	Driesch y Boessneck (1976)
Zambujal	Cobre	SUDO	MC III	71,5	10,72	76,6	(10,72)-28.7	73,8	Driesch y Boessneck (1976)
Zambujal	Cobre	SUDO	MC III	71,5	10,72	76,6	(10,72)-28.7	73,8	Driesch y Boessneck (1976)
Zambujal	Cobre	SUDO	MC III	72	10,72	77,2	(10,72)-28.7	74,3	Driesch y Boessneck (1976)
Zambujal	Cobre	SUDO	MC III	73,5	10,72	78,8	(10,72)-28.7	75,9	Driesch y Boessneck (1976)
Zambujal	Cobre	SUDO	MC III	73,5	10,72	78,8	(10,72)-28.7	75,9	Driesch y Boessneck (1976)
Zambujal	Cobre	SUDO	MC III	73,5	10,72	78,8	(10,72)-28.7	75,9	Driesch y Boessneck (1976)
Zambujal	Cobre	SUDO	MC III	74,5	10,72	79,9	(10,72)-28.7	77,0	Driesch y Boessneck (1976)
Zambujal	Cobre	SUSC ?	MC III	79	10,72	84,7	(10,72)-28.7	81,8	Driesch (1972)
Zambujal	Cobre	SUSC	MC III	86,7	10,72	92,9	(10,72)-28.7	90,1	Driesch y Boessneck (1976)
Zambujal	Cobre	SUDO	MC IV	61,5	10,53	64,8	(10,53)-29,4	61,8	Driesch y Boessneck (1976)
Zambujal	Cobre	SUDO	MC IV	66	10,53	69,5	(10,53)-29,4	66,6	Driesch (1972)
Zambujal	Cobre	SUDO	MC IV	67,5	10,53	71,1	(10,53)-29,4	68,1	Driesch y Boessneck (1976)
Zambujal	Cobre	SUDO	MC IV	68	10,53	71,6	(10,53)-29,4	68,7	Driesch y Boessneck (1976)
Zambujal	Cobre	SUDO	MC IV	68,5	10,53	72,1	(10,53)-29,4	69,2	Driesch y Boessneck (1976)
Zambujal	Cobre	SUDO	MC IV	69	10,53	72,7	(10,53)-29,4	69,7	Driesch y Boessneck (1976)
Zambujal	Cobre	SUDO	MC IV	69	10,53	72,7	(10,53)-29,4	69,7	Driesch y Boessneck (1976)
Zambujal	Cobre	SUDO	MC IV	69,5	10,53	73,2	(10,53)-29,4	70,2	Driesch y Boessneck (1976)
Zambujal	Cobre	SUDO	MC IV	70,5	10,53	74,2	(10,53)-29,4	71,3	Driesch y Boessneck (1976)
Zambujal	Cobre	SUDO	MC IV	71,5	10,53	75,3	(10,53)-29,4	72,3	Driesch y Boessneck (1976)
Zambujal	Cobre	SUDO	MC IV	71,5	10,53	75,3	(10,53)-29,4	72,3	Driesch y Boessneck (1976)
Zambujal	Cobre	SUDO	MC IV	71,5	10,53	75,3	(10,53)-29,4	72,3	Driesch y Boessneck (1976)
Zambujal	Cobre	SUDO	MC IV	71,8	10,53	75,6	(10,53)-29,4	72,7	Driesch y Boessneck (1976)
Zambujal	Cobre	SUDO	MC IV	72	10,53	75,8	(10,53)-29,4	72,9	Driesch y Boessneck (1976)
Zambujal	Cobre	SUDO	MC IV	72,5	10,53	76,3	(10,53)-29,4	73,4	Driesch y Boessneck (1976)

Yacimiento	Fase	Especie	Hueso	LM (mm)	Teichert 69		Teichert 90		Bibliografía datos biométricos
					Factor	h Cruz (cm)	Factor	h Cruz (cm)	
Zambujal	Cobre	SUDO	MC IV	73,7	10,53	77,6	(10,53)-29,4	74,7	Driesch y Boessneck (1976)
Zambujal	Cobre	SUDO	MC IV	74	10,53	77,9	(10,53)-29,4	75,0	Driesch y Boessneck (1976)
Zambujal	Cobre	SUDO	MC IV	75	10,53	79,0	(10,53)-29,4	76,0	Driesch y Boessneck (1976)
Zambujal	Cobre	SUDO	MC IV	75,5	10,53	79,5	(10,53)-29,4	76,6	Driesch y Boessneck (1976)
Zambujal	Cobre	SUDO	MC IV	75,5	10,53	79,5	(10,53)-29,4	76,6	Driesch y Boessneck (1976)
Zambujal	Cobre	SUDO	MC IV	77,3	10,53	81,4	(10,53)-29,4	78,5	Driesch y Boessneck (1976)
Zambujal	Cobre	SUSC ?	MC IV	78	10,53	82,1	(10,53)-29,4	79,2	Driesch (1972)
Zambujal	Cobre	SUSC ?	MC IV	82	10,53	86,3	(10,53)-29,4	83,4	Driesch y Boessneck (1976)
Zambujal	Cobre	SUSC	MC IV	85	10,53	89,5	(10,53)-29,4	86,6	Driesch y Boessneck (1976)
Zambujal	Cobre	SUSC	MC IV	89	10,53	93,7	(10,53)-29,4	90,8	Driesch y Boessneck (1976)
Zambujal	Cobre	SUSC	MC IV	92	10,53	96,9	(10,53)-29,4	93,9	Driesch y Boessneck (1976)
Zambujal	Cobre	SUDO	MT III	70,5	9,34	65,8	(9,34)+5,6	66,4	Driesch y Boessneck (1976)
Zambujal	Cobre	SUDO	MT III	74	9,34	69,1	(9,34)+5,6	69,7	Driesch y Boessneck (1976)
Zambujal	Cobre	SUDO	MT III	74,5	9,34	69,6	(9,34)+5,6	70,1	Driesch y Boessneck (1976)
Zambujal	Cobre	SUDO	MT III	76	9,34	71,0	(9,34)+5,6	71,5	Driesch y Boessneck (1976)
Zambujal	Cobre	SUDO	MT III	77	9,34	71,9	(9,34)+5,6	72,5	Driesch y Boessneck (1976)
Zambujal	Cobre	SUDO	MT III	77,5	9,34	72,4	(9,34)+5,6	72,9	Driesch y Boessneck (1976)
Zambujal	Cobre	SUDO	MT III	80	9,34	74,7	(9,34)+5,6	75,3	Driesch y Boessneck (1976)
Zambujal	Cobre	SUDO	MT III	81	9,34	75,7	(9,34)+5,6	76,2	Driesch y Boessneck (1976)
Zambujal	Cobre	SUDO	MT III	81	9,34	75,7	(9,34)+5,6	76,2	Driesch y Boessneck (1976)
Zambujal	Cobre	SUDO	MT III	81,5	9,34	76,1	(9,34)+5,6	76,7	Driesch y Boessneck (1976)
Zambujal	Cobre	SUDO	MT III	82	9,34	76,6	(9,34)+5,6	77,1	Driesch y Boessneck (1976)
Zambujal	Cobre	SUDO	MT III	87	9,34	81,3	(9,34)+5,6	81,8	Driesch y Boessneck (1976)
Zambujal	Cobre	SUSC	MT III	96,5	9,34	90,1	(9,34)+5,6	90,7	Driesch y Boessneck (1976)
Zambujal	Cobre	SUDO	MT IV	77	8,84	68,1	(8,84)-3,8	67,7	Driesch y Boessneck (1976)
Zambujal	Cobre	SUDO	MT IV	78,5	8,84	69,4	(8,84)-3,8	69,0	Driesch y Boessneck (1976)
Zambujal	Cobre	SUDO	MT IV	79,5	8,84	70,3	(8,84)-3,8	69,9	Driesch y Boessneck (1976)
Zambujal	Cobre	SUDO	MT IV	79,5	8,84	70,3	(8,84)-3,8	69,9	Driesch y Boessneck (1976)
Zambujal	Cobre	SUDO	MT IV	80	8,84	70,7	(8,84)-3,8	70,3	Driesch y Boessneck (1976)
Zambujal	Cobre	SUDO	MT IV	81	8,84	71,6	(8,84)-3,8	71,2	Driesch y Boessneck (1976)
Zambujal	Cobre	SUDO	MT IV	82	8,84	72,5	(8,84)-3,8	72,1	Driesch y Boessneck (1976)
Zambujal	Cobre	SUDO	MT IV	82,5	8,84	72,9	(8,84)-3,8	72,6	Driesch y Boessneck (1976)
Zambujal	Cobre	SUDO	MT IV	83	8,84	73,4	(8,84)-3,8	73,0	Driesch y Boessneck (1976)
Zambujal	Cobre	SUDO	MT IV	83	8,84	73,4	(8,84)-3,8	73,0	Driesch y Boessneck (1976)

Yacimiento	Fase	Especie	Hueso	LM (mm)	Teichert 69		Teichert 90		Bibliografía datos biométricos
					Factor	h Cruz (cm)	Factor	h Cruz (cm)	
Zambujal	Cobre	SUDO	MT IV	83,2	8,84	73,5	(8.84)-3,8	73,2	Driesch y Boessneck (1976)
Zambujal	Cobre	SUSC	MT IV	96,5	8,84	85,3	(8.84)-3,8	84,9	Driesch y Boessneck (1976)
Zambujal	Cobre	SUDO	TA	32,5	17,9	58,2	(17,9)+23	60,5	Driesch y Boessneck (1976)
Zambujal	Cobre	SUDO	TA	34,5	17,9	61,8	(17,9)+23	64,1	Driesch y Boessneck (1976)
Zambujal	Cobre	SUDO	TA	36	17,9	64,4	(17,9)+23	66,7	Driesch (1972)
Zambujal	Cobre	SUDO	TA	36	17,9	64,4	(17,9)+23	66,7	Driesch y Boessneck (1976)
Zambujal	Cobre	SUDO	TA	36	17,9	64,4	(17,9)+23	66,7	Driesch y Boessneck (1976)
Zambujal	Cobre	SUDO	TA	36,2	17,9	64,8	(17,9)+23	67,1	Driesch y Boessneck (1976)
Zambujal	Cobre	SUDO	TA	37	17,9	66,2	(17,9)+23	68,5	Driesch y Boessneck (1976)
Zambujal	Cobre	SUDO	TA	37	17,9	66,2	(17,9)+23	68,5	Driesch y Boessneck (1976)
Zambujal	Cobre	SUDO	TA	37	17,9	66,2	(17,9)+23	68,5	Driesch y Boessneck (1976)
Zambujal	Cobre	SUDO	TA	37,2	17,9	66,6	(17,9)+23	68,9	Driesch y Boessneck (1976)
Zambujal	Cobre	SUDO	TA	37,5	17,9	67,1	(17,9)+23	69,4	Driesch y Boessneck (1976)
Zambujal	Cobre	SUDO	TA	37,5	17,9	67,1	(17,9)+23	69,4	Driesch y Boessneck (1976)
Zambujal	Cobre	SUDO	TA	38	17,9	68,0	(17,9)+23	70,3	Driesch y Boessneck (1976)
Zambujal	Cobre	SUDO	TA	38	17,9	68,0	(17,9)+23	70,3	Driesch y Boessneck (1976)
Zambujal	Cobre	SUDO	TA	38	17,9	68,0	(17,9)+23	70,3	Driesch y Boessneck (1976)
Zambujal	Cobre	SUDO	TA	38,5	17,9	68,9	(17,9)+23	71,2	Driesch y Boessneck (1976)
Zambujal	Cobre	SUDO	TA	38,5	17,9	68,9	(17,9)+23	71,2	Driesch y Boessneck (1976)
Zambujal	Cobre	SUDO	TA	38,5	17,9	68,9	(17,9)+23	71,2	Driesch y Boessneck (1976)
Zambujal	Cobre	SUDO	TA	38,5	17,9	68,9	(17,9)+23	71,2	Driesch y Boessneck (1976)
Zambujal	Cobre	SUDO	TA	38,5	17,9	68,9	(17,9)+23	71,2	Driesch y Boessneck (1976)
Zambujal	Cobre	SUDO	TA	38,5	17,9	68,9	(17,9)+23	71,2	Driesch y Boessneck (1976)
Zambujal	Cobre	SUDO	TA	38,5	17,9	68,9	(17,9)+23	71,2	Driesch y Boessneck (1976)
Zambujal	Cobre	SUDO	TA	38,5	17,9	68,9	(17,9)+23	71,2	Driesch y Boessneck (1976)
Zambujal	Cobre	SUDO	TA	38,5	17,9	68,9	(17,9)+23	71,2	Driesch y Boessneck (1976)
Zambujal	Cobre	SUDO	TA	38,5	17,9	68,9	(17,9)+23	71,2	Driesch y Boessneck (1976)
Zambujal	Cobre	SUDO	TA	38,5	17,9	68,9	(17,9)+23	71,2	Driesch y Boessneck (1976)
Zambujal	Cobre	SUDO	TA	38,5	17,9	68,9	(17,9)+23	71,2	Driesch y Boessneck (1976)
Zambujal	Cobre	SUDO	TA	38,5	17,9	68,9	(17,9)+23	71,2	Driesch y Boessneck (1976)
Zambujal	Cobre	SUDO	TA	38,5	17,9	68,9	(17,9)+23	71,2	Driesch y Boessneck (1976)
Zambujal	Cobre	SUDO	TA	38,5	17,9	68,9	(17,9)+23	71,2	Driesch y Boessneck (1976)
Zambujal	Cobre	SUDO	TA	38,5	17,9	68,9	(17,9)+23	71,2	Driesch y Boessneck (1976)
Zambujal	Cobre	SUDO	TA	38,5	17,9	68,9	(17,9)+23	71,2	Driesch y Boessneck (1976)
Zambujal	Cobre	SUDO	TA	38,5	17,9	68,9	(17,9)+23	71,2	Driesch y Boessneck (1976)
Zambujal	Cobre	SUDO	TA	38,5	17,9	68,9	(17,9)+23	71,2	Driesch y Boessneck (1976)
Zambujal	Cobre	SUDO	TA	38,5	17,9	68,9	(17,9)+23	71,2	Driesch y Boessneck (1976)
Zambujal	Cobre	SUDO	TA	38,8	17,9	69,5	(17,9)+23	71,8	Driesch y Boessneck (1976)
Zambujal	Cobre	SUDO	TA	39	17,9	69,8	(17,9)+23	72,1	Driesch y Boessneck (1976)
Zambujal	Cobre	SUDO	TA	39	17,9	69,8	(17,9)+23	72,1	Driesch y Boessneck (1976)
Zambujal	Cobre	SUDO	TA	39	17,9	69,8	(17,9)+23	72,1	Driesch y Boessneck (1976)
Zambujal	Cobre	SUDO	TA	39	17,9	69,8	(17,9)+23	72,1	Driesch y Boessneck (1976)

Yacimiento	Fase	Especie	Hueso	LM (mm)	Teichert 69		Teichert 90		Bibliografía datos biométricos
					Factor	h Cruz (cm)	Factor	h Cruz (cm)	
Zambujal	Cobre	SUDO	TA	39	17,9	69,8	(17,9)+23	72,1	Driesch y Boessneck (1976)
Zambujal	Cobre	SUDO	TA	39	17,9	69,8	(17,9)+23	72,1	Driesch y Boessneck (1976)
Zambujal	Cobre	SUDO	TA	39	17,9	69,8	(17,9)+23	72,1	Driesch y Boessneck (1976)
Zambujal	Cobre	SUDO	TA	39	17,9	69,8	(17,9)+23	72,1	Driesch y Boessneck (1976)
Zambujal	Cobre	SUDO	TA	39,5	17,9	70,7	(17,9)+23	73,0	Driesch y Boessneck (1976)
Zambujal	Cobre	SUDO	TA	39,5	17,9	70,7	(17,9)+23	73,0	Driesch y Boessneck (1976)
Zambujal	Cobre	SUDO	TA	39,5	17,9	70,7	(17,9)+23	73,0	Driesch y Boessneck (1976)
Zambujal	Cobre	SUDO	TA	39,5	17,9	70,7	(17,9)+23	73,0	Driesch y Boessneck (1976)
Zambujal	Cobre	SUDO	TA	39,5	17,9	70,7	(17,9)+23	73,0	Driesch y Boessneck (1976)
Zambujal	Cobre	SUDO	TA	39,5	17,9	70,7	(17,9)+23	73,0	Driesch y Boessneck (1976)
Zambujal	Cobre	SUDO	TA	39,5	17,9	70,7	(17,9)+23	73,0	Driesch y Boessneck (1976)
Zambujal	Cobre	SUDO	TA	39,5	17,9	70,7	(17,9)+23	73,0	Driesch y Boessneck (1976)
Zambujal	Cobre	SUDO	TA	39,5	17,9	70,7	(17,9)+23	73,0	Driesch y Boessneck (1976)
Zambujal	Cobre	SUDO	TA	39,5	17,9	70,7	(17,9)+23	73,0	Driesch y Boessneck (1976)
Zambujal	Cobre	SUDO	TA	39,5	17,9	70,7	(17,9)+23	73,0	Driesch y Boessneck (1976)
Zambujal	Cobre	SUDO	TA	39,5	17,9	70,7	(17,9)+23	73,0	Driesch y Boessneck (1976)
Zambujal	Cobre	SUDO	TA	40	17,9	71,6	(17,9)+23	73,9	Driesch y Boessneck (1976)
Zambujal	Cobre	SUDO	TA	40	17,9	71,6	(17,9)+23	73,9	Driesch y Boessneck (1976)
Zambujal	Cobre	SUDO	TA	40	17,9	71,6	(17,9)+23	73,9	Driesch y Boessneck (1976)
Zambujal	Cobre	SUDO	TA	40	17,9	71,6	(17,9)+23	73,9	Driesch y Boessneck (1976)
Zambujal	Cobre	SUDO	TA	40	17,9	71,6	(17,9)+23	73,9	Driesch y Boessneck (1976)
Zambujal	Cobre	SUDO	TA	40	17,9	71,6	(17,9)+23	73,9	Driesch y Boessneck (1976)
Zambujal	Cobre	SUDO	TA	40	17,9	71,6	(17,9)+23	73,9	Driesch y Boessneck (1976)
Zambujal	Cobre	SUDO	TA	40	17,9	71,6	(17,9)+23	73,9	Driesch y Boessneck (1976)
Zambujal	Cobre	SUDO	TA	40,5	17,9	72,5	(17,9)+23	74,8	Driesch y Boessneck (1976)
Zambujal	Cobre	SUDO	TA	40,5	17,9	72,5	(17,9)+23	74,8	Driesch y Boessneck (1976)
Zambujal	Cobre	SUDO	TA	40,5	17,9	72,5	(17,9)+23	74,8	Driesch y Boessneck (1976)
Zambujal	Cobre	SUDO	TA	41	17,9	73,4	(17,9)+23	75,7	Driesch y Boessneck (1976)
Zambujal	Cobre	SUDO	TA	41	17,9	73,4	(17,9)+23	75,7	Driesch y Boessneck (1976)
Zambujal	Cobre	SUDO	TA	41	17,9	73,4	(17,9)+23	75,7	Driesch y Boessneck (1976)
Zambujal	Cobre	SUDO	TA	41,2	17,9	73,7	(17,9)+23	76,0	Driesch y Boessneck (1976)
Zambujal	Cobre	SUDO	TA	41,5	17,9	74,3	(17,9)+23	76,6	Driesch (1972)
Zambujal	Cobre	SUDO	TA	41,5	17,9	74,3	(17,9)+23	76,6	Driesch y Boessneck (1976)
Zambujal	Cobre	SUDO	TA	41,5	17,9	74,3	(17,9)+23	76,6	Driesch y Boessneck (1976)



Yacimiento	Fase	Especie	Hueso	LM (mm)	Teichert 69		Teichert 90		Bibliografía datos biométricos
					Factor	h Cruz (cm)	Factor	h Cruz (cm)	
Zambujal	Cobre	SUDO	TA	41,5	17,9	74,3	(17,9)+23	76,6	Driesch y Boessneck (1976)
Zambujal	Cobre	SUDO	TA	41,5	17,9	74,3	(17,9)+23	76,6	Driesch y Boessneck (1976)
Zambujal	Cobre	SUDO	TA	41,7	17,9	74,6	(17,9)+23	76,9	Driesch y Boessneck (1976)
Zambujal	Cobre	SUDO	TA	42	17,9	75,2	(17,9)+23	77,5	Driesch y Boessneck (1976)
Zambujal	Cobre	SUDO	TA	42	17,9	75,2	(17,9)+23	77,5	Driesch y Boessneck (1976)
Zambujal	Cobre	SUDO	TA	42	17,9	75,2	(17,9)+23	77,5	Driesch y Boessneck (1976)
Zambujal	Cobre	SUDO	TA	42,5	17,9	76,1	(17,9)+23	78,4	Driesch y Boessneck (1976)
Zambujal	Cobre	SUDO	TA	42,5	17,9	76,1	(17,9)+23	78,4	Driesch y Boessneck (1976)
Zambujal	Cobre	SUDO	TA	43	17,9	77,0	(17,9)+23	79,3	Driesch y Boessneck (1976)
Zambujal	Cobre	SUDO	TA	43	17,9	77,0	(17,9)+23	79,3	Driesch y Boessneck (1976)
Zambujal	Cobre	SUDO	TA	43	17,9	77,0	(17,9)+23	79,3	Driesch y Boessneck (1976)
Zambujal	Cobre	SUDO	TA	43,5	17,9	77,9	(17,9)+23	80,2	Driesch y Boessneck (1976)
Zambujal	Cobre	SUDO	TA	43,5	17,9	77,9	(17,9)+23	80,2	Driesch y Boessneck (1976)
Zambujal	Cobre	SUDO	TA	44	17,9	78,8	(17,9)+23	81,1	Driesch y Boessneck (1976)
Zambujal	Cobre	SUDO	TA	44	17,9	78,8	(17,9)+23	81,1	Driesch y Boessneck (1976)
Zambujal	Cobre	SUDO	TA	44	17,9	78,8	(17,9)+23	81,1	Driesch y Boessneck (1976)
Zambujal	Cobre	SUDO	TA	44	17,9	78,8	(17,9)+23	81,1	Driesch y Boessneck (1976)
Zambujal	Cobre	SUDO	TA	44,5	17,9	79,7	(17,9)+23	82,0	Driesch y Boessneck (1976)
Zambujal	Cobre	SUDO	TA	44,5	17,9	79,7	(17,9)+23	82,0	Driesch y Boessneck (1976)
Zambujal	Cobre	SUSC ?	TA	45	17,9	80,6	(17,9)+23	82,9	Driesch y Boessneck (1976)
Zambujal	Cobre	SUSC ?	TA	45,5	17,9	81,4	(17,9)+23	83,7	Driesch y Boessneck (1976)
Zambujal	Cobre	SUSC ?	TA	45,5	17,9	81,4	(17,9)+23	83,7	Driesch y Boessneck (1976)
Zambujal	Cobre	SUSC	TA	46	17,9	82,3	(17,9)+23	84,6	Driesch y Boessneck (1976)
Zambujal	Cobre	SUSC	TA	46,5	17,9	83,2	(17,9)+23	85,5	Driesch y Boessneck (1976)
Zambujal	Cobre	SUSC	TA	46,5	17,9	83,2	(17,9)+23	85,5	Driesch y Boessneck (1976)
Zambujal	Cobre	SUSC	TA	47	17,9	84,1	(17,9)+23	86,4	Driesch y Boessneck (1976)
Zambujal	Cobre	SUSC	TA	47,5	17,9	85,0	(17,9)+23	87,3	Driesch y Boessneck (1976)
Zambujal	Cobre	SUSC	TA	47,5	17,9	85,0	(17,9)+23	87,3	Driesch y Boessneck (1976)
Zambujal	Cobre	SUSC	TA	47,7	17,9	85,4	(17,9)+23	87,7	Driesch y Boessneck (1976)
Zambujal	Cobre	SUSC	TA	48	17,9	85,9	(17,9)+23	88,2	Driesch y Boessneck (1976)
Zambujal	Cobre	SUSC	TA	48,5	17,9	86,8	(17,9)+23	89,1	Driesch y Boessneck (1976)
Zambujal	Cobre	SUSC	TA	49,5	17,9	88,6	(17,9)+23	90,9	Driesch y Boessneck (1976)
Zambujal	Cobre	SUSC	TA	50	17,9	89,5	(17,9)+23	91,8	Driesch y Boessneck (1976)

Cálculo de altura de la cruz de *Canis familiaris*

Yacimiento	Fase	Especie	Hueso	Koudelka 1885		Harcourt 1974		Clark 1995		Bibliografía datos biométricos	
				LM (mm)	Factor	h Cruz (cm)	Factor	h Cruz (cm)	Factor		h Cruz (cm)
Cabezo de San Pedro	Púnico	CAFA	R	156,50	3,32	52,0	3,18+19,51	51,7		Driesch (1973)	
Cabezo Redondo	Bronce final	CAFA	FE	158	3,01	47,6	3,14-12,96	48,3		Driesch y Boessneck (1969)	
Cabezo Redondo	Bronce final	CAFA	FE	163,5	3,01	49,2	3,14-12,96	50,0		Driesch y Boessneck (1969)	
Cabezo Redondo	Bronce final	CAFA	HU	144	3,37	48,5	3,43-26,54	46,7		Driesch y Boessneck (1969)	
Cabezo Redondo	Bronce final	CAFA	MC II	51,9					0,94-1,56	48,6	Driesch y Boessneck (1969)
Cabezo Redondo	Bronce final	CAFA	MC II	51					0,94-1,56	47,8	Driesch y Boessneck (1969)
Cabezo Redondo	Bronce final	CAFA	MC II	47,8					0,94-1,56	44,8	Driesch y Boessneck (1969)
Cabezo Redondo	Bronce final	CAFA	MC III	58,5					0,83-2,03	48,4	Driesch y Boessneck (1969)
Cabezo Redondo	Bronce final	CAFA	MC IV	58					0,84-2,60	48,5	Driesch y Boessneck (1969)
Cabezo Redondo	Bronce final	CAFA	MC V	50					0,98-1,56	48,8	Driesch y Boessneck (1969)
Cabezo Redondo	Bronce final	CAFA	MC V	48					0,98-1,56	46,9	Driesch y Boessneck (1969)
Cabezo Redondo	Bronce final	CAFA	MT II	56					0,86-2,04	48,0	Driesch y Boessneck (1969)
Cabezo Redondo	Bronce final	CAFA	MT III	59,3					0,77-2,26	45,4	Driesch y Boessneck (1969)
Cabezo Redondo	Bronce final	CAFA	MT IV	64,5					0,75-2,68	48,1	Driesch y Boessneck (1969)
Cabezo Redondo	Bronce final	CAFA	MT V	57					0,83-1,75	47,1	Driesch y Boessneck (1969)
Cabezo Redondo	Bronce final	CAFA	MT V	62					0,83-1,75	51,3	Driesch y Boessneck (1969)
Cabezo Redondo	Bronce final	CAFA	R	138	3,32	45,8	3,18+19,51	45,8			Driesch y Boessneck (1969)
Castellón Alto	Argar	CAFA	FE	144	3,01	43,3	3,14-12,96	43,9			Milz (1986)
Castellón Alto	Argar	CAFA	FE	153,5	3,01	46,2	3,14-12,96	46,9			Milz (1986)
Castellón Alto	Argar	CAFA	MC I	19,5							Milz (1986)
Castellón Alto	Argar	CAFA	MC II	47					0,94-1,56	44,0	Milz (1986)
Castellón Alto	Argar	CAFA	MC II	48					0,94-1,56	45,0	Milz (1986)
Castellón Alto	Argar	CAFA	MC III	57					0,83-2,03	47,1	Milz (1986)
Castellón Alto	Argar	CAFA	MC III	54,5					0,83-2,03	45,0	Milz (1986)
Castellón Alto	Argar	CAFA	MC III	53					0,83-2,03	43,8	Milz (1986)
Castellón Alto	Argar	CAFA	MC V	48,5					0,98-1,56	47,4	Milz (1986)
Castellón Alto	Argar	CAFA	MC V	46,5					0,98-1,56	45,4	Milz (1986)
Castellón Alto	Argar	CAFA	MC V	42,5					0,98-1,56	41,5	Milz (1986)
Castellón Alto	Argar	CAFA	MT II	54					0,86-2,04	46,2	Milz (1986)
Castellón Alto	Argar	CAFA	MT III	51,5					0,77-2,26	39,4	Milz (1986)
Castellón Alto	Argar	CAFA	MT III	60,5					0,77-2,26	46,4	Milz (1986)
Castellón Alto	Argar	CAFA	MT IV	52,5					0,75-2,68	39,1	Milz (1986)
Castellón Alto	Argar	CAFA	MT V	47					0,83-1,75	38,8	Milz (1986)
Castellón Alto	Argar	CAFA	R	138	3,22	44,4	3,18+19,51	45,8			Milz (1986)
Castellón Alto	Argar	CAFA	UL	194,5	2,67	51,9	2,78+6,21	54,7			Milz (1986)

Yacimiento	Fase	Especie	Hueso	Koudelka 1885			Harcourt 1974		Clark 1995		Bibliografía datos biométricos
				LM (mm)	Factor	h Cruz (cm)	Factor	h Cruz (cm)	Factor	h Cruz (cm)	
Cerro de la Encina	Argar	CAFA	MC II	47,50					0,94-1,56	44,5	Friesch (1987)
Cerro de la Encina	Argar	CAFA	MC II	72,00					0,94-1,56	67,5	Lauk (1976)
Cerro de la Encina	Argar	CAFA	MC II	60,50					0,94-1,56	56,7	Lauk (1976)
Cerro de la Encina	Argar	CAFA	MC IV	62,00					0,84-2,60	51,8	Friesch (1987)
Cerro de la Encina	Argar	CAFA	MC IV	80,50					0,84-2,60	67,4	Lauk (1976)
Cerro de la Encina	Argar	CAFA	MC V	45,10					0,98-1,56	44,0	Lauk (1976)
Cerro de la Encina	Argar	CAFA	MT III	59,20					0,77-2,26	45,4	Friesch (1987)
Cerro de la Encina	Argar	CAFA	MT V	61,00					0,83-1,75	50,5	Friesch (1987)
Cerro de la Encina	Argar	CAFA	MT V	60					0,83-1,75	49,6	Lauk (1976)
Cerro de la Encina	Argar	CAFA	MT V	55					0,83-1,75	45,5	Lauk (1976)
Cerro de la Encina	Bronce final	CAFA	MC I	42,80							Friesch (1987)
Cerro de la Tortuga	Fenicio	CAFA	R	177,50	3,32	58,9	3,18+19,51	58,4			Hans-Peter y Uerpmann (1972)
Cerro de la Virgen	Argar	CAFA	MC V	48,00					0,98-1,56	46,9	Driesch (1972)
Cerro de la Virgen	Argar/Árabe	CAFA	MC II	51,80					0,94-1,56	48,5	Driesch (1972)
Cerro de la Virgen	Argar/Árabe	CAFA	MC III	79,20					0,83-2,03	65,5	Driesch (1972)
Cerro de la Virgen	Campaniforme	CAFA	MC V	46,50					0,98-1,56	45,4	Driesch (1972)
Cerro de la Virgen	Cobre	CAFA	R	166,50	3,32	55,3	3,18+19,51	54,9			Driesch (1972)
Cerro de la Virgen	Cobre/Campaniforme	CAFA	MC II	48,50					0,94-1,56	45,4	Driesch (1972)
Cerro de la Virgen	Cobre/Campaniforme	CAFA	MT III	64,2					0,77-2,26	49,2	Driesch (1972)
Cerro de la Virgen	Cobre/Campaniforme	CAFA	MT IV	65,5					0,75-2,68	48,9	Driesch (1972)
Ciudad de la Justicia	Árabe (emiral)	CAFA	R	-	-	61,2					Riquelme (2010)
Cuesta del Negro	?	CAFA	MC V	49,00					0,98-1,56	47,9	Lauk (1976)
Cuesta del Negro	?	CAFA	MT III	53					0,77-2,26	40,6	Lauk (1976)
Cuesta del Negro	Argar	CAFA	MC II	46,00					0,94-1,56	43,1	Lauk (1976)
Cuesta del Negro	Argar	CAFA	MC III	54,50					0,83-2,03	45,0	Lauk (1976)
Cuesta del Negro	Argar	CAFA	MC IV	58,30					0,84-2,60	48,7	Lauk (1976)
Cuesta del Negro	Argar	CAFA	MC IV	54,70					0,84-2,60	45,7	Lauk (1976)
Cuesta del Negro	Argar	CAFA	MC V	44,50					0,98-1,56	43,5	Lauk (1976)
Cuesta del Negro	Bronce final	CAFA	MC II	50,50					0,94-1,56	47,3	Lauk (1976)
Cuesta del Negro	Bronce final	CAFA	MC II	49,00					0,94-1,56	45,9	Lauk (1976)
Cuesta del Negro	Bronce final	CAFA	MC IV	54,00					0,84-2,60	45,1	Lauk (1976)
Cuesta del Negro	Bronce final	CAFA	MC V	55,00					0,98-1,56	53,7	Lauk (1976)
Cuesta del Negro	Bronce final	CAFA	MT II	48,5					0,86-2,04	41,5	Lauk (1976)
Cuesta del Negro	Bronce final	CAFA	MT III	63					0,77-2,26	48,3	Lauk (1976)
Cuesta del Negro	Bronce final	CAFA	R	141,5	3,32	47,0	3,18+19,51	46,9			Lauk (1976)
Cuesta del Negro	Bronce final	CAFA	TI	136	2,92	39,7	2,92+9,41	40,7			Lauk (1976)
Cuesta del Negro	Bronce final	CAFA	TI	213,5	2,92	62,3	2,92+9,41	63,3			Lauk (1976)

Yacimiento	Fase	Especie	Hueso	Koudelka 1885			Harcourt 1974		Clark 1995		Bibliografía datos biométricos
				LM (mm)	Factor	h Cruz (cm)	Factor	h Cruz (cm)	Factor	h Cruz (cm)	
Cueva de la Dehesilla	Bronce	CAFA	MC II	46					0,94-1,56	43,084	Boessneck y Driesch (1980)
Cueva de Nerja	?	CAFA	MC III	57,7					0,83-2,03	47,688	Boessneck y Driesch (1980)
Cueva de Nerja	?	CAFA	MC V	48,5					0,98-1,56	47,374	Boessneck y Driesch (1980)
Cueva de Nerja	?	CAFA	MT II	68,5					0,86-2,04	58,706	Boessneck y Driesch (1980)
Cueva de Nerja	?	CAFA	MT IV	51					0,75-2,68	37,982	Boessneck y Driesch (1980)
Cueva de Nerja	Neolítico	CAFA	MC III	54,7					0,83-2,03	45,198	Boessneck y Driesch (1980)
Cueva de Nerja	Neolítico	CAFA	TI	162,5	2,92	47,5	2,92+9,41	48,4			Boessneck y Driesch (1980)
Cueva Soterraña	Bronce	CAFA	FE	169,7	3,01	51,1	3,14-12,96	52,0			Sarrión (1982)
Fuente Álamo	Bronce	CAFA	MC II	53,00					0,94-1,56	49,7	Driesch et alii (1985)
Fuente Álamo	Bronce	CAFA	MC III	50,50					0,83-2,03	41,7	Driesch et alii (1985)
Fuente Álamo	Bronce	CAFA	MC III	63,00					0,83-2,03	52,1	Driesch et alii (1985)
Fuente Álamo	Bronce	CAFA	MC IV	65,50					0,84-2,60	54,8	Driesch et alii (1985)
Fuente Álamo	Bronce	CAFA	MC V	50,50					0,98-1,56	49,3	Driesch et alii (1985)
Fuente Álamo	Bronce	CAFA	MT II	52,00					0,86-2,04	44,5	Driesch et alii (1985)
Fuente Álamo	Bronce	CAFA	MT II	56,00					0,86-2,04	48,0	Driesch et alii (1985)
Fuente Álamo	Bronce	CAFA	MT II	59,50					0,86-2,04	51,0	Driesch et alii (1985)
Fuente Álamo	Bronce	CAFA	MT II	61					0,86-2,04	52,3	Driesch et alii (1985)
Fuente Álamo	Bronce	CAFA	MT II	61,5					0,86-2,04	52,7	Driesch et alii (1985)
Fuente Álamo	Bronce	CAFA	MT III	55					0,77-2,26	42,1	Driesch et alii (1985)
Fuente Álamo	Bronce	CAFA	MT III	61					0,77-2,26	46,7	Driesch et alii (1985)
Fuente Álamo	Bronce	CAFA	MT III	62,5					0,77-2,26	47,9	Driesch et alii (1985)
Fuente Álamo	Bronce	CAFA	MT III	67,5					0,77-2,26	51,7	Driesch et alii (1985)
Fuente Álamo	Bronce	CAFA	MT V	52,5					0,83-1,75	43,4	Driesch et alii (1985)
Fuente Álamo	Bronce	CAFA	MT V	56,5					0,83-1,75	46,7	Driesch et alii (1985)
Fuente Álamo	Bronce	CAFA	MT V	65,5					0,83-1,75	54,2	Driesch et alii (1985)
Fuente Álamo	Bronce	CAFA	R	148,00	3,32	49,1	3,18+19,51	49,0			Driesch et alii (1985)
Fuente Álamo	Bronce	CAFA	ALU?	199,5	3,32	66,2	3,18+19,51	65,4			Driesch et alii (1985)
Fuente Flores	Eneolítico	CAFA	MT II	58,9					0,86-2,04	50,5	Juan y Martínez (1988)
Fuente Flores	Eneolítico	CAFA	MT V	48					0,83-1,75	39,7	Juan y Martínez (1988)
Les Planetes	Bronce	CAFA	MT II	52,2					0,86-2,04	44,7	Pérez Ripoll (1978)
Les Planetes	Bronce	CAFA	MT III	58,3					0,77-2,26	44,7	Pérez Ripoll (1978)
Les Planetes	Bronce	CAFA	MT IV	60,7					0,75-2,68	45,3	Pérez Ripoll (1978)
Les Planetes	Bronce	CAFA	MT V	54					0,83-1,75	44,6	Pérez Ripoll (1978)
Les Planetes	Bronce	CAFA	TI	229	2,92	66,9	2,92+9,41	67,8			Pérez Ripoll (1978)
Lloma de Betxí	Bronce	CAFA	FE	157,2	3,01	47,3	3,14-12,96	48,1			Sanchis y Serra (2004)
Lloma de Betxí	Bronce	CAFA	HU	140,40	3,37	47,3	3,43-26,54	45,5			Sanchis y Serra (2004)
Lloma de Betxí	Bronce	CAFA	HU	150,00	3,37	50,6	3,43-26,54	48,8			Sanchis y Serra (2004)

Yacimiento	Fase	Especie	Hueso	Koudelka 1885			Harcourt 1974		Clark 1995		Bibliografía datos biométricos
				LM (mm)	Factor	h Cruz (cm)	Factor	h Cruz (cm)	Factor	h Cruz (cm)	
Lloma de Betxí	Bronce	CAFA	MC II	45,7					0,94-1,56	42,8	Sanchis y Serra (2004)
Lloma de Betxí	Bronce	CAFA	MC III	52,6					0,83-2,03	43,5	Sanchis y Serra (2004)
Lloma de Betxí	Bronce	CAFA	MC IV	52,5					0,84-2,60	43,8	Sanchis y Serra (2004)
Lloma de Betxí	Bronce	CAFA	MC V	44,1					0,98-1,56	43,1	Sanchis y Serra (2004)
Lloma de Betxí	Bronce	CAFA	R	141,60	3,32	47,0	3,18+19,51	47,0			Sanchis y Serra (2004)
Lloma de Betxí	Bronce	CAFA	UL	167	2,67	44,6	2,78+6,21	47,0			Sanchis y Serra (2004)
Los Millares	Cobre	CAFA	HU	140,5	3,37	47,3	3,43-26,54	45,5			Peters y Driesch (1990)
Los Millares	Cobre	CAFA	HU	149	3,37	50,2	3,43-26,54	48,5			Peters y Driesch (1990)
Los Millares	Cobre	CAFA	HU	152	3,37	51,2	3,43-26,54	49,5			Peters y Driesch (1990)
Los Millares	Cobre	CAFA	HU	159	3,37	53,6	3,43-26,54	51,9			Peters y Driesch (1990)
Los Millares	Cobre	CAFA	TI	145	2,92	42,3	2,92+9,41	43,3			Peters y Driesch (1990)
Motilla de Los Palacios	Bronce	CAFA	R	139,00	3,32	46,1	3,18+19,51	46,2			Driesch y Boessneck (1980)
Tabayà	Argar	CAFA	MT III	61,3					0,77-2,26	47,0	Rizo (2009)
Terrera del Reloj	Argar	CAFA	MC II	51,5					0,94-1,56	48,3	Milz (1986)
Terrera del Reloj	Argar	CAFA	MC III	56,5					0,83-2,03	46,7	Milz (1986)
Terrera del Reloj	Argar	CAFA	MC III	52					0,83-2,03	43,0	Milz (1986)
Terrera del Reloj	Argar	CAFA	MC IV	55					0,84-2,60	45,9	Milz (1986)
Terrera del Reloj	Argar	CAFA	MC V	45					0,98-1,56	43,9	Milz (1986)
Terrera del Reloj	Argar	CAFA	MC V	44,5					0,98-1,56	43,5	Milz (1986)
Terrera del Reloj	Argar	CAFA	MC V	49					0,98-1,56	47,9	Milz (1986)
Terrera del Reloj	Argar	CAFA	MC V	48,5					0,98-1,56	47,4	Milz (1986)
Terrera del Reloj	Argar	CAFA	MC V	42,5					0,98-1,56	41,5	Milz (1986)
Terrera del Reloj	Argar	CAFA	MC V	43					0,98-1,56	42,0	Milz (1986)
Terrera del Reloj	Argar	CAFA	MT II	52					0,86-2,04	44,5	Milz (1986)
Terrera del Reloj	Argar	CAFA	MT II	54					0,86-2,04	46,2	Milz (1986)
Terrera del Reloj	Argar	CAFA	MT II	46					0,86-2,04	39,4	Milz (1986)
Terrera del Reloj	Argar	CAFA	MT III	57,5					0,77-2,26	44,0	Milz (1986)
Terrera del Reloj	Argar	CAFA	MT IV	51,5					0,75-2,68	38,4	Milz (1986)
Terrera del Reloj	Argar	CAFA	MT V	55					0,83-1,75	45,5	Milz (1986)
Terrera del Reloj	Argar	CAFA	TI	152	2,92	44,4	2,92+9,41	45,3			Milz (1986)
Terrera del Reloj	Argar	CAFA	TI	166,5	2,92	48,6	2,92+9,41	49,6			Milz (1986)
Terrera del Reloj	Argar	CAFA	TI	169	2,92	49,3	2,92+9,41	50,3			Milz (1986)
Toscanos	Fenicio	CAFA	FE	171,5	3,01	51,6	3,14-12,96	52,6			Hans-Peter y Uerpmann (1972)
Valencina de la Concepción	Cobre	CAFA	FE	157,5	3,01	47,4	3,14-12,96	48,2			Hain (1982)
Valencina de la Concepción	Cobre	CAFA	FE	158	3,01	47,6	3,14-12,96	48,3			Hain (1982)
Valencina de la Concepción	Cobre	CAFA	FE	165,5	3,01	49,8	3,14-12,96	50,7			Hain (1982)
Valencina de la Concepción	Cobre	CAFA	FE	170	3,01	51,2	3,14-12,96	52,1			Hain (1982)

Yacimiento	Fase	Especie	Hueso	Koudelka 1885			Harcourt 1974		Clark 1995		Bibliografía datos biométricos
				LM (mm)	Factor	h Cruz (cm)	Factor	h Cruz (cm)	Factor	h Cruz (cm)	
Valencina de la Concepción	Cobre	CAFA	FE	170	3,01	51,2	3,14-12,96	52,1		Hain (1982)	
Valencina de la Concepción	Cobre	CAFA	HU	120,5	3,37	40,6	3,43-26,54	38,7		Hain (1982)	
Valencina de la Concepción	Cobre	CAFA	HU	125	3,37	42,1	3,43-26,54	40,2		Hain (1982)	
Valencina de la Concepción	Cobre	CAFA	HU	131,5	3,37	44,3	3,43-26,54	42,5		Hain (1982)	
Valencina de la Concepción	Cobre	CAFA	HU	137	3,37	46,2	3,43-26,54	44,3		Hain (1982)	
Valencina de la Concepción	Cobre	CAFA	HU	153	3,37	51,6	3,43-26,54	49,8		Hain (1982)	
Valencina de la Concepción	Cobre	CAFA	HU	155	3,37	52,2	3,43-26,54	50,5		Hain (1982)	
Valencina de la Concepción	Cobre	CAFA	HU	159	3,37	53,6	3,43-26,54	51,9		Hain (1982)	
Valencina de la Concepción	Cobre	CAFA	HU	164	3,37	55,3	3,43-26,54	53,6		Hain (1982)	
Valencina de la Concepción	Cobre	CAFA	HU	164	3,37	55,3	3,43-26,54	53,6		Hain (1982)	
Valencina de la Concepción	Cobre	CAFA	MC II	49,7					0,94-1,56	46,6	Hain (1982)
Valencina de la Concepción	Cobre	CAFA	MC III	62,5					0,83-2,03	51,7	Hain (1982)
Valencina de la Concepción	Cobre	CAFA	MC III	55,5					0,83-2,03	45,9	Hain (1982)
Valencina de la Concepción	Cobre	CAFA	MC IV	56					0,84-2,60	46,8	Hain (1982)
Valencina de la Concepción	Cobre	CAFA	MC IV	55,8					0,84-2,60	46,6	Hain (1982)
Valencina de la Concepción	Cobre	CAFA	MC V	45,5					0,98-1,56	44,4	Hain (1982)
Valencina de la Concepción	Cobre	CAFA	MC V	52,3					0,98-1,56	51,1	Hain (1982)
Valencina de la Concepción	Cobre	CAFA	MT II	49					0,86-2,04	41,9	Hain (1982)
Valencina de la Concepción	Cobre	CAFA	MT III	64					0,77-2,26	49,1	Hain (1982)
Valencina de la Concepción	Cobre	CAFA	MT III	70,5					0,77-2,26	54,1	Hain (1982)
Valencina de la Concepción	Cobre	CAFA	MT III	61					0,77-2,26	46,7	Hain (1982)
Valencina de la Concepción	Cobre	CAFA	MT III	59,5					0,77-2,26	45,6	Hain (1982)
Valencina de la Concepción	Cobre	CAFA	MT V	59					0,83-1,75	48,8	Hain (1982)
Valencina de la Concepción	Cobre	CAFA	MT V	62					0,83-1,75	51,3	Hain (1982)
Valencina de la Concepción	Cobre	CAFA	R	150,5	3,22	48,5	3,18+19,51	49,8		Hain (1982)	
Valencina de la Concepción	Cobre	CAFA	R	163	3,22	52,5	3,18+19,51	53,8		Hain (1982)	
Valencina de la Concepción	Cobre	CAFA	R	169	3,22	54,4	3,18+19,51	55,7		Hain (1982)	
Valencina de la Concepción	Cobre	CAFA	TI	143	2,92	41,8	2,92+9,41	42,7		Hain (1982)	
Valencina de la Concepción	Cobre	CAFA	TI	161	2,92	47,0	2,92+9,41	48,0		Hain (1982)	
Valencina de la Concepción	Cobre	CAFA	TI	171	2,92	49,9	2,92+9,41	50,9		Hain (1982)	
Valencina de la Concepción	Cobre	CAFA	TI	173,5	2,92	50,7	2,92+9,41	51,6		Hain (1982)	
Valencina de la Concepción	Cobre	CAFA	UL	181,5	2,67	48,5	2,78+6,21	51,1		Hain (1982)	
Zambujal	Cobre	CAFA	MC I	19,5						Driesch y Boessneck (1976)	
Zambujal	Cobre	CAFA	MC III	47,00					0,83-2,03	38,8	Driesch y Boessneck (1976)
Zambujal	Cobre	CAFA	MC IV	50,7					0,84-2,60	42,3	Driesch y Boessneck (1976)
Zambujal	Cobre	CAFA	MC IV	55					0,84-2,60	45,9	Driesch y Boessneck (1976)
Zambujal	Cobre	CAFA	MT III	63					0,77-2,26	48,3	Driesch y Boessneck (1976)

Yacimiento	Fase	Especie	Hueso	Koudelka 1885			Harcourt 1974		Clark 1995		Bibliografía datos biométricos
				LM (mm)	Factor	h Cruz (cm)	Factor	h Cruz (cm)	Factor	h Cruz (cm)	
Zambujal	Cobre	CAFA	MT III	57					0,77-2,26	43,7	Driesch y Boessneck (1976)
Zambujal	Cobre	CAFA	MT V	51,8					0,83-1,75	42,8	Driesch y Boessneck (1976)

Cálculo de altura de la cruz de *Equus caballus*

Yacimiento	Fase	Especie	Sexo	Hueso	LM (mm)	Factor	h Cruz (cm)	
Castillejos de Montefrío	_	EQCA		MT	267,02	5,33	142,32	Ziegler (1990)
Cerro de la Encina	Argar	EQCA		_	_	_	130,00	Driesch (1974)
Cerro de la Encina	Argar	EQCA		_	_	_	140,00	Driesch (1974)
Cerro de la Encina	Argar	EQCA		MC	208,50	6,41	133,65	Friesch (1987)
Cerro de la Encina	Argar	EQCA		MC	210,00	6,41	134,61	Lauk (1976)
Cerro de la Encina	Argar	EQCA		MC	213,00	6,41	136,53	Lauk (1976)
Cerro de la Encina	Argar	EQCA		MC	223,50	6,41	143,26	Lauk (1976)
Cerro de la Encina	Argar	EQCA		MC	225,00	6,41	144,23	Lauk (1976)
Cerro de la Encina	Argar	EQCA		MT	250,00	5,33	133,25	Lauk (1976)
Cerro de la Encina	Argar	EQCA		MT	258,00	5,33	137,51	Lauk (1976)
Cerro de la Encina	Argar	EQCA		MT	263,00	5,33	140,18	Lauk (1976)
Cerro de la Encina	Argar	EQCA		MT	265,50	5,33	141,51	Lauk (1976)
Cerro de la Encina	Argar	EQCA		R	318,50	4,34	138,23	Lauk (1976)
Cerro de la Encina	Argar	EQCA		R	320,00	4,34	138,88	Lauk (1976)
Cerro de la Encina	Argar	EQCA		R	333,00	4,34	144,52	Lauk (1976)
Cerro de la Encina	Bronce Tardío	EQCA		MC	225,00	6,41	144,23	Lauk (1976)
Cerro de la Encina	Bronce Tardío	EQCA		MT	261,00	5,33	139,11	Lauk (1976)
Cerro de la Virgen	Árabe	EQCA		MT	273,00	5,33	145,51	Driesch (1972)
Cerro de la Virgen	Argar	EQCA		TI	335,00	4,36	146,06	Driesch (1972)
Cerro de la Virgen	Argar/Árabe	EQCA		R	300,00	4,34	130,20	Driesch (1972)
Cerro de la Virgen	Campaniforme	EQCA		MC	222,50	6,41	142,62	Driesch (1972)
Cerro de la Virgen	Campaniforme/Argar	EQCA		MC	227,50	6,41	145,83	Driesch (1972)
Fuente Flores	Eneolítico	EQCA		MC	215,00	6,41	137,82	Juan y Martínez (1988)
Fuente Flores	Eneolítico	EQCA		MC	220,00	6,41	141,02	Juan y Martínez (1988)
Fuente Flores	Eneolítico	EQCA		MT	267,00	5,33	142,31	Juan y Martínez (1988)
Motilla de Azuer	Bronce	EQCA		MT	267,00	5,33	142,31	Driesch y Boessneck (1980)
Motilla de los Palacios	Ibérico	EQCA		R	324,00	4,34	140,62	Driesch y Boessneck (1980)
Toscanos	Fenicio	EQCA		MC	194	6,41	124,35	Hans-Peter y Uerpmann (1972)
Zambujal	Cobre	EQCA	MACHO	MC	221	6,41	141,66	Driesch y Boessneck (1976)
Zambujal	Cobre	EQCA	MACHO	MC	222	6,41	142,30	Driesch y Boessneck (1976)
Zambujal	Cobre	EQCA		MC	225,5	6,41	144,55	Driesch y Boessneck (1976)





**Anexo 5. Datos empleados en los análisis del capítulo dedicado al Procesado y explotación de recursos**



Tabla A5.1. Tabla Recursos de animales explotados en Gatas. NR y NRC por taxón según ámbito y sector del poblado

AMBITO	SECTOR	NR	NRC	EQCA	BOTA	OVCA sp	CAHI	OVAR	SUDO	SUS sp	CAFA	CEEL	PPY	SUCR	ORCU	LECA	FESY	LPA	VUVU	AVIFAUNA	ANFIBIO	ICTIOFAUNA	MGND	MM/MG	MMND	MPND	MND	NRNC
Ia-1	LM I	69	24	0	0	4	1	1	0	3	0	2	0	0	13	0	0	0	0	0	0	0	5	0	32	0	8	45
Ia-2	MS	1	0	0	0	0	0	0	0	0	0	0	0	0	0	0	0	0	0	0	0	0	1	0	0	0	0	1
Ia-3	MS	15	11	0	2	4	2	0	1	0	0	1	0	0	1	0	0	0	0	0	0	0	2	0	2	0	0	4
Ia-4	MS	6	1	0	0	2	0	0	0	0	0	1	0	0	0	0	0	0	0	0	0	0	1	2	0	0	0	5
Ia-5	MS	347	161	0	23	56	6	7	17	0	0	15	0	0	35	0	1	0	1	1	0	0	44	28	107	4	2	186
Ia-5	MS	41	24	0	2	7	0	1	4	0	0	1	0	0	9	0	0	0	0	0	0	0	5	3	9	0	0	17
Ia-6	MS	95	57	0	12	23	1	3	10	0	0	6	0	0	2	0	0	0	0	1	0	0	17	5	14	1	0	38
Ia-7	MS	7	2	0	0	0	1	0	1	0	0	0	0	0	0	0	0	0	0	0	0	0	0	0	5	0	0	5
Ia-8	MS	63	23	0	3	12	1	0	1	0	0	1	0	0	5	0	0	0	0	0	0	0	6	0	28	6	0	40
Ib-1	MS	2	1	0	1	0	0	0	0	0	0	0	0	0	0	0	0	0	0	0	0	0	1	0	0	0	0	1
Ib-2	MS	483	254	0	8	47	9	6	21	0	0	23	4	1	128	7	0	0	0	3	1	0	37	17	143	12	16	229
Ib-3	MS	61	37	0	1	20	2	0	8	0	0	1	0	0	5	0	0	0	0	1	0	0	3	3	14	3	0	24
Ib-4	MS	42	32	0	1	9	0	1	3	0	0	1	0	0	17	0	0	0	0	0	0	0	0	7	3	0	0	10
Ib-5	MS	1	1	0	0	0	0	0	0	0	0	0	1	0	0	0	0	0	0	0	0	0	0	0	0	0	0	0
Ib-6	LM II	69	45	0	5	14	3	4	3	0	0	1	0	0	15	0	0	0	0	2	0	0	0	3	19	0	0	24
Ib-7	LM II	91	62	0	3	19	2	4	3	0	0	1	0	0	30	0	0	0	0	1	0	0	3	2	23	0	0	29
Ib-10	MS	9	3	0	0	3	0	0	0	0	0	0	0	0	0	0	0	0	0	0	0	0	0	1	5	0	0	6
Ib-10	MS	7	3	0	0	2	0	0	0	0	0	0	0	0	1	0	0	0	0	0	0	0	0	0	1	3	0	4
II-1	MS	339	212	0	23	66	16	9	38	0	0	25	3	1	25	3	0	0	0	0	2	1	31	10	80	5	1	127
II-2	MS	14	9	0	2	3	2	0	1	0	0	0	0	0	1	0	0	0	0	0	0	0	0	1	3	1	0	5
II-2	MS	22	15	0	0	3	0	2	1	0	0	2	0	0	7	0	0	0	0	0	0	0	5	0	2	0	0	7
II-2	MS	111	47	0	9	12	2	0	5	0	0	3	0	0	16	0	0	0	0	0	1	0	13	2	47	1	0	64
II-3	MS	3	2	0	0	1	0	0	0	0	0	0	0	0	1	0	0	0	0	0	0	0	0	0	1	0	0	1
II-4	MS	11	9	0	1	1	1	2	2	0	0	1	0	0	1	0	0	0	0	0	0	0	0	1	1	0	0	2
II-5	MS	2	0	0	0	0	0	0	0	0	0	0	0	0	0	0	0	0	0	0	0	0	0	0	2	0	0	2
II-6	MS	11	4	0	2	0	0	0	1	0	0	1	0	0	0	0	0	0	0	1	0	0	2	2	2	0	0	7
II-7	MS	9	7	0	2	1	0	1	0	0	0	1	0	0	2	0	0	0	0	1	1	0	0	0	0	0	0	2
II-8	MS	61	36	0	1	19	4	4	3	0	0	0	0	0	5	0	0	0	0	0	0	0	4	6	13	2	0	25
II-9	LM II	124	63	0	4	42	3	3	5	0	0	3	0	0	3	0	0	0	0	1	0	0	5	11	44	0	0	61
II-10	LM II	55	22	0	1	9	4	3	1	0	2	0	1	0	1	0	0	0	0	0	0	0	0	0	15	0	18	33
Ila-1	LM II	116	45	0	0	12	2	4	0	1	0	2	0	0	24	0	0	0	0	0	0	0	1	0	14	1	55	71
Ila-2	LM II	96	43	0	2	12	2	2	2	0	1	2	3	0	17	0	0	0	0	7	0	0	4	5	37	0	0	53
Ilb-1	LM II	54	32	0	2	8	1	3	1	0	0	0	1	0	16	0	0	0	0	0	0	0	1	0	11	0	10	22
Ilb-2	LM II	127	89	0	11	42	7	6	10	0	3	2	0	0	8	0	0	0	0	0	0	0	10	3	23	2	0	38
Ilb-3	LM II	257	167	0	12	76	10	12	21	0	1	5	0	1	30	0	0	0	0	1	0	0	13	3	63	1	11	90
Ilb-4	LM II	170	101	0	17	37	5	4	9	0	0	8	0	1	20	0	0	0	0	4	0	0	8	14	39	4	0	69
III-1	LM II	220	100	1	2	15	3	2	4	0	0	5	2	0	64	0	1	0	1	0	0	0	5	0	69	0	46	120
III-2	LM II	104	39	0	1	15	2	5	6	0	0	1	0	0	9	0	0	0	0	0	0	0	15	0	48	0	2	65
III-3	LM II	57	29	0	2	12	0	2	4	0	1	3	0	0	5	0	0	0	0	1	0	0	1	1	24	0	0	28
IIIa-1	LM II	48	27	0	1	10	2	1	5	0	0	0	0	0	8	0	0	0	0	0	0	0	1	1	18	0	0	21
IIIb-1	LM II	121	76	0	6	28	8	6	8	0	2	3	1	0	13	0	0	1	0	3	0	1	3	6	32	0	0	45
IV-1	LM II	13	7	0	2	2	0	0	2	0	0	0	1	0	1	0	0	0	0	0	0	0	0	0	6	0	0	6
IV-2	LM II	160	114	0	7	21	2	3	11	0	2	7	1	0	47	0	0	0	2	2	0	0	9	4	28	3	0	46
IV-3	LM II	265	180	0	10	53	6	7	8	0	2	3	2	1	88	0	0	0	0	3	0	0	17	20	45	0	0	85
IV-4	LM II	114	79	1	6	27	2	4	3	0	3	3	0	0	30	0	0	0	0	1	0	0	4	5	25	0	0	35
IVa-1	LM II	14	10	0	0	3	3	0	0	0	0	0	2	0	6	0	0	0	0	0	0	0	0	0	0	0	4	4
IVa-2	LM II	139	115	0	8	56	7	9	12	0	5	1	0	0	17	0	0	0	0	1	0	0	5	5	12	1	0	24
IVa-3	LM II	118	48	0	2	8	6	6	2	3	0	1	1	3	18	0	1	0	0	0	0	0	7	1	41	0	18	70
IVb-1	LM II	76	37	1	1	6	0	0	1	0	2	1	0	0	25	0	0	0	0	0	0	0	6	0	22	0	11	39
IVb-2	LM II	237	116	0	3	19	1	3	7	0	3	3	0	0	75	0	0	2	0	0	0	0	6	0	88	7	20	121
IVb-3	LM II	233	130	0	16	38	8	3	1	0	10	17	0	1	32	0	1	0	3	0	0	0	20	6	72	3	2	103
IVb-4	LM II	122	68	0	2	19	2	6	3	3	2	2	0	2	30	0	0	0	0	0	0	0	7	0	41	0	3	54
IVb-5	LM II	38	17	0	3	7	0	0	1	0	1	2	0	0	3	0	0	0	0	1	0	0	0	1	14	5	0	21
IVb-6	LM II	283	212	0	25	96	19	11	18	0	5	8	0	0	28	1	0	0	1	2	0	1	13	2	48	5	0	71
IVb-7	LM I	521	175	0	8	44	4	5	0	14	5	4	3	0	88	0	0	0	0	0	0	0	38	0	233	1	74	346
IVb-8	LM I	74	9	0	0	5	0	0	0	3	0	1	0	0	0	0	0	0	0	0	0	0	6	0	48	0	11	65
IVb-9	LS	134	10	0	0	3	0	0	3	0	1	0	0	0	3	0	0	0	0	0	0	0	9	0	114	0	1	124

Tabla A5.2. NR y % representado de elementos esqueléticos de *Bos taurus* recuperados en la MS, LM II y LM I ordenados por fase de ocupación

BOTA	MESETA SUPERIOR				LADERA MEDIA II								LADERA MEDIA I	
	FASE I		FASE II		FASE I		FASE II		FASE III		FASE IV		FASE I	
	NR	%	NR	%	NR	%	NR	%	NR	%	NR	%	NR	%
MD	2	4,88	3	8,82	0	0	1	2,17	0	0	4	4,55	2	25
Dientes MD <sup>1</sup>	6	14,63	0	0	1	12,5	2	4,35	1	8,33	13	14,77	0	0
MX	0	0	2	5,88	0	0	1	2,17	0	0	1	1,14	0	0
Dientes MX	0	0	0	0	1	12,5	4	8,7	0	0	9	10,23	1	12,5
CUE	1	2,44	0	0	0	0	1	2,17	0	0	1	1,14	0	0
FRO	0	0	0	0	0	0	0	0	0	0	2	2,27	0	0
OCC	1	2,44	1	2,94	0	0	0	0	0	0	0	0	0	0
COC	0	0	0	0	1	12,5	0	0	1	8,33	0	0	0	0
OI	0	0	0	0	0	0	0	0	0	0	0	0	0	0
PAR	0	0	0	0	0	0	0	0	0	0	0	0	0	0
TEM	0	0	0	0	0	0	0	0	0	0	0	0	0	0
ZY	0	0	0	0	0	0	1	2,17	0	0	0	0	0	0
BT	0	0	0	0	0	0	0	0	0	0	0	0	0	0
CR ND	0	0	1	2,94	0	0	0	0	0	0	2	2,27	1	12,5
CST	2	4,88	3	8,82	0	0	5	10,87	1	8,33	9	10,23	0	0
AT	0	0	0	0	0	0	0	0	0	0	0	0	0	0
AX	0	0	0	0	0	0	1	2,17	0	0	0	0	0	0
VCER	1	2,44	2	5,88	0	0	0	0	0	0	2	2,27	0	0
VLU	0	0	1	2,94	0	0	0	0	1	8,33	1	1,14	0	0
VTO	0	0	2	5,88	0	0	0	0	0	0	2	2,27	0	0
VCA	0	0	0	0	0	0	1	2,17	0	0	1	1,14	0	0
SA	0	0	0	0	0	0	0	0	0	0	0	0	0	0
E	0	0	0	0	0	0	0	0	0	0	2	2,27	0	0
HU	3	7,32	2	5,88	0	0	2	4,35	1	8,33	2	2,27	0	0
RA	3	7,32	1	2,94	0	0	0	0	1	8,33	5	5,68	0	0
UL	1	2,44	0	0	0	0	1	2,17	0	0	4	4,55	0	0
MC	0	0	0	0	0	0	0	0	2	16,67	7	7,95	0	0
CAR	1	2,44	0	0	0	0	1	2,17	0	0	2	2,27	0	0
PEL	1	2,44	2	5,88	0	0	3	6,52	0	0	0	0	1	12,5
FE	5	12,2	1	2,94	0	0	4	8,7	0	0	2	2,27	0	0
RO	0	0	1	2,94	0	0	0	0	0	0	0	0	0	0
TI	3	7,32	1	2,94	1	12,5	3	6,52	0	0	2	2,27	0	0
CAL	1	2,44	0	0	0	0	0	0	0	0	2	2,27	0	0
TA	0	0	0	0	1	12,5	0	0	0	0	2	2,27	0	0
MT	6	14,63	6	17,65	0	0	3	6,52	0	0	2	2,27	0	0
MP	4	9,76	2	5,88	0	0	3	6,52	0	0	3	3,41	1	12,5
FA1	0	0	1	2,94	1	12,5	3	6,52	1	8,33	4	4,55	2	25
FA2	0	0	1	2,94	2	25	4	8,7	2	16,67	1	1,14	0	0
FA3	0	0	1	2,94	0	0	2	4,35	1	8,33	0	0	0	0
SES	0	0	0	0	0	0	0	0	0	0	1	1,14	0	0
total	41	100	34	100	8	100	46	100	12	100	88	100	8	100

<sup>1</sup> En esta tabla y en las aparecen en este trabajo las categorías “Dientes MD” y “Dientes MX”: corresponden al cómputo de los restos de dientes sueltos, que no conservan parte de la mandíbula, los que si conservan restos de mandíbula así como los fragmentos de corpus mandibular o maxilar están contabilizados en MD y MX.

Tabla A5.3. NR y % representado de elementos esqueléticos de *Sus domesticus* recuperados en la MS y LM II ordenados por fase de ocupación

SUDO	MESETA SUPERIOR				LADERA MEDIA II							
	FASE I		FASE II		FASE I		FASE II		FASE III		FASE IV	
	NR	%	NR	%	NR	%	NR	%	NR	%	NR	%
MD	1	1,52	6	12,24	0	0	3	6,12	1	4,76	6	8,33
Dientes MD	5	7,58	2	4,08	1	16,67	3	6,12	1	4,76	10	13,89
MX	1	1,52	1	2,04	0	0	0	0	0	0	1	1,39
Dientes MX	1	1,52	1	2,04	0	0	2	4,08	1	4,76	5	6,94
FRO	3	4,55	2	4,08	0	0	0	0	0	0	3	4,17
NA	0	0	1	2,04	0	0	0	0	0	0	0	0
OCC	0	0	0	0	1	16,67	0	0	0	0	0	0
COC	0	0	0	0	0	0	0	0	0	0	1	1,39
OI	0	0	0	0	0	0	0	0	0	0	0	0
PAR	1	1,52	1	2,04	0	0	0	0	0	0	0	0
TEM	0	0	2	4,08	0	0	0	0	0	0	1	1,39
ZY	0	0	0	0	0	0	0	0	0	0	0	0
BT	0	0	0	0	0	0	0	0	0	0	0	0
CR ND	1	1,52	0	0	1	16,67	1	2,04	1	4,76	2	2,78
CST	3	4,55	2	4,08	0	0	4	8,16	0	0	2	2,78
AT	4	6,06	1	2,04	0	0	1	2,04	1	4,76	0	0
AX	0	0	0	0	0	0	1	2,04	0	0	0	0
VCER	1	1,52	0	0	0	0	2	4,08	0	0	4	5,56
VLU	0	0	1	2,04	0	0	0	0	0	0	2	2,78
VTO	0	0	0	0	0	0	5	10,2	0	0	5	6,94
VCA	0	0	0	0	0	0	0	0	0	0	0	0
SA	0	0	0	0	0	0	1	2,04	0	0	0	0
E	2	3,03	1	2,04	0	0	1	2,04	2	9,52	2	2,78
HU	12	18,18	3	6,12	0	0	2	4,08	2	9,52	3	4,17
RA	1	1,52	1	2,04	0	0	4	8,16	1	4,76	2	2,78
UL	3	4,55	1	2,04	0	0	1	2,04	0	0	1	1,39
MC I	0	0	0	0	0	0	0	0	0	0	0	0
MC II	2	3,03	1	2,04	0	0	0	0	0	0	2	2,78
MC III	2	3,03	0	0	1	16,67	0	0	0	0	1	1,39
MC IV	1	1,52	0	0	0	0	1	2,04	0	0	0	0
MC V	1	1,52	0	0	0	0	1	2,04	0	0	0	0
CAR	0	0	0	0	0	0	0	0	0	0	0	0
PEL	1	1,52	1	2,04	0	0	1	2,04	0	0	3	4,17
FE	6	9,09	5	10,2	0	0	3	6,12	1	4,76	3	4,17
RO	0	0	0	0	0	0	0	0	0	0	0	0
TI	4	6,06	7	14,29	0	0	4	8,16	3	14,29	1	1,39
FI	0	0	0	0	1	16,67	2	4,08	1	4,76	0	0
CAL	4	6,06	2	4,08	0	0	1	2,04	1	4,76	4	5,56
TA	1	1,52	0	0	0	0	1	2,04	1	4,76	4	5,56
MT II	1	1,52	0	0	0	0	0	0	0	0	1	1,39
MT III	0	0	0	0	0	0	0	0	1	4,76	0	0
MT IV	0	0	0	0	0	0	1	2,04	0	0	0	0
MP	1	1,52	0	0	1	16,67	2	4,08	0	0	0	0
FA1	1	1,52	1	2,04	0	0	1	2,04	2	9,52	1	1,39
FA2	0	0	4	8,16	0	0	0	0	1	4,76	1	1,39
FA3	1	1,52	1	2,04	0	0	0	0	0	0	0	0
FAR	1	1,52	1	2,04	0	0	0	0	0	0	1	1,39
total	66	100	49	100	6	100	49	100	21	100	72	100

Tabla A5.4. NR y % representado de elementos esqueléticos de *Ovis aries* recuperados en la MS y LM II ordenados por fase de ocupación

OVAR	MESETA SUPERIOR				LADERA MEDIA II								LADERA MEDIA I			
	FASE I		FASE II		FASE I		FASE II		FASE III		FASE IV		FASE I		FASE IV	
	NR	%	NR	%	NR	%	NR	%	NR	%	NR	%	NR	%	NR	%
MD	1	5,56	0	0	0	0	1	2,94	0	0	4	7,41	0	0	0	0
Dientes MD	4	22,22	3	16,67	1	12,5	1	2,94	0	0	3	5,56	0	0	0	0
MX	0	0	0	0	0	0	0	0	0	0	0	0	0	0	0	0
Dientes MX	0	0	0	0	0	0	0	0	0	0	0	0	0	0	0	0
CUE	0	0	0	0	0	0	0	0	0	0	0	0	0	0	0	0
FRO	0	0	0	0	0	0	0	0	0	0	0	0	0	0	0	0
OCC	0	0	0	0	0	0	0	0	0	0	0	0	0	0	0	0
COC	0	0	0	0	0	0	0	0	0	0	0	0	0	0	0	0
OI	0	0	0	0	0	0	0	0	0	0	0	0	0	0	0	0
PAR	0	0	1	5,56	0	0	0	0	0	0	0	0	0	0	0	0
TEM	0	0	0	0	0	0	0	0	0	0	0	0	0	0	0	0
ZY	0	0	0	0	0	0	0	0	0	0	0	0	0	0	0	0
BT	0	0	0	0	0	0	0	0	0	0	0	0	0	0	0	0
CR ND	0	0	0	0	0	0	0	0	0	0	0	0	0	0	0	0
CST	0	0	0	0	0	0	0	0	0	0	0	0	0	0	0	0
EST	0	0	1	5,56	0	0	0	0	0	0	0	0	0	0	0	0
AT	0	0	1	5,56	0	0	0	0	0	0	0	0	0	0	0	0
AX	0	0	0	0	0	0	0	0	0	0	0	0	0	0	0	0
VCER	0	0	0	0	0	0	0	0	0	0	0	0	0	0	0	0
VLU	0	0	0	0	0	0	0	0	0	0	0	0	0	0	0	0
VTO	0	0	0	0	0	0	0	0	0	0	0	0	0	0	0	0
VCA	0	0	0	0	0	0	0	0	0	0	0	0	0	0	0	0
SA	0	0	0	0	0	0	0	0	0	0	0	0	0	0	0	0
E	1	5,56	0	0	0	0	0	0	0	0	1	1,85	0	0	0	0
HU	1	5,56	0	0	1	12,5	2	5,88	2	18,18	7	12,96	0	0	1	20
RA	2	11,11	1	5,56	0	0	5	14,71	2	18,18	4	7,41	0	0	0	0
UL	1	5,56	0	0	0	0	0	0	1	9,09	1	1,85	0	0	0	0
MC	1	5,56	2	11,11	1	12,5	1	2,94	0	0	1	1,85	0	0	0	0
CAR	0	0	0	0	0	0	1	2,94	0	0	0	0	0	0	0	0
PEL	1	5,56	0	0	0	0	0	0	1	9,09	1	1,85	0	0	0	0
FE	0	0	0	0	0	0	1	2,94	0	0	2	3,7	0	0	0	0
RO	0	0	0	0	0	0	0	0	1	9,09	0	0	0	0	0	0
TI	0	0	2	11,11	1	12,5	2	5,88	0	0	13	24,07	0	0	0	0
CAL	0	0	2	11,11	1	12,5	5	14,71	0	0	2	3,7	0	0	0	0
TA	1	5,56	0	0	0	0	8	23,53	2	18,18	1	1,85	0	0	2	40
MT	0	0	0	0	0	0	2	5,88	0	0	3	5,56	0	0	1	20
MP	0	0	0	0	0	0	0	0	1	9,09	0	0	0	0	1	20
FA1	2	11,11	4	22,22	2	25	3	8,82	1	9,09	7	12,96	1	100	0	0
FA2	3	16,67	1	5,56	0	0	2	5,88	0	0	3	5,56	0	0	0	0
FA3	0	0	0	0	1	12,5	0	0	0	0	1	1,85	0	0	0	0
SES	0	0	0	0	0	0	0	0	0	0	0	0	0	0	0	0
total	18	100	18	100	8	100	34	100	11	100	54	100	1	100	5	100

Tabla A5.5. NR y % representado de elementos esqueléticos de *Capra hircus* recuperados en la MS y LM II ordenados por fase de ocupación

CAHI <sup>2</sup>	MESETA SUPERIOR				LADERA MEDIA II							
	FASE I		FASE II		FASE I		FASE II		FASE III		FASE IV	
	NR	%	NR	%	NR	%	NR	%	NR	%	NR	%
MD	0	0	1	4	0	0	0	0	0	0	0	0
Dientes MD	5	22,73	4	16	0	0	2	6,67	2	13,33	4	7,14
MX	0	0	0	0	0	0	0	0	0	0	0	0
Dientes MX	0	0	0	0	0	0	0	0	0	0	0	0
CUE	1	4,55	0	0	0	0	2	6,67	1	6,67	2	3,57
FRO	0	0	0	0	0	0	0	0	0	0	0	0
OCC	0	0	1	4	0	0	0	0	0	0	0	0
COC	0	0	0	0	0	0	0	0	0	0	0	0
OI	0	0	0	0	0	0	0	0	0	0	0	0
PAR	0	0	0	0	0	0	0	0	0	0	0	0
TEM	0	0	0	0	0	0	0	0	0	0	0	0
ZY	0	0	0	0	0	0	0	0	0	0	0	0
BT	0	0	0	0	0	0	0	0	0	0	0	0
CR ND	0	0	0	0	0	0	0	0	0	0	0	0
CST	0	0	0	0	0	0	0	0	0	0	0	0
EST	0	0	0	0	0	0	0	0	0	0	0	0
AT	0	0	0	0	0	0	0	0	0	0	0	0
AX	0	0	0	0	0	0	0	0	0	0	0	0
VCER	0	0	0	0	0	0	0	0	0	0	0	0
VLU	0	0	0	0	0	0	0	0	0	0	0	0
VTO	0	0	0	0	0	0	0	0	0	0	0	0
VCA	0	0	0	0	0	0	0	0	0	0	0	0
SA	0	0	0	0	0	0	0	0	0	0	0	0
E	0	0	1	4	0	0	0	0	0	0	1	1,79
HU	0	0	2	8	0	0	2	6,67	2	13,33	5	8,93
RA	2	9,09	0	0	0	0	4	13,33	2	13,33	2	3,57
UL	0	0	0	0	1	20	2	6,67	3	20	1	1,79
MC	0	0	1	4	0	0	0	0	1	6,67	3	5,36
CAR	0	0	0	0	1	20	0	0	0	0	0	0
PEL	1	4,55	0	0	0	0	0	0	0	0	2	3,57
FE	0	0	2	8	0	0	1	3,33	0	0	5	8,93
RO	0	0	0	0	0	0	0	0	0	0	0	0
TI	1	4,55	0	0	0	0	4	13,33	0	0	13	23,21
CAL	1	4,55	4	16	0	0	2	6,67	1	6,67	4	7,14
TA	1	4,55	1	4	1	20	3	10	2	13,33	4	7,14
MT	0	0	1	4	0	0	0	0	0	0	1	1,79
MP	0	0	0	0	0	0	0	0	0	0	0	0
FA1	4	18,18	4	16	2	40	6	20	0	0	2	3,57
FA2	4	18,18	0	0	0	0	0	0	1	6,67	7	12,5
FA3	2	9,09	3	12	0	0	2	6,67	0	0	0	0
SES	0	0	0	0	0	0	0	0	0	0	0	0
total	22	100	25	100	5	100	30	100	15	100	56	100

<sup>2</sup> En la LM I no se ha encontrado ningún resto que se haya podido identificar como *Capra hircus*. Es probable, que se deba a la alta fragmentación de los restos de este sector del poblado y a la naturaleza de la formación del conjunto en este lugar.



Tabla A5.6. NR y % representado de elementos esqueléticos de *Ovis/Capra* recuperados en la MS y LM II ordenados por fase de ocupación

OVCA	MESETA SUPERIOR				LADERA MEDIA II							
	FASE I		FASE II		FASE I		FASE II		FASE III		FASE IV	
	NR	%	NR	%	NR	%	NR	%	NR	%	NR	%
MD	5	2,7	7	6,86	1	3,03	12	5,36	0	0	15	3,97
Dientes MD	2	1,08	0	0	2	6,06	5	2,23	5	7,81	16	4,23
MX	0	0	0	0	0	0	0	0	0	0	0	0
Dientes MX	10	5,41	5	4,9	0	0	7	3,13	2	3,13	21	5,56
CUE	1	0,54	2	1,96	0	0	4	1,79	0	0	3	0,79
FRO	2	1,08	0	0	0	0	1	0,45	1	1,56	0	0
NA	0	0	0	0	0	0	0	0	0	0	1	0,26
OCC	0	0	0	0	0	0	0	0	0	0	0	0
COC	0	0	0	0	0	0	0	0	0	0	0	0
OI	1	0,54	1	0,98	0	0	1	0,45	0	0	2	0,53
PAR	1	0,54	0	0	0	0	0	0	0	0	0	0
TEM	0	0	1	0,98	0	0	0	0	0	0	1	0,26
ZY	0	0	0	0	0	0	2	0,89	0	0	2	0,53
BT	0	0	0	0	0	0	1	0,45	0	0	0	0
CR ND	11	5,95	1	0,98	0	0	4	1,79	2	3,13	10	2,65
CST	0	0	2	1,96	0	0	9	4,02	1	1,56	12	3,17
HIO	0	0	0	0	0	0	0	0	0	0	1	0,26
AT	2	1,08	0	0	0	0	4	1,79	2	3,13	0	0
AX	1	0,54	0	0	0	0	2	0,89	1	1,56	0	0
VCER	2	1,08	4	3,92	0	0	9	4,02	4	6,25	8	2,12
VLU	6	3,24	2	1,96	0	0	12	5,36	2	3,13	13	3,44
VTO	5	2,7	4	3,92	0	0	9	4,02	3	4,69	8	2,12
VCA	0	0	0	0	0	0	1	0,45	0	0	0	0
EST	1	0,54	1	0,98	0	0	0	0	0	0	0	0
SA	0	0	0	0	1	3,03	1	0,45	0	0	1	0,26
E	11	5,95	6	6	0	0	5	2,23	1	1,56	10	2,65
HU	14	7,57	9	8,82	4	12,12	26	11,61	4	6,25	33	8,73
RA	33	17,84	9	8,82	5	15,15	23	10,27	5	7,81	45	11,9
UL	6	3,24	6	6	0	0	5	2,23	2	3,13	14	3,7
MC	10	5,41	8	7,84	5	15,15	2	0,89	2	3,13	9	2,38
CAR	0	0	0	0	0	0	0	0	0	0	1	0,26
PEL	3	1,62	4	3,92	2	6,06	10	4,46	6	9,38	11	2,91
FE	4	2,16	2	1,96	2	6,06	10	4,46	5	7,81	28	7,41
RO	0	0	0	0	0	0	0	0	0	0	0	0
TI	33	17,84	17	16,67	1	3,03	28	12,5	10	15,63	61	16,14
CAL	1	0,54	1	0,98	1	3,03	3	1,34	2	3,13	4	1,06
TA	0	0	0	0	0	0	2	0,89	0	0	1	0,26
TAR	0	0	0	0	0	0	0	0	1	1,56	2	0,53
MT	8	4,32	8	7,84	3	9,09	13	5,8	3	4,69	15	3,97
MP	9	4,86	1	0,98	3	9,09	7	3,13	0	0	23	6,08
FA1	2	1,08	1	0,98	3	9,09	5	2,23	0	0	4	1,06
FA2	0	0	0	0	0	0	0	0	0	0	0	0
FA3	1	0,54	0	0	0	0	1	0,45	0	0	2	0,53
SES	0	0	0	0	0	0	0	0	0	0	1	0,26
<b>total</b>	<b>185</b>	<b>100</b>	<b>102</b>	<b>100</b>	<b>33</b>	<b>100</b>	<b>224</b>	<b>100</b>	<b>64</b>	<b>100</b>	<b>378</b>	<b>100</b>

Tabla A5.7. NR y % representado de elementos esqueléticos de *Canis familiaris* recuperados en la LM II ordenados por fase de ocupación

CAFA	LADERA MEDIA II							
	FASE I		FASE II		FASE III		FASE IV	
	NR	%	NR	%	NR	%	NR	%
MD	0	0	0	0	0	0	0	0
Dientes MD	0	0	0	0	0	0	0	0
MX	0	0	0	0	0	0	0	0
Dientes MX	0	0	0	0	0	0	0	0
CUE	0	0	0	0	0	0	0	0
FRO	0	0	0	0	0	0	0	0
OCC	0	0	0	0	0	0	0	0
COC	0	0	0	0	0	0	0	0
OI	0	0	0	0	0	0	0	0
PAR	0	0	0	0	0	0	0	0
TEM	0	0	0	0	0	0	0	0
ZY	0	0	0	0	0	0	0	0
BT	0	0	0	0	0	0	0	0
CR ND	0	0	0	0	0	0	0	0
CST	0	0	0	0	0	0	0	0
AT	0	0	0	0	0	0	0	0
AX	0	0	0	0	0	0	0	0
VCER	0	0	0	0	0	0	0	0
VLU	0	0	0	0	0	0	0	0
VTO	0	0	0	0	0	0	0	0
VCA	0	0	0	0	0	0	0	0
SA	0	0	0	0	0	0	0	0
E	0	0	0	0	0	0	0	0
HU	0	0	0	0	0	0	0	0
RA	0	0	0	0	0	0	0	0
UL	0	0	0	0	0	0	0	0
MC I	0	0	0	0	0	0	1	12,5
MC II	0	0	0	0	0	0	0	0
MC III	0	0	0	0	0	0	2	25
MC IV	0	0	0	0	0	0	1	12,5
MC V	0	0	1	50	0	0	1	12,5
CAR	0	0	0	0	0	0	0	0
PEL	0	0	0	0	0	0	0	0
FE	0	0	0	0	0	0	0	0
RO	0	0	0	0	0	0	0	0
TI	0	0	0	0	0	0	0	0
CAL	0	0	0	0	0	0	1	12,5
TA	0	0	1	50	0	0	1	12,5
MT	0	0	0	0	0	0	0	0
MP	0	0	0	0	0	0	0	0
FA1	0	0	0	0	0	0	1	12,5
FA2	0	0	0	0	0	0	0	0
FA3	0	0	0	0	0	0	0	0
SES	0	0	0	0	0	0	0	0
total	0	0	2	100	0	0	8	100

Tabla A5.8. NR y % representado de elementos esqueléticos de *Cervus elaphus* recuperados en la MS y LM II ordenados por fase de ocupación

CEEL	MESETA SUPERIOR				LADERA MEDIA II							
	FASE I		FASE II		FASE I		FASE II		FASE III		FASE IV	
	NR	%	NR	%	NR	%	NR	%	NR	%	NR	%
MD	1	2	0	0	0	0	0	0	1	9,09	1	1,92
Dientes MD	1	2	1	3,03	1	50	0	0	0	0	6	11,54
MX	0	0	0	0	0	0	0	0	0	0	0	0
Dientes MX	1	2	0	0	0	0	1	4,55	0	0	1	1,92
CUE	3	6	1	3,03	0	0	0	0	2	18,18	3	5,77
FRO	0	0	0	0	0	0	0	0	0	0	0	0
OCC	0	0	0	0	0	0	0	0	0	0	0	0
COC	0	0	0	0	0	0	0	0	0	0	0	0
OI	0	0	0	0	0	0	0	0	0	0	0	0
PAR	0	0	0	0	0	0	0	0	0	0	0	0
TEM	0	0	0	0	0	0	0	0	0	0	0	0
ZY	0	0	0	0	0	0	0	0	0	0	0	0
BT	0	0	0	0	0	0	0	0	0	0	0	0
CR ND	0	0	0	0	0	0	2	9,09	1	9,09	0	0
CST	0	0	0	0	0	0	0	0	0	0	1	1,92
AT	0	0	0	0	0	0	0	0	0	0	0	0
AX	1	2	0	0	0	0	0	0	0	0	0	0
VCER	0	0	1	3,03	0	0	0	0	0	0	0	0
VLU	0	0	0	0	0	0	0	0	2	18,18	1	1,92
VTO	0	0	0	0	0	0	0	0	0	0	2	3,85
VCA	0	0	0	0	0	0	0	0	0	0	0	0
SA	0	0	0	0	0	0	0	0	0	0	0	0
E	0	0	1	3,03	1	50	0	0	0	0	9	17,31
HU	9	18	2	6,06	0	0	0	0	0	0	0	0
RA	2	4	3	9,09	0	0	0	0	0	0	1	1,92
UL	0	0	0	0	0	0	0	0	0	0	1	1,92
MC	1	2	2	6,06	0	0	0	0	0	0	0	0
CAR	3	6	0	0	0	0	0	0	0	0	1	1,92
PEL	0	0	0	0	0	0	1	4,55	0	0	2	3,85
FE	2	4	0	0	0	0	1	4,55	0	0	0	0
RO	0	0	0	0	0	0	0	0	0	0	0	0
TI	11	22	9	27,27	0	0	6	27,27	1	9,09	8	15,38
CAL	1	2	2	6,06	0	0	1	4,55	0	0	1	1,92
TA	0	0	0	0	0	0	0	0	1	9,09	2	3,85
TAR	0	0	1	3,03	0	0	0	0	0	0	0	0
MT	3	6	2	6,06	0	0	5	22,73	1	9,09	7	13,46
MP	5	10	1	3,03	0	0	0	0	0	0	0	0
FA1	0	0	3	9,09	0	0	2	9,09	1	9,09	3	5,77
FA2	3	6	2	6,06	0	0	0	0	0	0	2	3,85
FA3	3	6	2	6,06	0	0	3	13,64	1	9,09	0	0
SES	0	0	0	0	0	0	0	0	0	0	0	0
total	50	100	33	100	2	100	22	100	11	100	52	100

Tabla A5.9. NR y % representado de elementos esqueléticos de *Capra Pyrenaica* recuperados en la MS y LM II ordenados por fase de ocupación

CPPY	MESETA SUPERIOR				LADERA MEDIA II							
	FASE I		FASE II		FASE I		FASE II		FASE III		FASE IV	
	NR	%	NR	%	NR	%	NR	%	NR	%	NR	%
MD	0	0	0	0	0	0	0	0	0	0	0	0
Dientes MD	0	0	0	0	0	0	0	0	0	0	0	0
MX	0	0	0	0	0	0	0	0	0	0	0	0
Dientes MX	0	0	0	0	0	0	0	0	0	0	0	0
CUE	0	0	0	0	0	0	0	0	0	0	0	0
FRO	0	0	0	0	0	0	0	0	0	0	0	0
OCC	0	0	0	0	0	0	0	0	0	0	0	0
COC	0	0	0	0	0	0	0	0	0	0	0	0
OI	0	0	0	0	0	0	0	0	0	0	0	0
PAR	0	0	0	0	0	0	0	0	0	0	0	0
TEM	0	0	0	0	0	0	0	0	0	0	0	0
ZY	0	0	0	0	0	0	0	0	0	0	0	0
BT	0	0	0	0	0	0	0	0	0	0	0	0
CR ND	0	0	0	0	0	0	0	0	0	0	0	0
CST	0	0	0	0	0	0	0	0	0	0	0	0
AT	0	0	0	0	0	0	0	0	0	0	0	0
AX	0	0	0	0	0	0	0	0	0	0	0	0
VCER	0	0	0	0	0	0	0	0	0	0	0	0
VLU	0	0	0	0	0	0	0	0	0	0	0	0
VTO	1	20	0	0	0	0	0	0	0	0	0	0
VCA	0	0	0	0	0	0	0	0	0	0	0	0
SA	0	0	0	0	0	0	0	0	0	0	0	0
E	1	20	0	0	0	0	0	0	0	0	0	0
HU	0	0	0	0	0	0	0	0	0	0	0	0
RA	1	20	0	0	0	0	0	0	0	0	3	60
UL	1	20	0	0	0	0	0	0	0	0	0	0
MC	0	0	0	0	0	0	0	0	0	0	0	0
CAR	0	0	0	0	0	0	0	0	0	0	0	0
PEL	0	0	0	0	0	0	1	25	0	0	0	0
FE	0	0	0	0	0	0	2	50	0	0	0	0
RO	0	0	0	0	0	0	0	0	0	0	0	0
TI	0	0	0	0	0	0	0	0	0	0	0	0
CAL	0	0	0	0	0	0	0	0	0	0	0	0
TA	0	0	0	0	0	0	0	0	0	0	0	0
TAR	0	0	0	0	0	0	0	0	0	0	0	0
MT	0	0	0	0	0	0	0	0	0	0	0	0
MP	1	20	2	66,67	0	0	0	0	1	33,33	0	0
FA1	0	0	1	33,33	0	0	1	25	2	66,67	2	40
FA2	0	0	0	0	0	0	0	0	0	0	0	0
FA3	0	0	0	0	0	0	0	0	0	0	0	0
SES	0	0	0	0	0	0	0	0	0	0	0	0
total	5	100	3	100	0	0	4	100	3	100	5	100

Tabla A5.10. NR de *Bos taurus* recuperados en PDM y BAR Bastida 1, ordenados por ámbito

BOTA	tt muestra		Fase 1		PDM						BAR	
	NR	%	NR	%	H9	H10	H12	H14	H36	H68	C0: C17	C0: C19
MD	30	5,7	6	5,6	1	1	1		2		1	
Dientes MD	24	4,5	9	8,4	1	6	1		1			
MX	11	2,1	2	1,9	1				1			
Dientes MX	42	8,0	4	3,7	2						1	1
DND	4	0,8	3	2,8	1				2			
CUE	31	5,9	3	2,8					1			2
FRO	5	0,9	0	0,0								
OCC	5	0,9	3	2,8					2		1	
COC	2	0,4	1	0,9		1						
OI	1	0,2	0	0,0								
PAR	0	0,0	0	0,0								
TEM	3	0,6	0	0,0								
ZY	3	0,6	1	0,9	1							
BT	2	0,4	1	0,9					1			
CR ND	9	1,7	4	3,7					3			1
CST	43	8,1	14	13,1					14			
HIO	3	0,6	0	0,0								
AT	2	0,4	1	0,9					1			
AX	2	0,4	0	0,0								
VCER	16	3,0	6	5,6					3		1	2
VLU	10	1,9	6	5,6					5		1	
VTO	6	1,1	3	2,8					1			2
VCA	4	0,8	3	2,8	1				2			
SA	1	0,2	1	0,9					1			
E	12	2,3	1	0,9					1			
HU	29	5,5	4	3,7	2		1					1
RA	25	4,7	4	3,7	1	1			2			
UL	9	1,7	3	2,8	2					1		
MC	23	4,4	2	1,9		1					1	
CAR	2	0,4	0	0,0								
PEL	15	2,8	1	0,9	1							
FE	9	1,7	1	0,9	1							
RO	2	0,4	0	0,0								
TI	19	3,6	5	4,7	2				3			
CAL	7	1,3	2	1,9	1				1			
TA	7	1,3	0	0,0								
MT	36	6,8	3	2,8	1						1	1
TAR	3	0,6	1	0,9	1							
MP	15	2,8	2	1,9	1							1
FA1	32	6,1	2	1,9	1				1			
FA2	14	2,7	4	3,7	4							
FA3	9	1,7	0	0,0								
SES	1	0,2	1	0,9								1
<b>total</b>	<b>528</b>	<b>100,0</b>	<b>107</b>	<b>100,0</b>	<b>25</b>	<b>10</b>	<b>3</b>	<b>0</b>	<b>48</b>	<b>1</b>	<b>7</b>	<b>12</b>

Tabla A5.11. NR de *Bos taurus* recuperados en PDM, LM y BAR Bastida 2, ordenados por ámbito

BOTA	Fase 2		PDM					LM	BAR		
	NR	%	H26	H34	H35	H83	I2	H64	C0:C10	C0: C13	C0: C15
MD	13	8,0				1	11				1
Dientes MD	10	6,2				1	5	3			1
MX	2	1,2				1	1				
Dientes MX	15	9,3				1	12				2
DND	1	0,6					1				
CUE	20	12,3	1				19				
FRO	1	0,6					1				
OCC	0	0,0									
COC	0	0,0									
OI	1	0,6				1					
PAR	0	0,0									
TEM	0	0,0									
ZY	0	0,0									
BT	0	0,0									
CR ND	2	1,2		1			1				
CST	2	1,2			2						
HIO	1	0,6									1
AT	0	0,0									
AX	1	0,6					1				
VCER	5	3,1					4				1
VLU	2	1,2		2							
VTO	2	1,2			1						1
VCA	0	0,0									
SA	0	0,0									
E	0	0,0									
HU	5	3,1					5				
RA	11	6,8					7	2			2
UL	2	1,2					1	1			
MC	8	4,9				1	3	1			3
CAR	1	0,6					1				
PEL	4	2,5					3				1
FE	1	0,6			1						
RO	2	1,2					2				
TI	2	1,2					2				
CAL	4	2,5				1	3				
TA	3	1,9	1		1		1				
MT	11	6,8	1				4	4			2
TAR	1	0,6					1				
MP	5	3,1				1	4				
FA1	16	9,9			1		13	1			1
FA2	4	2,5					4				
FA3	4	2,5			2		2				
SES	0	0,0									
<b>total</b>	<b>162</b>	<b>100,0</b>	<b>3</b>	<b>3</b>	<b>8</b>	<b>8</b>	<b>112</b>	<b>12</b>	<b>0</b>	<b>0</b>	<b>16</b>

Tabla A5.12. NR de *Bos taurus* recuperados en PDM y CIMA Bastida 3a, ordenados por ámbito

BOTA	Fase 3		3a									
	NR	%	PDM								CIMA	
			H2-C3	H7	H19	H20	H21	H41	H52	I1-C3	E16-SC2A2	H62
MD	11	4,2								5		
Dientes MD	5	1,9								1		
MX	7	2,7										
Dientes MX	23	8,9		1				2				1
DND	0	0,0										
CUE	8	3,1		1				1			1	
FRO	4	1,5		1								
OCC	2	0,8								2		
COC	1	0,4								1		
OI	0	0,0										
PAR	0	0,0										
TEM	3	1,2										
ZY	2	0,8										
BT	1	0,4								1		
CR ND	3	1,2								1		
CST	27	10,4		1				1		4		
HIO	2	0,8										
AT	1	0,4										
AX	1	0,4						1				
VCER	5	1,9		1								
VLU	2	0,8							1			
VTO	1	0,4										1
VCA	1	0,4										
SA	0	0,0										
E	11	4,2										
HU	20	7,7								8		1
RA	10	3,9						1		2		
UL	4	1,5			1					1		
MC	13	5,0										1
CAR	1	0,4										
PEL	10	3,9								2		
FE	7	2,7				1					1	
RO	0	0,0										
TI	12	4,6							1	1		
CAL	1	0,4										
TA	4	1,5		1		1						
MT	22	8,5		1						3		1
TAR	1	0,4										
MP	8	3,1										
FA1	14	5,4		1						4		
FA2	6	2,3								1		
FA3	5	1,9								2		
SES	0	0,0										
<b>total</b>	<b>259</b>	<b>100,0</b>	<b>0</b>	<b>8</b>	<b>1</b>	<b>2</b>	<b>6</b>	<b>2</b>	<b>39</b>	<b>2</b>	<b>3</b>	<b>2</b>

Tabla A5.13. NR de *Bos taurus* recuperados en PDM, LM y BAR Bastida 3 y 3b, ordenados por ámbito

BOTA	3b														3	
	PDM										LM		CIMA		PDM	
	H2-C1	H2-C2	H3	H5	H8	H11	H18	H37	I1-C1	I1-C2	H53	H54	E16-SC2A1	H61	H1	H4
MD	3		1	1										1		
Dientes MD		1	1					1				1				
MX		2	5													
Dientes MX	6	4	5						1	1		1	1			
DND																
CUE	3	1							1							
FRO	1		1					1								
OCC																
COC																
OI																
PAR																
TEM	2	1														
ZY					1			1								
BT																
CR ND	1											1				
CST	2	3	8	1				3	3							1
HIO								1		1						
AT														1		
AX																
VCER	3								1							
VLU								1								
VTO																
VCA												1				
SA																
E	8	1				1			1							
HU	5	2							4							
RA	3	1	1						1		1					
UL	1					1										
MC	4				1			3	3			1				
CAR		1														
PEL	2	1		1					2		1					1
FE	2	2							1							
RO																
TI	3	1	1	1		1			1	1		1				
CAL		1														
TA			1						1							
MT		1	7						3	1	1		2	1		1
TAR						1										
MP	4	1							1	1					1	
FA1		1	3					1	3		1					
FA2			1		1							1	1			1
FA3			1		1				1							
SES																
<b>total</b>	<b>53</b>	<b>25</b>	<b>36</b>	<b>4</b>	<b>4</b>	<b>4</b>	<b>1</b>	<b>11</b>	<b>28</b>	<b>5</b>	<b>4</b>	<b>4</b>	<b>7</b>	<b>3</b>	<b>1</b>	<b>4</b>



Tabla A5.14. NR de *Sus domesticus* recuperados en PDM y BAR Bastida 1, ordenados por ámbito

SUDO	tt muestra		Fase 1		PDM						BAR	
	NR	%	NR	%	H9	H10	H12	H14	H36	H68	C0: C17	C0: C19
MD	34	7,83	10	8,62	4		1		3			2
Dientes MD	48	11,06	9	7,76	1				7		1	
MX	21	4,84	4	3,45	1				3			
Dientes MX	10	2,30	2	1,72		1			1			
DND	7	1,61	1	0,86					1			
FRO	16	3,69	6	5,17	2				4			
NA	1	0,23	0	0,00								
OCC	9	2,07	2	1,72		1			1			
COC	0	0,00	0	0,00								
OI	3	0,69	0	0,00								
PAR	4	0,92	2	1,72					2			
TEM	1	0,23	0	0,00								
ZY	1	0,23	0	0,00								
BT	1	0,23	0	0,00								
CR ND	2	0,46	1	0,86					1			
CST	22	5,07	9	7,76	1				8			
EST	1	0,23	0	0,00								
AT	4	0,92	0	0,00								
AX	0	0,00	0	0,00								
VCER	10	2,30	1	0,86					1			
VLU	1	0,23	1	0,86					1			
VTO	12	2,76	3	2,59					3			
VCA	0	0,00	0	0,00								
SA	0	0,00	0	0,00								
E	19	4,38	5	4,31			2		2			1
HU	35	8,06	9	7,76	1		2		6			
RA	17	3,92	5	4,31	1	1			3			
UL	11	2,53	6	5,17		1	1		4			
MC I	0	0,00	0	0,00								
MC II	3	0,69	0	0,00								
MC III	10	2,30	2	1,72	1		1					
MC IV	7	1,61	1	0,86					1			
MC V	6	1,38	2	1,72					2			
CAR	3	0,69	1	0,86					1			
PEL	8	1,84	1	0,86					1			
FE	25	5,76	12	10,34			1		10		1	
RO	1	0,23	0	0,00								
TI	27	6,22	10	8,62	1	1		1	7			
FI	8	1,84	2	1,72					2			
CAL	7	1,61	2	1,72					2			
TA	4	0,92	0	0,00								
MT II	1	0,23	0	0,00								
MT III	2	0,46	0	0,00								
MT IV	3	0,69	1	0,86					1			
MT V	1	0,23	0	0,00								
TAR	2	0,46	1	0,86	1							
MP	3	0,69	1	0,86					1			
FA1	11	2,53	3	2,59					3			
FA2	7	1,61	1	0,86					1			
FA3	1	0,23	0	0,00								
FAR	4	0,92	0	0,00								
<b>total</b>	<b>434</b>	<b>100</b>	<b>116</b>	<b>12,89</b>	<b>13</b>	<b>5</b>	<b>8</b>	<b>1</b>	<b>82</b>	<b>0</b>	<b>2</b>	<b>3</b>

Tabla A5.15. NR de *Sus domesticus* recuperados en PDM, LM y BAR Bastida 2, ordenados por ámbito

SUDO	Fase 2		PDM					LM	BAR		
	NR	%	H26	H34	H35	H83	I2	H64	C0:C10	C0: C13	C0: C15
MD	12	9,09			3		6			2	1
Dientes MD	21	15,91			1	1	14	1	1	1	2
MX	10	7,58			5	1	1			1	2
Dientes MX	5	3,79			1	1	3				
DND	2	1,52			1		1				
FRO	6	4,55			2	2	1			1	
NA	1	0,76									1
OCC	4	3,03		1	3						
COC	0	0,00									
OI	2	1,52					1				1
PAR	1	0,76			1						
TEM	0	0,00									
ZY	0	0,00									
BT	0	0,00									
CR ND	0	0,00									
CST	0	0,00									
EST	0	0,00									
AT	2	1,52			1		1				
AX	0	0,00									
VCER	3	2,27			1	1	1				
VLU	0	0,00									
VTO	2	1,52			1		1				
VCA	0	0,00									
SA	0	0,00									
E	6	4,55			1		5				
HU	7	5,30			2		5				
RA	5	3,79		1	2		1	1			
UL	3	2,27					2			1	
MC I	0	0,00									
MC II	1	0,76				1					
MC III	2	1,52			1		1				
MC IV	2	1,52					1			1	
MC V	1	0,76				1					
CAR	2	1,52					2				
PEL	1	0,76					1				
FE	4	3,03			1		1	1	1		
RO	1	0,76			1						
TI	4	3,03			2		1				1
FI	4	3,03	1				2				1
CAL	3	2,27					1	1		1	
TA	3	2,27			2		1				
MT II	0	0,00									
MT III	1	0,76					1				
MT IV	0	0,00									
MT V	0	0,00									
TAR	0	0,00									
MP	1	0,76			1						
FA1	4	3,03			3			1			
FA2	1	0,76			1						
FA3	1	0,76			1						
FAR	4	3,03			1	1	2				
<b>total</b>	<b>132</b>	<b>100</b>	<b>1</b>	<b>2</b>	<b>39</b>	<b>9</b>	<b>55</b>	<b>5</b>	<b>2</b>	<b>8</b>	<b>9</b>

Tabla A5.16. NR de *Sus domesticus* recuperados en PDM y CIMA Bastida 3a, ordenados por ámbito

SUDO	Fase 3		3a									
			PDM								CIMA	
			H2-C3	H7	H19	H20	H21	H41	H52	I1-C3	E16-SC2A2	H62
MD	12	6,45			2		1		1		2	
Dientes MD	18	9,68							1		1	1
MX	7	3,76		1				1	2			
Dientes MX	3	1,61	1					1				
DND	4	2,15				1						
FRO	4	2,15	1									
NA	0	0,00										
OCC	3	1,61						1	2			
COC	0	0,00										
OI	1	0,54										
PAR	1	0,54										
TEM	1	0,54										
ZY	1	0,54										
BT	1	0,54										
CR ND	1	0,54						1				
CST	13	6,99		1			2		1			
EST	1	0,54										
AT	2	1,08						1				1
AX	0	0,00										
VCER	6	3,23						1	1			
VLU	0	0,00										
VTO	7	3,76					1		1			
VCA	0	0,00										
SA	0	0,00										
E	8	4,30			1			1				1
HU	19	10,22		2					3			
RA	7	3,76						1	1			2
UL	2	1,08									1	
MC I	0	0,00										
MC II	2	1,08	1									
MC III	6	3,23		1								3
MC IV	4	2,15		1					1			
MC V	3	1,61				1						
CAR	0	0,00										
PEL	6	3,23							3			
FE	9	4,84		1					1		1	
RO	0	0,00										
TI	13	6,99	1	1					1		1	1
FI	2	1,08										
CAL	2	1,08										
TA	1	0,54										
MT II	1	0,54										
MT III	1	0,54		1								
MT IV	2	1,08										
MT V	1	0,54							1			
TAR	1	0,54										
MP	1	0,54										
FA1	4	2,15							2			
FA2	5	2,69							1			
FA3	0	0,00										
FAR	0	0,00										
<b>total</b>	<b>186</b>	<b>100</b>	<b>4</b>	<b>9</b>	<b>3</b>	<b>2</b>	<b>4</b>	<b>8</b>	<b>23</b>	<b>0</b>	<b>6</b>	<b>9</b>

Tabla A5.17. NR de *Sus domesticus* recuperados en PDM, LM y CIMA Bastida 3b y 3, ordenados por ámbito

SUDO	3b														3	
	PDM										LM		CIMA		PDM	
	H2-C1	H2-C2	H3	H5	H8	H11	H18	H37	I1-C1	I1-C2	H53	H54	E16-SC2A1	H61	H1	H4
MD	1	3						1	1							
Dientes MD		6						5		1			1		2	
MX		2				1										
Dientes MX			1													
DND	1		1					1								
FRO		1						1				1				
NA																
OCC																
COC																
OI			1													
PAR								1								
TEM		1														
ZY		1														
BT								1								
CR ND																
CST		3			2							3				1
EST								1								
AT																
AX																
VCER			1	1				1					1			
VLU																
VTO				2				1				1			1	
VCA																
SA																
E		1	2						1							1
HU		2	5					1		1	1	4				
RA		1	1	1												
UL	1															
MC I																
MC II												1				
MC III				1	1											
MC IV				1				1								
MC V								1					1			
CAR																
PEL	1					1										1
FE	1							4							1	
RO																
TI	1	2	1					2	1				1			
FI		1			1											
CAL	1							1								
TA			1													
MT II															1	
MT III																
MT IV		1						1								
MT V																
TAR				1												
MP				1												
FA1								1								1
FA2		1	1					1					1			
FA3																
FAR																
<b>total</b>	<b>7</b>	<b>26</b>	<b>15</b>	<b>7</b>	<b>4</b>	<b>2</b>	<b>0</b>	<b>26</b>	<b>3</b>	<b>2</b>	<b>1</b>	<b>10</b>	<b>5</b>	<b>0</b>	<b>5</b>	<b>4</b>

Tabla A5.18. NR de *Equus caballus* recuperados en PDM Bastida 1 y 2, ordenados por ámbito

EQCA	tt muestra		Fase 1		PDM	Fase 2		PDM		
	NR	%	NR	%	H12	NR	%	H26	I2	CO: C15
MD	1	1,4	0	0,00		0	0,00			
Dientes MD	2	2,9	0	0,00		1	8,33		1	
MX	0	0,0	0	0,00		0	0,00			
Dientes MX	5	7,1	0	0,00		0	0,00			
DND	1	1,4	0	0,00		0	0,00			
FRO	0	0,0	0	0,00		0	0,00			
NA	0	0,0	0	0,00		0	0,00			
OCC	1	1,4	1	100	1	0	0,00			
COC	0	0,0	0	0,00		0	0,00			
OI	0	0,0	0	0,00		0	0,00			
PAR	0	0,0	0	0,00		0	0,00			
TEM	0	0,0	0	0,00		0	0,00			
ZY	1	1,4	0	0,00		0	0,00			
BT	0	0,0	0	0,00		0	0,00			
CR ND	0	0,0	0	0,00		0	0,00			
CST	0	0,0	0	0,00		0	0,00			
EST	0	0,0	0	0,00		0	0,00			
AT	2	2,9	0	0,00		0	0,00			
AX	1	1,4	0	0,00		0	0,00			
VCER	3	4,3	0	0,00		0	0,00			
VLU	0	0,0	0	0,00		0	0,00			
VTO	2	2,9	0	0,00		0	0,00			
VCA	0	0,0	0	0,00		0	0,00			
SA	0	0,0	0	0,00		0	0,00			
E	1	1,4	0	0,00		0	0,00			
HU	4	5,7	0	0,00		3	25,00		3	
RA	8	11,4	0	0,00		3	25,00		3	
UL	2	2,9	0	0,00		0	0,00			
MC	1	1,4	0	0,00		0	0,00			
CAR	0	0,0	0	0,00		0	0,00			
PEL	6	8,6	0	0,00		2	16,67		2	1
FE	2	2,9	0	0,00		0	0,00			
RO	1	1,4	0	0,00		0	0,00			
TI	7	10,0	0	0,00		1	8,33		1	
FI	0	0,0	0	0,00		0	0,00			
CAL	3	4,3	0	0,00		1	8,33	1		
TA	1	1,4	0	0,00		0	0,00			
MT II	1	1,4	0	0,00		0	0,00			
MT III	3	4,3	0	0,00		0	0,00			
MT IV	1	1,4	0	0,00		0	0,00			
MT V	0	0,0	0	0,00		0	0,00			
TAR	2	2,9	0	0,00		0	0,00			
MP	2	2,9	0	0,00		0	0,00			
FA1	0	0,0	0	0,00		0	0,00			
FA2	3	4,3	0	0,00		1	8,33		1	
FA3	2	2,9	0	0,00		0	0,00			
SES	1	1,4	0	0,00		0	0,00			
<b>total</b>	<b>70</b>	<b>100,0</b>	<b>1</b>	<b>100</b>	<b>1</b>	<b>12</b>	<b>100</b>	<b>1</b>	<b>11</b>	<b>1</b>

Tabla A5.19. NR de *Equus caballus* recuperados en PDM y CIMA Bastida 3a, ordenados por ámbito

EQCA	Fase 3		3a					
			PDM					CIMA
	NR	%	H2-C3	H19	H20	H52	I1-C3	E16-SC2A2
MD	1	1,75				1		
Dientes MD	1	1,75						
MX	0	0,00						
Dientes MX	5	8,77						
DND	1	1,75						
FRO	0	0,00						
NA	0	0,00						
OCC	0	0,00						
COC	0	0,00						
OI	0	0,00						
PAR	0	0,00						
TEM	0	0,00						
ZY	1	1,75						
BT	0	0,00						
CR ND	0	0,00						
CST	0	0,00						
EST	0	0,00						
AT	2	3,51	1					1
AX	1	1,75						
VCER	3	5,26				1		
VLU	0	0,00						
VTO	2	3,51						
VCA	0	0,00						
SA	0	0,00						
E	1	1,75						
HU	1	1,75						
RA	5	8,77						
UL	2	3,51		1				
MC	1	1,75						
CAR	0	0,00						
PEL	4	7,02						1
FE	2	3,51						
RO	1	1,75						
TI	6	10,53			1			
FI	0	0,00						
CAL	2	3,51						
TA	1	1,75						1
MT II	1	1,75						
MT III	3	5,26						
MT IV	1	1,75						
MT V	0	0,00						
TAR	2	3,51						
MP	2	3,51					1	
FA1	0	0,00						
FA2	2	3,51						
FA3	2	3,51						
SES	1	1,75						
<b>total</b>	<b>57</b>	<b>100</b>	<b>1</b>	<b>1</b>	<b>1</b>	<b>2</b>	<b>1</b>	<b>3</b>

Tabla A5.20. NR de *Equus caballus* recuperados en PDM, LM y CIMA Bastida 3b y 3, ordenados por ámbito

EQCA	3b								3
	PDM					LM	CIMA		PDM
	H2-C1	H2-C2	H37	I1-C1	I1-C2	H54	E16-SC2A1	H61	H4
MD									
Dientes MD							1		
MX									
Dientes MX	2		2				1		
DND			1						
FRO									
NA									
OCC									
COC									
OI									
PAR									
TEM									
ZY									1
BT									
CR ND									
CST									
EST									
AT									
AX							1		
VCER						1	1		
VLU									
VTO							1	1	
VCA									
SA									
E							1		
HU							1		
RA			1		1		3		
UL							1		
MC				1					
CAR									
PEL			1				2		
FE							2		
RO				1					
TI		2					2	1	
FI									
CAL				1			1		
TA									
MT II							1		
MT III							2	1	
MT IV							1		
MT V									
TAR			1				1		
MP			1						
FA1									
FA2							1	1	
FA3		1					1		
SES							1		
<b>total</b>	<b>2</b>	<b>3</b>	<b>7</b>	<b>3</b>	<b>1</b>	<b>1</b>	<b>26</b>	<b>4</b>	<b>1</b>

Tabla A5.21. NR de *Ovis aries* recuperados en PDM y BAR Bastida 1, ordenados por ámbito

OVAR	tt muestra		Fase 1		PDM						BAR	
	NR	%	NR	%	H9	H10	H12	H14	H36	H68	C0: C17	C0: C19
MD	30	14,4	3	5,1					1			2
Dientes MD	29	13,9	4	6,8					4			
MX	0	0,0	0	0,0								
Dientes MX	2	1,0	0	0,0								
CUE	3	1,4	0	0,0								
FRO	0	0,0	0	0,0								
NA	0	0,0	0	0,0								
OCC	0	0,0	0	0,0								
COC	0	0,0	0	0,0								
OI	0	0,0	0	0,0								
PAR	0	0,0	0	0,0								
TEM	0	0,0	0	0,0								
ZY	0	0,0	0	0,0								
BT	0	0,0	0	0,0								
CR ND	0	0,0	0	0,0								
CST	0	0,0	0	0,0								
HIO	0	0,0	0	0,0								
AT	0	0,0	0	0,0								
AX	0	0,0	0	0,0								
VCER	0	0,0	0	0,0								
VLU	0	0,0	0	0,0								
VTO	0	0,0	0	0,0								
VCA	0	0,0	0	0,0								
EST	0	0,0	0	0,0								
SA	0	0,0	0	0,0								
E	4	1,9	4	6,8							1	3
HU	11	5,3	3	5,1	1				2			
RA	15	7,2	5	8,5					4			1
UL	4	1,9	0	0,0								
MC	15	7,2	6	10,2					6			
CAR	1	0,5	1	1,7			1					
PEL	4	1,9	0	0,0								
FE	5	2,4	4	6,8					4			
RO	1	0,5	0	0,0								
TI	11	5,3	1	1,7					1			
CAL	9	4,3	2	3,4					2			
TA	9	4,3	2	3,4					1			1
TAR	2	1,0	1	1,7					1			
MT	15	7,2	4	6,8					4			
MP	1	0,5	0	0,0								
FA1	24	11,5	9	15,3				1	8			
FA2	10	4,8	8	13,6					8			
FA3	3	1,4	2	3,4					2			
SES	0	0,0	0	0,0								
<b>total</b>	<b>208</b>	<b>100,0</b>	<b>59</b>	<b>100,0</b>	<b>1,0</b>	<b>0,0</b>	<b>0,0</b>	<b>1,0</b>	<b>47,0</b>	<b>0,0</b>	<b>1,0</b>	<b>7,0</b>



Tabla A5.22. NR de *Ovis aries* recuperados en PDM, LM y BAR Bastida 2, ordenados por ámbito

OVAR	Fase 2		PDM					LM	BAR		
	NR	%	H26	H34	H35	H83	I2	H64	CO:C10	CO: C13	CO: C15
MD	10	20,8	1	1		1	1	3		2	1
Dientes MD	13	27,1			1	2	8	2			
MX	0	0,0									
Dientes MX	0	0,0									
CUE	0	0,0									
FRO	0	0,0									
NA	0	0,0									
OCC	0	0,0									
COC	0	0,0									
OI	0	0,0									
PAR	0	0,0									
TEM	0	0,0									
ZY	0	0,0									
BT	0	0,0									
CR ND	0	0,0									
CST	0	0,0									
HIO	0	0,0									
AT	0	0,0									
AX	0	0,0									
VCER	0	0,0									
VLU	0	0,0									
VTO	0	0,0									
VCA	0	0,0									
EST	0	0,0									
SA	0	0,0									
E	0	0,0									
HU	1	2,1			1						
RA	3	6,3		1			2				
UL	1	2,1		1							
MC	3	6,3				1	1	1			
CAR	0	0,0									
PEL	1	2,1							1		
FE	0	0,0									
RO	1	2,1					1				
TI	2	4,2			2						
CAL	1	2,1				1					
TA	3	6,3	1							2	
TAR	0	0,0									
MT	1	2,1						1			
MP	0	0,0									
FA1	7	14,6			1	1	2	2	1		
FA2	1	2,1		1							
FA3	0	0,0									
SES	0	0,0									
<b>total</b>	<b>48</b>	<b>100</b>	<b>2</b>	<b>4</b>	<b>5</b>	<b>6</b>	<b>15</b>	<b>9</b>	<b>2</b>	<b>4</b>	<b>1</b>

Tabla A5.23. NR de *Ovis aries* recuperados en PDM y CIMA Bastida 3a, ordenados por ámbito

OVAR	Fase 3		3a										
	NR	%	PDM							CIMA			
			H2-C3	H7	H19	H20	H21	H41	H52	I1-C3	E16-SC2A2	H62	
MD	17	16,7					1					1	1
Dientes MD	12	11,8							1				
MX	0	0,0											
Dientes MX	2	2,0				1							
CUE	3	2,9										1	
FRO	0	0,0											
NA	0	0,0											
OCC	0	0,0											
COC	0	0,0											
OI	0	0,0											
PAR	0	0,0											
TEM	0	0,0											
ZY	0	0,0											
BT	0	0,0											
CR ND	0	0,0											
CST	0	0,0											
HIO	0	0,0											
AT	0	0,0											
AX	0	0,0											
VCER	0	0,0											
VLU	0	0,0											
VTO	0	0,0											
VCA	0	0,0											
EST	0	0,0											
SA	0	0,0											
E	0	0,0											
HU	7	6,9							1				
RA	7	6,9					1		1				
UL	3	2,9											
MC	6	5,9		1					1				
CAR	0	0,0											
PEL	4	3,9							2				
FE	1	1,0											
RO	0	0,0											
TI	8	7,8	1						2				
CAL	6	5,9							2				
TA	4	3,9											
TAR	1	1,0											
MT	10	9,8		2	1				2				
MP	1	1,0											
FA1	8	7,8	1	1					1				
FA2	1	1,0											
FA3	1	1,0							1				
SES	0	0,0											
<b>total</b>	<b>102</b>	<b>100,0</b>	<b>2,0</b>	<b>4,0</b>	<b>1,0</b>	<b>1,0</b>	<b>2,0</b>	<b>0,0</b>	<b>14,0</b>	<b>0,0</b>	<b>2,0</b>	<b>1,0</b>	

Tabla A5.24. NR de *Ovis aries* recuperados en PDM, LM y CIMA Bastida 3b y 3, ordenados por ámbito

OVAR	3b														3	
	PDM										LM		CIMA		PDM	
	H2-C1	H2-C2	H3	H5	H8	H11	H18	H37	I1-C1	I1-C2	H53	H54	E16-SC2A1	H61	H1	H4
MD	2		1	3	1				1	1	1	1	2		1	
Dientes MD		1	3	1	3			2	1							
MX																
Dientes MX								1								
CUE			2													
FRO																
NA																
OCC																
COC																
OI																
PAR																
TEM																
ZY																
BT																
CR ND																
CST																
HIO																
AT																
AX																
VCER																
VLU																
VTO																
VCA																
EST																
SA																
E																
HU	1	1	3									1				
RA						1			1		1	1		1		
UL			1						1		1					
MC			1					1				1			1	
CAR																
PEL								1							1	
FE								1								
RO																
TI					1				1	1	1		1			
CAL			1		1				1			1				
TA		1	1	1				1								
TAR															1	
MT			2			1								2		
MP								1								
FA1			1	1	1			1			1					
FA2								1								
FA3																
SES																
<b>total</b>	3,0	3,0	16,0	6,0	7,0	2,0	0,0	10,0	6,0	2,0	5,0	7,0	3,0	1,0	3,0	0,0

Tabla A5.25. NR de *Capra hircus* recuperados en PDM y BAR Bastida 1, ordenados por ámbito

CAHI	tt muestra		Fase 1		PDM						BAR	
	NR	%	NR	%	H9	H10	H12	H14	H36	H68	CO: C17	CO: C19
MD	12	6,3	5	11,6					2			3
Dientes MD	15	7,9	2	4,7					1			1
MX	0	0,0	0	0,0								
Dientes MX	0	0,0	0	0,0								
CUE	13	6,9	2	4,7					1			1
FRO	0	0,0	0	0,0								
NA	0	0,0	0	0,0								
OCC	0	0,0	0	0,0								
COC	0	0,0	0	0,0								
OI	0	0,0	0	0,0								
PAR	1	0,5	0	0,0								
TEM	0	0,0	0	0,0								
ZY	0	0,0	0	0,0								
BT	0	0,0	0	0,0								
CR ND	0	0,0	0	0,0								
CST	0	0,0	0	0,0								
HIO	0	0,0	0	0,0								
AT	0	0,0	0	0,0								
AX	0	0,0	0	0,0								
VCER	0	0,0	0	0,0								
VLU	0	0,0	0	0,0								
VTO	0	0,0	0	0,0								
VCA	0	0,0	0	0,0								
EST	0	0,0	0	0,0								
SA	0	0,0	0	0,0								
E	4	2,1	1	2,3								1
HU	10	5,3	2	4,7					1			1
RA	12	6,3	2	4,7					2			
UL	6	3,2	3	7,0	1				2			
MC	9	4,8	4	9,3					4			
CAR	2	1,1	2	4,7					2			
PEL	4	2,1	0	0,0								
FE	7	3,7	2	4,7					2			
RO	1	0,5	0	0,0								
TI	13	6,9	0	0,0								
CAL	12	6,3	5	11,6		1			4			
TA	6	3,2	1	2,3					1			
TAR	2	1,1	0	0,0								
MT	13	6,9	0	0,0								
MP	4	2,1	0	0,0								
FA1	23	12,2	4	9,3	2				2			
FA2	11	5,8	3	7,0					3			
FA3	9	4,8	5	11,6					5			
SES	0	0,0	0	0,0								
total	189	100,0	43	100,0	3,0	1,0	0,0	0,0	30,0	0,0	0,0	7,0

Tabla A5.26. NR de *Capra hircus* recuperados en PDM, LM y BAR Bastida 2, ordenados por ámbito

CAHI	Fase 2		PDM					LM	BAR		
	NR	%	H26	H34	H35	H83	I2	H64	C0:C10	C0: C13	C0: C15
MD	1	2,3					1				
Dientes MD	4	9,3					4				
MX	0	0,0									
Dientes MX	0	0,0									
CUE	3	7,0	1		2						
FRO	0	0,0									
NA	0	0,0									
OCC	0	0,0									
COC	0	0,0									
OI	0	0,0									
PAR	1	2,3			1						
TEM	0	0,0									
ZY	0	0,0									
BT	0	0,0									
CR ND	0	0,0									
CST	0	0,0									
HIO	0	0,0									
AT	0	0,0									
AX	0	0,0									
VCER	0	0,0									
VLU	0	0,0									
VTO	0	0,0									
VCA	0	0,0									
EST	0	0,0									
SA	0	0,0									
E	1	2,3							1		
HU	2	4,7					2				
RA	3	7,0			2		1				
UL	0	0,0									
MC	0	0,0									
CAR	0	0,0									
PEL	1	2,3			1						
FE	2	4,7			2						
RO	0	0,0									
TI	3	7,0			2		1				
CAL	2	4,7			1		1				
TA	0	0,0									
TAR	2	4,7			2						
MT	4	9,3			1	1	2				
MP	3	7,0			1	1	1				
FA1	6	14,0				4	2				
FA2	4	9,3			1	3					
FA3	1	2,3			1						
SES	0	0,0									
total	43	100,0	1,0	0,0	15,0	9,0	15,0	0,0	1,0	0,0	0,0

Tabla A5.27. NR de *Capra hircus* recuperados en PDM y CIMA Bastida 3a, ordenados por ámbito

CAHI	Fase 3		3a										
			PDM								CIMA		
			H2-C3	H7	H19	H20	H21	H41	H52	I1-C3	E16-SC2A2	H62	
MD	6	5,8		1					1				1
Dientes MD	9	8,7	1										
MX	0	0,0											
Dientes MX	0	0,0											
CUE	8	7,8	1			1							1
FRO	0	0,0											
NA	0	0,0											
OCC	0	0,0											
COC	0	0,0											
OI	0	0,0											
PAR	0	0,0											
TEM	0	0,0											
ZY	0	0,0											
BT	0	0,0											
CR ND	0	0,0											
CST	0	0,0											
HIO	0	0,0											
AT	0	0,0											
AX	0	0,0											
VCER	0	0,0											
VLU	0	0,0											
VTO	0	0,0											
VCA	0	0,0											
EST	0	0,0											
SA	0	0,0											
E	2	1,9							1				
HU	6	5,8							1	1			
RA	7	6,8	1						1	1			
UL	3	2,9								1			
MC	5	4,9							1				
CAR	0	0,0											
PEL	3	2,9							1				
FE	3	2,9											
RO	1	1,0											
TI	10	9,7		1						2			
CAL	5	4,9				1	1						
TA	5	4,9											
TAR	0	0,0											
MT	9	8,7							2	1			
MP	1	1,0											
FA1	13	12,6					1	2					
FA2	4	3,9						1					
FA3	3	2,9											
SES	0	0,0											
total	103	100,0	3,0	2,0	0,0	2,0	2,0	13,0	4,0	0,0	0,0		2,0

Tabla A5.28. NR de *Capra hircus* recuperados en PDM, LM y CIMA Bastida 3b y 3, ordenados por ámbito

CAHI	3b														3	
	PDM										LM		CIMA		PDM	
	H2-C1	H2-C2	H3	H5	H8	H11	H18	H37	I1-C1	I1-C2	H53	H54	E16-SC2A1	H61	H1	H4
MD		1	1					1								
Dientes MD	1	1	2					1		1		1			1	
MX																
Dientes MX																
CUE	2	2	1													
FRO																
NA																
OCC																
COC																
OI																
PAR																
TEM																
ZY																
BT																
CR ND																
CST																
HIO																
AT																
AX																
VCER																
VLU																
VTO																
VCA																
EST																
SA																
E			1													
HU	1	1		1												1
RA		1						1		1		1				
UL		1										1				
MC		3									1					
CAR																
PEL			2													
FE								3								
RO		1														
TI		2	3					1		1						
CAL		1	1					1								
TA		1	1	1				2								
TAR																
MT		3	2					1								
MP								1								
FA1		6	1			1		1							1	
FA2		1	2													
FA3		1									2					
SES																
total	4,0	26,0	17,0	2,0	0,0	1,0	0,0	13,0	0,0	1,0	2,0	4,0	2,0	0,0	2,0	1,0

Tabla A5.29. NR de *Ovis/Capra* recuperados en PDM y BAR Bastida 1, ordenados por ámbito

OVCA tt	tt muestra		Fase 1		PDM						BAR	
	NR	%	NR	%	H9	H10	H12	H14	H36	H68	C0: C17	C0: C19
MD	107	4,56	26	4,52	3	1			13			9
Dientes MD	91	3,87	23	4,00	1		1		18		1	2
MX	18	0,77	7	1,22					5			2
Dientes MX	98	4,17	19	3,30	2	1	1	2	11			
DND	18	0,77	5	0,87	1				3	1		
CUE	22	0,94	5	0,87		1			2			2
FRO	11	0,47	5	0,87					4			1
LA	4	0,17	2	0,35					1		1	
NA	5	0,21	4	0,70					4			
OCC	6	0,26	3	0,52			1		2			
COC	1	0,04	0	0,00								
OI	3	0,13	2	0,35					2			
PAR	3	0,13	0	0,00								
TEM	5	0,21	4	0,70	1				3			
ZY	12	0,51	4	0,70			1		3			
BT	6	0,26	1	0,17					1			
CR ND	15	0,64	7	1,22			1		5			1
CST	175	7,45	30	5,22	6		2	1	17		1	3
HIO	5	0,21	1	0,17					1			
AT	10	0,43	4	0,70	1				3			
AX	11	0,47	5	0,87					4			1
VCER	31	1,32	12	2,09	1			1	10			
VLU	30	1,28	10	1,74		1			8			1
VTO	73	3,11	21	3,65	2				19			
VCA	9	0,38	4	0,70					4			
EST	2	0,09	1	0,17					1			
SA	5	0,21	3	0,52					3			
ESC	43	1,83	13	2,26				1	6		1	5
HU	217	9,24	44	7,65	4	2	2	4	26	1		3
RA	214	9,11	37	6,43	6	3	2	2	17	1	1	5
UL	48	2,04	17	2,96	1	1	1		11		3	
MC	112	4,77	30	5,22	1		1	2	23			3
CAR	8	0,34	6	1,04			1		5			
PEL	80	3,41	18	3,13				1	16			1
FE	155	6,60	38	6,61	6		2		24	1	3	2
RO	2	0,09	0	0,00								
TI	275	11,71	52	9,04	11		3	3	26	1	5	3
CAL	38	1,62	11	1,91	1	1			9			
TA	23	0,98	6	1,04					5			1
TAR	6	0,26	2	0,35					2			
MT	137	5,83	27	4,70	4				18	3	1	1
MP	105	4,47	26	4,52	3	1	3	1	12	2	2	2
FA1	67	2,85	18	3,13	2			1	15			
FA2	28	1,19	13	2,26					13			
FA3	15	0,64	9	1,57					8			1
SES	0	0,00	0	0,00								
total	2349	100,00	575	100	57	12	22	19	383	10	19	49



Tabla A5.30. NR de *Ovis/Capra* recuperados en PDM, LM y BAR Bastida 2, ordenados por ámbito

OVCA tt	Fase 2		PDM					LM	BAR		
	NR	%	H26	H34	H35	H83	I2	H64	C0: C10	C0: C13	C0: C15
MD	32	6,29	2	1	2	4	10	6		4	3
Dientes MD	33	6,48	1		3	7	18	3	1		
MX	4	0,79				1		2	1		
Dientes MX	19	3,73	2		3	3	5	5		1	
DND	5	0,98			1		3	1			
CUE	3	0,59	1				2				
FRO	4	0,79		1	2	1					
LA	1	0,20						1			
NA	0	0,00									
OCC	1	0,20			1						
COC	0	0,00									
OI	0	0,00									
PAR	2	0,39			1	1					
TEM	0	0,00									
ZY	4	0,79				2		2			
BT	3	0,59				1	1	1			
CR ND	3	0,59				1	1	1			
CST	21	4,13			7	1	7	5	1		
HIO	3	0,59			1	2					
AT	3	0,59			1		1			1	
AX	3	0,59				1	1	1			
VCER	8	1,57			2	2	1	2	1		
VLU	3	0,59		2	1						
VTO	19	3,73	1		13	3		1		1	
VCA	2	0,39			1		1				
EST	0	0,00									
SA	2	0,39				2					
ESC	10	1,96	1			1	3	2	1		2
HU	44	8,64	2		10	2	18	9	1	1	1
RA	48	9,43		1	8	5	22	10		1	1
UL	5	0,98		1	2		2				
MC	25	4,91	2		3	2	9	7		1	1
CAR	1	0,20			1						
PEL	20	3,93	1	1	5	3	3	2	2	2	1
FE	37	7,27	1	2	8	9	8	8			1
RO	1	0,20					1				
TI	45	8,84		5	11	3	10	8	1	3	4
CAL	5	0,98		1	1	1	2				
TA	3	0,59	1							2	
TAR	3	0,59			2		1				
MT	26	5,11		1	9	3	8	2			3
MP	33	6,48	2		5	1	9	9		1	6
FA1	18	3,54		1	3	5	5	2	1		1
FA2	6	1,18		1	2	3					
FA3	1	0,20			1						
SES	0	0,00									
total	509	100	17	18	110	70	152	90	10	18	24

Tabla A5.31. NR de *Ovis/Capra* recuperados en PDM y CIMA Bastida 3a, ordenados por ámbito

OVCA tt	Fase 3		3a										
	NR	%	PDM							CIMA			
			H2-C3	H7	H19	H20	H21	H41	H52	I1-C3	E16-SC2A2	H62	
MD	49	3,87		2				1	1			2	3
Dientes MD	35	2,77		1						1			1
MX	7	0,55							1	1			
Dientes MX	60	4,74	2	3		1	2			4			1
DND	8	0,63											
CUE	14	1,11	1			1						1	1
FRO	2	0,16								1			
LA	1	0,08											
NA	1	0,08											
OCC	2	0,16											
COC	1	0,08											
OI	1	0,08											
PAR	1	0,08											
TEM	1	0,08								1			
ZY	4	0,32											
BT	2	0,16											
CR ND	5	0,40						1	2				
CST	124	9,80	2	3		5	1	12	9			1	5
HIO	1	0,08						1					
AT	3	0,24											
AX	3	0,24								1			
VCER	11	0,87						1	1				1
VLU	17	1,34						2	1				
VTO	33	2,61		1			1	5	5				
VCA	3	0,24							2				
EST	1	0,08											
SA	0	0,00											
ESC	20	1,58	1	2				1	1			1	
HU	129	10,20		4	3			2	13	1		3	3
RA	129	10,20	1	7	2	1	2	2	12			4	5
UL	26	2,06	1						1				1
MC	57	4,51		3		1		1	4			1	
CAR	1	0,08											
PEL	42	3,32	1					1	7				1
FE	80	6,32	1	5	2	2	1		4				6
RO	1	0,08											
TI	178	14,07	5	8	1		1	6	19			1	6
CAL	22	1,74	1			2	2		4				
TA	14	1,11							1				1
TAR	1	0,08											
MT	84	6,64	1	4	3			2	10			2	2
MP	46	3,64	1	2		1	1		4			1	2
FA1	31	2,45	1	1			1	2	2				
FA2	9	0,71	1					1					
FA3	5	0,40							1				
SES	0	0,00											
total	1265	100	20	46	11	14	13	42	112	1		17	39

Tabla A5.32. NR de Ovis/Capra recuperados en PDM, LM y CIMA Bastida 3b y 3, ordenados por ámbito

	3b														3	
	PDM										LM		CIMA		PDM	
OVCA total	H2-C1	H2-C2	H3	H5	H8	H11	H18	H37	I1-C1	I1-C2	H53	H54	E16-SC2A1	H61	H1	H4
MD	3	1	9	3	3			5	1	1	1	5	3	1	1	3
Dientes MD	2	1	7	2	5	1		6	2	2		2			2	
MX		2		1							1					1
Dientes MX		5	15	2	4			4	6		4	3	3			1
DND		1						6	1							
CUE	2	3	4	1												
FRO									1							
LA			1													
NA			1													
OCC			1													
COC		2														
OI			1													
PAR		1														
TEM																
ZY			3					1								
BT		1	1													
CR ND			1					1								
CST		26	10	2	1			23	2		1	15			5	1
HIO																
AT								1								2
AX	1							1								
VCER			2	1			1	3				1				
VLU		2	4	1				4	2			1				
VTO			4	1	1			6	2		1	4				2
VCA														1		
EST								1								
SA																
ESC	1	1	6	1					2		2	1				
HU	6	13	21	5	8	1	2	8	3	3	4	10	3	3	4	6
RA	2	12	19	5	3	4		5	11		8	7	4	6	2	5
UL	1	1	3	6	1			5	3		2		1			
MC		8	9					10	6		4	5	3		1	1
CAR		1														
PEL		4	4	2		1	1	4	2		1	4	5	2	1	1
FE	3	13	12	3	3	1		10	4	1	2	2	2		2	1
RO		1														
TI	4	19	25	8	7			16	9	1	19	12	3	3	2	3
CAL		3	2		1			4	1			2				
TA		3	2	2				4	1							
TAR												1				
MT	2	11	13	3	2	3	2	3	3		5	5			6	2
MP	1	3	4	3	1			4	6		1	3	3		1	4
FA1		7	3	2	1	1		7	1		1				1	
FA2		2	4					1								
FA3		1	1									2				
SES																
total	28	148	192	54	41	12	6	143	69	8	57	85	30	16	28	33

Tabla A5.33. NR de *Cervus elaphus* recuperados en PDM y BAR Bastida 1, ordenados por ámbito

CEEL	tt muestra		Fase 1		PDM						BAR	
	NR	%	NR	%	H9	H10	H12	H14	H36	H68	CO: C17	CO: C19
MD	13	4,0	3	10,0					1		1	1
Dientes MD	14	4,3	4	13,3					4			
MX	4	1,2	0	0,0								
Dientes MX	7	2,2	1	3,3							1	
DND	1	0,3	0	0,0								
CUE	87	26,9	5	16,7	1						3	1
FRO	1	0,3	0	0,0								
OCC	1	0,3	0	0,0								
COC	0	0,0	0	0,0								
OI	0	0,0	0	0,0								
PAR	0	0,0	0	0,0								
TEM	1	0,3	0	0,0								
ZY	2	0,6	0	0,0								
BT	0	0,0	0	0,0								
NA	1	0,3	0	0,0								
CST	3	0,9	0	0,0								
AT	0	0,0	0	0,0								
AX	1	0,3	0	0,0								
VCER	2	0,6	0	0,0								
VLU	7	2,2	1	3,3					1			
VTO	7	2,2	0	0,0								
VCA	1	0,3	0	0,0								
SA	3	0,9	0	0,0								
E	2	0,6	0	0,0								
HU	10	3,1	0	0,0								
RA	17	5,3	0	0,0								
UL	3	0,9	0	0,0								
MC	10	3,1	1	3,3					1			
CAR	1	0,3	0	0,0								
PEL	4	1,2	1	3,3							1	
FE	19	5,9	2	6,7	1							1
RO	0	0,0	0	0,0								
TI	23	7,1	3	10,0	1				1		1	
CAL	7	2,2	2	6,7	1				1			
TA	7	2,2	2	6,7								
TAR	5	1,5	0	0,0								
MT	22	6,8	2	6,7					1		1	
MP	5	1,5	0	0,0								
FA1	18	5,6	3	10,0	1						1	1
FA2	10	3,1	0	0,0								
FA3	2	0,6	0	0,0								
SES	2	0,6	0	0,0								
<b>total</b>	<b>323</b>	<b>100,0</b>	<b>30</b>	<b>100,0</b>	<b>5,0</b>	<b>0,0</b>	<b>0,0</b>	<b>0,0</b>	<b>10,0</b>	<b>0,0</b>	<b>9,0</b>	<b>4,0</b>

Tabla A5.34. NR de *Cervus elaphus* recuperados en PDM, LM y BAR Bastida 2, ordenados por ámbito

CEEL	Fase 2		PDM					LM	BAR		
	NR	%	H26	H34	H35	H83	I2	H64	C0:C10	C0: C13	C0: C15
MD	1	0,9					1				
Dientes MD	6	5,6				1	2				3
MX	3	2,8						2		1	
Dientes MX	0	0,0									
DND	0	0,0									
CUE	31	29,0				4	21	1		1	4
FRO	0	0,0									
OCC	1	0,9		1							
COC	0	0,0									
OI	0	0,0									
PAR	0	0,0									
TEM	0	0,0									
ZY	0	0,0									
BT	0	0,0									
NA	0	0,0									
CST	0	0,0									
AT	0	0,0									
AX	0	0,0									
VCER	0	0,0									
VLU	3	2,8				1	2				
VTO	3	2,8	1				2				
VCA	0	0,0									
SA	3	2,8				1	1			1	
E	1	0,9					1				
HU	4	3,7					1	2		1	
RA	7	6,5		1	2		3				1
UL	1	0,9			1						
MC	5	4,7					4				1
CAR	0	0,0									
PEL	1	0,9					1				
FE	5	4,7		1		1	3				
RO	0	0,0									
TI	9	8,4			2		4	1		2	
CAL	2	1,9					2	1			1
TA	0	0,0					1	1			
TAR	2	1,9									
MT	5	4,7	1				2	1		1	
MP	3	2,8			1		2				
FA1	6	5,6			2		3				1
FA2	4	3,7			1		3				
FA3	1	0,9									1
SES	0	0,0									
<b>total</b>	<b>107</b>	<b>100,0</b>	<b>2,0</b>	<b>3,0</b>	<b>9,0</b>	<b>8,0</b>	<b>57,0</b>	<b>9,0</b>	<b>0,0</b>	<b>7,0</b>	<b>12,0</b>

Tabla A5.35. NR de *Cervus elaphus* recuperados en PDM y CIMA Bastida 3a, ordenados por ámbito

CEEL	Fase 3		3a											
	NR	%	PDM								CIMA			
			H2-C3	H7	H19	H20	H21	H41	H52	I1-C3	E16-SC2A2	H62		
MD	9	4,8												3
Dientes MD	4	2,2										1		
MX	1	0,5												
Dientes MX	6	3,2	1											
DND	1	0,5												
CUE	51	27,4				6				5	1	2		5
FRO	1	0,5												1
OCC	0	0,0												
COC	0	0,0												
OI	0	0,0												
PAR	0	0,0												
TEM	1	0,5												1
ZY	2	1,1												
BT	0	0,0												
NA	1	0,5												
CST	3	1,6												1
AT	0	0,0												
AX	1	0,5												1
VCER	2	1,1												2
VLU	3	1,6							1					
VTO	4	2,2												
VCA	1	0,5												
SA	0	0,0												
E	1	0,5												
HU	6	3,2							2					
RA	10	5,4	1											1
UL	2	1,1												
MC	4	2,2												1
CAR	1	0,5												
PEL	2	1,1												
FE	12	6,5										1		1
RO	0	0,0												
TI	11	5,9		1					2					
CAL	3	1,6												
TA	5	2,7		1										
TAR	3	1,6												
MT	15	8,1		1					1					2
MP	2	1,1												
FA1	9	4,8							1					
FA2	6	3,2							1					1
FA3	1	0,5							1					
SES	2	1,1												
<b>total</b>	<b>186</b>	<b>100,0</b>	<b>2,0</b>	<b>3,0</b>	<b>0,0</b>	<b>6,0</b>	<b>0,0</b>	<b>0,0</b>	<b>14,0</b>	<b>1,0</b>		<b>4,0</b>		<b>20,0</b>

Tabla A5.36. NR de *Cervus elaphus* recuperados en PDM, LM y CIMA Bastida 3b y 3, ordenados por ámbito

CEEL	3b														3	
	PDM										LM		CIMA		PDM	
	H2-C1	H2-C2	H3	H5	H8	H11	H18	H37	I1-C1	I1-C2	H53	H54	E16-	H61	H1	H4
MD	2	1			1										1	1
Dientes MD			1			1		1								
MX				1												
Dientes MX			3					1								1
DND								1								
CUE	3	5	5	1		1		2	8	1	4			1	1	
FRO																
OCC																
COC																
OI																
PAR																
TEM																
ZY			1		1											
BT																
NA								1								
CST	1		1													
AT																
AX																
VCER																
VLU												1				1
VTO								1			3					
VCA														1		
SA																
E			1													
HU		1		2				1								
RA	2	1	1						1			1				2
UL	1															1
MC	1	1												1		
CAR												1				
PEL	1											1				
FE			3	1	2					1		1				2
RO																
TI	1	1	3													3
CAL		1						1	1							
TA		3								1						
TAR		1	1													1
MT			5	1				1		1	1	1	1			
MP					1			1								
FA1		3			2	1		1								1
FA2		2	2													
FA3																
SES		1	1													
<b>total</b>	12	20	27	6	7	2	1	7	7	9	3	8	5	4	2	12

Tabla A5.37. NR de *Canis familiaris* recuperados en PDM y BAR Bastida 1, ordenados por ámbito

CAFA	tt muestra		Fase 1		PDM						BAR	
	NR	%	NR	%	H9	H10	H12	H14	H36	H68	C0: C17	C0: C19
MD	7	4,8	1	3,4					1			
Dientes MD	5	3,4	2	6,9	1				1			
MX	5	3,4	1	3,4	1							
Dientes MX	5	3,4	3	10,3					3			
FRO	1	0,7	0	0,0								
OCC	0	0,0	0	0,0								
COC	0	0,0	0	0,0								
OI	1	0,7	1	3,4					1			
PAR	0	0,0	0	0,0								
TEM	1	0,7	0	0,0								
ZY	1	0,7	0	0,0								
BT	1	0,7	0	0,0								
CST	12	8,2	2	6,9					2			
AT	2	1,4	1	3,4	1							
AX	2	1,4	0	0,0								
VCER	7	4,8	6	20,7					6			
VLU	1	0,7	1	3,4					1			
VTO	1	0,7	1	3,4					1			
VCA	3	2,0	1	3,4					1			
SA	0	0,0	0	0,0								
Hueso peneano	1	0,7	0	0,0								
E	2	1,4	1	3,4					1			
HU	7	4,8	3	10,3					3			
RA	3	2,0	0	0,0								
UL	6	4,1	2	6,9					2			
MC I	2	1,4	0	0,0								
MC II	2	1,4	0	0,0								
MC III	3	2,0	0	0,0								
MC IV	2	1,4	0	0,0								
MC V	7	4,8	0	0,0								
CAR	4	2,7	0	0,0								
PEL	2	1,4	1	3,4					1			
FE	1	0,7	0	0,0								
RO	0	0,0	0	0,0								
TI	1	0,7	1	3,4						1		
CAL	2	1,4	0	0,0								
TA	3	2,0	0	0,0								
MT II	3	2,0	1	3,4					1			
MT III	2	1,4	0	0,0								
MT IV	3	2,0	0	0,0								
MT V	2	1,4	0	0,0								
TAR	4	2,7	0	0,0								
MP	2	1,4	0	0,0								
FA1	14	9,5	0	0,0								
FA2	8	5,4	0	0,0								
FA3	6	4,1	0	0,0								
SES	0	0,0	0	0,0								
<b>total</b>	<b>147</b>	<b>100,0</b>	<b>29</b>	<b>100,0</b>	<b>3</b>	<b>0</b>	<b>0</b>	<b>0</b>	<b>25</b>	<b>1</b>	<b>0</b>	<b>0</b>



Tabla A5.38. NR de *Canis familiaris* recuperados en PDM, LM y BAR Bastida 2, ordenados por ámbito

CAFA	Fase 2		PDM					LM	BAR		
	NR	%	H26	H34	H35	H83	I2	H64	C0:C10	C0: C13	C0: C15
MD	3	10,0			2	1					
Dientes MD	1	3,3			1						
MX	4	13,3			1	2	1				
Dientes MX	1	3,3	1								
FRO	1	3,3					1				
OCC	0	0,0									
COC	0	0,0									
OI	0	0,0									
PAR	0	0,0									
TEM	0	0,0									
ZY	1	3,3					1				
BT	0	0,0									
CST	4	13,3			1	2		1			
AT	0	0,0									
AX	1	3,3					1				
VCER	0	0,0									
VLU	0	0,0									
VTO	0	0,0									
VCA	0	0,0									
SA	0	0,0									
Hueso peneano	0	0,0									
E	1	3,3						1			
HU	1	3,3	1								
RA	0	0,0									
UL	0	0,0									
MC I	0	0,0									
MC II	0	0,0									
MC III	0	0,0									
MC IV	0	0,0									
MC V	2	6,7			1	1					
CAR	0	0,0									
PEL	1	3,3			1						
FE	0	0,0									
RO	0	0,0									
TI	1	3,3					1				
CAL	0	0,0									
TA	1	3,3			1						
MT II	0	0,0									
MT III	0	0,0									
MT IV	0	0,0									
MT V	0	0,0									
TAR	0	0,0									
MP	0	0,0									
FA1	2	6,7							2		
FA2	1	3,3							1		
FA3	4	13,3							4		
SES	0	0,0									
<b>total</b>	<b>30</b>	<b>100,0</b>	<b>2,0</b>	<b>0,0</b>	<b>8,0</b>	<b>6,0</b>	<b>5,0</b>	<b>2,0</b>	<b>7,0</b>	<b>0,0</b>	<b>0,0</b>

Tabla A5.39. NR de *Canis familiaris* recuperados en PDM y CIMA Bastida 3a, ordenados por ámbito

CAFA	3a											
	Fase 3		PDM								CIMA	
	NR	%	H2-C3	H7	H19	H20	H21	H41	H52	I1-C3	E16-SC2A2	H62
MD	3	3,2			1							
Dientes MD	2	2,1							2			
MX	0	0,0										
Dientes MX	1	1,1										
FRO	0	0,0										
OCC	0	0,0										
COC	0	0,0										
OI	0	0,0										
PAR	0	0,0										
TEM	1	1,1										
ZY	0	0,0										
BT	1	1,1										
CST	6	6,3		1					1			
AT	1	1,1										
AX	1	1,1										
VCER	1	1,1										
VLU	0	0,0										
VTO	0	0,0										
VCA	2	2,1							2			
SA	0	0,0										
Hueso peneano	1	1,1									1	
E	0	0,0										
HU	3	3,2					1					
RA	3	3,2		1								
UL	4	4,2	1	1								
MC I	2	2,1		2								
MC II	2	2,1		2								
MC III	3	3,2		2								
MC IV	2	2,1		2								
MC V	5	5,3		3								
CAR	4	4,2		4								
PEL	0	0,0										
FE	1	1,1		1								
RO	0	0,0										
TI	6	6,3		1			1					
CAL	2	2,1		1								
TA	2	2,1		1								
MT II	2	2,1		2								
MT III	2	2,1		2								
MT IV	3	3,2		2								
MT V	2	2,1		2								
TAR	4	4,2		4								
MP	2	2,1							1			
FA1	12	12,6		11								
FA2	7	7,4		6								
FA3	2	2,1		2								
SES	0	0,0										
<b>total</b>	<b>95</b>	<b>100,0</b>	<b>1,0</b>	<b>45,0</b>	<b>1,0</b>	<b>0,0</b>	<b>2,0</b>	<b>0,0</b>	<b>6,0</b>	<b>0,0</b>	<b>1,0</b>	<b>0,0</b>

Tabla A5.40. NR de *Canis familiaris* recuperados en PDM, LM y CIMA Bastida 3b y 3, ordenados por ámbito

CAFA	3b														3	
	PDM										LM		CIMA		PDM	
	H2-C1	H2-C2	H3	H5	H8	H11	H18	H37	I1-C1	I1-C2	H53	H54	E16-SC2A1	H61	H1	H4
MD								1				1				
Dientes MD																
MX																
Dientes MX																1
FRO																
OCC																
COC																
OI																
PAR																
TEM									1							
ZY																
BT				1												
CST		2	2													
AT												1				
AX									1							
VCER				1												
VLU																
VTO																
VCA																
SA																
Hueso peneano																
E																
HU		2														
RA		1											1			
UL	1	1														
MC I																
MC II																
MC III				1												
MC IV																
MC V			2													
CAR																
PEL																
FE																
RO																
TI	1	2											1			
CAL		1														
TA		1														
MT II																
MT III																
MT IV					1											
MT V																
TAR																
MP			1													
FA1								1								
FA2			1													
FA3																
SES																
<b>total</b>	2,0	10,0	6,0	3,0	1,0	0,0	0,0	2,0	2,0	0,0	0,0	3,0	1,0	0,0	0,0	1,0

Tabla A5.41. Localización de las trazas en especies domésticas de Gatas

GATAS	BOTA			EQCA			OVCA sp			OVAR			CAHI			SUDO			CAFA		
	NR	NRTTr	%	NR	NRTTr	%	NR	NRTTr	%	NR	NRTTr	%	NR	NRTTr	%	NR	NRTTr	%	NR	NRTTr	%
CUE	3	0	0	0	0	0	10	1	2	0	0	0	6	1	4	—	—	—	—	—	—
CR	9	1	8	0	0	0	23	1	2	1	0	0	1	0	0	16	3	10	2	1	13
MX	4	1	8	0	0	0	2	0	0	0	0	0	0	0	0	3	0	0	3	0	0
MD	6	0	0	0	0	0	40	1	2	6	0	0	1	0	0	17	1	3	6	0	0
AT	0	0	0	0	0	0	8	0	0	1	0	0	0	0	0	7	3	10	1	1	13
AX	1	0	0	0	0	0	4	0	0	0	0	0	0	0	0	1	0	0	0	0	0
VCE	5	0	0	0	0	0	27	3	5	0	0	0	0	0	0	7	1	3	1	0	0
VTO	3	1	8	0	0	0	35	5	9	0	0	0	0	0	0	3	2	7	0	0	0
VLU	4	2	15	0	0	0	29	5	9	0	0	0	0	0	0	10	3	10	1	0	0
VCA	2	0	0	0	0	0	1	0	0	0	0	0	0	0	0	0	0	0	0	0	0
SA	0	0	0	0	0	0	4	0	0	0	0	0	0	0	0	1	1	3	0	0	0
CST	20	0	0	0	0	0	24	1	2	0	0	0	0	0	0	11	5	17	1	0	0
EST	0	0	0	0	0	0	2	0	0	1	0	0	0	0	0	0	0	0	0	0	0
E	1	0	0	0	0	0	36	4	7	2	0	0	2	0	0	8	1	3	1	0	0
HU P	4	0	0	0	0	0	5	3	5	0	0	0	1	0	0	1	1	3	0	0	0
HU M	4	0	0	0	0	0	73	2	4	3	0	0	1	1	4	15	0	0	1	0	0
HU D	5	0	0	0	0	0	13	2	4	10	4	21	10	3	12	1	0	0	3	1	13
R P	7	1	8	0	0	0	6	3	5	6	4	21	3	2	8	3	2	7	1	0	0
R M	3	1	8	0	0	0	111	4	7	5	0	0	3	0	0	5	0	0	0	0	0
R D	2	0	0	0	0	0	3	0	0	3	0	0	2	0	0	0	0	0	1	1	13
UL P	4	0	0	0	0	0	4	0	0	1	0	0	3	1	4	1	0	0	1	0	0
UL M	1	0	0	0	0	0	25	0	0	2	1	5	1	1	4	4	0	0	1	0	0
UL D	1	0	0	0	0	0	0	0	0	0	0	0	1	0	0	1	0	0	0	0	0
PEL	7	1	8	0	0	0	43	3	5	3	0	0	3	1	4	6	0	0	3	0	0
FE P	4	0	0	0	0	0	6	1	2	2	2	11	6	4	16	2	0	0	1	1	13
FE M	8	0	0	0	0	0	40	1	2	0	0	0	0	0	0	15	0	0	0	0	0
FE D	2	1	8	0	0	0	6	1	2	1	0	0	2	0	0	1	1	3	0	0	0
RO	1	0	0	0	0	0	0	0	0	1	1	5	0	0	0	0	0	0	0	0	0
TI P	7	1	8	0	0	0	10	2	4	3	2	11	5	3	12	0	1	3	3	2	25
TI M	2	0	0	1	0	0	135	4	7	3	0	0	4	0	0	16	1	3	1	0	0
TI D	3	0	0	0	0	0	5	2	4	11	0	0	8	2	8	3	0	0	1	0	0
FI	0	0	0	0	0	0	0	0	0	0	0	0	0	0	0	6	1	3	0	0	0
CAR	4	0	0	0	0	0	1	0	0	1	0	0	1	0	0	0	0	0	0	0	0
MC P	4	0	0	0	0	0	7	1	2	3	0	0	3	1	4	6	0	0	4	0	0
MC M	1	0	0	0	0	0	28	0	0	1	0	0	0	0	0	4	0	0	0	0	0
MC D	1	0	0	0	0	0	0	1	2	1	1	5	1	1	4	2	0	0	0	0	0
CENTQ	0	0	0	0	0	0	3	0	0	0	0	0	0	0	0	0	0	0	0	0	0
CAL	3	0	0	0	0	0	13	0	0	10	2	11	12	1	4	12	2	7	1	0	0
TA	3	1	8	0	0	0	3	0	0	14	1	5	12	2	8	7	0	0	2	1	13
MT P	5	0	0	0	0	0	8	2	4	4	1	5	1	0	0	1	0	0	0	0	0
MT M	7	1	8	0	0	0	41	2	4	0	0	0	0	0	0	3	0	0	0	0	0
MT D	5	0	0	0	0	0	2	0	0	0	0	0	1	0	0	0	0	0	0	0	0
MP	13	0	0	0	0	0	44	1	2	2	0	0	0	0	0	4	0	0	2	0	0
FA1	12	0	0	0	0	0	15	0	0	20	0	0	21	1	4	6	1	3	1	0	0
FA2	9	1	8	0	0	0	2	0	0	9	0	0	12	0	0	6	0	0	0	0	0
FA3	5	0	0	0	0	0	5	0	0	2	0	0	7	0	0	2	0	0	0	0	0
<b>TOTAL</b>	<b>195</b>	<b>13</b>	<b>100</b>	<b>1</b>	<b>0</b>	<b>0</b>	<b>902</b>	<b>56</b>	<b>100</b>	<b>132</b>	<b>19</b>	<b>100</b>	<b>134</b>	<b>25</b>	<b>100</b>	<b>217</b>	<b>30</b>	<b>100</b>	<b>43</b>	<b>8</b>	<b>100</b>

Tabla A5.42. Localización de las trazas en especies salvajes de Gatas

GATAS	CEEL			CPPY			SUCR			LYPA			VUVU			ORCU			LECA		
	NR	NRTr	%	NR	NRTr	%	NR	NRTr	%	NR	NRTr	%	NR	NRTr	%	NR	NRTr	%	NR	NRTr	%
CUE	10	0	0	0	0	0	-	-	-	-	-	-	-	-	-	-	-	-	-	-	-
CR	0	0	0	0	0	0	0	0	0	0	0	0	1	1	33	22	0	0	0	0	0
MX	0	0	0	0	0	0	0	0	0	0	0	0	0	0	0	27	0	0	0	0	0
MD	3	1	5	0	0	0	2	0	0	0	0	0	1	0	0	105	11	16	0	0	0
AT	0	0	0	0	0	0	1	1	33	0	0	0	0	0	0	2	0	0	0	0	0
AX	1	0	0	0	0	0	1	0	0	0	0	0	0	0	0	0	0	0	0	0	0
VCE	1	0	0	0	0	0	0	0	0	0	0	0	0	0	0	1	0	0	0	0	0
VTO	2	1	5	1	1	33	0	0	0	0	0	0	0	0	0	2	0	0	0	0	0
VLU	3	1	5	0	0	0	0	0	0	0	0	0	0	0	0	8	0	0	0	0	0
VCA	0	0	0	0	0	0	0	0	0	0	0	0	1	0	0	0	0	0	0	0	0
SA	0	0	0	0	0	0	1	0	0	0	0	0	0	0	0	3	0	0	0	0	0
CST	1	0	0	0	0	0	0	0	0	0	0	0	0	0	0	18	1	1	0	0	0
EST	0	0	0	0	0	0	0	0	0	0	0	0	0	0	0	0	0	0	0	0	0
E	10	7	33	1	0	0	0	0	0	0	0	0	1	0	0	43	0	0	1	0	0
HU P	0	0	0	0	0	0	1	0	0	0	0	0	0	0	0	7	1	1	0	0	0
HU M	10	0	0	0	0	0	0	1	33	0	0	0	0	0	0	10	1	1	0	0	0
HU D	1	2	10	0	0	0	0	0	0	0	0	0	1	1	33	25	1	1	1	0	0
R P	1	1	5	0	0	0	0	0	0	0	0	0	1	0	0	19	3	4	0	0	0
R M	5	0	0	1	0	0	0	0	0	0	0	0	0	0	0	8	2	3	0	0	0
R D	0	0	0	3	0	0	0	0	0	0	0	0	0	0	0	4	0	0	0	0	0
UL P	0	0	0	1	1	33	0	0	0	1	1	100	0	0	0	20	1	1	0	0	0
UL M	1	0	0	1	0	0	0	0	0	0	0	0	0	0	0	14	3	4	0	0	0
UL D	0	0	0	0	0	0	0	0	0	0	0	0	1	1	33	1	0	0	1	0	0
PEL	3	0	0	1	1	33	0	0	0	0	0	0	1	0	0	126	7	10	7	0	0
FE P	0	1	5	0	0	0	0	0	0	0	0	0	0	0	0	23	6	9	1	0	0
FE M	2	0	0	1	0	0	0	0	0	0	0	0	0	0	0	28	2	3	0	0	0
FE D	1	0	0	1	0	0	0	0	0	0	0	0	0	0	0	16	2	3	0	0	0
RO	0	0	0	0	0	0	0	0	0	0	0	0	0	0	0	0	0	0	0	0	0
TI P	2	1	5	0	0	0	0	0	0	0	0	0	0	0	0	26	9	13	0	0	0
TI M	28	1	5	0	0	0	0	0	0	0	0	0	0	0	0	47	11	16	0	0	0
TI D	5	1	5	0	0	0	0	0	0	1	0	0	0	0	0	25	7	10	0	0	0
FI	0	0	0	0	0	0	0	0	0	0	0	0	0	0	0	0	0	0	0	0	0
CAR	5	0	0	0	0	0	0	0	0	0	0	0	0	0	0	0	0	0	0	0	0
MC P	0	0	0	0	0	0	0	0	0	0	0	0	0	0	0	0	0	0	0	0	0
MC M	0	1	5	0	0	0	0	0	0	0	0	0	0	0	0	0	0	0	0	0	0
MC D	3	0	0	1	0	0	0	0	0	0	0	0	0	0	0	0	0	0	0	0	0
CENTQ	2	1	5	0	0	0	0	0	0	0	0	0	0	0	0	0	0	0	0	0	0
CAL	5	0	0	0	0	0	0	0	0	0	0	0	0	0	0	24	1	1	0	0	0
TA	4	0	0	0	0	0	1	1	33	0	0	0	0	0	0	3	0	0	0	0	0
MT P	4	0	0	0	0	0	0	0	0	0	0	0	0	0	0	8	0	0	0	0	0
MT M	14	0	0	0	0	0	0	0	0	0	0	0	0	0	0	1	0	0	0	0	0
MT D	0	0	0	0	0	0	0	0	0	0	0	0	0	0	0	2	0	0	0	0	0
MP	6	0	0	4	0	0	0	0	0	0	0	0	0	0	0	5	0	0	0	0	0
FA1	9	1	5	7	0	0	0	0	0	0	0	0	0	0	0	7	0	0	0	0	0
FA2	7	1	5	0	0	0	1	0	0	0	0	0	0	0	0	0	0	0	0	0	0
FA3	9	0	0	0	0	0	1	0	0	0	0	0	0	0	0	0	0	0	0	0	0
TOTAL	158	21	100	23	3	100	9	3	100	2	1	100	8	3	100	680	69	100	11	0	0

FASE	SEC	SC	MD			CST			HU			R			UL			PEL			FE			T			CAL		
			NRTTr	Str1	Str2	NRTTr	Str1	Str2	NRTTr	Str1	Str2	NRTTr	Str1	Str2	NRTTr	Str1	Str2	NRTTr	Str1	Str2	NRTTr	Str1	Str2	NRTTr	Str1	Str2	NRTTr	Str1	Str2
I	MS	19/17A2	2	9	16	-	-	-	1	5	12	1	4	10	1	8	13	-	-	-	2	12	20	2	18	38	-	-	-
		19/18A1	-	-	-	-	-	-	-	-	-	-	-	-	-	-	-	-	-	-	-	-	2	4	38	-	-	-	
	LM II	116A1	-	-	-	-	-	-	-	-	-	-	-	-	-	-	-	1	1	6	1	0	4	2	1	1	-	-	-
		216A1	1	2	2	-	-	-	1	4	7	-	-	-	-	-	-	-	-	-	-	-	-	-	-	-	1	2	2
II	MS	15/1A1	-	-	-	-	-	-	-	-	-	-	-	-	-	-	-	-	-	-	-	-	1	0	11	-	-	-	
		19/7A1	1	0	6	-	-	-	-	-	-	-	-	-	-	-	-	-	-	-	-	-	-	-	-	-	-	-	
		19/7A3	-	-	-	-	-	-	-	-	-	-	-	-	-	-	-	-	-	-	1	2	12	-	-	-	-	-	
		19/7A5	1	0	6	-	-	-	-	-	-	-	-	-	-	-	-	-	-	-	-	-	-	-	-	-	-		
	LM II	114A1	1	1	9	-	-	-	-	-	-	-	-	-	-	-	-	-	-	-	-	-	1	0	17	-	-	-	
		114A2	-	-	-	-	-	-	-	-	-	-	-	-	-	-	-	-	-	-	2	2	11	1	3	17	-	-	
		115A4	-	-	-	1	0	0	-	-	-	1	2	3	-	-	-	-	-	-	-	-	-	-	-	-	-		
		307A1	-	-	-	-	-	-	-	-	-	-	-	-	-	-	1	0	11	-	-	-	-	-	-	-	-		
		314A1	1	1	9	-	-	-	-	-	-	-	-	-	-	-	1	1	11	-	-	-	-	-	-	-	-		
		314A2	-	-	-	-	-	-	-	-	-	-	-	-	-	-	1	0	11	1	2	11	-	-	-	-	-		
III	LM II	213A3	-	-	-	-	-	-	-	-	-	-	-	-	-	-	-	-	-	-	-	-	1	1	4	-	-		
		215B2	-	-	-	-	-	-	1	1	3	-	-	-	-	-	1	0	3	-	-	-	-	-	-	-	-		
IV	LM II	208A1	-	-	-	-	-	-	-	-	-	-	-	-	-	-	-	-	-	1	1	21	-	-	-	-	-		
		211A1	-	-	-	-	-	-	-	-	1	1	3	1	2	15	1	1	32	1	2	21	1	3	40	-	-		
		212A1	-	-	-	-	-	-	-	-	1	1	3	-	-	-	1	0	32	1	3	21	1	3	40	-	-		
		306A1	3	13	29	-	-	-	-	-	1	0	3	1	4	15	-	-	-	-	-	-	8	14	40	-	-		
		309A1	-	-	-	-	-	-	-	-	-	-	-	-	-	-	-	-	-	-	-	-	1	0	40	-	-		
		311A1	-	-	-	-	-	-	-	-	-	-	-	-	-	-	-	-	-	-	-	-	1	8	40	-	-		
		312A1	1	3	29	-	-	-	-	-	-	-	-	-	-	1	5	15	-	-	-	-	4	4	40	-	-		
Total			11	29	-	1	0	-	3	10	-	5	8	-	4	19	-	7	3	-	10	24	-	26	59	-	1	2	

Tabla A5.43. NR con trazas en huesos de *Oryctolagus cuniculus*, NR sin trazas en el mismo subconjunto (Str1) y NR sin trazas en el mismo sector y fase de ocupación (Str2)

Tabla A5.44. Localización de las termoalteraciones en especies domésticas de Gatas

GATAS	BOTA			EQCA			OVCA sp			OVAR			CAHI			SUDO			CAFA		
	NR	NRTer	%	NR	NRTer	%	NR	NRTer	%	NR	NRTer	%	NR	NRTer	%	NR	NRTer	%	NR	NRTer	%
CUE	3	0	0	0	0	0	10	5	2	0	0	0	6	1	4	—	—	—	—	—	—
CR	9	2	3	0	0	0	23	5	2	1	0	0	1	0	0	16	1	2	2	0	0
MX	4	4	7	0	0	0	2	1	0	0	0	0	0	0	0	3	2	3	3	0	0
MD	6	6	10	0	0	0	40	10	5	6	1	6	1	1	4	17	6	10	6	3	27
AT	0	0	0	0	0	0	8	0	0	1	1	6	0	0	0	7	3	5	1	0	0
AX	1	1	2	0	0	0	4	1	0	0	0	0	0	0	0	1	0	0	0	0	0
VCE	5	2	3	0	0	0	27	3	1	0	0	0	0	0	0	7	1	2	1	0	0
VTO	3	1	2	0	0	0	35	3	1	0	0	0	0	0	0	3	2	3	0	0	0
VLU	4	1	2	0	0	0	29	2	1	0	0	0	0	0	0	10	0	0	1	0	0
VCA	2	0	0	0	0	0	1	0	0	0	0	0	0	0	0	0	0	0	0	0	0
SA	0	0	0	0	0	0	4	0	0	0	0	0	0	0	0	1	0	0	0	0	0
CST	20	3	5	0	0	0	24	3	1	0	0	0	0	0	0	11	2	3	1	0	0
EST	0	0	0	0	0	0	2	0	0	1	0	0	0	0	0	0	0	0	0	0	0
E	1	1	2	0	0	0	36	14	7	2	1	6	2	1	4	8	1	2	1	0	0
HU P	4	2	3	0	0	0	5	0	0	0	0	0	1	1	4	1	0	0	0	0	0
HU M	4	2	3	0	0	0	73	19	9	3	0	0	1	0	0	15	10	16	1	0	0
HU D	5	0	0	0	0	0	13	4	2	10	3	18	10	2	7	1	1	2	3	2	18
R P	7	0	0	0	0	0	6	2	1	6	1	6	3	1	4	3	2	3	1	0	0
R M	3	1	2	0	0	0	111	29	14	5	0	0	3	1	4	5	1	2	0	0	0
R D	2	1	2	0	0	0	3	1	0	3	1	6	2	0	0	0	0	0	1	0	0
UL P	4	0	0	0	0	0	4	1	0	1	1	6	3	0	0	1	1	2	1	0	0
UL M	1	1	2	0	0	0	25	7	3	2	0	0	1	0	0	4	1	2	1	0	0
UL D	1	0	0	0	0	0	0	0	0	0	0	0	1	0	0	1	0	0	0	0	0
PEL	7	3	5	0	0	0	43	6	3	3	0	0	3	0	0	6	1	2	3	1	9
FE P	4	0	0	0	0	0	6	0	0	2	1	6	6	0	0	2	0	0	1	0	0
FE M	8	1	2	0	0	0	40	9	4	0	0	0	0	0	0	15	6	10	0	0	0
FE D	2	4	7	0	0	0	6	1	0	1	0	0	2	0	0	1	1	2	0	0	0
RO	1	0	0	0	0	0	0	0	0	1	0	0	0	0	0	0	0	0	0	0	0
TI P	7	1	2	0	0	0	10	5	2	3	0	0	5	4	14	0	1	2	3	1	9
TI M	2	0	0	1	0	0	135	33	16	3	0	0	4	0	0	16	1	2	1	1	9
TI D	3	1	2	0	0	0	5	0	0	11	1	6	8	2	7	3	3	5	1	0	0
FI	0	0	0	0	0	0	0	0	0	0	0	0	0	0	0	6	2	3	0	0	0
CAR	4	0	0	0	0	0	1	0	0	1	0	0	1	0	0	0	0	0	0	0	0
MC P	4	1	2	0	0	0	7	4	2	3	1	6	3	0	0	6	1	2	4	1	9
MC M	1	0	0	0	0	0	28	10	5	1	0	0	0	0	0	4	0	0	0	0	0
MC D	1	0	0	0	0	0	0	0	0	1	1	6	1	0	0	2	1	2	0	0	0
CENTQ	0	0	0	0	0	0	3	0	0	0	0	0	0	0	0	0	0	0	0	0	0
CAL	3	1	2	0	0	0	13	3	1	10	0	0	12	3	11	12	5	8	1	0	0
TA	3	1	2	0	0	0	3	0	0	14	2	12	12	3	11	7	1	2	2	2	18
MT P	5	2	3	0	0	0	8	2	1	4	0	0	1	1	4	1	0	0	0	0	0
MT M	7	7	12	0	0	0	41	15	7	0	0	0	0	0	0	3	0	0	0	0	0
MT D	5	2	3	0	0	0	2	0	0	0	0	0	1	0	0	0	0	0	0	0	0
MP	13	2	3	0	0	0	44	8	4	2	1	6	0	0	0	4	1	2	2	0	0
FA1	12	0	0	0	0	0	15	3	1	20	1	6	21	3	11	6	2	3	1	0	0
FA2	9	2	3	0	0	0	2	0	0	9	0	0	12	1	4	6	1	2	0	0	0
FA3	5	2	3	0	0	0	5	1	0	2	0	0	7	3	11	2	0	0	0	0	0
TOTAL	195	58	100	1	0	0	902	210	100	132	17	100	134	28	100	217	61	100	43	11	100

Tabla A5.45. Localización de las termoalteraciones en especies salvajes de Gatas

GATAS	CEEL			CPPY			SUCR			LYPA			VUVU			ORCU			LECA		
	NR	NRTer	%	NR	NRTer	%	NR	NRTer	%	NR	NRTer	%	NR	NRTer	%	NR	NRTer	%	NR	NRTer	%
CUE	10	5	9	0	0	0	—	—	—	—	—	—	—	—	—	—	—	—	—	—	—
CR	0	0	0	0	0	0	0	0	0	0	0	0	1	0	0	22	2	2	0	0	0
MX	0	1	2	0	0	0	0	0	0	0	0	0	0	0	27	3	2	0	0	0	
MD	3	1	2	0	0	0	2	1	50	0	0	0	1	0	0	105	8	6	0	0	0
AT	0	0	0	0	0	0	1	0	0	0	0	0	0	0	2	0	0	0	0	0	
AX	1	1	2	0	0	0	1	1	50	0	0	0	0	0	0	0	0	0	0	0	
VCE	1	0	0	0	0	0	0	0	0	0	0	0	0	0	1	0	0	0	0	0	
VTO	2	0	0	1	0	0	0	0	0	0	0	0	0	0	2	0	0	0	0	0	
VLU	3	0	0	0	0	0	0	0	0	0	0	0	0	0	8	0	0	0	0	0	
VCA	0	0	0	0	0	0	0	0	0	0	0	0	1	0	0	0	0	0	0	0	
SA	0	0	0	0	0	0	1	0	0	0	0	0	0	0	3	0	0	0	0	0	
CST	1	0	0	0	0	0	0	0	0	0	0	0	0	0	18	0	0	0	0	0	
EST	0	0	0	0	0	0	0	0	0	0	0	0	0	0	0	0	0	0	0	0	
E	10	9	16	1	0	0	0	0	0	0	0	0	1	1	50	43	4	3	1	1	50
HU P	0	0	0	0	0	0	1	0	0	0	0	0	0	0	7	2	2	0	0	0	
HU M	10	5	9	0	0	0	0	0	0	0	0	0	0	0	10	1	1	0	0	0	
HU D	1	1	2	0	0	0	0	0	0	0	0	0	1	0	25	4	3	1	0	0	
R P	1	0	0	0	0	0	0	0	0	0	0	0	1	1	50	19	6	5	0	0	0
R M	5	1	2	1	0	0	0	0	0	0	0	0	0	0	8	2	2	0	0	0	
R D	0	0	0	3	0	0	0	0	0	0	0	0	0	0	4	2	2	0	0	0	
UL P	0	0	0	1	0	0	0	0	0	1	0	0	0	0	20	3	2	0	0	0	
UL M	1	0	0	1	0	0	0	0	0	0	0	0	0	0	14	2	2	0	0	0	
UL D	0	0	0	0	0	0	0	0	0	0	0	0	1	0	1	0	0	1	0	0	
PEL	3	0	0	1	0	0	0	0	0	0	0	0	1	0	126	20	16	7	1	50	
FE P	0	0	0	0	0	0	0	0	0	0	0	0	0	0	23	7	6	1	0	0	
FE M	2	0	0	1	0	0	0	0	0	0	0	0	0	0	28	10	8	0	0	0	
FE D	1	1	2	1	0	0	0	0	0	0	0	0	0	0	16	0	0	0	0	0	
RO	0	0	0	0	0	0	0	0	0	0	0	0	0	0	0	0	0	0	0	0	
TI P	2	2	3	0	0	0	0	0	0	0	0	0	0	0	26	9	7	0	0	0	
TI M	28	7	12	0	0	0	0	0	0	0	0	0	0	0	47	16	13	0	0	0	
TI D	5	4	7	0	0	0	0	0	0	1	0	0	0	0	25	7	6	0	0	0	
FI	0	0	0	0	0	0	0	0	0	0	0	0	0	0	0	0	0	0	0	0	
CAR	5	1	2	0	0	0	0	0	0	0	0	0	0	0	0	0	0	0	0	0	
MC P	0	0	0	0	0	0	0	0	0	0	0	0	0	0	0	0	0	0	0	0	
MC M	0	0	0	0	0	0	0	0	0	0	0	0	0	0	0	0	0	0	0	0	
MC D	3	1	2	1	0	0	0	0	0	0	0	0	0	0	0	0	0	0	0	0	
CENTQ	2	1	2	0	0	0	0	0	0	0	0	0	0	0	0	0	0	0	0	0	
CAL	5	1	2	0	0	0	0	0	0	0	0	0	0	0	24	7	6	0	0	0	
TA	4	2	3	0	0	0	1	0	0	0	0	0	0	0	3	0	0	0	0	0	
MT P	4	0	0	0	0	0	0	0	0	0	0	0	0	0	8	6	5	0	0	0	
MT M	14	3	5	0	0	0	0	0	0	0	0	0	0	0	1	0	0	0	0	0	
MT D	0	0	0	0	0	0	0	0	0	0	0	0	0	0	2	1	1	0	0	0	
MP	6	3	5	4	2	100	0	0	0	0	0	0	0	0	5	1	1	0	0	0	
FA1	9	2	3	7	0	0	0	0	0	0	0	0	0	0	7	1	1	0	0	0	
FA2	7	2	3	0	0	0	1	0	0	0	0	0	0	0	0	0	0	0	0	0	
FA3	9	4	7	0	0	0	1	0	0	0	0	0	0	0	0	0	0	0	0	0	
TOTAL	158	58	100	23	2	100	9	2	100	2	0	0	8	2	100	680	124	100	11	2	100



Tabla A5.46. Localización de las trazas en especies domésticas de La Bastida

	BOTA			EQCA			OVCA tt			OVAR			CAHI			SUDO			CAFA		
	NR	NRTr	%	NR	NRTr	%	NR	NRTr	%	NR	NRTr	%	NR	NRTr	%	NR	NRTr	%	NR	NRTr	%
CUE	31	0	0	0	0	0	22	1	1	3	0	0	13	1	8	—	—	—	—	—	—
CR	30	6	11	2	1	17	56	3	2	0	0	0	1	0	0	37	1	4	5	0	0
MX	11	0	0	0	0	0	18	0	0	0	0	0	0	0	0	20	0	0	5	0	0
MD	30	3	5	1	0	0	110	5	4	30	1	6	13	1	8	34	1	4	7	1	14
AT	2	0	0	2	0	0	10	1	1	0	0	0	0	0	0	4	1	4	2	0	0
AX	2	0	0	1	0	0	11	0	0	0	0	0	0	0	0	0	0	0	2	0	0
VCE	16	2	4	3	0	0	31	0	0	0	0	0	0	0	0	10	2	9	7	1	14
VTO	6	0	0	2	0	0	73	14	10	0	0	0	0	0	0	12	3	13	1	0	0
VLU	10	2	4	0	0	0	30	8	6	0	0	0	0	0	0	1	0	0	1	0	0
VCA	4	0	0	0	0	0	9	0	0	0	0	0	0	0	0	0	0	0	3	0	0
SA	1	1	2	0	0	0	5	0	0	0	0	0	0	0	0	0	0	0	0	0	0
CST	43	9	16	0	0	0	175	16	12	0	0	0	0	0	0	22	1	4	12	2	29
EST	0	0	0	0	0	0	2	0	0	0	0	0	0	0	0	1	0	0	0	0	0
HIO	3	1	2	0	0	0	5	0	0	0	0	0	0	0	0	0	0	0	0	0	0
E	12	1	2	1	0	0	43	7	5	4	3	17	4	0	0	19	2	9	2	0	0
HU P	1	0	0	0	0	0	4	2	1	0	0	0	0	0	0	0	0	0	0	0	0
HU M	21	2	4	3	0	0	190	1	1	3	0	0	2	1	8	34	1	4	2	1	14
HU D	7	6	11	1	0	0	23	13	10	8	2	11	8	5	42	1	1	4	5	0	0
R P	8	7	13	3	0	0	24	7	5	8	3	17	6	0	0	0	0	0	1	0	0
R M	15	0	0	3	0	0	181	2	1	5	0	0	2	0	0	16	0	0	1	0	0
R D	2	0	0	2	0	0	9	2	1	2	1	6	4	0	0	1	0	0	1	1	14
UL P	0	0	0	1	1	17	12	5	4	4	0	0	5	2	17	1	1	4	2	0	0
UL M	9	0	0	0	0	0	36	0	0	0	0	0	1	0	0	10	2	9	4	0	0
UL D	0	0	0	1	0	0	0	0	0	0	0	0	0	0	0	0	0	0	2	0	0
PEL	14	1	2	6	1	17	80	8	6	4	0	0	4	0	0	8	2	9	2	0	0
FE P	1	1	2	0	0	0	14	5	4	2	1	6	2	1	8	3	0	0	1	0	0
FE M	4	0	0	2	0	0	133	7	5	0	0	0	3	0	0	22	0	0	0	0	0
FE D	4	1	2	0	0	0	8	2	1	3	2	11	2	0	0	0	0	0	0	0	0
RO	2	0	0	1	1	17	2	0	0	1	0	0	1	0	0	1	0	0	0	0	0
TI P	2	1	2	1	0	0	8	4	3	0	0	0	2	0	0	0	0	0	2	0	0
TI M	15	1	2	5	0	0	238	4	3	0	0	0	1	0	0	24	1	4	3	0	0
TI D	2	0	0	1	0	0	29	5	4	11	2	11	10	0	0	3	0	0	3	0	0
FI	0	0	0	0	0	0	0	0	0	0	0	0	0	0	0	8	0	0	0	0	0
CAR	2	0	0	0	0	0	8	0	0	1	0	0	2	0	0	3	0	0	4	0	0
MC P	10	5	9	1	0	0	28	0	0	8	0	0	6	0	0	17	0	0	10	0	0
MC M	8	0	0	0	0	0	72	1	1	1	0	0	1	0	0	4	1	4	1	0	0
MC D	5	0	0	0	0	0	12	0	0	6	0	0	2	0	0	5	0	0	5	0	0
CENTQ	3	0	0	2	0	0	6	1	1	2	1	6	2	0	0	2	1	4	4	0	0
CAL	7	1	2	3	0	0	38	1	1	9	0	0	12	0	0	7	0	0	2	0	0
TA	7	2	4	1	0	0	23	2	1	9	2	11	6	0	0	4	2	9	3	1	14
MT P	9	2	4	3	0	0	42	2	1	5	0	0	10	0	0	5	0	0	4	0	0
MT M	24	0	0	0	0	0	87	2	1	4	0	0	1	0	0	1	0	0	0	0	0
MT D	3	0	0	2	0	0	8	1	1	6	0	0	2	0	0	1	0	0	7	0	0
MP	15	0	0	2	1	17	105	2	1	1	0	0	4	0	0	3	0	0	2	0	0
FA1	32	1	2	0	0	0	67	1	1	24	0	0	23	1	8	11	0	0	14	0	0
FA2	13	0	0	3	1	17	28	0	0	10	0	0	11	0	0	7	0	0	8	0	0
FA3	9	0	0	2	0	0	15	0	0	3	0	0	9	0	0	1	0	0	6	0	0
TOTAL	455	56	100	61	6	100	2130	135	100	177	18	100	175	12	100	363	23	100	146	7	100

Tabla A5.47. Localización de las trazas en especies salvajes de La Bastida

	CEEL			CPPY			SUCR			CPCP			VUVU			ORCU			LECA		
	NR	NRTTr	%	NR	NRTTr	%	NR	NRTTr	%	NR	NRTTr	%	NR	NRTTr	%	NR	NRTTr	%	NR	NRTTr	%
CUE	87	11	33	1	0	0	—	—	—	—	—	—	—	—	—	—	—	—	—	—	—
CR	6	0	0	0	0	0	0	0	0	0	0	0	0	0	26	—	—	0	0	0	
MX	9	0	0	0	0	0	0	0	0	0	0	0	1	0	24	—	—	0	0	0	
MD	13	0	0	0	0	0	4	0	0	0	0	0	0	0	49	—	—	0	0	0	
AT	0	0	0	0	0	0	1	1	50	0	0	0	0	0	2	—	—	0	0	0	
AX	1	0	0	0	0	0	0	0	0	0	0	0	0	0	1	—	—	0	0	0	
VCE	2	0	0	0	0	0	0	0	0	0	0	0	0	0	10	—	—	0	0	0	
VTO	7	1	3	0	0	0	0	0	0	0	0	0	0	0	2	—	—	0	0	0	
VLU	7	3	9	0	0	0	0	0	0	0	0	0	0	0	25	—	—	0	0	0	
VCA	1	0	0	0	0	0	0	0	0	0	0	0	0	0	0	—	—	0	0	0	
SA	3	1	3	0	0	0	0	0	0	0	0	0	0	0	1	—	—	0	0	0	
CST	3	0	0	0	0	0	0	0	0	0	0	0	0	0	40	—	—	0	0	0	
EST	0	0	0	0	0	0	0	0	0	0	0	0	0	0	0	—	—	0	0	0	
HIO	0	0	0	0	0	0	0	0	0	0	0	0	0	0	0	—	—	0	0	0	
E	2	2	6	0	0	0	0	0	0	0	0	0	0	0	50	—	—	3	0	0	
HU P	0	0	0	0	0	0	0	0	0	0	0	0	0	0	19	—	—	1	0	0	
HU M	9	0	0	1	0	0	3	0	0	0	0	0	0	0	21	—	—	1	0	0	
HU D	1	0	0	2	1	25	0	0	0	0	0	0	0	0	63	—	—	1	0	0	
R P	2	2	6	1	0	0	0	0	0	1	0	0	1	1	100	—	—	1	0	0	
R M	15	1	3	1	0	0	0	0	0	0	0	0	0	0	16	—	—	0	0	0	
R D	1	0	0	0	0	0	0	0	0	0	0	0	0	0	4	—	—	0	0	0	
UL P	3	1	3	1	0	0	2	0	0	0	0	0	0	0	30	—	—	0	0	0	
UL M	0	0	0	0	0	0	0	0	0	0	0	0	0	0	25	—	—	0	0	0	
UL D	1	0	0	0	0	0	0	0	0	0	0	0	0	0	1	—	—	0	0	0	
PEL	4	0	0	0	0	0	2	1	50	0	0	0	0	0	116	—	—	1	0	0	
FE P	1	0	0	0	0	0	0	0	0	0	0	0	0	0	82	—	—	1	1	100	
FE M	15	0	0	1	0	0	0	0	0	0	0	0	0	0	84	—	—	0	0	0	
FE D	3	0	0	0	0	0	0	0	0	0	0	0	0	0	30	—	—	2	0	0	
RO	0	0	0	0	0	0	0	0	0	0	0	0	0	0	0	—	—	0	0	0	
TI P	1	0	0	1	0	0	1	0	0	1	1	100	0	0	49	—	—	0	0	0	
TI M	17	1	3	2	0	0	0	0	0	0	0	0	0	0	90	—	—	2	0	0	
TI D	5	0	0	2	1	25	0	0	0	1	0	0	0	0	9	—	—	1	0	0	
FI	0	0	0	0	0	0	0	0	0	0	0	0	0	0	0	—	—	0	0	0	
CAR	1	1	3	0	0	0	0	0	0	0	0	0	0	0	0	—	—	0	0	0	
MCP	4	0	0	0	0	0	0	0	0	0	0	0	0	0	7	—	—	1	0	0	
MCM	3	0	0	0	0	0	0	0	0	0	0	0	0	0	0	—	—	0	0	0	
MCD	3	1	3	0	0	0	0	0	0	1	0	0	0	0	7	—	—	0	0	0	
CENTQ	5	1	3	0	0	0	0	0	0	0	0	0	0	0	0	—	—	0	0	0	
CAL	7	0	0	1	0	0	1	0	0	0	0	0	0	0	10	—	—	1	0	0	
TA	7	2	6	1	1	25	0	0	0	0	0	0	0	0	2	—	—	0	0	0	
MT P	4	0	0	2	0	0	0	0	0	0	0	0	0	0	36	—	—	1	0	0	
MT M	16	0	0	0	0	0	0	0	0	0	0	0	0	0	1	—	—	0	0	0	
MT D	2	1	3	1	0	0	0	0	0	0	0	0	0	0	20	—	—	0	0	0	
MP	5	1	3	2	0	0	0	0	0	0	0	0	0	0	8	—	—	0	0	0	
FA1	18	3	9	5	1	25	0	0	0	0	0	0	1	0	12	—	—	0	0	0	
FA2	10	0	0	0	0	0	0	0	0	0	0	0	0	0	0	—	—	0	0	0	
FA3	2	0	0	0	0	0	1	0	0	0	0	0	0	0	0	—	—	0	0	0	
TOTAL	306	33	100	25	4	100	15	2	100	4	1	100	3	1	100	1009	—	—	17	1	100

Tabla A5.48. Localización de las termoalteraciones en especies domésticas de La Bastida

	BOTA			EQCA			OVCA tt			OVAR			CAHI			SUDO			CAFA		
	NR	NRTer	%	NR	NRTer	%	NR	NRTer	%	NR	NRTer	%	NR	NRTer	%	NR	NRTer	%	NR	NRTer	%
CUE	31	0	0	0	0	0	22	0	0	3	0	0	13	0	0	—	—	—	—	—	—
CR	30	1	5	2	0	0	56	0	0	0	0	0	1	0	0	37	2	6	5	0	0
MX	11	1	5	0	0	0	18	1	1	0	0	0	0	0	0	20	1	3	5	0	0
MD	30	0	0	1	0	0	110	8	5	30	40	20	13	2	13	34	1	3	7	1	14
AT	2	0	0	2	1	17	10	1	1	0	0	0	0	0	0	4	0	0	2	0	0
AX	2	0	0	1	0	0	11	0	0	0	0	0	0	0	0	0	0	0	2	0	0
VCE	16	0	0	3	0	0	31	1	1	0	0	0	0	0	0	10	0	0	7	1	14
VTO	6	0	0	2	0	0	73	4	3	0	0	0	0	0	0	12	1	3	1	0	0
VLU	10	0	0	0	0	0	30	4	3	0	0	0	0	0	0	1	1	3	1	0	0
VCA	4	0	0	0	0	0	9	0	0	0	0	0	0	0	0	0	0	0	3	0	0
SA	1	0	0	0	0	0	5	0	0	0	0	0	0	0	0	0	0	0	0	0	0
CST	43	3	14	0	0	0	175	8	5	0	0	0	0	0	0	22	3	9	12	1	14
EST	0	0	0	0	0	0	2	0	0	0	0	0	0	0	0	1	0	0	0	0	0
HIO	3	0	0	0	0	0	5	0	0	0	0	0	0	0	0	0	0	0	0	0	0
E	12	0	0	1	0	0	43	5	3	4	2	10	4	1	6	19	1	3	2	0	0
HU P	1	0	0	0	0	0	4	0	0	0	0	0	0	0	0	0	0	0	0	0	0
HU M	21	2	9	3	0	0	190	18	12	3	0	0	2	0	0	34	4	12	2	1	14
HU D	7	1	5	1	0	0	23	6	4	8	3	15	8	2	13	1	0	0	5	2	29
R P	8	0	0	3	0	0	24	4	3	8	2	10	6	1	6	0	0	0	1	0	0
R M	15	2	9	3	0	0	181	13	9	5	0	0	2	2	13	16	1	3	1	0	0
R D	2	0	0	2	0	0	9	0	0	2	0	0	4	0	0	1	1	3	1	0	0
UL P	0	0	0	1	1	17	12	0	0	4	0	0	5	0	0	1	0	0	2	0	0
UL M	9	0	0	0	0	0	36	3	2	0	0	0	1	0	0	10	1	3	4	0	0
UL D	0	0	0	1	0	0	0	0	0	0	0	0	0	0	0	0	0	0	2	0	0
PEL	14	1	5	6	2	33	80	5	3	4	1	5	4	1	6	8	0	0	2	0	0
FE P	1	0	0	0	0	0	14	1	1	2	0	0	2	1	6	3	1	3	1	0	0
FE M	4	0	0	2	0	0	133	14	10	0	0	0	3	0	0	22	7	21	0	0	0
FE D	4	0	0	0	0	0	8	0	0	3	0	0	2	0	0	0	0	0	0	0	0
RO	2	0	0	1	0	0	2	0	0	1	0	0	1	0	0	1	0	0	0	0	0
TI P	2	0	0	1	0	0	8	0	0	0	0	0	2	0	0	0	0	0	2	0	0
TI M	15	0	0	5	0	0	238	15	10	0	0	0	1	1	6	24	3	9	3	0	0
TI D	2	0	0	1	0	0	29	1	1	11	0	0	10	1	6	3	1	3	3	1	14
FI	0	0	0	0	0	0	0	0	0	0	0	0	0	0	8	0	0	0	0	0	0
CAR	2	0	0	0	0	0	8	0	0	1	0	0	2	0	0	3	0	0	4	0	0
MC P	10	2	9	1	0	0	28	4	3	8	2	10	6	1	6	17	1	3	10	0	0
MC M	8	1	5	0	0	0	72	8	5	1	0	0	1	0	0	4	0	0	1	0	0
MC D	5	1	5	0	0	0	12	1	1	6	0	0	2	0	0	5	1	3	5	0	0
CENTQ	3	0	0	2	0	0	6	0	0	2	1	5	2	0	0	2	0	0	4	0	0
CAL	7	2	9	3	0	0	38	1	1	9	1	5	12	0	0	7	1	3	2	0	0
TA	7	0	0	1	0	0	23	1	1	9	1	5	6	0	0	4	1	3	3	0	0
MT P	9	1	5	3	0	0	42	6	4	5	2	10	10	3	19	5	0	0	4	0	0
MT M	24	3	14	0	0	0	87	5	3	4	0	0	1	0	0	1	0	0	0	0	0
MT D	3	0	0	2	0	0	8	0	0	6	0	0	2	0	0	1	0	0	7	0	0
MP	15	0	0	2	0	0	105	7	5	1	0	0	4	0	0	3	0	0	2	0	0
FA1	32	0	0	0	0	0	67	1	1	24	1	5	23	0	0	11	0	0	14	0	0
FA2	13	1	5	3	1	17	28	0	0	10	0	0	11	0	0	7	0	0	8	0	0
FA3	9	0	0	2	0	0	15	1	1	3	0	0	9	0	0	1	0	0	6	0	0
TOTAL	455	22	100	61	5	83	2130	147	100	177	20	100	175	16	100	363	33	100	146	7	100

Tabla A5.49. Localización de las termoalteraciones en especies salvajes de La Bastida

	CEEL			CPPY			SUCR			CPCP			VUVU			ORCU			LECA		
	NR	NRTer	%	NR	NRTer	%	NR	NRTer	%	NR	NRTer	%	NR	NRTer	%	NR	NRTer	%	NR	NRTer	%
CUE	87	4	33	1	0	0	—	—	—	—	—	—	—	—	—	—	—	—	0	0	0
CR	6	0	0	0	0	0	0	0	0	0	0	0	0	0	26	0	0	0	0	0	0
MX	9	0	0	0	0	0	0	0	0	0	0	0	1	0	0	24	1	2	0	0	0
MD	13	0	0	0	0	0	4	0	0	0	0	0	0	0	49	2	5	0	0	0	
AT	0	0	0	0	0	0	1	0	0	0	0	0	0	0	2	0	0	0	0	0	
AX	1	0	0	0	0	0	0	0	0	0	0	0	0	0	1	0	0	0	0	0	
VCE	2	0	0	0	0	0	0	0	0	0	0	0	0	0	10	0	0	0	0	0	
VTO	7	0	0	0	0	0	0	0	0	0	0	0	0	0	2	0	0	0	0	0	
VLU	7	0	0	0	0	0	0	0	0	0	0	0	0	0	25	0	0	0	0	0	
VCA	1	0	0	0	0	0	0	0	0	0	0	0	0	0	0	0	0	0	0	0	
SA	3	0	0	0	0	0	0	0	0	0	0	0	0	0	1	0	0	0	0	0	
CST	3	0	0	0	0	0	0	0	0	0	0	0	0	0	40	0	0	0	0	0	
EST	0	0	0	0	0	0	0	0	0	0	0	0	0	0	0	0	0	0	0	0	
HIO	0	0	0	0	0	0	0	0	0	0	0	0	0	0	0	0	0	0	0	0	
E	2	0	0	0	0	0	0	0	0	0	0	0	0	0	50	0	0	3	0	0	
HU P	0	0	0	0	0	0	0	0	0	0	0	0	0	0	19	1	2	1	0	0	
HU M	9	0	0	1	0	0	3	0	0	0	0	0	0	0	21	1	2	1	0	0	
HU D	1	0	0	2	0	0	0	0	0	0	0	0	0	0	63	6	14	1	1	100	
R P	2	0	0	1	0	0	0	0	0	1	0	0	1	0	37	0	0	1	0	0	
R M	15	2	17	1	0	0	0	0	0	0	0	0	0	0	16	0	0	0	0	0	
R D	1	0	0	0	0	0	0	0	0	0	0	0	0	0	4	0	0	0	0	0	
UL P	3	0	0	1	0	0	2	0	0	0	0	0	0	0	30	5	12	0	0	0	
UL M	0	0	0	0	0	0	0	0	0	0	0	0	0	0	25	2	5	0	0	0	
UL D	1	0	0	0	0	0	0	0	0	0	0	0	0	0	1	0	0	0	0	0	
PEL	4	0	0	0	0	0	2	0	0	0	0	0	0	0	116	5	12	1	0	0	
FE P	1	0	0	0	0	0	0	0	0	0	0	0	0	0	82	2	5	1	0	0	
FE M	15	0	0	1	1	100	0	0	0	0	0	0	0	0	84	2	5	0	0	0	
FE D	3	0	0	0	0	0	0	0	0	0	0	0	0	0	30	3	7	2	0	0	
RO	0	0	0	0	0	0	0	0	0	0	0	0	0	0	0	0	0	0	0	0	
TI P	1	0	0	1	0	0	1	0	0	1	0	0	0	0	49	4	10	0	0	0	
TI M	17	1	8	2	0	0	0	0	0	0	0	0	0	0	90	4	10	2	0	0	
TI D	5	0	0	2	0	0	0	0	0	1	0	0	0	0	9	0	0	1	0	0	
FI	0	0	0	0	0	0	0	0	0	0	0	0	0	0	0	0	0	0	0	0	
CAR	1	0	0	0	0	0	0	0	0	0	0	0	0	0	0	0	0	0	0	0	
MC P	4	0	0	0	0	0	0	0	0	0	0	0	0	0	7	0	0	1	0	0	
MC M	3	0	0	0	0	0	0	0	0	0	0	0	0	0	0	0	0	0	0	0	
MC D	3	0	0	0	0	0	0	0	0	1	0	0	0	0	7	0	0	0	0	0	
CENTQ	5	0	0	0	0	0	0	0	0	0	0	0	0	0	0	0	0	0	0	0	
CAL	7	1	8	1	0	0	1	0	0	0	0	0	0	0	10	1	2	1	0	0	
TA	7	0	0	1	0	0	0	0	0	0	0	0	0	0	2	0	0	0	0	0	
MT P	4	0	0	2	0	0	0	0	0	0	0	0	0	0	36	1	2	1	0	0	
MT M	16	2	17	0	0	0	0	0	0	0	0	0	0	0	1	0	0	0	0	0	
MT D	2	0	0	1	0	0	0	0	0	0	0	0	0	0	20	1	2	0	0	0	
MP	5	1	8	2	0	0	0	0	0	0	0	0	0	0	8	1	2	0	0	0	
FA1	18	1	8	5	0	0	0	0	0	0	0	0	1	0	12	0	0	0	0	0	
FA2	10	0	0	0	0	0	0	0	0	0	0	0	0	0	0	0	0	0	0	0	
FA3	2	0	0	0	0	0	1	0	0	0	0	0	0	0	0	0	0	0	0	0	
<b>TOTAL</b>	<b>306</b>	<b>12</b>	<b>100</b>	<b>25</b>	<b>1</b>	<b>100</b>	<b>15</b>	<b>0</b>	<b>0</b>	<b>4</b>	<b>0</b>	<b>0</b>	<b>3</b>	<b>0</b>	<b>1009</b>	<b>42</b>	<b>100</b>	<b>17</b>	<b>1</b>	<b>100</b>	



# Láminas

**Lám. 1a**

Nº inventario	368 (Gatas 17A1_Fase I)
Hueso	Calcáneo izquierdo
Especie	<i>Cervus elaphus</i>
Edad	Adulto, mayor de 29 meses (epífisis proximal fusionada)
Descripción	Exostosis localizada en la epífisis proximal y en parte de la diáfisis proximal del calcáneo. Esta patología puede ser resultado de un trauma.

**Lám. 1b**

Nº inventario	987 (Gatas 19/6A1_ Fase III-IV)
Hueso	Calcáneo derecho
Especie	<i>Cervus elaphus</i>
Edad	Adulto, mayor de 29 meses (epífisis proximal fusionada)
Descripción	Exostosis localizada en la parte medial de la diáfisis, se extiende -en menor medida- en la superficie articular de la epífisis distal y en la epífisis proximal. Una posible causa de esta patología –aunque de difícil confirmación- es un trauma. También la edad del individuo puede afectar en el desarrollo de estas deformaciones óseas y el alto grado de alteración puede ser un indicador de ello.

a



b





**Lám. 2a**

Nº inventario	BA-MAM-303 (Andúgar 2015)
Hueso	Falange 2
Especie	<i>Cervus elaphus</i>
Edad	Adulto, mayor de 20 meses (epífisis proximal fusionada)
Descripción	Exostosis localizada en la epífisis proximal, concretamente en la metadiáfisis. Otros investigadores mencionan la presencia de este tipo de crecimiento del tejido óseo en falanges de <i>Bos taurus</i> y <i>Cervus elaphus</i> encontradas en La Bastida (de Miguel <i>et alii</i> 1992: 185-207).

**Lám. 2b**

Nº inventario	BA-H4-6.84
Hueso	Falange 1
Especie	<i>Cervus elaphus</i>
Edad	Adulto, mayor de 17 meses (epífisis proximal fusionada)
Descripción	Periostosis o aposición de capas periósticas. Una posible etiología de estos síntomas puede ser un trauma.

a



b



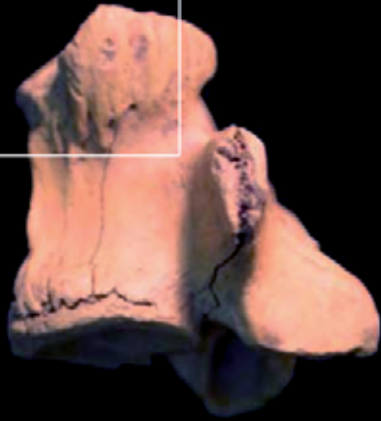
**Lám. 3a**

Nº inventario	11472 (Gatas 213A1_Fase III)
Hueso	Vértebra lumbar
Especie	<i>Cervus elaphus</i>
Edad	Subadulto, entre 35-42 meses (articulación en proceso de fusión)
Descripción	Osificación del tendón o ligamento articular. Este tipo de patología puede aparecer en animales de avanzada edad, pero en este caso, al observarse que los discos vertebrales están en proceso de fusión se trata de un individuo joven. Habría que buscar el origen de la patología en otras causas tales como un posible trauma.

**Lám. 3b**

Nº inventario	BA-I2-51.9
Hueso	Metacarpo izquierdo
Especie	<i>Cervus elaphus</i>
Edad	Adulto, mayor de 29 meses (epífisis distal fusionada)
Descripción	Exostosis en la cara medial de la articulación distal. La etiología de esta patología puede ser debida a la edad del animal. En especies domésticas como el <i>Bos taurus</i> se atribuye al empleo de esta especie en tareas de tracción, aunque en esos casos la deformación es mucho más acusada que la observada aquí.

a



b



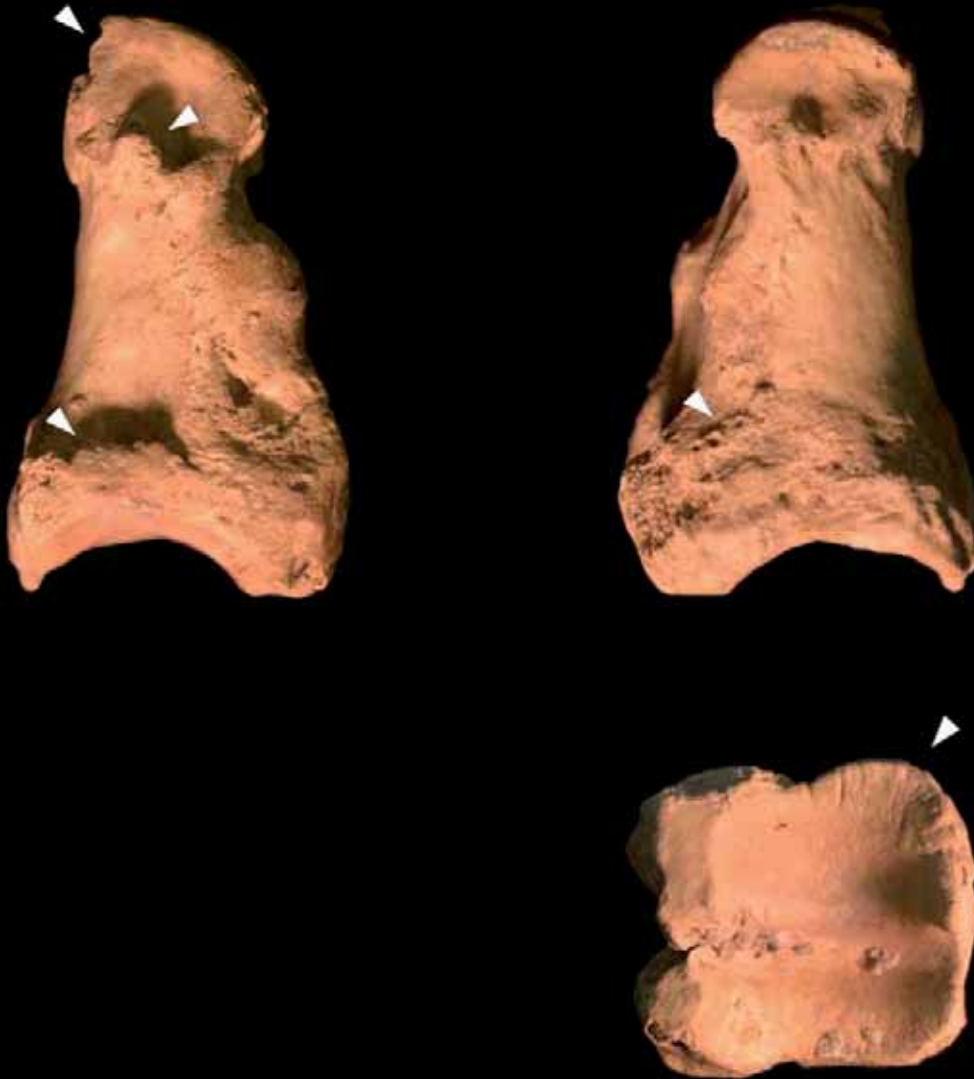
**Lám. 4a**

Nº inventario	BA-C0-222.2
Hueso	Falange 1 izquierda
Especie	<i>Bos taurus</i>
Edad	Adulto, mayor de 24 meses (epífisis proximal fusionada)
Descripción	Se observa exostosis en un estadio inicial localizada en la epífisis distal y en un estadio más avanzando en la proximal. Una posible causa que explicaría su presencia es un trauma. Esta patología, denominada osteoartritis en otras publicaciones, indica el uso de esta especie en tareas de tracción, atribuyéndose a sobreesfuerzos relacionados con esta función. De este modo, se puede confirmar el uso de <i>Bos taurus</i> como animal de tiro durante la segunda fase de ocupación de La Bastida.

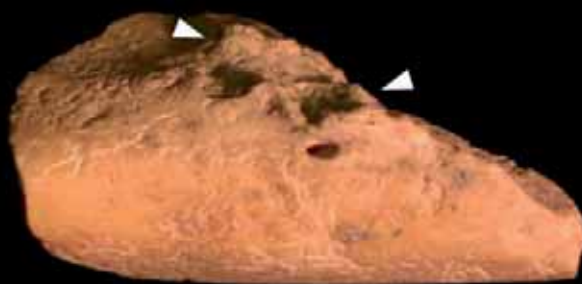
**Lám. 4b**

Nº inventario	488 (Gatas 19/17A2_fase I)
Hueso	Radio izquierdo
Especie	MGND, posiblemente <i>Bos taurus</i>
Edad	Adulto
Descripción	Exostosis en la diáfisis proximal del radio. Se desconoce la etiología de esta deformación ósea. No se ha conservado la parte del hueso que permite la identificación específica del resto y tampoco se es posible concretar la edad del individuo.

a



b



**Lám. 5a**

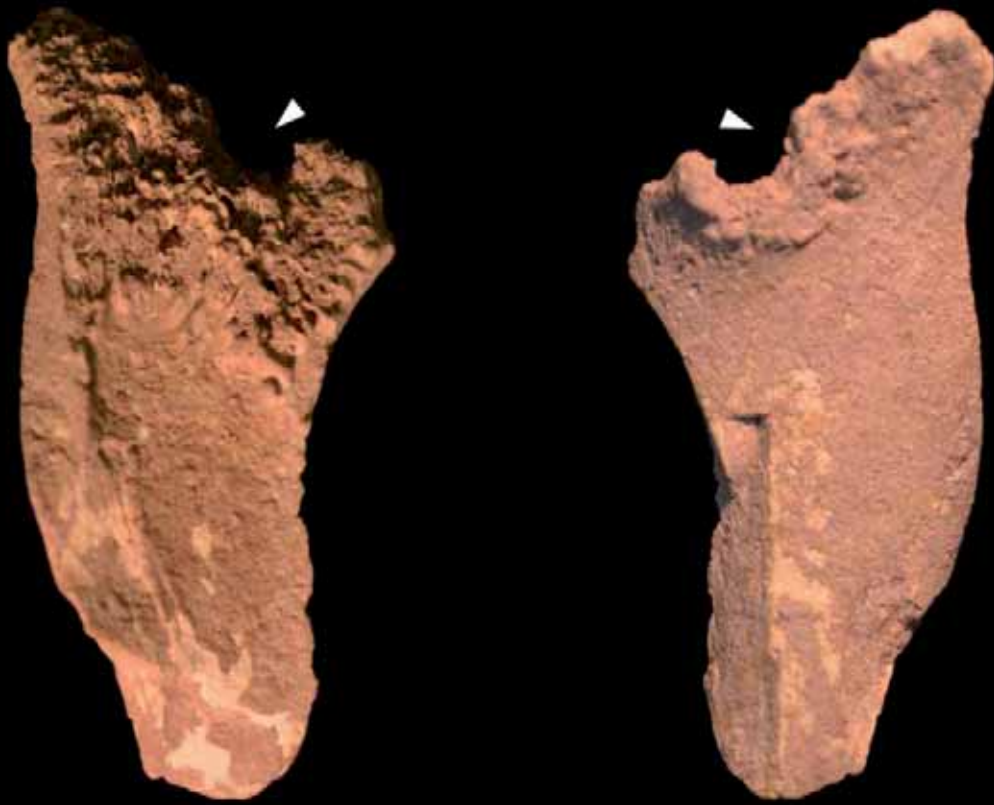
Nº inventario	BA-H31-106.3
Hueso	Húmero
Especie	MGND, posiblemente <i>Bos taurus</i>
Edad	Subadulto/adulto
Descripción	Necrosis y osteomielitis localizada en la diáfisis proximal del húmero. En este resto se observan evidencias de haber sufrido una inflamación necrosante, que ha provocado la pérdida de parte del tejido óseo o necrosis; además de una osteomielitis. La etiología de estas patologías es la presencia de una infección.

**Lám. 5b**

Nº inventario	13135 (Gatas 312A1_Fase IV)
Hueso	Tibia
Especie	<i>Bos taurus</i>
Edad	Subadulto/adulto
Descripción	Exostosis localizada en la diáfisis medial de la tibia. Se observa cómo se deforma el tejido óseo y se produce un crecimiento hacia el exterior. La etiología de este caso puede ser un trauma o algún tipo de lesión puntual.

Lam. 5

a



b





**Lám. 6**

Nº inventario	BA-H52-119.15
Hueso	Húmero derecho
Especie	<i>Bos taurus</i>
Edad	Adulto, mayor de 20 meses (epífisis distal fusionada)
Descripción	Necrosis y osteomielitis localizada en la epífisis distal del húmero. En este caso se observan evidencias de haber sufrido una inflamación necrosante, que ha eliminado parte del tejido óseo. También hay síntomas de una inflamación medular. Estas patologías pueden haber sido provocadas por algún tipo de infección.



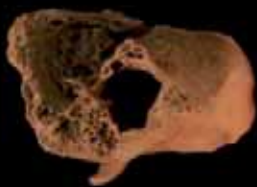
**Lám. 7a**

Nº inventario	BA-H2-270.12
Hueso	Tibia
Especie	Ovicáprido
Edad	Adulto
Descripción	Exostosis muy desarrollada, afecta a gran parte de la diáfisis ósea que muestra una fuerte torsión y osificación del ligamento. La etiología es difícil de identificar sin disponer de una radiografía que permita mostrar una línea de sutura que explicase que se trata de una fractura oblicua con encabalgamiento, torsión de la diáfisis y formación de una callosidad de tal envergadura. Otra posible explicación sería una inflamación muscular o miositis que deriva en una osificación del tejido muscular provocada por un trauma. En cualquier caso, esta deformación debió afectar a la movilidad del animal, acortando considerablemente la longitud de la extremidad y provocándole cojera.

**Lám. 7b**

Nº inventario	BA-H34-371.5
Hueso	Costilla
Especie	MMND, probablemente ovicáprido
Edad	Adulto
Descripción	Periostosis. La superficie de la costilla se encuentra levemente alterada posiblemente debido a una herida superficial.

a



b



**Lám. 8a**

Nº inventario	BA-H41-36.4
Hueso	Falange 2 izquierda
Especie	<i>Capra hircus</i>
Edad	Subadulto/adulto
Descripción	Exostosis localizada en la metadiáfisis distal y en la superficie articular proximal.

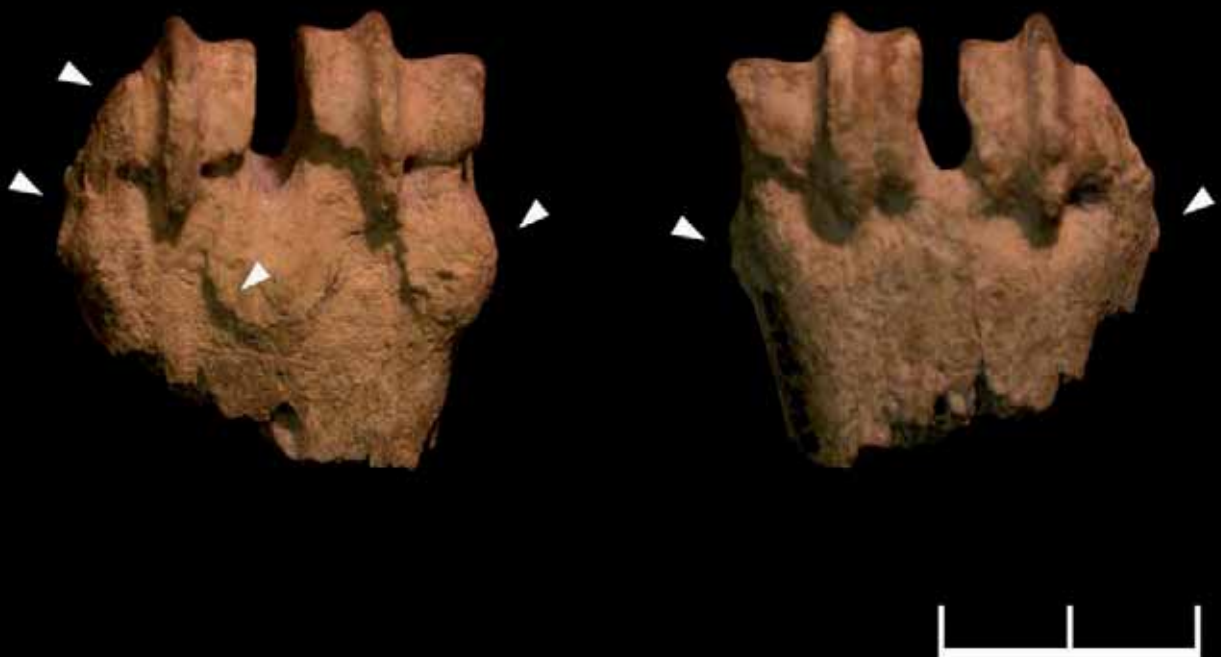
**Lám. 8b**

Nº inventario	428 (Gatas 17A2_Fase I)
Hueso	Metápodo izquierdo
Especie	<i>Capra pyrenaica</i>
Edad	Adulto, mayor de 36 meses (epífisis distal fusionada)
Descripción	Exostosis. El crecimiento del tejido óseo se acusa más en la parte medial de la epífisis distal y también se observa en la parte lateral. En este caso pudo provocar pérdida de movilidad y una posible causa podría haber sido un trauma. Esta patología en otras especies, como es el caso de <i>Bos taurus</i> , se ha asociado a sobreesfuerzos relacionados con el uso en tareas de tracción (Bartosiewicz y Lentacker 1997). En este caso al tratarse de una especie salvaje, la etología de esta patología debe buscarse en otras causas. Parece probable que la dificultad de movimiento de este animal facilitase su caza.

a



b



**Lám. 9a**

Nº inventario	BA-H37-22.42
Hueso	Metacarpo V derecho
Especie	<i>Sus domesticus</i>
Edad	Subadulto, menor de 24 meses (epífisis distal no fusionada)
Descripción	Periostitis localizada en la diáfisis medial del metacarpo. Al tratarse de uno de los metápodos laterales y no de los dos centrales que soportan en mayor medida el peso del animal, puede que no afectase a su movilidad. Los laterales -más finos y frágiles que los centrales- están más expuestos a golpes. La etiología de esta patología puede ser un trauma.

**Lám. 9b**

Nº inventario	BA-MAM-289 (1944-dpto II)
Hueso	Metacarpo V derecho
Especie	<i>Sus domesticus</i>
Edad	Adulto, mayor de 24 meses (epífisis distal fusionada)
Descripción	Periostitis de la que han quedado evidencias en toda la diáfisis del metacarpo. En la superficie de la metadiáfisis distal hay una falta de tejido óseo. Ésta carencia ósea no está provocada por patología alguna sino por la acción de roedores, que tras la deposición del resto han dejado huellas de sus incisivos en la superficie del hueso.

**Lám. 9c**

Nº inventario	BA-Camino ZN-Terraza 7
Hueso	Metacarpo V izquierdo
Especie	<i>Sus domesticus</i>
Edad	Adulto, mayor de 24 meses (epífisis distal fusionada)
Descripción	Se trata de una fractura oblicua. Este tipo de fractura se desplaza más que otro tipo de fracturas debido a la fricción entre los dos fragmentos. La inclinación de la línea de sutura puede indicar la dirección de la fractura y del desplazamiento. El encabalgamiento de ambas partes provocó un acusado acortamiento del hueso que afectaría a la movilidad del animal. El engrosamiento central de la diáfisis está provocado por la osificación del callo de reparación de la fractura.

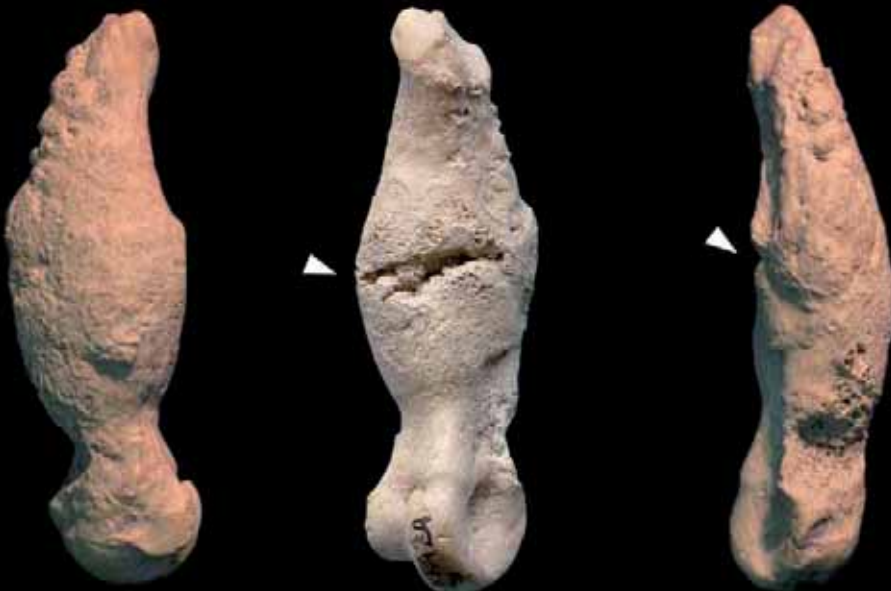
a



b



c





**Lám. 10a**

Nº inventario	2196 (Gatas 4/15A1_fase I)
Hueso	Calcáneo izquierdo
Especie	<i>Sus domesticus</i>
Edad	Subadulto/adulto
Descripción	Fractura del hueso a la altura de la diáfisis medial, el trauma que lo ocasionó debió ser muy fuerte para provocar una deformación tan acusada y un callo óseo que afecta prácticamente a la totalidad del hueso. Parece observarse parcialmente la línea de sutura. Sería interesante practicar una radiografía o TAC (tomografía axial computerizada) sobre este hueso para confirmar la patología y ver el alcance interno del trauma. Esta patología afectó a la movilidad del animal.

**Lám. 10b**

Nº inventario	BA-CO-238.8
Hueso	Fíbula
Especie	<i>Sus domesticus</i>
Edad	Subadulto/adulto
Descripción	Fractura en la diáfisis medial de la fíbula y formación de un callo de reparación. Las fracturas son más comunes en huesos largos y la localización del trauma determina su recuperación, ya que los huesos que están alrededor pueden servir de férula anatómica (Udrescu y Van Neer 2005). Este es el caso de esta fíbula y la tibia adyacente, que al no fracturarse, permite una recuperación más rápida ya que los fragmentos óseos de la fíbula se mueven menos.

a



b



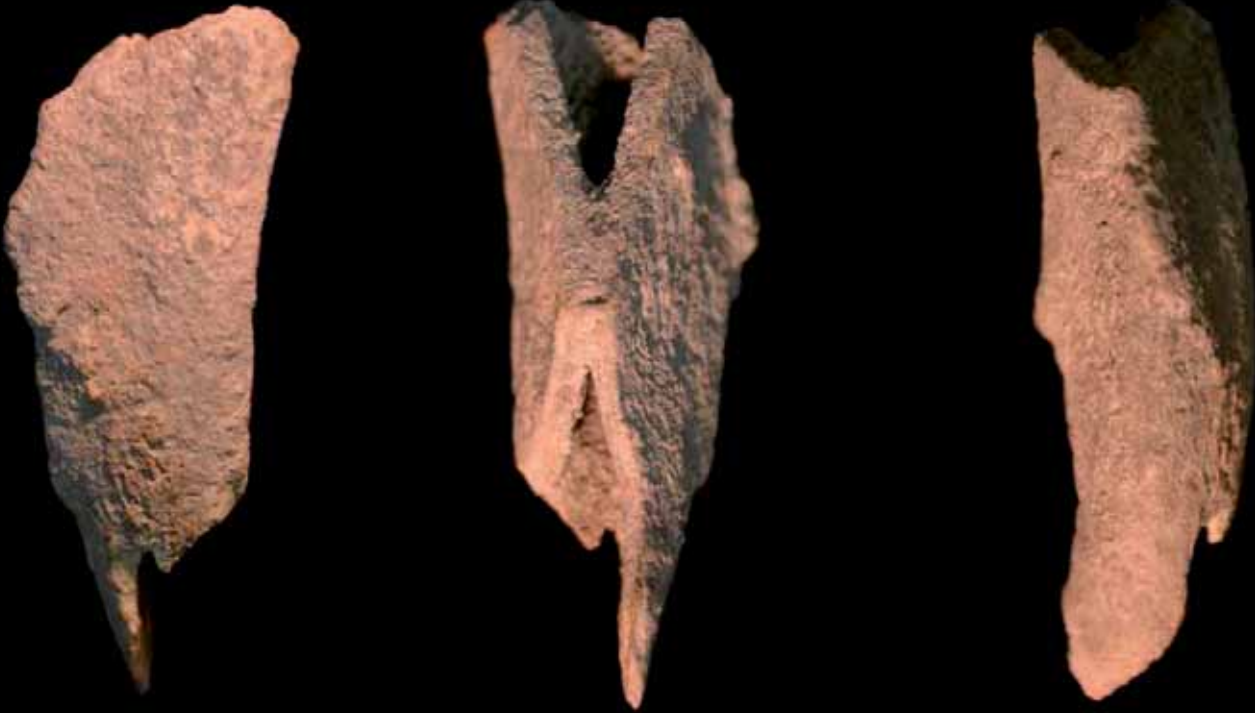
**Lám. 11a**

Nº inventario	BA-E16-3.50
Hueso	Tibia ¿?
Especie	<i>Sus domesticus</i> ¿?
Edad	Subadulto/adulto ¿?
Descripción	En este caso no se puede confirmar la presencia de una patología, ni se puede asegurar la clasificación osteológica del hueso. Se trataría de una tibia, aunque no parece que haya sufrido alguna modificación ósea que pueda ser identificada como patología. Se plantea que pueda tener una alteración capaz de provocar una deformación tal en el hueso que impida su identificación. En ese caso se podría pensar en raquitismo, enfermedad provocada por una falta de vitamina D, y que la modificación de la estructura ósea fuese tal que el hueso se curvase.

**Lám. 11b**

Nº inventario	12124 (Gatas 314A2_fase II)
Hueso	Fémur derecho
Especie	<i>Sus domesticus</i>
Edad	Subadulto/adulto
Descripción	Exostosis localizada en la diáfisis distal. Se desconoce su etiología.

a



b



**Lám. 12a**

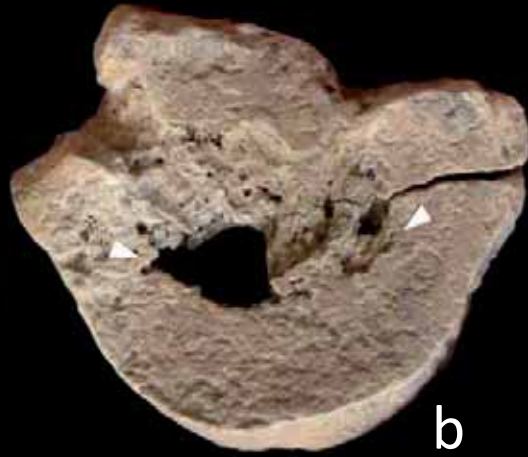
Nº inventario	BA-E16-3.1
Hueso	Tarso 2+3 derecho
Especie	<i>Equus caballus</i>
Edad	Adulto, mayor de 15 meses (epífisis distal fusionada)
Descripción	Amielitis. La superficie articular que permanece en contacto con la epífisis proximal del metatarso III se ve erosionada, perdiendo parte del tejido óseo como consecuencia de la inflamación medular de este hueso llegando incluso a perforar el hueso.

**Lám. 12b**

Nº inventario	BA-E16-9.1
Hueso	Metatarso III derecho
Especie	<i>Equus caballus</i>
Edad	Adulto, mayor de 15 meses (epífisis distal fusionada)
Descripción	Amielitis. Se trata del mismo individuo que el hueso anterior por lo que se trataría de la misma patología que se ha extendido afectando a toda la articulación.



a



b



b



a

b



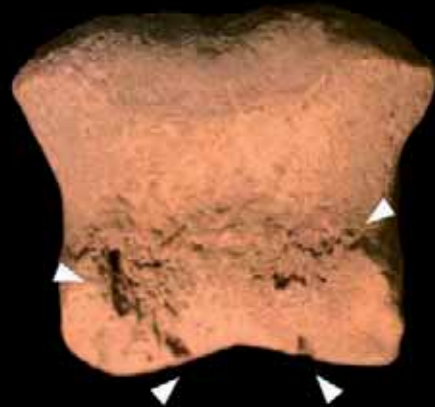
**Lám. 13a**

Nº inventario	BA-E16-12.116
Hueso	Falange segunda
Especie	<i>Equus caballus</i>
Edad	Adulto, mayor de 12 meses (epífisis proximal fusionada)
Descripción	Este hueso presenta la artritis propia de un animal de avanzada edad, resultado de un proceso inflamatorio erosivo osteoarticular. La lesión aparece muy localizada en la parte de la epífisis distal mientras que el resto del hueso no se ha visto afectado por esta anomalía. Se observa como la artritis provoca una pérdida considerable del cartílago y por tanto una erosión del tejido óseo en la superficie articular formando dos orificios alargados debidos a la fricción.

**Lám. 13b**

Nº inventario	BA-E16-12.114
Hueso	Falange tercera
Especie	<i>Equus caballus</i>
Edad	Adulto
Descripción	Esta falange presenta la misma patología –artritis- que el hueso anterior. Pertenece a un individuo también adulto y la articulación parece coincidir, lo que lleva a pensar que pueda tratarse del mismo individuo aunque no se ha podido confirmar. En este caso la lesión se ve más desarrollada, llegando a perforar el hueso longitudinalmente. Los orificios observados en la falange tercera parecen coincidir con los que se observan en la falange segunda.

a



b





**Lám. 14**

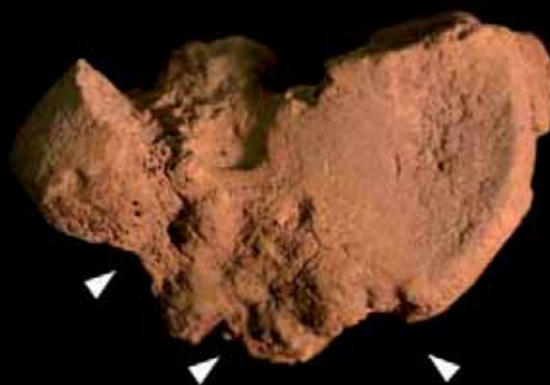
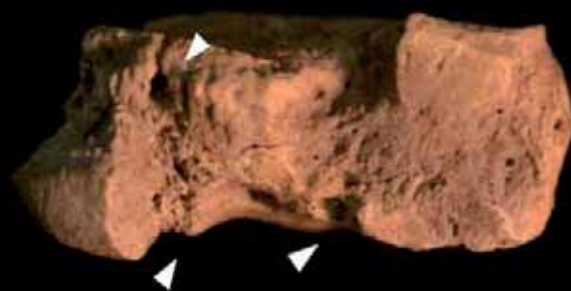
Nº inventario BA-E16-3.104

Hueso Carpo III derecho

Especie *Equus caballus*

Edad Adulto

Descripción Osteomielitis. Esta patología se puede observar en este caso, por la pérdida de tejido óseo y la superficie articular que muestra un aspecto más poroso que la superficie ósea que no se ve afectada. La etiología es algún tipo de infección.



**Lám. 15a**

Nº inventario	490 (Gatas 17A2_Fase I)
Hueso	Tibia derecha
Especie	<i>Cervus elaphus</i>
Edad	Subadulto/adulto
Descripción	Marca de desarticulación localizada en la diáfisis distal de la tibia de 8,43 mm de longitud, provocada probablemente en un intento de corte de los tendones que fijan esta articulación. En esta parte suelen registrarse marcas en el momento de desollado del animal, cuando se separa la parte distal de la extremidad (donde la piel queda directamente adherida al hueso apenas sin carne) para facilitar esta actividad.

**Lám. 15b**

Nº inventario	727 (Gatas 17A2_Fase I)
Hueso	Tibia izquierda
Especie	<i>Cervus elaphus</i>
Edad	Subadulto/adulto
Descripción	Marca de descarnado de poca profundidad, aislada y localizada en la cara dorsal de la diáfisis medial del hueso. La longitud de esta marca (13,76 mm) y su escasa profundidad permiten interpretar que esta marca pudo efectuarse en un intento de separar la carne del hueso. Este resto muestra en uno de sus extremos improntas de mordeduras, posiblemente ocasionadas por carnívoros.

**Lám. 15c**

Nº inventario	11472 (Gatas 213A1_Fase III)
Hueso	Vértebra lumbar
Especie	<i>Cervus elaphus</i>
Edad	Subadulto, entre 35-42 meses (articulación en proceso de fusión)
Descripción	Marcas de descarnado o desarticulación localizadas en la cara ventral del proceso transversal de la vértebra. Su localización y profundidad pueden indicar que se efectuaron tras la acción de desarticular dos vértebras o en un intento de desprender la carne de esa zona.

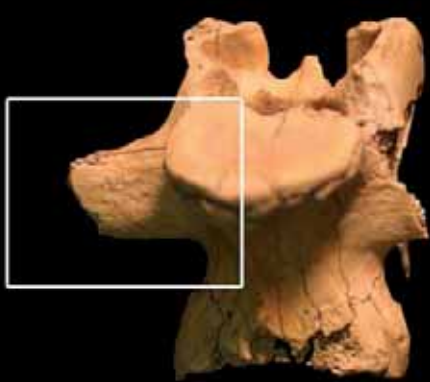
a



b



c



**Lám. 16a**

Nº inventario	BA-H36-313.101 (Fase 1)
Hueso	Costilla
Especie	<i>Bos taurus</i>
Edad	Subadulto
Descripción	Se han registrado tres marcas de desarticulación, una en la cara lateral dorsal y dos en la medial dorsal de la costilla. La primera de ellas -de mayor profundidad- pudo ser resultado de un golpe más contundente para el despiece del animal, mientras que las segundas podrían haber sido causadas por el corte de los tendones para facilitar la desarticulación y fractura de la caja torácica.

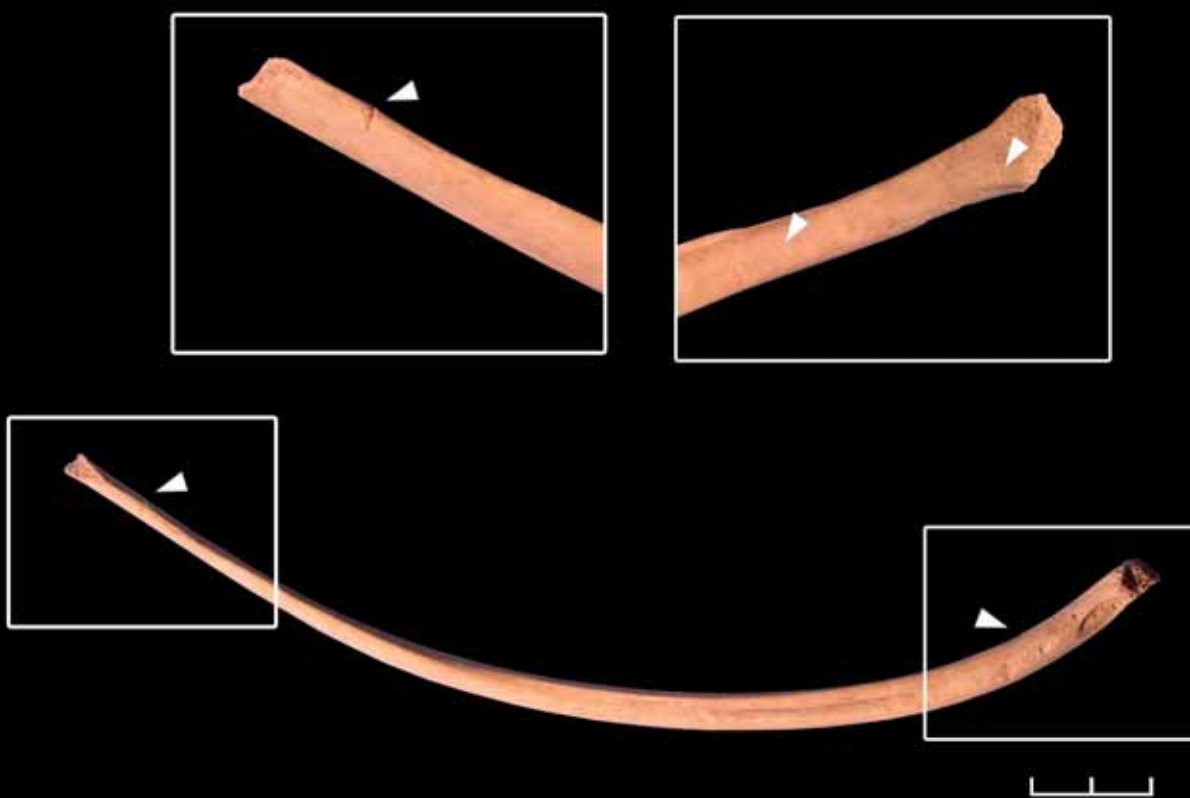
**Lám. 16b**

Nº inventario	BA-H36-313.102 (Fase 1)
Hueso	Costilla
Especie	<i>Bos taurus</i>
Edad	Subadulto
Descripción	Marcas de desarticulación y descarnes. Se han registrado dos trazas en la cara medial dorsal que podrían interpretarse como resultado de la acción de descarnes o por desarticulación, si bien parece más probable que se trate de descarnes dado que se registran en la cara interna de la costilla y que su profundidad no es muy acusada. Existe una tercera marca localizada en la zona ventral, de mayor profundidad, que pudo deberse a un corte para el despiece de la caja torácica.

a



b



**Lám. 17**

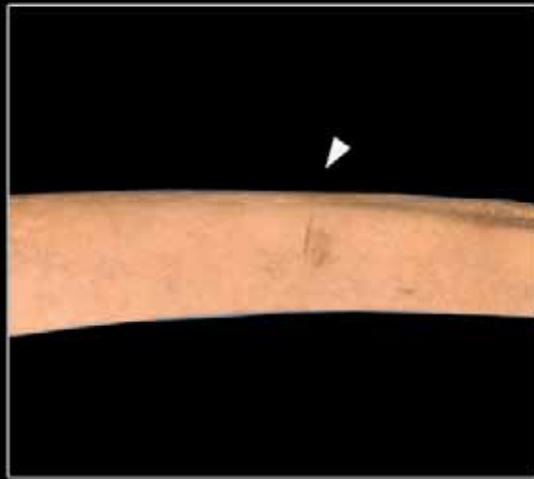
Nº inventario BA-H36-313.103 (Fase 1)

Hueso Costilla

Especie *Bos taurus*

Edad Subadulto

Descripción Marcas de desarticulación y descarnado. De nuevo en el mismo contexto y especie se encuentran marcas de procesado. Podría tratarse del mismo individuo que el representado en Lam. 16b, aunque no es posible confirmarlo. En esta ocasión, se registra una traza en la cara lateral dorsal, cercana a la articulación, de escasa profundidad. Por su localización se ha interpretado como resultado de la desarticulación. Por otro lado, en la cara medial del corpus de la costilla se documenta otra traza de procesado de poca profundidad y longitud que pudo ser resultado de una acción de descarnado.





**Lám. 18a**

Nº inventario	BA-H9-9.10 (Fase 1)
Hueso	Zigomático
Especie	<i>Bos taurus</i>
Edad	Adulto
Descripción	Marcas de desollado. Se registran hasta un total de ocho marcas de corte sobre la órbita ocular formada por el zigomático. Tienen una profundidad media y son paralelas entre sí. La repetición de las marcas en el mismo lugar indicaría la dificultad de la acción, que requirió varios intentos. Se observa una continuidad lineal de las marcas en uno y otro lado del hueso, lo que muestra que se hicieron de una vez. No es fácil identificar la actividad que puede explicar estas marcas ya que su localización no es usual, posiblemente respondan a la intención de cortar la piel en esta zona para facilitar el desollado del animal. El hecho de que en esta parte apenas haya carne podría explicar que las marcas sean más profundas y también la dificultad de extraer la piel al estar más adherida al hueso.

**Lám. 18b**

Nº inventario	BA-I1-32.1 (Fase 3b)
Hueso	Hioides
Especie	<i>Bos taurus</i>
Edad	Adulto
Descripción	Marcas de evisceración. Se documentan dos trazas de corte de escasa profundidad y longitud media en la superficie del hueso. La localización de estas trazas podría indicar la extracción de la lengua del animal para su aprovechamiento, ya que al cortar en este lugar se desprendería entera sin necesidad de cortarla.

**Lám. 18c**

Nº inventario	BA-I2-31.1 (Fase 2)
Hueso	Incisivo segundo
Especie	<i>Bos taurus</i>
Edad	Subadulto/adulto
Descripción	En este caso no es una marca efectuada durante el procesado del animal, sino más bien para el aprovechamiento del diente como materia prima, posiblemente para hacer algún tipo de adorno. El tipo de incisión, de sección circular, coincide con las marcas que quedan cuando se emplea cuerda y arena como instrumento de abrasión.

a



b



c



**Lám. 19a**

Nº inventario	11602 (Gatas 214A1_Fase II)
Hueso	Tibia derecha
Especie	Ovicáprido
Edad	Infantil
Descripción	Marca de desarticulación. Se localiza en la diáfisis proximal de la tibia y podría interpretarse como una marca de desarticulación efectuada al cortar los tendones que sostienen la articulación de la tibia con el fémur. Esta acción suele tener lugar una vez ha sido descuartizado el animal y las extremidades se trocean en porciones de menor tamaño.

**Lám. 19b**

Nº inventario	363 (Gatas 17A1_Fase I)
Hueso	Radio izquierdo
Especie	Ovicáprido
Edad	Subadulto/adulto
Descripción	Marcas de desarticulación y descarnado. En la cara dorsal del radio, en la diáfisis distal-medial, perpendiculares al eje del hueso se localizan dos marcas de corte perpendiculares entre sí, de poca profundidad y longitud. Estas marcas podrían ser resultado de la desarticulación de la parte distal de la extremidad. Además se observa una marca longitudinal un poco más larga pero de profundidad similar a las descritas, que puede ser resultado de la acción de descarnado.

**Lám. 19c**

Nº inventario	12239 (Gatas 114A2_Fase II)
Hueso	Húmero izquierdo
Especie	Ovicáprido
Edad	Adulto
Descripción	Marcas de desarticulación y despiece. Alrededor de la epífisis distal del humero se registran hasta nueve marcas de corte resultado de la desarticulación de este hueso con el radio, probablemente con la intención de despedazar la extremidad anterior en dos porciones de menor tamaño y de este modo facilitar tu manipulación.

a



b



c



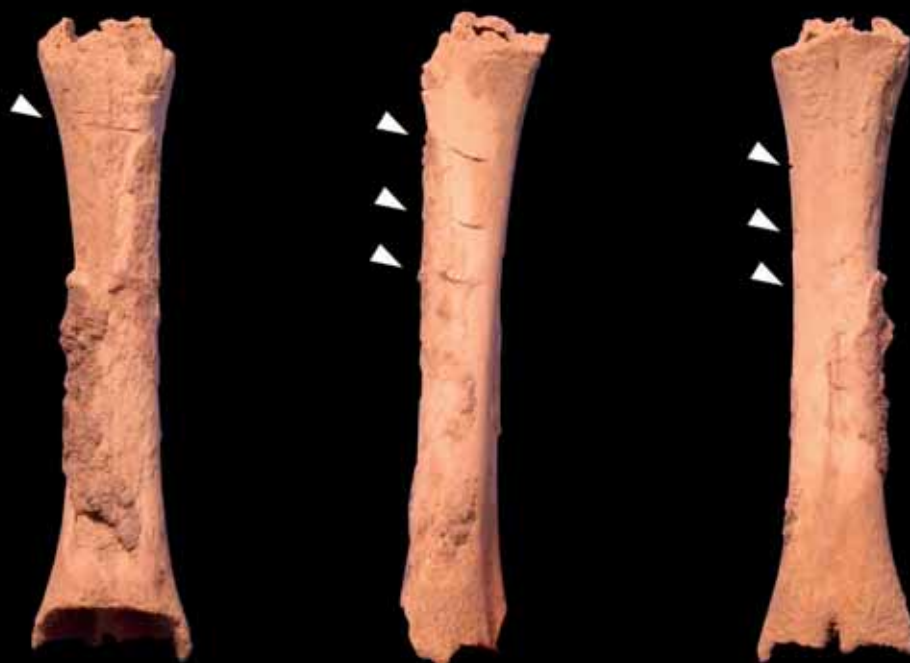
**Lám. 20a**

Nº inventario	BA-H36-195.12 (Fase 1)
Hueso	Metatarso izquierdo
Especie	Ovicáprido
Edad	Neonato, menor de 20 meses
Descripción	Marcas de desarticulación y desollado. En la diáfisis proximal se han registrado dos trazas paralelas entre sí y perpendiculares al eje del hueso que por su localización, dirección y profundidad parecen ser resultado de la articulación proximal de este hueso. En la cara lateral del metatarso se observan tres incisiones de mayor profundidad, también paralelas entre sí que podrían ser debidos a tres intentos de corte en esta zona. La desarticulación de la parte distal de la extremidad suele asociarse a tareas de desollado, puesto que es una parte que no posee gran cantidad de carne (lo que dificulta la extracción de la piel) suele desprenderse de una pieza facilitando así la acción.

**Lám. 20b**

Nº inventario	BA-H36-313.20 (Fase 1)
Hueso	Vértebra torácica
Especie	Ovicáprido
Edad	Juvenil
Descripción	Marcas de desarticulación y descarnes. Bajo el proceso transversal se localizan dos marcas de corte que pueden responder a la intención de desarticulación de esta parte y despiece del animal. Las otras tres trazas registradas bajo el corpus vertebral de manera longitudinal a éste son de mayor longitud y profundidad similar a las descritas, aunque su disposición parece ser resultado del descarnes de esta porción del animal.

a



b



**Lám. 21a**

Nº inventario	11471 (Gatas 213A1_ Fase III)
Hueso	Húmero derecho
Especie	<i>Ovis aries</i>
Edad	Subadulto/adulto
Descripción	Marcas de desarticulación y despiece. En la cara medial de la epífisis distal del hueso se registran marcas de longitud y profundidad media que indican la zona de corte del tendón articular para facilitar la acción de desarticulación de este hueso del radio. Se puede observar cómo en la articulación también se ha cortado o golpeado el hueso llegando a desprender parte del mismo junto a una pequeña marca de corte. Esta acción de desarticulación responde a la intención de despedazar la extremidad anterior del animal para preparar porciones de menor tamaño para su posterior consumo.

**Lám. 21b**

Nº inventario	11692 (Gatas 214_ Fase II)
Hueso	Húmero izquierdo
Especie	<i>Capra hircus</i>
Edad	Subadulto/adulto
Descripción	Marcas de desarticulación y despiece. Del mismo modo que en el caso anterior de <i>Ovis aries</i> se registran marcas de desarticulación, esta vez sobre un hueso de <i>Capra hircus</i> . Concretamente se localizan en la cara medial de la epífisis distal del húmero. El corte de los tendones en este lugar facilita la desarticulación y el troceado de la extremidad anterior.

**Lám. 21c**

Nº inventario	1343 (Gatas 2/1A1_ Fase II)
Hueso	Talus izquierdo
Especie	<i>Capra hircus</i>
Edad	Subadulto/adulto
Descripción	Marcas de desarticulación y desollado. Además de las alteraciones en la coloración del hueso que evidencia su contacto directo con fuego se registran en este hueso marcas de corte. En zona es común cortar para desarticular la parte distal de la extremidad posterior del animal como resultado de la acción de desollado. De este modo se separan la tibia del metatarso a la altura de los tarsos, suelen verse afectados en esta acción otros huesos como podría haber sido el calcáneo o centrotarsal.

a



b



c





**Lám. 22a**

Nº inventario	11991 (Gatas 215B2a_Fase III)
Hueso	Fémur
Especie	<i>MMND</i>
Edad	Subadulto/adulto
Descripción	Marcas de descarnado. Se han registrado en este hueso hasta cinco marcas de procesado, efectuadas longitudinalmente en la diáfisis del hueso. Su escasa profundidad y su longitud permiten interpretarlas como resultado de la acción de descarnado de esta parte del animal que proporciona gran aporte cárnico.

**Lám. 22b**

Nº inventario	BA-C0-316.3 (Fase 1)
Hueso	Húmero
Especie	<i>MMND</i>
Edad	Subadulto/adulto
Descripción	Marcas de procesado. En este hueso se observan hasta cinco marcas de corte de gran amplitud y profundidad, localizadas en la diáfisis medial del hueso. Destaca su singularidad pues no se han registrado marcas similares a éstas en otros restos. Sus características podrían apuntar al empleo de instrumentos más contundentes o a la intención de fracturar el hueso para su posible empleo como materia prima.

**Lám. 22c**

Nº inventario	13495 (Gatas 310A2_Fase IV)
Hueso	Diáfisis de hueso largo no determinado
Especie	<i>MMND</i>
Edad	Subadulto/adulto
Descripción	Se registra una marca de procesado de gran profundidad en la diáfisis. El no poder identificar a que hueso corresponde dificulta la interpretación de la traza. Su amplitud puede responder a la contundencia del golpe efectuado o al instrumento empleado.

**Lám. 22d**

Nº inventario	BA-H36-234.7 (Fase 1)
Hueso	Fémur
Especie	<i>Capra hircus</i>
Edad	Subadulto, 36-42 meses (epífisis proximal en proceso de fusión)
Descripción	Marcas de descuartizado. Se registran ocho marcas de desarticulación en la epífisis y diáfisis proximal del fémur para poder separar la extremidad posterior de la pelvis.

a



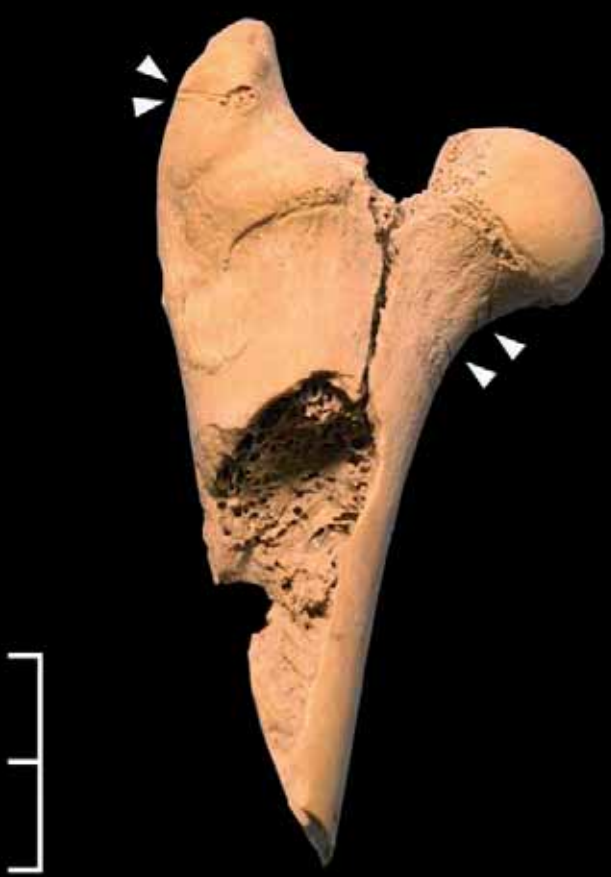
b



c



d



**Lám. 23a**

Nº inventario	12280 (Gatas 114A2_Fase II)
Hueso	Vértebra torácica
Especie	<i>Sus domesticus</i>
Edad	Infantil
Descripción	Marcas de procesado. Se registran en la articulación, bajo la espina vertebral dos marcas de corte efectuadas durante la acción de descuartizamiento del animal. Las marcas son cortas y profundas.

**Lám. 23b**

Nº inventario	13272 (Gatas 313A1_Fase III)
Hueso	Atlas
Especie	<i>Sus domesticus</i>
Edad	Subadulto/adulto
Descripción	Marcas de descuartizamiento. Se localiza en este hueso una marca de procesado de profundidad media y poca longitud. Esto indica que pudo ser ocasionada durante la acción de separación de la cabeza del resto del tronco, cortando a la altura de las primeras vértebras cervicales, en concreto en el atlas.

a



b



**Lám. 24a**

Nº inventario	131 (Gatas 19/7A3_Fase II)
Hueso	Atlas
Especie	<i>Sus domesticus</i>
Edad	Subadulto/adulto
Descripción	Marcas de descuartizamiento. Se registran marcas de un despiece primario, en el que se separa la cabeza del resto del tronco, las marcas son profundas y anchas probablemente por la contundencia del golpe, repetido al menos en tres ocasiones y se supone que con un objeto contundente por la amplitud de las marcas.

**Lám. 24b**

Nº inventario	892 (Gatas 19/5A2_Fase III-IV)
Hueso	Esternón
Especie	<i>Sus domesticus</i>
Edad	Subadulto/adulto
Descripción	Marcas de evisceración. Se localizan dos marcas rectilíneas en la cara dorsal del esternón de escasa profundidad y cuya longitud oscila entre 3 y 6,5 mm. Pudieron ser ocasionadas durante la extracción de las vísceras del animal.

**Lám. 24c**

Nº inventario	992 (Gatas 19/6A1_Fase III-IV)
Hueso	Fémur
Especie	<i>Sus domesticus</i>
Edad	Subadulto/adulto
Descripción	Marcas de desarticulación y fractura ósea. En la diáfisis medial se observa como la fractura intencionada del hueso ha provocado la pérdida de una esquirla ósea en el punto de impacto. Por otro lado, en la diáfisis distal se registran dos trazas de desarticulación de profundidad media y de 10 mm de longitud. Éstas fueron ocasionadas durante el corte de los tendones articulares para facilitar la fragmentación de la extremidad a la altura de la articulación entre el fémur y la tibia.

a



b



c



**Lám. 25a**

Nº inventario	11561 (213A3_Fase III)
Hueso	Atlas
Especie	<i>Canis familiaris</i>
Edad	Adulto
Descripción	Marcas de descuartizamiento. Se han localizado en el atlas varias trazas de procesado. Estas marcas son resultado de la acción por la cual se separa la cabeza del esqueleto axial del animal.

**Lám. 25b**

Nº inventario	13119 y 13124 (312A1_Fase IV)
Hueso	Radio izquierdo
Especie	<i>Canis familiaris</i>
Edad	Adulto, más de 12 meses (ambas epífisis fusionadas)
Descripción	Marcas de desarticulación y desuello. En la epífisis distal del radio se observa la presencia de hasta cuatro marcas de corte de poca longitud y profundidad media. Éstas pueden ser debidas a la desarticulación de la extremidad delantera del animal, desprendiendo la parte distal de la misma. Probablemente responde a la acción del desollado del animal durante el procesado, para la separación de los tarsos, metacarpos y falanges del resto de la extremidad.

a



b





**Lám. 26a**

Nº inventario	5516 (208A1_Fase IV)
Hueso	Tibia derecha
Especie	<i>Canis familiaris</i>
Edad	Adulto
Descripción	Marcas de desarticulación y despiece. Se trata de un hueso calcinado, la tonalidad blanco grisácea del hueso indica que ha estado sometido a elevadas temperaturas una vez se le extrajo toda la carne, ya que la tonalidad es homogénea en toda la superficie del fragmento. Interesa resaltar las marcas de desarticulación de escasa longitud localizadas en dos caras del hueso en la diáfisis proximal. Estas marcas son el resultado de la acción de desarticulación de la extremidad posterior a la altura de la articulación de la tibia y el fémur. Seguramente responde a un despiece secundario destinado a fragmentar las extremidades en porciones de menor tamaño una vez han sido descuartizadas.

**Lám. 26b**

Nº inventario	13427 (311A1_Fase IV)
Hueso	Húmero derecho
Especie	<i>Canis familiaris</i>
Edad	Adulto
Descripción	Marcas de desarticulación y despiece. En dos partes del hueso se localizan marcas de procesado, ambas en la cara lateral del hueso. En la primera, la diáfisis medial, se observa una marca perpendicular al eje del hueso de profundidad media. Ésta pudo ser ocasionada durante el procesado, aunque no es posible confirmar que se trate de una marca de descarnado. La interpretación del resto de marcas es más clara, pues su localización en la epífisis distal, así como su profundidad y longitud permiten deducir que fueron ocasionadas durante el corte de los tendones articulares en un intento de separar el húmero del radio provocando el despiece de la extremidad anterior en porciones de menor tamaño.

a



b



**Lám. 27a**

Nº inventario	6323 (208A1_Fase IV)
Hueso	Talus izquierdo
Especie	<i>Canis familiaris</i>
Edad	Adulto
Descripción	Marcas de procesado y desollado. La coloración marrón de este hueso muestra evidencias de haber sido cocinado cuando todavía tenía restos de carne adheridos. Se observa en la cara dorsal del hueso dos marcas de procesado superpuestas que indican que se corta en este lugar con la intención de separar la parte distal del resto de la extremidad posterior, muy probablemente durante el desollado del animal.

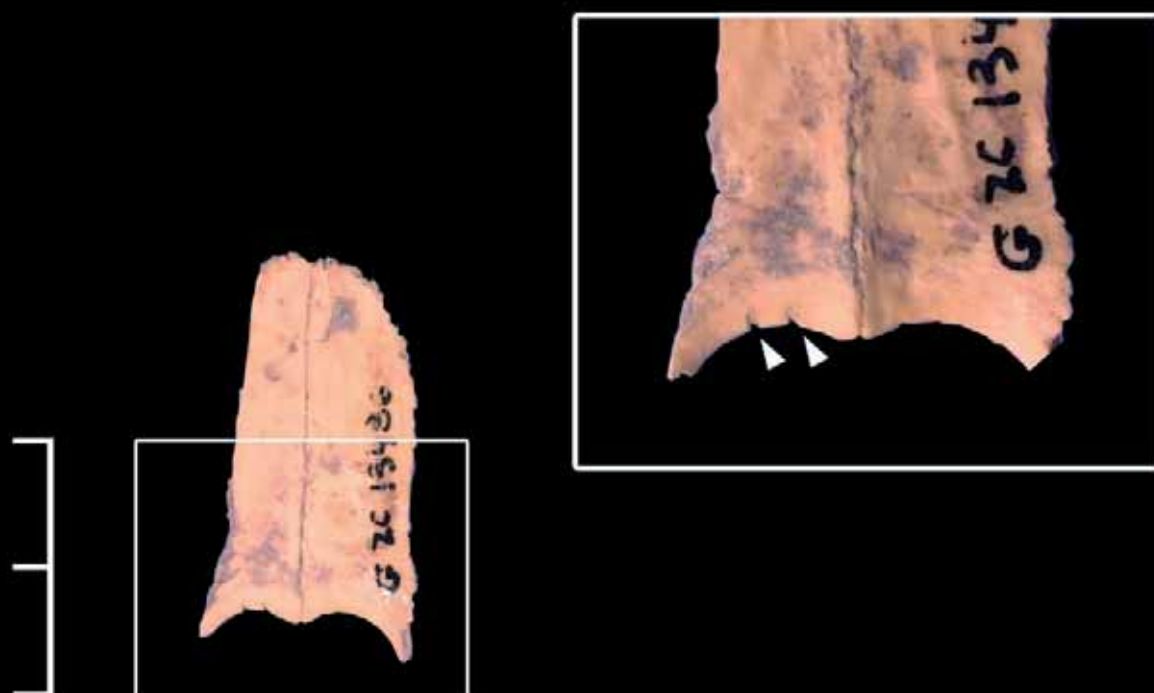
**Lám. 27b**

Nº inventario	13486 (310A2_Fase IV)
Hueso	Palatino
Especie	<i>Canis familiaris</i>
Edad	Adulto
Descripción	Marcas de procesado. Este hueso presenta dos trazas de corte de escaso tamaño pero que han provocado dos muescas similares en el hueso. Se desconoce a que acción responden estas marcas pero es posible que se fueron ocasionadas durante el procesado del animal.

a



b



**Lám. 28a**

Nº inventario	BA-H36-195.67 (Fase 1)
Hueso	Vértebra cervical
Especie	<i>Canis familiaris</i>
Edad	Adulto
Descripción	Marcas de desarticulación. Se observan sobre la superficie articular de la vértebra marcas corte en sentido longitudinal a la columna vertebral. Estas trazas pudieron ser ocasionadas durante la desarticulación y descuartizado del animal en la acción de la separación de la cabeza del resto del esqueleto axial, cortando a la altura de las vértebras cervicales. Se observa que la dirección de las marcas es longitudinal al cuello del animal, lo cual plantea la posibilidad que se deba también a la acción de descarnar de esta parte. Si bien no es posible descartar una u otra acción.

**Lám. 28b**

Nº inventario	BA-H2-94.2 (Fase 2)
Hueso	Húmero derecho
Especie	<i>Canis familiaris</i>
Edad	Subadulto, menor de 15 meses (epífisis proximal no fusionada)
Descripción	Marcas de descarnar. Este hueso presenta una coloración que permite interpretar que ha sido hervido cuando todavía tenía carne, probablemente durante la preparación para su consumo. Se han documentado, longitudinales al eje del hueso, varias marcas superficiales y largas que evidencian la acción de descarnar de este resto.

a



b



**Lám. 29a**

Nº inventario	BA-H7-14.8 (Fase 3a)
Hueso	Radio derecho
Especie	<i>Canis familiaris</i>
Edad	Adulto, más de 12 meses (epífisis distal fusionada)
Descripción	Marcas de desollado. Fractura intencionada a la altura de la diáfisis distal del radio provocada durante el desollado del animal. Con ella se separa la parte distal de la extremidad anterior del resto del animal.

**Lám. 29b**

Nº inventario	BA-H7-14 (Fase 3a)
Hueso	Extremidad posterior derecha
Especie	<i>Canis familiaris</i>
Edad	Adulto, más de 16 meses (epífisis distal fusionada)
Descripción	Marcas de desollado. Se trata del mismo individuo que el hueso mencionado anteriormente. En la habitación 7 se encontraron restos de las cuatro extremidades distales articuladas del mismo animal. Del mismo modo que se observaba en el radio, también la tibia fue fracturada en su parte distal durante el desollado del animal provocando un desplazamiento de parte de la diáfisis distal.

a



b





**Lám. 30a**

Nº inventario	BA-H64-16.119 (Fase 2)
Hueso	Costilla
Especie	<i>Canis familiaris</i>
Edad	Adulto
Descripción	Marcas de procesado. En la cara medial ventral de la costilla se han registrado dos marcas de procesado que puede ser resultado de la acción de descarnar en esta parte o de evisceración en un intento de abrir la caja torácica para poder extraer las vísceras del animal para su aprovechamiento.

**Lám. 30b**

Nº inventario	BA-H52-126.25 (Fase 3a)
Hueso	Costilla
Especie	<i>Canis familiaris</i>
Edad	Adulto
Descripción	Marca de descarnar. Se localiza una marca de procesado en la cara lateral ventral de la costilla, esta puede ser el reflejo de la acción de descarnar de esta parte del animal. Se trata de una marca corta y de poca profundidad.

a



b





## PATOLOGIAS

### Lámina 1

- a. Exostosis en calcáneo de *Cervus elaphus*, 368 (Gatas 17A1\_Fase I).
- b. Exostosis en calcáneo de *Cervus elaphus*, 987 (Gatas 19/6A1\_Fase III-IV).

### Lámina 2

- a. Exostosis en falange II de *Cervus elaphus*, BA-MAM-303 (1944-dpto II).
- b. Periostosis en falange primera de *Cervus elaphus*, BA-H4-6.84.

### Lámina 3

- a. Osificación del tendón o ligamento en vértebra lumbar de *Cervus elaphus*, 11472 (Gatas 213A1\_Fase III).
- b. Exostosis en metacarpo de *Cervus elaphus*, BA-I2-51.9.

### Lámina 4

- a. Exostosis en falange primera de *Bos taurus*, BA-C0-222.2.
- b. Exostosis en radio de mamífero de talla grande, 488 (Gatas 19/17A2\_Fase I).

### Lámina 5

- a. Inflamación necrosante y osteomielitis en húmero de mamífero grande no determinado, posiblemente *Bos taurus*, BA-H31-106.3.
- b. Exostosis en tibia de *Bos taurus*, 13135 (Gatas 312A1\_Fase IV).

### Lámina 6

Inflamación necrosante y osteomielitis en húmero de *Bos taurus*, BA-H52-119.15.

### Lámina 7

- a. Exostosis en tibia de ovicáprido, BA-H2-270.12.
- b. Deformación ósea por herida superficial en costilla de mamífero medio no determinado, BA-H34-371.5.

### Lámina 8

- a. Exostosis en falange segunda de *Capra hircus*, BA-H41-36.4.
- b. Exostosis en metápodo de *Capra pyrenaica*, 428 (Gatas 17A2\_Fase I).

### Lámina 9

- a. Periostitis en metacarpo V de *Sus domesticus*, BA-H37-22.42.
- b. Periostitis en metacarpo V de *Sus domesticus*, BA-MAM-289 (1944-Dpto II).
- c. Callo óseo de reparación de fractura en metacarpo V de *Sus domesticus*, BA-Camino Zona N-Terraza 7.

### Lámina 10

- a. Alteración ósea en calcáneo de *Sus domesticus*, 2196 (Gatas 4/15A1\_Fase I).
- b. Callo óseo de reparación de fractura en fíbula de *Sus domesticus*, BA-C0-238.8.

### Lámina 11

- a. Deformación ósea de una tibia? de *Sus domesticus*?, BA-E16-3.50.
- b. Exostosis en fémur de *Sus domesticus*, 12124 (Gatas 314A2\_fase II).

### Lámina 12

- a. Amielitis en tarso 2+3 de *Equus caballus*, BA-E16-3.1.
- b. Amielitis en metatarso de *Equus caballus*, BA-E16-9.1.

### Lámina 13

- a. Artritis en falange segunda de *Equus caballus*, BA-E16-12.116.
- b. Artritis en falange tercera de *Equus caballus*, BA-E16-12.114.

### Lámina 14

Osteomielitis en Carpo III de *Equus caballus*, BA-E16-3.104.

## TRAZAS DE PROCESADO

### Lámina 15

- a. Marcas de desarticulación en tibia de *Cervus elaphus*, 490.
- b. Marcas de descarnado sobre tibia de *Cervus elaphus*, 727.
- c. Marcas de descarnado en vértebra lumbar de *Cervus elaphus*, 11472.

### Lámina 16

- a. Marcas de desarticulación en costilla de *Bos taurus*, BA-H36-313.101.
- b. Marcas de desarticulación y descarnado en costilla de *Bos taurus*, BA-H36-313.102.

### Lámina 17

Marcas de desarticulación y descarnado en costilla de *Bos taurus*, BA-H36-313.103.

### Lámina 18

- a. Marcas de desollado en zigomático de *Bos taurus*, BA-H9-9.10.
- b. Marcas de evisceración en hioides de *Bos taurus*, BA-I1-32.1.
- c. Proceso de corte en incisivo segundo de *Bos taurus*, BA-I2-31.1.

### Lámina 19

- a. Marcas de desarticulación en tibia de ovicáprido, 11602.
- b. Marcas de desarticulación y descarnado en radio de ovicáprido, 363.
- c. Marcas de desarticulación en húmero de ovicáprido, 12239.

### Lámina 20

- a. Marcas de desollado y desarticulación en metatarso de ovicáprido, BA-H36-195.12.
- b. Marcas de desarticulación o descarnado en vértebra torácica de ovicáprido, BA-H36-313.20.

### Lámina 21

- a. Marcas de desarticulación en húmero de *Ovis aries*, 11471.
- b. Marcas de desarticulación en húmero de *Capra hircus*, 11692.
- c. Marcas de desarticulación en talus de *Capra hircus*, 1343.

### Lámina 22

- a. Marcas de descarnado en fémur de mamífero de talla media, 11991.
- b. Marcas de procesado en húmero de mamífero de talla media, BA-C0-316.3.
- c. Marcas de serrado sobre un fragmento de diáfisis de hueso largo de un mamífero de talla media, 13495.
- d. Marcas de desarticulación en fémur de *Capra hircus*, BA-H36-234.7.

### Lámina 23

- a. Marcas de desarticulación en vértebra torácica de *Sus domesticus*, 12280.
- b. Marcas de descuartizamiento en atlas de *Sus domesticus*, 13272.

### Lámina 24

- a. Marcas de descuartizamiento en atlas de *Sus domesticus*, 131.
- b. Marcas de evisceración en esternón de *Sus domesticus*, 892.
- c. Marcas de desarticulación en fémur de *Sus domesticus*, 992.

### Lámina 25

- a. Marcas de descuartizamiento en atlas de *Canis familiaris*, 11561.
- b. Marcas de desarticulación en radio de *Canis familiaris*, 13119 y 13124.

### Lámina 26

- a. Marcas de desarticulación o descarnado en tibia de *Canis familiaris*, 5516.
- b. Marcas de desarticulación en húmero de *Canis familiaris*, 13427.

Lámina 27

- a. Marcas de desarticulación o despelleje en talus de *Canis familiaris*, 6323.
- b. Marcas de descarnado o extracción de la lengua en el paladar de *Canis familiaris*, 13486.

Lámina 28

- a. Marcas de desarticulación en vertebra de *Canis familiaris*, BA-H36-195.67.
- b. Marcas de descarnado en húmero de *Canis familiaris*, BA-H2-94.2.

Lámina 29

- a. Marcas de fractura intencionada radio de *Canis familiaris*, BA-H7-14.8.
- b. Marcas de fractura intencionada tibia de *Canis familiaris*, BA-H7-14.

Lámina 30

- a. Marcas de descarnado en costilla de *Canis familiaris*, BA-H64-16.119.
- b. Marcas de descarnado en costilla de *Canis familiaris*, BA-H52-126.25.



## Agradecimientos

Ahora que he acabado esta tesis soy consciente de la cantidad de gente que ha sido necesaria para poner fin a este trabajo o al menos para dejarlo en el punto en el que se encuentra hoy. Son muchas las personas que han formado parte de este viaje y es muy difícil nombrarlos a todos.

Me gustaría comenzar por dar gracias a las personas que han dirigido este trabajo María Saña Seguí y Vicente Lull Santiago. A María por acompañarme y ayudarme durante el largo proceso que ha supuesto el aprendizaje de la metodología arqueozoológica y por su apoyo con la orientación y desarrollo de este trabajo. Por sus ánimos que han sido de mucha ayuda en los momentos en los que no se ve el fin a la tesis. A Vicente, por ser más que un director, por cuestionar, aconsejar y respaldar mi trabajo pese a su escepticismo inicial. Espero que la lectura de este trabajo haya conseguido que su opinión cambie un poquito.

No es posible dejar de mencionar al resto de coordinadores del grupo de investigación Arqueoecología Social Mediterránea (ASOME): a Rafael Micó, Roberto Risch y Cristina Rihuete, cuyos consejos, interés y mensajes de ánimo en este trayecto han ayudado mucho al desenlace del mismo. Gracias al Proyecto La Bastida por poner a mi alcance todos los medios posibles para que este trabajo siguiese adelante. Recuerdo especialmente a Silvia Gili, que aunque no pueda estar presente el día de la lectura, lo ha estado y queda constancia de ello en las planimetrías y mapas de este trabajo. No sólo me ha aportado eso pues gran parte de mi trayectoria en los trabajos de excavación la he compartido con ella, tanto dentro como fuera del espacio arqueológico. No podría enumerar a todos y cada uno de los miembros del proyecto que han participado en algún momento de este estudio, desde los trabajadores que me consultaban cuando encontraban un hueso en campo si era *animal o persona*, que colaboraron con el lavado, siglado, pesado, medido de los restos de fauna aquí analizados hasta los técnicos y especialistas que han servido de interlocutores en discusiones acerca de cualquier dato relativo a la fauna y que me han ayudado a reflexionar un poco más sobre aquello que analizaba. Quiero agradecer especialmente a aquellos compañeros que en los últimos años han estado más cerca: Elena Molina, Selina Delgado, Camila Oliart y Mireia Ache y a los que están en Murcia y desde allí han ayudado en la medida de lo posible dada la distancia que nos separa. A mis compañeros de piso durante mi estancia allí Eva Celdrán y Dylan Cox, gracias por esos ratitos.

Asimismo quiero agradecer al Laboratori d'Arqueozoologia de la UAB por poner a mi disposición sus instalaciones así como la colección de referencia, herramienta indispensable para poder afrontar el estudio de las muestras faunísticas aquí presentadas. A mis compañeras de laboratorio, Vanessa Navarrete, Ester Verdún y Violeta Novella, también quiero agradecer su ayuda y seguimiento casi diario en estos tres últimos e intensos años.



En último lugar quiero mencionar a mi familia sin el soporte de la cual no hubiese sido posible llegar hasta aquí. A mis padres por asegurarme el sustento en los tiempos difíciles, a mis hermanos (y cuñados) que de haberles dejado hubiesen escrito la tesis por mi, a mis tíos y primos por los innumerables mensajes y videos de ánimos que acortaban la distancia en los momentos en los que no podíamos reunirnos. A los últimos en llegar, a mis sobrinos, por contribuir con su visión de los animales. Quiero dedicar un especial agradecimiento a Eduard Miralles porque para mí ha sido el coautor de todo este trabajo, pues lo ha leído tantas o más veces que yo para cuidar tantos detalles, ha dibujado planimetrías, ha editado y montado fotos y láminas....Y si eso no fuese suficiente ha estado a mi lado facilitando mi día a día para que mi atención estuviese centrada únicamente en el trabajo que ha absorbido de mí mucho más tiempo y energías del que me hubiese gustado dedicarle.

Y si alguien no se encuentra reflejado en esta lista que me perdone porque seguro que también tengo algún motivo para agradecerle su colaboración aunque no lo haya mencionado.

Barcelona, Diciembre de 2015

Esta tesis se terminó de imprimir el día  
once de diciembre de 2015, festividad  
de San Dámaso



Colofón  
"Perro y Gato"  
David y Sara Andúgar Piqueras